

表 4-2 強度評価結果 (10/14)

水密扉 No.	評価対象部位		発生値 (応力度, 荷重) (N/mm ²)	許容限界値 (N/mm ²)	発生値／ 許容限界値	備考
10	扉板		76	235	0.33	曲げ
	芯材 ^{*1}		53	235	0.23	曲げ
	カン ヌキ部	カンヌキ ^{*2}	110	345	0.32	組合せ
		カンヌキ受けピン ^{*1}	104	345	0.31	曲げ
		カンヌキ受けボルト	127	728	0.18	引張
	扉固定 部	扉付固定ボルト	—	—	—	—
		枠付固定ボルト	—	—	—	—
	アンカーボルト ^{*3}		—	—	0.52	組合せ

注記*1：曲げ，せん断及び組合せのうち，評価結果が最も厳しい値を記載する。

*2：曲げ及びせん断のうち，評価結果が厳しい方の値を記載する。

*3：単位はNとし，引張，せん断及び組合せのうち，評価結果が最も厳しい値を記載する。

表 4-2 強度評価結果 (11/14)

水密扉 No.	評価対象部位		発生値 (応力度, 荷重) (N/mm ²)	許容限界値 (N/mm ²)	発生値／ 許容限界値	備考
11	扉板		20	235	0.09	曲げ
	芯材 ^{*1}		6	135	0.05	せん断
	カン ヌキ部	カンヌキ ^{*2}	—	—	—	—
		カンヌキ受けピン ^{*1}	—	—	—	—
		カンヌキ受けボルト	—	—	—	—
	扉固定 部	扉付固定ボルト	—	—	—	—
		枠付固定ボルト	—	—	—	—
	アンカーボルト ^{*3}		—	—	—	—

注記*1：曲げ、せん断及び組合せのうち、評価結果が最も厳しい値を記載する。

*2：曲げ及びせん断のうち、評価結果が厳しい方の値を記載する。

*3：単位はNとし、引張、せん断及び組合せのうち、評価結果が最も厳しい値を記載する。

表 4-2 強度評価結果 (12/14)

水密扉 No.	評価対象部位		発生値 (応力度, 荷重) (N/mm ²)	許容限界値 (N/mm ²)	発生値／ 許容限界値	備考
12	扉板		20	235	0.09	曲げ
	芯材 ^{*1}		16	235	0.07	曲げ
	カン ヌキ部	カンヌキ ^{*2}	19	205	0.10	組合せ
		カンヌキ受けピン ^{*1}	18	345	0.06	曲げ
		カンヌキ受けボルト	21	728	0.03	引張
	扉固定 部	扉付固定ボルト	—	—	—	—
		枠付固定ボルト	—	—	—	—
	アンカーボルト ^{*3}		—	—	0.07	組合せ

注記*1：曲げ，せん断及び組合せのうち，評価結果が最も厳しい値を記載する。

*2：曲げ及びせん断のうち，評価結果が厳しい方の値を記載する。

*3：単位はNとし，引張，せん断及び組合せのうち，評価結果が最も厳しい値を記載する。

表 4-2 強度評価結果 (13/14)

水密扉 No.	評価対象部位		発生値 (応力度, 荷重) (N/mm ²)	許容限界値 (N/mm ²)	発生値／ 許容限界値	備考
13 (大) * ⁴	扉板		18	205	0.09	曲げ
	芯材* ¹		—	—	—	—
	カン ヌキ部	カンヌキ* ²	—	—	—	—
		カンヌキ受けピン* ¹	—	—	—	—
		カンヌキ受けボルト	—	—	—	—
	扉固定 部	扉付固定ボルト	216	420	0.52	せん断
		枠付固定ボルト	216	728	0.30	引張
	アンカーボルト* ³		—	—	0.23	組合せ

注記*1：曲げ，せん断及び組合せのうち，評価結果が最も厳しい値を記載する。

*2：曲げ及びせん断のうち，評価結果が厳しい方の値を記載する。

*3：単位はNとし，引張，せん断及び組合せのうち，評価結果が最も厳しい値を記載する。

*4：No. 13 扉のうち，機器搬出入用扉を示す。

表 4-2 強度評価結果 (14/14)

水密扉 No.	評価対象部位		発生値 (応力度, 荷重) (N/mm ²)	許容限界値 (N/mm ²)	発生値／ 許容限界値	備考
13 (小) * ⁴	扉板		7	205	0.04	曲げ
	芯材* ¹		—	—	—	—
	カン ヌキ部	カンヌキ* ²	206	345	0.60	組合せ
		カンヌキ受けピン* ¹	179	345	0.52	曲げ
		カンヌキ受けボルト	128	728	0.18	引張
	扉固定 部	扉付固定ボルト	—	—	—	—
		枠付固定ボルト	—	—	—	—
	アンカーボルト* ³		—	—	—	—

注記*1：曲げ，せん断及び組合せのうち，評価結果が最も厳しい値を記載する。

*2：曲げ及びせん断のうち，評価結果が厳しい方の値を記載する。

*3：単位はNとし，引張，せん断及び組合せのうち，評価結果が最も厳しい値を記載する。

*4：No. 13 扉のうち，くぐり戸を示す。

6. 浸水防護施設に関する補足資料
6. 5 浸水防止設備に関する補足説明
6. 5. 3 浸水防止蓋に関する補足説明

目 次

6. 5. 3. 1 浸水防止蓋（原子炉機器冷却海水配管ダクト）の耐震性についての計算書に関する補足説明
6. 5. 3. 2 浸水防止蓋（原子炉機器冷却海水配管ダクト）の強度計算書に関する補足説明
6. 5. 3. 3 浸水防止蓋（第3号機補機冷却海水系放水ピット）の耐震性についての計算書に関する補足説明
6. 5. 3. 4 浸水防止蓋（第3号機補機冷却海水系放水ピット）の強度計算書に関する補足説明
6. 5. 3. 5 浸水防止蓋（第3号機海水熱交換器建屋）の耐震性についての計算書に関する補足説明
6. 5. 3. 6 浸水防止蓋（第3号機海水熱交換器建屋）の強度計算書に関する補足説明
6. 5. 3. 7 浸水防止蓋（揚水井戸（第2号機海水ポンプ室防潮壁区画内））の耐震性についての計算書に関する補足説明
6. 5. 3. 8 浸水防止蓋（揚水井戸（第2号機海水ポンプ室防潮壁区画内））の強度計算書に関する補足説明
6. 5. 3. 9 浸水防止蓋（揚水井戸（第3号機海水ポンプ室防潮壁区画内））の耐震性についての計算書に関する補足説明
6. 5. 3. 10 浸水防止蓋（揚水井戸（第3号機海水ポンプ室防潮壁区画内））の強度計算書に関する補足説明

- 6. 浸水防護施設に関する補足説明
- 6.5 浸水防止設備に関する補足説明
- 6.5.3 浸水防止蓋に関する補足説明
- 6.5.3.1 浸水防止蓋（原子炉機器冷却海水配管ダクト）の耐震性についての計算書に関する
補足説明

目 次

1.	概要	1
2.	一般事項	2
2.1	配置概要	2
2.2	構造計画	4
2.3	評価方針	5
2.4	適用規格・基準等	6
2.5	記号の説明	7
3.	評価対象部位	8
4.	固有値解析	9
4.1	固有振動数の計算方法	9
4.2	固有振動数の計算条件	10
4.3	固有振動数の計算結果	10
5.	構造強度評価	11
5.1	構造強度評価方法	11
5.2	荷重及び荷重の組合せ	11
5.3	許容限界	12
5.4	設計用地震力	15
5.5	評価方法	19
5.6	評価条件	27
6.	評価結果	28

1. 概要

本資料は、添付書類「VI-2-1-9 機能維持の基本方針」にて設定している構造強度に基づき、浸水防止設備のうち浸水防止蓋（原子炉機器冷却海水配管ダクト）（以下、「浸水防止蓋」という。）が設計用地震力に対して、主要な構造部材が十分な構造健全性を有することを確認するものである。その耐震評価は浸水防止蓋の固有値解析及び応力評価により行う。

浸水防止蓋は、浸水防止設備としてSクラスの施設に分類される。以下、浸水防止設備としての構造強度評価を示す。

なお、浸水防止蓋の耐震評価においては、平成23年3月11日に発生した東北地方太平洋沖地震による地殻変動に伴い、牡鹿半島全体で約1mの地盤沈下が発生したことを考慮する。

2. 一般事項

2.1 配置概要

浸水防止蓋は、原子炉機器冷却海水配管ダクト上部からの浸水を防止するために設置する。

浸水防止蓋の設置位置図を図 2-1 に、浸水対策図を図 2-2 に示す。

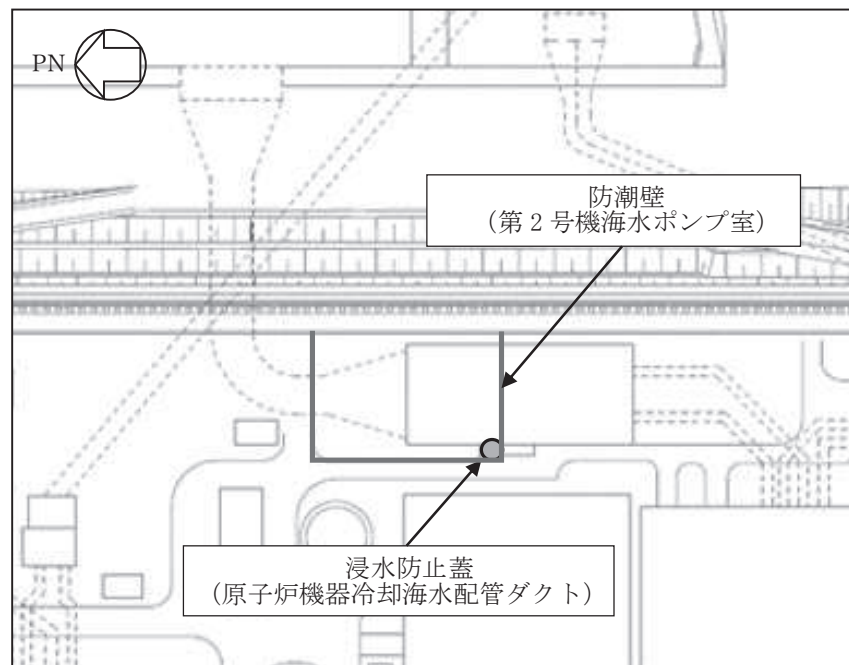


図 2-1 浸水防止蓋の設置位置図

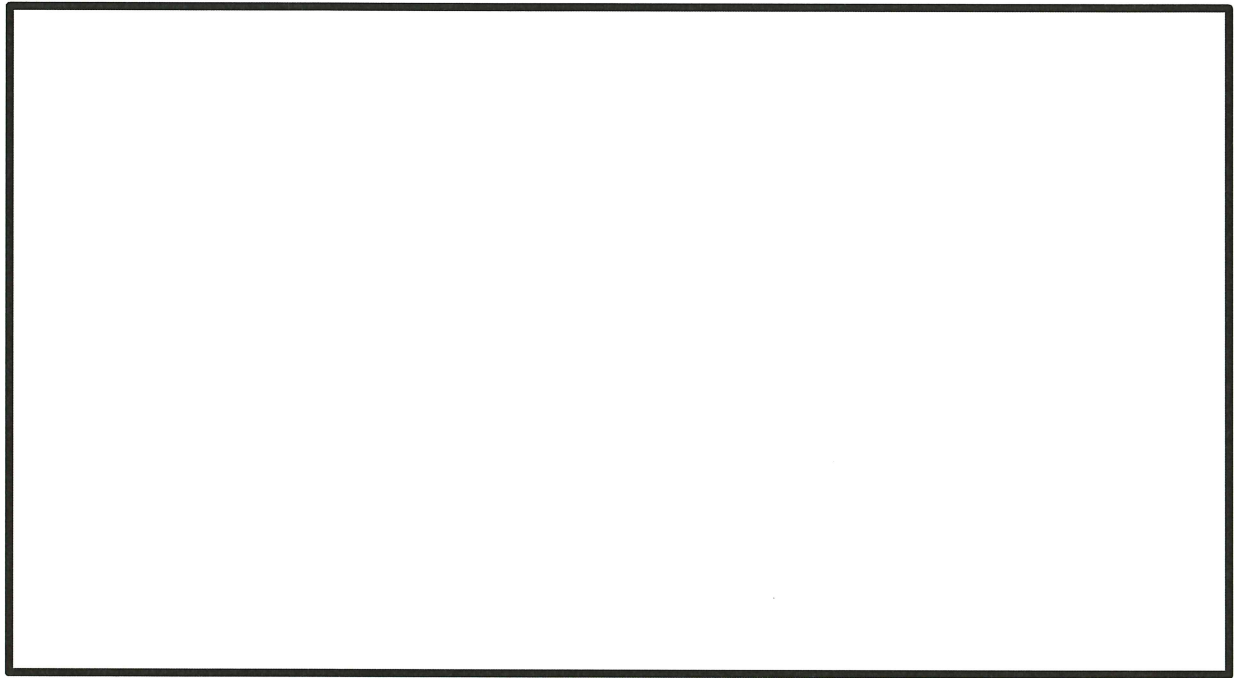


図 2-2 (1) 第 2 号機 海水ポンプ室 浸水対策配置図 (平面図)

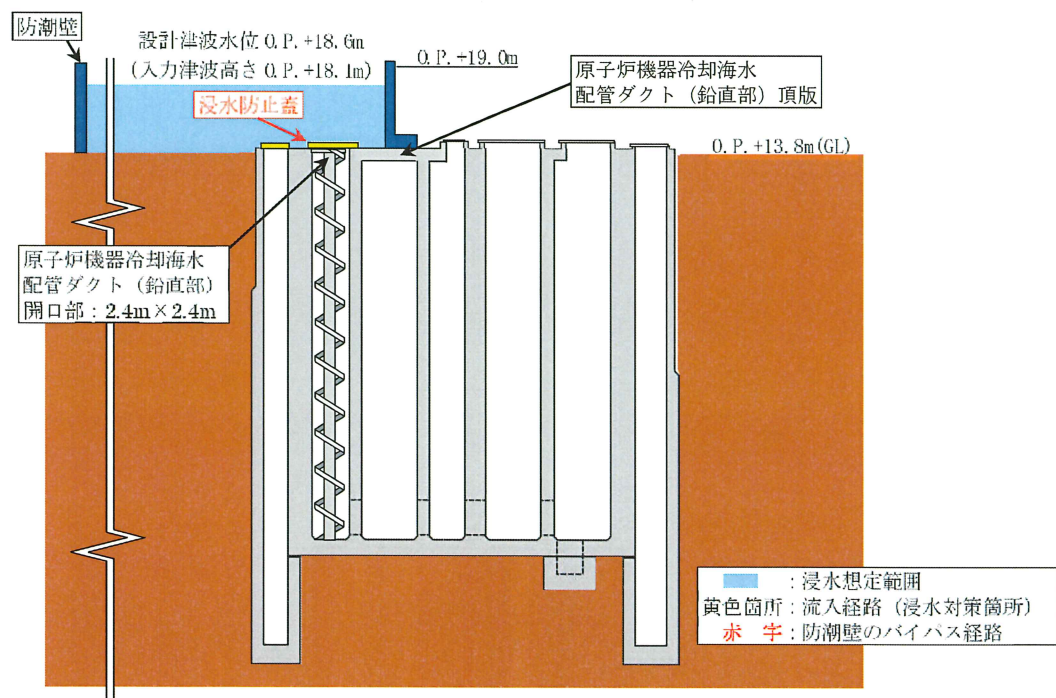


図 2-2 (2) 第 2 号機 海水ポンプ室 浸水対策配置図 (B-B 断面図)

枠囲みの内容は防護上の観点から公開できません。

2.2 構造計画

浸水防止蓋の構造は、長方形のスキンプレートに主桁（H型鋼）を組合せた構造とする。

浸水防止蓋は、原子炉機器冷却海水配管ダクト上部に固定ボルトにて固定する。浸水防止蓋の構造計画を表 2-1 に示す。

表 2-1 浸水防止蓋の構造計画

計画の概要		構造概略図
基礎・支持構造	主体構造	
原子炉機器冷却海水配管ダクト上部に固定ボルトで固定する。	浸水防止蓋及び固定ボルトにより構成する。	

2.3 評価方針

浸水防止蓋の耐震評価は、添付書類「VI-2-1-9 機能維持の基本方針」にて設定した荷重及び荷重の組合せ並びに許容限界に基づき、「2.2 構造計画」に示す浸水防止蓋の構造を踏まえ、「3. 評価対象部位」にて設定する評価部位において、「4. 固有値解析」で算出した固有振動数に基づく設計用地震力により算出した応力等が許容限界内に収まるることを、「5. 構造強度評価」に示す方法にて確認する。応力評価の確認結果を「6. 評価結果」にて確認する。

耐震評価フローを図 2-3 に示す。

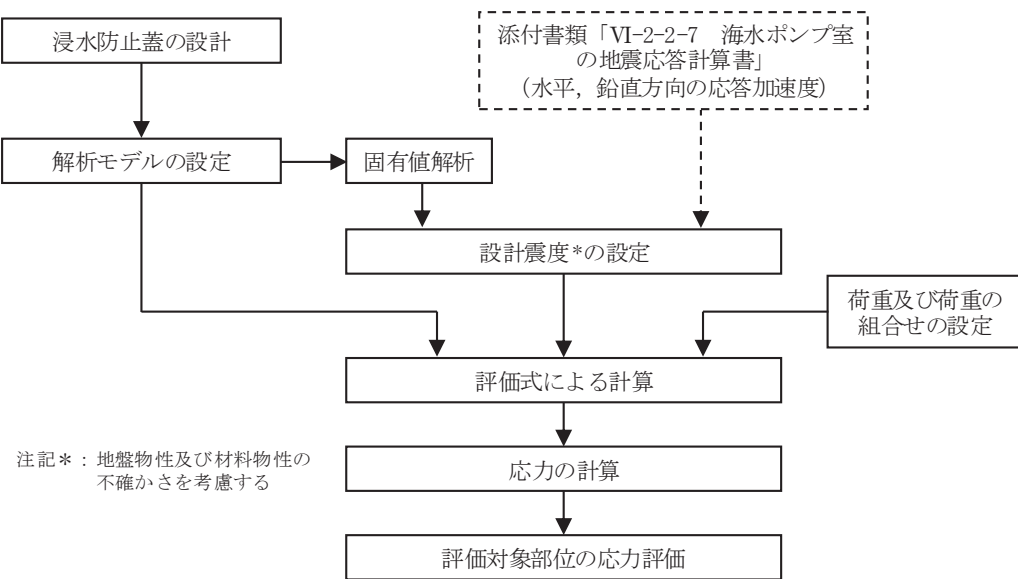


図 2-3 耐震評価フロー

2.4 適用規格・基準等

適用する規格、基準等を以下に示す。

- (1) 鋼構造設計規準－許容応力度設計法－（日本建築学会、2005 改定）
- (2) 各種合成構造設計指針・同解説（日本建築学会、2010 改定）
- (3) 機械工学便覧（日本機械学会、2005 改訂）

2.5 記号の説明

浸水防止蓋の耐震評価に用いる記号を表 2-2 に示す。

表 2-2 浸水防止蓋の耐震評価に用いる記号

記号	単位	定義
S _s	kN	基準地震動 S _s による地震荷重
k _H	—	基準地震動 S _s の水平方向の設計震度
k _V	—	基準地震動 S _s の鉛直方向の設計震度
G	kN	固定荷重
P _s	kN	積雪荷重
W _s	N/m ²	1 cm 当りの積雪荷重
d _s	cm	積雪高さ
A	m ²	浸水防止蓋の面積
W _{s s}	kN/m ²	単位面積当たりの等分布荷重
W _{s s'}	kN/m	単位長さ当たりの等分布荷重
τ	N/mm ²	最大せん断応力度
σ	N/mm ²	最大曲げ応力度
Q	kN	最大せん断力
M	kN・m	最大曲げモーメント
x	N/mm ²	組合せ応力度
A _s	mm ²	せん断面積
Z	mm ³	断面係数
L ₁	mm	主桁の負担幅
L ₂	mm	主桁全長
L ₃	mm	スキンプレートの支持長辺長さ
L ₄	mm	スキンプレートの支持短辺長さ
β ₂	—	スキンプレートの辺長比に応じた係数
t	mm	スキンプレートの厚さ
N	本	浸水防止蓋に取り付く固定ボルトの本数
T _d	kN	固定ボルト 1 本当りに作用する引張力
q	kN	固定ボルト 1 本当りに作用するせん断力

3. 評価対象部位

浸水防止蓋の評価対象部位は、「2.2 構造計画」に設定している構造を踏まえて、地震に伴う荷重の作用方向及び伝達過程を考慮し設定する。

浸水防止蓋は、地震に伴う慣性力が浸水防止蓋のスキンプレート、主桁に伝わり、浸水防止蓋を固定する固定ボルトを介して躯体に伝達されることから、スキンプレート、主桁及び固定ボルトを評価対象部位として設定する。評価対象部位を図3-1に示す。

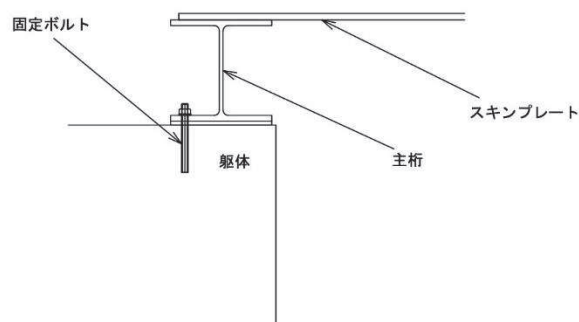
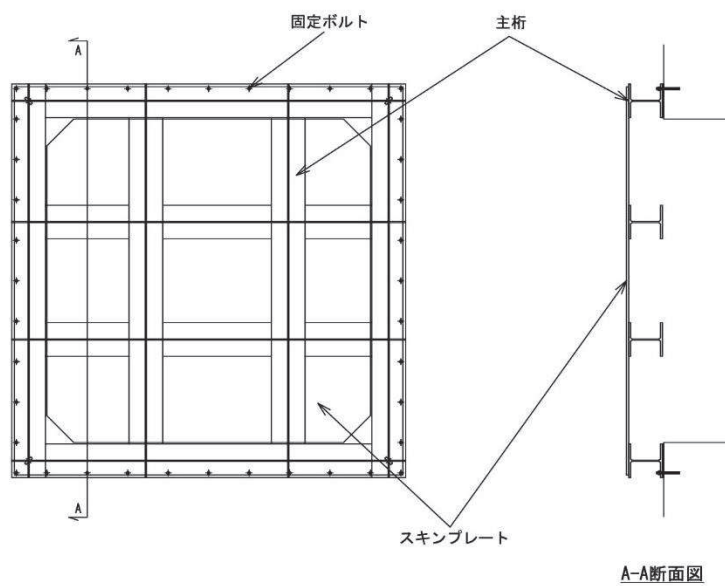


図3-1 評価対象部位

4. 固有値解析

4.1 固有振動数の計算方法

浸水防止蓋の構造に応じて解析モデルを設定し、固有振動数を算出する。

4.1.1 解析モデルの設定

浸水防止蓋は、スキンプレート及び主桁の組合せにより剛な断面を有しているとともに、固定ボルトを介し、浸水防止蓋と躯体を固定することから、浸水防止蓋の主桁を両端ピン支持に単純化したモデルとし、モデル化に用いるはり長さは、主桁の全長とする。図4-1に解析モデル図を示す。

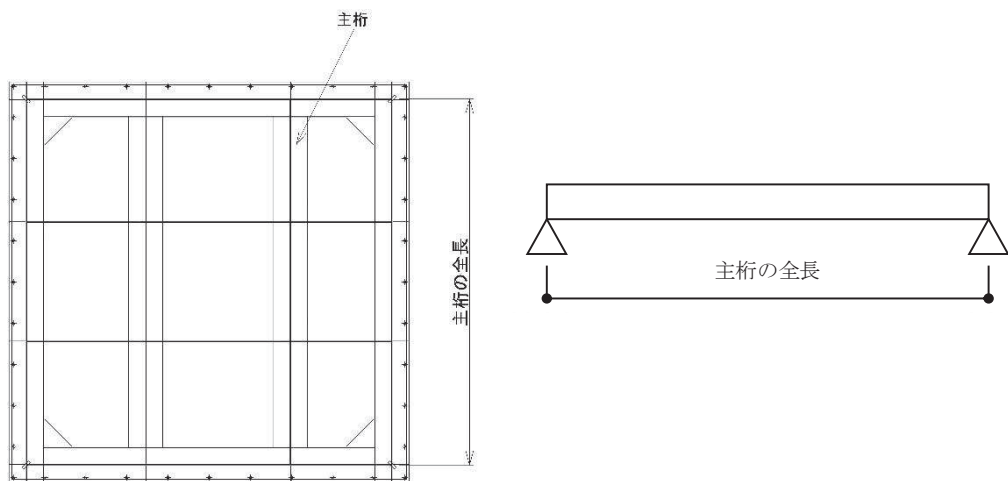


図4-1 浸水防止蓋の固有値解析モデル

4.1.2 記号の説明

浸水防止蓋の固有振動数算出に用いる記号を表4-1に示す。

表4-1 浸水防止蓋の固有振動数の計算に用いる記号

記号	単位	定義
f	Hz	一次固有振動数
L	mm	はりの長さ
E	N/mm ²	ヤング率
I	mm ⁴	主桁の断面二次モーメント
m	kg/mm	質量分布

4.1.3 固有振動数の算出方法

固有振動数 f を「土木学会構造力学公式集」を参考に以下の式より算出する。

$$f = \frac{\pi^2}{2\pi L^2} \sqrt{\frac{E \cdot I \cdot 10^3}{m}}$$

4.2 固有振動数の計算条件

固有振動数の計算条件を表4-2に示す。

表4-2 固有振動数の計算条件

はり長さ L (mm)	ヤング率 E (N/mm ²)	断面二次 モーメント I (mm ⁴)	質量分布 m (kg/mm)
2670	2.05×10^5	3.65×10^7	7.18×10^{-2}

4.3 固有振動数の計算結果

固有振動数の計算結果を表4-3に示す。固有振動数は20Hz以上であることから、剛構造である。

表4-3 固有振動数の計算結果

固有振動数 (Hz)	71.13
---------------	-------

5. 構造強度評価

5.1 構造強度評価方法

浸水防止蓋の耐震評価は、添付書類「VI-2-1-9 機能維持の基本方針」にて設定している荷重及び荷重の組合せ並びに許容限界を踏まえて、「3. 評価対象部位」にて設定する評価対象部位に作用する応力等が「5.3 許容限界」にて示す許容限界以下であることを確認する。

5.2 荷重及び荷重の組合せ

5.2.1 荷重の組合せ

浸水防止蓋の評価に用いる荷重の組合せを下記に示す。

$$G + S_s + P_s$$

ここで、 G : 固定荷重 (kN)

S_s : 基準地震動 S_s による地震荷重 (kN)

P_s : 積雪荷重 (kN)

5.2.2 荷重の設定

耐震評価に用いる荷重は、以下のとおりとする。

(1) 固定荷重 (G)

固定荷重として、浸水防止蓋を構成する部材の自重を考慮する。

(2) 積雪荷重 (P_s)

積雪荷重として、添付書類「VI-1-1-2 発電用原子炉施設の自然現象等による損傷の防止に関する説明書」のうち、添付書類「VI-1-1-2-1-1 発電用原子炉施設に対する自然現象等による損傷の防止に関する基本方針」に基づき 43cm の積雪量を想定し、平均的な積雪荷重を与えるための係数 0.35 を考慮する。

積雪荷重による質量は以下の式より算出する。

$$P_s = 0.35 \cdot W_s \cdot d_s \cdot A \cdot 10^{-3}$$

ここで、 P_s : 積雪荷重 (kN)

W_s : 1cm 当りの積雪荷重 20 (N/m²)

d_s : 積雪高さ 43 (cm)

A : 浸水防止蓋の面積 (m²)

(3) 基準地震動 S_s による地震荷重 (S_s)

地震荷重として、基準地震動 S_s に伴う慣性力を考慮する。地震荷重は浸水防止蓋の固定荷重及び積雪荷重に設計震度を乗じた次式により算出する。

$$S_s = (G + P_s) \cdot k$$

ここで、
 S_s : 基準地震動 S_s による地震荷重 (kN)
 G : 固定荷重 (kN)
 P_s : 積雪荷重 (kN)
 k : 基準地震動 S_s の設計震度

5.3 許容限界

許容限界は、添付書類「VI-2-1-9 機能維持の基本方針」にて設定している許容限界を踏まえて設定する。

5.3.1 使用材料

浸水防止蓋を構成するスキンプレート、主桁、固定ボルトの使用材料を表 5-1 に示す。

表 5-1 使用材料

評価対象部位	材質	仕様
スキンプレート	SM490Y	$t = 16$ (mm)
主桁	SM490Y	H-250×250×9×14 (mm)
固定ボルト	SM490Y	M16

5.3.2 許容限界

(1) スキンプレート、主桁

鋼材の許容応力度は、「鋼構造設計規準－許容応力度設計法－（日本建築学会、2005 改定）」を踏まえて表 5-2 の値とする。

表 5-2 鋼材の短期許容応力度

材質	短期許容応力度 (N/mm ²)	
	曲げ	せん断
SM490Y	325	188

(2) 固定ボルト

固定ボルトの許容荷重は、「3. 評価対象部位」に記載した固定ボルトに作用する荷重の向きを踏まえて、「各種合成構造設計指針・同解説（日本建築学会、2010 改定）」に基づき算定する。

固定ボルトは躯体に埋め込まれていることから、固定ボルトが引張力を受ける場合においては、固定ボルトの降伏により決まる許容荷重（ P_{a1} ），付着力により決まる許容荷重（ P_{a3} ）を比較して、いずれか小さい値を採用する。また、固定ボルトがせん断力を受ける場合においては、固定ボルトのせん断強度により決まる許容荷重（ q_{a1} ），定着したコンクリート躯体の支圧強度により決まる許容荷重（ q_{a2} ）及びコーン状破壊により決まる許容荷重（ q_{a3} ）を比較して、いずれか小さい値を採用する。

地震荷重を考慮する場合の固定ボルトの許容荷重の設定に用いる入力値を表 5-3 に、許容荷重を表 5-4 に示す。

引張力を受ける場合

$$P_{a1} = \Phi_1 \cdot s\sigma_{pa} \cdot s_c a$$

$$P_{a3} = \Phi_3 \cdot \tau_a \cdot \pi \cdot d_a \cdot l_{ce}$$

ここで、 P_{a1} : 固定ボルトの降伏により決まる場合の固定ボルト 1 本当たりの許容引張力 (N)

P_{a3} : 固定ボルトの付着力により決まる場合の固定ボルト 1 本当たりの許容引張力 (N)

Φ_1 : 低減係数 (短期荷重用)

Φ_3 : 低減係数 (短期荷重用)

$s\sigma_{pa}$: 固定ボルトの引張強度 ($= s\sigma_y$) (N/mm²)

$s\sigma_y$: 固定ボルトの規格降伏点強度 (N/mm²)

$s_c a$: 固定ボルトの断面積 (mm²)

d_a : 固定ボルトの径 (mm)

l_{ce} : 固定ボルトの強度算定用埋込み長さ ($= l_e - 2d_a$) (mm)

τ_a : ヘリあき及び固定ボルトのピッチによる付着強度の低減係数

せん断力を受ける場合

$$q_{a1} = \Phi_1 \cdot s\sigma_{qa} \cdot s_c a$$

$$q_{a2} = \Phi_2 \cdot c\sigma_{qa} \cdot s_c a$$

$$q_{a3} = \Phi_2 \cdot c\sigma_t \cdot A_{qc}$$

ここで、 q_{a1} : 固定ボルトのせん断強度により決まる場合の固定ボルト 1 本当たりの許容せん断力 (N)

q_{a2} : 定着した躯体の支圧強度により決まる場合の固定ボルト 1 本当たりの許容せん断力 (N)

q_{a3} : 定着した躯体のコーン状破壊により決まる場合の固定ボルト 1 本当たりの許容せん断力 (N)

Φ_1 : 低減係数 (短期荷重用)

Φ_2 : 低減係数 (短期荷重用)

$s\sigma_{qa}$: 固定ボルトのせん断強度 ($= 0.7 \cdot s\sigma_y$) (N/mm²)

$s \sigma_y$: 固定ボルトの規格降伏点強度 (N/mm^2)
 $s_c a$: 固定ボルトの断面積 (mm^2)
 $c \sigma_{q_a}$: コンクリートの支圧強度 (N/mm^2) ($= 0.5 \sqrt{F_c \cdot E_c}$)
 $c \sigma_t$: コーン状破壊に対するコンクリートの引張強度 (N/mm^2)
 F_c : コンクリートの設計基準強度 (N/mm^2)
 E_c : コンクリートのヤング係数 (N/mm^2)
 A_{qc} : せん断力に対するコーン状破壊面の有効投影面積 (mm^2)

表 5-3 固定ボルトの許容荷重の設定に用いる入力値

記号	単位	定義	数値
Φ_1	—	低減係数（短期荷重用）	1.0
Φ_2	—	低減係数（短期荷重用）	2/3
Φ_3	—	低減係数（短期荷重用）	2/3
$s \sigma_{pa}$	N/mm^2	固定ボルトの引張強度	325
$s \sigma_y$	N/mm^2	固定ボルトの規格降伏点強度	325
$s_c a$	mm^2	固定ボルトの断面積	157
d_a	mm	固定ボルトの径	16
l_{ce}	mm	固定ボルトの強度算定用埋込み長さ	168
τ_a	—	へりあき及び固定ボルトのピッチによる付着強度の低減係数	6.71
$s \sigma_{qa}$	N/mm^2	固定ボルトのせん断強度	227.50
$c \sigma_{qa}$	N/mm^2	コンクリートの支圧強度	346.82
$c \sigma_t$	N/mm^2	コーン状破壊に対するコンクリートの引張強度	1.40
F_c	N/mm^2	コンクリートの設計基準強度	20.5
E_c	N/mm^2	コンクリートのヤング係数	23470
A_{qc}	mm^2	せん断力に対するコーン状破壊面の有効投影面積	35343

表 5-4 地震荷重を考慮する場合の固定ボルトの短期許容荷重

材質	短期許容荷重 (kN)						
	引張			せん断			
	P_{a1}	P_{a3}	設定値	q_{a1}	q_{a2}	q_{a3}	設定値
SM490Y	51.0	37.7	37.7	35.7	36.3	32.9	32.9

5.4 設計用地震力

浸水防止蓋を設置する原子炉機器冷却海水配管ダクト（鉛直部）は、規模及び重量共に大きい海水ポンプ室に懸架されており、海水ポンプ室と一体となって挙動する。また、「4. 固有値解析」に示したとおり、浸水防止蓋の固有振動数は 20Hz 以上であることから、浸水防止蓋の耐震評価に用いる設計震度は、海水ポンプ室の地盤物性及び材料物性の不確かさを考慮したものとして添付書類「VI-2-2-7 海水ポンプ室の地震応答計算書」の地震応答解析結果を用いる。地震応答解析ケースを表 5-5 に示す。耐震評価に用いる応答加速度は、原子炉機器冷却海水配管ダクト（鉛直部）が接する図 5-1 に示すスクリーンエリア及び補機ポンプエリアのうち最大加速度が大きい方を用いる。

耐震評価で用いる海水ポンプ室の最大加速度分布図を図 5-2 に、最大加速度を表 5-6 に、設計震度を表 5-7 に示す。

表 5-5 海水ポンプ室の地震応答解析ケース

解析ケース	材料物性 (コンクリート) (E_0 : ヤング係数)	地盤物性	
		盛土, 旧表土, 改良地盤, D 級岩盤 (G_0 : 初期せん断弾性係数)	C_L 級岩盤, C_M 級岩盤, C_H 級岩盤, B 級岩盤 (G_d : 動せん断弾性係数)
ケース① (基本ケース)	設計基準強度	平均値	平均値
ケース②	設計基準強度	平均値+ 1σ	平均値
ケース③	設計基準強度	平均値- 1σ	平均値
ケース④	実強度に基づく 圧縮強度*	平均値	平均値

注記* : 既設構造物のコア採取による圧縮強度試験の結果を使用する。

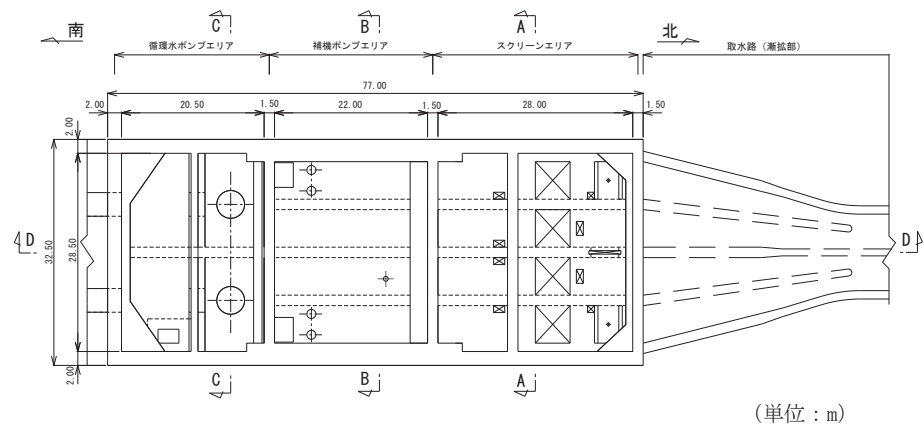


図 5-1 (1) 海水ポンプ室平面図

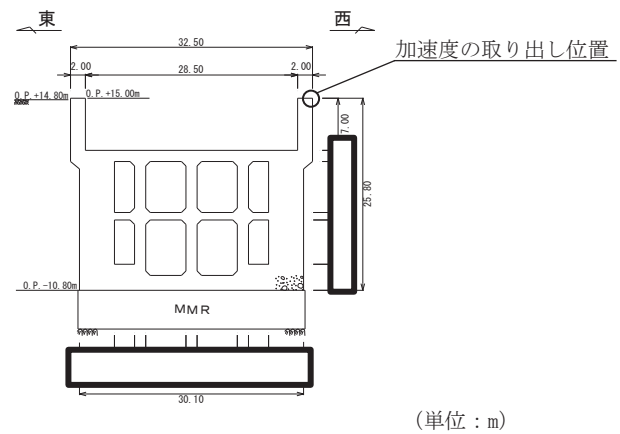


図 5-1 (2) 海水ポンプ室断面図 (スクリーンエリア) (A-A 断面)

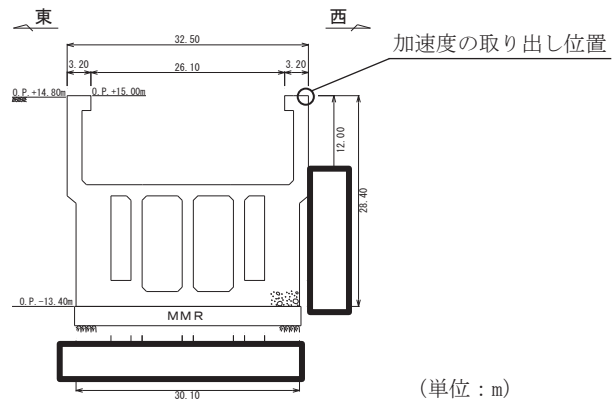
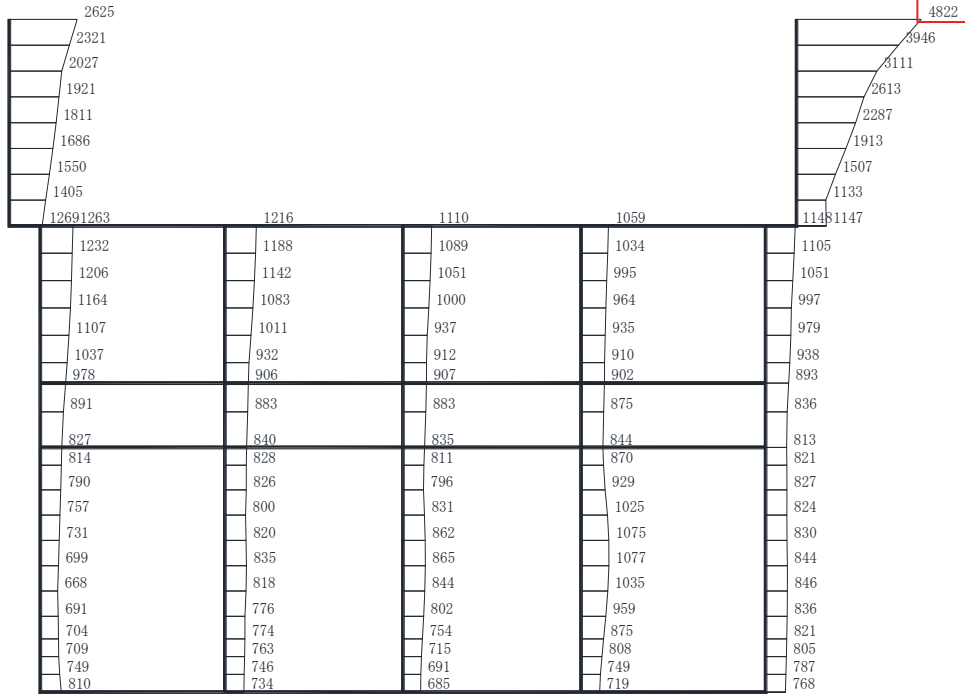


図 5-1 (3) 海水ポンプ室断面図 (補機ポンプエリア) (B-B 断面)

枠囲みの内容は防護上の観点から公開できません。

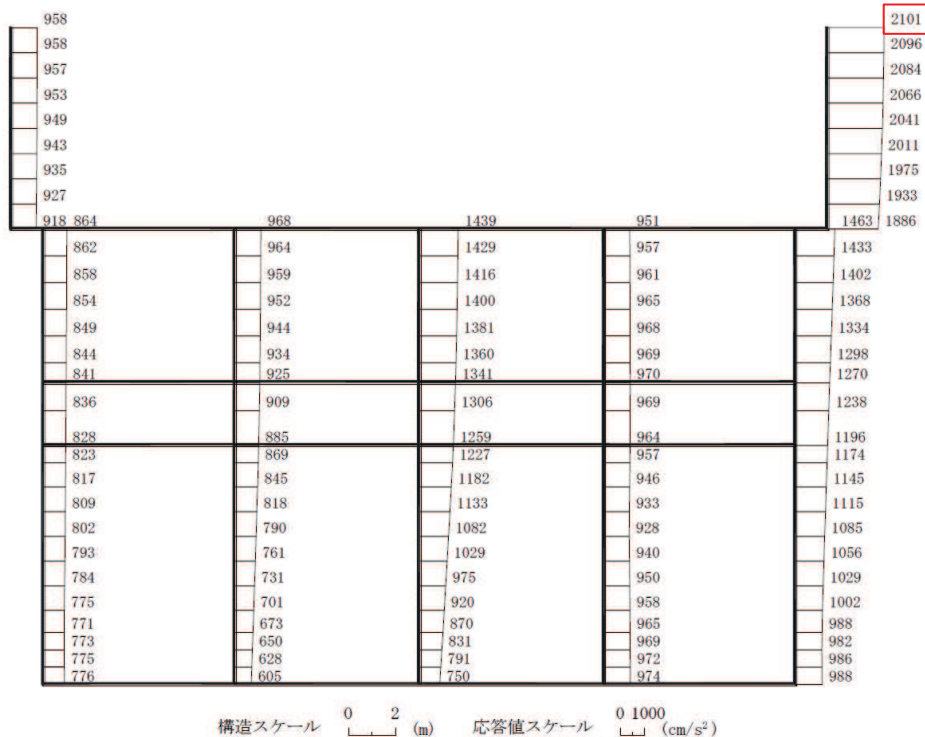
□：耐震評価に用いる最大加速度



(スクリーンエリア (東西方向), Ss-D1 (++) , 解析ケース②)

図 5-2 (1) 最大加速度分布図 (水平方向)

□：耐震評価に用いる最大加速度



(スクリーンエリア (南北方向), Ss-N1 (++) , 解析ケース④)

図 5-2 (2) 最大加速度分布図 (鉛直方向)

表 5-6 (1) 最大加速度 (水平方向)

地震時荷重算出断面	地震動	位相	解析ケース	最大加速度 (cm/s ²)
スクリーンエリア (東西方向)	S s - D 1	++	ケース②	4822

表 5-6 (2) 最大加速度 (鉛直方向)

地震時荷重算出断面	地震動	位相	解析ケース	最大加速度 (cm/s ²)
スクリーンエリア (東西方向)	S s - N 1	++	ケース④	2101

表 5-7 設計震度

設置場所	床面高さ (m)	基準地震動 S s の設計震度	
		水平方向 k _H	鉛直方向 k _V
原子炉機器冷却 海水配管ダクト	0.P. 14.0	4.92	2.15

5.5 評価方法

浸水防止蓋を構成する主桁、スキンプレート及び固定ボルトに発生する応力より算定する応力度が、許容限界以下であることを確認する。主桁とスキンプレートについては、評価上最も厳しい条件となる断面で評価を実施する。図 5-3、図 5-4 にそれぞれ評価の対象とする主桁、スキンプレートを示す。また、図 5-5 に固定ボルトの納まりを示す。

5.5.1 主桁

主桁の支持条件は両端をピン支持とし、図 5-3 に示すとおり、主桁が荷重を負担する範囲が最も大きくなり、評価上最も厳しい条件となるよう評価を実施する。

(1) 基準地震動 S_s による地震荷重 S_s

$$S_s = (G + P_s) \cdot k_v$$

ここで、 S_s : 基準地震動 S_s による地震荷重 (kN)

G : 主桁とスキンプレートの固定荷重 (kN)

P_s : 積雪荷重 (kN)

k_v : 基準地震動 S_s の鉛直方向の設計震度

(2) 主桁に作用する単位長さ当たりの鉛直方向の等分布荷重 $W_{s,s'}$

$$W_{s,s'} = (G + S_s + P_s) \cdot L_1 \cdot 10^{-3} / A$$

ここで、 $W_{s,s'}$: 主桁に作用する単位長さ当たりの鉛直方向の等分布荷重 (kN/m)

G : 主桁とスキンプレートの固定荷重 (kN)

S_s : 基準地震動 S_s による地震荷重 (kN)

P_s : 積雪荷重 (kN)

L_1 : 主桁の負担幅 (mm)

A : 浸水防止蓋の面積 (m^2)

(3) 主桁に作用する最大せん断応力度 τ

$$\tau = (Q \cdot 10^3) / A_s$$

τ : 主桁に作用する最大せん断応力度 (N/mm^2)

Q : 主桁に作用する最大せん断力 (kN)

A_s : 主桁のせん断断面積 (mm^2)

$$\text{ここで, } Q = 1/2 \cdot W_{s,s'} \cdot L_2 \cdot 10^{-3}$$

Q : 主桁に作用する最大せん断力 (kN)

$W_{s,s'}$: 主桁に作用する単位長さ当たりの鉛直方向の等分布荷重 (kN/m)

L_2 : 主桁全長 (mm)

(4) 主桁に作用する最大曲げ応力度 σ

$$\sigma = (M \cdot 10^6) / Z$$

σ : 主桁に作用する最大曲げ応力度 (N/mm^2)

M : 主桁に作用する最大曲げモーメント ($kN \cdot m$)

Z : 主桁の断面係数 (mm^3)

$$\text{ここで, } M = 1/8 \cdot W_s s' \cdot (L_2 \cdot 10^{-3})^2$$

M : 主桁に作用する最大曲げモーメント ($kN \cdot m$)

$W_s s'$: 主桁に作用する単位長さ当たりの鉛直方向の等分布荷重 (kN/m)

L_2 : 主桁全長 (mm)

(5) 主桁に作用する組合せ応力度

主桁に作用する曲げ応力度、せん断応力度を算定し、主桁の短期許容応力度以下であることを確認する。また、主桁に生じる曲げ応力度とせん断応力度から、組合せ応力度を「鋼構造設計規準－許容応力度設計法－（日本建築学会、2005 改定）」に基づく次式により算定し、短期許容応力度以下であることを確認する。

$$x = \sqrt{\sigma^2 + 3 \cdot \tau^2}$$

ここで、 x : 組合せ応力度 (N/mm^2)

σ : 曲げ応力度 (N/mm^2)

τ : せん断応力度 (N/mm^2)

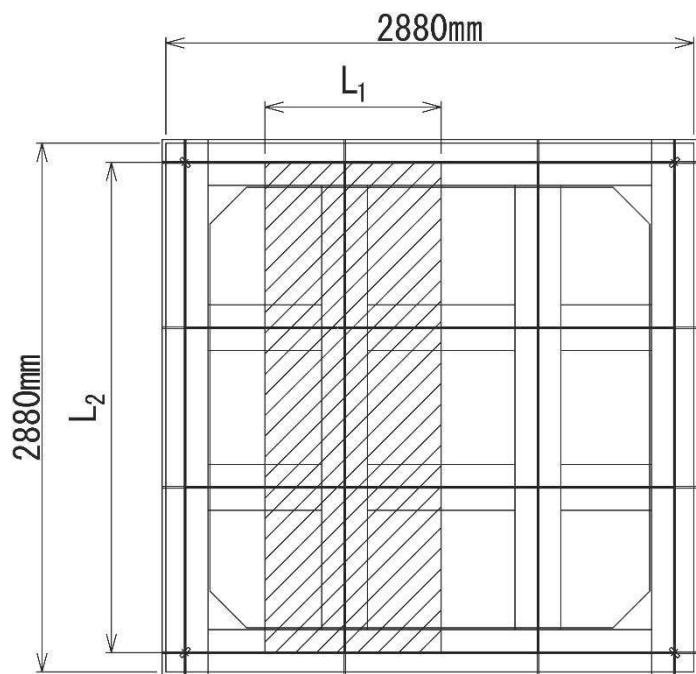


図 5-3 評価の対象とする主桁

5.5.2 スキンプレート

スキンプレートの支持条件は四辺固定とし、図 5-4 に示すとおり、評価上最も厳しい条件となるよう評価を実施する。曲げ応力度及びせん断応力度は「機械工学便覧（日本機械学会、2005 改訂）」より以下の式にて算出する。

(1) 基準地震動 S_s による地震荷重 S_s

$$S_s = (G + P_s) \cdot k_v$$

ここで、 S_s : 基準地震動 S_s による地震荷重 (kN)

G : スキンプレートの固定荷重 (kN)

P_s : 積雪荷重 (kN)

k_v : 基準地震動 S_s の鉛直方向の設計震度

(2) スキンプレートに作用する単位面積当たりの鉛直方向の荷重 W_{ss}

$$W_{ss} = (G + S_s + P_s) / A$$

ここで、 W_{ss} : スキンプレートに作用する単位面積当たりの鉛直方向の等分布荷重 (kN/m^2)

G : スキンプレートの固定荷重 (kN)

S_s : 基準地震動 S_s による地震荷重 (kN)

P_s : 積雪荷重 (kN)

A : 浸水防止蓋の面積 (m^2)

(3) スキンプレートに作用する最大曲げ応力度 σ

スキンプレートに作用する曲げ応力度は「機械工学便覧（日本機械学会、2005 改訂）」に基づき次式により算出する。

$$\sigma = \beta_2 \cdot W_{ss} \cdot L_4^2 \cdot 10^{-3} / t^2$$

ここで、 σ : スキンプレートに作用する最大曲げ応力度 (N/mm^2)

β_2 : スキンプレートの辺長比に応じた係数

W_{ss} : スキンプレートに作用する単位面積当たりの鉛直方向の等分布荷重 (kN/m^2)

L_4 : スキンプレートの支持短辺長さ (mm)

t : スキンプレートの厚さ (mm)

(4) スキンプレートに作用する最大せん断応力度 τ

スキンプレートに作用するせん断応力度は「機械工学便覧（日本機械学会、2005 改訂）」に基づき次式により算出する。

$$\tau = W_{ss} \cdot L_3 \cdot L_4 \cdot 10^{-3} / (t \cdot (L_3 + L_4) \cdot 2)$$

ここで, τ : スキンプレートに作用する最大せん断応力度 (N/mm²)

W_{ss} : スキンプレートに作用する単位面積当たりの鉛直方向の等分布荷重 (kN/m²)

L_3 : スキンプレートの支持長辺長さ (mm)

L_4 : スキンプレートの支持短辺長さ (mm)

t : スキンプレートの厚さ (mm)

(5) スキンプレートに作用する組合せ応力度

スキンプレートに作用する曲げ応力度、せん断応力度を算定し、スキンプレートの短期許容応力度以下であることを確認する。また、スキンプレートに生じる曲げ応力度とせん断応力度から、組合せ応力度を「鋼構造設計規準－許容応力度設計法－（日本建築学会、2005 改定）」に基づく次式により算定し、短期許容応力度以下であることを確認する。

$$x = \sqrt{\sigma^2 + 3 \cdot \tau^2}$$

ここで, x : 組合せ応力度 (N/mm²)

σ : 曲げ応力度 (N/mm²)

τ : せん断応力度 (N/mm²)

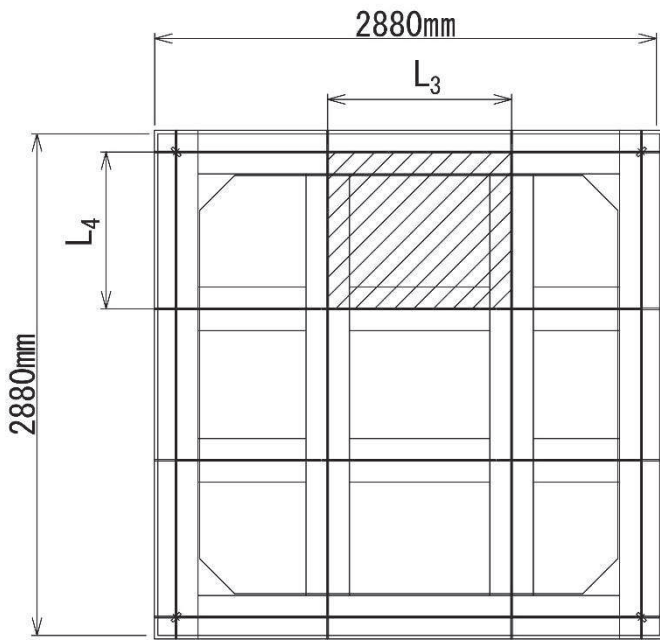


図 5-4 評価の対象とするスキンプレート

5.5.3 固定ボルト

- (1) 基準地震動 S_s による水平方向の地震荷重 S_s

$$S_s = (G + P_s) \cdot k_H$$

ここで, S_s : 基準地震動 S_s による水平方向の地震荷重 (kN)

G : 浸水防止蓋の固定荷重 (kN)

P_s : 積雪荷重 (kN)

k_H : 基準地震動 S_s の水平方向の設計震度

- (2) 基準地震動 S_s による鉛直方向の地震荷重 S_s

$$S_s = (G + P_s) \cdot k_V$$

ここで, S_s : 基準地震動 S_s による鉛直方向の地震荷重 (kN)

G : 浸水防止蓋の固定荷重 (kN)

P_s : 積雪荷重 (kN)

k_V : 基準地震動 S_s の鉛直方向の設計震度

- (3) 固定ボルトに作用する引張力 T_d

$$T_d = S_s / N$$

ここで, T_d : 固定ボルト 1 本当りに作用する引張力 (kN)

S_s : 基準地震動 S_s による鉛直方向の地震荷重 (kN)

N : 浸水防止蓋に取り付く固定ボルトの本数

- (4) 固定ボルトに作用するせん断力 q

$$q = S_s / N$$

ここで, q : 固定ボルト 1 本当りに作用するせん断力 (kN)

S_s : 基準地震動 S_s による水平方向の地震荷重 (kN)

N : 浸水防止蓋に取り付く固定ボルトの本数

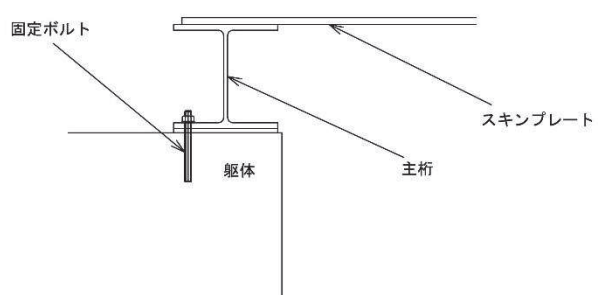
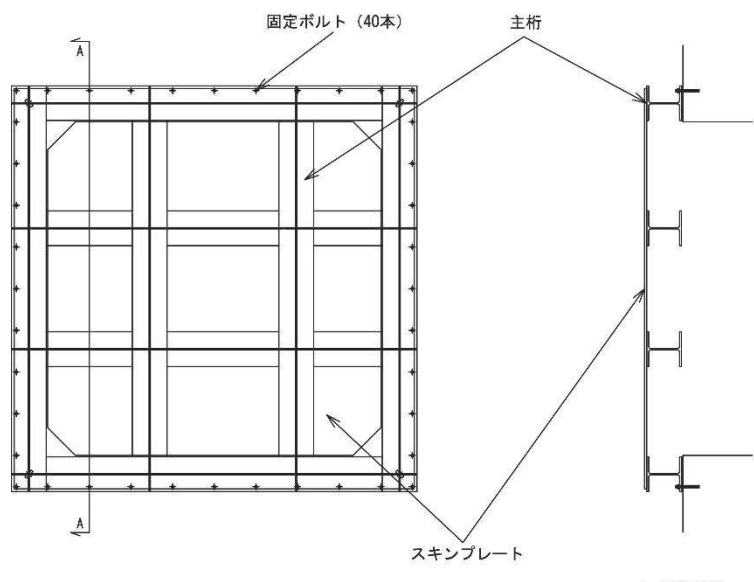


図 5-5 固定ボルトの納まり

5.6 評価条件

浸水防止蓋の耐震評価に用いる入力値を表 5-8 に示す。

表 5-8 浸水防止蓋の耐震評価に用いる入力値

評価対象 部位	記号	単位	定義	数値
主桁	G	kN	主桁とスキンプレートの固定荷重	23.93
	P _s	kN	積雪荷重	2.50
	A	m ²	浸水防止蓋の面積	8.29
	L ₁	mm	主桁の負担幅	963
	L ₂	mm	主桁全長	2670
	A _s	mm ²	主桁のせん断断面積	1998
	Z	mm ³	主桁の断面係数	8.46 × 10 ⁵
スキン プレート	G	kN	スキンプレートの固定荷重	10.20
	P _s	kN	積雪荷重	2.50
	A	m ²	浸水防止蓋の面積	8.29
	L ₃	mm	スキンプレートの支持長辺長さ	1055
	L ₄	mm	スキンプレートの支持短辺長さ	900
	β ₂	—	スキンプレートの辺長比に応じた係数	0.4
	t	mm	スキンプレートの厚さ	16
固定 ボルト	G	kN	主桁とスキンプレートの固定荷重	23.93
	P _s	kN	積雪荷重	2.50
	N	本	浸水防止蓋に取り付く固定ボルトの本数	40

6. 評価結果

浸水防止蓋の耐震評価結果を表 6-1 に示す。各部材の断面検定を行った結果、すべての部材において発生応力又は応力度が許容限界以下であることを確認した。

表 6-1 浸水防止蓋の耐震評価結果

評価対象部位		発生値 (応力度又は荷重)		許容限界		検定値
主桁	曲げ	11	N/mm ²	325	N/mm ²	0.04<1.0
	せん断	7	N/mm ²	188	N/mm ²	0.04<1.0
	組合せ	17	N/mm ²	325	N/mm ²	0.06<1.0
スキンプレート	曲げ	7	N/mm ²	325	N/mm ²	0.03<1.0
	せん断	1	N/mm ²	188	N/mm ²	0.01<1.0
	組合せ	8	N/mm ²	325	N/mm ²	0.03<1.0
固定ボルト	引張	1.5	kN	37.7	kN	0.04<1.0
	せん断	3.3	kN	32.9	kN	0.11<1.0
	組合せ	—		—		0.02<1.0

- 6. 浸水防護施設に関する補足説明
- 6.5 浸水防止設備に関する補足説明
- 6.5.3 浸水防止蓋に関する補足説明
- 6.5.3.2 浸水防止蓋（原子炉機器冷却海水配管ダクト）の強度計算書に関する補足説明

目 次

1.	概要	1
2.	一般事項	2
2.1	配置概要	2
2.2	構造計画	4
2.3	評価方針	5
2.4	適用基準	6
2.5	記号の説明	7
3.	評価対象部位	8
4.	構造強度評価	9
4.1	構造強度評価方法	9
4.2	荷重及び荷重の組合せ	9
4.3	許容限界	15
4.4	評価方法	19
4.5	評価条件	27
5.	評価結果	28

1. 概要

本資料は、添付書類「VI-3-別添3-1 津波への配慮が必要な施設の強度計算の方針」にて設定している構造強度に基づき、浸水防止設備のうち浸水防止蓋（原子炉機器冷却海水配管ダクト）（以下「浸水防止蓋」という。）が地震後の繰返しの襲来を想定した津波荷重及び余震を考慮した荷重に対して、主要な構造部材が十分な構造強度を有していることを説明するものである。

なお、浸水防止蓋の強度評価においては、平成23年3月11日に発生した東北地方太平洋沖地震による地殻変動に伴い、牡鹿半島全体で約1mの地盤沈下が発生したことを考慮する。

2. 一般事項

2.1 配置概要

浸水防止蓋は、原子炉機器冷却海水配管ダクト上部からの浸水を防止するために設置する。

浸水防止蓋の設置位置図を図 2-1 に、浸水対策図を図 2-2 に示す。

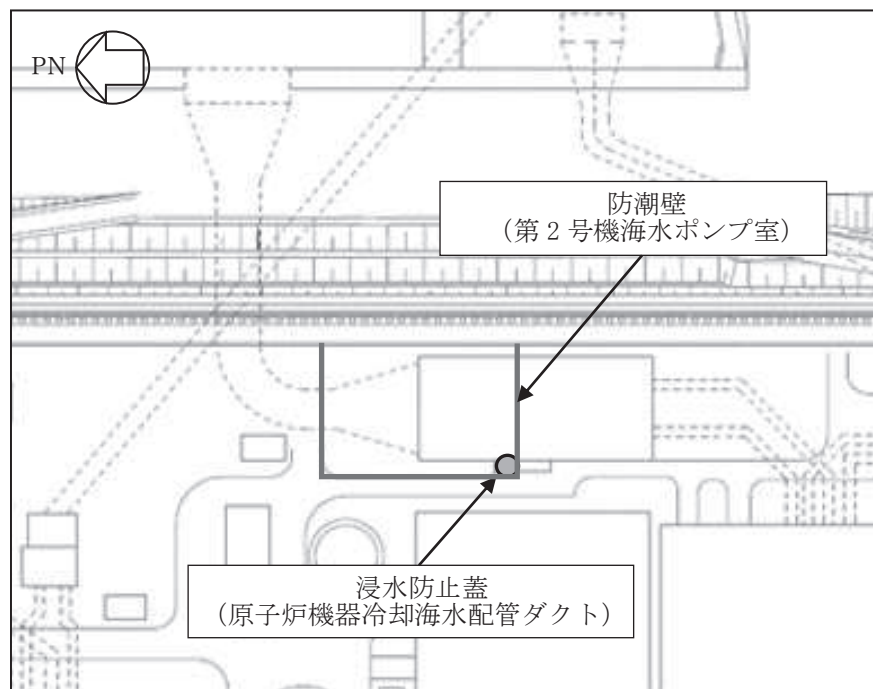


図 2-1 浸水防止蓋の設置位置図

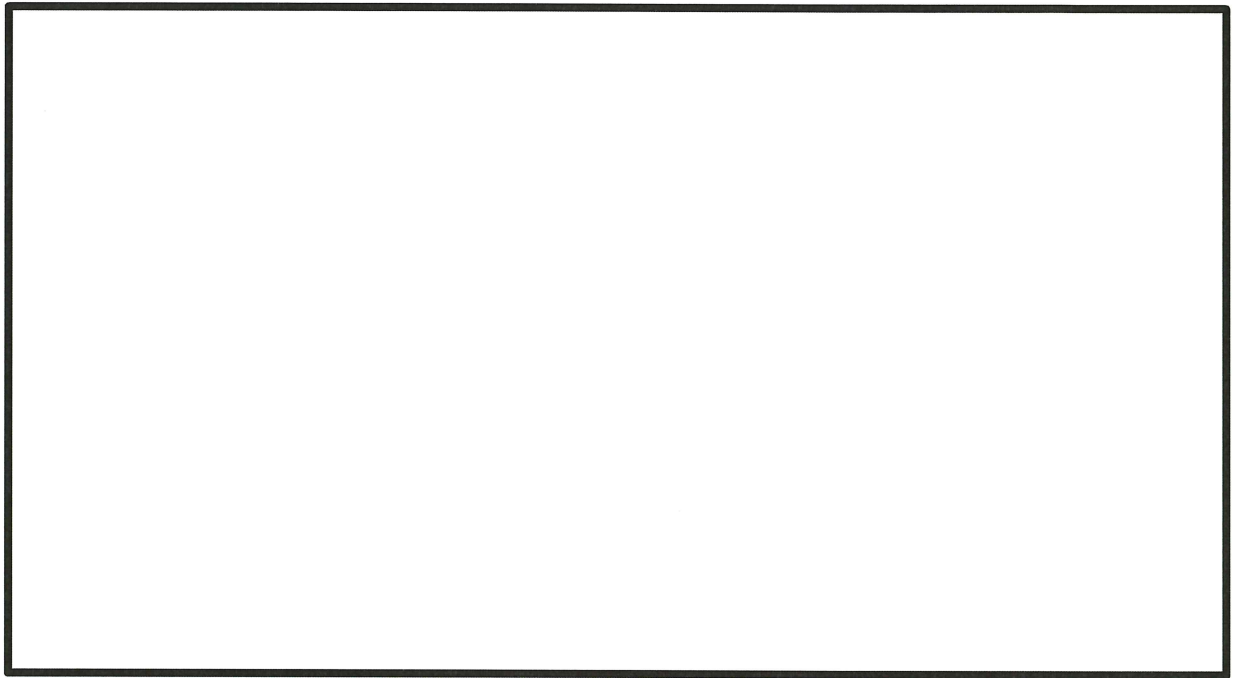


図 2-2 (1) 第 2 号機 海水ポンプ室 浸水対策配置図（平面図）

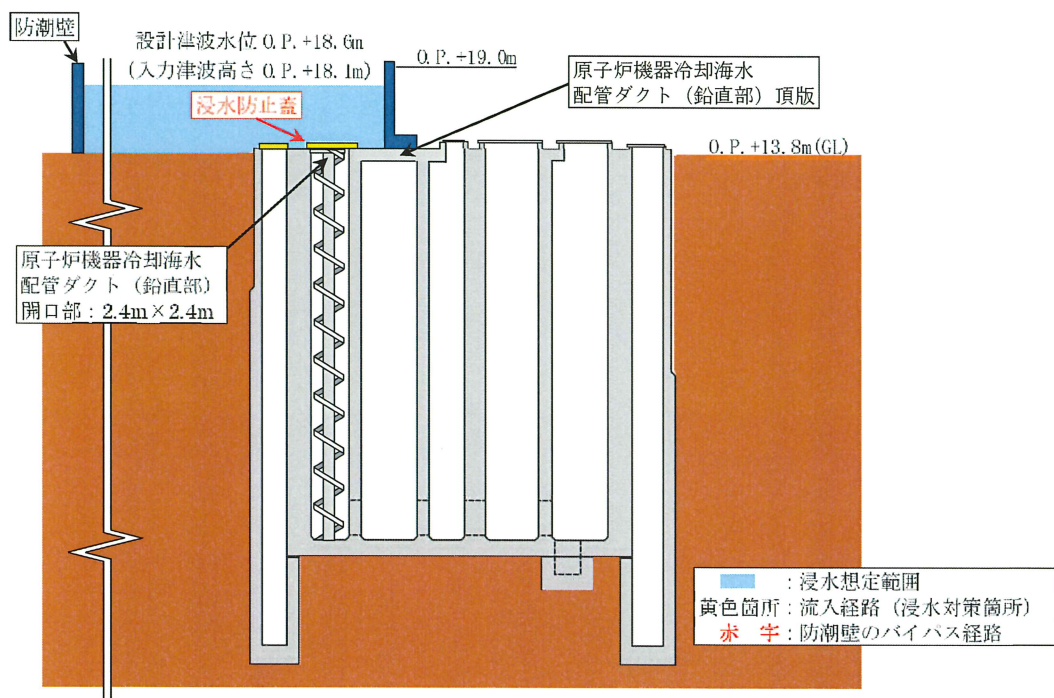


図 2-2 (2) 第 2 号機 海水ポンプ室 浸水対策配置図 (B-B 断面図)

枠囲みの内容は防護上の観点から公開できません。

2.2 構造計画

浸水防止蓋の構造は、長方形のスキンプレートに主桁（H型鋼）を組合せた構造とする。

浸水防止蓋は、原子炉機器冷却海水配管ダクト上部に固定ボルトにて固定する。浸水防止蓋の構造計画を表 2-1 に示す。

表 2-1 浸水防止蓋の構造計画

計画の概要		構造概略図
基礎・支持構造	主体構造	
原子炉機器冷却海水配管ダクト上部に固定ボルトで固定する。	浸水防止蓋及び固定ボルトにより構成する。	

2.3 評価方針

浸水防止蓋の強度評価は、添付書類「VI-3-別添 3-1 津波への配慮が必要な施設の強度計算の方針」にて設定した荷重及び荷重の組合せ並びに許容限界に基づき、「2.2 構造計画」に示す浸水防止蓋の構造を踏まえ、「3. 評価対象部位」にて設定する評価部位において、「4.4 評価方法」で算出した応力等が許容限界内に収まることを、「4. 構造強度評価」に示す方法にて確認する。強度評価の確認結果を「5. 評価結果」にて確認する。

強度評価フローを図 2-3 に示す。

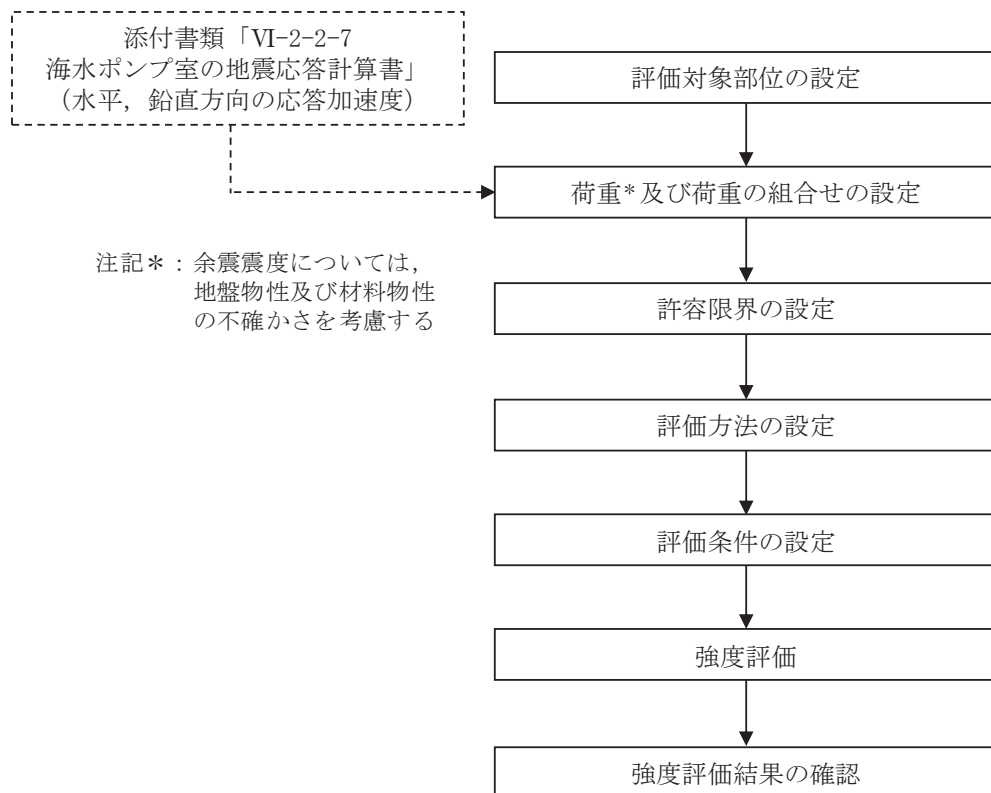


図 2-3 強度評価フロー

2.4 適用基準

適用する規格、基準等を以下に示す。

- (1) 鋼構造設計規準－許容応力度設計法－（日本建築学会、2005 改定）
- (2) 各種合成構造設計指針・同解説（日本建築学会、2010 改定）
- (3) 機械工学便覧（日本機械学会、2005 改訂）

2.5 記号の説明

浸水防止蓋の強度評価に用いる記号を表 2-2 にそれぞれ示す。

表 2-2 浸水防止蓋の強度評価に用いる記号

記号	単位	定義
S d	kN	弾性設計用地震動 S d - D 2 による余震荷重
α_H	—	弾性設計用地震動 S d - D 2 の水平方向の余震震度
α_V	—	弾性設計用地震動 S d - D 2 の鉛直方向の余震震度
G	kN	固定荷重
P h	kN	浸水津波荷重
ρ_o	t/m ³	水の密度
g	m/s ²	重力加速度
h ₁	0. P. m	設計津波水位
h ₂	0. P. m	浸水防止蓋の設置高さ
A	m ²	浸水防止蓋の面積
P s	kN	積雪荷重
W s	N/m ²	1 cm当りの積雪荷重
d s	cm	積雪高さ
W s s	kN/m ²	単位面積当りの等分布荷重
W s s'	kN/m	単位長さ当りの等分布荷重
τ	N/mm ²	最大せん断応力度
σ	N/mm ²	最大曲げ応力度
Q	kN	最大せん断力
M	kN・m	最大曲げモーメント
x	N/mm ²	組合せ応力度
A s	mm ²	せん断面積
Z	mm ³	断面係数
L ₁	mm	主桁の負担幅
L ₂	mm	主桁全長
L ₃	mm	スキンプレートの支持長辺長さ
L ₄	mm	スキンプレートの支持短辺長さ
β_2	—	スキンプレートの辺長比に応じた係数
t	mm	スキンプレートの厚さ
N	本	浸水防止蓋に取り付く固定ボルトの本数
T d	kN	固定ボルト 1 本当りに作用する引張力
q	kN	固定ボルト 1 本当りに作用するせん断力

3. 評価対象部位

浸水防止蓋の評価対象部位は、「2.2 構造計画」に設定している構造を踏まえて、津波荷重及び余震荷重の作用方向及び伝達過程を考慮し設定する。

浸水防止蓋に作用する津波荷重及び余震荷重は、浸水防止蓋のスキンプレート、主桁に伝わり、浸水防止蓋を固定する固定ボルトを介して軸体に伝達されることから、スキンプレート、主桁及び固定ボルトを評価対象部位として設定する。浸水防止蓋の評価対象部位を、図3-1に示す。

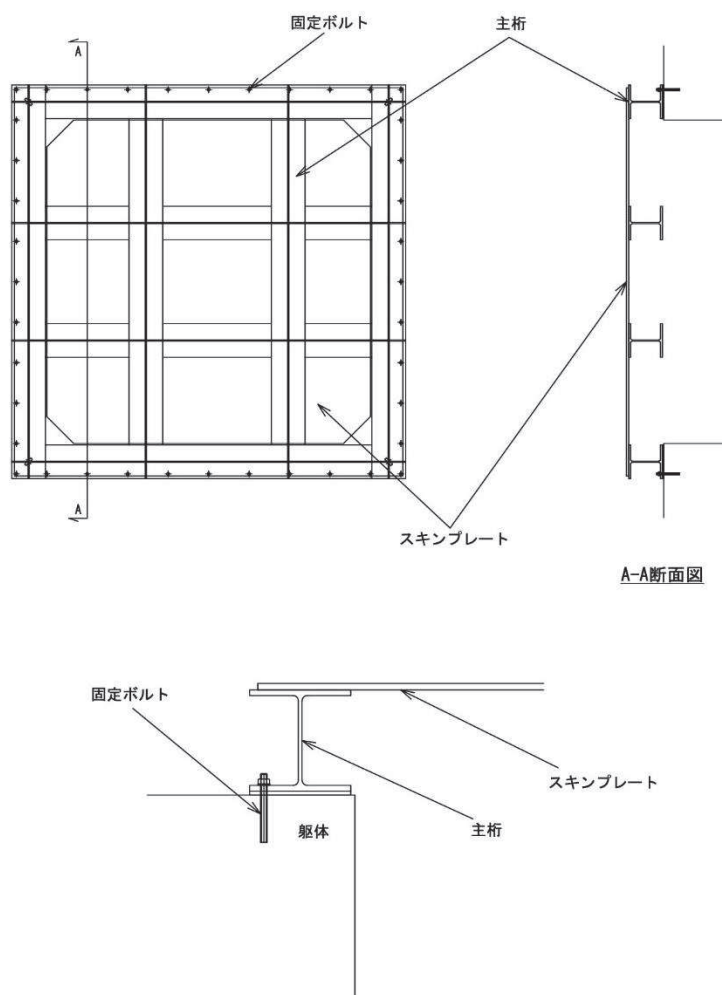


図 3-1 浸水防止蓋の評価対象部位

4. 構造強度評価

4.1 構造強度評価方法

浸水防止蓋の強度評価は、添付書類「VI-3-別添 3-1 津波への配慮が必要な施設の強度計算の方針」にて設定している荷重及び荷重の組合せ並びに許容限界を踏まえて、「3. 評価対象部位」にて設定する評価対象部位に作用する応力等が「4.3 許容限界」にて示す許容限界以下であることを確認する。

4.2 荷重及び荷重の組合せ

4.2.1 荷重の組合せ

浸水防止蓋の評価に用いる荷重の組合せを下記に示す。

$$G + P_h + S_d + P_s$$

ここで、 G : 固定荷重 (kN)

P_h : 浸水津波荷重 (kN)

S_d : 余震荷重 (kN)

P_s : 積雪荷重 (kN)

4.2.2 荷重の設定

強度評価に用いる荷重は以下のとおりとする。

(1) 固定荷重(D)

固定荷重として、浸水防止蓋を構成する部材の自重を考慮する。

(2) 浸水津波荷重(P_h)

浸水津波荷重は、添付書類「VI-3-別添 3-1 津波への配慮が必要な施設の強度計算の方針」に示すとおり、津波高さ及び浸水防止蓋の設置高さを考慮した静水圧を次式により算出する。

$$P_h = \rho_0 \cdot g \cdot (h_1 - h_2) \cdot A$$

ここで、 ρ_0 : 水の密度 1.03 (t/m³)

g : 重力加速度 9.80665 (m/s²)

h_1 : 設計津波水位 (O.P. m)

h_2 : 浸水防止蓋の設置高さ (O.P. m)

A : 浸水防止蓋の面積 (m²)

(3) 積雪荷重(P_s)

積雪荷重として、添付書類「VI-1-1-2 発電用原子炉施設の自然現象等による損傷の防止に関する説明書」のうち、添付書類「VI-1-1-2-1-1 発電用原子炉施設に対する自然現象等による損傷の防止に関する基本方針」に基づき 43cm の積雪量を想定し、平均的な積雪荷重を与えるための係数 0.35 を考慮する。

積雪荷重による質量は以下の式より算出する。

$$P_s = 0.35 \cdot W_s \cdot d_s \cdot A \cdot 10^{-3}$$

ここで、 P_s : 積雪荷重 (kN)

W_s : 1cm 当りの積雪荷重 20 (N/m²)

d_s : 積雪高さ 43 (cm)

A : 浸水防止蓋の面積 (m²)

(4) 余震荷重(S_d)

余震荷重として、添付書類「VI-3-別添 3-1 津波への配慮が必要な施設の強度計算の方針」に示すとおり、弹性設計用地震動 S_d-D 2 に伴う地震力及び動水圧荷重を考慮するものとし、水平方向については、弹性設計用地震動 S_d-D 2 に伴う地震力を考慮する。鉛直方向については、弹性設計用地震動 S_d-D 2 に伴う地震力と動水圧荷重を考慮する。

浸水防止蓋を設置する原子炉機器冷却海水配管ダクト（鉛直部）は、規模及び重量共に大きい海水ポンプ室に懸架されており、海水ポンプ室と一体となって挙動することから、浸水防止蓋の強度評価に用いる余震震度は、海水ポンプ室の地盤物性及び材料物性の不確かさを考慮したものとして添付書類「VI-2-2-7 海水ポンプ室の地震応答計算書」の地震応答解析結果を用いる。地震応答解析ケースを表 4-1 に示す。強度評価に用いる応答加速度は、原子炉機器冷却海水配管ダクト（鉛直部）が接する図 4-1 に示すスクリーンエリア及び補機ポンプエリアのうち最大加速度が大きい方を用いる。

強度評価で用いる海水ポンプ室の最大加速度分布図を図 4-2 に、最大加速度を表 4-2 に、余震震度を表 4-3 に示す。

なお、地震力は、浸水防止蓋の固定荷重、浸水津波荷重及び積雪荷重に余震震度を乗じた次式により算出する。

$$S_d = (G + P_h + P_s) \cdot \alpha_H$$

$$S_d = (G + P_h + P_s) \cdot \alpha_v$$

ここで、 S_d : 弹性設計用地震動 S_d-D 2 による余震荷重 (kN)

G : 固定荷重 (kN)

P_h : 浸水津波荷重 (kN)

P_s : 積雪荷重 (kN)

α_H : 弹性設計用地震動 S_d-D 2 による水平方向の余震震度

α_v : 弹性設計用地震動 S_d-D 2 による鉛直方向の余震震度

表 4-1 海水ポンプ室の地震応答解析ケース

解析ケース	材料物性 (コンクリート) (E_0 : ヤング係数)	地盤物性	
		盛土, 旧表土, 改良地盤, D 級岩盤 (G_0 : 初期せん断弾性係数)	C_L 級岩盤, C_M 級岩盤, C_H 級岩盤, B 級岩盤 (G_d : 動せん断弾性係数)
ケース① (基本ケース)	設計基準強度	平均値	平均値
ケース②	設計基準強度	平均値+1 σ	平均値
ケース③	設計基準強度	平均値-1 σ	平均値
ケース④	実強度に基づく 圧縮強度*	平均値	平均値

注記* : 既設構造物のコア採取による圧縮強度試験の結果を使用する。

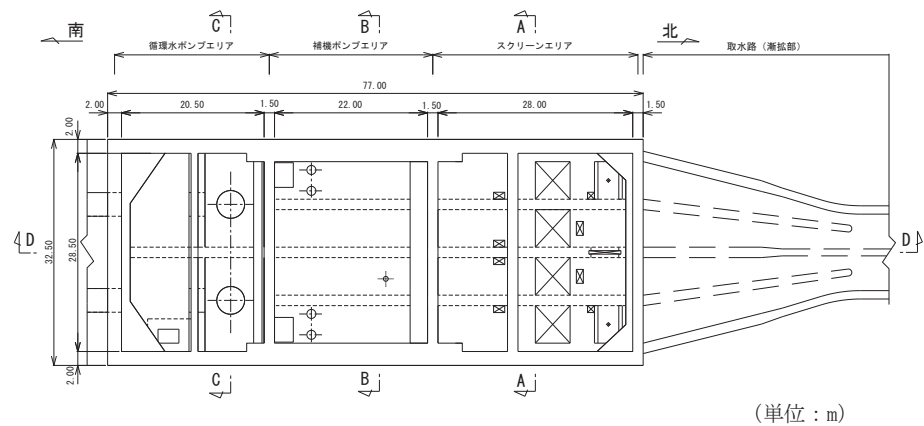


図 4-1 (1) 海水ポンプ室平面図

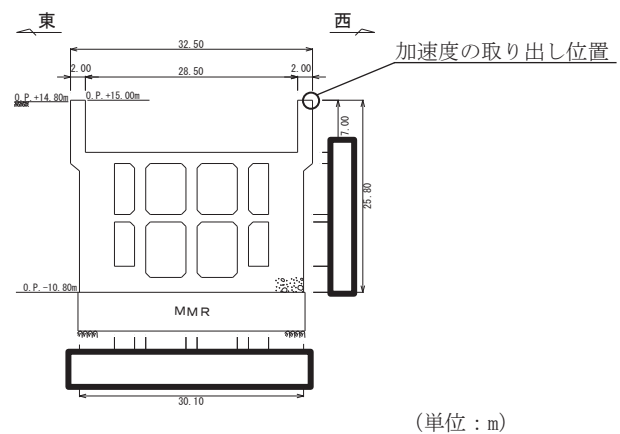


図 4-1 (2) 海水ポンプ室断面図 (スクリーンエリア) (A-A 断面)

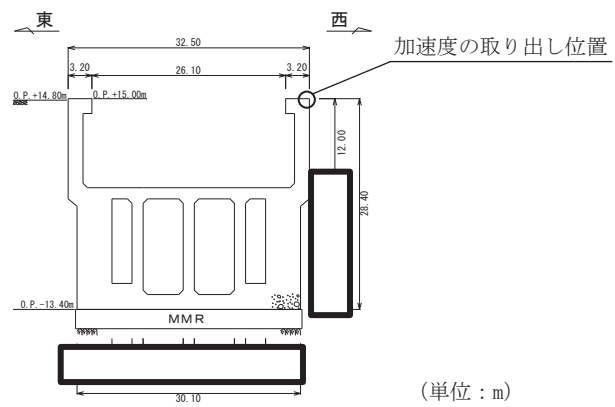
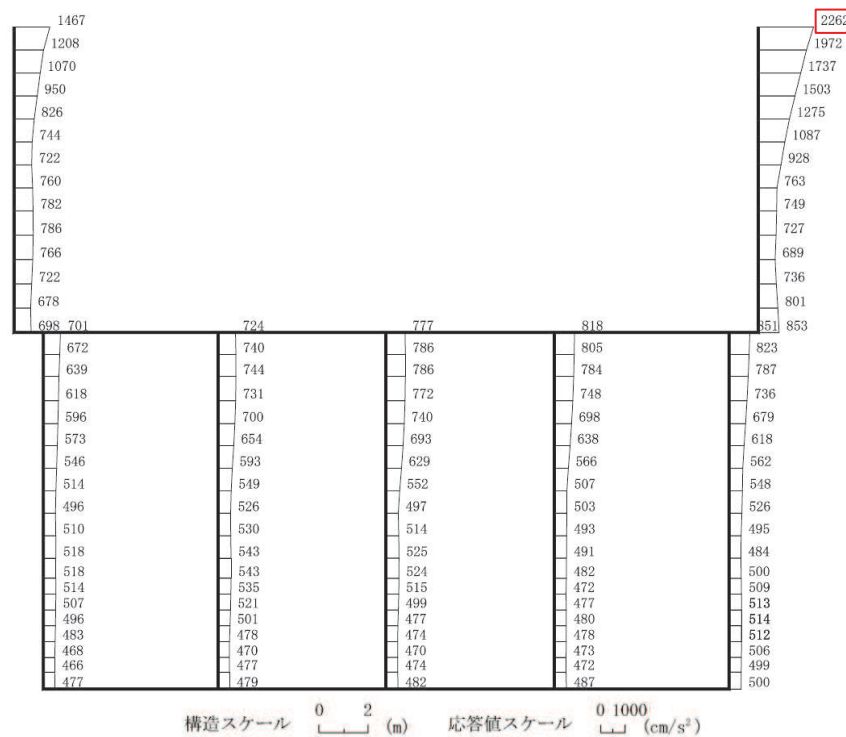


図 4-1 (3) 海水ポンプ室断面図 (補機ポンプエリア) (B-B 断面)

枠囲みの内容は防護上の観点から公開できません。

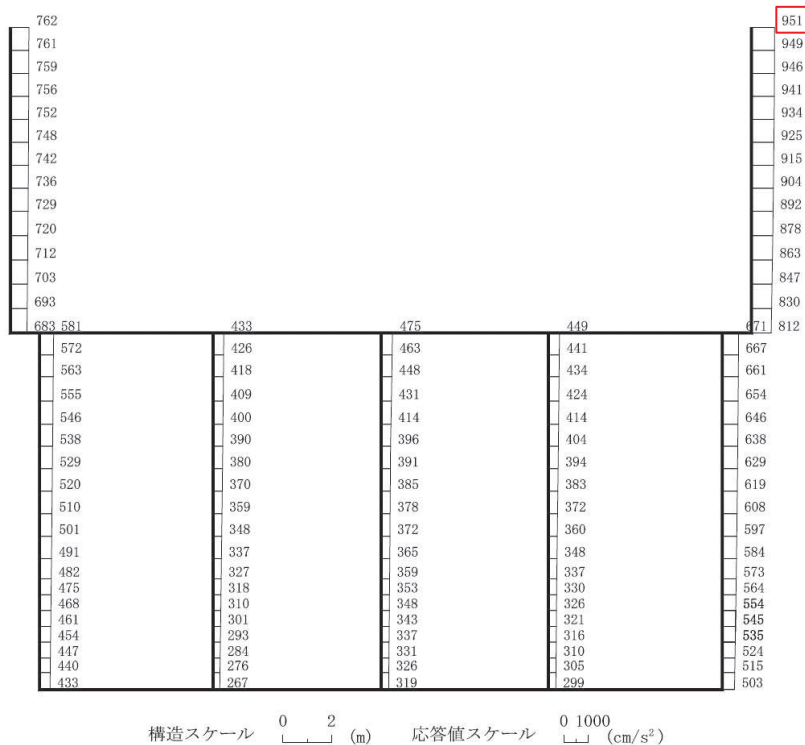
□ : 強度評価に用いる最大加速度



(補機ポンプエリア (東西方向), S d-D 2 (++) , 解析ケース③)

図 4-2 (1) 最大加速度分布図 (水平方向)

□ : 強度評価に用いる最大加速度



(補機ポンプエリア (東西方向), S d-D 2 (++) , 解析ケース②)

図 4-2 (2) 最大加速度分布図 (鉛直方向)

表 4-2 (1) 最大加速度 (水平方向)

地震時荷重算出断面	地震動	位相	解析ケース	最大加速度 (cm/s ²)
補機ポンプエリア (東西方向)	S d - D 2	++	ケース③	2262

表 4-2 (2) 最大加速度 (鉛直方向)

地震時荷重算出断面	地震動	位相	解析ケース	最大加速度 (cm/s ²)
補機ポンプエリア (東西方向)	S d - D 2	++	ケース②	951

表 4-3 余震震度

設置場所	床面高さ (m)	弾性設計用地震動 S d - D 2 の余震震度	
		水平方向 α_H	鉛直方向 α_V
原子炉機器冷却 海水配管ダクト	0. P. 14.0	2.31	0.97

4.3 許容限界

浸水防止蓋の許容限界は、「3. 評価対象部位」にて設定した部位に対し、添付書類「VI-3-別添 3-1 津波への配慮が必要な施設の強度計算の方針」にて設定している許容限界を踏まえて設定する。

4.3.1 使用材料

浸水防止蓋を構成するスキンプレート、主桁、固定ボルトの使用材料を表 4-4 に示す。

表 4-4 使用材料

評価対象部位	材質	仕様
スキンプレート	SM490Y	$t = 16$ (mm)
主桁	SM490Y	H-250×250×9×14 (mm)
固定ボルト	SM490Y	M16

4.3.2 許容限界

(1) スキンプレート, 主桁

鋼材の許容応力度は、「鋼構造設計規準－許容応力度設計法－（日本建築学会, 2005 改定）」に基づき表 4-5 の値とする。

表 4-5 鋼材の短期許容応力度

材質	短期許容応力度 (N/mm ²)	
	曲げ	せん断
SM490Y	325	188

(2) 固定ボルト

固定ボルトの許容荷重は、「3. 評価対象部位」に記載した固定ボルトに作用する荷重の向きを踏まえて、「各種合成構造設計指針・同解説（日本建築学会, 2010 改定）」に基づき算定する。

固定ボルトは躯体に埋め込まれていることから、固定ボルトが引張力を受ける場合においては、固定ボルトの降伏により決まる許容荷重 (P_{a1})、付着力により決まる許容荷重 (P_{a3}) を比較して、いずれか小さい値を採用する。また、固定ボルトがせん断力を受ける場合においては、固定ボルトのせん断強度により決まる許容荷重 (q_{a1})、定着したコンクリート躯体の支圧強度により決まる許容荷重 (q_{a2}) 及びコーン状破壊により決まる許容荷重 (q_{a3}) を比較して、いずれか小さい値を採用する。

津波荷重及び余震荷重を考慮する場合の固定ボルトの許容荷重の設定に用いる入力値を表 4-6 に、許容荷重を表 4-7 に示す。

引張力を受ける場合

$$P_{a1} = \Phi_1 \cdot s \sigma_{pa} \cdot s_c a$$

$$P_{a3} = \Phi_3 \cdot \tau_a \cdot \pi \cdot d_a \cdot l_{ce}$$

ここで、 P_{a1} : 固定ボルトの降伏により決まる場合の固定ボルト 1 本当たりの許容引張力 (N)

P_{a3} : 固定ボルトの付着力により決まる場合の固定ボルト 1 本当たりの許容引張力 (N)

Φ_1 : 低減係数 (短期荷重用)

Φ_3 : 低減係数 (短期荷重用)

$s \sigma_{pa}$: 固定ボルトの引張強度 ($= s \sigma_y$) (N/mm²)

$s \sigma_y$: 固定ボルトの規格降伏点強度 (N/mm²)

$s_c a$: 固定ボルトの断面積 (mm²)

d_a : 固定ボルトの径 (mm)

l_{ce} : 固定ボルトの強度算定用埋込み長さ ($= l_e - 2 d_a$) (mm)

τ_a : ヘリあき及び固定ボルトのピッチによる付着強度の低減係数

せん断力を受ける場合

$$q_{a1} = \Phi_1 \cdot s \sigma_{qa} \cdot s_c a$$

$$q_{a2} = \Phi_2 \cdot c \sigma_{qa} \cdot s_c a$$

$$q_{a3} = \Phi_2 \cdot c \sigma_t \cdot A_{qc}$$

ここで, q_{a1} : 固定ボルトのせん断強度により決まる場合の固定ボルト 1 本当たりの許容せん断力 (N)

q_{a2} : 定着した軸体の支圧強度により決まる場合の固定ボルト 1 本当たりの許容せん断力 (N)

q_{a3} : 定着した軸体のコーン状破壊により決まる場合の固定ボルト 1 本当たりの許容せん断力 (N)

Φ_1 : 低減係数 (短期荷重用)

Φ_2 : 低減係数 (短期荷重用)

$s \sigma_{qa}$: 固定ボルトのせん断強度 ($=0.7 \cdot s \sigma_y$) (N/mm²)

$s \sigma_y$: 固定ボルトの規格降伏点強度 (N/mm²)

$s_c a$: 固定ボルトの断面積 (mm²)

$c \sigma_{qa}$: コンクリートの支圧強度 (N/mm²) ($=0.5 \sqrt{F_c \cdot E_c}$)

$c \sigma_t$: コーン状破壊に対するコンクリートの引張強度 (N/mm²)

$$(=0.31 \sqrt{F_c})$$

F_c : コンクリートの設計基準強度 (N/mm²)

E_c : コンクリートのヤング係数 (N/mm²)

A_{qc} : せん断力に対するコーン状破壊面の有効投影面積 (mm²)

表 4-6 固定ボルトの許容荷重の設定に用いる入力値

記号	単位	定義	数値
Φ_1	—	低減係数（短期荷重用）	1.0
Φ_2	—	低減係数（短期荷重用）	2/3
Φ_3	—	低減係数（短期荷重用）	2/3
$s \sigma_{pa}$	N/mm ²	固定ボルトの引張強度	325
$s \sigma_y$	N/mm ²	固定ボルトの規格降伏点強度	325
$s_c a$	mm ²	固定ボルトの断面積	157
d_a	mm	固定ボルトの径	16
l_{ce}	mm	固定ボルトの強度算定用埋込み長さ	168
τ_a	—	へりあき及び固定ボルトのピッチによる付着強度の低減係数	6.71
$s \sigma_{qa}$	N/mm ²	固定ボルトのせん断強度	227.50
$c \sigma_{qa}$	N/mm ²	コンクリートの支圧強度	346.82
$c \sigma_t$	N/mm ²	コーン状破壊に対するコンクリートの引張強度	1.40
F_c	N/mm ²	コンクリートの設計基準強度	20.5
E_c	N/mm ²	コンクリートのヤング係数	23470
A_{qc}	mm ²	せん断力に対するコーン状破壊面の有効投影面積	35343

表 4-7 津波荷重及び余震荷重を考慮する場合の固定ボルトの短期許容荷重

材質	短期許容荷重 (kN)						
	引張			せん断			
	P _{a1}	P _{a3}	設定値	q _{a1}	q _{a2}	q _{a3}	設定値
SM490Y	51.0	37.7	37.7	35.7	36.3	32.9	32.9

4.4 評価方法

浸水防止蓋を構成する主桁、スキンプレート及び固定ボルトに発生する応力より算定する応力度が、許容限界以下であることを確認する。主桁とスキンプレートについては、評価上最も厳しい条件となる断面で評価を実施する。図4-3、図4-4にそれぞれ評価の対象とする主桁、スキンプレートを示す。また、図4-5に固定ボルトの納まりを示す。

4.4.1 主桁

主桁の支持条件は両端をピン支持とし、図4-3に示すとおり、主桁が荷重を負担する範囲が最も大きくなり、評価上最も厳しい条件となるよう評価を実施する。

(1) 弹性設計用地震動S d-D 2による余震荷重S d

$$S_d = (G + P_h + P_s) \cdot \alpha_v$$

ここで、 S_d : 弹性設計用地震動S d-D 2による余震荷重 (kN)

G : 主桁とスキンプレートの固定荷重 (kN)

P_h : 浸水津波荷重 (kN)

P_s : 積雪荷重 (kN)

α_v : 弹性設計用地震動S d-D 2の鉛直方向の余震震度

(2) 主桁に作用する単位長さ当たりの鉛直方向の等分布荷重W s s'

$$W_{s,s'} = (G + P_h + S_d + P_s) \cdot L_1 \cdot 10^{-3} / A$$

ここで、 $W_{s,s'}$: 主桁に作用する単位長さ当たりの鉛直方向の等分布荷重 (kN/m)

S_d : 弹性設計用地震動S d-D 2による余震荷重 (kN)

G : 主桁とスキンプレートの固定荷重 (kN)

P_h : 浸水津波荷重 (kN)

P_s : 積雪荷重 (kN)

L_1 : 主桁の負担幅 (mm)

A : 浸水防止蓋の面積 (m^2)

(3) 主桁に作用する最大せん断応力度 τ

$$\tau = (Q \cdot 10^3) / A_s$$

τ : 主桁に作用する最大せん断応力度 (N/mm^2)

Q : 主桁に作用する最大せん断力 (kN)

A_s : 主桁のせん断面積 (mm^2)

ここで、 $Q = 1/2 \cdot W_{s,s'} \cdot L_2 \cdot 10^{-3}$

Q : 主桁に作用する最大せん断力 (kN)

$W_{s,s'}$: 主桁に作用する単位長さ当たりの鉛直方向の等分布荷重 (kN/m)

L_2 : 主桁全長 (mm)

(4) 主桁に作用する最大曲げ応力度 σ

$$\sigma = (M \cdot 10^6) / Z$$

σ : 主桁に作用する最大曲げ応力度 (N/mm^2)

M : 主桁に作用する最大曲げモーメント ($kN \cdot m$)

Z : 主桁の断面係数 (mm^3)

$$\text{ここで, } M = 1/8 \cdot W_s s' \cdot (L_2 \cdot 10^{-3})^2$$

M : 主桁に作用する最大曲げモーメント ($kN \cdot m$)

$W_s s'$: 主桁に作用する単位長さ当たりの鉛直方向の等分布荷重 (kN/m)

L_2 : 主桁全長 (mm)

(5) 主桁に作用する組合せ応力度

主桁に作用する曲げ応力度、せん断応力度を算定し、主桁の短期許容応力度以下であることを確認する。また、主桁に生じる曲げ応力度とせん断応力度から、組合せ応力度を「鋼構造設計規準－許容応力度設計法－（日本建築学会、2005 改定）」に基づく次式により算定し、短期許容応力度以下であることを確認する。

$$x = \sqrt{\sigma^2 + 3 \cdot \tau^2}$$

ここで、 x : 組合せ応力度 (N/mm^2)

σ : 曲げ応力度 (N/mm^2)

τ : せん断応力度 (N/mm^2)

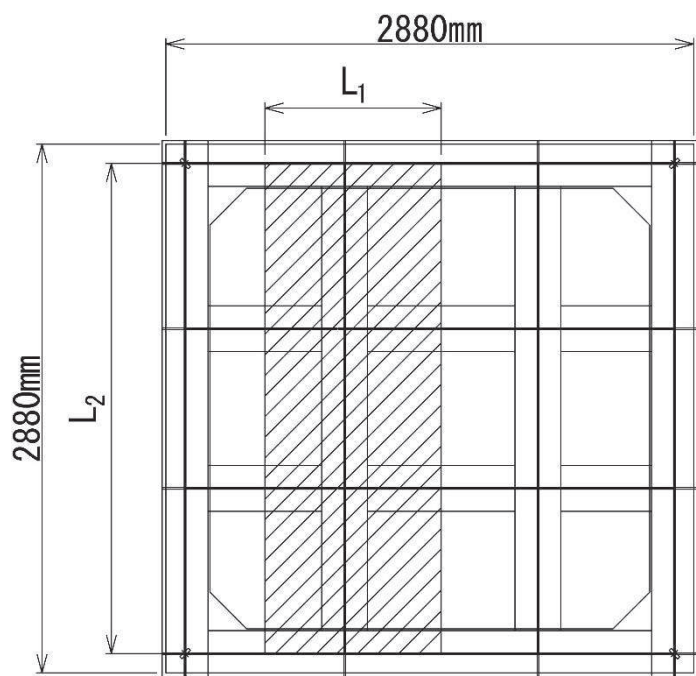


図 4-3 評価の対象とする主桁

4.4.2 スキンプレート

スキンプレートの支持条件は四辺固定とし、図 4-4 に示すとおり、評価上最も厳しい条件となるよう評価を実施する。曲げ応力度及びせん断応力度は「機械工学便覧（日本機械学会、2005 改訂）」より以下の式にて算出する。

(1) 弹性設計用地震動 S d-D 2 による余震荷重 S d

$$S_d = (G + P_h + P_s) \cdot \alpha_v$$

ここで、 S_d : 弹性設計用地震動 S d-D 2 による余震荷重 (kN)

G : スキンプレートの固定荷重 (kN)

P_h : 浸水津波荷重 (kN)

P_s : 積雪荷重 (kN)

α_v : 弹性設計用地震動 S d-D 2 の鉛直方向の余震震度

(2) スキンプレートに作用する単位面積当たりの鉛直方向の荷重 W s s

$$W_{ss} = (G + P_h + S_d + P_s) / A$$

ここで、 W_{ss} : スキンプレートに作用する単位面積当たりの鉛直方向の等分布荷重 (kN/m^2)

G : スキンプレートの固定荷重 (kN)

P_h : 浸水津波荷重 (kN)

S_d : 弹性設計用地震動 S d-D 2 による余震荷重 (kN)

P_s : 積雪荷重 (kN)

A : 浸水防止蓋の面積 (m^2)

(3) スキンプレートに作用する最大曲げ応力度 σ

スキンプレートに作用する曲げ応力度は「機械工学便覧（日本機械学会、2005 改訂）」に基づき次式により算出する。

$$\sigma = \beta_2 \cdot W_{ss} \cdot L_4^2 \cdot 10^{-3} / t^2$$

ここで、 σ : スキンプレートに作用する最大曲げ応力度 (N/mm^2)

β_2 : スキンプレートの辺長比に応じた係数

W_{ss} : スキンプレートに作用する単位面積当たりの鉛直方向の等分布荷重 (kN/m^2)

L_4 : スキンプレートの支持短辺長さ (mm)

t : スキンプレートの厚さ (mm)

(4) スキンプレートに作用する最大せん断応力度 τ

スキンプレートに作用するせん断応力度は「機械工学便覧（日本機械学会、2005 改訂）」に基づき次式により算出する。

$$\tau = W_{ss} \cdot L_3 \cdot L_4 \cdot 10^{-3} / (t \cdot (L_3 + L_4) \cdot 2)$$

ここで, τ : スキンプレートに作用する最大せん断応力度 (N/mm²)

W_{ss} : スキンプレートに作用する単位面積当たりの鉛直方向の等分布荷重 (kN/m²)

L_3 : スキンプレートの支持長辺長さ (mm)

L_4 : スキンプレートの支持短辺長さ (mm)

t : スキンプレートの厚さ (mm)

(5) スキンプレートに作用する組合せ応力度

スキンプレートに作用する曲げ応力度、せん断応力度を算定し、スキンプレートの短期許容応力度以下であることを確認する。また、スキンプレートに生じる曲げ応力度とせん断応力度から、組合せ応力度を「鋼構造設計規準－許容応力度設計法－（日本建築学会、2005 改定）」に基づく次式により算定し、短期許容応力度以下であることを確認する。

$$x = \sqrt{\sigma^2 + 3 \cdot \tau^2}$$

ここで, x : 組合せ応力度 (N/mm²)

σ : 曲げ応力度 (N/mm²)

τ : せん断応力度 (N/mm²)

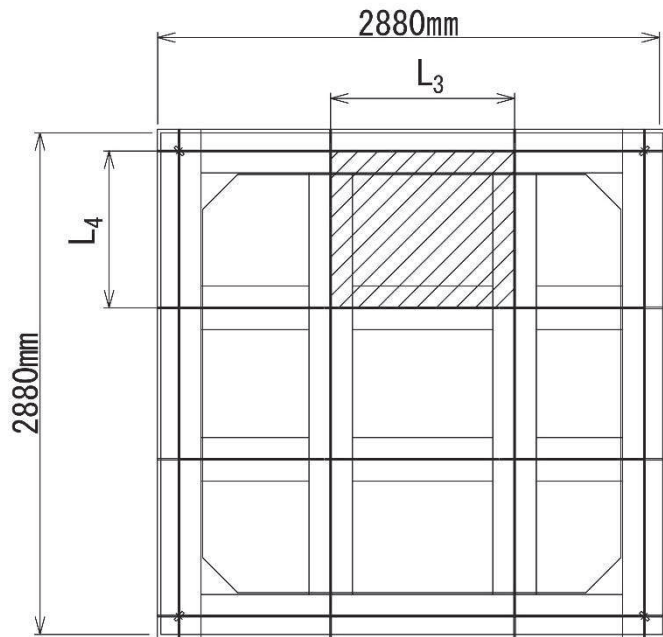


図 4-4 評価の対象とするスキンプレート

4.4.3 固定ボルト

- (1) 弹性設計用地震動 S d - D 2 による水平方向の余震荷重 S d

$$S_d = (G + P_h + P_s) \cdot \alpha_H$$

ここで, S_d : 弹性設計用地震動 S d - D 2 による水平方向の余震荷重 (kN)
 G : 浸水防止蓋の固定荷重 (kN)
 P_h : 浸水津波荷重 (kN)
 P_s : 積雪荷重 (kN)
 α_H : 弹性設計用地震動 S d - D 2 の水平方向の余震震度

- (2) 弹性設計用地震動 S d - D 2 による鉛直方向の余震荷重 S d

$$S_d = (G + P_h + P_s) \cdot \alpha_V$$

ここで, S_d : 弹性設計用地震動 S d - D 2 による鉛直方向の余震荷重 (kN)
 G : 浸水防止蓋の固定荷重 (kN)
 P_h : 浸水津波荷重 (kN)
 P_s : 積雪荷重 (kN)
 α_V : 弹性設計用地震動 S d - D 2 の鉛直方向の余震震度

- (3) 固定ボルトに作用する引張力 T d

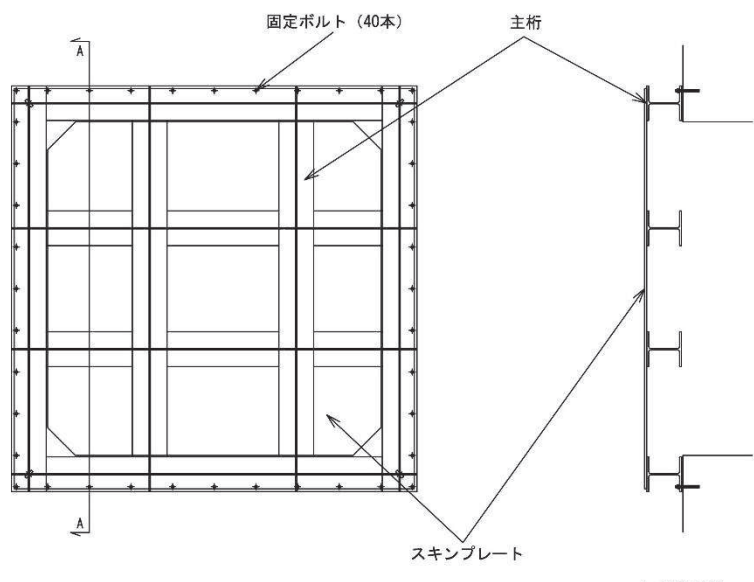
$$T_d = S_d / N$$

ここで, T_d : 固定ボルト 1 本当たりに作用する引張力 (kN)
 S_d : 弹性設計用地震動 S d - D 2 による鉛直方向の余震荷重 (kN)
 N : 浸水防止蓋に取り付く固定ボルトの本数

- (4) 固定ボルトに作用するせん断力 q

$$q = S_d / N$$

ここで, q : 固定ボルト 1 本当たりに作用するせん断力 (kN)
 S_d : 弹性設計用地震動 S d - D 2 による水平方向の余震荷重 (kN)
 N : 浸水防止蓋に取り付く固定ボルトの本数



A-A断面図

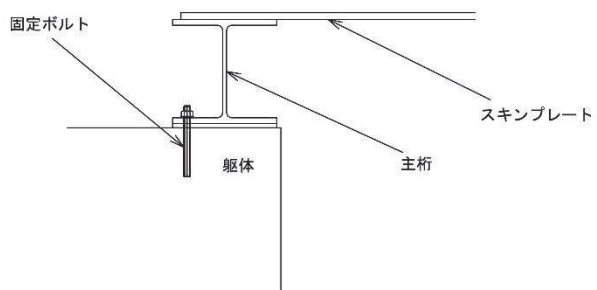


図 4-5 固定ボルトの納まり

4.5 評価条件

浸水防止蓋の強度評価に用いる入力値を表4-8に示す。

表4-8 浸水防止蓋の強度評価に用いる入力値

評価対象 部位	記号	単位	定義	数値
主桁	G	kN	主桁とスキンプレートの固定荷重	23.93
	P _h	kN	浸水津波荷重	385.19
	h ₁	0.P. m	設計津波水位	18.6
	h ₂	0.P. m	浸水防止蓋の設置高さ	14.0
	P _s	kN	積雪荷重	2.50
	A	m ²	浸水防止蓋の面積	8.29
	L ₁	mm	主桁の負担幅	963
	L ₂	mm	主桁全長	2670
	A _s	mm ²	主桁のせん断断面積	1998
	Z	mm ³	主桁の断面係数	8.46×10 ⁵
スキン プレート	G	kN	スキンプレートの固定荷重	10.20
	P _h	kN	浸水津波荷重	385.19
	h ₁	0.P. m	設計津波水位	18.6
	h ₂	0.P. m	浸水防止蓋の設置高さ	14.0
	P _s	kN	積雪荷重	2.50
	A	m ²	浸水防止蓋の面積	8.29
	L ₃	mm	スキンプレートの支持長辺長さ	1055
	L ₄	mm	スキンプレートの支持短辺長さ	900
	β ₂	—	スキンプレートの辺長比に応じた係数	0.4
	t	mm	スキンプレートの厚さ	16
固定 ボルト	G	kN	主桁とスキンプレートの固定荷重	23.93
	P _h	kN	浸水津波荷重	385.19
	h ₁	0.P. m	設計津波水位	18.6
	h ₂	0.P. m	浸水防止蓋の設置高さ	14.0
	P _s	kN	積雪荷重	2.50
	N	本	浸水防止蓋に取り付く固定ボルトの本数	40

5. 評価結果

浸水防止蓋の強度評価結果を表5-1に示す。各部材の断面検定を行った結果、全ての部材において発生応力又は応力度が許容限界以下であることを確認した。

表 5-1 浸水防止蓋の強度評価結果

評価対象部位		発生値 (応力度又は荷重)		許容限界 (応力度又は荷重)		検定値
主桁	曲げ	100	N/mm ²	325	N/mm ²	0.31<1.0
	せん断	63	N/mm ²	188	N/mm ²	0.34<1.0
	組合せ	149	N/mm ²	325	N/mm ²	0.46<1.0
スキンプレート	曲げ	120	N/mm ²	325	N/mm ²	0.37<1.0
	せん断	2	N/mm ²	188	N/mm ²	0.02<1.0
	組合せ	121	N/mm ²	325	N/mm ²	0.38<1.0
固定ボルト	引張	10.0	kN	37.7	kN	0.27<1.0
	せん断	23.8	kN	32.9	kN	0.73<1.0
	組合せ	—		—		0.60<1.0

- 6. 浸水防護施設に関する補足説明
- 6.5 浸水防止設備に関する補足説明
- 6.5.3 浸水防止蓋に関する補足説明
- 6.5.3.3 浸水防止蓋（第3号機補機冷却海水系放水ピット）の耐震性についての計算書に関する補足説明

目 次

1.	概要	1
2.	一般事項	2
2.1	配置概要	2
2.2	構造計画	4
2.3	評価方針	5
2.4	適用規格・基準等	6
2.5	記号の説明	7
3.	評価対象部位	9
3.1	応力評価の評価対象部位	9
3.2	変形性評価の評価対象部位	10
4.	固有値解析	11
4.1	固有値解析のモデルの設定及び解析手法	11
4.2	固有振動数の解析結果	13
5.	耐震評価	17
5.1	応力評価方法	17
5.2	変形性評価方法	37
6.	評価結果	43

[別紙1] 第3号機補機冷却海水系放水ピットの耐震性について

1. 概要

本資料は、添付書類「VI-2-1-9 機能維持の基本方針」にて設定している構造強度に基づき、浸水防止設備のうち浸水防止蓋（第3号機補機冷却海水系放水ピット）（以下「浸水防止蓋」という。）が設計用地震力に対して、主要な構造部材が十分な構造健全性を有することを確認するものである。その耐震評価は浸水防止蓋の固有値解析、応力評価及び変形性評価により行う。

浸水防止蓋は、浸水防止設備としてSクラスの施設に分類される。以下、浸水防止設備としての構造強度評価を示す。

なお、浸水防止蓋の耐震評価においては、平成23年3月11日に発生した東北地方太平洋沖地震による地殻変動に伴い、牡鹿半島全体で約1mの地盤沈下が発生したことを考慮する。

2. 一般事項

2.1 配置概要

浸水防止蓋は、第3号機補機冷却海水系放水ピットの上部から浸水を防止するために設置する。

浸水防止蓋の設置位置図を図2-1、浸水対策図を図2-2に示す。

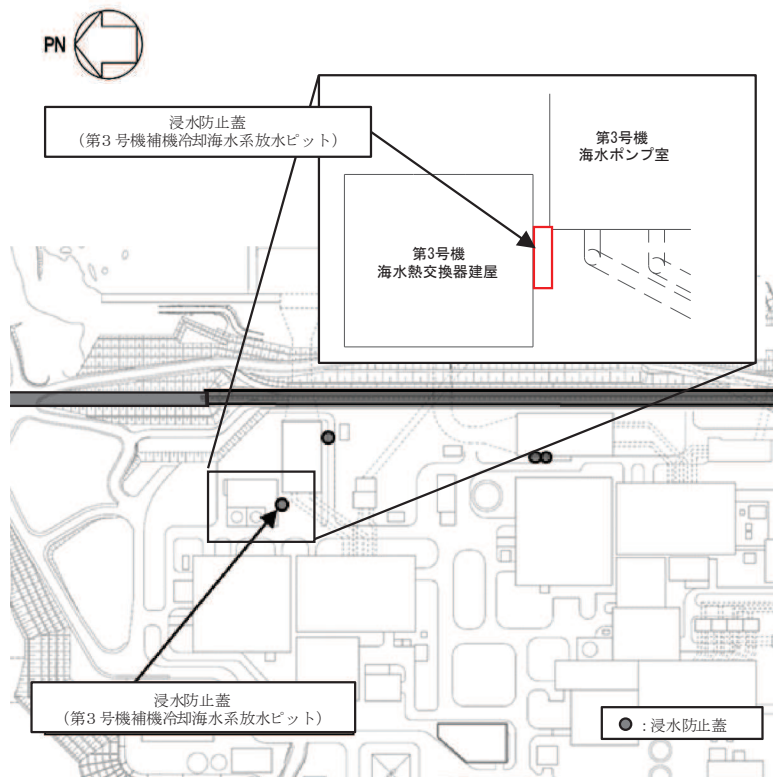


図2-1 浸水防止蓋の設置位置図

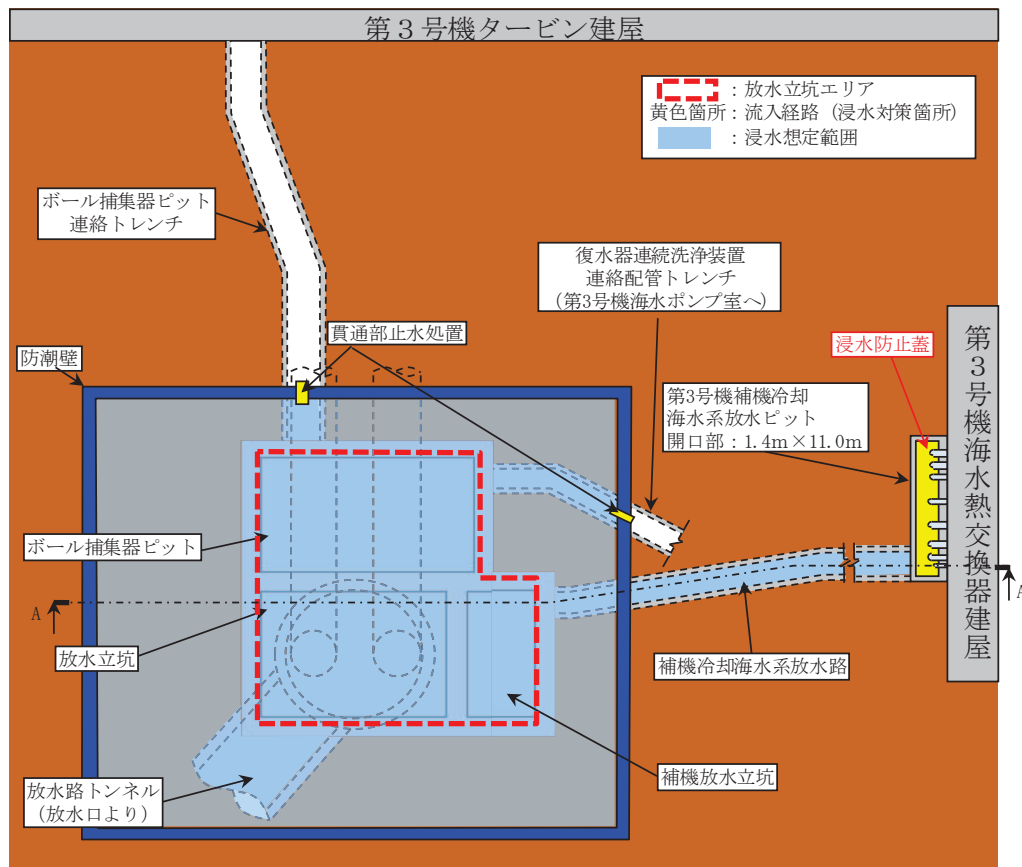


図 2-2 (1) 第3号機放水立坑～第3号機補機冷却海水系放水ピット
浸水対策配置図（平面図）

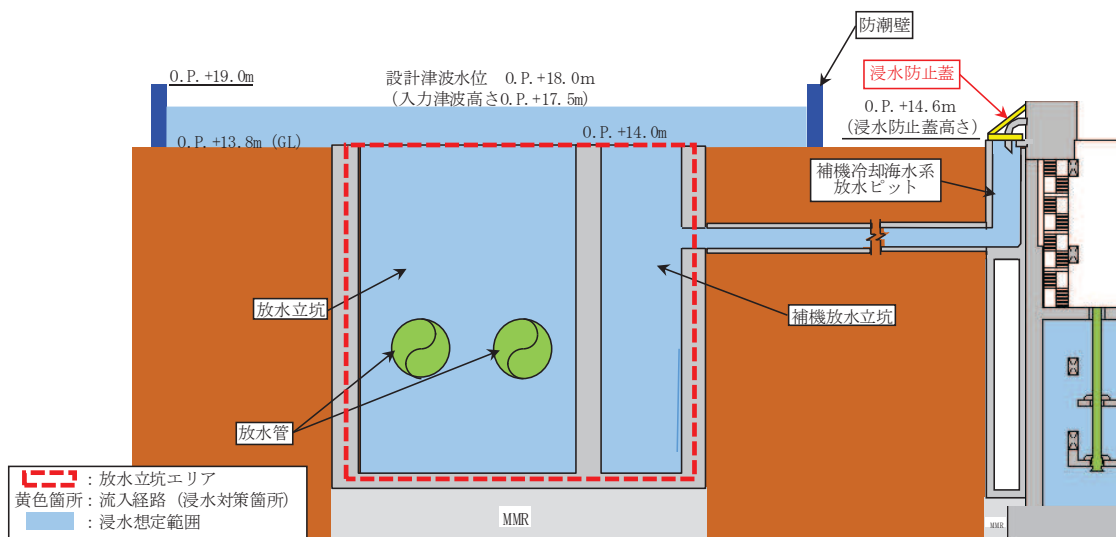


図 2-2 (2) 第3号機放水立坑～第3号機補機冷却海水系放水ピット
浸水対策配置図（A-A 断面図）

2.2 構造計画

浸水防止蓋は、第3号機補機冷却海水系放水ピットからの浸水を防止するため、近接する第3号機海水熱交換器建屋側面に鋼製ブレケットを介して固定ボルトにて固定し、地震時に異なる挙動を示す可能性がある第3号機補機冷却海水系放水ピットとの境界部には止水ジョイント（M型ジョイント）を設置することで止水性を確保する構造とする。浸水防止蓋の構造計画を表2-1に示す。

表2-1 浸水防止蓋の構造計画

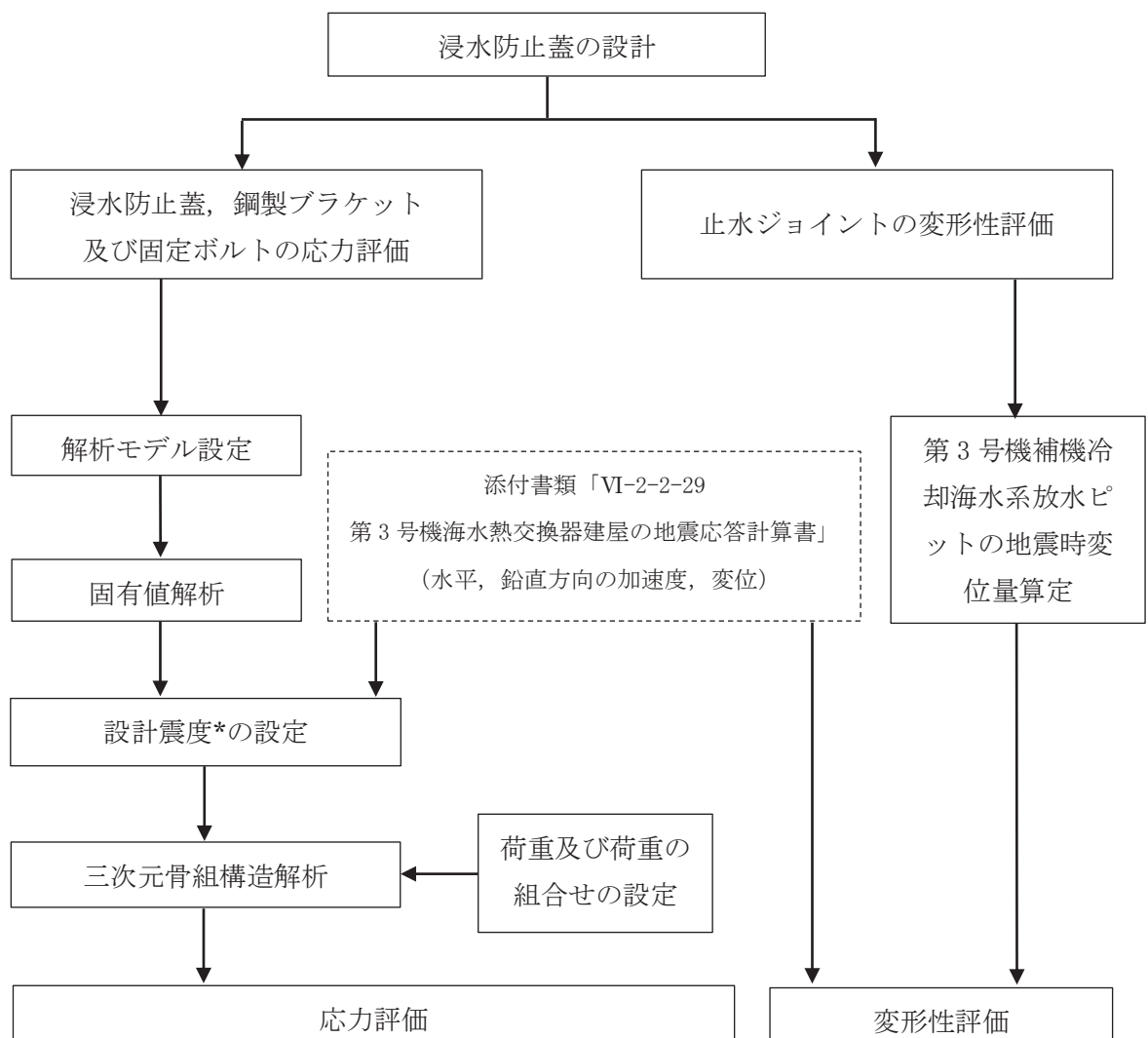
計画の概要		構造概略図
基礎・支持構造	主体構造	
十分な支持性能を有する第3号機海水熱交換器建屋側面に固定ボルトで固定する。	<p>浸水防止蓋、鋼製ブレケット及び固定ボルトにより構成する。</p> <p>第3号機補機冷却海水系放水ピットとの境界部には止水ジョイント（M型ジョイント）を設置する。</p>	<p>構造概略図</p> <p>浸水防止蓋</p> <p>平面図</p> <p>固定ボルト</p> <p>A-A 断面</p> <p>鋼製ブレケット</p> <p>固定ボルト</p> <p>浸水防止蓋</p> <p>止水ジョイント</p> <p>B-B 断面</p>

2.3 評価方針

浸水防止蓋の耐震評価は、添付書類「VI-2-1-9 機能維持の基本方針」にて設定した荷重及び荷重の組合せ並びに許容限界に基づき、「2.2 構造計画」に示す浸水防止蓋の構造を踏まえ、「3. 評価対象部位」にて設定する評価対象部位において、応力評価と変形性評価を実施することで、構造強度を有すること及び止水性を損なわないことを確認する。

浸水防止蓋、鋼製ブラケット及び固定ボルトの応力評価については、「4. 固有値解析」で算出した固有振動数に基づく設計用地震力 S_s により算出した応力が許容限界内に収まるることを、「5. 耐震評価」にて示す方法にて確認する。

止水ジョイントの変形性評価については、止水ジョイントは浸水防止蓋と第3号機補機冷却海水系放水ピットとの境界部に設置することから浸水防止蓋と第3号機補機冷却海水系放水ピットの地震時最大変位量の和が許容限界内に収まることを、「5. 耐震評価」にて示す方法にて確認する。応力評価及び変形性評価の確認結果を「6. 評価結果」に示す。耐震評価フローを図2-3に示す。



注記*：材料物性の不確かさを考慮する

図2-3 耐震評価フロー

2.4 適用規格・基準等

適用する規格・基準等を以下に示す。

- (1) 鋼構造設計規準－許容応力度設計法－（日本建築学会, 2005 改定）
- (2) 各種合成構造設計指針・同解説（日本建築学会, 2010 改定）
- (3) 日本産業規格（J I S）
- (4) 鉄筋コンクリート構造計算規準・同解説（日本建築学会, 2018 改定）

2.5 記号の説明

浸水防止蓋の耐震評価に用いる記号を表 2-2 に示す。

表 2-2 浸水防止蓋の耐震評価に用いる記号 (1/2)

記号	単位	定義
S_s	kN	基準地震動 S_s による地震荷重
k	—	基準地震動 S_s の設計震度
$S_{sH(NS)}$	kN	基準地震動 S_s の水平方向 (N-S) の地震荷重
$S_{sH(EW)}$	kN	基準地震動 S_s の水平方向 (E-W) の地震荷重
S_{sV}	kN	基準地震動 S_s の鉛直方向の地震荷重
$k_{H(NS)}$	—	基準地震動 S_s の水平方向 (N-S) の設計震度
$k_{H(EW)}$	—	基準地震動 S_s の水平方向 (E-W) の設計震度
k_V	—	基準地震動 S_s の鉛直方向の設計震度
G	kN	固定荷重
P_s	kN	積雪荷重
W_s	N/m ²	1cm 当りの積雪荷重
d_s	cm	積雪高さ
A	m ²	浸水防止蓋の面積
τ	N/mm ²	最大せん断応力度
σ	N/mm ²	最大曲げ応力度
Q	kN	最大せん断力
M	N・mm	最大曲げモーメント
x	N/mm ²	組合せ応力度
A_s	mm ²	浸水防止蓋の単位幅あたりのせん断断面積
Z	mm ³	浸水防止蓋の断面係数
α	—	平板のモーメントに関する係数
β	—	平板のせん断力に関する係数
w	kN/m ²	浸水防止蓋に作用する単位面積当たりの等分布荷重
w'	N/mm ² ・mm	浸水防止蓋に作用する単位幅当たりの等分布荷重
l_x	mm	浸水防止蓋の短辺長
t	mm	浸水防止蓋の厚さ

表 2-2 浸水防止蓋の耐震評価に用いる記号 (2/2)

記号	単位	定義
T _d	kN	固定ボルト 1 本当たりに作用する引張力
q	kN	固定ボルト 1 本当たりに作用するせん断力
R _n	kN	固定ボルトの支点反力 (引張)
R _m	kN・mm	固定ボルトの支点モーメント
R _s	kN	固定ボルトの支点反力 (せん断)
B	mm	照査箇所のボルト間隔 (mm)
N	本	照査箇所の固定ボルトの本数
d _n	mm	止水ジョイント部材の評価用変形量(開き方向)
d _s	mm	止水ジョイント部材の評価用変形量(せん断方向)
d _{b_{NS}}	mm	第 3 号機海水熱交換器建屋の地震時最大応答変位 (NS 方向)
d _{b_{EW}}	mm	第 3 号機海水熱交換器建屋の地震時最大応答変位 (EW 方向)
d _{p_{NS}}	mm	第 3 号機補機冷却海水系放水ピットの 地震時最大応答変位 (NS 方向)
d _{p_{EW}}	mm	第 3 号機補機冷却海水系放水ピットの 地震時最大応答変位 (EW 方向)

3. 評価対象部位

浸水防止蓋の評価対象部位は、「2.2 構造計画」に設定している構造を踏まえて、地震に伴う荷重の作用方向や伝達過程及び変形を考慮し設定する。

3.1 応力評価の評価対象部位

応力評価の評価対象部位は、地震に伴う慣性力が浸水防止蓋及び鋼製ブラケットに作用し、鋼製ブラケットを固定している固定ボルトを介して軸体に伝達することから、浸水防止蓋、鋼製ブラケット及び固定ボルトを応力評価の評価対象部位として設定する。応力評価の評価対象部位について図3-1に示す。

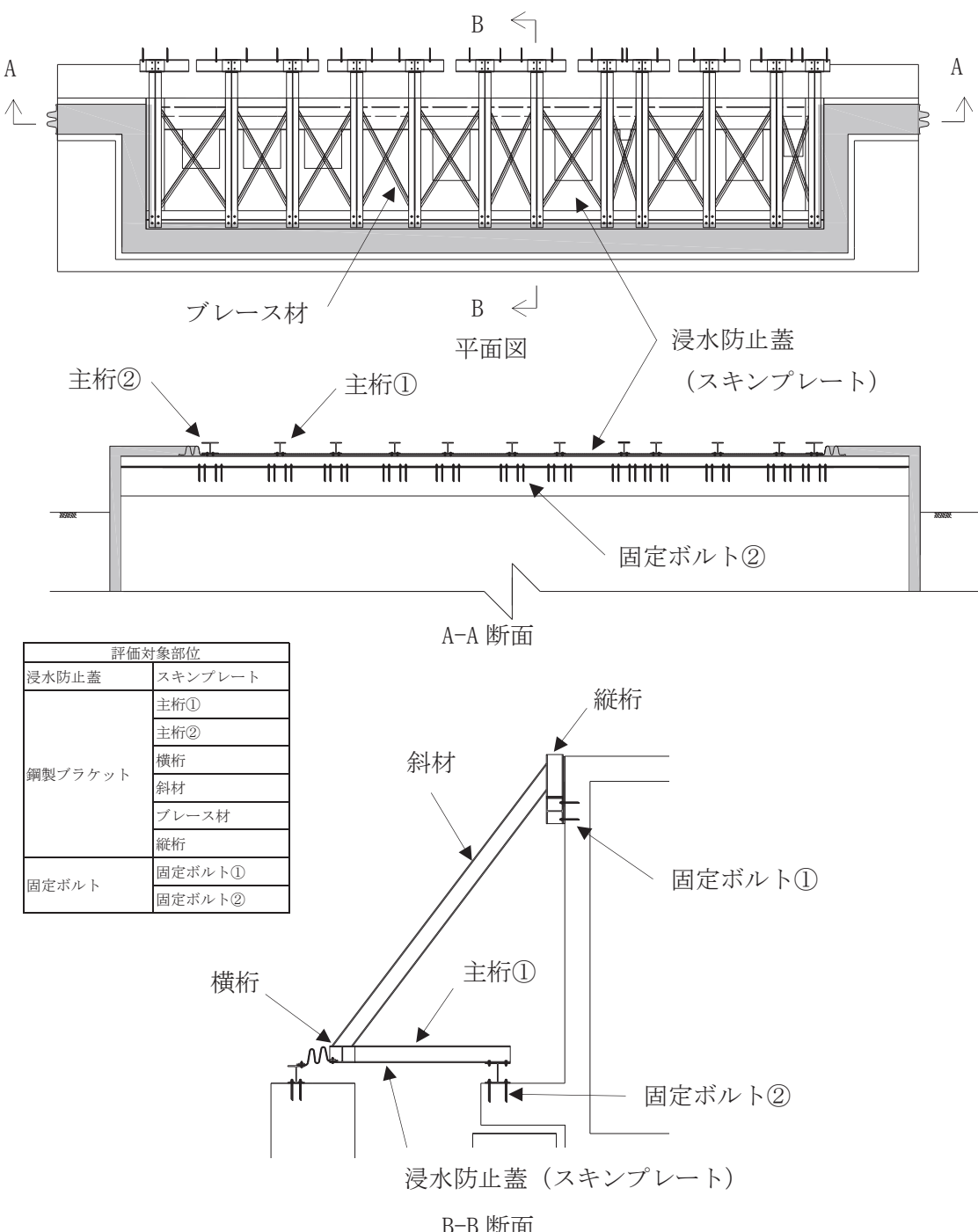


図3-1 評価対象部位（応力評価）

3.2 変形性評価の評価対象部位

変形性評価の評価対象部位は、地震に伴う浸水防止蓋と第3号機補機冷却海水系放水ピットの変位が止水ジョイントに作用することから、止水ジョイントを変形性評価の評価対象部位として設定する。変形性評価の評価対象部位について図3-2に示す。

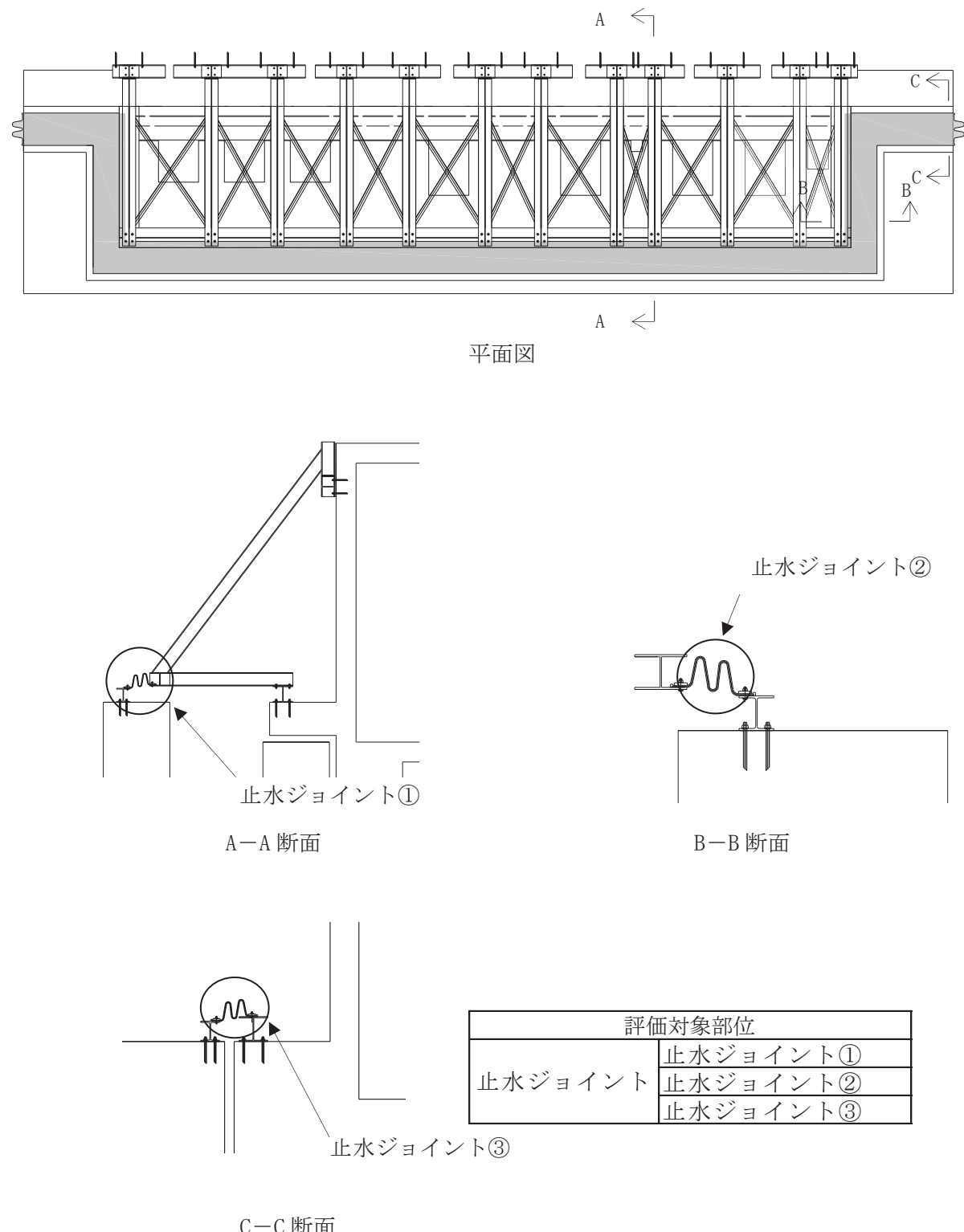


図3-2 評価対象部位（変形性評価）

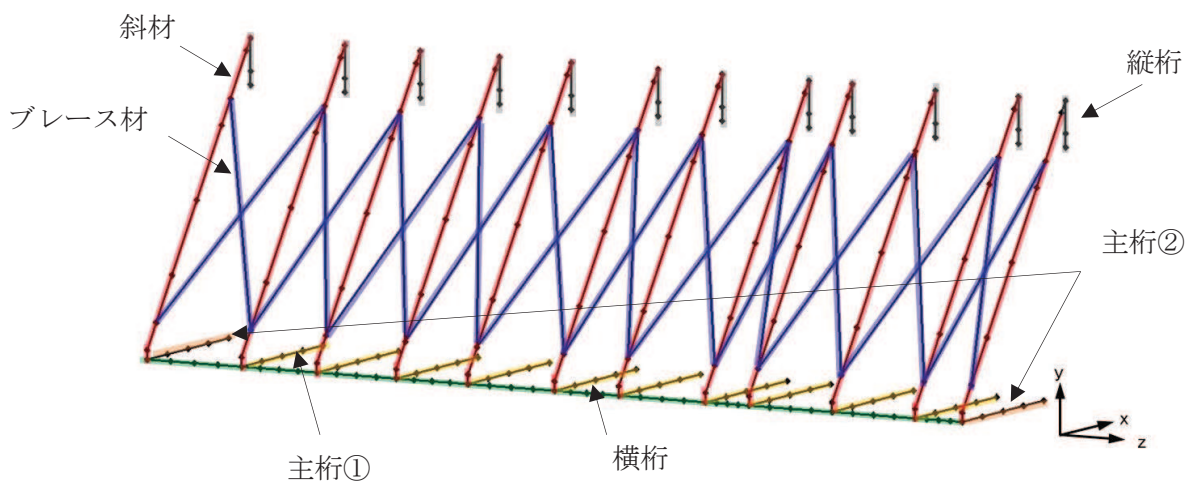
4. 固有値解析

4.1 固有値解析のモデルの設定及び解析手法

浸水防止蓋と鋼製ブラケットは一体化された三次元性を有する構造であることを踏まえ、図4-1に示す三次元フレームモデルにより固有値解析を実施する。

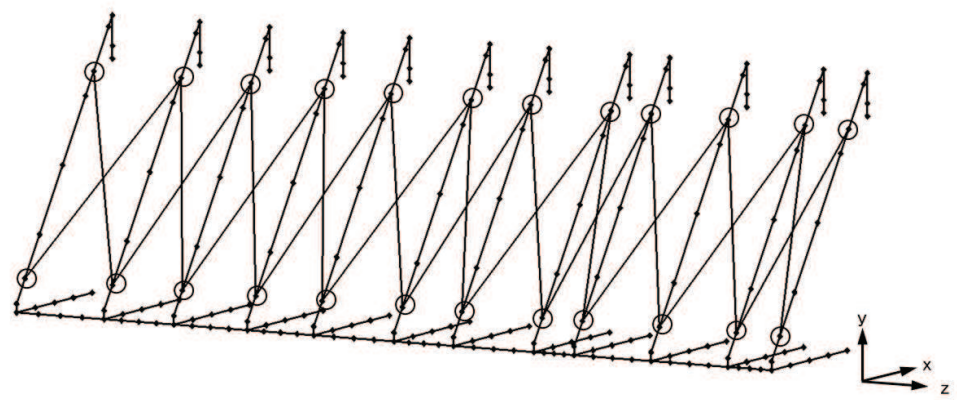
解析コードは「Engineer's StudioVer. 6.00.4」を用いる。

解析コードの検証及び妥当性確認の概要については、添付書類「VI-5 計算機プログラム（解析コード）の概要」に示す。



対象部材	材質	断面形状
：主桁①	SUS304	H-200×200×20×20
：主桁②	SUS304	H-200×300×20×20
：斜材	SUS304	H-200×200×8×12
：横桁	SUS304	H-200×300×20×20
：ブレース材	SUS304	L-60×60×5
：縦桁	SUS304	H-200×200×8×12

図4-1 固有値解析モデル (1/2)



記号	$x \otimes^1$	$y \otimes^1$	$z \otimes^1$
●	剛結※2	剛結※2	剛結※2
◎	ピン※2	ピン※2	ピン※2

注記 \otimes^1 : x , y , z は要素座標系で, x は部材軸方向となる。

※2 : H 鋼の接合箇所は剛結とし, ブレースと H 鋼をボルトにて接合している
箇所についてはピンとする。

図 4-1 固有値解析モデル (2/2)

4.2 固有振動数の解析結果

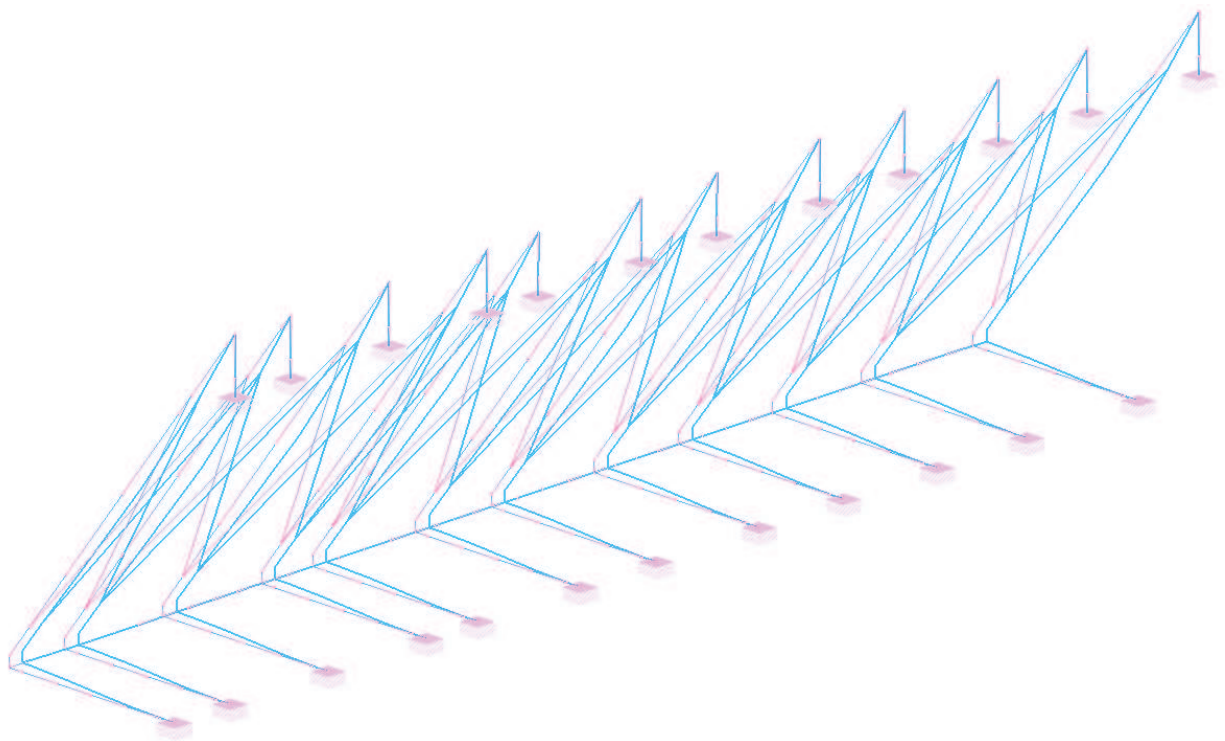
固有振動数の解析結果を表 4-1 及び図 4-2 に示す。固有振動数は 20Hz 以上であることが
ら、剛構造である。

表 4-1 固有値解析結果(1/2)

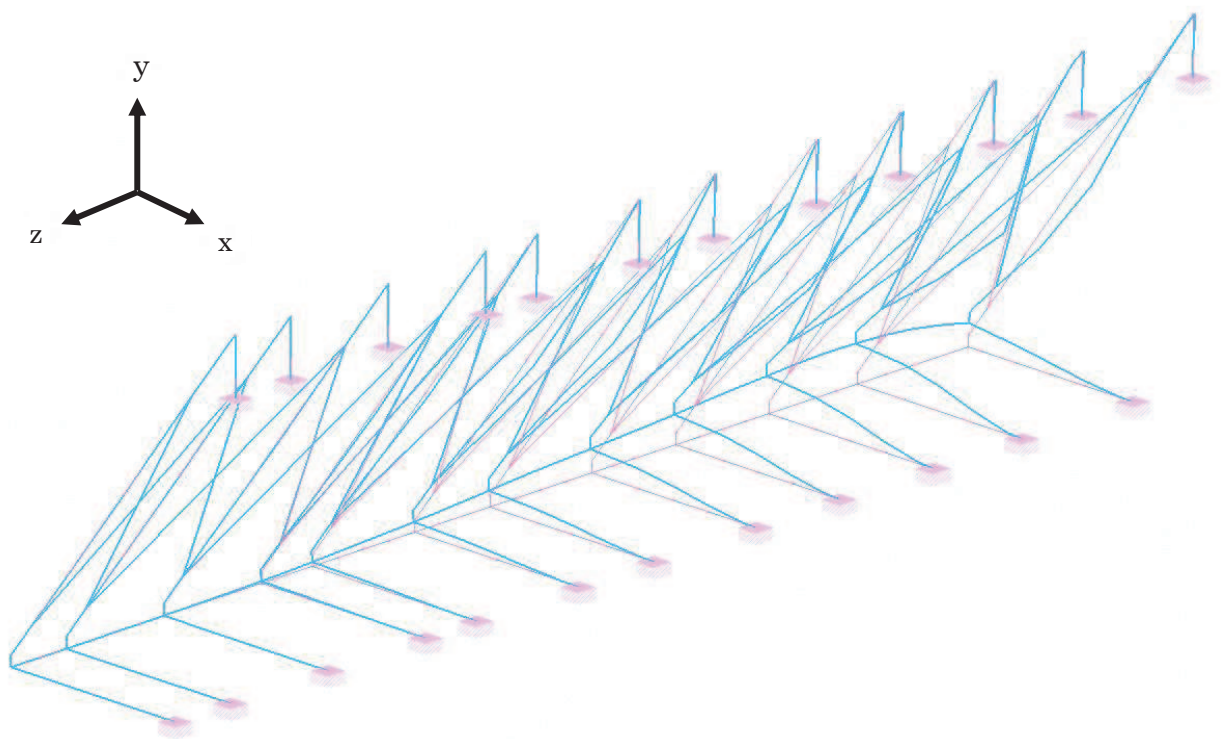
振動モード 次数	卓越方向	固有周期 T(Sec)	固有振動数 f(Hz)	x方向 刺激係数	y方向 刺激係数	z方向 刺激係数
1	z方向	0.041	24.17	-0.001	-0.002	-2.814
2		0.030	33.88	-0.001	-0.041	0.015
3		0.027	36.90	0.000	0.047	-0.005
4		0.027	37.58	-0.001	0.007	0.003
5		0.026	37.82	0.002	0.015	0.021
6		0.026	38.20	-0.001	0.023	-0.018
7		0.026	38.58	0.002	0.017	-0.015
8		0.025	40.04	-0.001	-0.006	-0.012
9		0.024	41.27	0.003	0.018	-0.009
10		0.024	42.24	0.000	0.002	0.056
11		0.024	42.51	0.001	-0.003	0.002
12		0.023	43.13	0.003	0.016	0.002
13		0.021	47.97	-0.001	0.005	-0.602
14		0.015	66.63	-0.914	1.508	0.002
15		0.015	66.93	0.344	-0.523	0.012
16		0.015	67.26	-0.334	0.535	-0.001
17		0.015	67.89	-0.001	-0.006	-0.013
18		0.015	68.52	0.147	-0.235	0.005
19		0.014	69.15	0.042	-0.039	0.012
20		0.014	69.48	-0.161	0.214	-0.003
21		0.014	69.82	0.011	0.000	0.003
22		0.014	70.04	-0.035	0.045	0.001
23		0.014	70.30	-0.014	0.016	0.004
24		0.014	71.22	0.240	-0.350	-0.011
25		0.014	71.96	-0.220	0.280	0.004
26		0.010	98.46	0.010	0.023	-0.034
27		0.010	98.71	-0.007	-0.035	0.051
28		0.010	98.94	-0.007	-0.049	0.091
29		0.010	99.05	0.007	0.032	0.059
30		0.010	99.93	-0.001	0.005	-0.006
31		0.010	101.16	-0.007	-0.027	-0.017
32		0.010	101.54	0.004	0.018	0.020
33		0.010	103.15	0.019	0.086	0.027
34		0.010	103.46	0.005	0.021	-0.032
35		0.010	104.21	-0.005	-0.026	0.002
36		0.010	105.06	-0.038	-0.197	-0.052
37		0.009	106.77	-0.003	-0.015	0.402
38	y方向	0.009	108.71	0.298	1.639	-0.022
39		0.009	110.96	0.164	0.901	0.033
40		0.009	112.38	0.195	1.075	0.009
41		0.009	116.39	-0.006	-0.027	-0.005
42		0.009	116.84	-0.023	-0.114	0.006
43		0.008	124.01	-0.052	-0.266	0.002
44		0.008	130.57	-0.037	-0.196	-0.005
45		0.007	136.73	0.004	0.070	-0.043
46		0.007	137.74	0.102	0.435	0.004
47		0.007	139.18	0.026	0.046	-0.055
48		0.007	139.88	-0.023	-0.140	-0.019
49		0.007	141.16	0.012	-0.006	-0.043
50		0.007	142.27	0.030	0.067	0.010

表 4-1 固有値解析結果(2/2)

振動モード 次数	卓越方向	固有周期 T(Sec)	固有振動数 f(Hz)	x方向 刺激係数	y方向 刺激係数	z方向 刺激係数
51		0.007	142.84	0.021	0.053	-0.064
52		0.007	146.25	-0.010	-0.045	-0.013
53		0.007	148.80	-0.008	0.020	-0.037
54		0.007	151.22	-0.038	-0.002	-0.020
55		0.006	154.27	0.039	0.129	0.025
56		0.006	157.99	0.026	-0.008	0.516
57		0.006	158.18	-0.016	-0.026	-0.190
58		0.006	161.64	-0.027	-0.122	-0.031
59		0.006	163.43	-0.004	-0.034	-0.014
60		0.006	168.10	-0.114	-0.074	0.305
61		0.006	169.82	0.292	0.131	0.021
62		0.006	170.31	0.133	0.104	0.023
63		0.006	170.52	-0.257	-0.126	-0.079
64		0.006	171.62	0.126	0.057	-0.016
65		0.006	173.74	-0.005	-0.064	-0.004
66		0.006	176.20	0.000	-0.007	0.080
67		0.006	179.44	-0.046	0.017	-0.009
68		0.005	182.04	0.007	-0.027	-0.109
69		0.005	182.70	0.011	-0.003	0.046
70		0.005	183.98	-0.029	-0.013	-0.001
71		0.005	184.52	-0.050	-0.013	0.008
72		0.005	184.97	0.093	0.072	0.017
73		0.005	185.27	0.014	-0.019	0.016
74		0.005	186.19	-0.023	-0.010	0.047
75		0.005	187.50	-0.080	-0.047	0.000
76		0.005	189.22	0.030	0.010	0.058
77		0.005	191.58	0.078	0.071	-0.073
78		0.005	191.94	0.022	0.021	0.176
79		0.005	196.63	-0.023	-0.003	0.180
80		0.005	197.46	0.012	0.019	-0.040
81		0.005	204.43	0.007	0.018	0.018
82		0.005	209.76	-0.006	0.004	0.033
83		0.005	215.25	0.020	0.042	0.123
84		0.005	218.42	0.018	0.024	0.031
85		0.004	222.59	-0.269	-0.139	0.362
86		0.004	232.50	-0.238	-0.415	-0.135
87		0.004	233.03	0.160	0.197	-0.067
88		0.004	234.20	-0.198	-0.248	0.011
89		0.004	236.83	0.106	0.212	0.063
90		0.004	240.15	0.083	0.152	-0.068
91		0.004	249.88	-0.093	0.064	-0.023
92		0.004	253.89	0.355	0.071	0.172
93		0.004	260.07	-0.240	0.105	-0.070
94		0.004	273.57	-0.023	-0.014	-0.003
95	x方向	0.004	276.20	1.433	0.149	-0.001
96		0.004	277.12	0.790	0.082	-0.005
97		0.004	278.75	1.240	0.114	-0.007
98		0.004	282.21	1.035	0.061	-0.008
99		0.004	284.68	0.308	0.179	-0.011
100		0.003	287.67	-0.113	-0.023	0.003

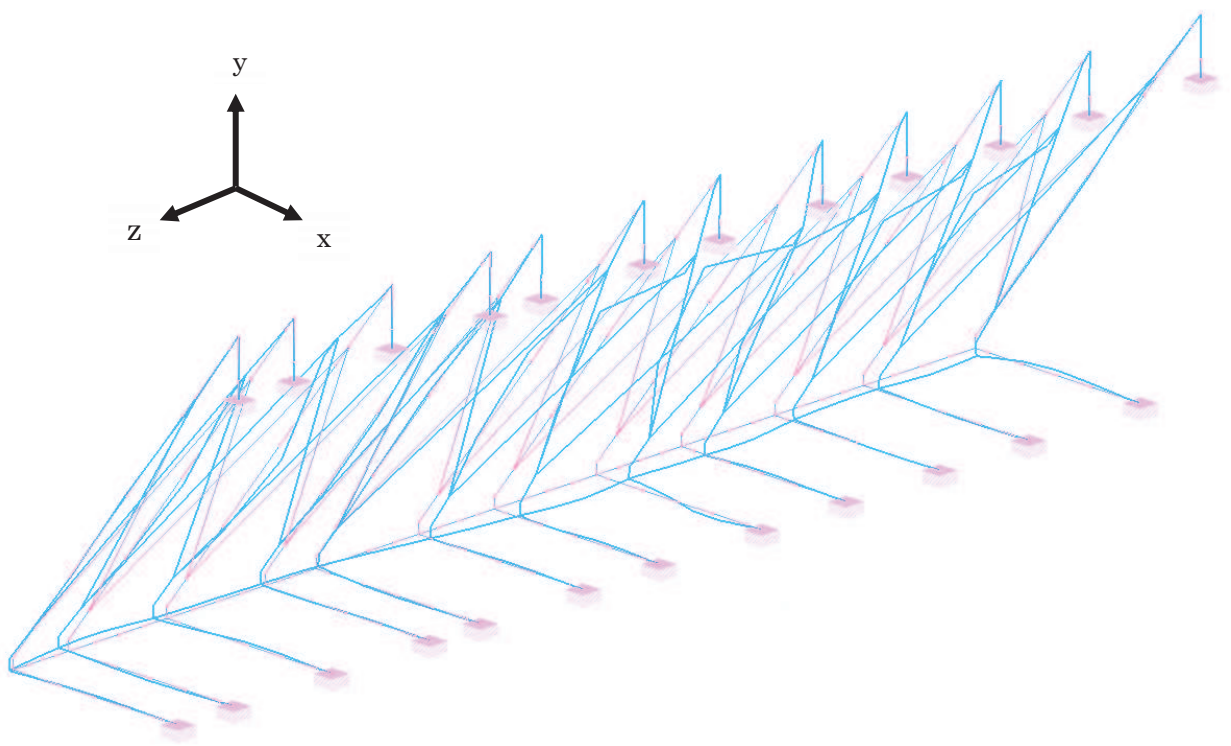


振動モード：1次， 固有振動数 24.17Hz



振動モード：38次， 固有振動数 108.71Hz

図 4-2 固有値解析結果 (1/2)



振動モード：95 次， 固有振動数 276.20Hz

図 4-2 固有値解析結果 (2/2)

5. 耐震評価

5.1 応力評価方法

浸水防止蓋、鋼製ブレケット及び固定ボルトの応力評価は、添付書類「VI-2-1-9 機能維持の基本方針」にて設定している荷重及び荷重の組合せ並びに許容限界を踏まえて、「3. 評価対象部位」にて設定する評価対象部位に作用する応力等が「5.1.2 許容限界」にて示す許容限界以下であることを確認する。

5.1.1 荷重及び荷重の組合せ

(1) 荷重の組合せ

浸水防止蓋の評価に用いる荷重の組合せを以下に示す。

$$G + P_s + S_s$$

ここで、 G : 固定荷重(kN)

P_s : 積雪荷重(kN)

S_s : 基準地震動S_sによる地震荷重(kN)

(2) 荷重の設定

耐震評価に用いる荷重は、以下のとおりとする。

a. 固定荷重(G)

固定荷重として、浸水防止蓋を構成する部材の自重を考慮する。

b. 積雪荷重(P_s)

積雪荷重として、添付書類「VI-1-1-2 発電用原子炉施設の自然現象等による損傷の防止に関する説明書」のうち、添付書類「VI-1-1-2-1-1 発電用原子炉施設に対する自然現象等による損傷の防止に関する基本方針」に基づき 43cm の積雪量を想定し、平均的な積雪荷重を与えるための係数 0.35 を考慮する。

積雪荷重による質量は以下に式より算出する。積雪荷重による質量は以下に式より算出する。

$$P_s = 0.35 \cdot W_s \cdot d_s \cdot A \cdot 10^{-3}$$

ここで、 P_s : 積雪荷重 (kN)

W_s : 1cm 当りの積雪荷重 20 (N/m²)

d_s : 積雪高さ 43 (cm)

A : 浸水防止蓋の面積 (m²)

c. 基準地震動 S_s による地震荷重(S_s)

地震荷重として、基準地震動 S_s に伴う慣性力を考慮する。地震荷重は浸水防止蓋の固定荷重及び積雪荷重に設計震度を乗じた次式により算出する。

$$S_s = (G + P_s) \cdot k$$

ここで、 S_s : 基準地震動 S_s による地震荷重 (kN)

G : 固定荷重 (kN)

P_s : 積雪荷重 (kN)

k : 基準地震動 S_s の設計震度

5.1.2 許容限界

許容限界は、添付書類「VI-2-1-9 機能維持の基本方針」に基づき設定する。

(1) 使用材料

浸水防止蓋、鋼製ブラケット及び固定ボルトの使用材料を表 5-1 に示す。

表 5-1 使用材料

評価対象部位	材質	仕様	
浸水防止蓋	スキンプレート	SUS304	$t = 16$ (mm)
鋼製ブラケット	主桁①	SUS304	H-200×200×20×20 (mm)
	主桁②	SUS304	H-200×300×20×20 (mm)
	横桁	SUS304	H-200×300×20×20 (mm)
	斜材	SUS304	H-200×200×8×12 (mm)
	プレース材	SUS304	L-60×60×5 (mm)
	縦桁	SUS304	H-200×200×8×12 (mm)
固定ボルト	固定ボルト①	SUS304	M20
	固定ボルト②	SUS304	M20

(2) 許容限界

a. 浸水防止蓋, 鋼製ブラケット

浸水防止蓋, 鋼製ブラケットの許容応力度は, 「鋼構造設計規準—許容応力度設計法—(日本建築学会, 2005 改定)」に基づき表 5-2 の値とする。

表 5-2 浸水防止蓋, 鋼製ブラケットの短期許容応力度

材質	短期許容応力度 (N/mm ²)	
	曲げ	せん断
SUS304	205	118

b. 固定ボルト

固定ボルトの許容荷重は, 「3. 評価対象部位」に記載した固定ボルトに作用する荷重の向きを踏まえて, 「各種合成構造設計指針・同解説 (日本建築学会, 2010 改定)」に基づき算定する。

固定ボルトは躯体に埋め込まれていることから, 固定ボルトが引張力を受ける場合においては, 固定ボルトの降伏により決まる許容荷重 (P_{a1}), 付着力により決まる許容荷重 (P_{a3}) を比較して, いずれか小さい値を採用する。また, 固定ボルトがせん断力を受ける場合においては, 固定ボルトのせん断強度により決まる許容荷重 (q_{a1}), 定着したコンクリート躯体の支圧強度により決まる許容荷重 (q_{a2}) 及びコーン状破壊により決まる許容荷重 (q_{a3}) を比較して, いずれか小さい値を採用する。

地震荷重を考慮する場合の固定ボルトの許容荷重の設定に用いる入力値を表 5-3 に, 許容荷重を表 5-4 に示す。

引張力を受ける場合

$$P_{a1} = \Phi_1 \cdot s\sigma_{pa} \cdot s_c a$$

$$P_{a3} = \Phi_3 \cdot \tau_a \cdot \pi \cdot d_a \cdot l_{ce}$$

- ここで, P_{a1} : 固定ボルトの降伏により決まる場合の固定ボルト
 1 本当たりの許容引張力 (N)
- P_{a3} : 固定ボルトの付着力により決まる場合の固定ボルト
 1 本当たりの許容引張力 (N)
- Φ_1 : 低減係数 (短期荷重用)
- Φ_3 : 低減係数 (短期荷重用)
- $s\sigma_{pa}$: 固定ボルトの引張強度 ($= s\sigma_y$) (N/mm²)
- $s\sigma_y$: 固定ボルトの規格降伏点強度 (N/mm²)
- $s_c a$: 固定ボルトの断面積 (mm²)
- d_a : 固定ボルトの径 (mm)
- l_{ce} : 固定ボルトの強度算定用埋込み長さ
 $(= l_e - 2d_a)$ (mm)
- l_e : 固定ボルトの有効埋込み長さ (mm)
- τ_a : へりあき及び固定ボルトのピッチによる付着強度
 (N/mm²)

せん断力を受ける場合

$$q_{a1} = \Phi_1 \cdot s\sigma_{qa} \cdot s_c a$$

$$q_{a2} = \Phi_2 \cdot c\sigma_{qa} \cdot s_c a$$

$$q_{a3} = \Phi_2 \cdot c\sigma_t \cdot A_{qc}$$

- ここで, q_{a1} : 固定ボルトのせん断強度により決まる場合の固定ボルト 1 本当たりの許容せん断力 (N)
- q_{a2} : 定着した軸体の支圧強度により決まる場合の固定ボルト 1 本当たりの許容せん断力 (N)
- q_{a3} : 定着した軸体のコーン状破壊により決まる場合の固定ボルト 1 本当たりの許容せん断力 (N)
- Φ_1 : 低減係数 (短期荷重用)
- Φ_2 : 低減係数 (短期荷重用)
- $s\sigma_{qa}$: 固定ボルトのせん断強度 ($= 0.7 \cdot s\sigma_y$) (N/mm²)
- $s\sigma_y$: 固定ボルトの規格降伏点強度 (N/mm²)
- $s_c a$: 固定ボルトの断面積 (mm²)
- $c\sigma_{qa}$: コンクリートの支圧強度 (N/mm²)

$$(= 0.5 \sqrt{F_c \cdot E_c})$$

$$\begin{aligned}
 {}_c \sigma_t & : \text{コーン状破壊に対するコンクリートの} \\
 & \quad \text{引張強度 (N/mm²)} \quad (=0.31\sqrt{F_c}) \\
 F_c & : \text{コンクリートの設計基準強度 (N/mm²)} \\
 E_c & : \text{コンクリートのヤング係数 (N/mm²)} \\
 A_{q_c} & : \text{せん断力に対するコーン状破壊面の有効投影面積} \\
 & \quad (\text{mm}^2)
 \end{aligned}$$

表 5-3 固定ボルトの許容荷重の設定に用いる入力値

記号	単位	定義	数値	
Φ_1	—	低減係数 (短期荷重用)	1.0	
Φ_2	—	低減係数 (短期荷重用)	2/3	
Φ_3	—	低減係数 (短期荷重用)	2/3	
$s \sigma_{p_a}$	N/mm²	固定ボルトの許容引張応力度	205	
$s \sigma_y$	N/mm²	固定ボルトの規格降伏点強度	205	
$s_c a$	mm²	固定ボルトの断面積	245	
d_a	mm	固定ボルトの径	20	
l_{c_e}	mm	固定ボルトの強度算定用埋込み長さ	固定ボルト①	140
			固定ボルト②	220
l_e	mm	固定ボルトの有効埋込み長さ	固定ボルト①	180
			固定ボルト②	260
τ_a	N/mm²	へりあき及び固定ボルトのピッチによる 付着強度	固定ボルト①	8.69
			固定ボルト②	4.11
$s \sigma_{q_a}$	N/mm²	固定ボルトのせん断応力度	143.50	
$c \sigma_{q_a}$	N/mm²	コンクリートの支圧強度	450.90	
$c \sigma_t$	N/mm²	コーン状破壊に対するコンクリートの引張強度	1.76	
F_c	N/mm²	コンクリートの設計基準強度	32.4	
E_c	N/mm²	コンクリートのヤング係数	25100	
A_{q_c}	mm²	せん断力に対するコーン状破壊面の 有効投影面積	固定ボルト①	-*
			固定ボルト②	15708

注記* 固定ボルト①は第3号機海水熱交換器建屋の壁面に設置するため、へりあきはなしとする。

表 5-4 (1) 地震荷重を考慮する場合の固定ボルト①の短期許容荷重

材質	短期許容荷重 (kN)						
	引張			せん断			
	P _{a1}	P _{a3}	設定値	q _{a1}	q _{a2}	q _{a3}	設定値
SUS304	50.2	50.9	50.2	35.1	73.6	—*	35.1

注記* 固定ボルト①は第3号機海水熱交換器建屋の壁面に設置するため、へりあきはなしとする。

表 5-4 (2) 地震荷重を考慮する場合の固定ボルト②の短期許容荷重

材質	短期許容荷重 (kN)						
	引張			せん断			
	P _{a1}	P _{a3}	設定値	q _{a1}	q _{a2}	q _{a3}	設定値
SUS304	50.2	37.8	37.8	35.1	73.6	18.4	18.4

5.1.3 設計用地震力

「4. 固有値解析」に示したとおり、固有振動数が 20Hz 以上であることを確認したため、応力評価に用いる設計震度は、材料物性の不確かさを考慮したものとして添付書類「V-2-2-29 第3号機海水熱交換器建屋の地震応答計算書」の地震応答解析結果を用いる。地震応答解析ケースを表 5-5 に、設計震度を表 5-6 に示す。荷重の組合せは表 5-7 のとおり、組合せ係数法 (1.0 : 0.4) により評価する。

表 5-5 地震応答解析ケース

対象地震動	ケース名	スケルトンカーブ		建屋材料減衰	地盤物性		
		初期剛性	終局剛性		入力地震動	底面地盤	
基準地震動 S _s (水平)	ケース 1 (基本ケース)	2011 年 3 月 11 日東北地方太平洋沖地震の観測記録を用いたシミュレーション解析により補正	設計基準強度を用い、JEAG 式で評価	5%	表層地盤の非線形性を考慮	標準地盤	
	ケース 2	同上	同上		同上	標準地盤 + α	
	ケース 3	同上	同上		同上	標準地盤 - α	
	ケース 4	基本ケースの 0.53 倍*	同上		同上	標準地盤	
	ケース 5				同上	標準地盤 + α	
	ケース 6				同上	標準地盤 - α	
基準地震動 S _s (鉛直)	ケース 1 (基本ケース)	設計剛性	-	5%	直接入力	標準地盤	
	ケース 2	同上	-	同上	同上	標準地盤 + α	
	ケース 3	同上	-	同上	同上	標準地盤 - α	

注記*：建屋剛性（初期剛性）の不確かさについて、基準地震動 S_s 入力後の建屋全体の平均的な剛性低下を全ての基準地震動 S_s について評価し、最も剛性低下するケースの低下後の剛性を初期剛性の不確かさとして考慮する。具体的には、基準地震動 S_s 入力前後の 1 次固有振動数の比 (f_{s_0} 入力後/ f_{s_0} 入力前) を基本ケースの初期剛性に掛けることによって算定する。

表 5-6 設計震度

地震時荷重 算出位置 (m)	地震応答解析結果				設計震度
	方向	基準地震動 S_s	ケース	最大加速度 (cm/s ²)	
O.P. 15.0	水平方向 (N-S) $k_{H(NS)}$	$S_s - D\ 2$	5	2410	2.46
	水平方向 (E-W) $k_{H(EW)}$	$S_s - F\ 3$	5	2029	2.07
	鉛直方向 k_v	$S_s - D\ 2$	2	1243	1.27

(1) : 要素番号
1 ● : 質点番号

(水平方向)
(鉛直方向)

地震応答解析モデル図

表中の O.P. は第 3 号機海水熱交換器建屋の地震応答計算書での値を示す。

表 5-7 荷重の組合せ

ケース No.	荷重の組合せ
1	$G + P_s + 1.0 S_{sH(NS)} + 0.4 S_{sv}$
2	$G + P_s + 1.0 S_{sH(NS)} - 0.4 S_{sv}$
3	$G + P_s - 1.0 S_{sH(NS)} + 0.4 S_{sv}$
4	$G + P_s - 1.0 S_{sH(NS)} - 0.4 S_{sv}$
5	$G + P_s + 0.4 S_{sH(NS)} + 1.0 S_{sv}$
6	$G + P_s - 0.4 S_{sH(NS)} + 1.0 S_{sv}$
7	$G + P_s + 0.4 S_{sH(NS)} - 1.0 S_{sv}$
8	$G + P_s - 0.4 S_{sH(NS)} - 1.0 S_{sv}$
9	$G + P_s + 1.0 S_{sH(EW)} + 0.4 S_{sv}$
10	$G + P_s + 1.0 S_{sH(EW)} - 0.4 S_{sv}$
11	$G + P_s - 1.0 S_{sH(EW)} + 0.4 S_{sv}$
12	$G + P_s - 1.0 S_{sH(EW)} - 0.4 S_{sv}$
13	$G + P_s + 0.4 S_{sH(EW)} + 1.0 S_{sv}$
14	$G + P_s - 0.4 S_{sH(EW)} + 1.0 S_{sv}$
15	$G + P_s + 0.4 S_{sH(EW)} - 1.0 S_{sv}$
16	$G + P_s - 0.4 S_{sH(EW)} - 1.0 S_{sv}$

 G : 固定荷重 (kN) P_s : 積雪荷重 (kN) $S_{sH(NS)}$: 基準地震動 S_s の水平方向 (N-S) の地震荷重 $((G + P_s) \times k_{H(NS)})$ (kN) $S_{sH(EW)}$: 基準地震動 S_s の水平方向 (E-W) の地震荷重 $((G + P_s) \times k_{H(EW)})$ (kN) S_{sv} : 基準地震動 S_s の鉛直方向の地震荷重 $((G + P_s) \times k_v)$ (kN)

5.1.4 計算方法

浸水防止蓋、鋼製ブラケット及び固定ボルトに発生する応力より算出する応力度が、許容限界以下であることを確認する。

(1) 浸水防止蓋

浸水防止蓋は図 5-1 に示すとおり主桁間に分割して設置することから三辺固定スラブモデルとして断面力を算出する。評価箇所は図 5-1 に示すとおり、断面力が大きいと考えられる主桁間の幅が最大の箇所とする。浸水防止蓋に作用する等分布荷重（鉛直震度含む）が作用している板に発生する曲げ応力及びせん断応力は「鉄筋コンクリート構造計算規準・同解説（日本建築学会、2018 改定）」（図 5-2）より算出する。

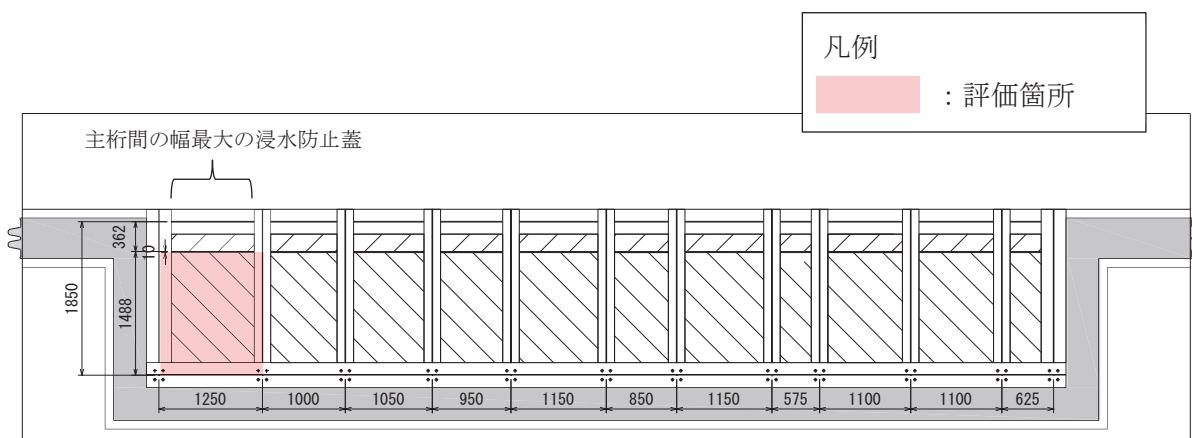


図 5-1 浸水防止蓋の評価箇所

- a. 基準地震動 S_s による鉛直方向の地震荷重 S_{sv}

$$S_{sv} = (G + P_s) \cdot k_v$$

ここで, S_{sv} : 基準地震動 S_s の鉛直方向の地震荷重 (kN)

G : 浸水防止蓋の固定荷重 (kN)

P_s : 積雪荷重 (kN)

k_v : 基準地震動 S_s の鉛直方向の設計震度

- b. 浸水防止蓋に作用する単位面積当たりの等分布荷重 w

$$w = (G + P_s + S_{sv}) / A$$

ここで, w : 浸水防止蓋に作用する単位面積当たりの等分布荷重 (kN/m²)

G : 浸水防止蓋の固定荷重 (kN)

P_s : 積雪荷重 (kN)

S_{sv} : 基準地震動 S_s の鉛直方向の地震荷重 (kN)

A : 浸水防止蓋の面積 (m²)

- c. 浸水防止蓋に作用する単位幅当たりの等分布荷重 w'

$$w' = w / 1000$$

ここで, w' : 浸水防止蓋に作用する単位幅当たりの等分布荷重 (N/mm² • mm)

- d. 最大曲げ応力 σ

求めた曲げモーメントのうち最大となる曲げモーメントについて、以下の式にて最大曲げ応力を算出する。

$$M = \alpha \cdot w' \cdot l_x^2$$

ここで, M : 曲げモーメント (N • mm)

α : 平板のモーメントに関する係数

w' : 浸水防止蓋に作用する単位幅当たりの等分布荷重 (N/mm² • mm)

l_x : 浸水防止蓋の短辺長 (mm)

$$\sigma = M / Z$$

ここで, σ : 最大曲げ応力 (N/mm²)

M : 最大曲げモーメント (N • mm)

Z : 浸水防止蓋の断面係数 (mm³)

e. 最大せん断応力 τ

求めたせん断力のうち最大となるせん断力について、以下の式にてせん断応力度を算出する。

$$Q = \beta \cdot w' \cdot l_x$$

ここで, Q : せん断力 (N)

β : 平板のせん断に関する係数

w' : 浸水防止蓋に作用する単位幅当たりの等分布荷重
(N/mm)

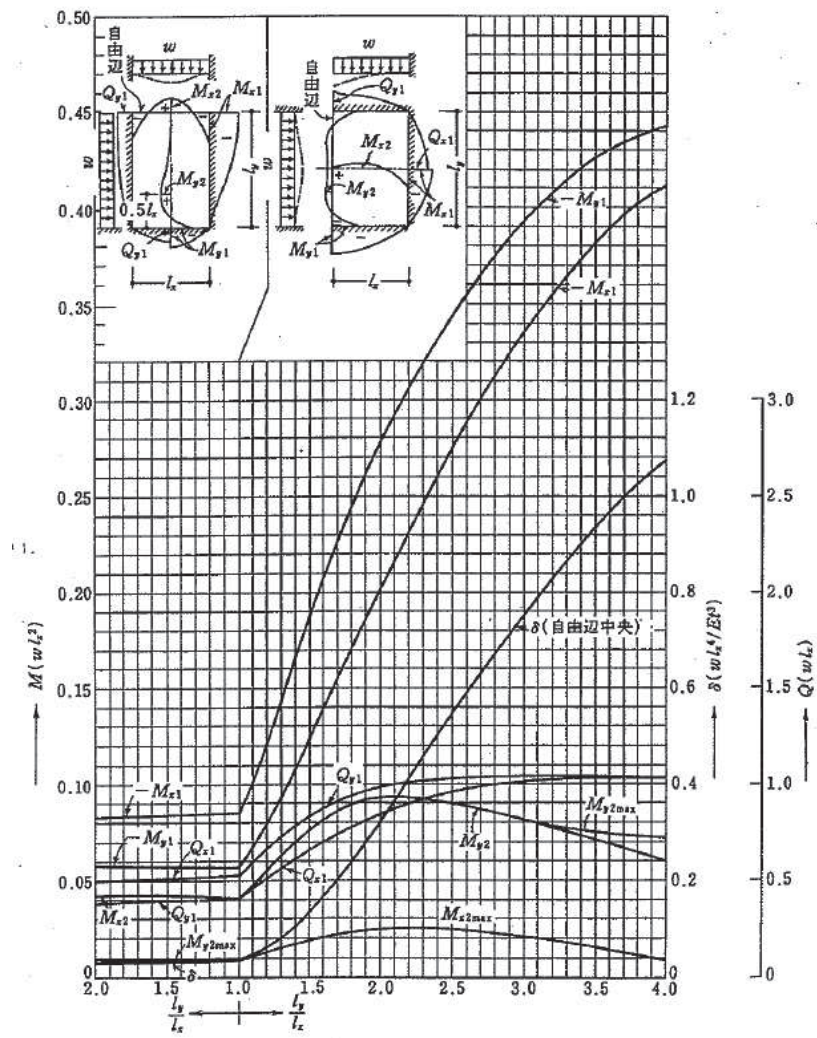
l_x : 浸水防止蓋の短辺長 (mm)

$$\tau = Q / A_s$$

ここで, τ : 最大せん断応力度 (N/mm²)

Q : 最大せん断応力 (N)

A_s : 浸水防止蓋のせん断面積 (mm²)



付図 15.3 等分布荷重時 3 辺固定 1 辺自由スラブの応力図と自由辺中央のたわみ δ^0 ($\nu=0$)

図 5-2 応力算出図

f. 曲げ応力度とせん断応力度の組合せに対する検討

浸水防止蓋に生じる曲げ応力度とせん断応力度から、組合せ応力度を「鋼構造設計規準—許容応力度設計法一（日本建築学会、2005 改定）」に基づく次式により算定し、短期許容応力度以下であることを確認する。

$$x = \sqrt{\sigma^2 + 3 \cdot \tau^2}$$

x : 組合せ応力度 (N/mm^2)

σ : 最大曲げ応力度 (N/mm^2)

τ : 最大せん断応力度 (N/mm^2)

(2) 鋼製ブラケット

鋼製ブラケットの応力評価に用いるモデルは固有値解析を行ったモデルと同一とし、鋼製ブラケットの計算には解析コード「Engineer's StudioVer. 6.00.4」を使用して評価部位に生じる断面力を求める。解析コードの検証及び妥当性確認の概要については、添付書類「VI-5 計算機プログラム（解析コード）の概要」に示す。モデルに入力する荷重は、「5.1.1 荷重及び荷重の組合せ」に示すとおりである。

各部材に入力する荷重図を図5-3～図5-8に示す。

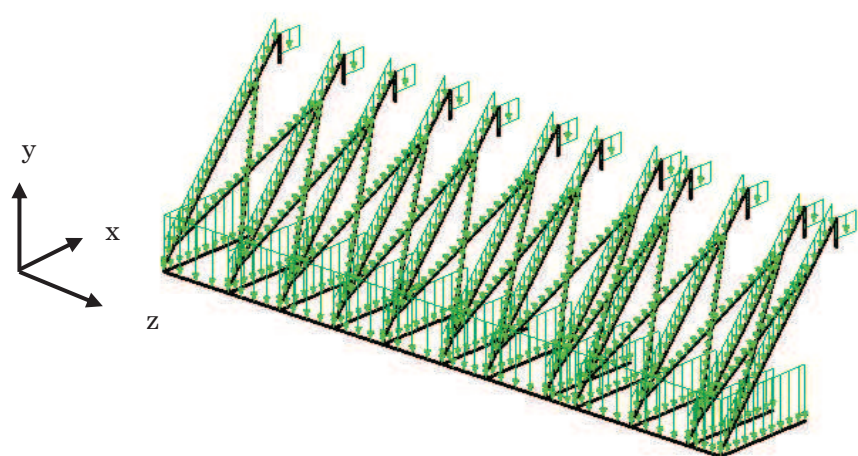


図5-3 鋼製ブラケットの耐震評価モデルへの入力荷重（固定荷重）

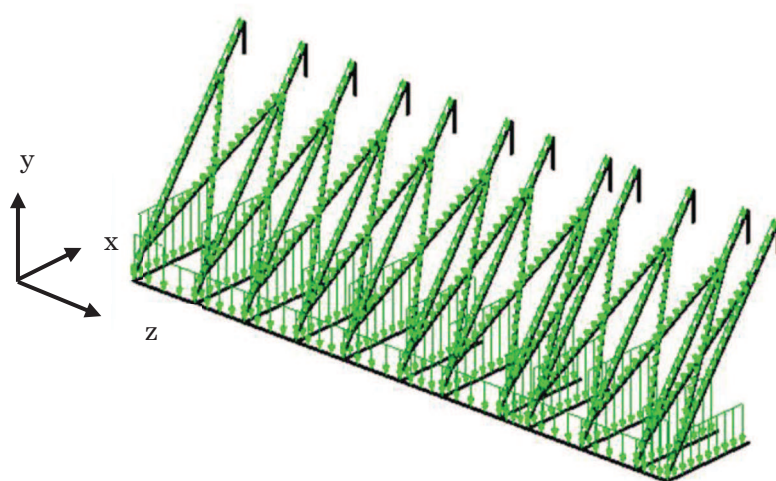


図5-4 鋼製ブラケットの耐震評価モデルへの入力荷重（積雪荷重）

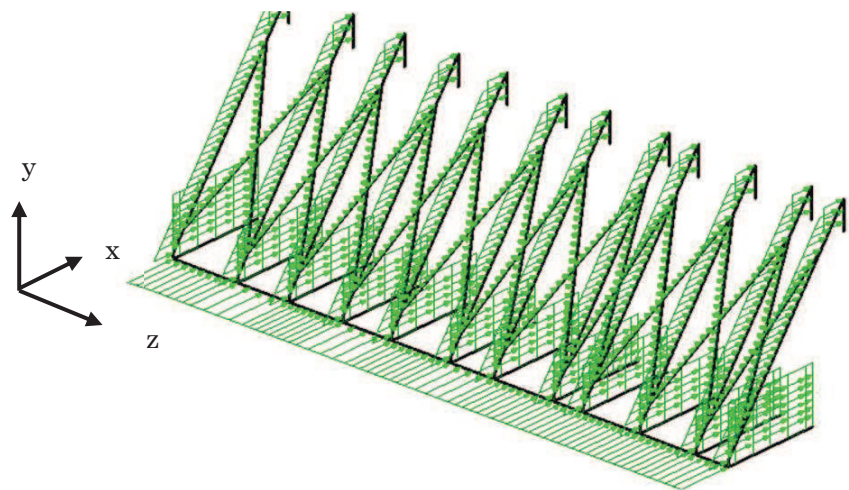


図 5-5 鋼製ブラケットの耐震評価モデルへの入力荷重（地震時荷重）(+NS 方向)

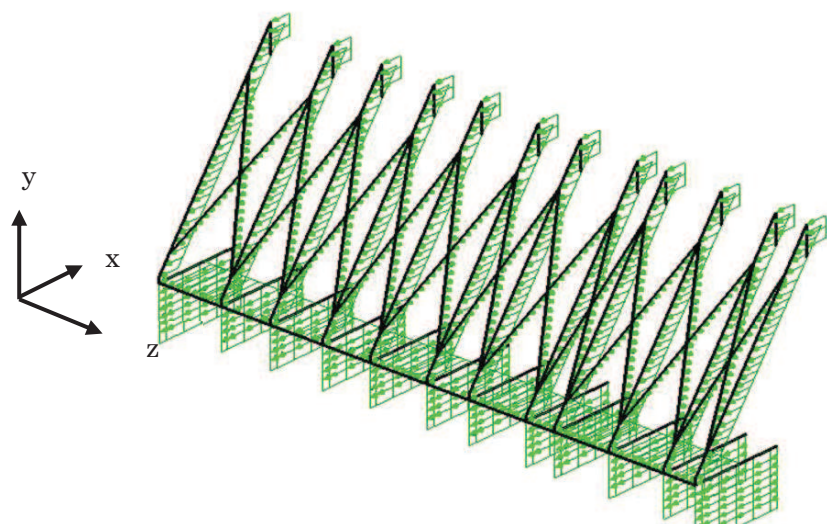


図 5-6 鋼製ブラケットの耐震評価モデルへの入力荷重（地震時荷重）(-NS 方向)

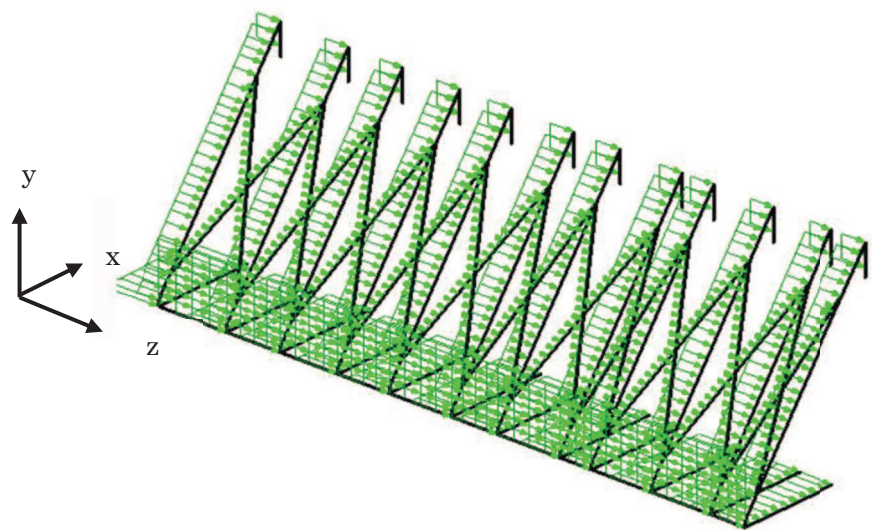


図 5-7 鋼製ブラケットの耐震評価モデルへの入力荷重（地震時荷重）（+EW 方向）

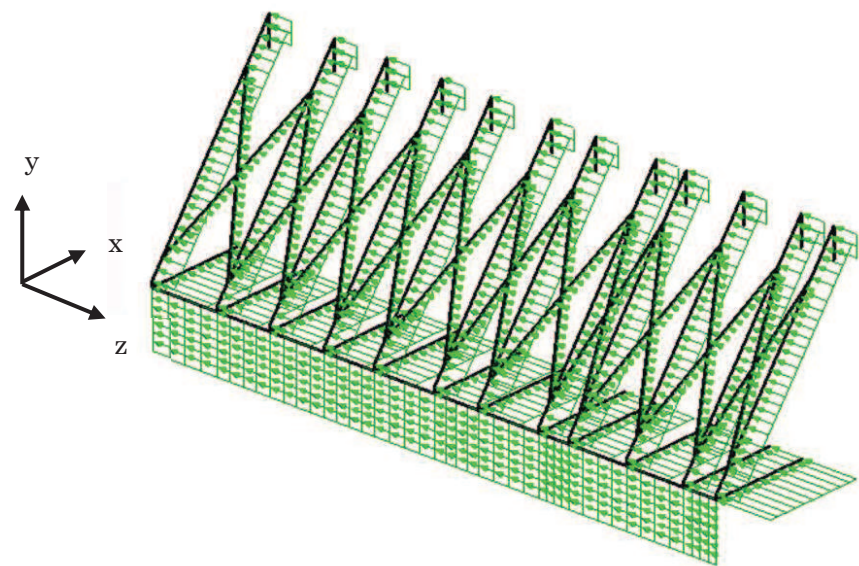


図 5-8 鋼製ブラケットの耐震評価モデルへの入力荷重（地震時荷重）（-EW 方向）

(3) 固定ボルト

鋼製ブラケットの解析により得られる固定ボルト部の応力により、固定ボルトに作用する応力度を算出する。なお、固定ボルト①の照査箇所のボルト本数は4本であり、また固定ボルト②の照査箇所のボルト本数は8本である。

a. 固定ボルトに作用する引張力 T_d

$$T_d = R_n/N + R_m/B / (N/2)$$

ここで、 T_d : 固定ボルト1本当りに作用する引張力 (kN)

R_n : 固定ボルトの支点反力 (引張) (kN)

R_m : 固定ボルトの支点モーメント (kN・mm)

B : 照査箇所のボルト間隔 (mm)

N : 照査箇所の固定ボルトの本数 (本)

b. 固定ボルトに作用するせん断力 q

$$q = R_s/N$$

ここで、 q : 固定ボルト1本当りに作用するせん断力 (kN)

R_s : 固定ボルトの支点反力 (せん断) (kN)

N : 照査箇所の固定ボルトの本数 (本)

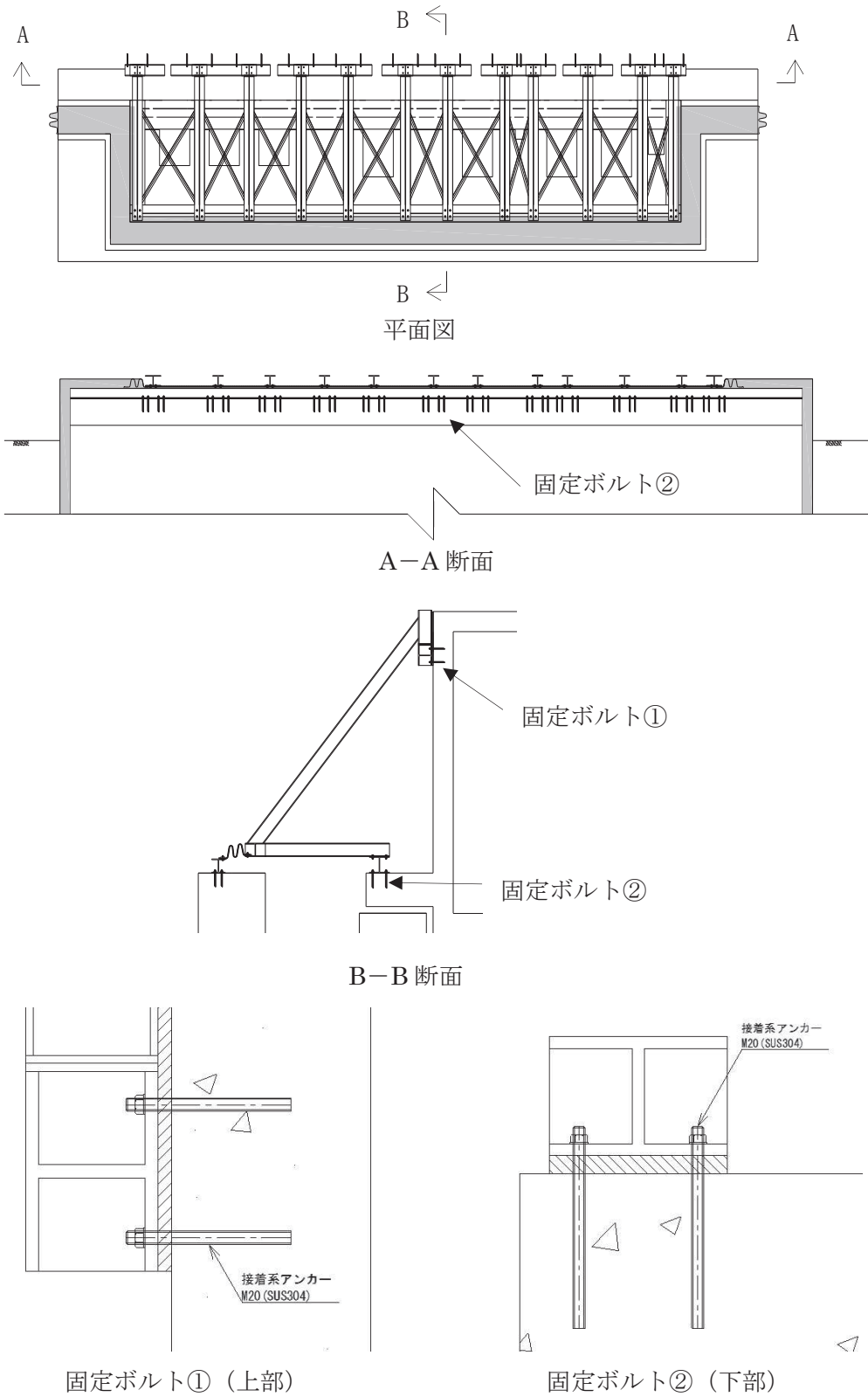


図 5-9 固定ボルト詳細図

5.1.5 計算条件

浸水防止蓋の応力評価に用いる入力値を表5-8に示す。

表5-8 浸水防止蓋の耐震評価に用いる入力値

評価対象部位	記号	単位	定義	数値
浸水防止蓋 (スキンプレート)	A _s	mm ²	浸水防止蓋の単位幅あたりのせん断断面積	16
	α	—	平板のモーメントに関する係数	0.085
	β	—	平板のせん断に関する係数	0.55
	l _x	mm	浸水防止蓋の短辺長	1250
	A	m ²	浸水防止蓋の面積	1.86
	Z	mm ³	浸水防止蓋の断面係数	42.67
固定ボルト①	R _n	kN	固定ボルトの支点反力(引張)	13.2
	R _m	kN・mm	固定ボルトの支点モーメント	5362
	R _s	kN	固定ボルトの支点反力(せん断)	16.7
	B	mm	固定ボルトのボルト間隔	200
	N	本	照査箇所のボルト本数	4
固定ボルト②	R _n	kN	固定ボルトの支点反力(引張)	1.9
	R _m	kN・mm	固定ボルトの支点モーメント	4558
	R _s	kN	固定ボルトの支点反力(せん断)	33.9
	B	mm	固定ボルトのボルト間隔	200
	N	本	照査箇所のボルト本数	8

5.2 変形性評価方法

止水ジョイントは浸水防止蓋と第3号機補機冷却海水系放水ピットとの境界部に設置することから浸水防止蓋と第3号機補機冷却海水系放水ピットの地震時最大変位量の和が許容限界内に収まることを確認する。

浸水防止蓋の変位量は浸水防止蓋を支持する第3号機海水熱交換器建屋の地震時最大変位量は材料物性の不確かさを考慮したものとして添付資料「V-2-2-29 第3号機海水熱交換器建屋の地震応答計算書」の算出結果を用いる。第3号機補機冷却海水系放水ピットの地震時最大変位量は「5.2.1 第3号機補機冷却海水系放水ピットの地盤応答解析方法」に示す方法により算出する。なお、詳細については「別紙1 第3号機補機冷却海水系放水ピットの耐震性について」参照。

5.2.1 第3号機補機冷却海水系放水ピットの地盤応答解析方法

第3号機補機冷却海水系放水ピットの地震応答解析は添付書類「VI-2-1-6 地震応答解析の基本方針」のうち、「2.3 屋外重要土木構造物」に示す解析方法及び解析モデルを踏まえて設定する。地震応答解析は、構造物と地盤の相互作用を考慮できる二次元動的有限要素法により、基準地震動 S_s に基づき設定した水平地震動と鉛直地震動の同時加振による逐次時間積分の時刻歴応答解析（全応力解析）により行う。

構造部材については、線形はり要素と平面応力要素を用いる。

5.2.2 第3号機補機冷却海水系放水ピットの解析断面

第3号機補機冷却海水系放水ピットの解析断面は、図5-10に示すとおりNS断面及びEW断面の2断面とする。

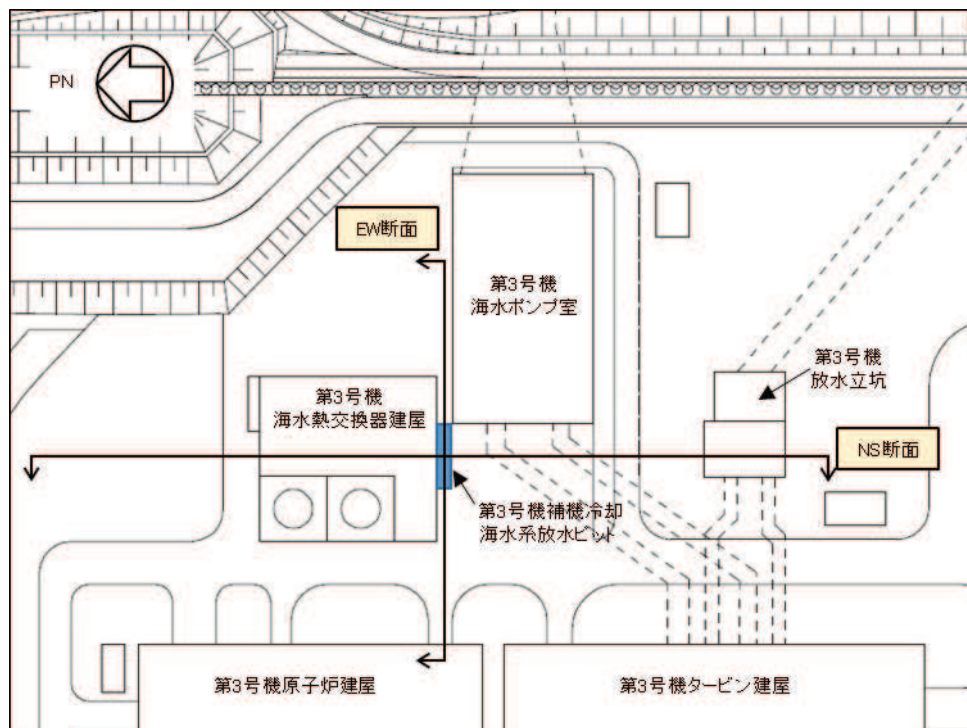


図5-10 第3号機補機冷却海水系放水ピットの解析断面（断面位置図）(1/3)

凡 例

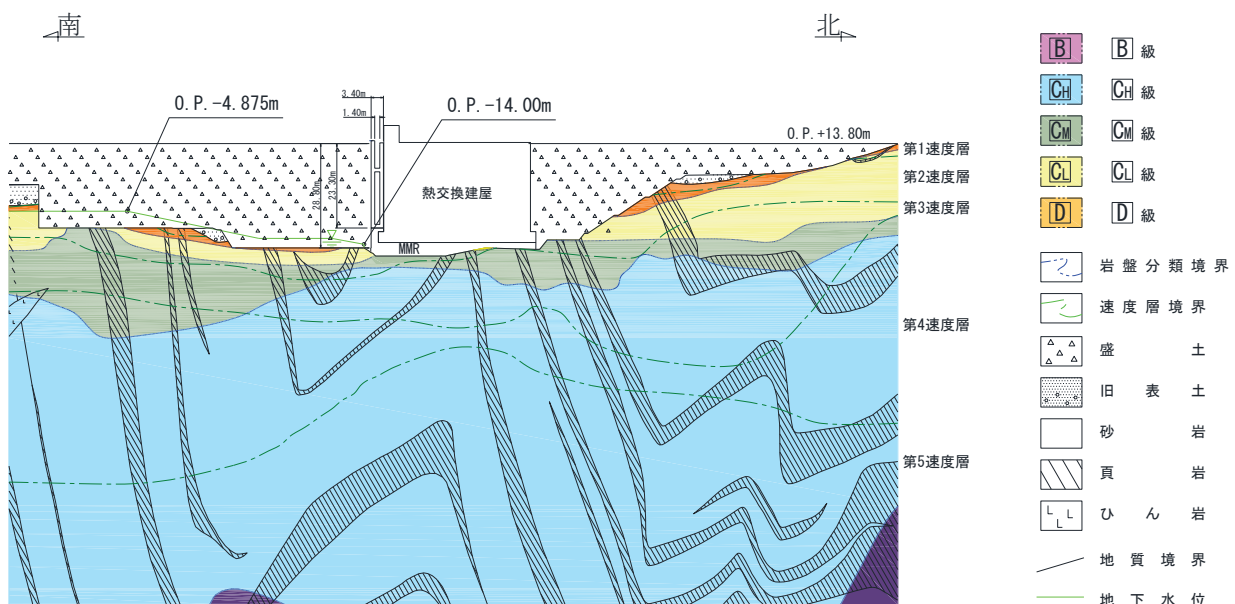


図 5-10 第 3 号機補機冷却海水系放水ピットの解析断面図 (NS 断面) (2/3)

凡 例

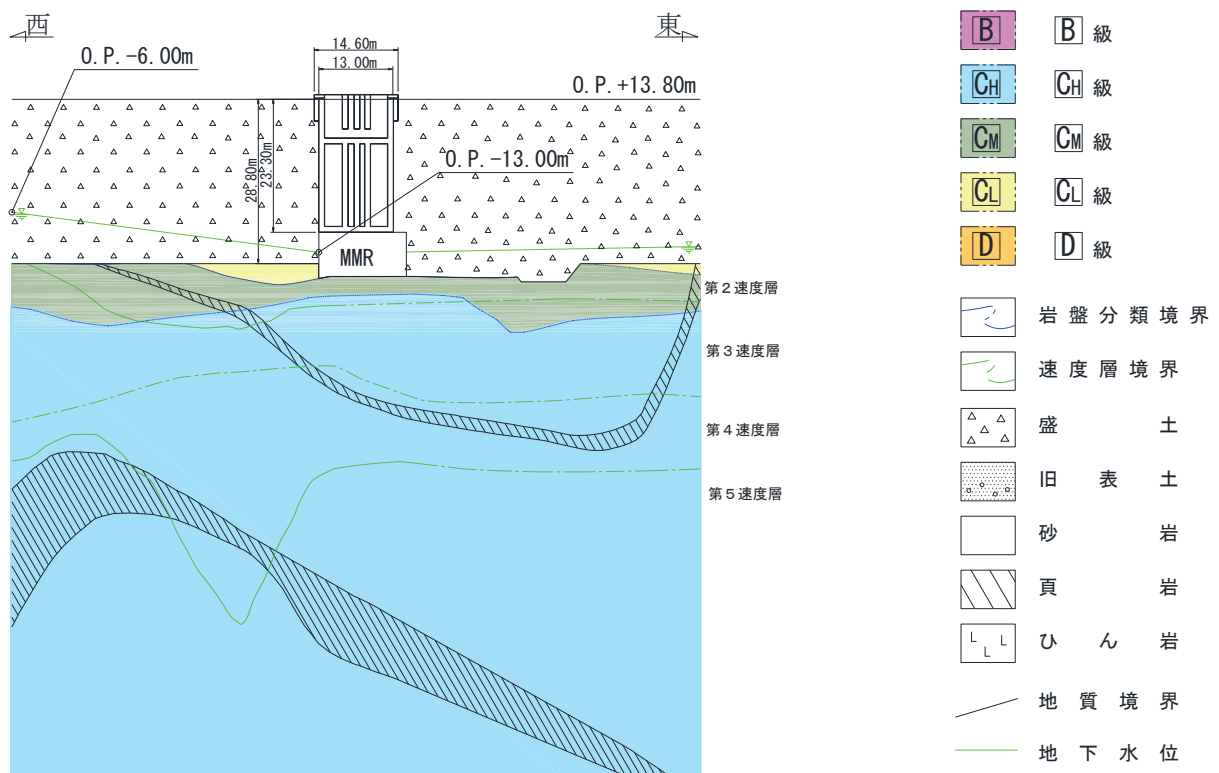


図 5-10 第 3 号機補機冷却海水系放水ピットの解析断面図 (EW 断面) (3/3)

5.2.3 許容限界

止水ジョイント部材の変形量の許容限界は、漏水試験及び変形試験により、有意な漏えいが生じないことを確認した変形量とする。表 5-9 に止水ジョイント部材の仕様を表 5-10 に変形量の許容限界を示す。

なお、止水ジョイント部材が地震時及び津波による変位に対し有意な漏えいを生じない変形に留まること、津波による波圧と余震による変位に対し止水ジョイント部材から有意な漏えいが生じないことを性能確認試験により確認している。また、長期的な耐久性に関しては、耐候性試験により確認している。

表 5-9 止水ジョイント部材の仕様

種別	名称	主成分
M型ゴム	ME300	クロロプレンゴム

表 5-10 止水ジョイント部材の変形量の許容限界

	許容限界 (mm)	
	開き方向	せん断方向
変形量	550	550

5.2.4 計算方法

止水ジョイント部材の地震時の評価について、NS 方向及び EW 方向とともに、地震荷重による最大相対変位量が許容限界以下であることを確認する。

変形性評価の評価対象部位について図 5-11 に示す。

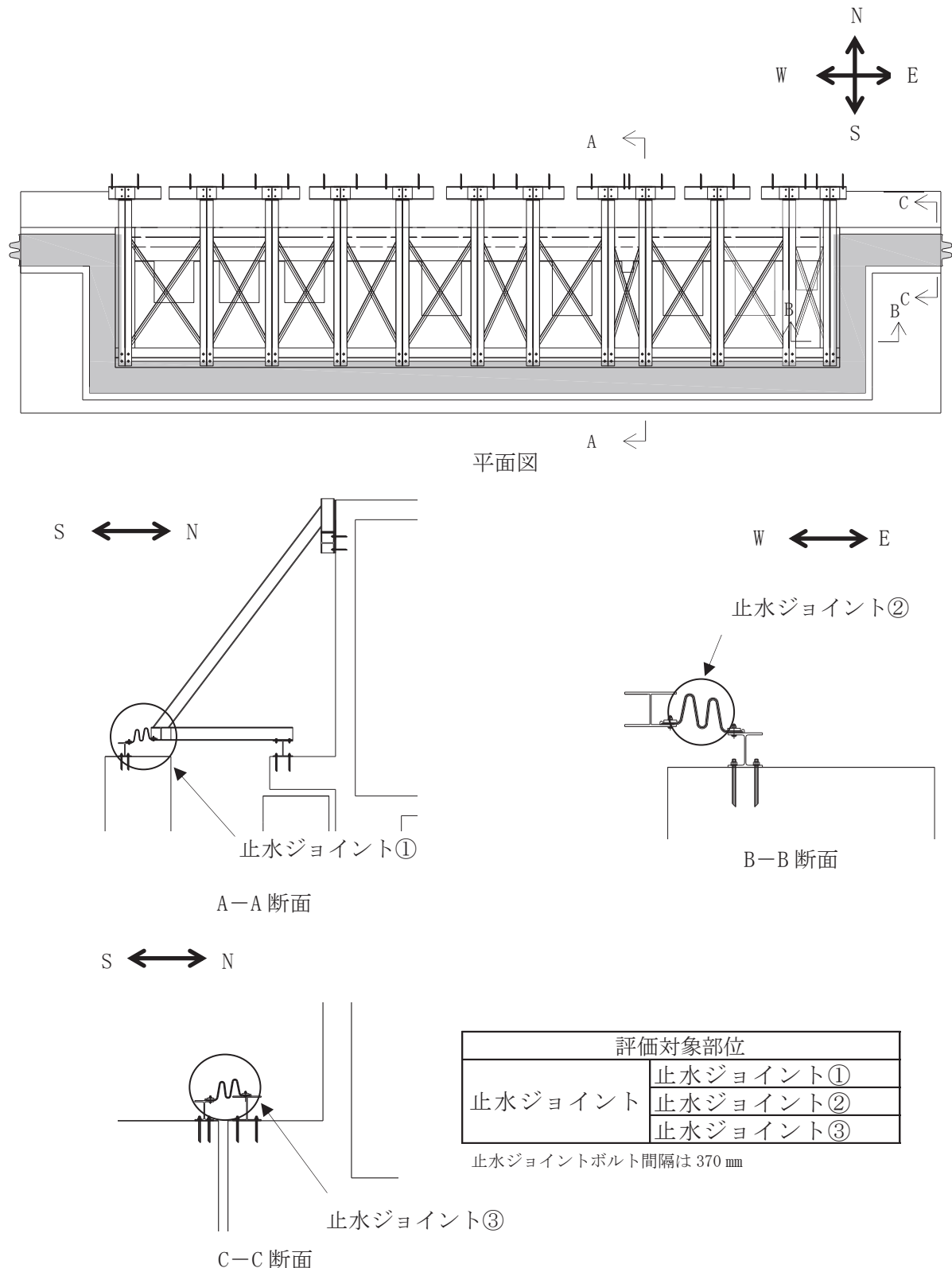


図 5-11 変形性評価の評価対象部位

(1) 止水ジョイント①

- a. 止水ジョイント部材の開き方向の評価用変形量 d_n

$$d_n = |d_{b_{NS}}| + |d_{p_{NS}}|$$

ここで, d_n : 止水ジョイント部材の評価用変形量(開き方向) (mm)

$d_{b_{NS}}$: 第3号機海水熱交換器建屋の地震時最大応答変位
(NS方向) (mm)

$d_{p_{NS}}$: 第3号機補機冷却海水系放水ピットの地震時最大応答変位
(NS方向) (mm)

- b. 止水ジョイント部材のせん断方向の評価用変形量 d_s

$$d_s = |d_{b_{EW}}| + |d_{p_{EW}}|$$

ここで, d_s : 止水ジョイント部材の評価用変形量(せん断方向) (mm)

$d_{b_{EW}}$: 第3号機海水熱交換器建屋の地震時最大応答変位
(EW方向) (mm)

$d_{p_{EW}}$: 第3号機補機冷却海水系放水ピットの地震時最大応答変位
(EW方向) (mm)

(2) 止水ジョイント②

- a. 止水ジョイント部材の開き方向の評価用変形量 d_n

$$d_n = |d_{b_{EW}}| + |d_{p_{EW}}|$$

ここで, d_n : 止水ジョイント部材の評価用変形量(開き方向) (mm)

$d_{b_{EW}}$: 第3号機海水熱交換器建屋の地震時最大応答変位
(EW方向) (mm)

$d_{p_{EW}}$: 第3号機補機冷却海水系放水ピットの地震時最大応答変位
(EW方向) (mm)

- b. 止水ジョイント部材のせん断方向の評価用変形量 d_s

$$d_s = |d_{b_{NS}}| + |d_{p_{NS}}|$$

ここで, d_s : 止水ジョイント部材の評価用変形量(せん断方向) (mm)

$d_{b_{NS}}$: 第3号機海水熱交換器建屋の地震時最大応答変位
(NS方向) (mm)

$d_{p_{NS}}$: 第3号機補機冷却海水系放水ピットの地震時最大応答変位
(NS方向) (mm)

(3) 止水ジョイント③

a. 止水ジョイント部材の開き方向の評価用変形量 d_n

$$d_n = |d_{b_{NS}}| + |d_{p_{NS}}|$$

ここで, d_n : 止水ジョイント部材の評価用変形量(開き方向) (mm)

$d_{b_{NS}}$: 第3号機海水熱交換器建屋の地震時最大応答変位
(NS方向) (mm)

$d_{p_{NS}}$: 第3号機補機冷却海水系放水ピットの地震時最大応答変位
(NS方向) (mm)

b. 止水ジョイント部材のせん断方向の評価用変形量 d_s

$$d_s = |d_{b_{EW}}| + |d_{p_{EW}}|$$

ここで, d_s : 止水ジョイント部材の評価用変形量(せん断方向) (mm)

$d_{b_{EW}}$: 第3号機海水熱交換器建屋の地震時最大応答変位
(EW方向) (mm)

$d_{p_{EW}}$: 第3号機補機冷却海水系放水ピットの地震時最大応答
(EW方向) (mm)

6. 評価結果

浸水防止蓋の応力評価結果を表 6-1～表 6-13 に変形性評価結果を表 6-14, 表 6-15 に示す。全ての部材において発生応力、応力度及び変形量が許容限界以下であることを確認した。

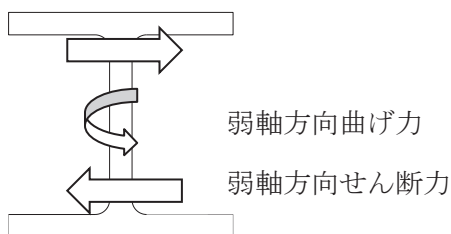
表 6-1 応力評価結果（浸水防止蓋）

評価対象部位	発生値 (応力度又は荷重)		許容限界		検定値	
浸水防止蓋 (スキンプレート)	曲げ	11	N/mm ²	205	N/mm ²	0.06<1.0
	せん断	1	N/mm ²	118	N/mm ²	0.01<1.0
	組合せ	12	N/mm ²	205	N/mm ²	0.06<1.0

表 6-2 応力評価結果 (鋼製プラケット 弱軸方向)

評価対象部位		発生値 (*弱軸方向) (応力度又は荷重)		許容限界	検定値
主桁①	曲げ	39	N/mm ²	205	N/mm ² 0.20<1.0
	せん断	2	N/mm ²	118	N/mm ² 0.02<1.0
	組合せ	40	N/mm ²	205	N/mm ² 0.20<1.0
主桁②	曲げ	41	N/mm ²	205	N/mm ² 0.20<1.0
	せん断	3	N/mm ²	118	N/mm ² 0.03<1.0
	組合せ	42	N/mm ²	205	N/mm ² 0.21<1.0
斜材	曲げ	19	N/mm ²	205	N/mm ² 0.10<1.0
	せん断	1	N/mm ²	118	N/mm ² 0.01<1.0
	組合せ	20	N/mm ²	205	N/mm ² 0.10<1.0
横桁	曲げ	27	N/mm ²	205	N/mm ² 0.14<1.0
	せん断	3	N/mm ²	118	N/mm ² 0.03<1.0
	組合せ	28	N/mm ²	205	N/mm ² 0.14<1.0
プレース材	軸力	5	N/mm ²	205	N/mm ² 0.03<1.0
縦桁	曲げ	15	N/mm ²	205	N/mm ² 0.08<1.0
	せん断	1	N/mm ²	118	N/mm ² 0.01<1.0
	組合せ	16	N/mm ²	205	N/mm ² 0.08<1.0

* H鋼の弱軸について



プレース材には等辺山形鋼を用いているため強軸、弱軸はなく断面剛性は一様

表 6-3 曲げおよび軸力に関する応力評価結果（鋼製プラケット 弱軸方向）(1/2)

ケースNo.	解析ケース	評価部材	曲げモーメント (kN・m)	軸力 (kN)	発生応力度 $\sigma' s$ (N/mm ²)	短期許容応力度 $\sigma' sa$ (N/mm ²)	照査値 $\sigma' s / \sigma' sa$
1	地震時NS+1.0_UD+0.4	主桁①	0.075	20.024	3	205	0.02
		主桁②	0.316	17.245	2	205	0.01
		斜材	0.014	2.326	1	205	0.01
		横桁	0.462	0.293	1	205	0.01
		プレース	-	0.142	1	205	0.01
		縦桁	0.009	2.038	1	205	0.01
2	地震時NS+1.0_UD-0.4	主桁①	0.085	23.257	3	205	0.02
		主桁②	0.326	19.903	2	205	0.01
		斜材	0.068	6.613	2	205	0.01
		横桁	0.464	0.423	1	205	0.01
		プレース	-	0.484	1	205	0.01
		縦桁	0.044	9.245	2	205	0.01
3	地震時NS-1.0_UD+0.4	主桁①	0.065	16.887	2	205	0.01
		主桁②	0.306	14.672	2	205	0.01
		斜材	0.038	6.913	2	205	0.01
		横桁	0.461	0.188	1	205	0.01
		プレース	-	0.451	1	205	0.01
		縦桁	0.025	4.940	1	205	0.01
4	地震時NS-1.0_UD-0.4	主桁①	0.054	13.660	2	205	0.01
		主桁②	0.296	12.014	2	205	0.01
		斜材	0.093	13.345	3	205	0.02
		横桁	0.485	0.083	1	205	0.01
		プレース	-	0.896	2	205	0.01
		縦桁	0.061	12.155	3	205	0.02
5	地震時NS+0.4_UD+1.0	主桁①	0.025	6.522	1	205	0.01
		主桁②	0.122	5.678	1	205	0.01
		斜材	0.019	3.241	1	205	0.01
		横桁	0.184	0.067	1	205	0.01
		プレース	-	0.213	1	205	0.01
		縦桁	0.012	2.510	1	205	0.01
6	地震時NS+0.4_UD-1.0	主桁①	0.052	14.607	2	205	0.01
		主桁②	0.153	12.321	2	205	0.01
		斜材	0.116	12.859	3	205	0.02
		横桁	0.213	0.429	1	205	0.01
		プレース	-	0.919	2	205	0.01
		縦桁	0.076	15.525	3	205	0.02
7	地震時NS-0.4_UD+1.0	主桁①	0.031	8.240	1	205	0.01
		主桁②	0.127	7.085	1	205	0.01
		斜材	0.009	1.291	1	205	0.01
		横桁	0.185	0.129	1	205	0.01
		プレース	-	0.085	1	205	0.01
		縦桁	0.006	1.437	1	205	0.01
8	地震時NS-0.4_UD-1.0	主桁①	0.021	4.442	1	205	0.01
		主桁②	0.102	3.263	1	205	0.01
		斜材	0.126	15.894	4	205	0.02
		横桁	0.254	0.279	1	205	0.01
		プレース	-	1.100	2	205	0.01
		縦桁	0.082	16.689	4	205	0.02

表 6-3 曲げおよび軸力に関する応力評価結果（鋼製プラケット 弱軸方向）(2/2)

ケースNo.	解析ケース	評価部材	曲げモーメント (kN・m)	軸力 (kN)	発生応力度 $\sigma' s$ (N/mm ²)	短期許容応力度 $\sigma' sa$ (N/mm ²)	照査値 $\sigma' s / \sigma' sa$	
9	地震時EW+1.0_UD+0.4	主桁①	9.555	22.272	38	205	0.19	
		主桁②	23.205	31.599	41	205	0.20	
		斜材	2.622	4.073	18	205	0.09	
		横桁	15.247	14.312	27	205	0.14	
		プレース	-	2.568	5	205	0.03	
		縦桁	1.973	3.604	13	205	0.07	
10	地震時EW+1.0_UD-0.4	主桁①	9.554	19.643	38	205	0.19	
		主桁②	23.218	33.809	41	205	0.20	
		斜材	2.653	9.698	19	205	0.10	
		横桁	15.293	14.400	27	205	0.14	
		プレース	-	2.882	5	205	0.03	
		縦桁	1.981	10.531	15	205	0.08	
11	地震時EW-1.0_UD+0.4	主桁①	9.556	24.801	38	205	0.19	
		主桁②	23.193	29.466	41	205	0.20	
		斜材	2.585	4.540	17	205	0.09	
		横桁	15.203	14.226	27	205	0.14	
		プレース	-	2.296	4	205	0.02	
		縦桁	1.975	3.837	13	205	0.07	
12	地震時EW-1.0_UD-0.4	主桁①	9.555	27.367	39	205	0.20	
		主桁②	23.180	27.240	41	205	0.20	
		斜材	2.544	10.110	18	205	0.09	
		横桁	15.160	14.143	27	205	0.14	
		プレース	-	2.284	4	205	0.02	
		縦桁	1.977	11.047	15	205	0.08	
13	地震時EW+0.4_UD+1.0	主桁①	3.822	10.092	16	205	0.08	
		主桁②	9.277	11.627	17	205	0.09	
		斜材	1.028	2.092	7	205	0.04	
		横桁	6.078	5.685	11	205	0.06	
		プレース	-	0.910	2	205	0.01	
		縦桁	0.790	2.213	6	205	0.03	
14	地震時EW+0.4_UD-1.0	主桁①	3.822	11.967	16	205	0.08	
		主桁②	9.308	17.154	17	205	0.09	
		斜材	1.122	14.264	10	205	0.05	
		横桁	6.191	5.902	11	205	0.06	
		プレース	-	1.625	3	205	0.02	
		縦桁	0.806	15.968	8	205	0.04	
15	地震時EW-0.4_UD+1.0	主桁①	3.822	8.706	16	205	0.08	
		主桁②	9.283	12.793	17	205	0.09	
		斜材	1.050	1.852	7	205	0.04	
		横桁	6.103	5.733	11	205	0.06	
		プレース	-	1.057	2	205	0.01	
		縦桁	0.789	1.995	6	205	0.03	
16	地震時EW-0.4_UD-1.0	主桁①	3.822	15.215	16	205	0.08	
		主桁②	9.251	12.432	17	205	0.09	
		斜材	0.990	14.553	9	205	0.05	
		横桁	5.990	5.515	11	205	0.06	
		プレース	-	1.589	3	205	0.02	
		縦桁	0.796	16.246	8	205	0.04	
最大値		主桁①	9.555	27.367	39	205	0.20	
		主桁②	23.205	31.599	41	205	0.20	
		斜材	2.653	9.698	19	205	0.10	
		横桁	15.247	14.312	27	205	0.14	
		プレース	-	2.568	5	205	0.03	
		縦桁	1.981	10.531	15	205	0.08	

表 6-4 せん断に関する応力評価結果（鋼製プラケット 弱軸方向）(1/2)

ケースNo.	解析ケース	評価部材	せん断力 (kN)	発生 応力度 τ (N/mm ²)	短期 許容応力度 τ_a (N/mm ²)	照査値 τ / τ_a
1	地震時NS+1.0_UD+0.4	主桁①	0.061	1	118	0.01
		主桁②	0.283	1	118	0.01
		斜材	0.018	1	118	0.01
		横桁	2.504	1	118	0.01
		縦桁	0.018	1	118	0.01
2	地震時NS+1.0_UD-0.4	主桁①	0.069	1	118	0.01
		主桁②	0.290	1	118	0.01
		斜材	0.110	1	118	0.01
		横桁	2.539	1	118	0.01
		縦桁	0.089	1	118	0.01
3	地震時NS-1.0_UD+0.4	主桁①	0.053	1	118	0.01
		主桁②	0.276	1	118	0.01
		斜材	0.087	1	118	0.01
		横桁	2.559	1	118	0.01
		縦桁	0.050	1	118	0.01
4	地震時NS-1.0_UD-0.4	主桁①	0.045	1	118	0.01
		主桁②	0.269	1	118	0.01
		斜材	0.187	1	118	0.01
		横桁	2.615	1	118	0.01
		縦桁	0.122	1	118	0.01
5	地震時NS+0.4_UD+1.0	主桁①	0.021	1	118	0.01
		主桁②	0.110	1	118	0.01
		斜材	0.043	1	118	0.01
		横桁	1.028	1	118	0.01
		縦桁	0.025	1	118	0.01
6	地震時NS+0.4_UD-1.0	主桁①	0.041	1	118	0.01
		主桁②	0.127	1	118	0.01
		斜材	0.208	1	118	0.01
		横桁	1.108	1	118	0.01
		縦桁	0.152	1	118	0.01
7	地震時NS-0.4_UD+1.0	主桁①	0.025	1	118	0.01
		主桁②	0.113	1	118	0.01
		斜材	0.016	1	118	0.01
		横桁	0.998	1	118	0.01
		縦桁	0.011	1	118	0.01
8	地震時NS-0.4_UD-1.0	主桁①	0.018	1	118	0.01
		主桁②	0.096	1	118	0.01
		斜材	0.239	1	118	0.01
		横桁	1.138	1	118	0.01
		縦桁	0.165	1	118	0.01

表 6-4 せん断に関する応力評価結果（鋼製ブラケット 弱軸方向）(2/2)

ケースNo.	解析ケース	評価部材	せん断力 (kN)	発生 応力度 τ (N/mm ²)	短期 許容応力度 τ_a (N/mm ²)	照査値 τ / τ_a	
9	地震時EW+1.0_UD+0.4	主桁①	13.462	2	118	0.02	
		主桁②	25.122	3	118	0.03	
		斜材	3.036	1	118	0.01	
		横桁	28.873	3	118	0.03	
		縦桁	6.006	1	118	0.01	
10	地震時EW+1.0_UD-0.4	主桁①	13.460	2	118	0.02	
		主桁②	25.148	3	118	0.03	
		斜材	3.117	1	118	0.01	
		横桁	29.018	3	118	0.03	
		縦桁	6.027	1	118	0.01	
11	地震時EW-1.0_UD+0.4	主桁①	13.463	2	118	0.02	
		主桁②	25.099	3	118	0.03	
		斜材	3.059	1	118	0.01	
		横桁	28.734	3	118	0.03	
		縦桁	5.993	1	118	0.01	
12	地震時EW-1.0_UD-0.4	主桁①	13.464	2	118	0.02	
		主桁②	25.075	3	118	0.03	
		斜材	3.117	1	118	0.01	
		横桁	28.609	3	118	0.03	
		縦桁	5.978	1	118	0.01	
13	地震時EW+0.4_UD+1.0	主桁①	5.385	1	118	0.01	
		主桁②	10.039	1	118	0.01	
		斜材	1.228	1	118	0.01	
		横桁	11.488	1	118	0.01	
		縦桁	2.398	1	118	0.01	
14	地震時EW+0.4_UD-1.0	主桁①	5.382	1	118	0.01	
		主桁②	10.099	1	118	0.01	
		斜材	1.411	1	118	0.01	
		横桁	11.833	1	118	0.01	
		縦桁	2.437	1	118	0.01	
15	地震時EW-0.4_UD+1.0	主桁①	5.384	1	118	0.01	
		主桁②	10.051	1	118	0.01	
		斜材	1.215	1	118	0.01	
		横桁	11.565	1	118	0.01	
		縦桁	2.404	1	118	0.01	
16	地震時EW-0.4_UD-1.0	主桁①	5.388	1	118	0.01	
		主桁②	9.990	1	118	0.01	
		斜材	1.349	1	118	0.01	
		横桁	11.218	1	118	0.01	
		縦桁	2.364	1	118	0.01	
最大値		主桁①	13.464	2	118	0.02	
		主桁②	25.148	3	118	0.03	
		斜材	3.117	1	118	0.01	
		横桁	29.018	3	118	0.03	
		縦桁	6.027	1	118	0.01	

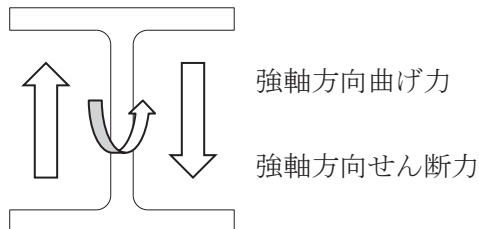
表 6-5 組合せ応力に関する応力評価結果（鋼製ブラケット 弱軸方向）

	評価部材	発生 応力度 $\sigma' s$ (N/mm ²)	発生 応力度 τ (N/mm ²)	組合せ 応力度 $\sigma' s$ (N/mm ²)	短期 許容応力度 $\sigma' sa$ (N/mm ²)	照査値 $\sigma' s / \sigma' sa$
最大値	主桁①	39	2	40	205	0.20
	主桁②	41	3	42	205	0.21
	斜材	19	1	20	205	0.10
	横桁	27	3	28	205	0.14
	縦桁	15	1	16	205	0.08

表 6-6 応力評価結果（鋼製ブラケット 強軸方向）

評価対象部位		発生値（＊強軸方向） (応力度又は荷重)		許容限界		検定値
主桁①	曲げ	8	N/mm ²	205	N/mm ²	0.04<1.0
	せん断	3	N/mm ²	118	N/mm ²	0.03<1.0
	組合せ	10	N/mm ²	205	N/mm ²	0.05<1.0
主桁②	曲げ	7	N/mm ²	205	N/mm ²	0.04<1.0
	せん断	3	N/mm ²	118	N/mm ²	0.03<1.0
	組合せ	9	N/mm ²	205	N/mm ²	0.05<1.0
斜材	曲げ	7	N/mm ²	205	N/mm ²	0.04<1.0
	せん断	3	N/mm ²	118	N/mm ²	0.03<1.0
	組合せ	9	N/mm ²	205	N/mm ²	0.05<1.0
横桁	曲げ	4	N/mm ²	205	N/mm ²	0.02<1.0
	せん断	2	N/mm ²	118	N/mm ²	0.02<1.0
	組合せ	6	N/mm ²	205	N/mm ²	0.03<1.0
ブレース材	軸力	5	N/mm ²	205	N/mm ²	0.03<1.0
縦桁	曲げ	14	N/mm ²	205	N/mm ²	0.07<1.0
	せん断	10	N/mm ²	118	N/mm ²	0.09<1.0
	組合せ	23	N/mm ²	205	N/mm ²	0.12<1.0

注記＊：H鋼の強軸について



ブレース材には等辺山形鋼を用いているため強軸、弱軸はなく断面剛性は一様

表 6-7 曲げおよび軸力に関する応力評価結果（鋼製ブラケット 強軸方向）(1/2)

ケースNo.	解析ケース	評価部材	曲げモーメント (kN・m)	軸力 (kN)	発生応力度 $\sigma' s$ (N/mm ²)	短期許容応力度 $\sigma' sa$ (N/mm ²)	照査値 $\sigma' s / \sigma' sa$
1	地震時NS+1.0_UD+0.4	主桁①	1.935	20.024	5	205	0.03
		主桁②	1.935	17.245	3	205	0.02
		斜材	2.149	2.326	5	205	0.03
		横桁	0.190	0.293	1	205	0.01
		プレース	-	0.142	1	205	0.01
		縦桁	2.149	2.038	5	205	0.03
2	地震時NS+1.0_UD-0.4	主桁①	3.679	23.257	8	205	0.04
		主桁②	3.661	19.903	5	205	0.03
		斜材	2.598	6.613	7	205	0.04
		横桁	0.520	0.423	1	205	0.01
		プレース	-	0.484	1	205	0.01
		縦桁	2.623	9.245	8	205	0.04
3	地震時NS-1.0_UD+0.4	主桁①	1.202	16.887	4	205	0.02
		主桁②	1.235	14.672	3	205	0.02
		斜材	1.768	6.913	5	205	0.03
		横桁	0.127	0.188	1	205	0.01
		プレース	-	0.451	1	205	0.01
		縦桁	2.631	4.940	7	205	0.04
4	地震時NS-1.0_UD-0.4	主桁①	1.905	13.660	4	205	0.02
		主桁②	1.886	12.014	3	205	0.02
		斜材	1.291	13.345	5	205	0.03
		横桁	0.458	0.083	1	205	0.01
		プレース	-	0.896	2	205	0.01
		縦桁	4.428	12.155	12	205	0.06
5	地震時NS+0.4_UD+1.0	主桁①	0.440	6.522	2	205	0.01
		主桁②	0.457	5.678	1	205	0.01
		斜材	0.653	3.241	2	205	0.01
		横桁	0.074	0.067	1	205	0.01
		プレース	-	0.213	1	205	0.01
		縦桁	0.991	2.510	3	205	0.02
6	地震時NS+0.4_UD-1.0	主桁①	4.558	14.607	8	205	0.04
		主桁②	4.529	12.321	6	205	0.03
		斜材	1.777	12.859	6	205	0.03
		横桁	0.748	0.429	1	205	0.01
		プレース	-	0.919	2	205	0.01
		縦桁	4.419	15.525	12	205	0.06
7	地震時NS-0.4_UD+1.0	主桁①	0.777	8.240	2	205	0.01
		主桁②	0.765	7.085	2	205	0.01
		斜材	1.054	1.291	3	205	0.02
		横桁	0.097	0.129	1	205	0.01
		プレース	-	0.085	1	205	0.01
		縦桁	1.443	1.437	4	205	0.02
8	地震時NS-0.4_UD-1.0	主桁①	3.849	4.442	6	205	0.03
		主桁②	3.819	3.263	4	205	0.02
		斜材	0.519	15.894	4	205	0.02
		横桁	0.724	0.279	1	205	0.01
		プレース	-	1.100	2	205	0.01
		縦桁	5.362	16.689	14	205	0.07

表 6-7 曲げおよび軸力に関する応力評価結果（鋼製プラケット 強軸方向）(2/2)

ケースNo.	解析ケース	評価部材	曲げモーメント (kN・m)	軸力 (kN)	発生応力度 $\sigma' s$ (N/mm ²)	短期許容応力度 $\sigma' sa$ (N/mm ²)	照査値 $\sigma' s / \sigma' sa$	
9	地震時EW+1.0_UD+0.4	主桁①	0.921	22.272	4	205	0.02	
		主桁②	1.237	31.599	4	205	0.02	
		斜材	0.384	4.073	2	205	0.01	
		横桁	2.536	14.312	4	205	0.02	
		プレース	-	2.568	5	205	0.03	
		縦桁	1.028	3.604	3	205	0.02	
10	地震時EW+1.0_UD-0.4	主桁①	2.853	19.643	6	205	0.03	
		主桁②	2.794	33.809	5	205	0.03	
		斜材	0.744	9.698	4	205	0.02	
		横桁	2.507	14.400	4	205	0.02	
		プレース	-	2.882	5	205	0.03	
		縦桁	3.287	10.531	9	205	0.05	
11	地震時EW-1.0_UD+0.4	主桁①	0.990	24.801	4	205	0.02	
		主桁②	1.158	29.466	4	205	0.02	
		斜材	0.384	4.540	2	205	0.01	
		横桁	2.567	14.226	4	205	0.02	
		プレース	-	2.296	4	205	0.02	
		縦桁	1.210	3.837	4	205	0.02	
12	地震時EW-1.0_UD-0.4	主桁①	2.857	27.367	7	205	0.04	
		主桁②	3.089	27.240	5	205	0.03	
		斜材	0.717	10.110	4	205	0.02	
		横桁	2.637	14.143	4	205	0.02	
		プレース	-	2.284	4	205	0.02	
		縦桁	3.417	11.047	9	205	0.05	
13	地震時EW+0.4_UD+1.0	主桁①	0.495	10.092	2	205	0.01	
		主桁②	0.581	11.627	2	205	0.01	
		斜材	0.207	2.092	1	205	0.01	
		横桁	1.038	5.685	2	205	0.01	
		プレース	-	0.910	2	205	0.01	
		縦桁	0.234	2.213	1	205	0.01	
14	地震時EW+0.4_UD-1.0	主桁①	4.227	11.967	7	205	0.04	
		主桁②	4.048	17.154	6	205	0.03	
		斜材	1.086	14.264	5	205	0.03	
		横桁	1.251	5.902	2	205	0.01	
		プレース	-	1.625	3	205	0.02	
		縦桁	4.849	15.968	13	205	0.07	
15	地震時EW-0.4_UD+1.0	主桁①	0.485	8.706	2	205	0.01	
		主桁②	0.563	12.793	2	205	0.01	
		斜材	0.208	1.852	1	205	0.01	
		横桁	1.023	5.733	2	205	0.01	
		プレース	-	1.057	2	205	0.01	
		縦桁	0.235	1.995	1	205	0.01	
16	地震時EW-0.4_UD-1.0	主桁①	4.179	15.215	8	205	0.04	
		主桁②	4.301	12.432	5	205	0.03	
		斜材	1.076	14.553	5	205	0.03	
		横桁	1.144	5.515	2	205	0.01	
		プレース	-	1.589	3	205	0.02	
		縦桁	4.938	16.246	14	205	0.07	
最大値		主桁①	3.679	23.257	8	205	0.04	
		主桁②	4.529	12.321	7	205	0.04	
		斜材	2.598	6.613	7	205	0.04	
		横桁	1.202	16.887	4	205	0.02	
		プレース	1.935	20.024	5	205	0.03	
		縦桁	5.362	16.689	14	205	0.07	

表 6-8 せん断に関する応力評価結果（鋼製プラケット 強軸方向）(1/2)

ケースNo.	解析ケース	評価部材	せん断力 (kN)	発生 応力度 τ (N/mm ²)	短期 許容応力度 τ_a (N/mm ²)	照査値 τ / τ_a
1	地震時NS+1.0_UD+0.4	主桁①	3.123	1	118	0.01
		主桁②	3.075	1	118	0.01
		斜材	2.969	3	118	0.03
		横桁	0.572	1	118	0.01
		縦桁	6.686	5	118	0.05
2	地震時NS+1.0_UD-0.4	主桁①	6.839	3	118	0.03
		主桁②	6.650	3	118	0.03
		斜材	3.794	3	118	0.03
		横桁	1.616	1	118	0.01
		縦桁	3.414	3	118	0.03
3	地震時NS-1.0_UD+0.4	主桁①	1.727	1	118	0.01
		主桁②	1.564	1	118	0.01
		斜材	2.234	2	118	0.02
		横桁	0.613	1	118	0.01
		縦桁	10.665	8	118	0.07
4	地震時NS-1.0_UD-0.4	主桁①	4.192	2	118	0.02
		主桁②	3.963	2	118	0.02
		斜材	1.447	2	118	0.02
		横桁	1.723	1	118	0.01
		縦桁	13.128	10	118	0.09
5	地震時NS+0.4_UD+1.0	主桁①	0.765	1	118	0.01
		主桁②	0.679	1	118	0.01
		斜材	0.830	1	118	0.01
		横桁	0.326	1	118	0.01
		縦桁	4.050	3	118	0.03
6	地震時NS+0.4_UD-1.0	主桁①	8.832	3	118	0.03
		主桁②	8.525	3	118	0.03
		斜材	2.893	3	118	0.03
		横桁	2.459	1	118	0.01
		縦桁	5.501	4	118	0.04
7	地震時NS-0.4_UD+1.0	主桁①	1.435	1	118	0.01
		主桁②	1.403	1	118	0.01
		斜材	1.300	1	118	0.01
		横桁	0.299	1	118	0.01
		縦桁	5.641	5	118	0.05
8	地震時NS-0.4_UD-1.0	主桁①	7.773	3	118	0.03
		主桁②	7.450	3	118	0.03
		斜材	0.855	1	118	0.01
		横桁	2.516	1	118	0.01
		縦桁	10.620	8	118	0.07

表 6-8 せん断に関する応力評価結果（鋼製プラケット 強軸方向）(2/2)

ケースNo.	解析ケース	評価部材	せん断力 (kN)	発生 応力度 τ (N/mm ²)	短期 許容応力度 τ_a (N/mm ²)	照査値 τ / τ_a	
9	地震時EW+1.0_UD+0.4	主桁①	1.778	1	118	0.01	
		主桁②	1.811	1	118	0.01	
		斜材	0.432	1	118	0.01	
		横桁	3.739	2	118	0.02	
		縦桁	1.578	2	118	0.02	
10	地震時EW+1.0_UD-0.4	主桁①	5.551	2	118	0.02	
		主桁②	5.042	2	118	0.02	
		斜材	1.248	1	118	0.01	
		横桁	4.596	2	118	0.02	
		縦桁	4.953	4	118	0.04	
11	地震時EW-1.0_UD+0.4	主桁①	1.864	1	118	0.01	
		主桁②	1.932	1	118	0.01	
		斜材	0.426	1	118	0.01	
		横桁	3.798	2	118	0.02	
		縦桁	1.889	2	118	0.02	
12	地震時EW-1.0_UD-0.4	主桁①	5.540	2	118	0.02	
		主桁②	5.570	2	118	0.02	
		斜材	1.253	1	118	0.01	
		横桁	4.808	2	118	0.02	
		縦桁	5.201	4	118	0.04	
13	地震時EW+0.4_UD+1.0	主桁①	0.972	1	118	0.01	
		主桁②	1.016	1	118	0.01	
		斜材	0.234	1	118	0.01	
		横桁	1.620	1	118	0.01	
		縦桁	0.822	1	118	0.01	
14	地震時EW+0.4_UD-1.0	主桁①	8.317	3	118	0.03	
		主桁②	7.882	3	118	0.03	
		斜材	1.875	2	118	0.02	
		横桁	3.486	2	118	0.02	
		縦桁	7.250	6	118	0.06	
15	地震時EW-0.4_UD+1.0	主桁①	0.960	1	118	0.01	
		主桁②	0.895	1	118	0.01	
		斜材	0.237	1	118	0.01	
		横桁	1.583	1	118	0.01	
		縦桁	0.826	1	118	0.01	
16	地震時EW-0.4_UD-1.0	主桁①	8.289	3	118	0.03	
		主桁②	8.093	3	118	0.03	
		斜材	1.876	2	118	0.02	
		横桁	3.473	2	118	0.02	
		縦桁	7.421	6	118	0.06	
最大値		主桁①	8.832	3	118	0.03	
		主桁②	8.525	3	118	0.03	
		斜材	3.794	3	118	0.03	
		横桁	4.808	2	118	0.02	
		縦桁	13.128	10	118	0.09	

表 6-9 組合せ応力に関する応力評価結果（鋼製プラケット 強軸方向）

	評価部材	発生 応力度 σ' s (N/mm ²)	発生 応力度 τ (N/mm ²)	組合せ 応力度 σ' s (N/mm ²)	短期 許容応力度 $\sigma'sa$ (N/mm ²)	照査値 $\sigma's/\sigma'sa$
最大値	主桁①	8	3	10	205	0.05
	主桁②	7	3	9	205	0.05
	斜材	7	3	9	205	0.05
	横桁	4	2	6	205	0.03
	縦桁	14	10	23	205	0.12

表 6-10 応力評価結果 固定ボルト

評価対象部位		発生値 (応力度又は荷重)		許容限界		検定値
固定ボルト①	引張	16.7	kN	50.2	kN	0.34<1.0
	せん断	4.2	kN	35.1	kN	0.12<1.0
	組合せ	—		—		0.13<1.0
固定ボルト②	引張	6.0	kN	37.8	kN	0.16<1.0
	せん断	4.3	kN	18.4	kN	0.24<1.0
	組合せ	—		—		0.08<1.0

表 6-11 固定ボルトに関する評価結果（引張）(1/2)

ケースNo.	解析ケース	固定ボルト① (上部)					検定値	
		発生作用力 引張			許容限界 引張 Tda	照査値 Td/Tda		
		Rn/本	Rm/本	Td				
1	地震時NS+1.0_UD+0.4	-	0.30	0.3	50.2	0.01	1.0	
2	地震時NS+1.0_UD-0.4	-	5.36	5.4	50.2	0.11	1.0	
3	地震時NS-1.0_UD+0.4	2.67	6.58	9.3	50.2	0.19	1.0	
4	地震時NS-1.0_UD-0.4	3.29	11.07	14.4	50.2	0.29	1.0	
5	地震時NS+0.4_UD+1.0	-	2.48	2.5	50.2	0.05	1.0	
6	地震時NS+0.4_UD-1.0	1.03	11.05	12.1	50.2	0.25	1.0	
7	地震時NS-0.4_UD+1.0	1.42	3.61	5.1	50.2	0.11	1.0	
8	地震時NS-0.4_UD-1.0	2.66	13.41	16.1	50.2	0.33	1.0	
9	地震時EW+1.0_UD+0.4	0.40	2.57	3.0	50.2	0.06	1.0	
10	地震時EW+1.0_UD-0.4	1.24	8.22	9.5	50.2	0.19	1.0	
11	地震時EW-1.0_UD+0.4	0.48	3.03	3.6	50.2	0.08	1.0	
12	地震時EW-1.0_UD-0.4	1.31	8.55	9.9	50.2	0.20	1.0	
13	地震時EW+0.4_UD+1.0	0.21	0.59	0.8	50.2	0.02	1.0	
14	地震時EW+0.4_UD-1.0	1.82	12.13	14.0	50.2	0.28	1.0	
15	地震時EW-0.4_UD+1.0	0.21	0.59	0.8	50.2	0.02	1.0	
16	地震時EW-0.4_UD-1.0	1.86	12.35	14.3	50.2	0.29	1.0	
最大値		3.29	13.41	16.7	50.2	0.34	1.0	

表 6-11 固定ボルトに関する評価結果（引張）(2/2)

ケースNo.	解析ケース	固定ボルト② (下部)					検定値	
		発生作用力 引張			許容限界 引張 Tda	照査値 Td/Tda		
		Rn/本	Rm/本	Td				
1	地震時NS+1.0_UD+0.4	-	2.25	2.3	37.8	0.07	1.0	
2	地震時NS+1.0_UD-0.4	-	4.60	4.6	37.8	0.13	1.0	
3	地震時NS-1.0_UD+0.4	-	0.11	0.2	37.8	0.01	1.0	
4	地震時NS-1.0_UD-0.4	-	2.39	2.4	37.8	0.07	1.0	
5	地震時NS+0.4_UD+1.0	0.11	0.18	0.3	37.8	0.01	1.0	
6	地震時NS+0.4_UD-1.0	-	5.70	5.7	37.8	0.16	1.0	
7	地震時NS-0.4_UD+1.0	0.23	0.98	1.3	37.8	0.04	1.0	
8	地震時NS-0.4_UD-1.0	-	4.82	4.9	37.8	0.13	1.0	
9	地震時EW+1.0_UD+0.4	-	1.55	1.6	37.8	0.05	1.0	
10	地震時EW+1.0_UD-0.4	-	3.57	3.6	37.8	0.10	1.0	
11	地震時EW-1.0_UD+0.4	-	1.45	1.5	37.8	0.04	1.0	
12	地震時EW-1.0_UD-0.4	-	3.87	3.9	37.8	0.11	1.0	
13	地震時EW+0.4_UD+1.0	0.18	0.73	1.0	37.8	0.03	1.0	
14	地震時EW+0.4_UD-1.0	-	5.29	5.3	37.8	0.15	1.0	
15	地震時EW-0.4_UD+1.0	0.18	0.71	0.9	37.8	0.03	1.0	
16	地震時EW-0.4_UD-1.0	-	5.38	5.4	37.8	0.15	1.0	
最大値		0.23	5.70	6.0	37.8	0.16	1.0	

表 6-12 固定ボルトに関する評価結果（せん断）(1/2)

ケースNo.	解析ケース	固定ボルト① (上部)			
		発生作用力 せん断 q	許容限界 せん断 qa	照査値 q/qa	検定値
1	地震時NS+1.0_UD+0.4	0.6	35.1	0.02	1.0
2	地震時NS+1.0_UD-0.4	2.4	35.1	0.07	1.0
3	地震時NS-1.0_UD+0.4	1.3	35.1	0.04	1.0
4	地震時NS-1.0_UD-0.4	3.1	35.1	0.09	1.0
5	地震時NS+0.4_UD+1.0	0.7	35.1	0.02	1.0
6	地震時NS+0.4_UD-1.0	3.9	35.1	0.12	1.0
7	地震時NS-0.4_UD+1.0	0.4	35.1	0.02	1.0
8	地震時NS-0.4_UD-1.0	4.2	35.1	0.12	1.0
9	地震時EW+1.0_UD+0.4	1.0	35.1	0.03	1.0
10	地震時EW+1.0_UD-0.4	2.7	35.1	0.08	1.0
11	地震時EW-1.0_UD+0.4	1.0	35.1	0.03	1.0
12	地震時EW-1.0_UD-0.4	2.8	35.1	0.08	1.0
13	地震時EW+0.4_UD+1.0	0.6	35.1	0.02	1.0
14	地震時EW+0.4_UD-1.0	4.0	35.1	0.12	1.0
15	地震時EW-0.4_UD+1.0	0.5	35.1	0.02	1.0
16	地震時EW-0.4_UD-1.0	4.1	35.1	0.12	1.0
最大値		4.2	35.1	0.12	1.0

表 6-12 固定ボルトに関する評価結果（せん断）(2/2)

ケースNo.	解析ケース	固定ボルト② (下部)			
		発生作用力 せん断 q	許容限界 せん断 qa	照査値 q/qa	検定値
1	地震時NS+1.0_UD+0.4	3.0	18.4	0.17	1.0
2	地震時NS+1.0_UD-0.4	3.4	18.4	0.19	1.0
3	地震時NS-1.0_UD+0.4	2.6	18.4	0.15	1.0
4	地震時NS-1.0_UD-0.4	2.2	18.4	0.12	1.0
5	地震時NS+0.4_UD+1.0	1.0	18.4	0.06	1.0
6	地震時NS+0.4_UD-1.0	2.1	18.4	0.12	1.0
7	地震時NS-0.4_UD+1.0	1.3	18.4	0.08	1.0
8	地震時NS-0.4_UD-1.0	0.3	18.4	0.02	1.0
9	地震時EW+1.0_UD+0.4	4.0	18.4	0.22	1.0
10	地震時EW+1.0_UD-0.4	4.3	18.4	0.24	1.0
11	地震時EW-1.0_UD+0.4	3.7	18.4	0.21	1.0
12	地震時EW-1.0_UD-0.4	3.5	18.4	0.20	1.0
13	地震時EW+0.4_UD+1.0	1.5	18.4	0.09	1.0
14	地震時EW+0.4_UD-1.0	2.2	18.4	0.12	1.0
15	地震時EW-0.4_UD+1.0	1.6	18.4	0.09	1.0
16	地震時EW-0.4_UD-1.0	2.0	18.4	0.11	1.0
最大値		4.3	18.4	0.24	1.0

表 6-13 固定ボルトに関する評価結果（組合せ）（1／2）

	固定ボルト①（上部）			検定値	
	発生作用力		組合せ		
	引張 Td	せん断 q			
最大値	16.7	4.2	0.13	1.0	

表 6-13 固定ボルトに関する評価結果（組合せ）（2／2）

	固定ボルト②（下部）			検定値	
	発生作用力		組合せ		
	引張 Td	せん断 q			
最大値	6.0	4.3	0.08	1.0	

表 6-14 変形性評価結果

評価対象部位		地震時 最大応答変位 (mm)		地震時 相対変位量 (mm)	許容限界 (mm)
		第3号機海水 熱交換器建屋	第3号機補機冷却 海水系放水ピット		
止水ジョイント ①	開き方向	12	69	81	550
	せん断方向	14	138	152	550
止水ジョイント ②	開き方向	14	138	152	550
	せん断方向	12	69	81	550
止水ジョイント ③	開き方向	12	69	81	550
	せん断方向	14	138	152	550

表 6-15 第3号機海水熱交換器建屋及び第3号機補機冷却海水系放水ピット
の地震時最大応答変位

d _b _{NS} : 第3号機海水熱交換器建屋の 地震時最大応答変位 (NS 方向) * ¹	12 mm
d _b _{EW} : 第3号機海水熱交換器建屋の 地震時最大応答変位 (EW 方向) * ¹	14 mm
d _p _{NS} : 第3号機補機冷却海水系放水ピットの 地震時最大応答変位 (NS 方向) * ²	69 mm
d _p _{EW} : 第3号機補機冷却海水系放水ピットの 地震時最大応答変位 (EW 方向) * ²	138 mm

注記*1 : 添付資料「V-2-2-29 第3号機海水熱交換器建屋の地震応答計算書」より

*2 : 「別紙1 第3号機補機冷却海水系放水ピットの耐震性について」より

[別紙 1] 第 3 号機補機冷却海水系放水ピットの耐震性について

目 次

1.	概要	1
2.	基本方針	2
2.1	位置	2
2.2	構造概要	3
2.3	評価方針	8
2.4	適用基準	12
3.	地震応答解析	13
3.1	地震時荷重算出断面	13
3.2	解析方法	15
3.2.1	構造部材	18
3.2.2	地盤物性及び材料特性の設定	18
3.2.3	減衰定数	20
3.2.4	地震応答解析の解析ケースの選定	21
3.3	荷重及び荷重の組合せ	23
3.3.1	耐震評価上考慮する状態	23
3.3.2	荷重	23
3.3.3	荷重の組合せ	24
3.4	入力地震動	25
3.5	解析モデル及び諸元	54
3.5.1	解析モデル	54
3.5.2	使用材料及び材料の物性値	59
3.5.3	地盤の物性値	59
3.5.4	地下水位	60
3.6	地震応答解析結果	62
3.6.1	浸水防止蓋の変形性評価に用いる EW 断面の解析結果	62
3.6.2	浸水防止蓋の変形性評価に用いる NS 断面の解析結果	63
4.	三次元構造解析	64
4.1	評価方法	64
4.1.1	構造部材の健全性評価	64
4.1.2	基礎地盤の支持性能評価	67
4.1.3	許容限界	67
4.2	構造部材の地震時応答	69
4.3	耐震評価結果	72
4.3.1	構造部材の健全性及び止水機能、支持機能に対する評価結果	72
4.3.2	基礎地盤の支持性能に対する評価結果	78

1. 概要

本資料は、浸水防止蓋（第3号機補機冷却海水系放水ピット）（以下「浸水防止蓋」という。）の止水ジョイントが設置される第3号機補機冷却海水系放水ピットが基準地震動S_sに対して十分な構造強度及び支持機能を有していることを確認するものである。

第3号機補機冷却海水系放水ピットに要求される機能の維持を確認するにあたっては、第3号機補機冷却海水系放水ピットは、面部材として加振方向に平行に配置される妻壁や隔壁を有する箱形構造物であることから、二次元地震応答解析により地震時荷重を算定し、その荷重を三次元構造解析モデルに作用させて耐震評価を実施するものである。また、地震応答解析により基礎地盤の支持性能評価も合わせて行う。

浸水防止蓋の止水ジョイントの変形性評価に用いる第3号機補機冷却海水系放水ピットの地震時最大変位量は本書の地震応答解析による解析値を用いている。

2. 基本方針

2.1 位置

第3号機補機冷却海水系放水ピットの位置を図2-1に示す。

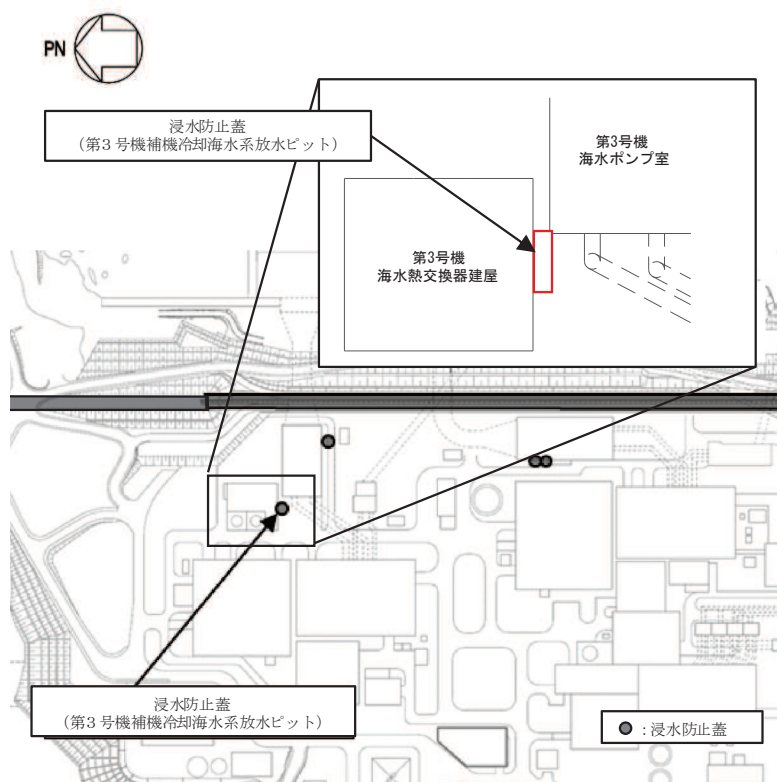


図2-1 第3号機補機冷却海水系放水ピットの位置図

2.2 構造概要

第3号機補機冷却海水系放水ピットの概要図を図2-2～図2-7に、概略配筋図を図2-8～図2-10に示す。

第3号機補機冷却海水系放水ピットは、浸水防止設備である浸水防止蓋の止水ジョイントの支持構造物としての支持機能、および津波に対する止水機能が要求される。

第3号機補機冷却海水系放水ピットは、岩盤上にマンメイドロック（以下、「MMR」という。）を介して設置される。また、中間スラブを配した二階建て構造となっており、また上部・下部とともに各エリアが隔壁により仕切られている。

第3号機補機冷却海水系放水ピットは、加振方向に平行に配置される妻壁や隔壁等の面部材を耐震部材として考慮する箱形構造物である。第3号機海水熱交換器建屋とは十分な強度を有する緩衝材を介して接している。

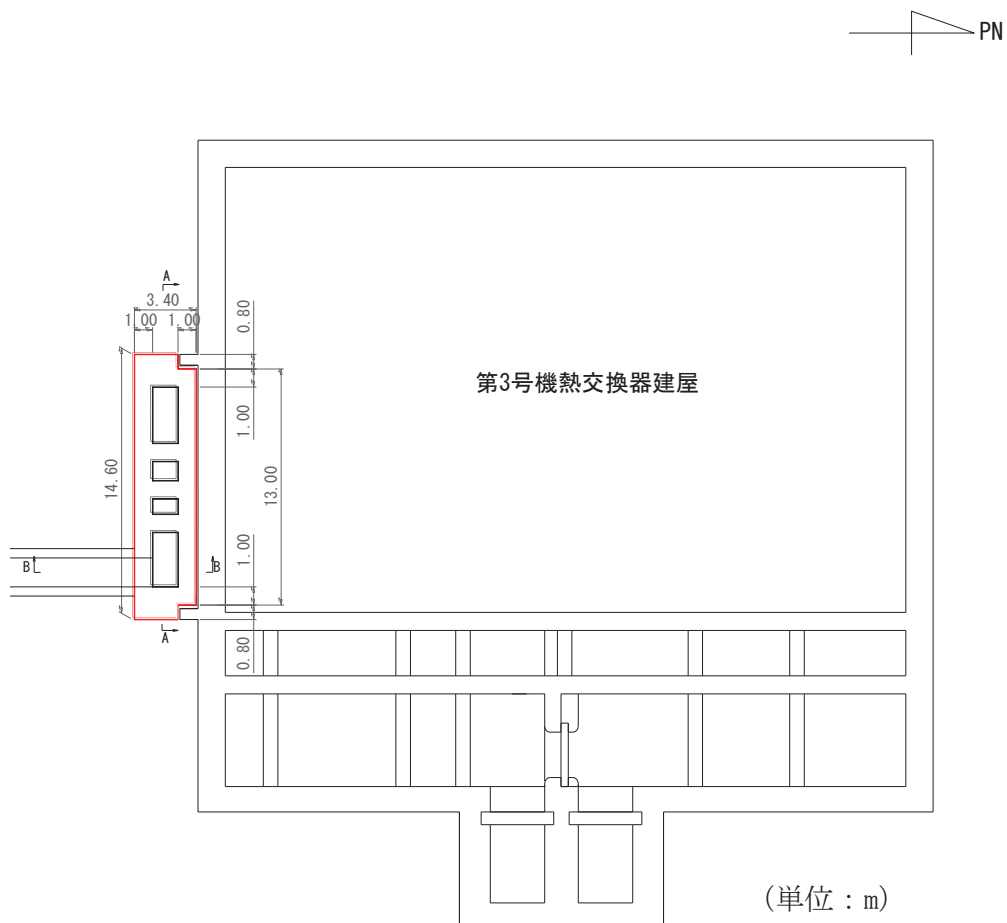


図 2-2 第3号機補機冷却海水系放水ピット平面図

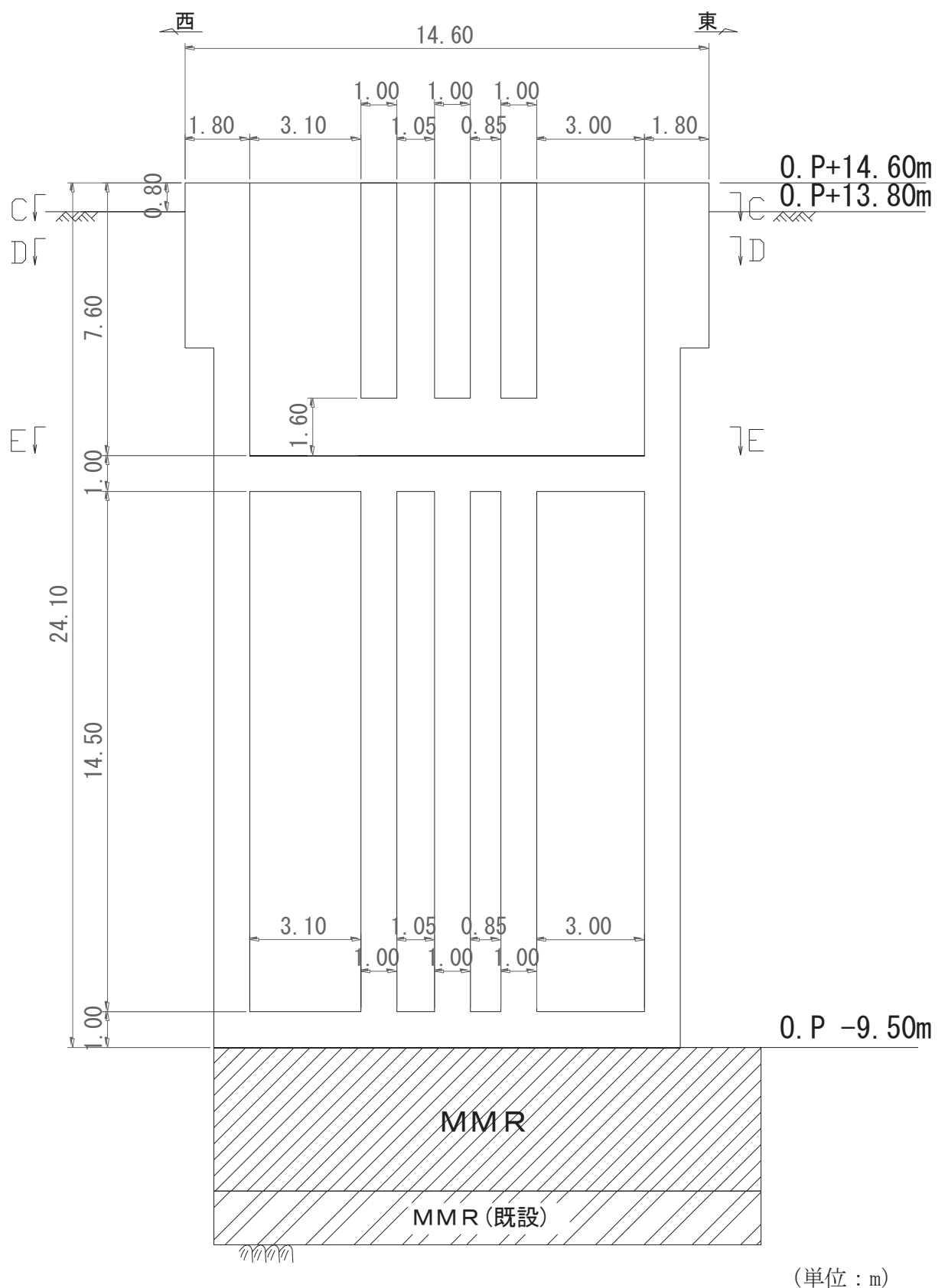


図 2-3 第 3 号機補機冷却海水系放水ピット縦断図 (A-A 断面)

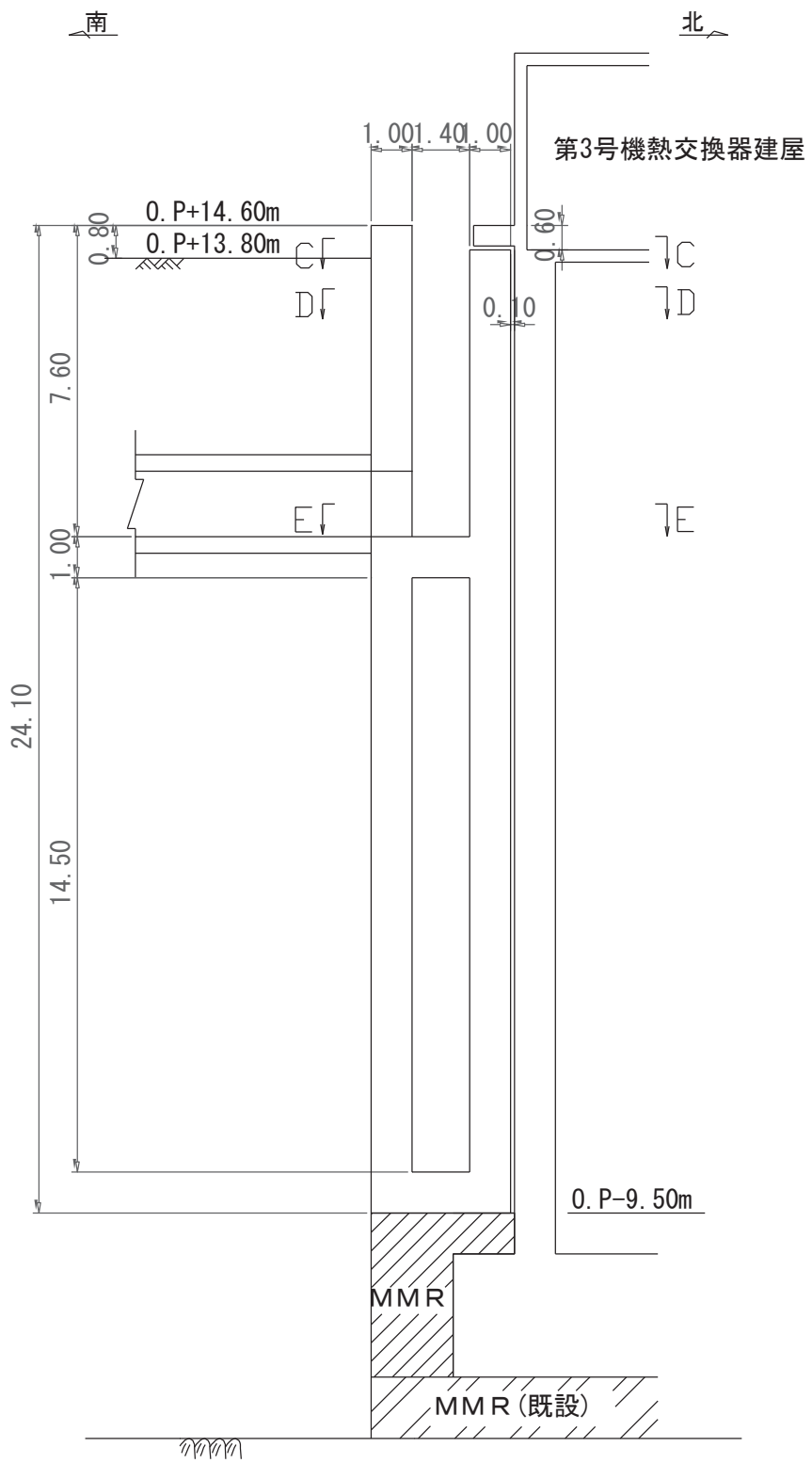


図 2-4 第 3 号機補機冷却海水系放水ピット横断図 (B-B 断面)

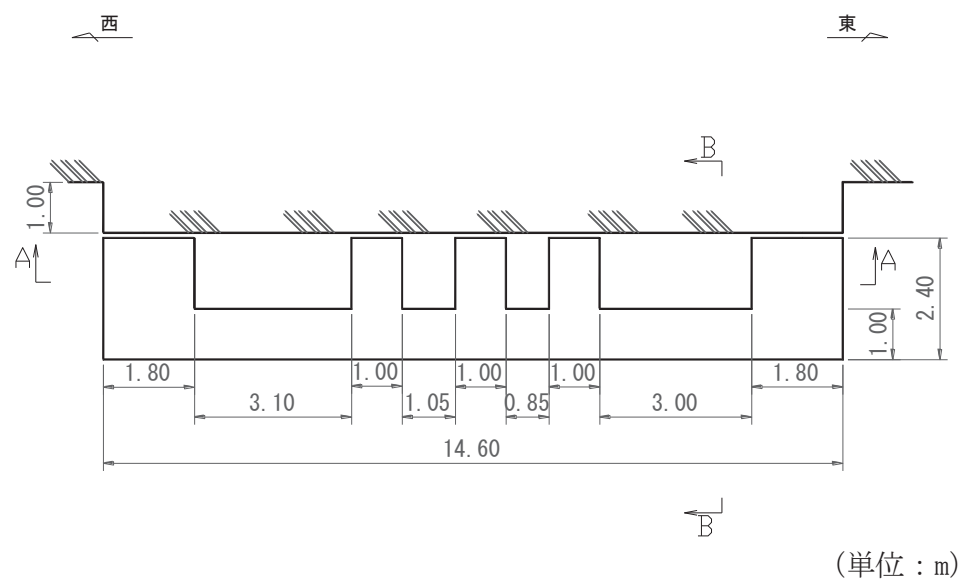


図 2-5 第 3 号機補機冷却海水系放水ピット平面図 (C-C 断面)

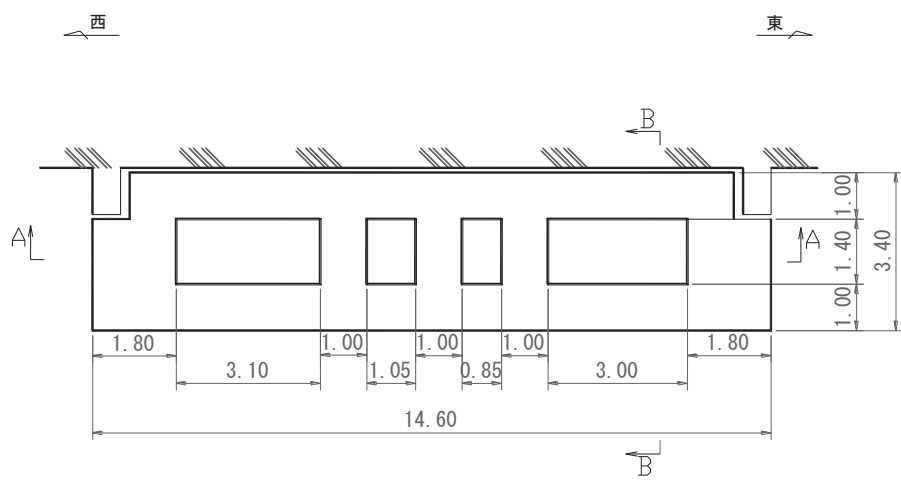


図 2-6 第 3 号機補機冷却海水系放水ピット平面図 (D-D 断面)

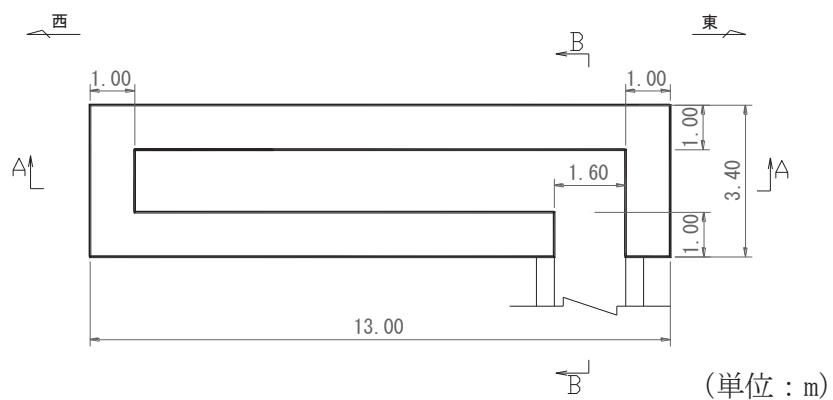


図 2-7 第 3 号機補機冷却海水系放水ピット平面図 (E-E 断面)

追而

図 2-8 第 3 号機補機冷却海水系放水ピット概略配筋図（平面図）

追而

図 2-9 第 3 号機補機冷却海水系放水ピット概略配筋図（縦断図）

追而

図 2-10 第 3 号機補機冷却海水系放水ピット概略配筋図（横断図）

2.3 評価方針

第3号機補機冷却海水系放水ピットは、浸水防止設備である浸水防止蓋の止水ジョイントを設置していることから基準地震動S sに対して十分な構造強度及び支持機能を有していること及び止水機能を確認する。

第3号機補機冷却海水系放水ピットの耐震評価フローを図2-11～図2-12に示す。図2-11は地震応答解析の評価フロー図であり、図2-12は構造部材の健全性評価の評価フロー図である。

地震応答解析は、「2. 基本方針」に基づき、「3.1 地震時荷重算出断面」に示す断面において、「3.2 解析方法」に示す水平地震動と鉛直地震動の同時加振による二次元有限要素法を用いた時刻歴応答解析により行うこととし、「3.3 荷重及び荷重の組合せ」及び「3.5 解析モデル及び諸元」に示す条件を基に、「3.4 入力地震動」により設定する入力地震動を用いて実施する。

地震応答解析による地震時土圧、慣性力及び基礎地盤の接地圧は、第3号機補機冷却海水系放水ピットの耐震評価に用いる。

また、地震応答解析による第3号機補機冷却海水系放水ピット天端の地震時最大応答変位は浸水防止蓋の変形性評価に用いる。

第3号機補機冷却海水系放水ピットの耐震評価は、地震応答解析の結果に基づき、表2-1に示すとおり、構造部材の健全性評価及び基礎地盤の支持性能評価を行う。

構造部材の健全性評価及び基礎地盤の支持性能評価を実施することで、構造強度を有すること及び支持する機能を損なわないことを確認する。

構造部材の健全性評価については、地震応答解析により得られた水平方向及び鉛直方向の荷重を用いた、線形シェル要素による三次元静的線形解析（以下「三次元構造解析」という。）により断面力を算定し、添付書類「VI-2-1-9 機能維持の基本方針」に基づき、曲げ・軸力系の破壊については構造部材の発生応力度が許容限界を下回ること、せん断破壊に対してはせん断力が許容限界を下回ることを確認する。

なお、曲げ・軸力系の破壊に対する照査において、面内せん断力を軸力として考慮していることから、壁部材の面内せん断（層間変形角）に対しては、曲げ・軸力系の破壊に対する照査において併せて確認している。

基礎地盤の支持性能評価は、地震応答解析により算定される接地圧が、添付書類「VI-2-1-9 機能維持の基本方針」に基づく許容限界を下回ることを確認する。

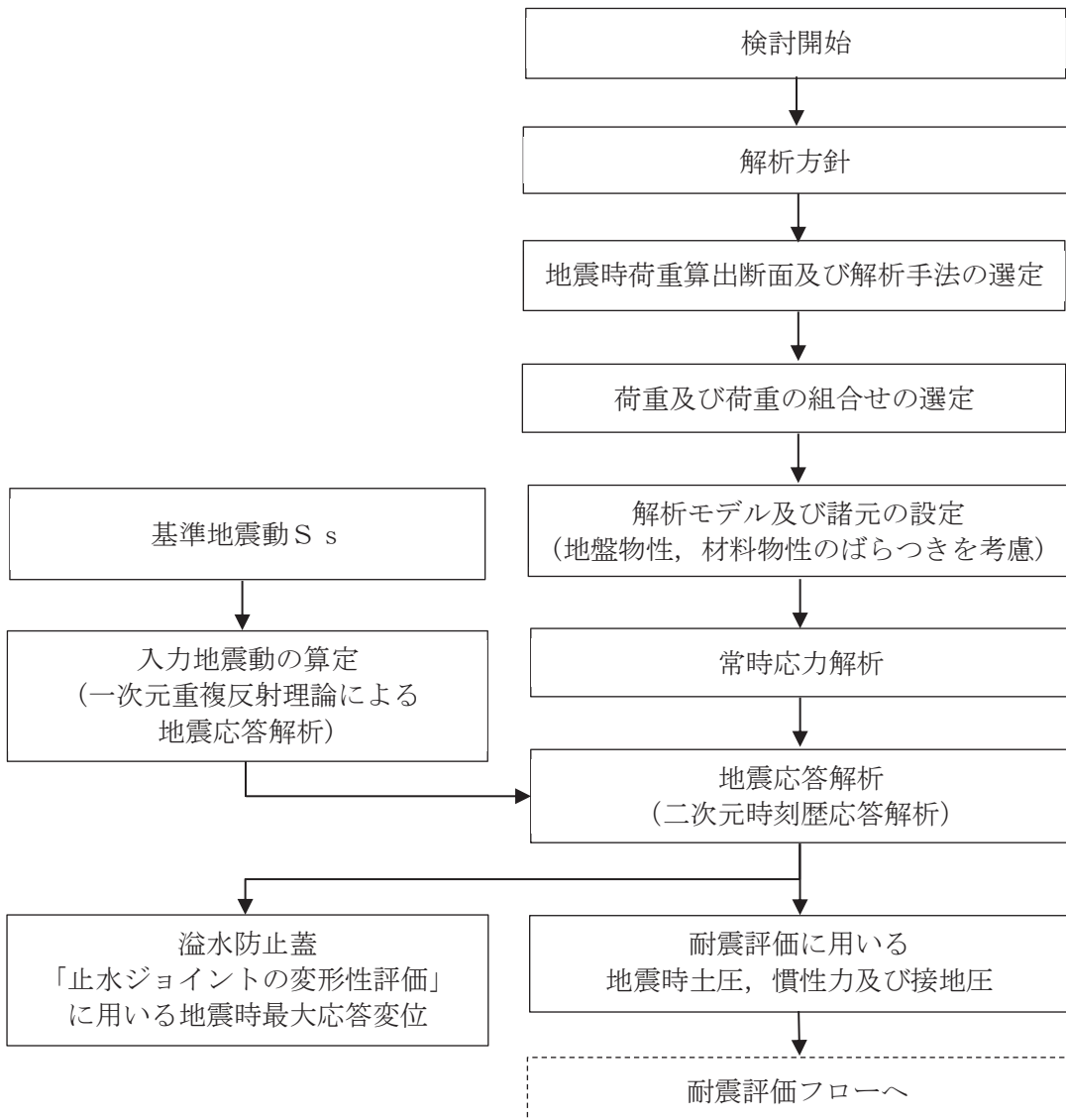


図 2-11 第 3 号機補機冷却海水系放水ピットの地震応答解析フロー

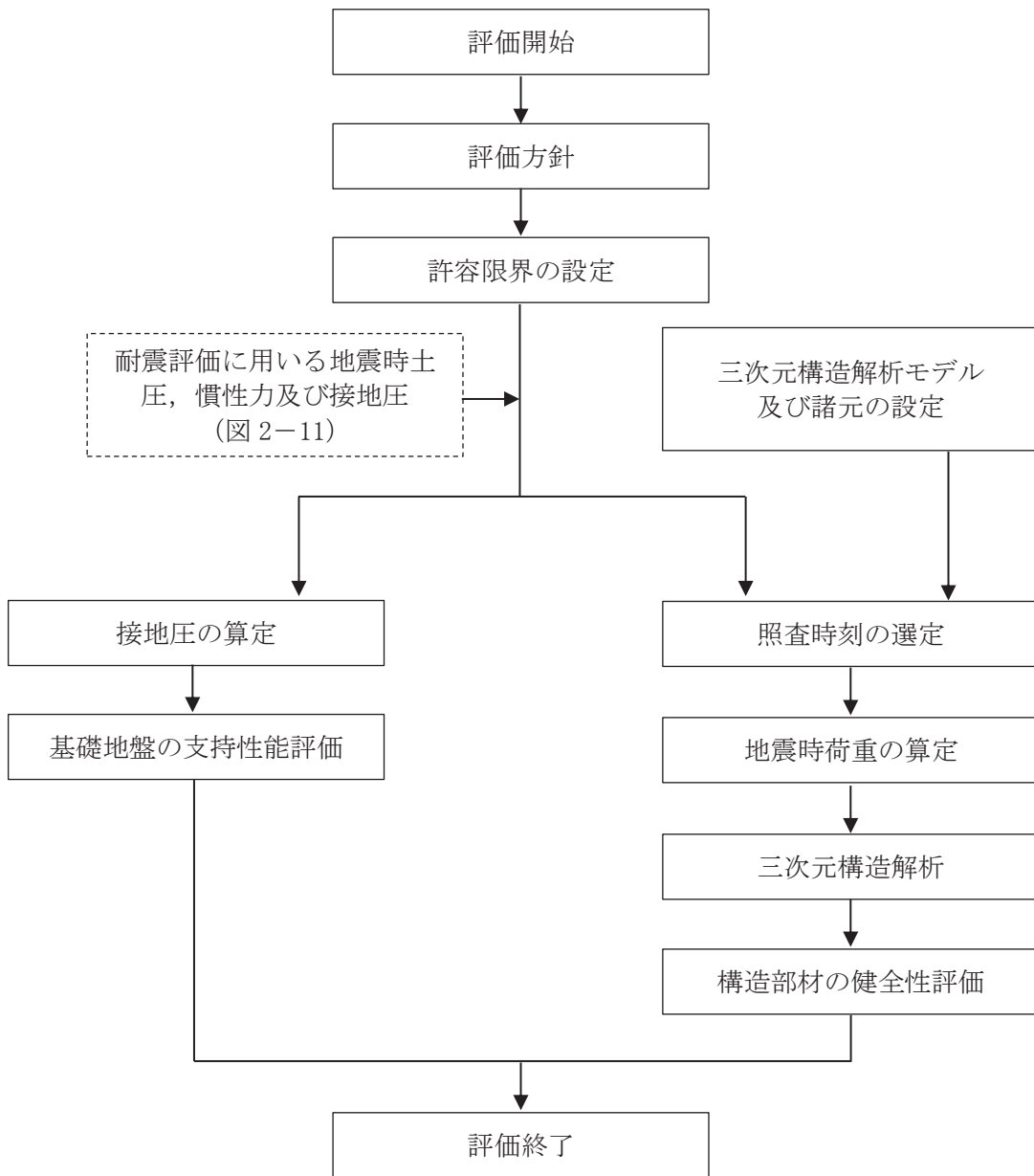


図 2-12 第 3 号機補機冷却海水系放水ピットの耐震評価フロー

表 2-1 第3号機補機冷却海水系放水ピットの評価項目

評価方針	評価項目	部位	評価方法	許容限界	
構造強度を有すること及び支持する機能を損なわないこと	構造部材の健全性	鉄筋コンクリート部材	発生応力度、断面力が許容限界を下回ることを確認	曲げ・軸力	短期許容応力度
				せん断力	短期許容せん断力
	基礎地盤の支持性能	基礎地盤	発生する接地圧が許容限界を下回ることを確認	岩盤の極限支持力*	
		MMR		MMR の支圧強度*	
止水機能を損なわないこと	構造部材の健全性	鉄筋コンクリート部材	発生応力度、断面力が許容限界を下回ることを確認	曲げ・軸力	短期許容応力度
				せん断力	短期許容せん断力

注記*：妥当な安全余裕を考慮する。

2.4 適用基準

第3号機補機冷却海水系放水ピットの耐震評価に当たっては、コンクリート標準示方書[構造性能照査編]（土木学会 2002年制定）（以下「コンクリート標準示方書」という。），原子力発電所耐震設計技術指針 JEAG4601-1987（社団法人 日本電気協会 電気技術基準調査委員会）を適用するが、鉄筋コンクリート部材の曲げ・軸力系の破壊及びせん断破壊の許容限界の一部については、原子力発電所屋外重要土木構造物の耐震性能照査指針・マニュアル（2005年6月 土木学会 原子力土木委員会）（以下「土木学会マニュアル」という。）を適用する。

また、三次元静的材料非線形解析（以下「三次元構造解析」という。）に用いる材料定数については、コンクリート標準示方書[設計編]（土木学会 2017年制定）（以下「コンクリート標準示方書2017」という。）を適用する。

表2-2に適用する規格、基準類を示す。

表2-2 適用する規格、基準類

項目	適用する規格、基準類	備考
使用材料及び材料定数	・コンクリート標準示方書[構造性能照査編]（土木学会 2002年制定）	・鉄筋の材料諸元(γ , E, ν) ・コンクリートの材料諸元(γ , E, ν)
荷重及び荷重の組合せ	・コンクリート標準示方書[構造性能照査編]（土木学会 2002年制定）	・永久荷重、偶発荷重等の適切な組合せを検討
許容限界	・コンクリート標準示方書[構造性能照査編]（土木学会 2002年制定）	・曲げ・軸力系の破壊に対する照査において、発生応力度が短期許容応力度（コンクリート許容圧縮応力度 16.5N/mm^2 、鉄筋許容引張応力度 294N/mm^2 ）以下であることを確認* ・せん断破壊に対する照査において、発生せん断力が短期許容せん断力（コンクリート許容せん断応力度 0.75N/mm^2 、鉄筋許容引張応力度 294N/mm^2 から算出される許容せん断力）以下であることを確認*
地震応答解析	・原子力発電所耐震設計技術指針 JEAG4601-1987（社団法人 日本電気協会 電気技術基準調査委員会）	・有限要素法による二次元モデルを用いた時刻歴非線形解析

注記*：妥当な安全余裕を考慮する。

3. 地震応答解析

3.1 地震時荷重算出断面

第3号機補機冷却海水系放水ピットの地震時荷重算出断面位置を図3-1に示す。地震時荷重算出断面は、南北・東西方向ともに構造物中心を通る断面(NS断面, EW断面)とする。地震時荷重算出用地質断面図を図3-2～図3-3に示す。

なお、加振方向に平行に配置され耐震上見込むことができる面部材の配置から、南北方向(NS断面)が弱軸方向となり、東西方向(EW断面)が強軸方向となる。

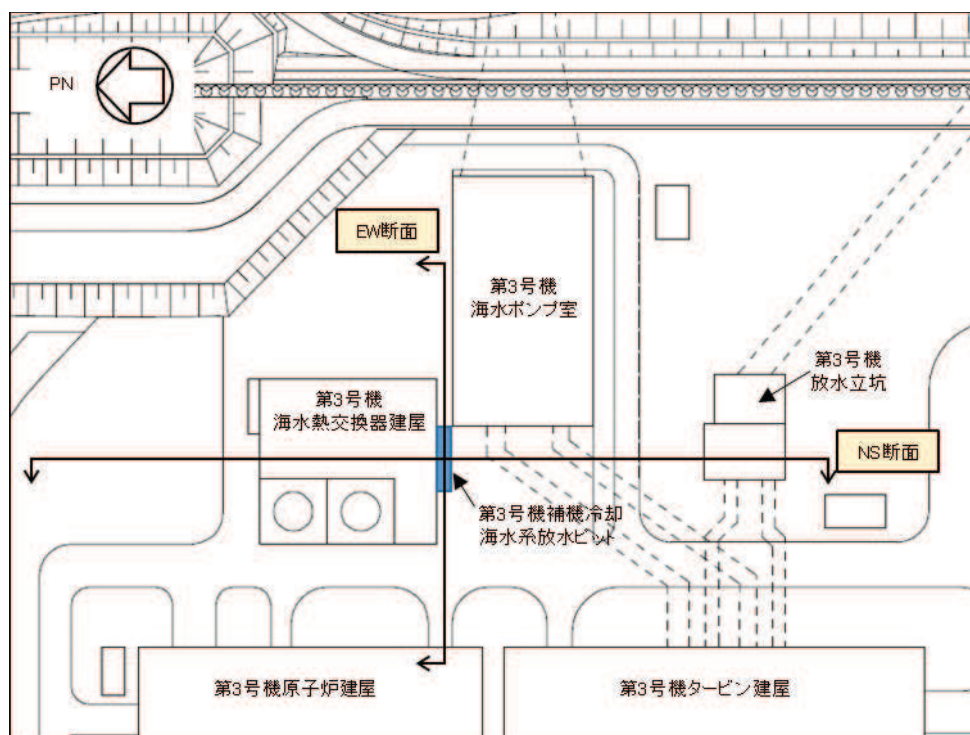


図3-1 第3号機補機冷却海水系放水ピットの地震時荷重算出断面位置図

凡 例

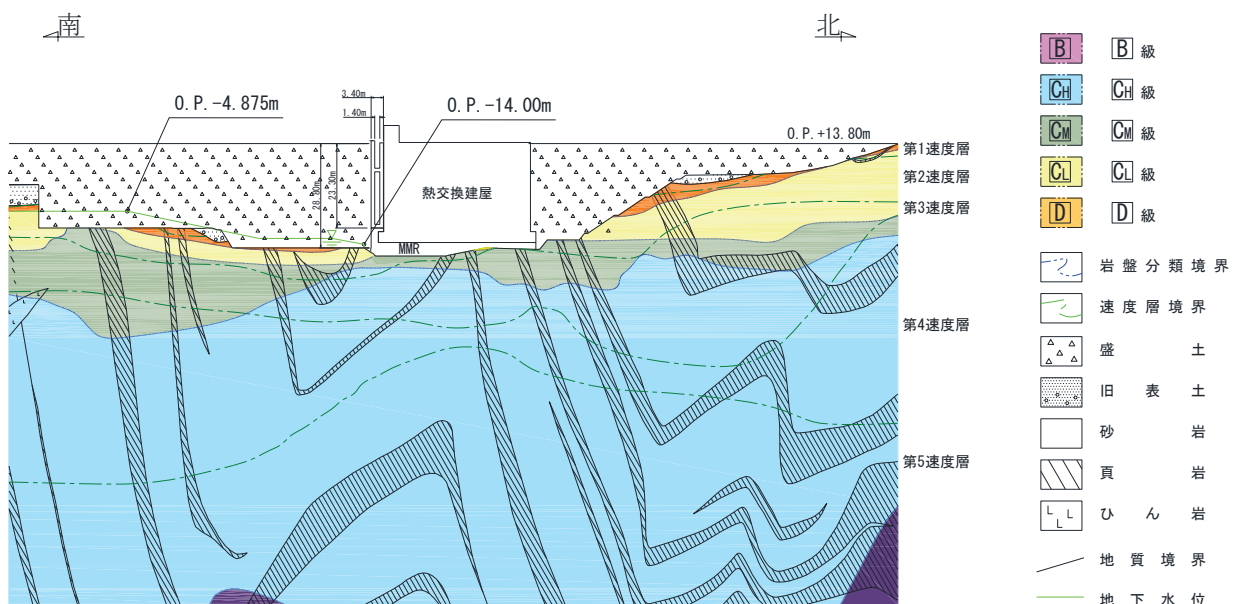


図 3-2 第3号機補機冷却海水系放水ピット 地震時荷重算出用地質断面図 (NS 断面)

凡 例

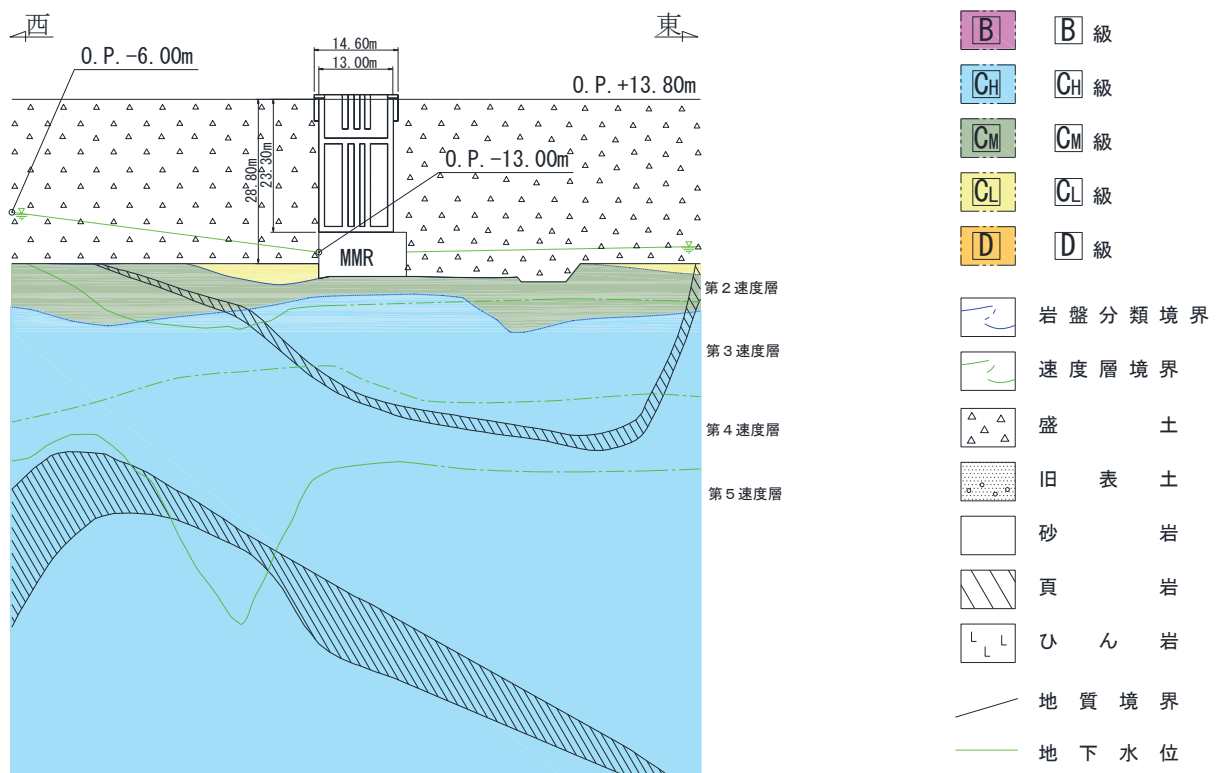


図 3-3 第3号機補機冷却海水系放水ピット 地震時荷重算出用地質断面図 (EW 断面)

3.2 解析方法

第3号機補機冷却海水系放水ピットの地震応答解析は、添付書類「VI-2-1-6 地震応答解析の基本方針」のうち、「2.3 屋外重要土木構造物」に示す解析方法及び解析モデルを踏まえて実施する。

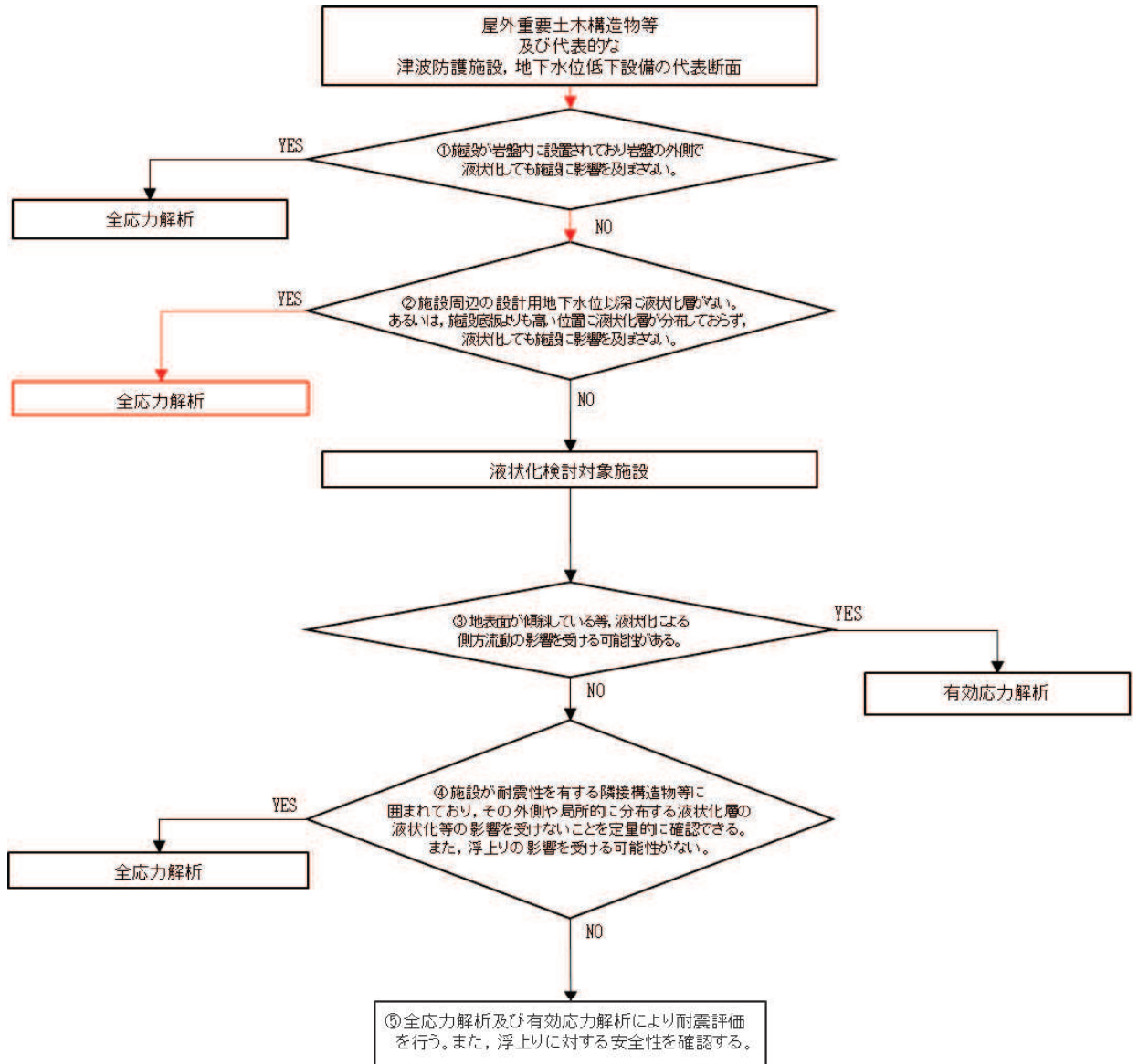
地震応答解析は、構造物と地盤の相互作用を考慮できる二次元有限要素法により、基準地震動 S sに基づき設定した水平地震動と鉛直地震動の同時加振による逐次時間積分の時刻歴応答解析により行うこととし、解析手法について、図3-4に示す解析手法の選定フローに基づき選定する。図3-2、図3-3に示すとおり、第3号機補機冷却海水系放水ピット近傍の地下水位は躯体底盤より低いこと、また躯体より離れた箇所（南側及び西側）には躯体底盤標高より上部に地下水位以深の盛土が存在するが、19～23m程度の土被りがあることから液状化の影響はない判断した。従って、解析手法は「②全応力解析」を選定する。

南北方向において第3号機補機冷却海水系放水ピットは一部MMRを介して海水熱交換器建屋に支持され、また緩衝材を介して接しており、隣接構造物の地震応答が第3号機補機冷却海水系放水ピットに伝達することが考えられるため、隣接構造物となる海水熱交換器建屋をモデル化する。

構造部材については、中床版、底版及び地震時荷重算出断面に垂直な壁部材は線形はり要素、断面に平行な壁部材は平面応力要素とし、構造物の奥行方向の長さと各部材の奥行方向の長さの比率や三次元構造解析モデルとの変位を整合させるためのヤング係数の調整を行い、三次元構造モデルと等価な剛性となるようモデル化する。また、地盤については地盤のひずみ依存性を適切に考慮できるようモデル化する。

地震応答解析については、解析コード「Soil Plus Dynamic 2015 Build3」を使用する。なお解析コードの検証及び妥当性確認等の概要については、添付書類「VI-5 計算機プログラム（解析コード）の概要」に示す。

地震応答解析手法の選定フローを図3-5に示す。



※：三次元構造解析に複数断面の荷重を作用させる場合、断面によって解析手法が異なる場合でも保守的に荷重の大きい組合せを採用する。

図 3-4 解析手法の選定フロー

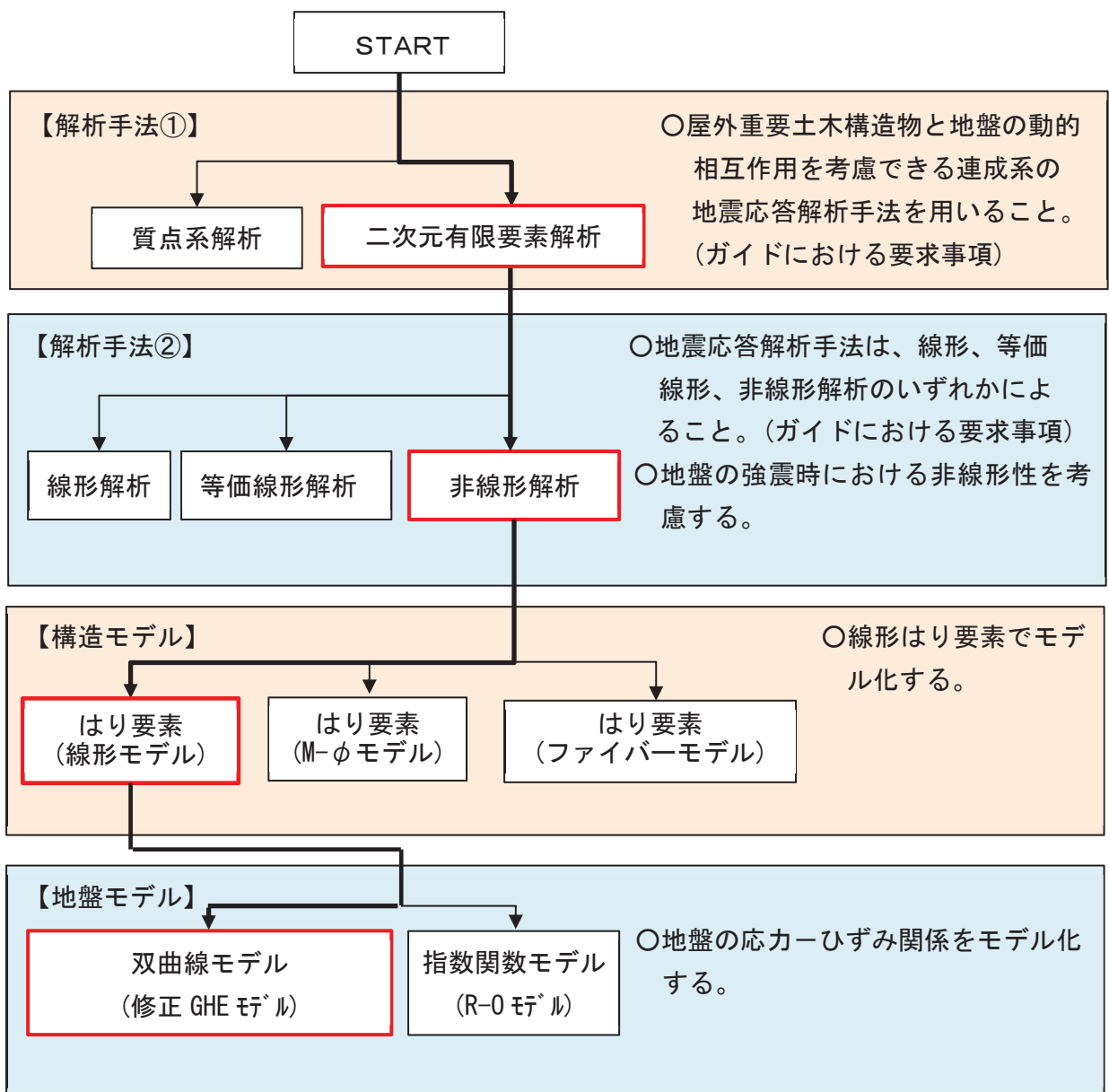


図 3-5 地震応答解析手法の選定フロー

3.2.1 構造部材

構造部材は、線形はり要素および平面応力要素でモデル化する。

3.2.2 地盤物性及び材料特性の設定

地盤物性及び材料物性のばらつきの影響を考慮するため、表 3-1 に示す解析ケースを設定する。

第 3 号機補機冷却海水系放水ピットは、MMR 上に設置され、南北方向では、北側に海水熱交換器建屋が分布し、南側には盛土が分布する。一方、東西方向では、両側面に盛土が分布し、主たる荷重は盛土の土圧となることから、盛土、旧表土の初期せん断弾性係数のばらつきを考慮する。

初期せん断弾性係数の標準偏差 σ を用いて設定した解析ケース②及び③を実施することにより地盤物性のばらつきの影響を網羅的に考慮する。

また、材料物性のばらつきとして構造物の推定強度に基づいて設定した解析ケース④を実施することにより、材料物性のばらつきの影響を考慮する。

詳細な解析ケースの考え方は、「3.2.4 地震応答解析の解析ケースの選定」に示す。

表 3-1 解析ケース

解析ケース	材料物性 (コンクリート) (E_0 : ヤング係数)	地盤物性	
		盛土, 旧表土, 改良地盤, \square 級岩盤 (G_0 : 初期せん断弾性係数)	\square_L 級岩盤, \square_M 級岩盤, \square_H 級岩盤, \square_B 級岩盤 (G_d : 動せん断弾性係数)
ケース① (基本ケース)	設計基準強度	平均値	平均値
ケース②	設計基準強度	平均値+1 σ	平均値
ケース③	設計基準強度	平均値-1 σ	平均値
ケース④	実強度に基づく 圧縮強度*	平均値	平均値

注記* : 新設構造物のため、推定した圧縮強度とする

3.2.3 減衰定数

構造部材の減衰定数は、粘性減衰で考慮する。

粘性減衰は、固有値解析にて求められる固有周期と各材料の減衰比に基づき、質量マトリックス及び剛性マトリックスの線形結合で表される以下の Rayleigh 減衰を解析モデル全体に与える。固有値解析結果に基づき設定した α , β を表 3-2 に示す。

$$[c] = \alpha [m] + \beta [k]$$

[c] : 減衰係数マトリックス

[m] : 質量マトリックス

[k] : 剛性マトリックス

α , β : 係数

表 3-2 Rayleigh 減衰における係数 α , β の設定結果

地震時荷重算出断面	α	β
EW 断面	4.357×10^{-1}	6.890×10^{-4}
NS 断面	4.893×10^{-1}	6.130×10^{-4}

3.2.4 地震応答解析の解析ケースの選定

(1) 浸水防止蓋の止水ジョイントの耐震評価における解析ケース

浸水防止蓋の止水ジョイントの耐震評価においては、すべての基準地震動 S_s に対し 解析ケース①（基本ケース）を実施する。ケース①（基本ケース）により得られた最大応 答変位と第3号機海水熱交換器建屋の地震応答解析により得られた最大応答変位（基本ケー ス）の合計値が最大の地震動を用いてケース②～④を実施する。浸水防止蓋の止水ジョイ ントの耐震評価における解析ケースを表3-3に示す。

表3-3 耐震評価における解析ケース

解析ケース			ケース①	ケース②	ケース③	ケース④
地震動 (位相)	$S_s - D$ 1	++ *1	○			
		-+ *1	○			
	$S_s - D$ 2	++ *1	○			
		-+ *1	○			
	$S_s - D$ 3	++ *1	○			
		-+ *1	○			
	$S_s - F$ 1	++ *1	○			
		-+ *1	○			
	$S_s - F$ 2	++ *1	○			
		-+ *1	○			
	$S_s - F$ 3	++ *1	○			
		-+ *1	○			
	$S_s - N$ 1	++ *1	○			
		-+ *1	○			

基準地震動 S_s (7波) に水平動の位相反転を考慮した地震動 (7波) を加えた全14波により照査を行ったケース①(基本ケース)により得られた最大応答変位と第3号機海水熱交換器建屋の地震応答解析により得られた最大応答変位(基本ケース)の合計値が最大の地震動を用いてケース②～④を実施する。

注記*1：耐震評価にあたっては、原子力発電所屋外重要土木構造物の耐震性能照査指針・マニュアル（土木学会 原子力土木委員会、2005年6月）（以下「土木学会マニュアル」という。）に従い、水平方向の位相反転を考慮する。地震動の位相について、++の左側は水平動、右側は鉛直動を表し、「-」は位相を反転させたケースを示す。

*2：新設構造物のため推定した圧縮強度を使用する。

(2) 車体の耐震評価における解析ケース

車体の耐震評価においては、すべての基準地震動 S_s に対し、解析ケース①（基本ケース）を実施する。解析ケース①において、曲げ・軸力系の破壊、せん断破壊及び地盤の支持力照査の照査項目ごとに照査値が 0.5 以上となるすべての照査項目に対して、最も厳しい地震動を用いて、解析ケース②～④を実施する。耐震評価における解析ケースを表 3-4 に示す。

表 3-4 耐震評価における解析ケース

解析ケース			ケース①	ケース②	ケース③	ケース④
地震動 (位相)	S _s -D 1	基本ケース	地盤物性のばらつき (+1σ) を考慮した解析ケース	地盤物性のばらつき (-1σ) を考慮した解析ケース	材料物性（コンクリート）に実強度を考慮した解析ケース	
		平均値	平均値 + 1σ	平均値 - 1σ	平均値	
	S _s -D 2	材料物性	設計基準強度	設計基準強度	設計基準強度	推定に基づく圧縮強度 ^{*2}
		平均値	平均値 + 1σ	平均値 - 1σ	平均値	
	S _s -D 3	++ ^{*1}	○			
		-+ ^{*1}	○			
	S _s -F 1	++ ^{*1}	○			
		-+ ^{*1}	○			
	S _s -F 2	++ ^{*1}	○			
		-+ ^{*1}	○			
	S _s -F 3	++ ^{*1}	○			
		-+ ^{*1}	○			
	S _s -N 1	++ ^{*1}	○			
		-+ ^{*1}	○			

基準地震動 S_s (7 波) に水平動の位相反転を考慮した地震動 (7 波) を加えた全 14 波により照査を行ったケース①（基本ケース）の結果から、曲げ・軸力系の破壊、せん断破壊及び基礎地盤の支持力照査の照査項目ごとに照査値が 0.5 以上となる照査項目に対して、最も厳しい（許容限界に対する裕度が最も小さい）地震動を用いてケース②～④を実施する。
すべての照査項目の照査値がいずれも 0.5 未満の場合は、照査値が最も厳しくなる地震動を用いてケース②～④を実施する。

注記 *1：耐震評価にあたっては、原子力発電所屋外重要土木構造物の耐震性能照査指針・マニュアル（土木学会 原子力土木委員会、2005 年 6 月）（以下「土木学会マニュアル」という。）に従い、水平方向の位相反転を考慮する。地震動の位相について、++ の左側は水平動、右側は鉛直動を表し、「-」は位相を反転させたケースを示す。

*2：新設構造物のため推定した圧縮強度を使用する。

3.3 荷重及び荷重の組合せ

荷重及び荷重の組合せは、添付書類「VI-2-1-9 機能維持の基本方針」に基づき設定する。

3.3.1 耐震評価上考慮する状態

第3号機補機冷却海水系放水ピットの地震応答解析において、地震以外に考慮する状態を以下に示す。

(1) 運転時の状態

発電用原子炉施設が運転状態にあり、通常の条件下におかれている状態。ただし、運転時の異常な過渡変化時の影響を受けないことから考慮しない。

(2) 設計基準事故時の状態

設計基準事故時の影響を受けないことから考慮しない。

(3) 設計用自然条件

積雪を考慮する。埋設構造物であるため風の影響は考慮しない。

(4) 重大事故等時の状態

重大事故等時の影響を受けないことから考慮しない。

3.3.2 荷重

第3号機補機冷却海水系放水ピットの地震応答解析において、考慮する荷重を以下に示す。

(1) 固定荷重 (G)

固定荷重として、躯体自重を考慮する。

(2) 積載荷重 (P)

積載荷重として、積雪荷重 P_s を含めて地表面に 4.9kN/m^2 を考慮する。

(3) 積雪荷重 (P_s)

積雪荷重として、発電所の最寄りの気象官署である石巻特別地域気象観測所で観測された月最深積雪の最大値である43cmに平均的な積雪荷重を与えるための係数0.35を考慮した値を設定する。また、建築基準法施行令第86条第2項により、積雪量1cmごとに 20N/m^2 の積雪荷重が作用することを考慮する。

(4) 地震荷重 (S_s)

基準地震動 S_s による荷重を考慮する。

3.3.3 荷重の組合せ

荷重の組合せを表 3-5 に示す。

表 3-5 荷重の組合せ

外力の状態	荷重の組合せ
地震時 (S s)	G + P + S s

G : 固定荷重

P : 積載荷重 (積雪荷重 P_s を含めて 4.9kN/m^2 を地表面に考慮)

S s : 地震荷重 (基準地震動 S s)

3.4 入力地震動

入力地震動は、添付書類「VI-2-1-6 地震応答解析の基本方針」のうち、「2.3 屋外重要土木構造物」に示す入力地震動の設定方針を踏まえて設定する。

地震応答解析に用いる入力地震動は、解放基盤表面で定義される基準地震動 S_s を一次元重複反射理論により地震応答解析モデル下端位置で評価したものを用いる。なお、入力地震動の設定に用いる地下構造モデルは、添付書類「VI-2-1-3 地盤の支持性能に係る基本方針」のうち「7.1 入力地震動の設定に用いる地下構造モデル」を用いる。

図3-6に入力地震動算定の概念図を、図3-7～図3-20にEW断面の入力地震動の加速度時刻歴波形及び加速度応答スペクトルを、図3-21～図3-34にNS断面の入力地震動の加速度時刻歴波形及び加速度応答スペクトルを示す。入力地震動の算定には、解析コード「Ark Quake Ver. 3.10」を使用する。解析コードの検証及び妥当性確認の概要については、添付書類「VI-5 計算機プログラム（解析コード）の概要」に示す。

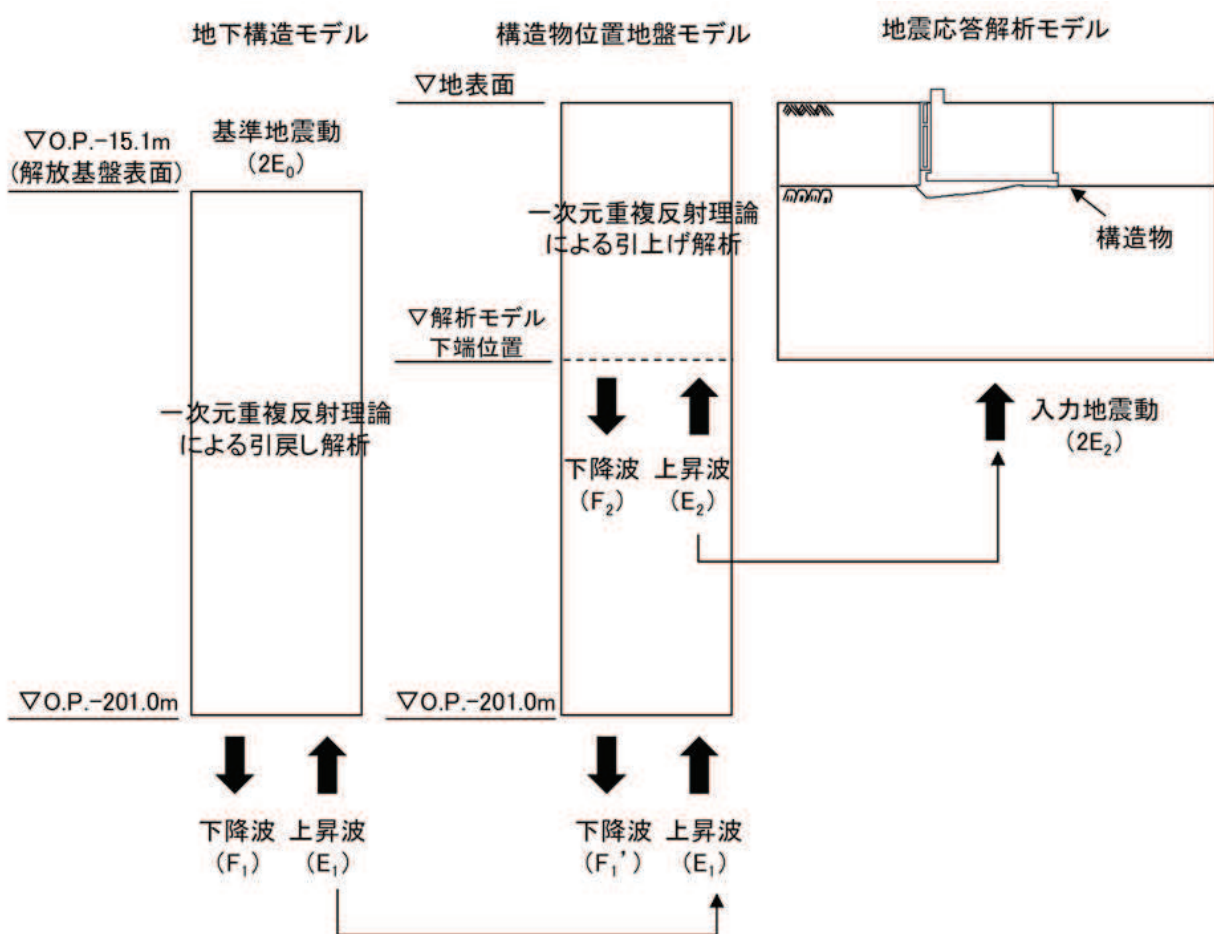
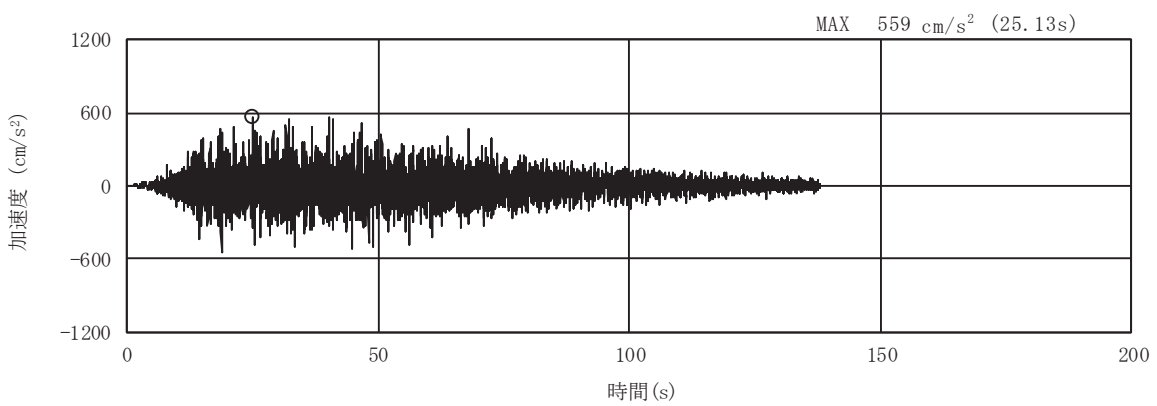
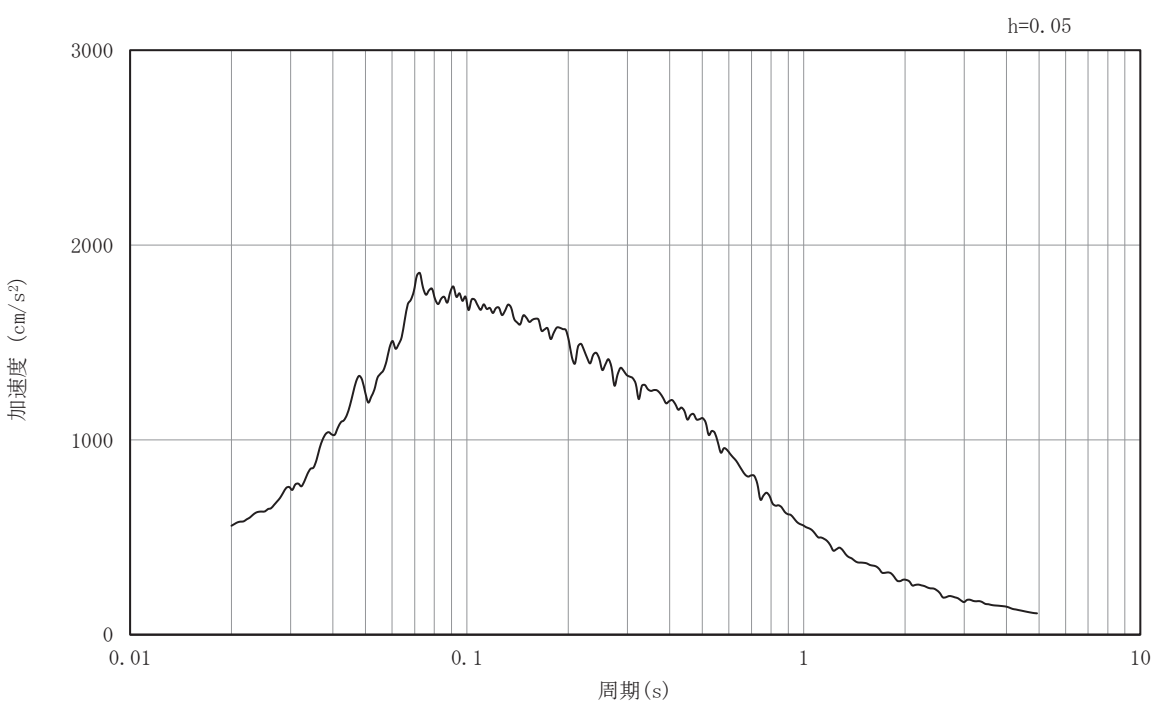


図 3-6 入力地震動算定の概念図

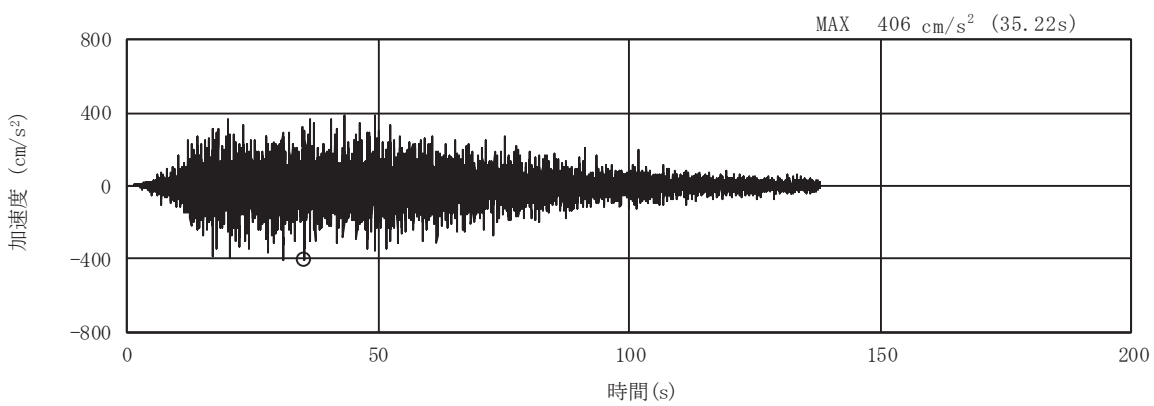


(a) 加速度時刻歴波形

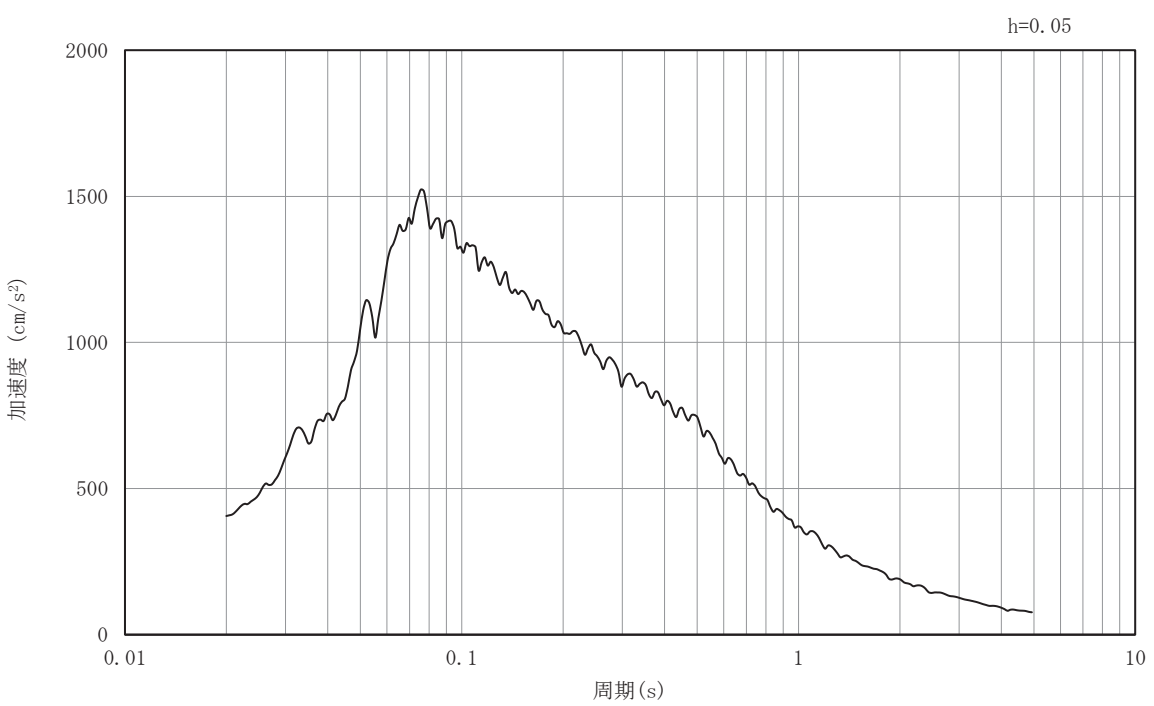


(b) 加速度応答スペクトル

図3-7 入力地震動の加速度時刻歴波形及び加速度応答スペクトル
(EW断面 水平成分 : S s-D 1)

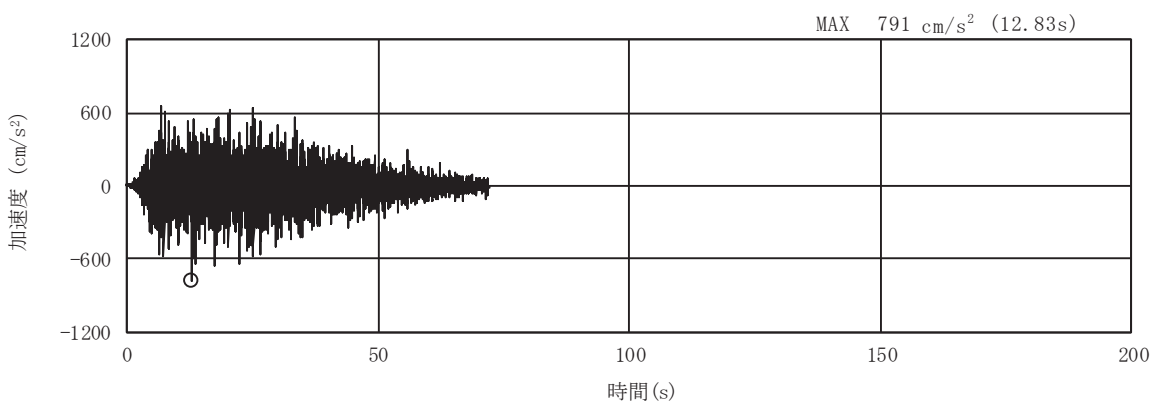


(a) 加速度時刻歴波形

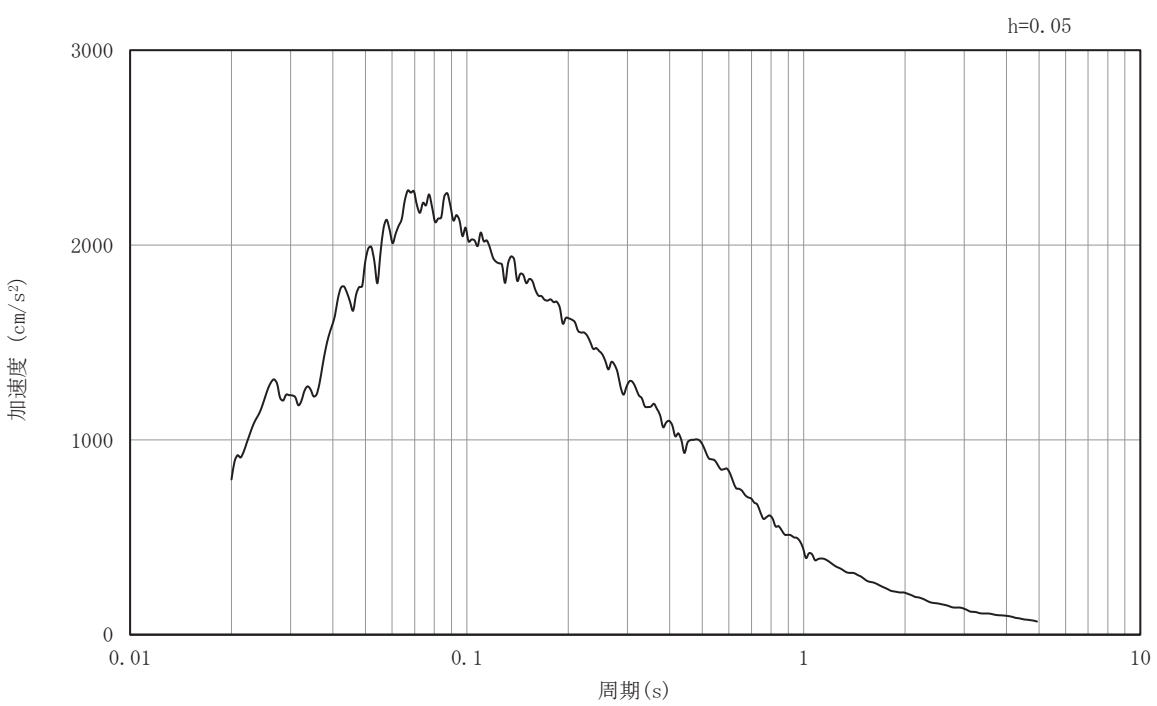


(b) 加速度応答スペクトル

図3-8 入力地震動の加速度時刻歴波形及び加速度応答スペクトル
(EW断面 鉛直成分 : S s-D 1)

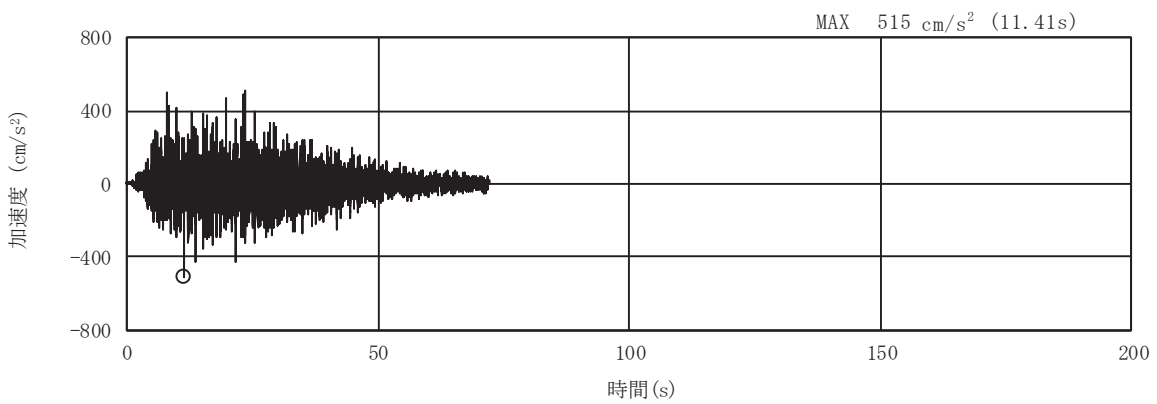


(a) 加速度時刻歴波形

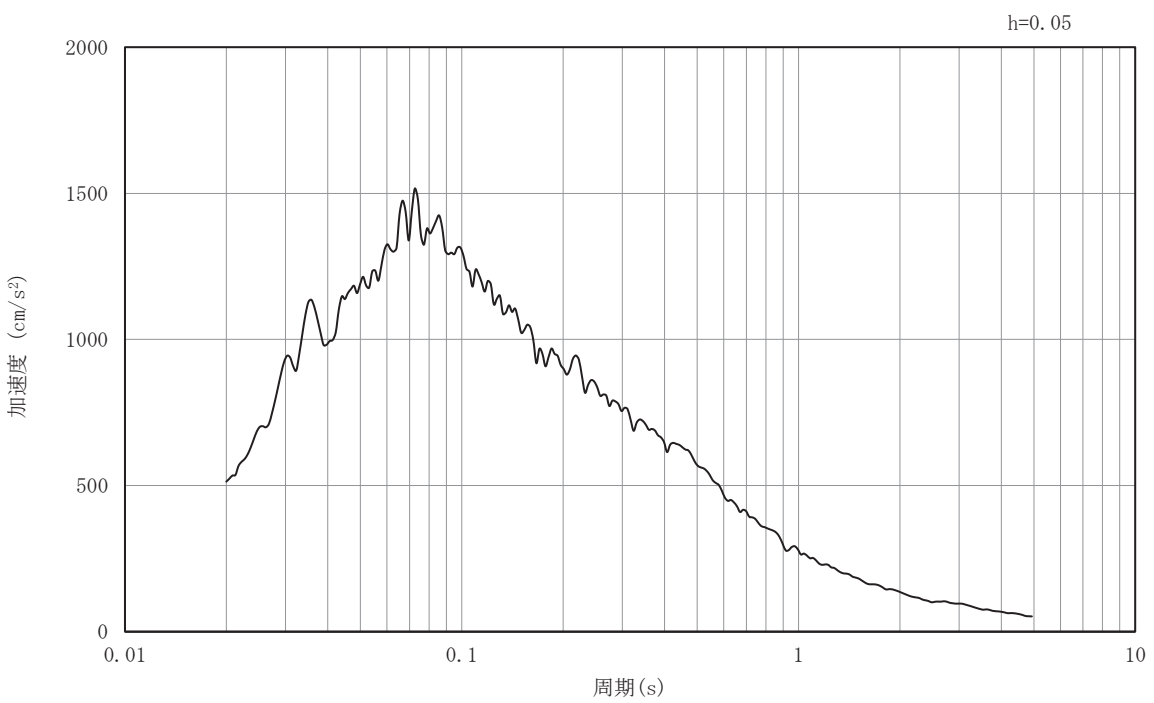


(b) 加速度応答スペクトル

図3-9 入力地震動の加速度時刻歴波形及び加速度応答スペクトル
(EW断面 水平成分 : S s-D 2)

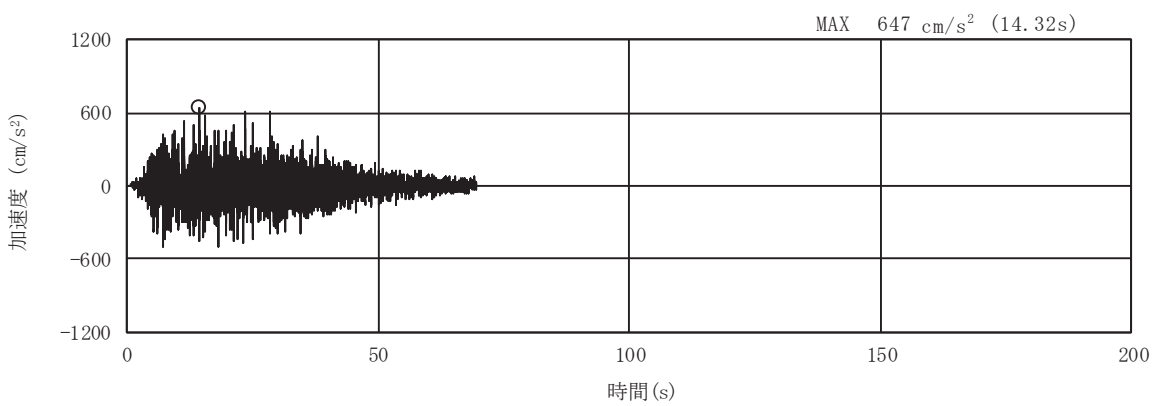


(a) 加速度時刻歴波形

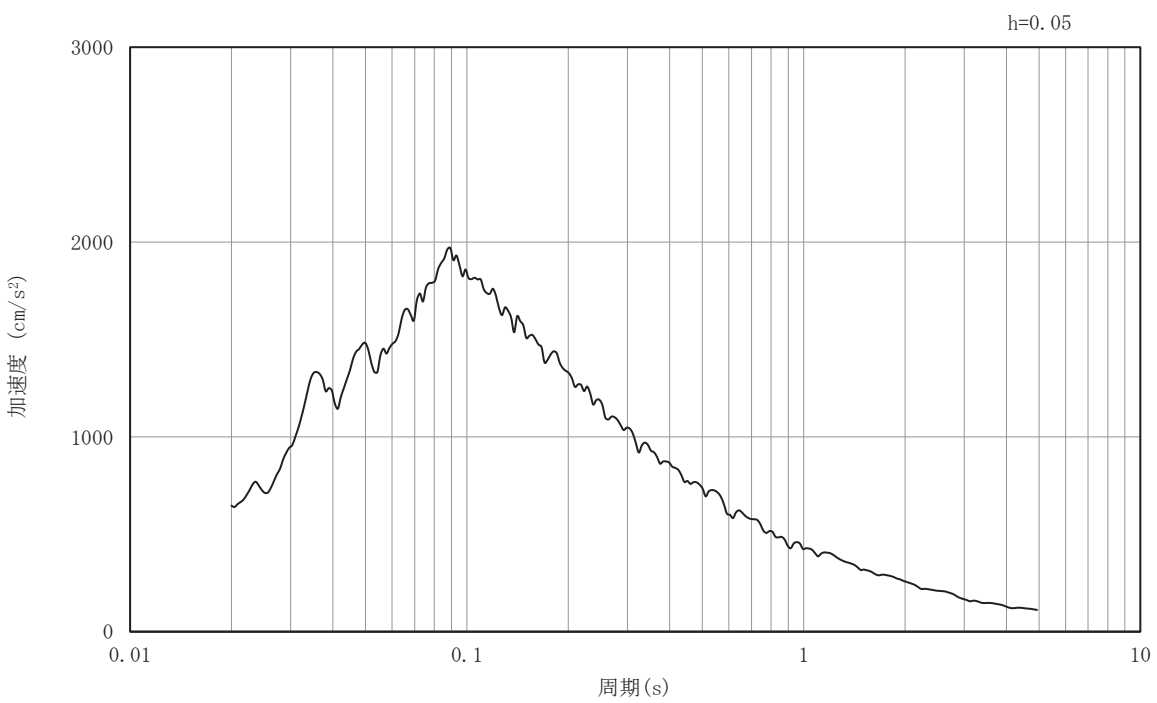


(b) 加速度応答スペクトル

図3-10 入力地震動の加速度時刻歴波形及び加速度応答スペクトル
(EW断面 鉛直成分：S s-D 2)

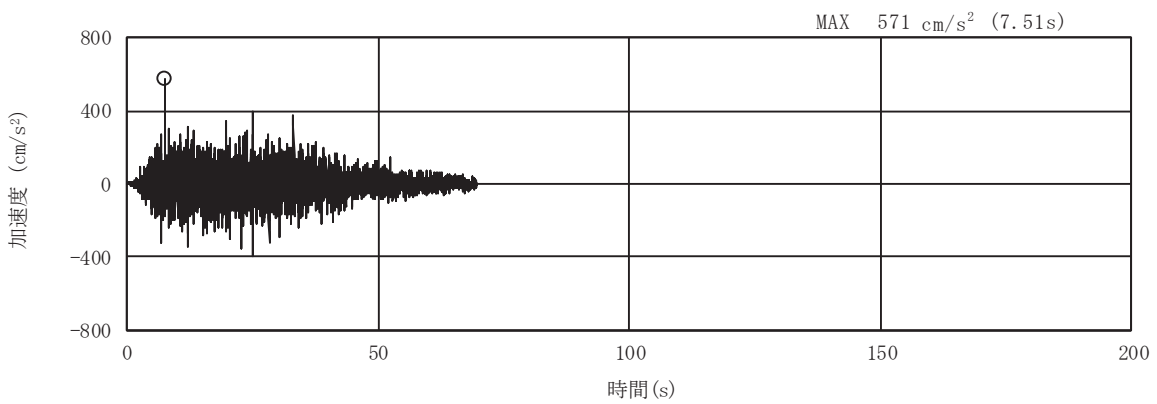


(a) 加速度時刻歴波形

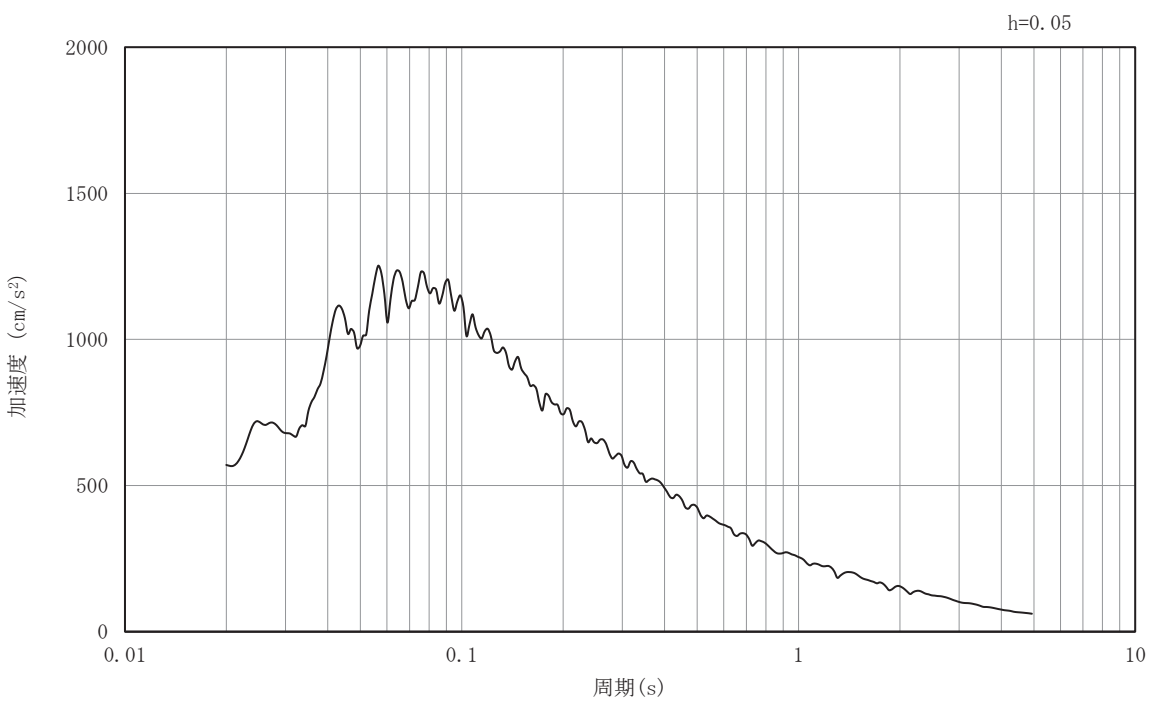


(b) 加速度応答スペクトル

図3-11 入力地震動の加速度時刻歴波形及び加速度応答スペクトル
(EW断面 水平成分 : S s-D 3)

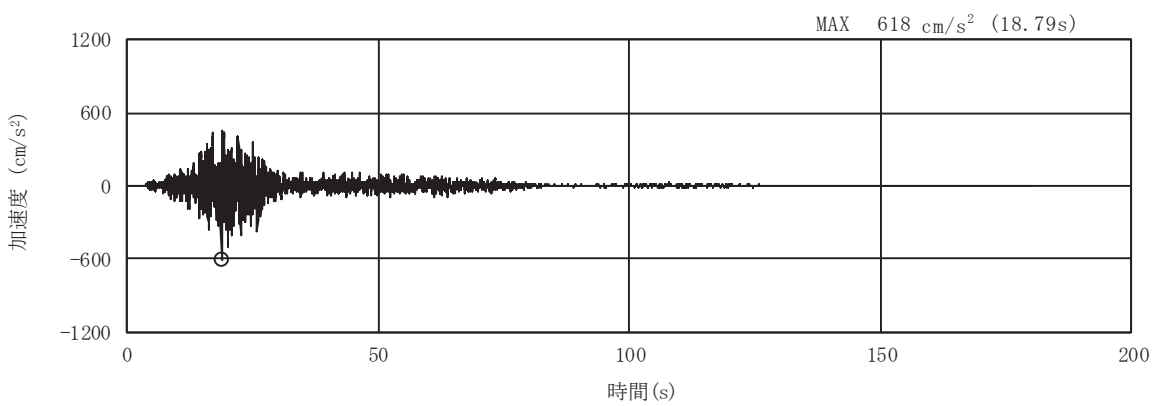


(a) 加速度時刻歴波形

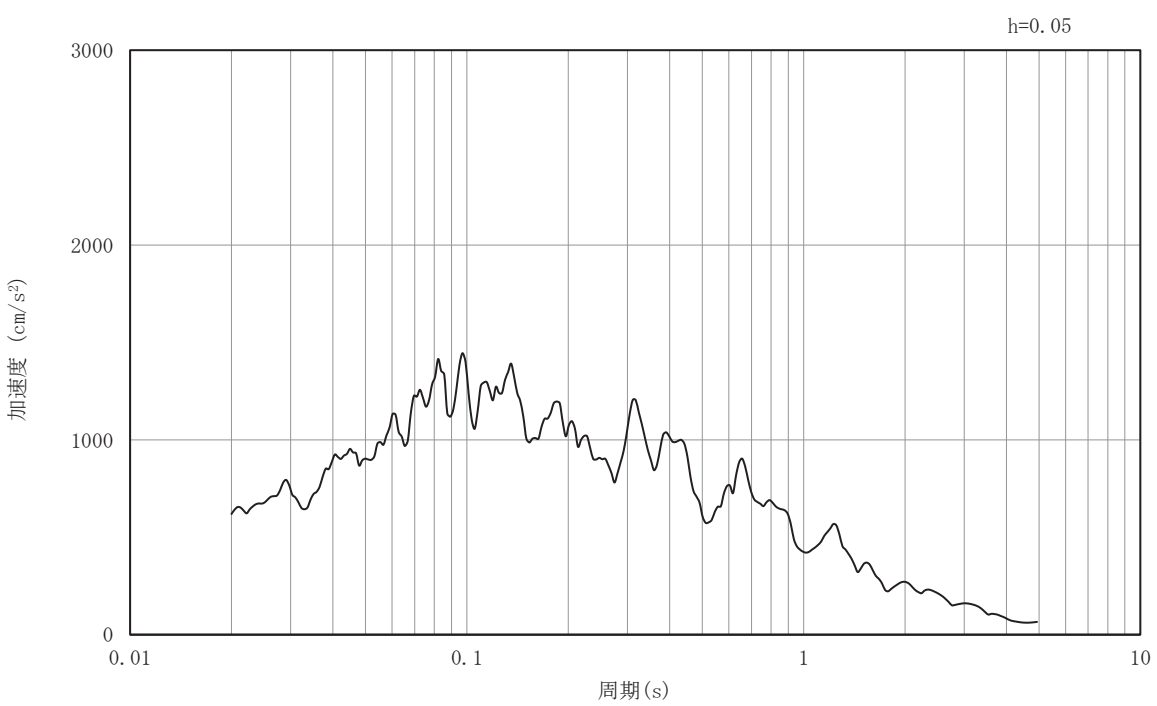


(b) 加速度応答スペクトル

図3-12 入力地震動の加速度時刻歴波形及び加速度応答スペクトル
(EW断面 鉛直成分：S s-D 3)

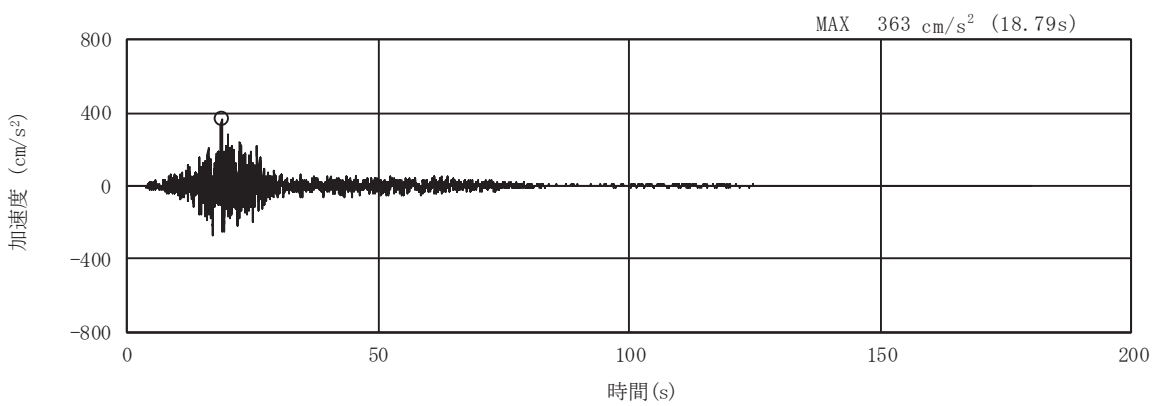


(a) 加速度時刻歴波形

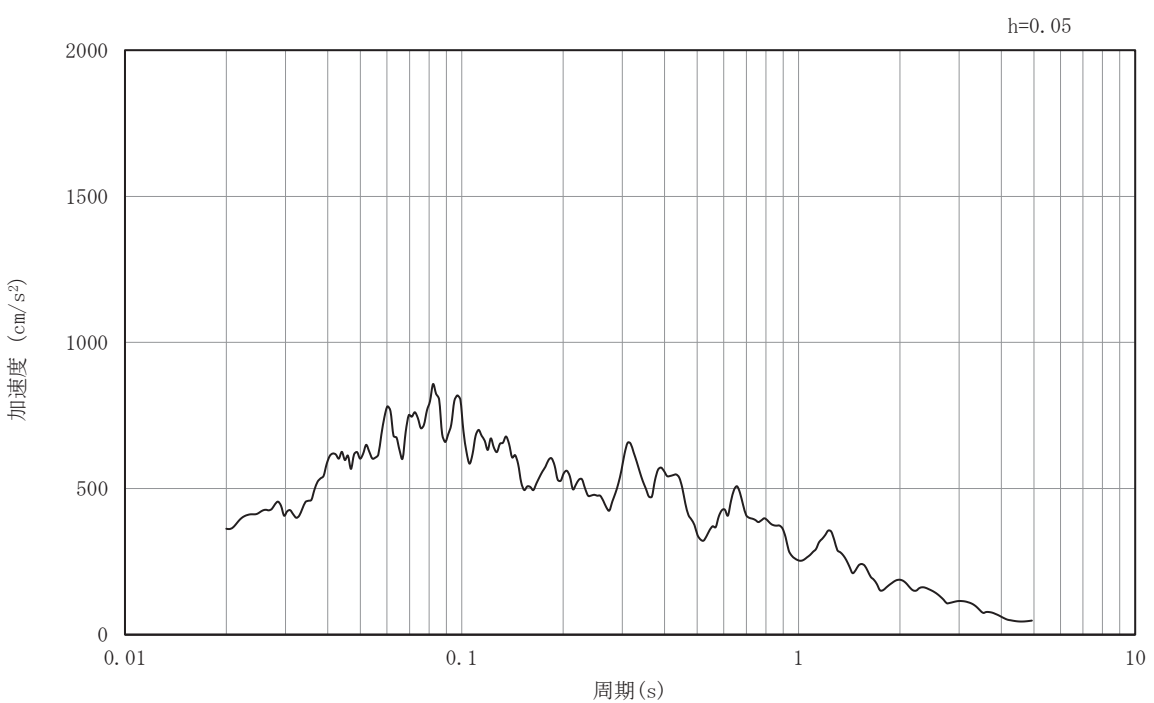


(b) 加速度応答スペクトル

図3-13 入力地震動の加速度時刻歴波形及び加速度応答スペクトル
(EW断面 水平成分 : S s - F 1)

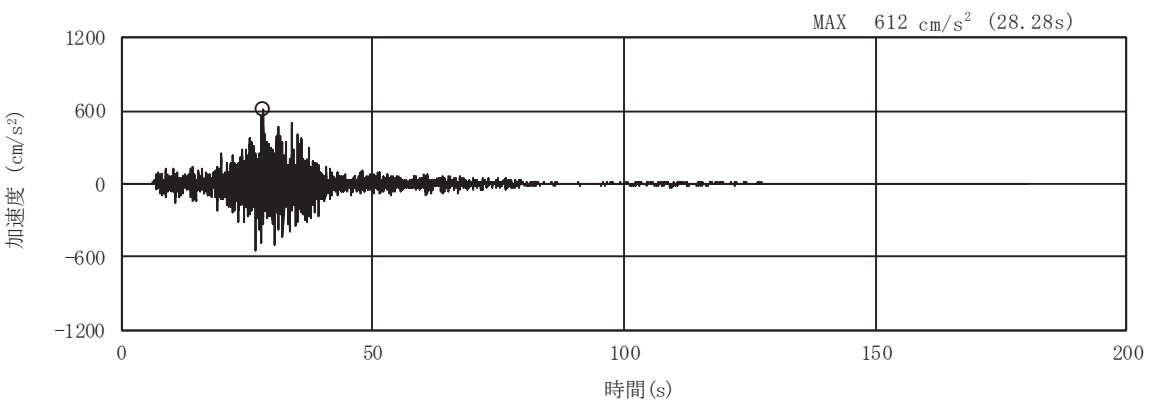


(a) 加速度時刻歴波形

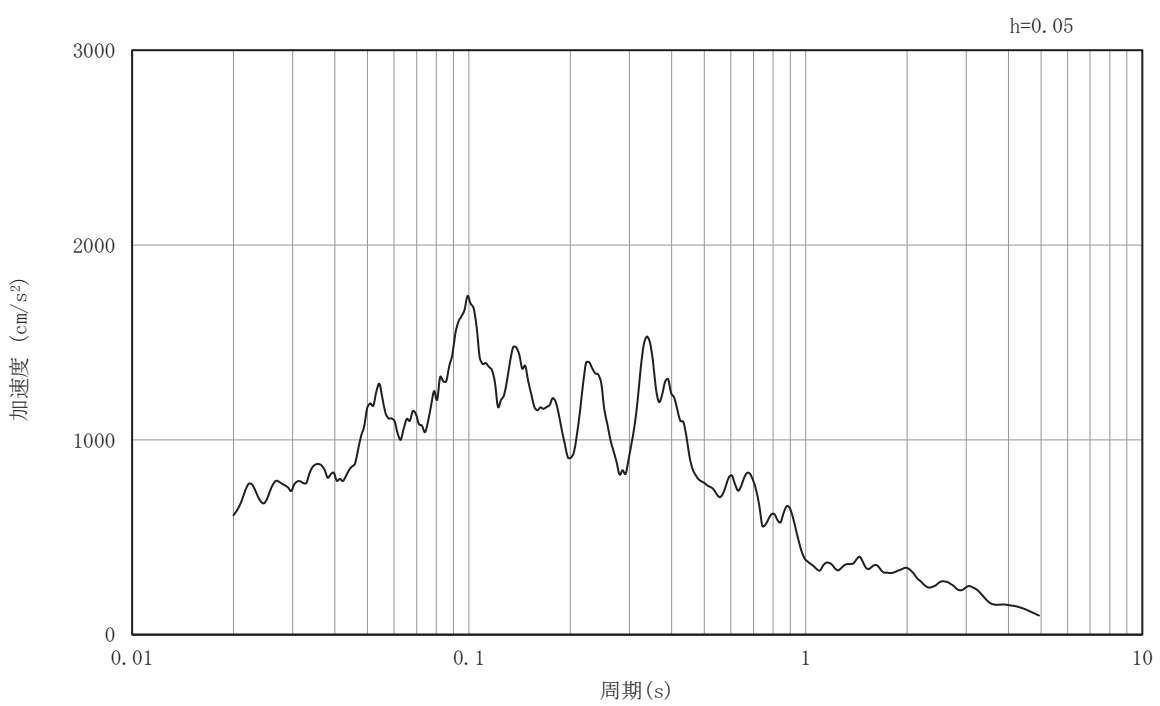


(b) 加速度応答スペクトル

図3-14 入力地震動の加速度時刻歴波形及び加速度応答スペクトル
(EW断面 鉛直成分：S s - F 1)

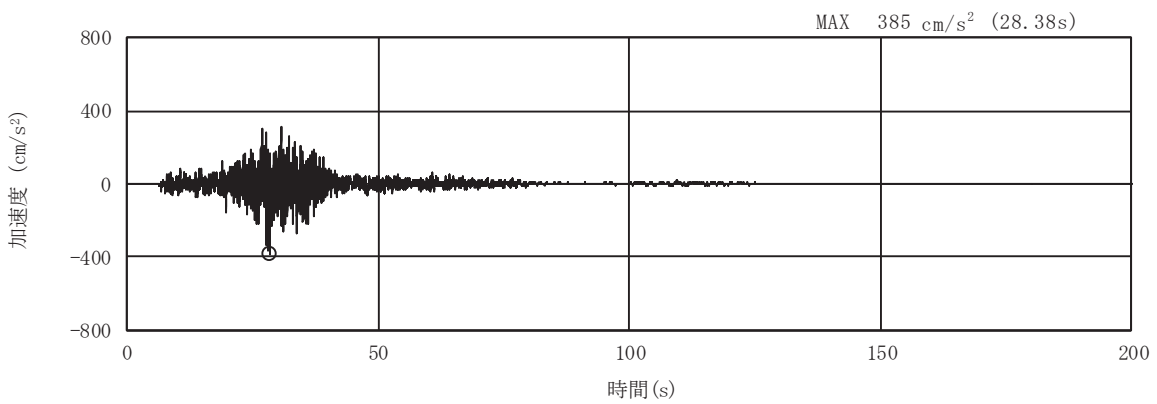


(a) 加速度時刻歴波形

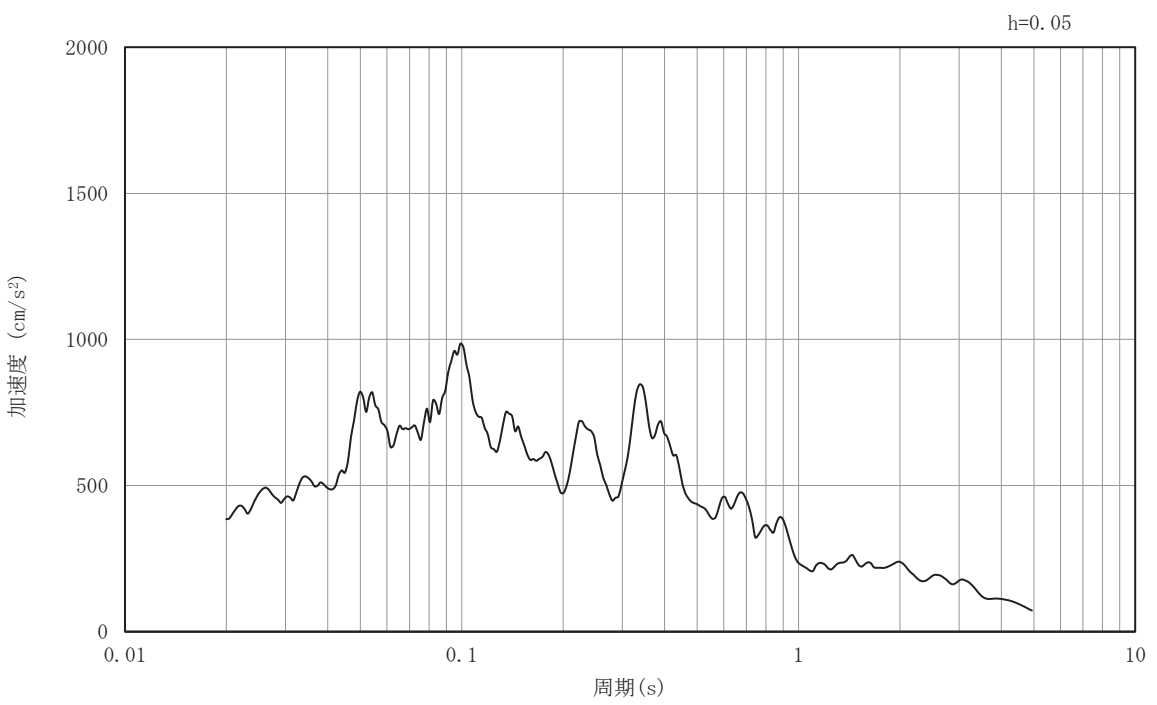


(b) 加速度応答スペクトル

図3-15 入力地震動の加速度時刻歴波形及び加速度応答スペクトル
(EW断面 水平成分 : S s - F 2)

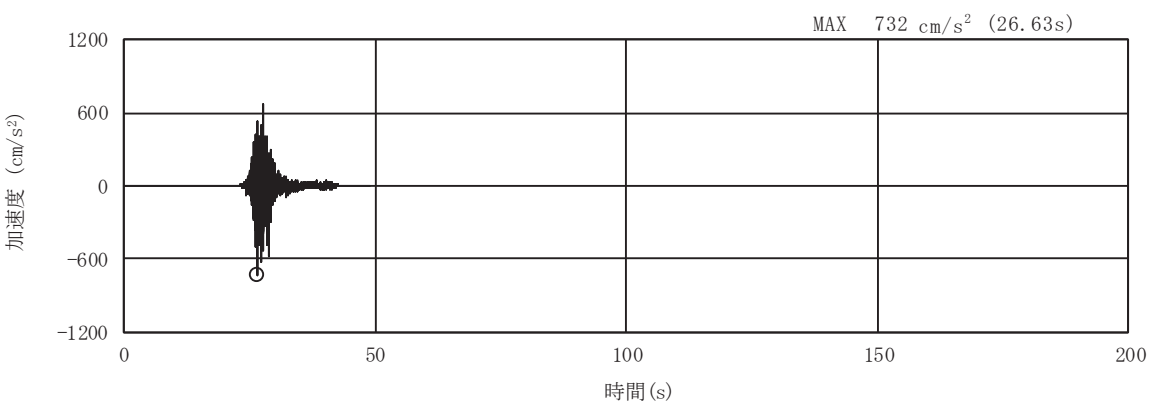


(a) 加速度時刻歴波形

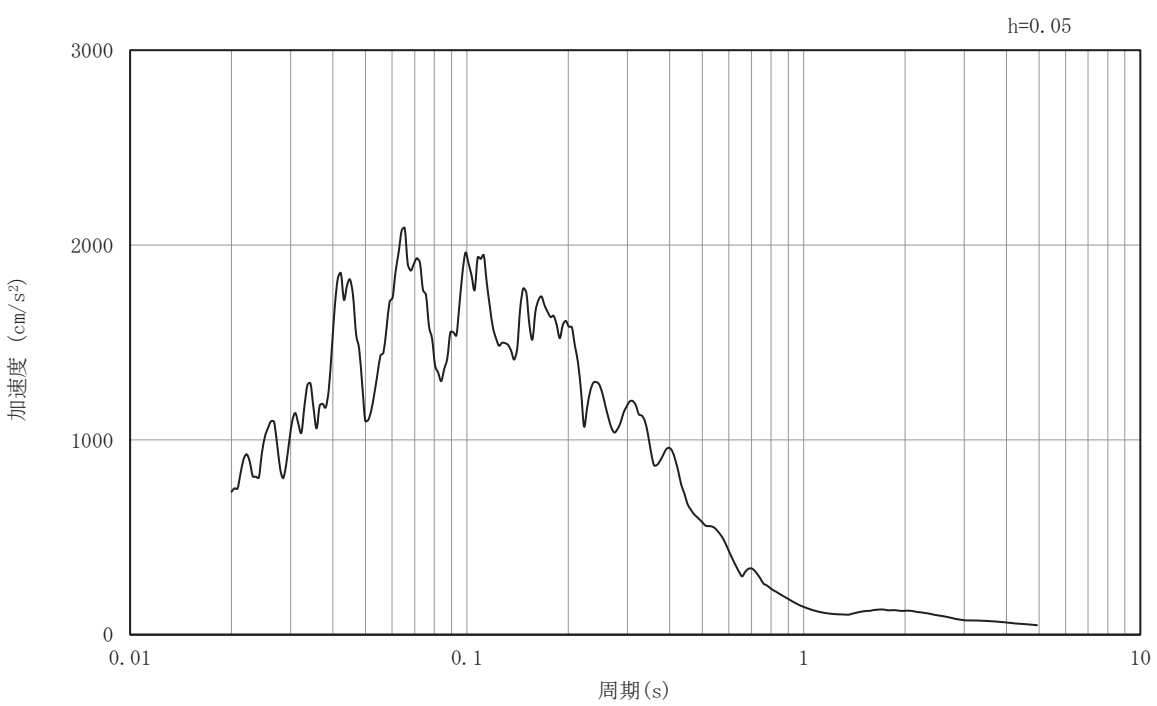


(b) 加速度応答スペクトル

図3-16 入力地震動の加速度時刻歴波形及び加速度応答スペクトル
(EW断面 鉛直成分：S s - F 2)

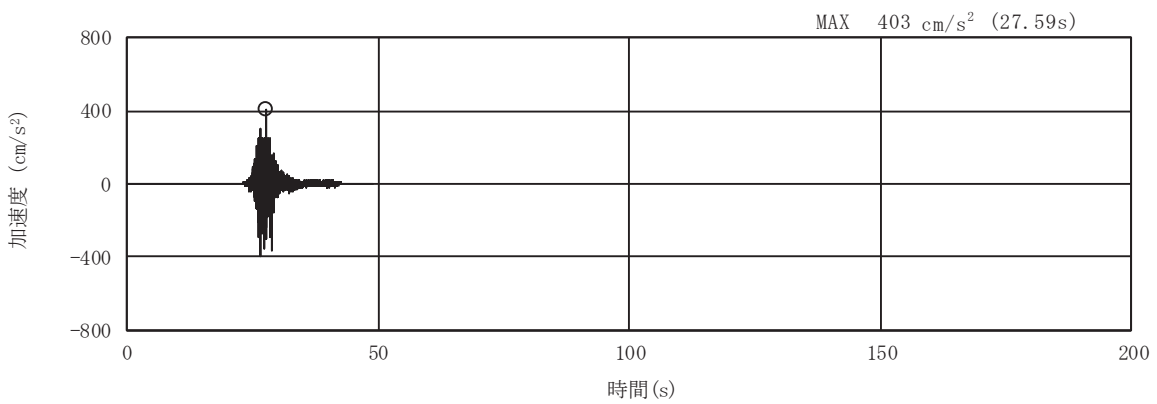


(a) 加速度時刻歴波形

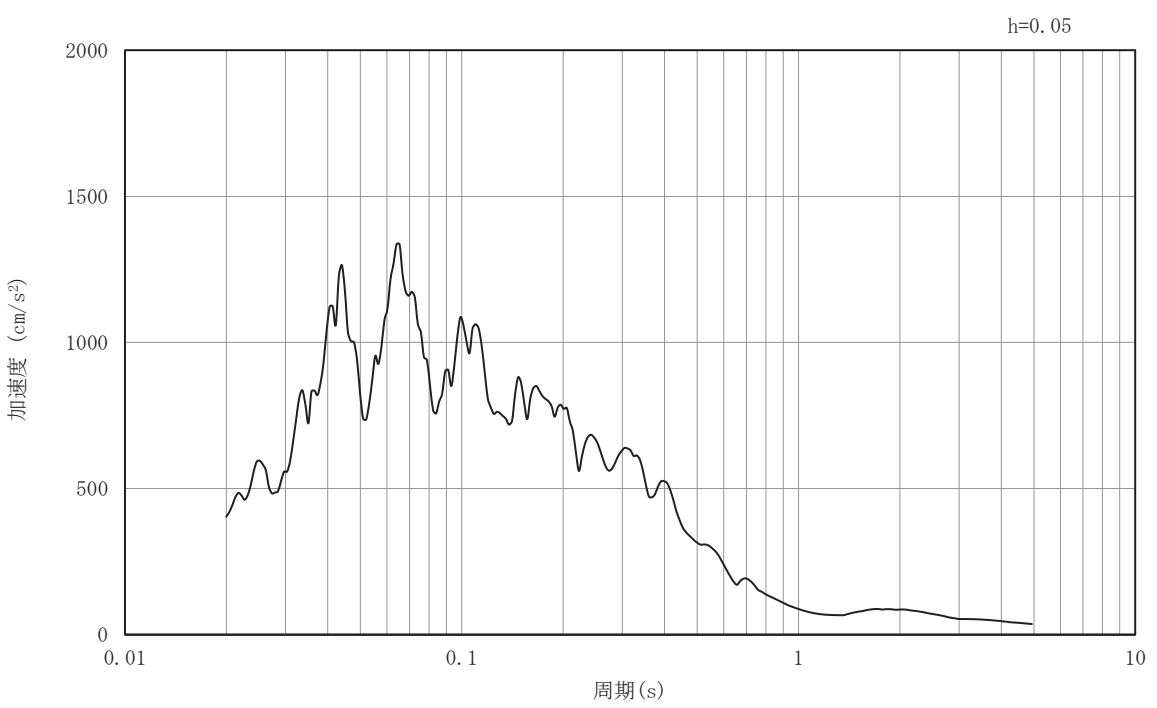


(b) 加速度応答スペクトル

図3-17 入力地震動の加速度時刻歴波形及び加速度応答スペクトル
(EW断面 水平成分 : S s - F 3)

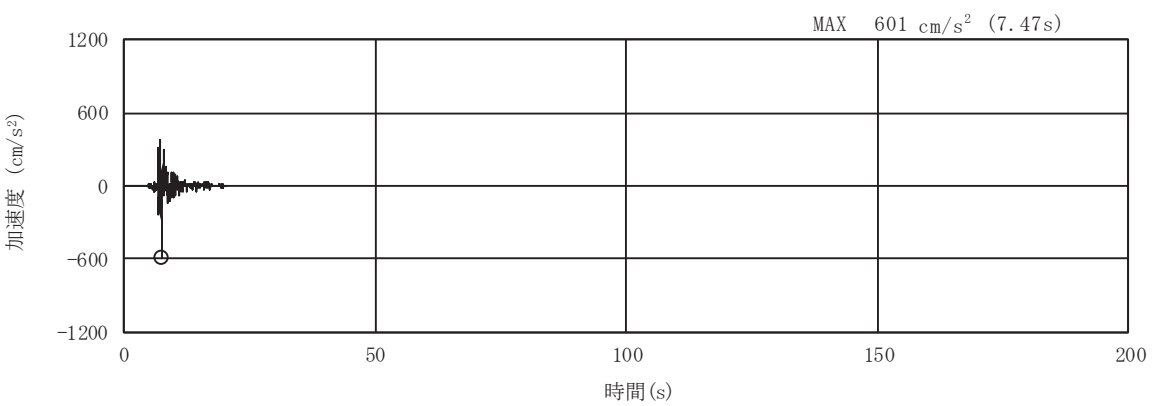


(a) 加速度時刻歴波形

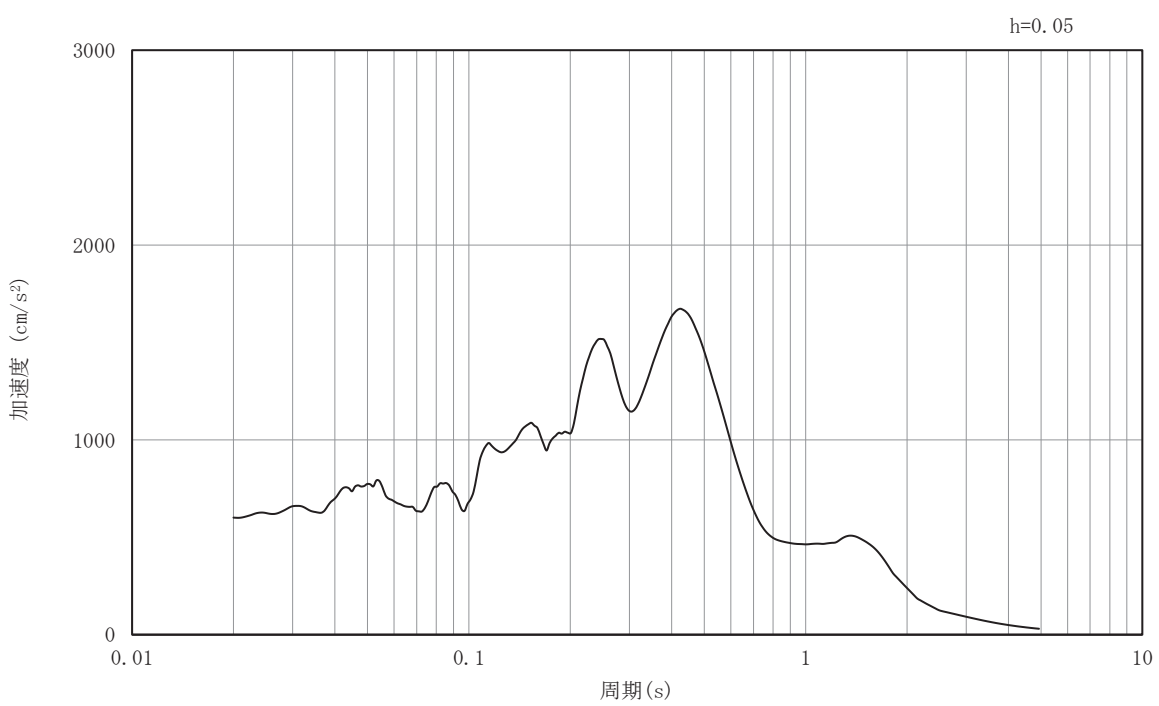


(b) 加速度応答スペクトル

図3-18 入力地震動の加速度時刻歴波形及び加速度応答スペクトル
(EW断面 鉛直成分 : S s - F 3)

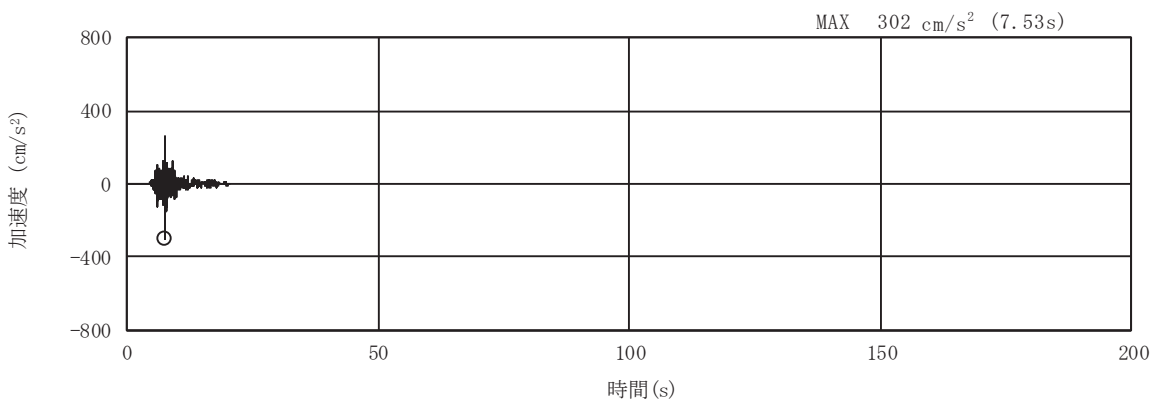


(a) 加速度時刻歴波形

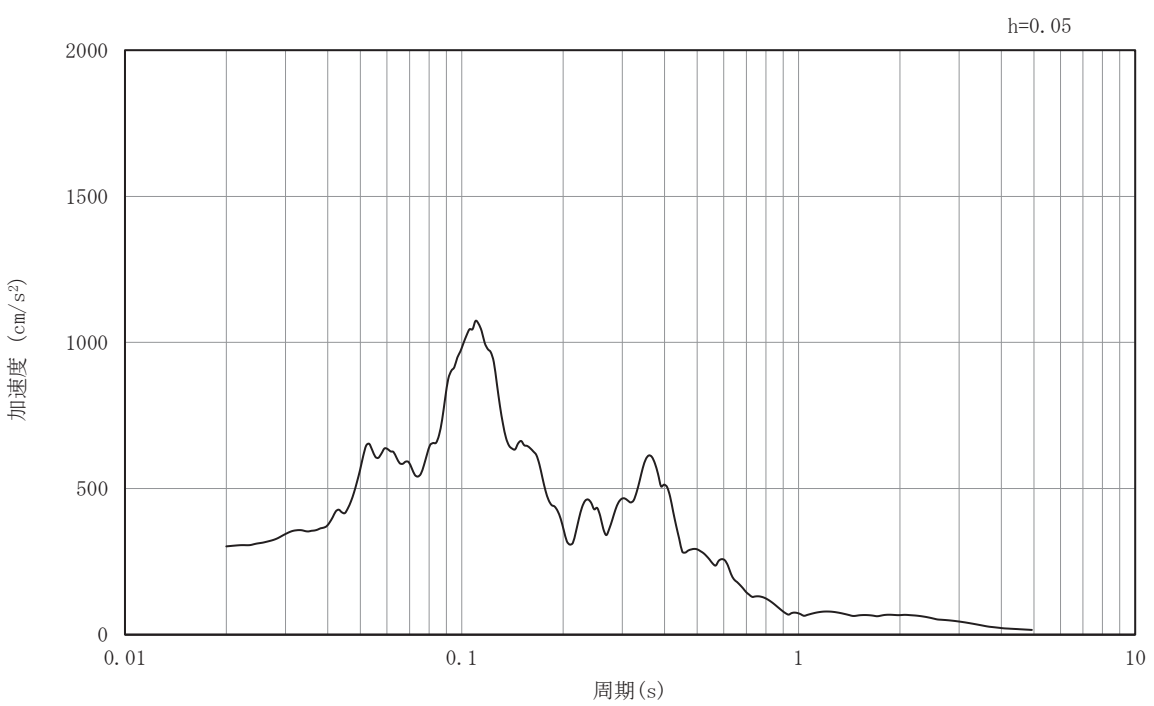


(b) 加速度応答スペクトル

図3-19 入力地震動の加速度時刻歴波形及び加速度応答スペクトル
(EW断面 水平成分 : S s - N 1)

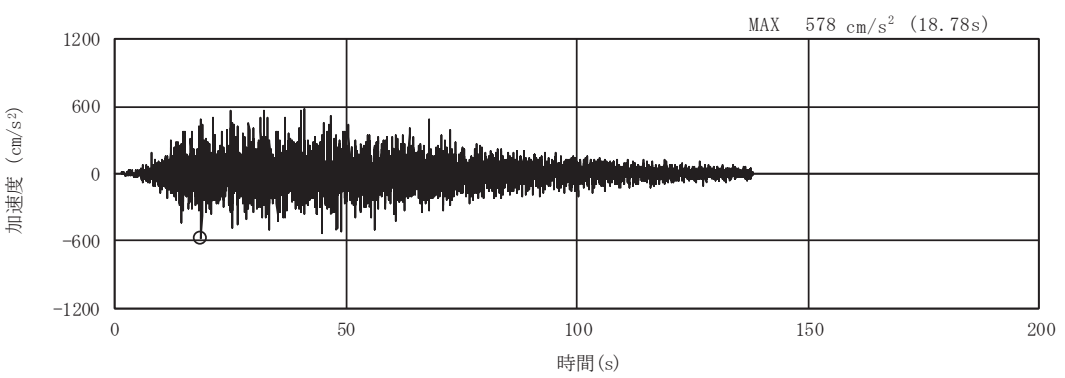


(a) 加速度時刻歴波形

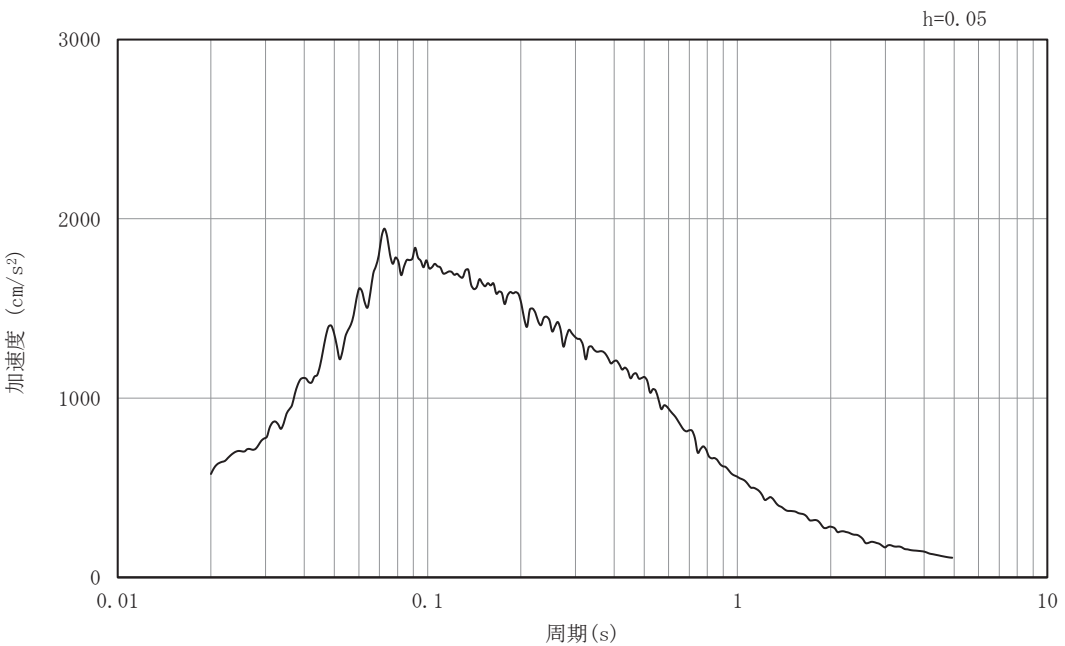


(b) 加速度応答スペクトル

図3-20 入力地震動の加速度時刻歴波形及び加速度応答スペクトル
(EW断面 鉛直成分 : S s - N 1)

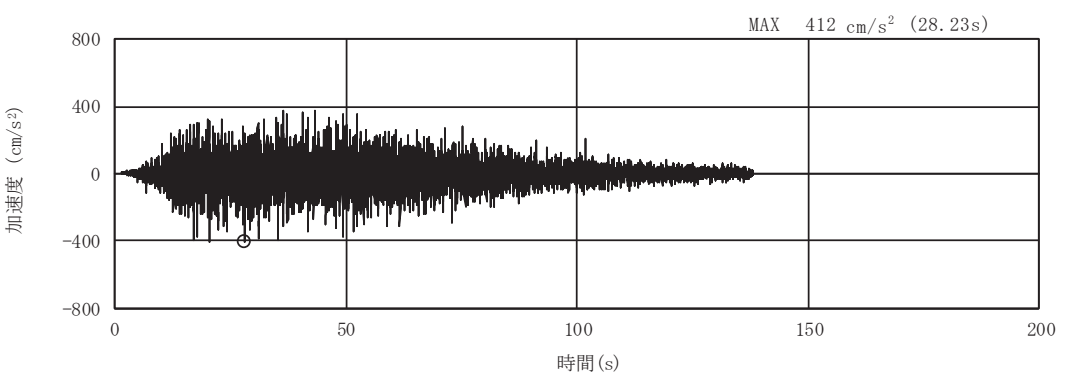


(a) 加速度時刻歴波形

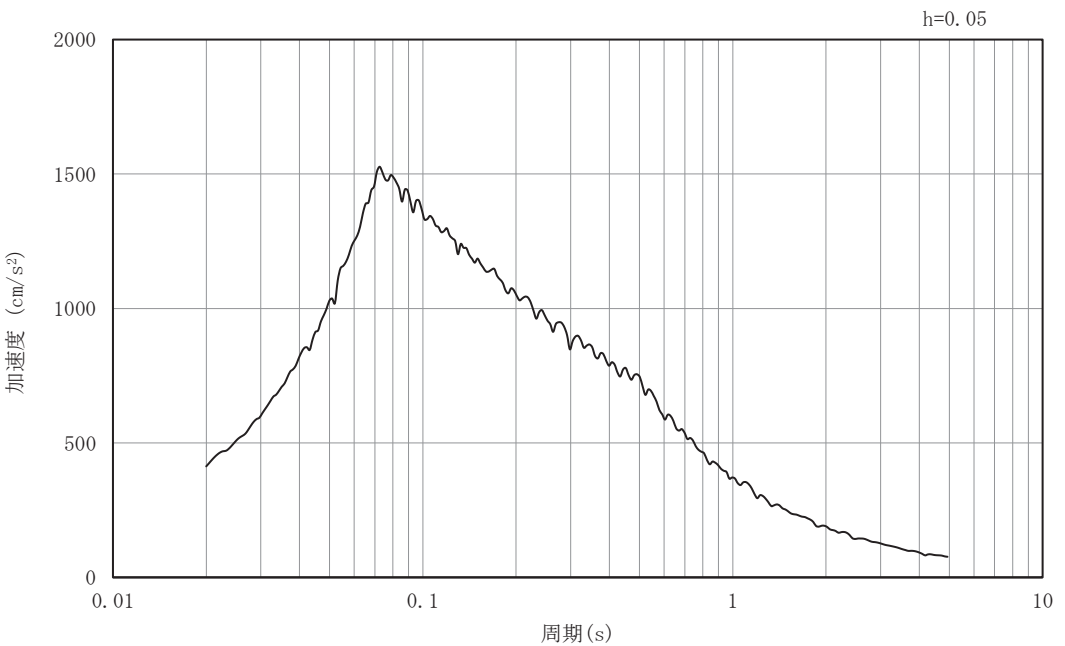


(b) 加速度応答スペクトル

図3-21 入力地震動の加速度時刻歴波形及び加速度応答スペクトル
(NS断面 水平成分：S s-D 1)

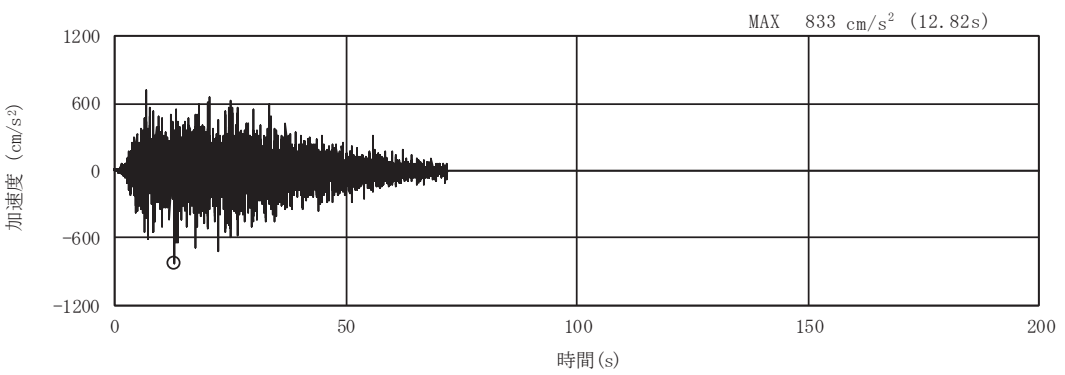


(a) 加速度時刻歴波形

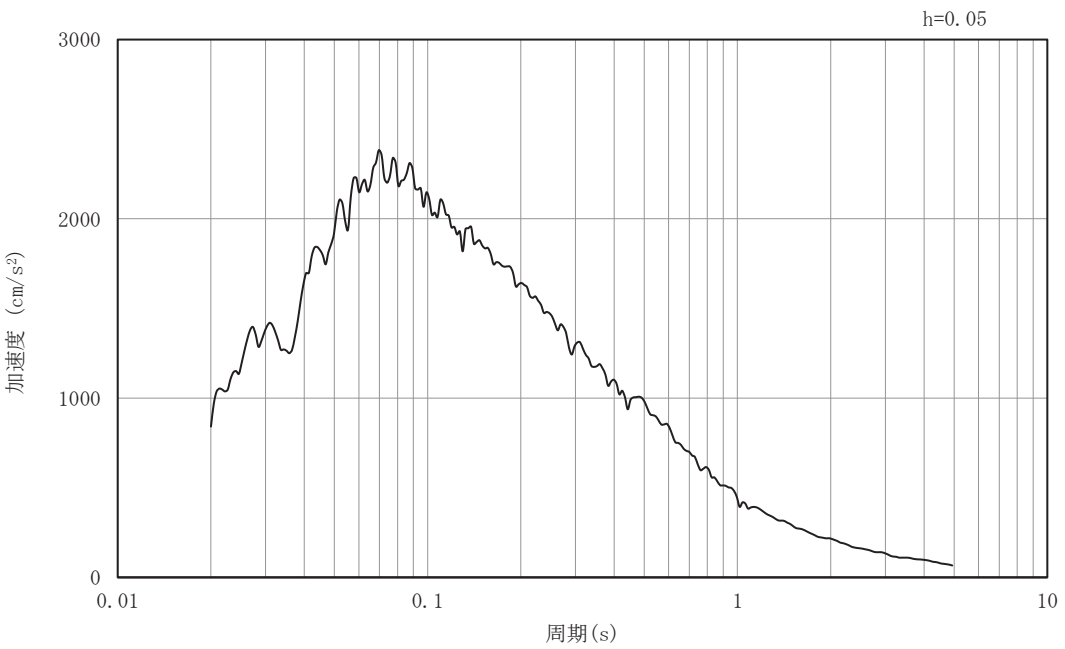


(b) 加速度応答スペクトル

図3-22 入力地震動の加速度時刻歴波形及び加速度応答スペクトル
(NS断面 鉛直成分：S s-D 1)

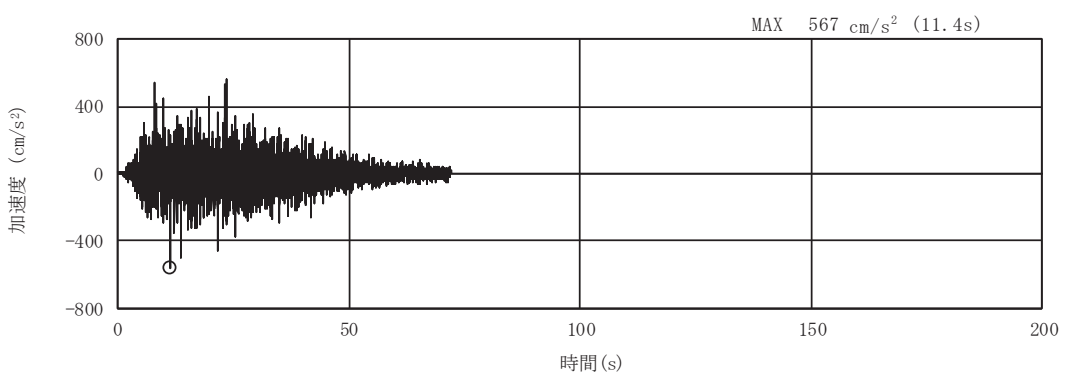


(a) 加速度時刻歴波形

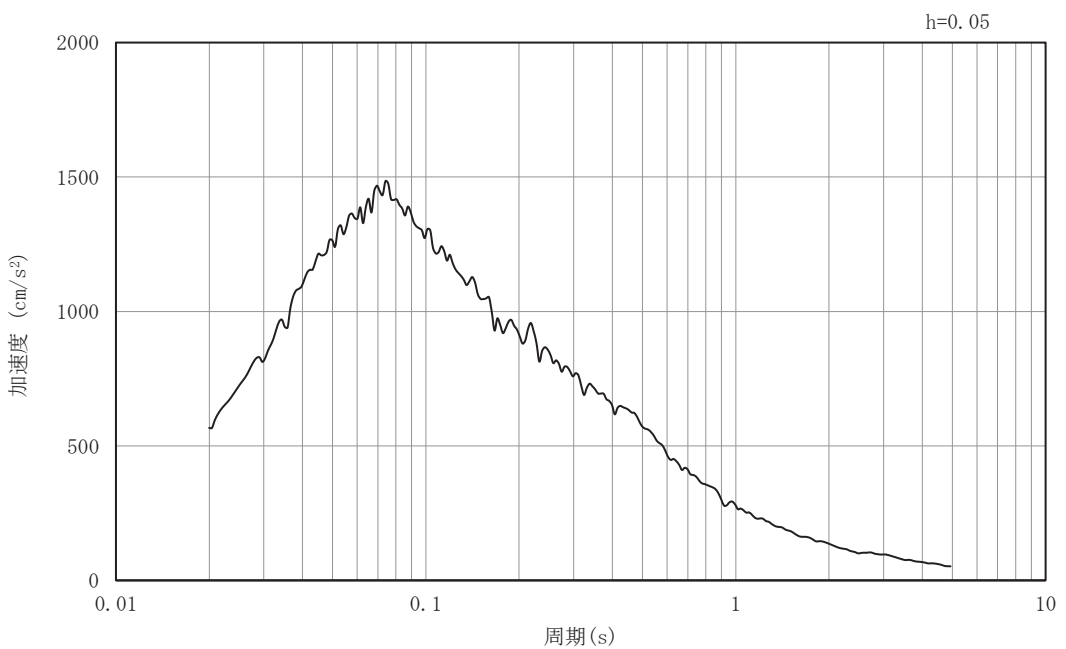


(b) 加速度応答スペクトル

図3-23 入力地震動の加速度時刻歴波形及び加速度応答スペクトル
(NS断面 水平成分：S s-D 2)

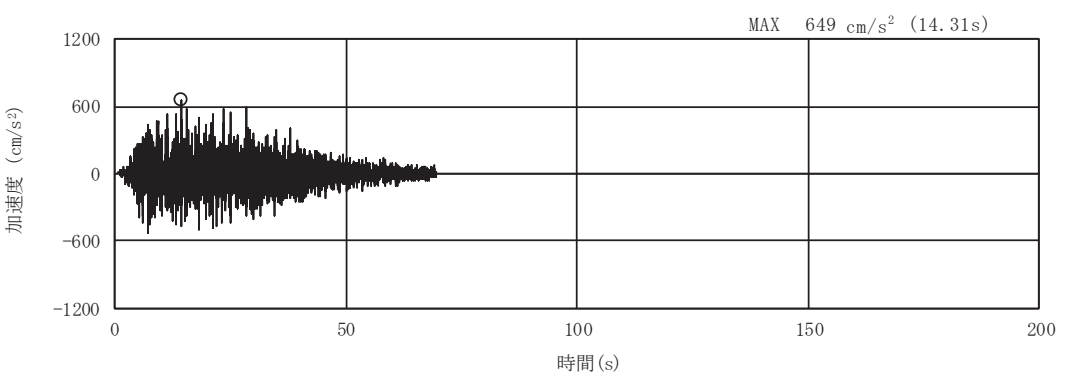


(a) 加速度時刻歴波形

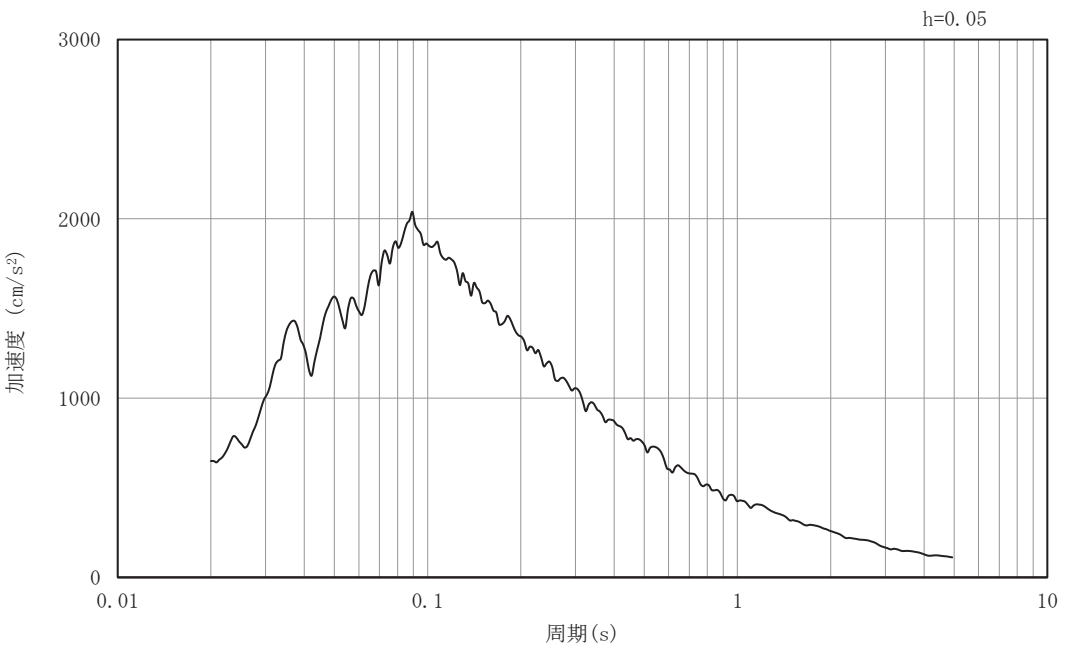


(b) 加速度応答スペクトル

図3-24 入力地震動の加速度時刻歴波形及び加速度応答スペクトル
(NS断面 鉛直成分：S s-D 2)

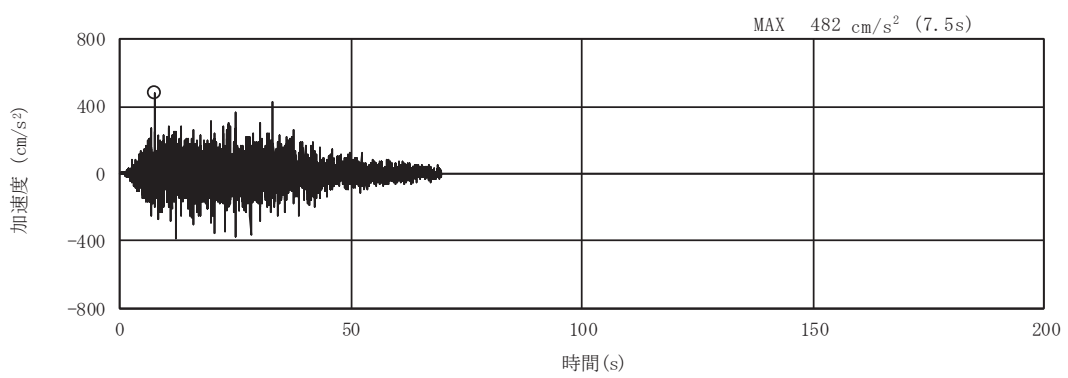


(a) 加速度時刻歴波形

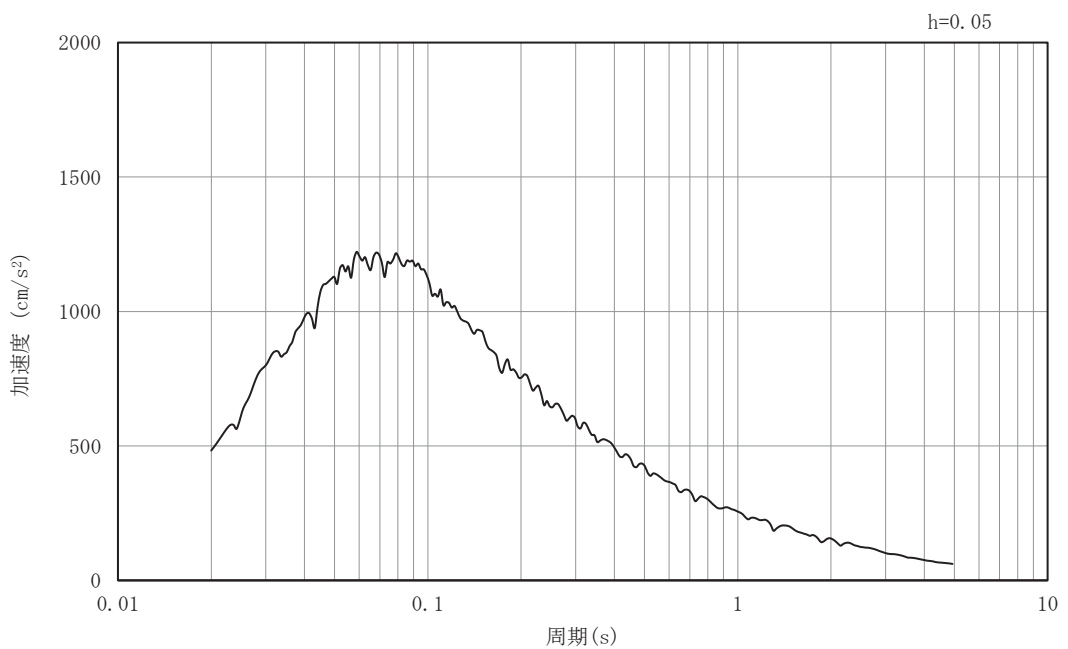


(b) 加速度応答スペクトル

図3-25 入力地震動の加速度時刻歴波形及び加速度応答スペクトル
(NS断面 水平成分：S s-D 3)

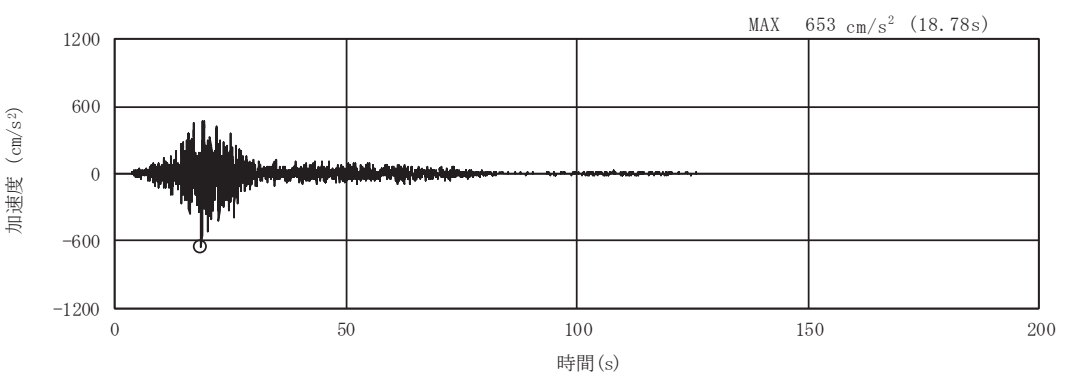


(a) 加速度時刻歴波形

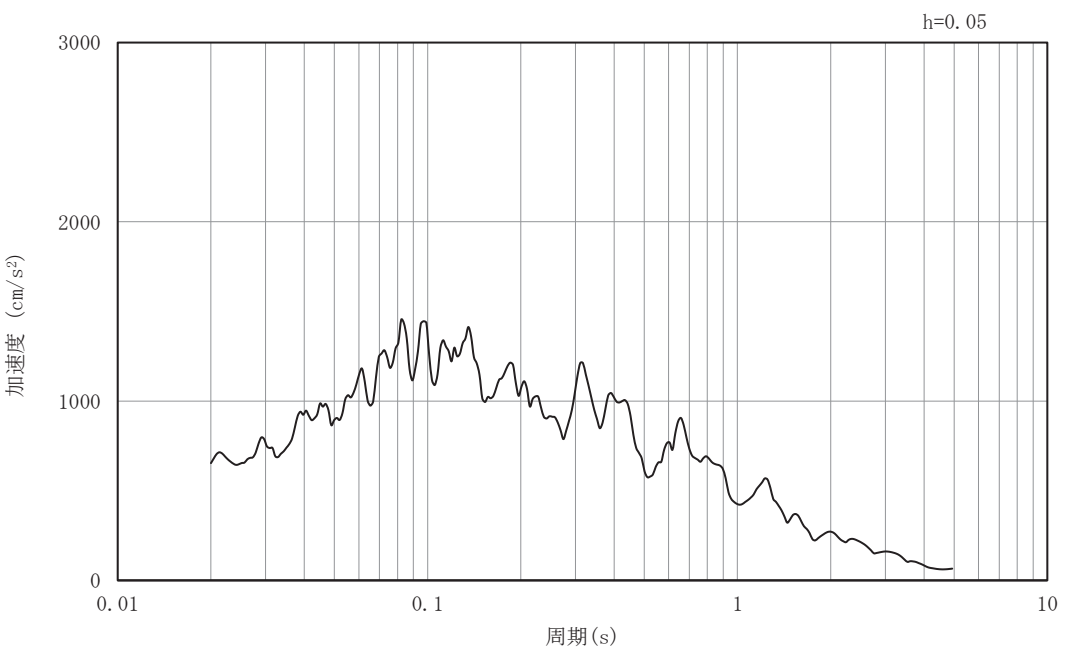


(b) 加速度応答スペクトル

図3-26 入力地震動の加速度時刻歴波形及び加速度応答スペクトル
(NS断面 鉛直成分： S s-D 3)

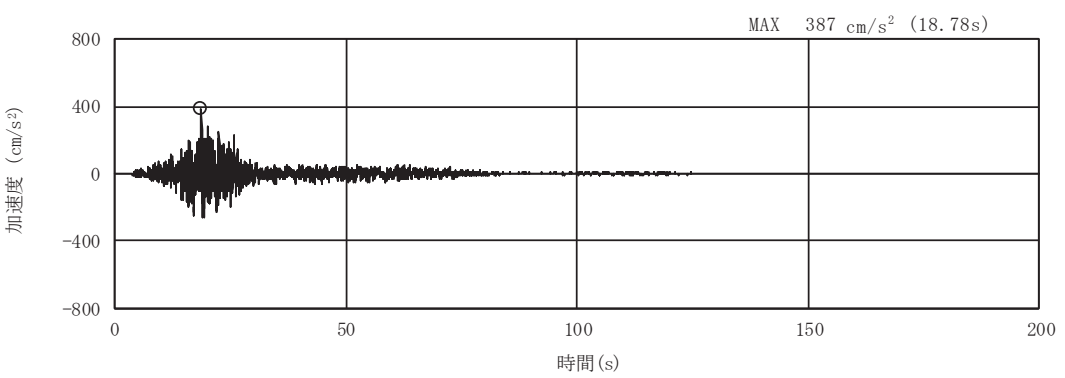


(a) 加速度時刻歴波形

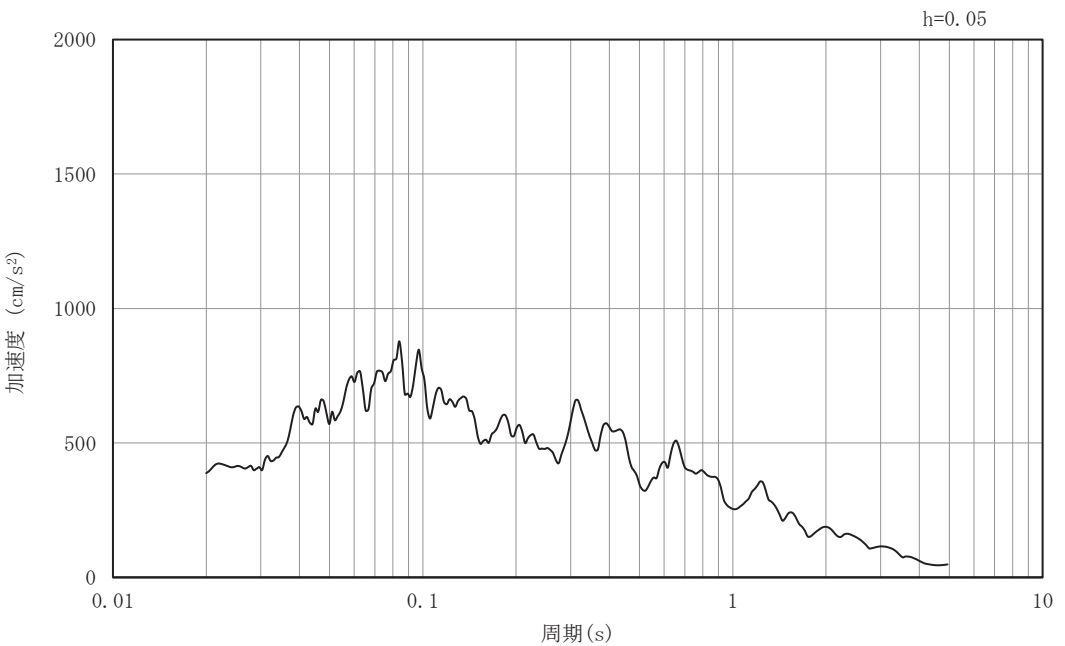


(b) 加速度応答スペクトル

図3-27 入力地震動の加速度時刻歴波形及び加速度応答スペクトル
(NS断面 水平成分： S s - F 1)

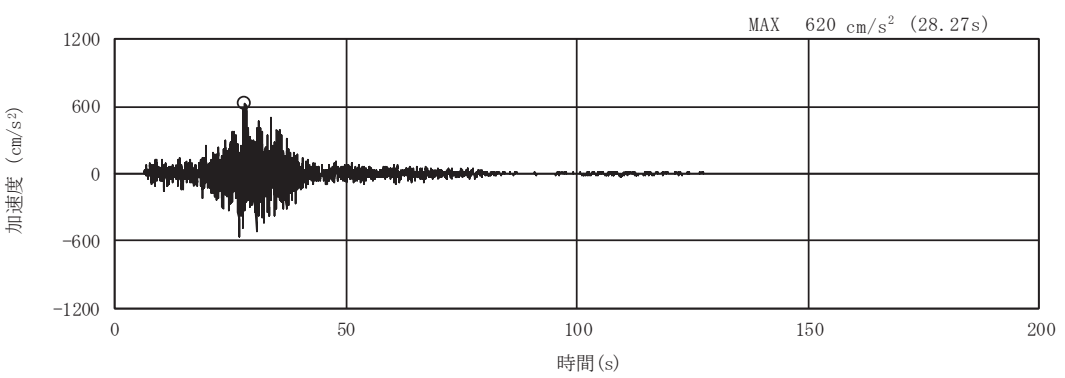


(a) 加速度時刻歴波形

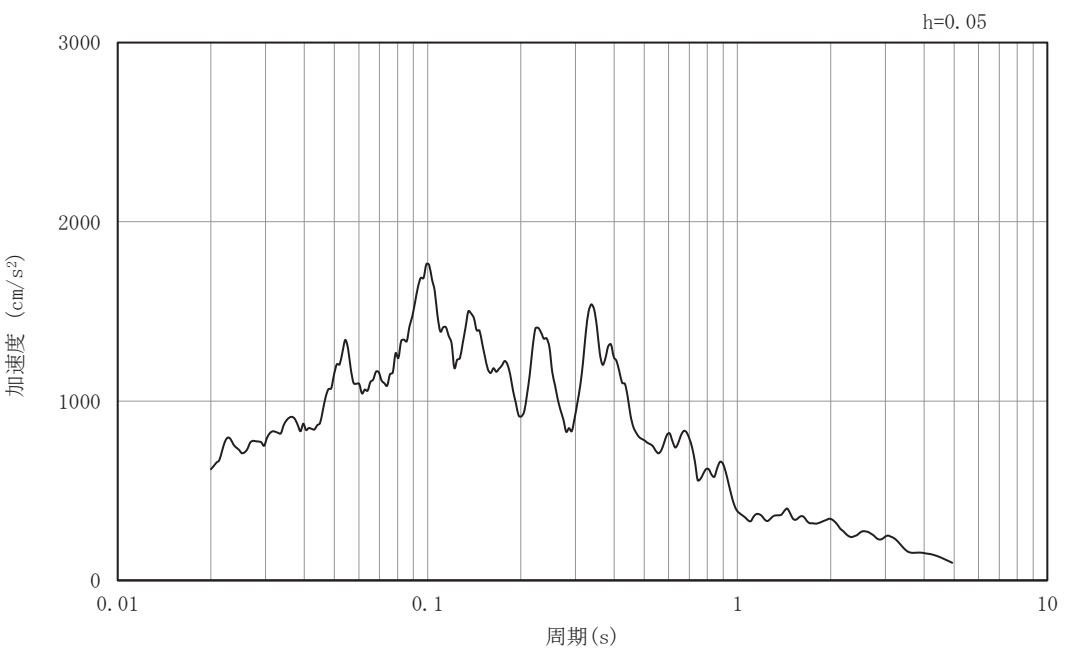


(b) 加速度応答スペクトル

図3-28 入力地震動の加速度時刻歴波形及び加速度応答スペクトル
(NS断面 鉛直成分： S s - F 1)

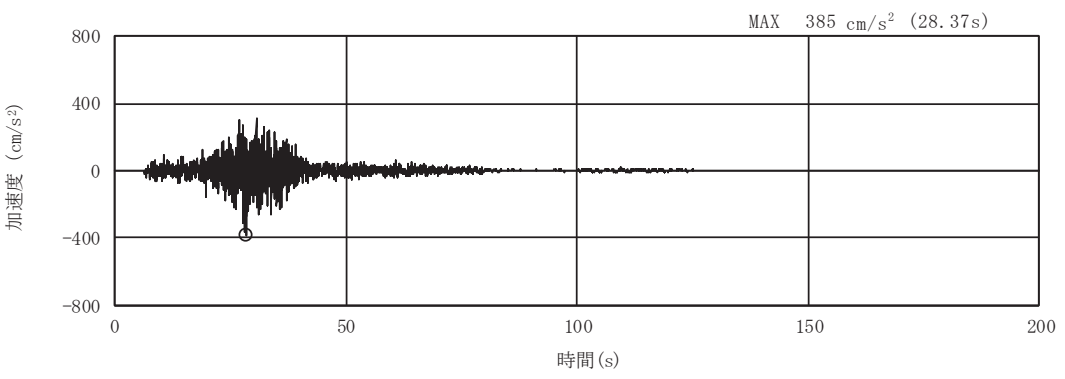


(a) 加速度時刻歴波形

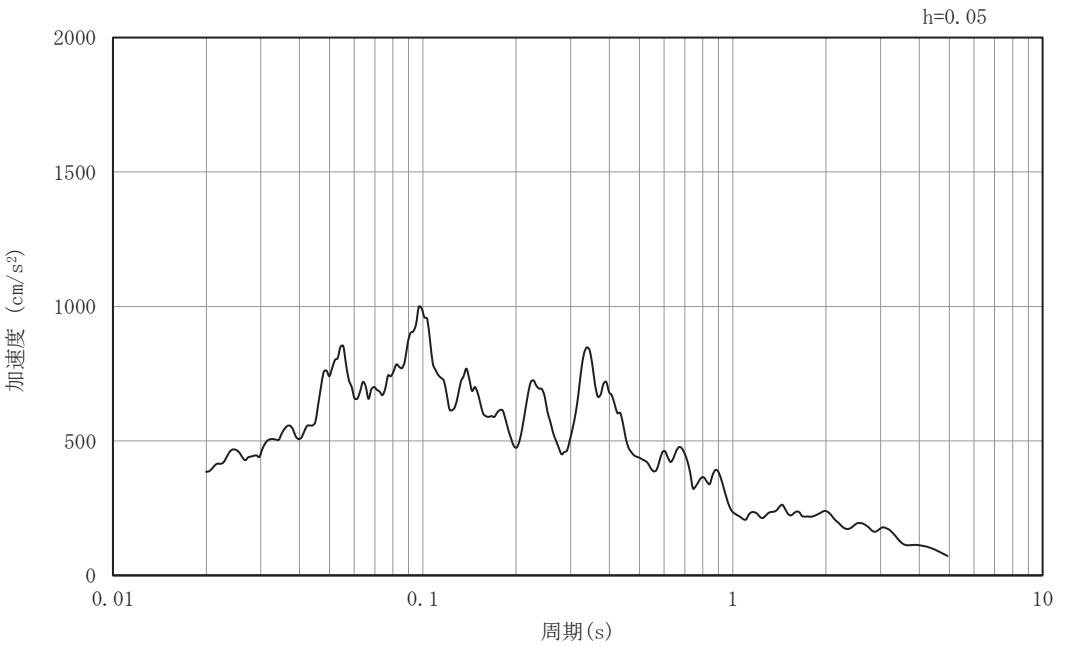


(b) 加速度応答スペクトル

図3-29 入力地震動の加速度時刻歴波形及び加速度応答スペクトル
(NS断面 水平成分：S s-F 2)

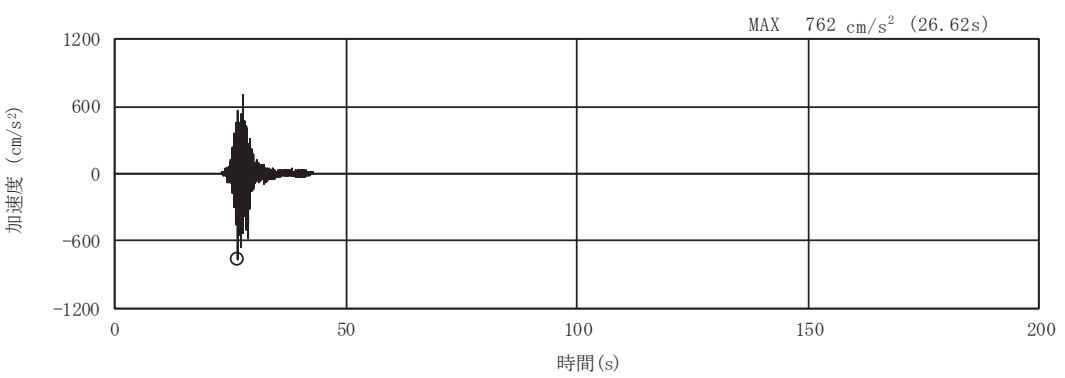


(a) 加速度時刻歴波形

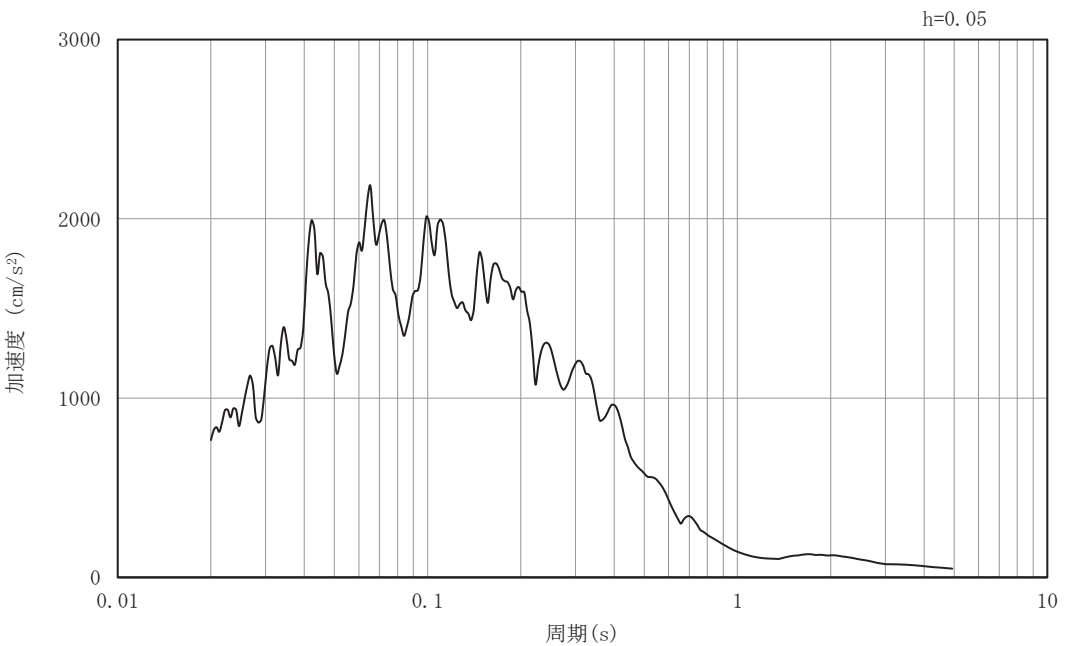


(b) 加速度応答スペクトル

図3-30 入力地震動の加速度時刻歴波形及び加速度応答スペクトル
(NS断面 鉛直成分： S s - F 2)

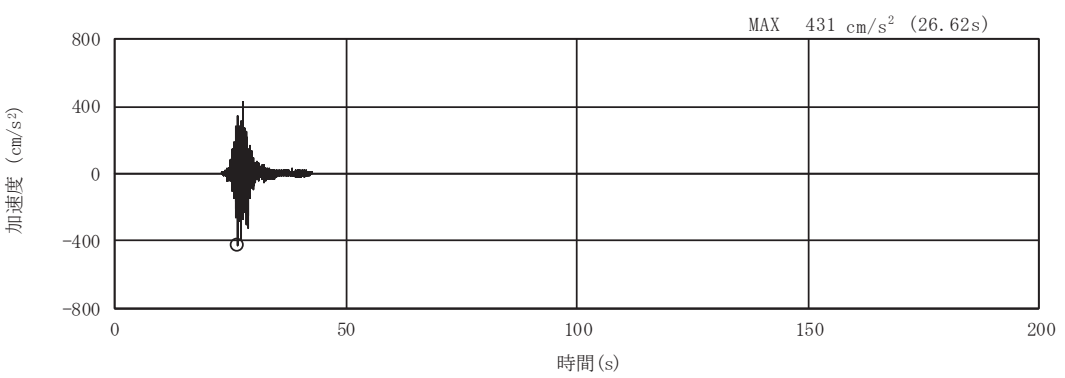


(a) 加速度時刻歴波形

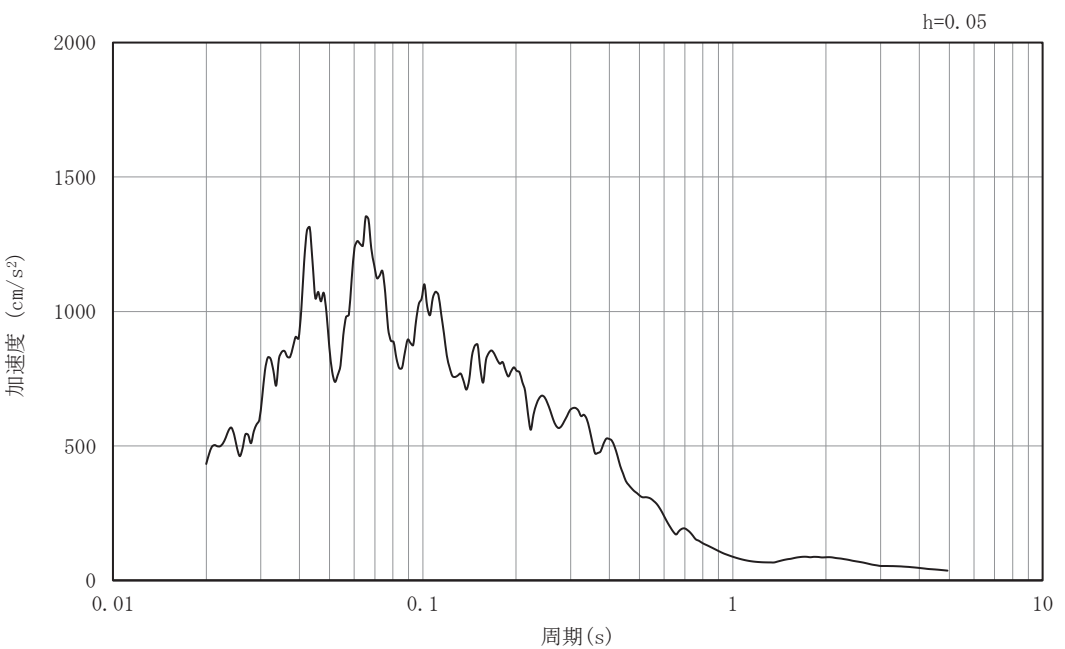


(b) 加速度応答スペクトル

図3-31 入力地震動の加速度時刻歴波形及び加速度応答スペクトル
(NS断面 水平成分： S s - F 3)

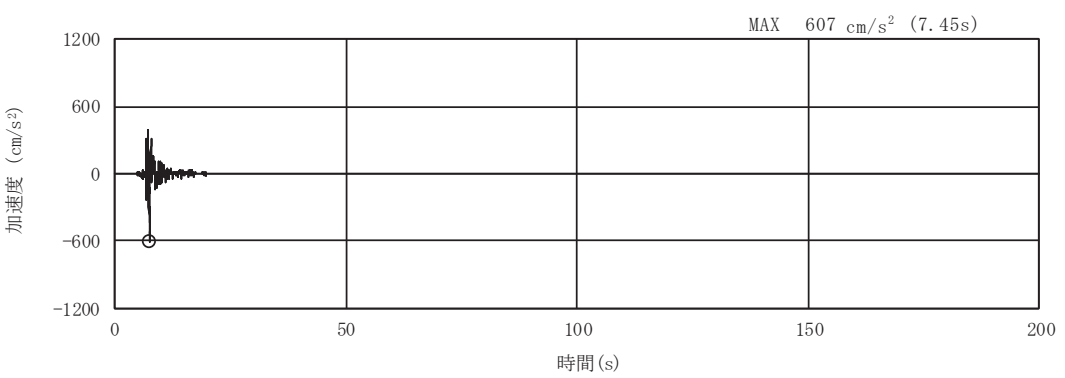


(a) 加速度時刻歴波形

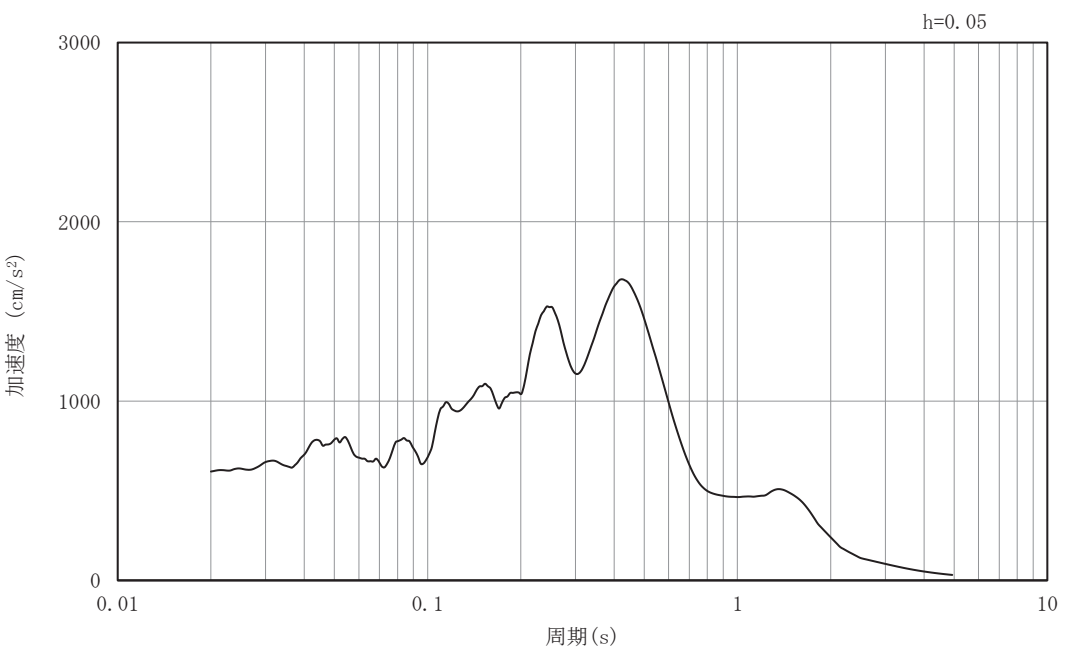


(b) 加速度応答スペクトル

図3-32 入力地震動の加速度時刻歴波形及び加速度応答スペクトル
(NS断面 鉛直成分： S s - F 3)

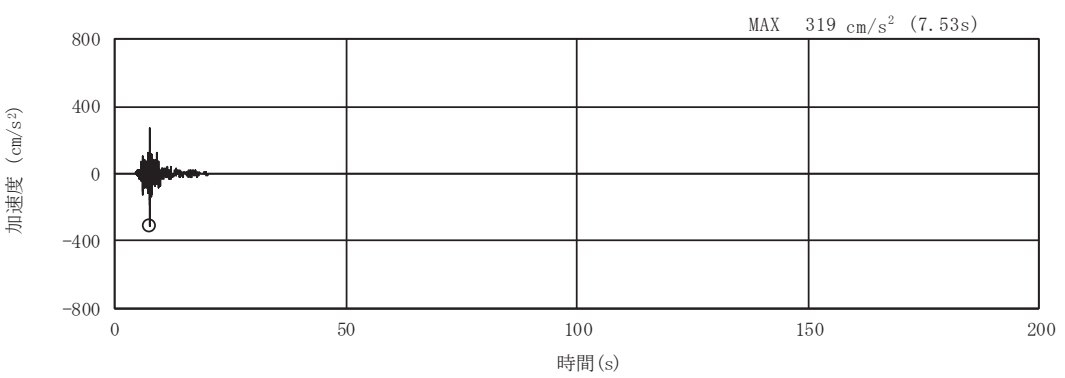


(a) 加速度時刻歴波形

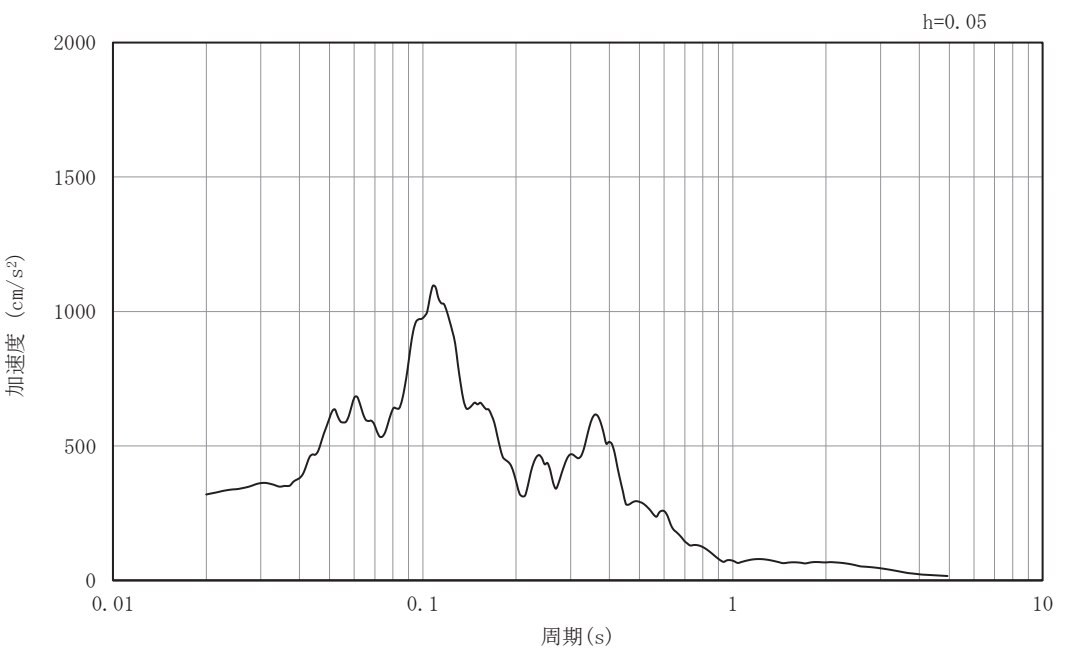


(b) 加速度応答スペクトル

図3-33 入力地震動の加速度時刻歴波形及び加速度応答スペクトル
(NS断面 水平成分：S s-N 1)



(a) 加速度時刻歴波形



(b) 加速度応答スペクトル

図3-34 入力地震動の加速度時刻歴波形及び加速度応答スペクトル
(NS断面 鉛直成分：S s-N 1)

3.5 解析モデル及び諸元

3.5.1 解析モデル

(1) 解析領域

二次元有限要素法による時刻歴応答解析の解析モデルの解析領域は、境界条件の影響が地盤及び構造物の応力状態に影響を及ぼさないよう、十分に広い領域とする。

(2) 境界条件

二次元有限要素法による時刻歴応答解析の解析モデルの境界条件については、有限要素解析における半無限地盤を模擬するため、粘性境界を設ける。

(3) 構造物のモデル化

第3号機補機冷却海水系放水ピットは等価な剛性を有する二次元等価剛性モデルを作成することとし、構造部材については、線形はり要素及び平面応力要素によりモデル化する。

等価剛性モデルの設定方法は「補足－6 1 0－1 0【屋外重要土木構造物の耐震安全性評価について】資料9 海水ポンプ室の耐震安全性評価」の方法を踏襲し、線形の三次元モデルに水平荷重として単位荷重（約100kN/m²）を作用させたときの水平変位と二次元モデルの水平変位が等しくなるようにコンクリートのせん断弾性係数を補正し、等価剛性モデル付与する。剛性の調整方法を図3-35に、剛性の調整結果を図3-36に示す。

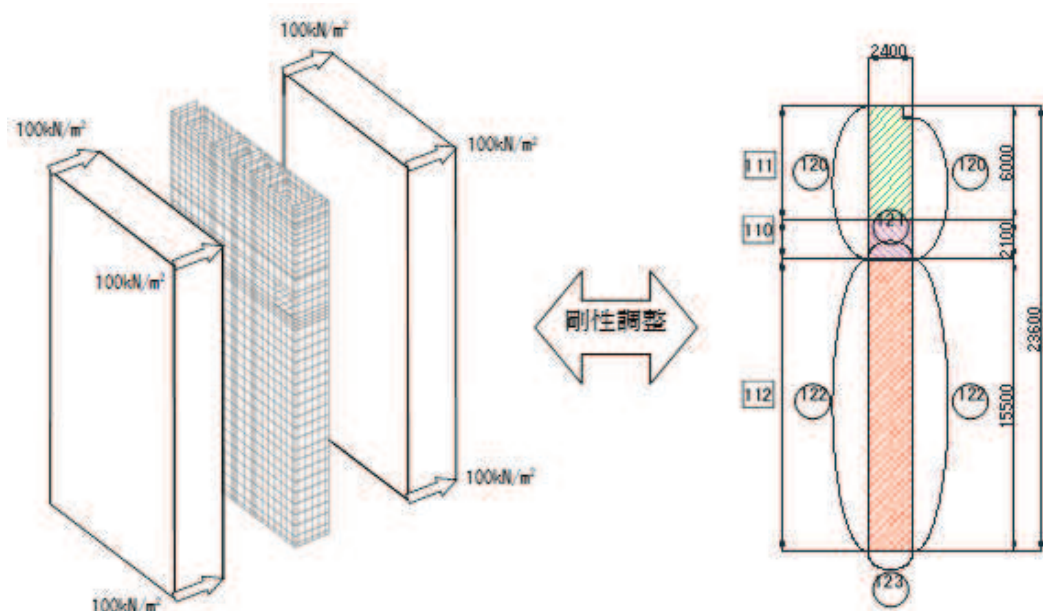


図3-35 剛性の調整方法

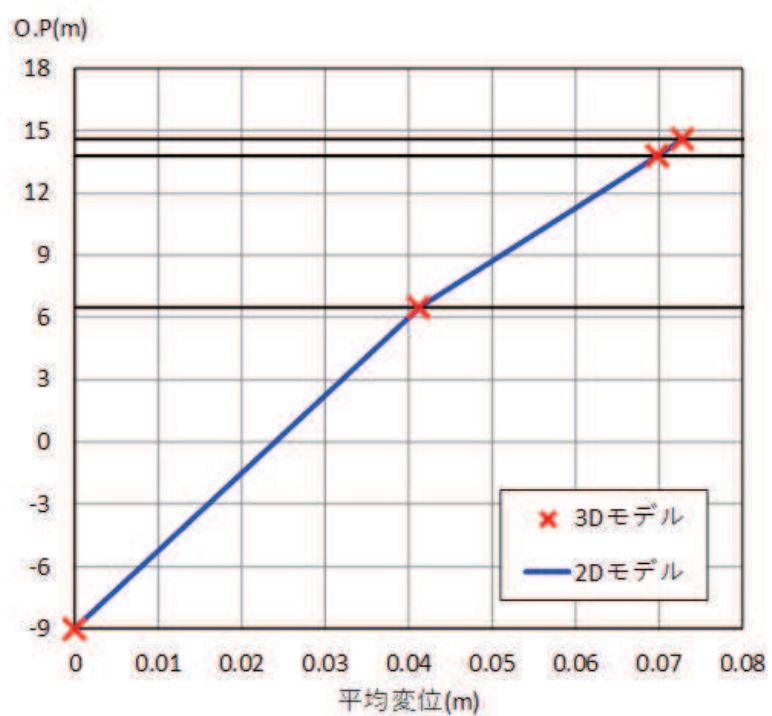


図 3-36 剛性の調整結果

(4) 隣接構造物のモデル化

NS 方向において隣接構造物となる第 3 号機海水熱交換器建屋は、第 3 号機補機冷却海水系放水ピットと緩衝材を介して接しており、荷重の伝達を考慮する必要がある。そのため、第 3 号機海水熱交換器建屋と等価な剛性を付与させたモデルとする。構造部材については、平面応力要素によりモデル化する。

等価剛性モデルの設定方法は第 3 号機海水熱交換器建屋の S R モデルは添付資料「V-2-2-29 第 3 号機海水熱交換器建屋の地震応答計算書」を参考に節点位置における変位と新たに作成した二次元平面応力要素モデルの変位が等しくなるようにコンクリートのせん断弾性係数を補正し、等価剛性モデルに付与する。剛性の調整方法を図 3-37 に、剛性の調整結果を図 3-38 に示す。

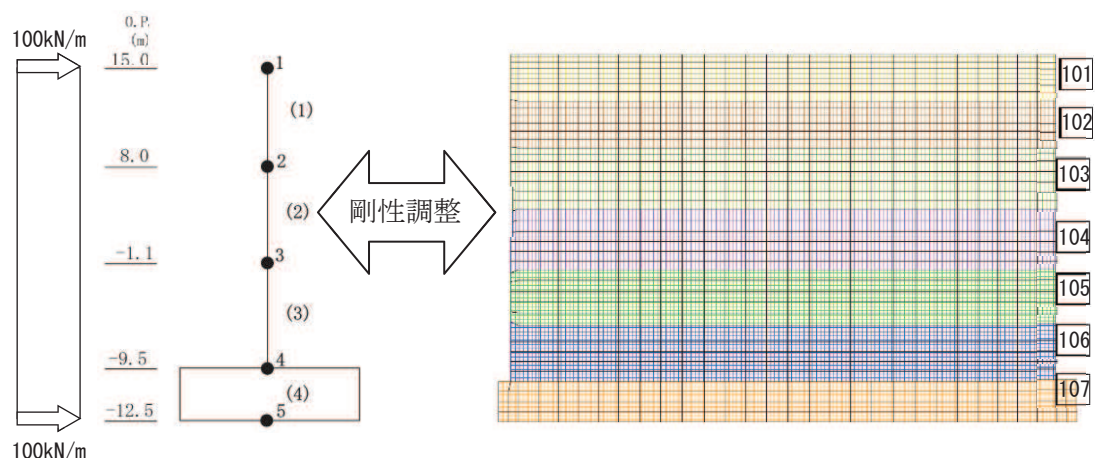


図 3-37 剛性の調整方法

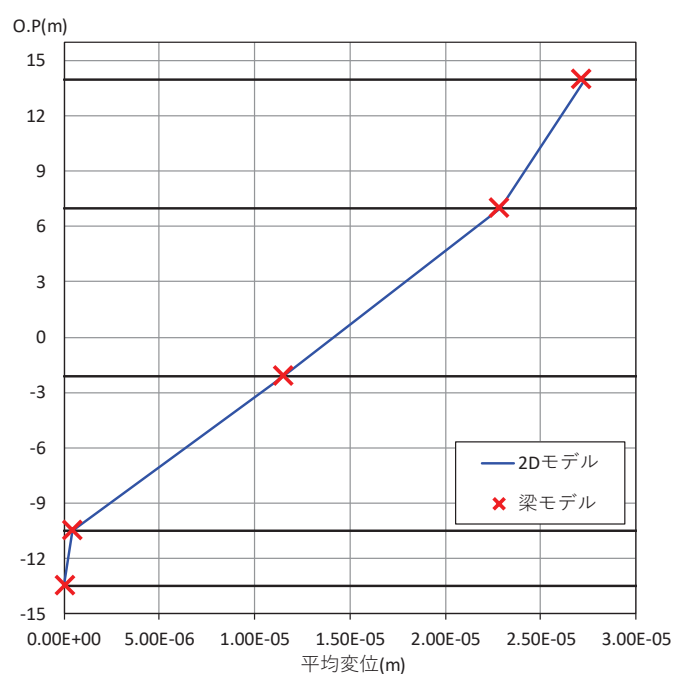


図 3-38 剛性の調整結果

(5) 地盤のモデル化

D級を除く岩盤は線形の平面ひずみ要素でモデル化する。また、盛土、旧表土及びD級岩盤は、地盤の非線形性をマルチスプリング要素で考慮した平面ひずみ要素でモデル化する。第3号機補機冷却海水系放水ピットの地震応答解析モデルを図3-39～図3-40に示す。

(6) ジョイント要素の設定

地震時の「MMRと構造物」、「第3号機海水熱交換器建屋と構造物」、「盛土及び岩盤とMMR」、及び「盛土と構造物」との接合面における剥離及びすべりを考慮するため、これらの接合面にジョイント要素を設定する。

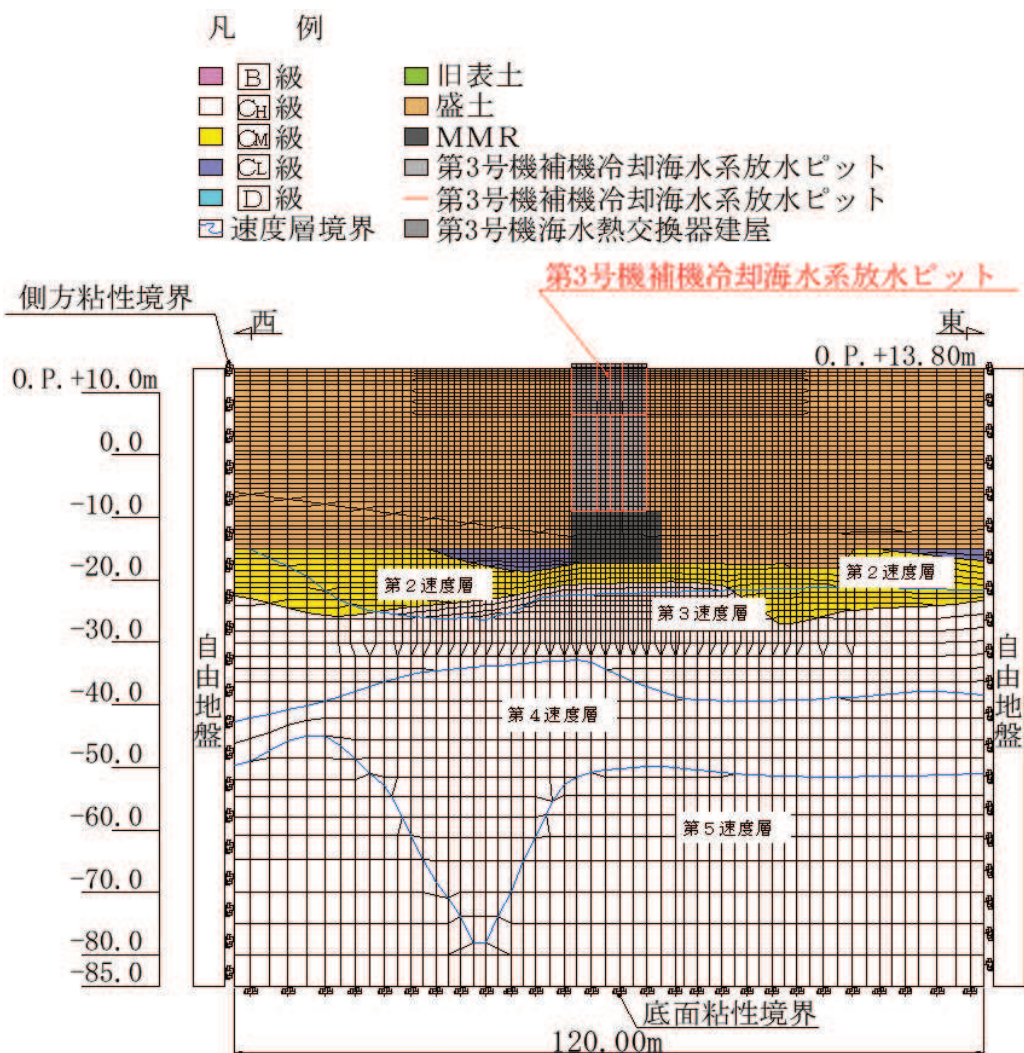


図3-39 第3号機補機冷却海水系放水ピットの地震応答解析モデル図（EW断面）

凡 例

■ B 級	■ 旧表土
□ C _h 級	■ 盛土
■ C _m 級	■ MMR
■ C _u 級	■ 第3号機補機冷却海水系放水ピット
■ D 級	■ 第3号機補機冷却海水系放水ピット
□ 速度層境界	■ 第3号機海水熱交換器建屋

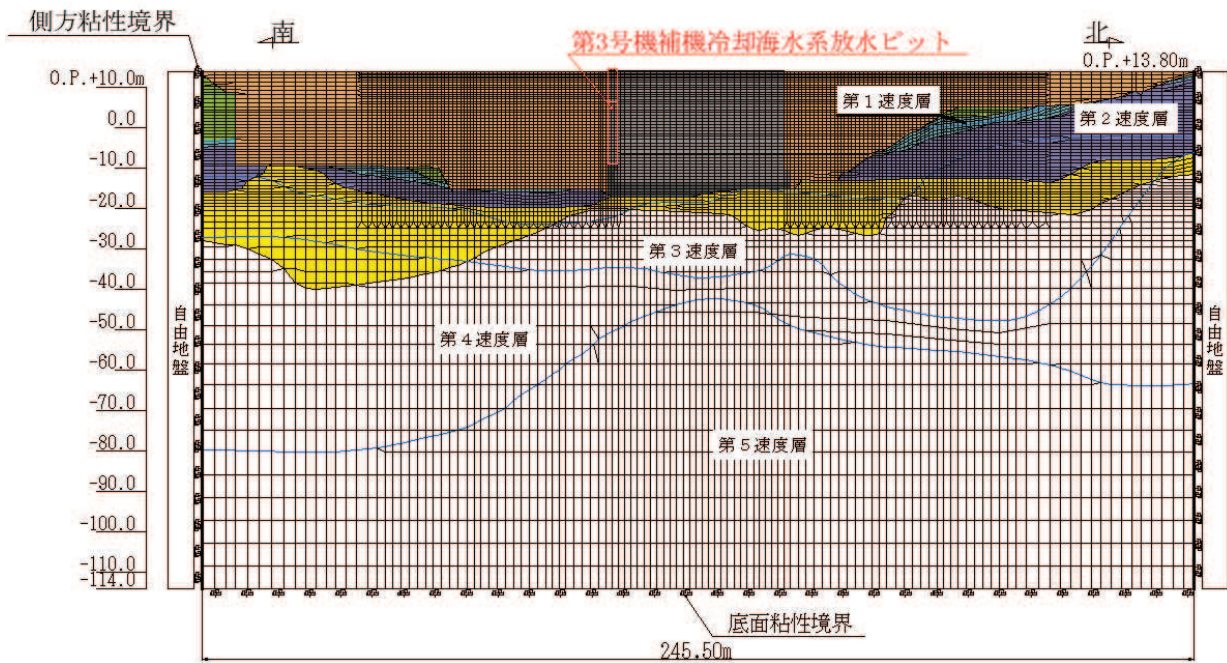


図 3-40 第3号機補機冷却海水系放水ピットの地震応答解析モデル図 (NS断面)

3.5.2 使用材料及び材料の物性値

構造物の使用材料を表3-6に、材料の物性値を表3-7に示す。

表3-6 使用材料

材料	仕様
コンクリート	設計基準強度 30.0N/mm^2
鉄筋	SD345

表3-7 材料の物性値

材料	項目	材料諸元	備考
鉄筋コンクリート	単位体積重量 (kN/m^3)	24.0	
コンクリート	ヤング係数 (N/mm^2)	実強度* 3.15×10^4	解析ケース④
		設計基準強度 2.80×10^4	解析ケース ①, ②, ③
	ポアソン比	0.2	

注記*：新設構造物のため推定した圧縮強度を使用する。

3.5.3 地盤の物性値

地盤については、添付書類「VI-2-1-3 地盤の支持性能に係る基本方針」にて設定している物性値を用いる。

3.5.4 地下水位

設計用地下水位は、添付書類「VI-2-1-3 地盤の支持性能に係る基本方針」に従い設定する。設計用地下水位の一覧を表3-8に、設計用地下水位を図3-41～図3-42に示す。

表3-8 設計用地下水位の一覧

施設名称	地震時荷重算出断面	設計用地下水位
第3号機補機冷却海水系 放水ピット	EW断面	O.P.-13.00m～O.P.-6.00m
	NS断面	O.P.-14.00m～O.P.-4.875m

凡例

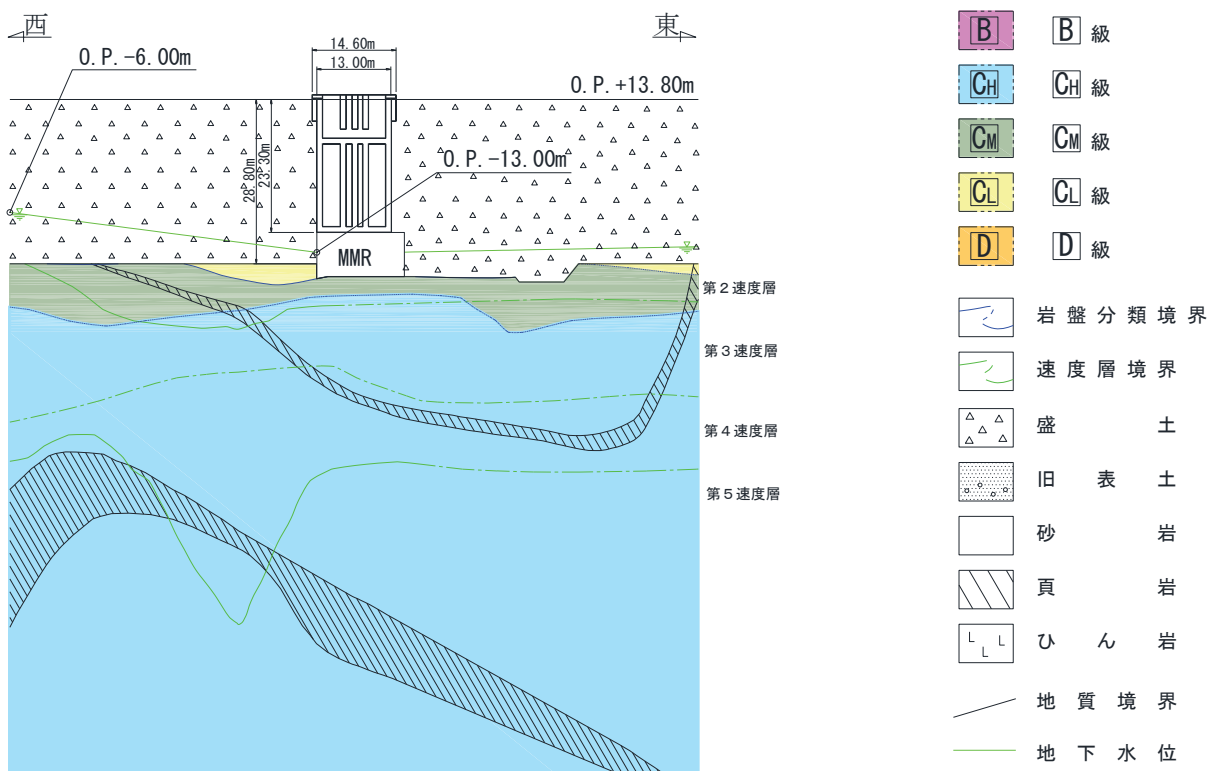


図3-41 設計用地下水位 (EW断面)

凡例

[B]	B 級
[C _H]	C _H 級
[C _M]	C _M 級
[C _L]	C _L 級
[D]	D 級
—	岩盤分類境界
—	速度層境界
△△	盛土
●●	旧表土
□	砂岩
▨	頁岩
L L	ひん岩
—	地質境界
—	地下水位

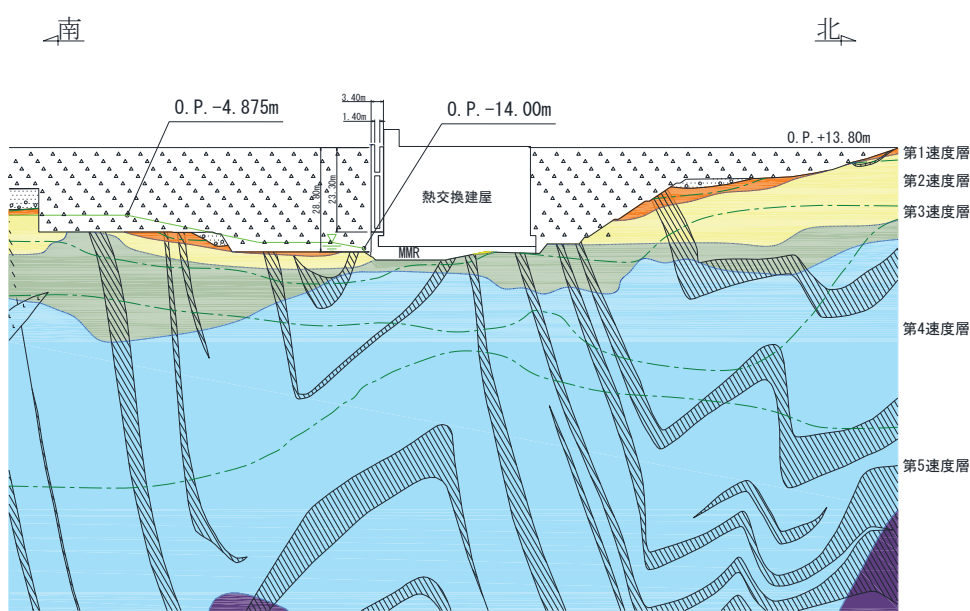


図 3-42 設計用地下水位 (NS 断面)

3.6 地震応答解析結果

3.6.1 浸水防止蓋の変形性評価に用いる EW 断面の解析結果

基準地震動 S s に対する、第 3 号機補機冷却海水系放水ピット天端位置での地震時最大応答変位結果を表 3-9 に示す。

表 3-9 地震時最大応答変位結果 (EW 断面)

地震動名		最大応答変位 (mm)			
		ケース①	ケース②	ケース③	ケース④
S s - D 1	++	55			
	-+	54			
S s - D 2	++	50			
	-+	54			
S s - D 3	++	39			
	-+	37			
S s - F 1	++	63			
	-+	64			
S s - F 2	++	76			
	-+	75			
S s - F 3	++	38			
	-+	37			
S s - N 1	++	130			
	-+	138	137	137	138

今回ケース①により得られた最大応答変位と第 3 号機海水熱交換器建屋の地震応答解析により得られた最大応答変位の合計値が最大であった地震動 (S s - N 1 (-+)) のケース②～④を実施。

3.6.2 浸水防止蓋の変形性評価に用いる NS 断面の解析結果

基準地震動 S s に対する、第 3 号機補機冷却海水系放水ピット天端位置での地震時最大応答変位結果を表 3-10 に示す。

表 3-10 地震時最大応答変位結果 (NS 断面)

地震動名		最大応答変位 (mm)			
		ケース①	ケース②	ケース③	ケース④
S s - D 1	++	27			
	-+	24			
S s - D 2	++	26			
	-+	25			
S s - D 3	++	31			
	-+	20			
S s - F 1	++	26			
	-+	23			
S s - F 2	++	48			
	-+	24			
S s - F 3	++	20			
	-+	19			
S s - N 1	++	25			
	-+	66	59	69	65

今回ケース①により得られた最大応答変位と第 3 号機海水熱交換器建屋の地震応答解析により得られた最大応答変位の合計値が最大であった地震動 (S s - N 1 (-+)) のケース②～④を実施。

4. 三次元構造解析

4.1 評価方法

4.1.1 構造部材の健全性評価

第3号機補機冷却海水系放水ピットの耐震評価は、線形シェル要素を用いた三次元構造解析により実施する。三次元構造解析には、解析コード「TDAP Ver. 3.10.01」を用いる。なお、解析コードの検証及び妥当性確認等の概要については、添付書類「VI-5 計算機プログラム（解析コード）の概要」に示す。

三次元構造解析への入力荷重は、地震応答解析において、第3号機補機冷却海水系放水ピットの耐震評価に支配的な荷重が最大となる時刻を選定し、当該時刻における地震時応答から設定する。

地震応答解析により算定した地震時荷重（地震時土圧及び慣性力）を用いて、三次元構造解析により算定した照査用応答値が、「4.1.3 許容限界」において設定した許容限界を下回ることを確認する。

(1) 解析モデル

線形シェル要素でモデル化する。三次元構造解析モデルを図4-1に示す。

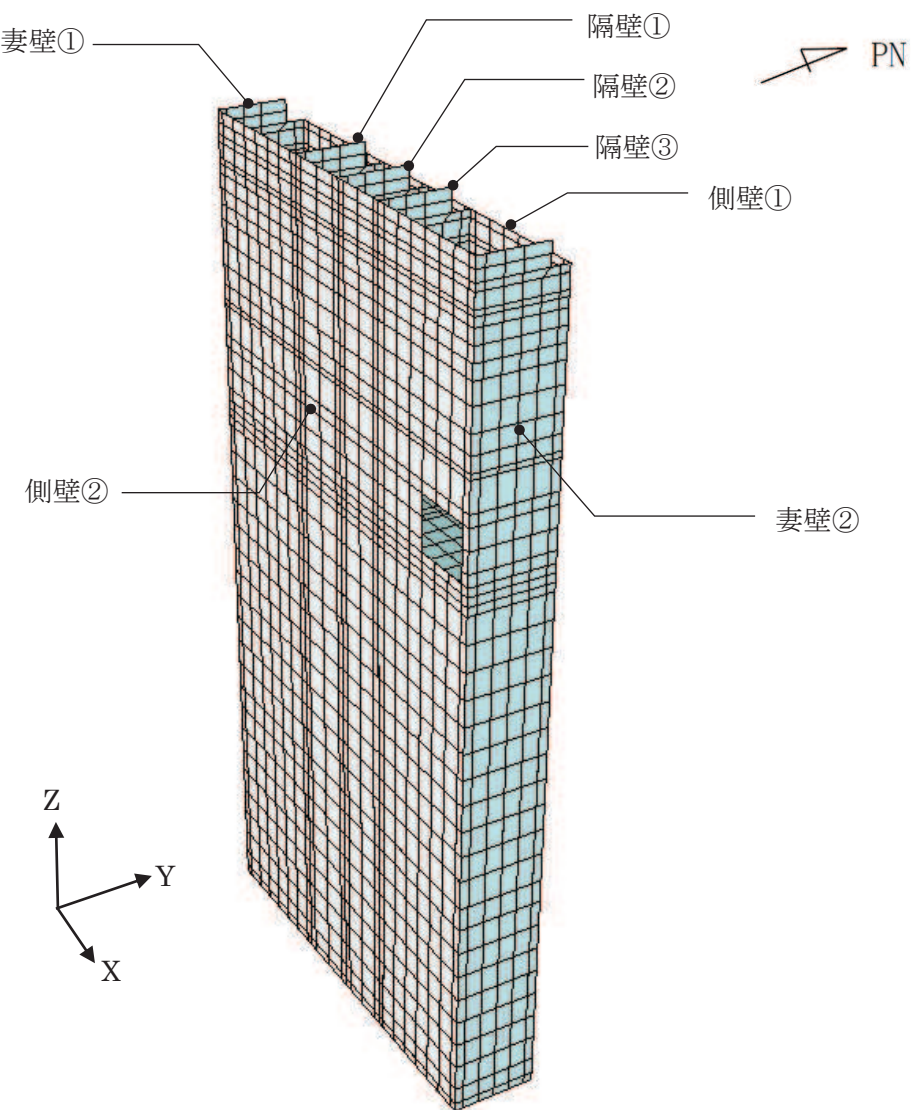


図4-1 三次元構造解析モデル図（鳥瞰図）

(2) 照査時刻

構造部材の健全性評価において、照査時刻は構造的特徴を踏まえ、損傷モードごと及び部材ごとに評価が厳しくなる時刻を地震応答解析の結果から複数選定する。

(3) 入力荷重

三次元構造解析の入力荷重は、設計値及び地震応答解析に基づく「(2) 照査時刻」で選定した照査時刻における応答値を用いて算定する。地震時荷重は地震応答解析から抽出した荷重を奥行方向に一様に載荷する。入力荷重の一覧を表 4-1 に示す。

表 4-1 三次元構造解析における入力荷重

区分	種別	考慮する荷重
常時 荷重	固定荷重	躯体自重
	常時土圧	躯体側面に作用する常時土圧
	内水圧	躯体に作用する静水圧
地震時 荷重	慣性力	躯体に作用する慣性力
	動水圧（内水）	躯体に作用する動水圧*
	地震時土圧	躯体側面に作用する地震時土圧

注記*：動水圧は、地震応答解析から抽出した側壁及び隔壁の応答加速度に基づき算定する。

4.1.2 基礎地盤の支持性能評価

基礎地盤の支持性能評価においては、構造部材を支持する基礎地盤に発生する接地圧が許容限界を下回ることを確認する。

4.1.3 許容限界

許容限界は、添付書類「VI-2-1-9 機能維持の基本方針」に基づき設定する。

(1) 構造部材の健全性に対する許容限界

構造強度を有することの確認における構造部材（鉄筋コンクリート）の曲げ・軸力系の破壊に対する許容限界は、コンクリート標準示方書〔構造性能照査編〕（土木学会、2002年制定）に基づき、短期許容応力度とする。また、せん断破壊に対する許容限界は、コンクリートと鉄筋の短期許容応力度から算定した短期許容せん断力とする。コンクリート及び鉄筋の許容応力度を表4-2～表4-3に示す。

溢水防止蓋の止水ジョイントを支持する機能及び止水機能を要求されるが、短期許容応力度により照査を行うため、構造強度を有することの確認と許容限界が同一となることから、全部材に対して構造強度を有することを確認することで、支持する機能及び止水機能を損なわないことの確認も同時に行う。

表4-2 コンクリートの許容応力度及び短期許容応力度

設計基準強度	許容応力度 (N/mm ²)	短期許容応力度* (N/mm ²)	
$f'_c, ck = 30.0 \text{ (N/mm}^2\text{)}$	許容曲げ圧縮応力度 σ'_{ca}	11.0	16.5
	許容せん断応力度 τ_{a1}	0.50	0.75

注記*：コンクリート標準示方書〔構造性能照査編〕（土木学会、2002年制定）により地震時の割り増し係数として1.5を考慮する。

表4-3 鉄筋の許容応力度及び短期許容応力度

鉄筋の種類	許容応力度 (N/mm ²)	短期許容応力度* (N/mm ²)	
SD345	許容引張応力度 σ_{sa}	196	294

注記*：コンクリート標準示方書〔構造性能照査編〕（土木学会、2002年制定）により地震時の割り増し係数として1.5を考慮する。

(2) 基礎地盤の支持性能に対する許容限界

基礎地盤（牧の浜部層）に発生する接地圧に対する許容限界は、添付書類「VI-2-1-3 地盤の支持性能に係る基本方針」に基づき、岩盤の極限支持力とする。

基礎地盤（牧の浜部層）の許容限界を表4-4に示す。

表4-4 基礎地盤の支持性能に対する許容限界

評価項目	基礎地盤	許容限界 (N/mm ²)
極限支持力	牧の浜部層	11.4

MMR（既設）に発生する接地圧に対する許容限界は、コンクリート標準示方書[構造性能照査編]（土木学会、2002年制定）に基づき、コンクリートの支圧強度とする。

MMR（既設）の許容限界を表4-5に示す。

表4-5 MMR（既設）の支持性能に対する許容限界

評価項目	MMR（既設）	許容限界 (N/mm ²)
支圧強度	コンクリート (f'c_k = 15.6 N/mm ²)	f'_a = 15.6

4.2 構造部材の地震時応答

三次元構造解析に基づく、各構造部材の地震時応答結果を示す。各部材位置を図4-2に、各部材の要素座標系を図4-3に、シェル要素における各要素の断面力の方向を図4-4に示す。

曲げ・軸力系の破壊に対する照査のうち、各部材のコンクリート、鉄筋の発生応力度が最大となる評価時刻での断面力分布を図4-5に、せん断破壊に対して最大照査値となる評価時刻での断面力分布を図4-6に示す。

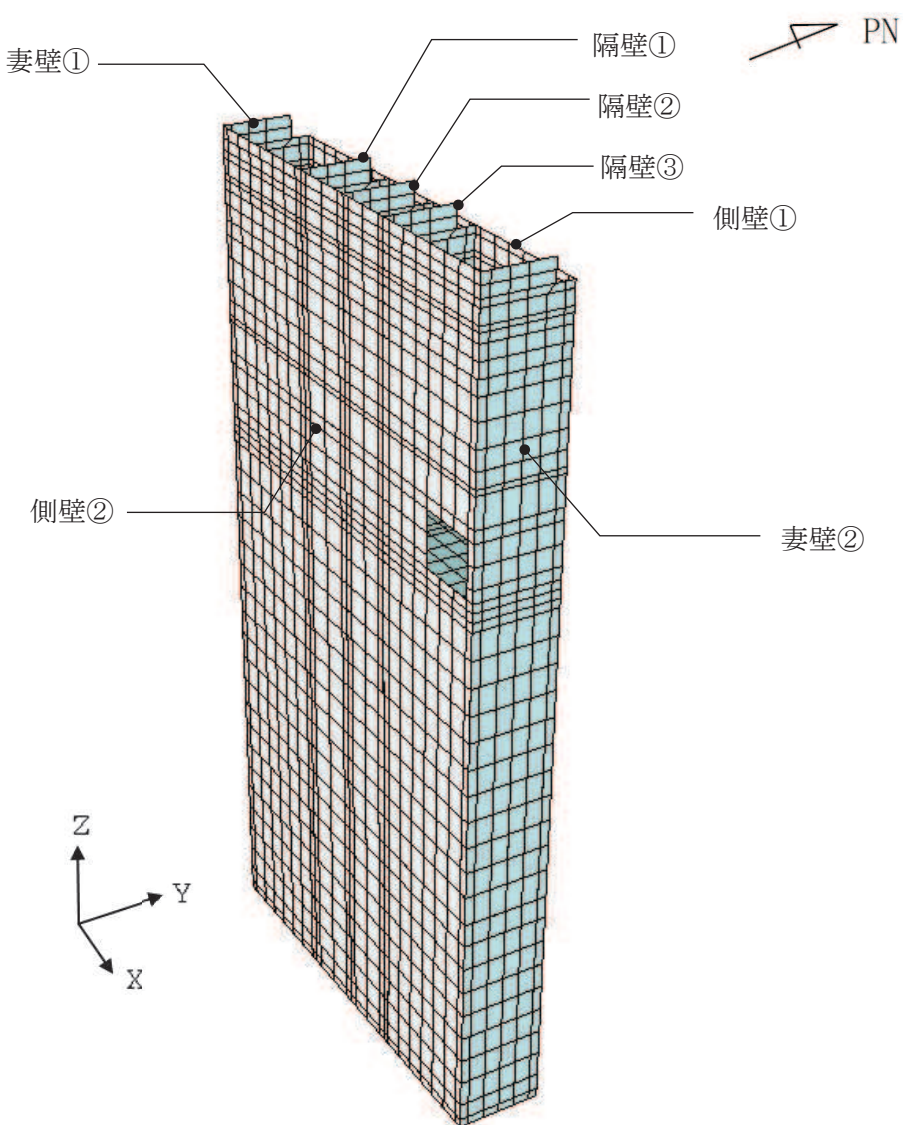
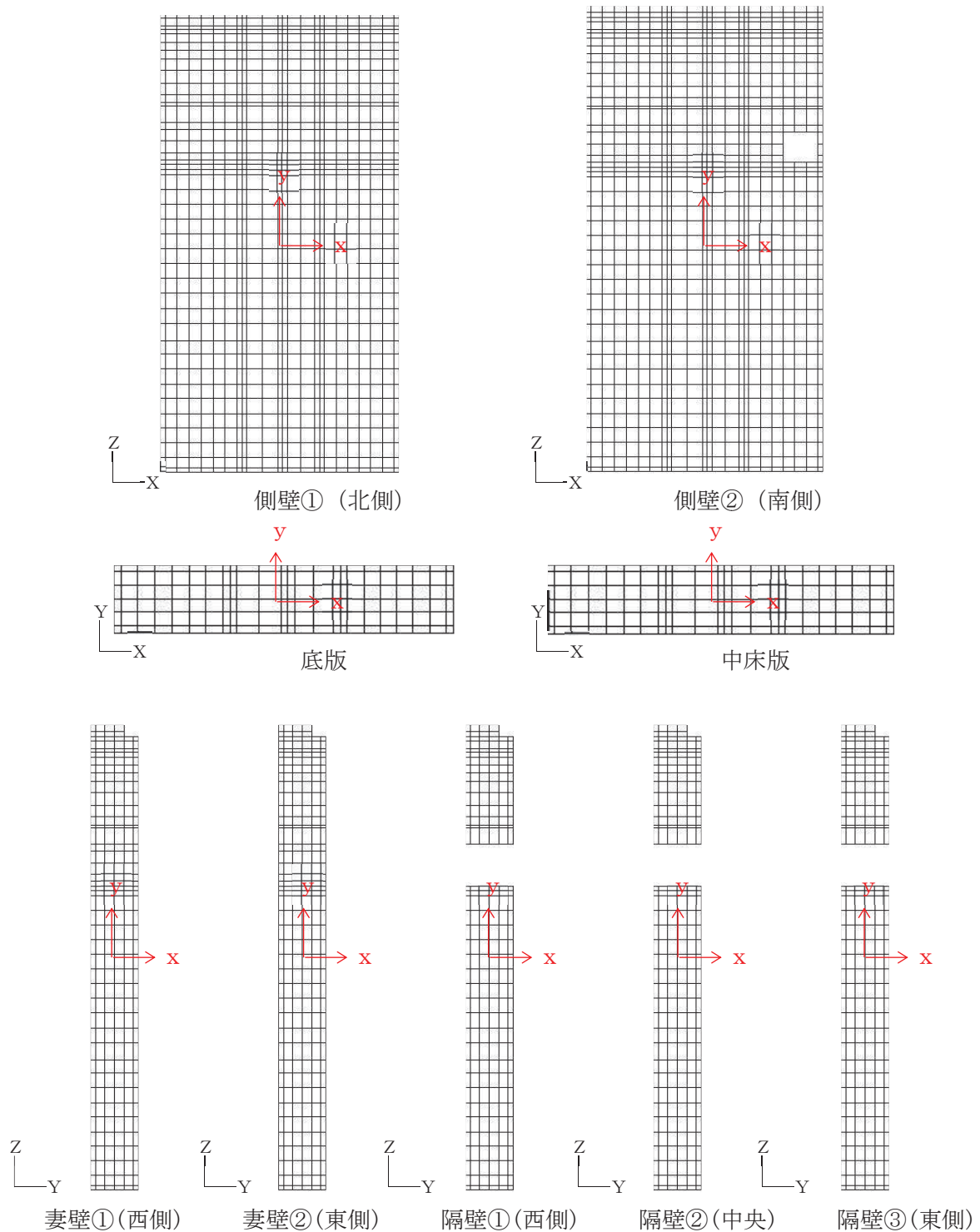
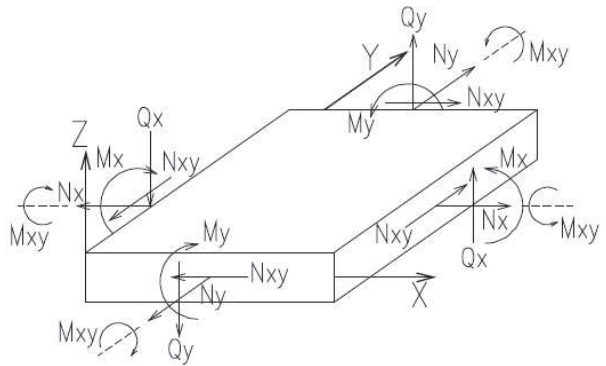


図4-2 各部材位置



黒：全体座標系を示す
赤：要素座標系を示す

図 4-3 各部材の要素座標系



M_x, M_y : 曲げモーメント
 Q_x, Q_y : せん断力
 N_x, N_y : 軸力
 $N_{x,y}$: 面内せん断力
 $M_{x,y}$: ねじりモーメント

図 4-4 シェル要素における応答断面力の方

追而

図 4-5 断面力分布（曲げ・軸力系の破壊）

追而

図 4-6 断面力分布（せん断破壊）

4.3 耐震評価結果

4.3.1 構造部材の健全性及び止水機能、支持機能に対する評価結果

断面計算に用いた断面諸元を表4-6に示す。

鉄筋コンクリート部材の曲げ・軸力系の破壊に対する各評価位置での最大照査値を表4-7～表4-8に、せん断破壊に対する各評価位置での最大照査値を表4-9に示す。

第3号機補機冷却海水系放水ピットの発生応力度（コンクリートの圧縮応力度、鉄筋の引張応力度）及び発生せん断力が、構造部材の健全性及び止水機能、Sクラスの施設を支持する機能に対する許容限界を下回ることを確認した。

表4-6 鉄筋コンクリート断面諸元

部材	部材厚 (mm)	X方向 (水平方向)		Y方向 (鉛直方向)		せん断補強筋
		配置鉄筋	芯かぶり (mm)	配置鉄筋	芯かぶり (mm)	
底版						
中小版						
側壁①						
側壁②						
妻壁①				追而		
妻壁②						
隔壁①						
隔壁②						
隔壁③						

表 4-7 曲げ・軸力系の破壊に対する最大照査値（コンクリート）

評価位置*	解析 ケース	地震動	曲げ モーメント (kN・m/m)	軸力 (kN/m)	発生 応力度 σ , c (N/mm ²)	短期許容 応力度 σ , ca (N/mm ²)	照査値 σ , c σ , ca
底版							
中床版							
側壁					追而		
隔壁							
妻壁							

注記*：評価位置は図 4-7～図 4-9 に示す。

表 4-8 曲げ・軸力系の破壊に対する最大照査値（鉄筋）

評価位置*	解析 ケース	地震動	曲げ モーメント (kN・m/m)	軸力 (kN/m)	発生 応力度 σ_s (N/mm ²)	短期許容 応力度 σ_{sa} (N/mm ²)	照査値 σ_s / σ_{sa}
底版							
中床 版							
側壁					追而		
隔壁							
妻壁							

注記*：評価位置は図 4-7～図 4-9 に示す。

表 4-9 せん断破壊に対する最大照査値

評価位置*		解析 ケース	地震動	発生 せん断力 V (kN/m)	短期 許容せん断力 V_a (kN/m)	照査値 V/V_a
底版		追而				
中床 版						
側壁						
隔壁						
妻壁						

注記*：評価位置は図 4-7～図 4-9 に示す。

【側壁】

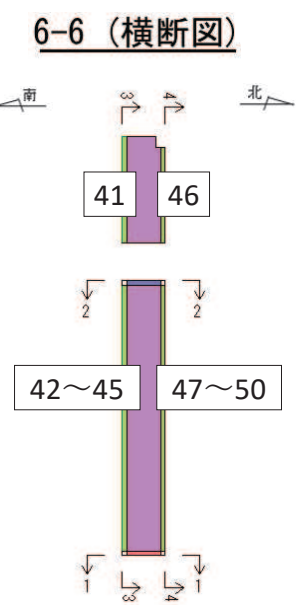
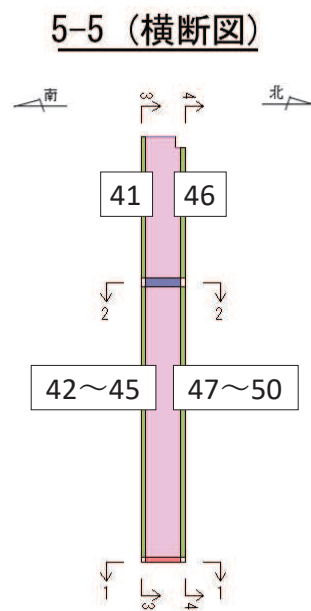
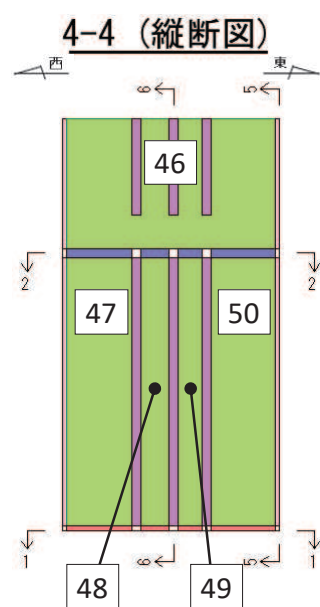
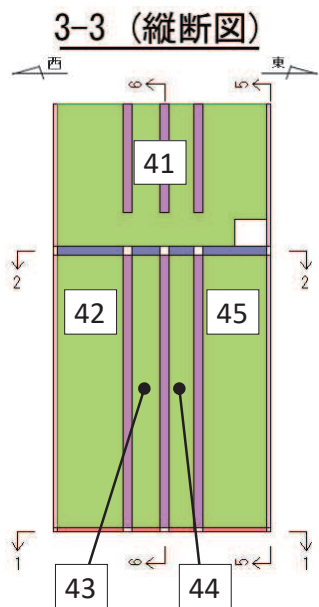
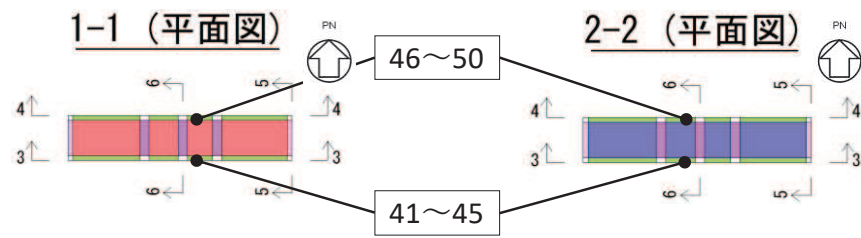


図 4-7 評価位置図（曲げ・軸力系の破壊及びせん断破壊）

【底版・中床版】

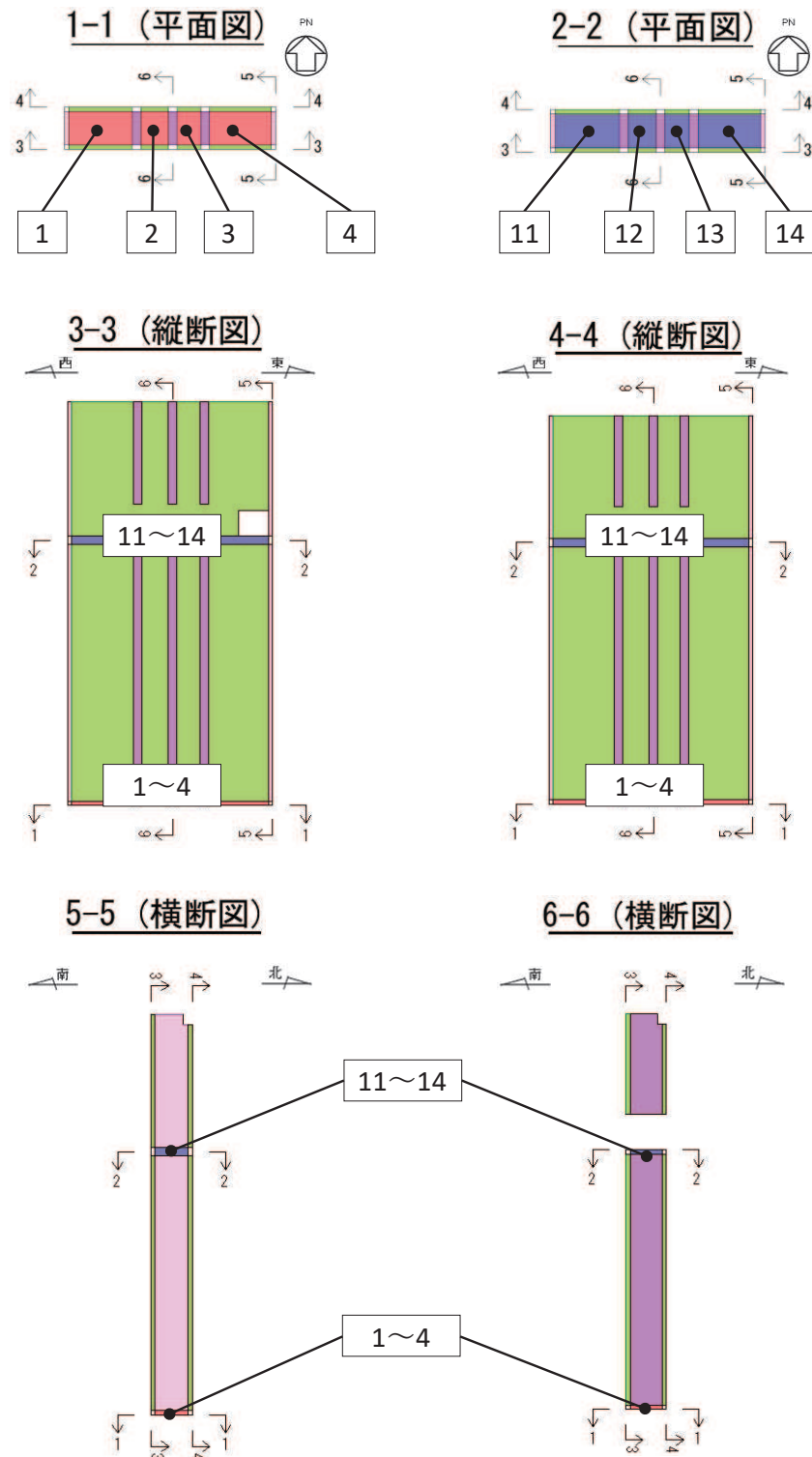
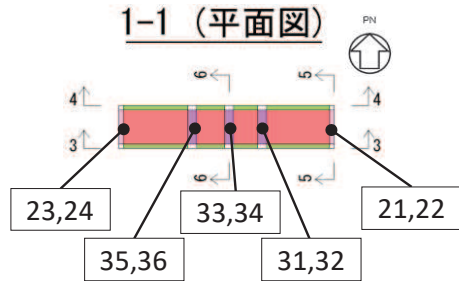


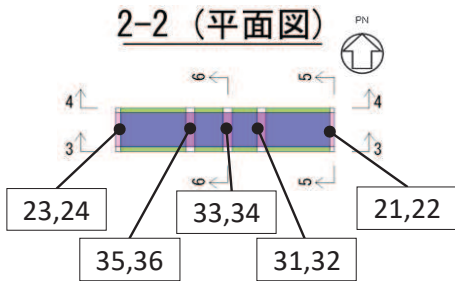
図 4-8 評価位置図（曲げ・軸力系の破壊及びせん断破壊）

【妻壁・隔壁】

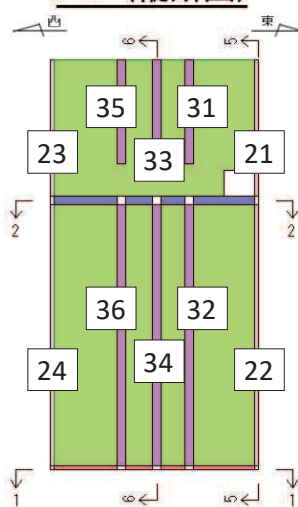
1-1 (平面図)



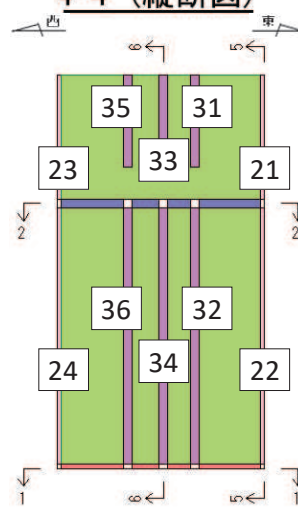
2-2 (平面図)



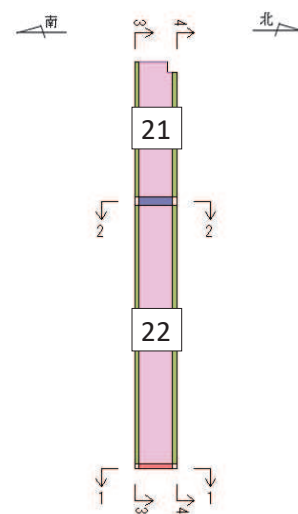
3-3 (縦断図)



4-4 (縦断図)



5-5 (横断図)



6-6 (横断図)

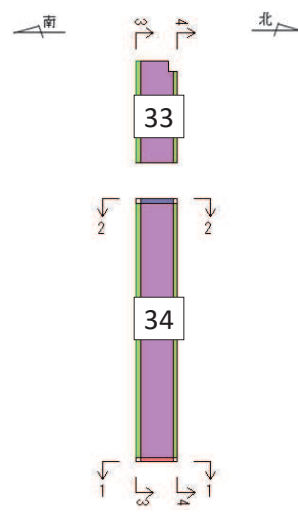


図 4-9 評価位置図（曲げ・軸力系の破壊及びせん断破壊）

4.3.2 基礎地盤の支持性能に対する評価結果

(1) 基礎地盤（牧の浜部層）

基礎地盤の支持性能に対する照査結果を表 4-10 に示す。また、最大接地圧分布図を図 4-10 に示す。

第 3 号機補機冷却海水系放水ピットの基礎地盤に発生する最大接地圧が、極限支持力を下回ることを確認した。

表 4-10 基礎地盤の支持性能照査結果

解析ケース	地震動	最大接地圧 R_d (N/mm ²)	極限支持力 R_u (N/mm ²)	照査値 R_d/R_u
		追而		

追而

図 4-10 基礎地盤の最大接地圧分布図

(2) MMR（既設）

MMR（既設）の支持性能に対する照査結果を表 4-11 に示す。また、最大接地圧分布図を図 4-11 に示す。

第 3 号機補機冷却海水系放水ピットの MMR（既設）に発生する最大接地圧が、支圧強度を下回ることを確認した。

表 4-11 MMR（既設）の支持性能照査結果

解析ケース	地震動	最大接地圧 R_d (N/mm ²)	支圧強度 f'_a (N/mm ²)	照査値 R_d/f'_a
追而				

追而

図 4-11 MMR（既設）の最大接地圧分布図

- 6. 浸水防護施設に関する補足説明
- 6.5 浸水防止設備に関する補足説明
- 6.5.3 浸水防止蓋に関する補足説明
- 6.5.3.4 浸水防止蓋（第3号機補機冷却海水系放水ピット）の強度計算書に関する補足説明

目 次

1.	概要	1
2.	基本方針	2
2.1	配置概要	2
2.2	構造計画	4
2.3	評価方針	5
2.4	適用基準	7
2.5	記号の説明	8
3.	評価対象部位	10
3.1	応力評価の評価対象部位	10
3.2	変形性評価の評価対象部位	12
4.	固有値解析	13
4.1	固有値解析のモデルの設定及び解析手法	13
4.2	固有振動数の計算結果	15
5.	構造強度評価	19
5.1	応力評価方法	19
5.2	変形性評価方法	38
6.	評価結果	40

1. 概要

本資料は、添付書類「VI-3-別添 3-1 津波への配慮が必要な施設の強度計算の方針」にて設定している構造強度に基づき、浸水防護施設のうち浸水防止蓋（第3号機補機冷却海水系放水ピット）（以下「浸水防止蓋」という。）が津波の冠水に伴う突き上げ荷重及び余震を考慮した荷重に対して、主要な構造部材が十分な構造強度を有していることを説明するものである。

なお、浸水防止蓋の強度評価においては、平成23年3月11日に発生した東北地方太平洋沖地震による地殻変動に伴い、牡鹿半島全体で約1mの地盤沈下が発生したことを考慮する。

2. 基本方針

2.1 配置概要

浸水防止蓋は、第3号機補機冷却海水系放水ピット上部から浸水を防止するために設置する。

浸水防止蓋の設置位置図を図2-1、浸水対策図を図2-2に示す。

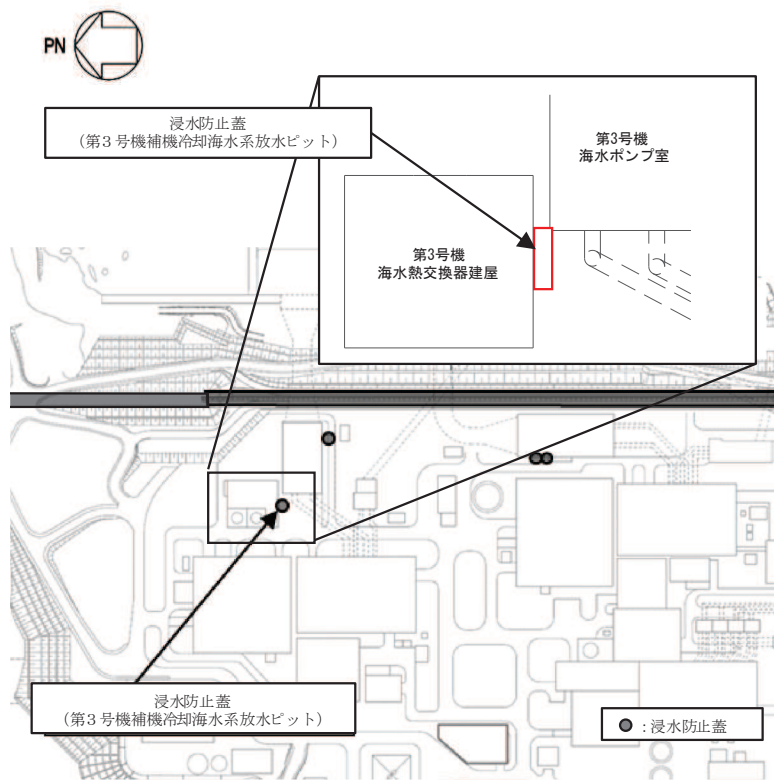
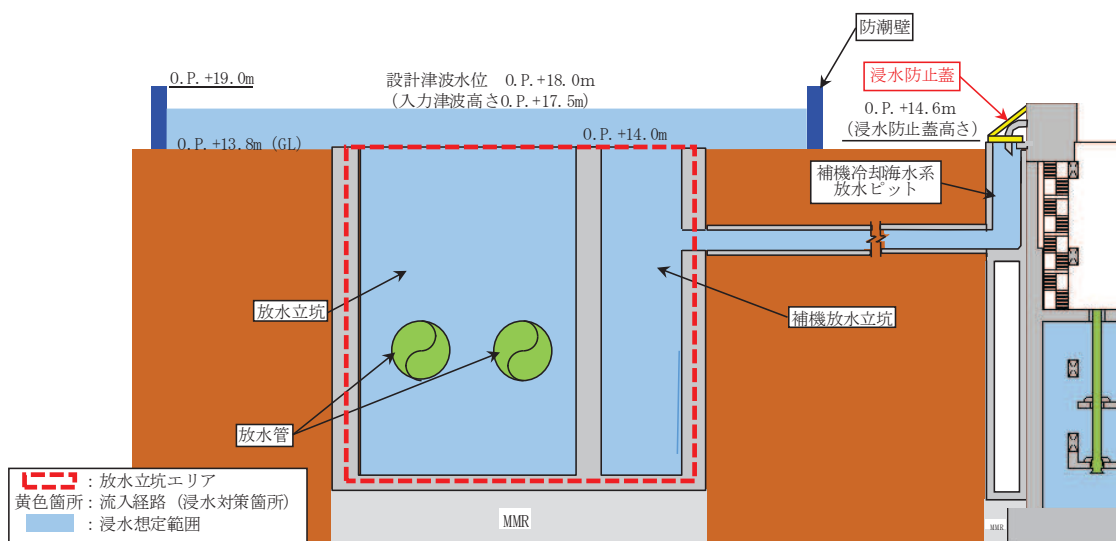
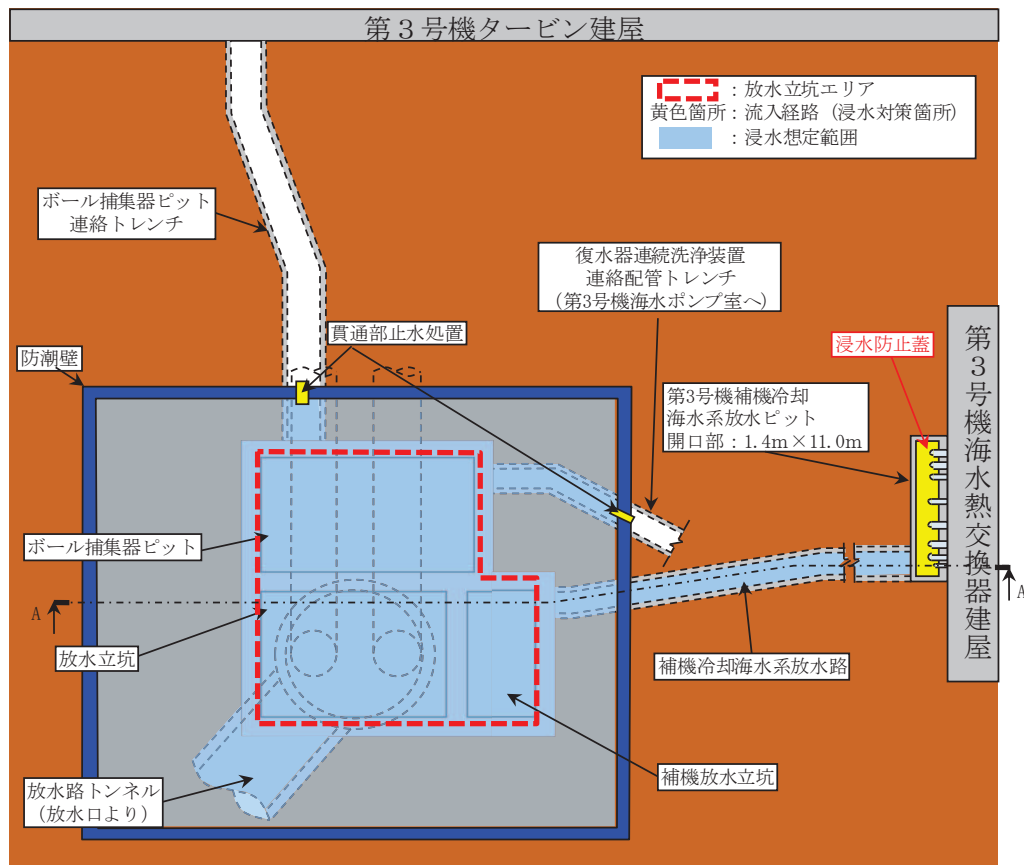


図2-1 浸水防止蓋の設置位置図



2.2 構造計画

浸水防止蓋は、第3号機補機冷却海水系放水ピットからの浸水を防止するため、近接する第3号機海水熱交換器建屋側面に鋼製ブラケットを介して固定ボルトにて固定し、地震時に異なる挙動を示す可能性がある第3号機補機冷却海水系放水ピットとの境界部には止水ジョイント（M型ジョイント）を設置することで止水性を確保する構造とする。浸水防止蓋の構造計画を表2-1に示す。

表2-1 浸水防止蓋の構造計画

計画の概要		構造概略図
基礎・支持構造	主体構造	
十分な支持性能を有する第3号機海水熱交換器建屋側面に固定ボルトで固定する。	浸水防止蓋、鋼製ブラケット及び固定ボルトにより構成する。 第3号機補機冷却海水系放水ピットとの境界部には止水ジョイント（M型ジョイント）を設置する。	

2.3 評価方針

浸水防止蓋の強度評価は、添付書類「VI-3-別添3-1 津波への配慮が必要な施設の強度計算の方針」にて設定した荷重及び荷重の組合せ並びに許容限界に基づき、「2.2 構造計画」に示す浸水防止蓋の構造を踏まえ、「3. 評価対象部位」にて設定する評価部位の応力評価と変形性評価を実施することで、構造強度を有すること及び止水性を損なわないことを確認する。

浸水防止蓋、鋼製ブラケット及び固定ボルトの応力評価については、「4. 固有値解析」で算出した固有振動数に基づく余震荷重により算出した応力が許容限界内に収まるることを、「5. 構造強度評価」にて示す方法にて確認する。

止水ジョイントは浸水防止蓋と第3号機補機冷却海水系放水ピットとの境界部に設置するところから浸水防止蓋と第3号機補機冷却海水系放水ピットに生じる変位量を用いて評価する。なお、余震荷重による変位量は設計用地震力による変位量を下回ることは明白であることから、添付書類「VI-2-10-2-8-4 浸水防止蓋（第3号機補機冷却海水系放水ピット）の耐震性についての計算書」にて算定した設計用地震力における最大変位量が、重畠時（津波荷重と余震荷重作用時）の止水ジョイントの許容限界内に収まることが確認する。応力評価及び変形性評価の確認結果を「6. 評価結果」にて確認する。

強度評価フローを図2-2に示す。

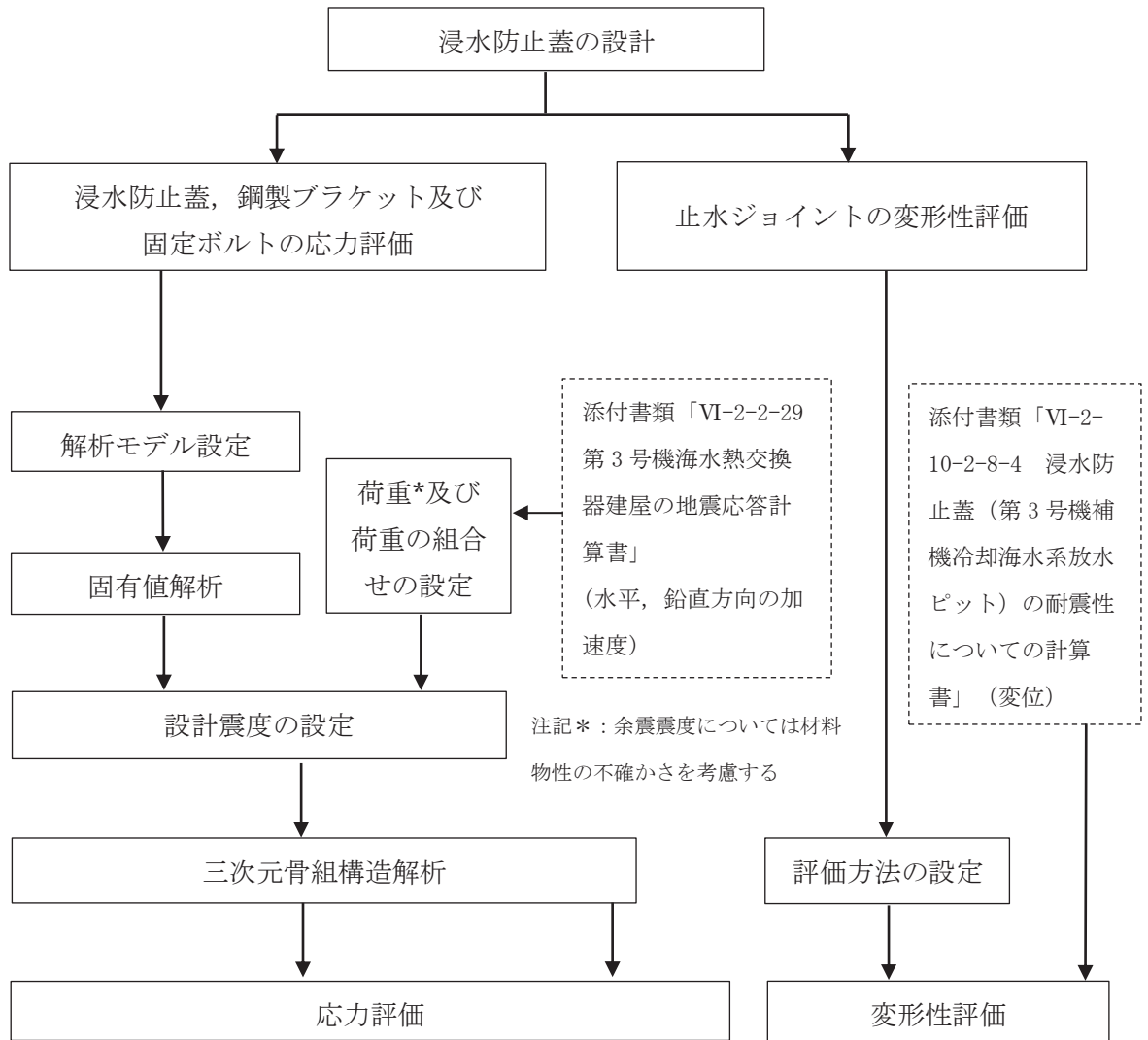


図 2-2 強度評価フロー

2.4 適用基準

適用する規格・基準等を以下に示す。

- (1) 鋼構造設計規準—許容応力度設計法—（日本建築学会, 2005 改定）
- (2) 各種合成構造設計指針・同解説（日本建築学会, 2010 改定）
- (3) 日本産業規格（JIS）
- (4) 鉄筋コンクリート構造計算規準・同解説（日本建築学会, 2018 改定）

2.5 記号の説明

浸水防止蓋の強度評価に用いる記号を表2-2にそれぞれ示す。

表2-2 浸水防止蓋の強度評価に用いる記号 (1/2)

記号	単位	定義
S_d	kN	弾性設計用地震動 $S_d - D_2$ に伴う余震荷重
S_{d_H}	kN	弾性設計用地震動 $S_d - D_2$ の水平方向の余震荷重
$S_{d_{H(NS)}}$	kN	弾性設計用地震動 $S_d - D_2$ の水平方向 (N-S) の余震荷重
$S_{d_{H(EW)}}$	kN	弾性設計用地震動 $S_d - D_2$ の水平方向 (E-W) の余震荷重
S_{d_V}	kN	弾性設計用地震動 $S_d - D_2$ の鉛直方向の余震震度
α_H	—	弾性設計用地震動 $S_d - D_2$ の水平方向の余震震度
$\alpha_{H(NS)}$	—	弾性設計用地震動 $S_d - D_2$ の水平方向 (N-S) の余震震度
$\alpha_{H(EW)}$	—	弾性設計用地震動 $S_d - D_2$ の水平方向 (E-W) の余震震度
α_V	—	弾性設計用地震動 $S_d - D_2$ の鉛直方向の余震震度
G	kN	固定荷重
C_D	—	抗力係数
ρ_0	t/m ³	水の密度
U	m/s	流速
g	m/s ²	重力加速度
H	mm	評価高さ
P_s	kN	積雪荷重
W_s	N/m ²	1cm 当りの積雪荷重
d_s	cm	積雪高さ
A	m ²	浸水防止蓋の面積
P_t	kN/m ²	突き上げ荷重
τ	N/mm ²	最大せん断応力度
σ	N/mm ²	最大曲げ応力度
Q	kN	最大せん断力
M	N・mm	最大曲げモーメント
x	N/mm ²	組合せ応力度
A_s	mm ²	浸水防止蓋の単位幅あたりのせん断断面積
Z	mm ³	浸水防止蓋の断面係数
α	—	平板のモーメントに関する係数

表 2-2 浸水防止蓋の強度評価に用いる記号 (2/2)

記号	単位	定義
β	—	平板のせん断力に関する係数
w	kN/m ²	浸水防止蓋に作用する単位面積当りの等分布荷重
w'	N/mm ² ・mm	浸水防止蓋に作用する単位幅当りの等分布荷重
l_x	mm	浸水防止蓋の短辺長
t	mm	浸水防止蓋の厚さ
T d	kN	固定ボルト 1 本当りに作用する引張力
q	kN	固定ボルト 1 本当りに作用するせん断力
R n	kN	固定ボルトの支点反力 (引張)
R m	kN・mm	固定ボルトの支点モーメント
R s	kN	固定ボルトの支点反力 (せん断)
B	mm	照査箇所のボルト間隔 (mm)
N	本	照査箇所の固定ボルトの本数

3. 評価対象部位

浸水防止蓋の評価対象部位は、「2.2 構造計画」に設定している構造を踏まえて、突き上げ津波荷重及び余震荷重の作用方向及び伝達過程を考慮し設定する。

3.1 応力評価の評価対象部位

応力評価の評価対象部位は、津波荷重及び余震荷重が浸水防止蓋及び鋼製ブラケットに作用し、鋼製ブラケットを固定している固定ボルトを介して軸体に伝達することから、浸水防止蓋、鋼製ブラケット及び固定ボルトを応力評価の評価対象部位として設定する。応力評価の評価対象部位について図3-1に示す。

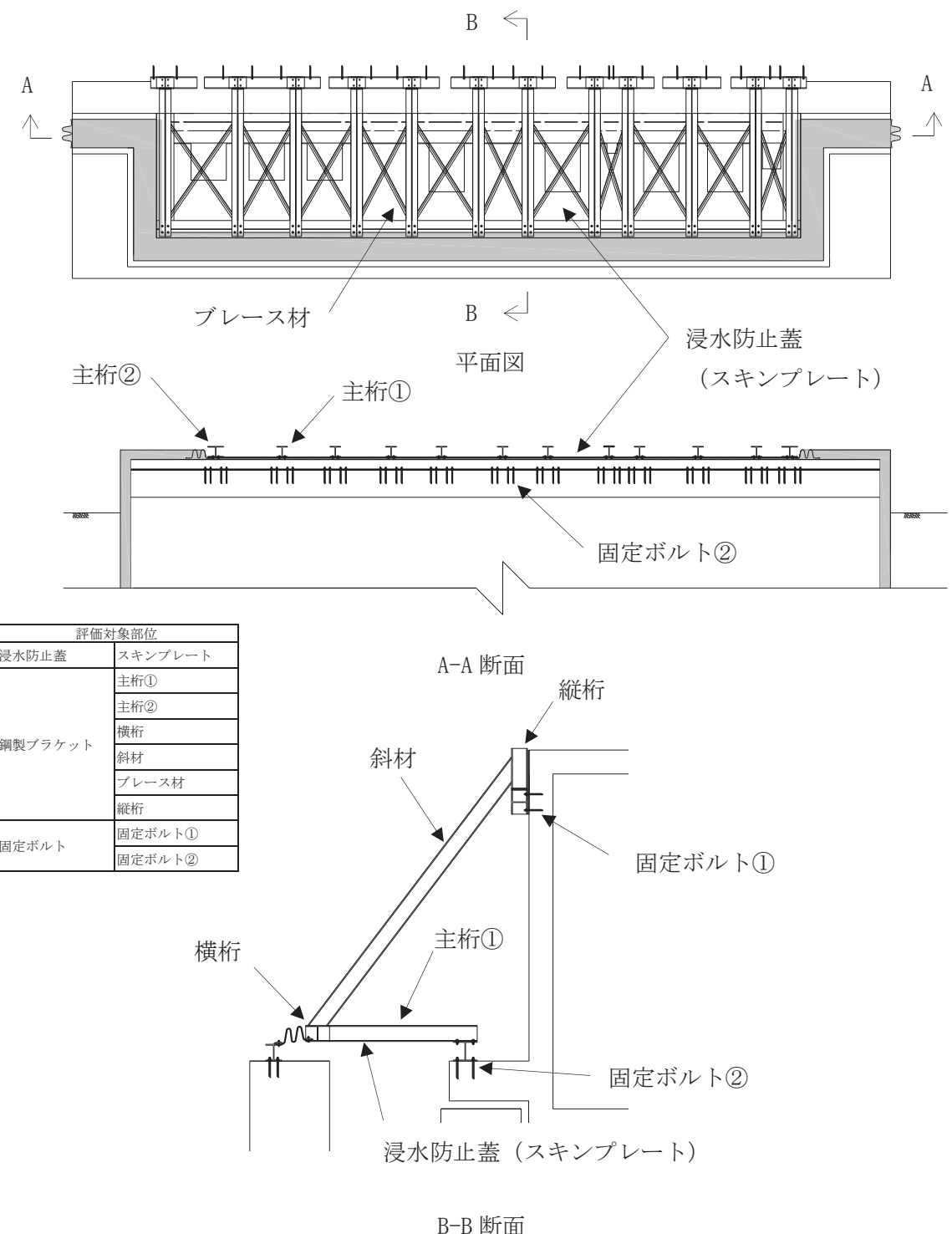


図 3-1 評価対象部位（応力評価）

3.2 変形性評価の評価対象部位

変形性評価の評価対象部位は、余震に伴う浸水防止蓋と第3号機補機冷却海水系放水ピットの変位が止水ジョイントに作用することから、止水ジョイントを変形性評価の評価対象部位として設定する。変形性評価の評価対象部位について図3-2に示す。

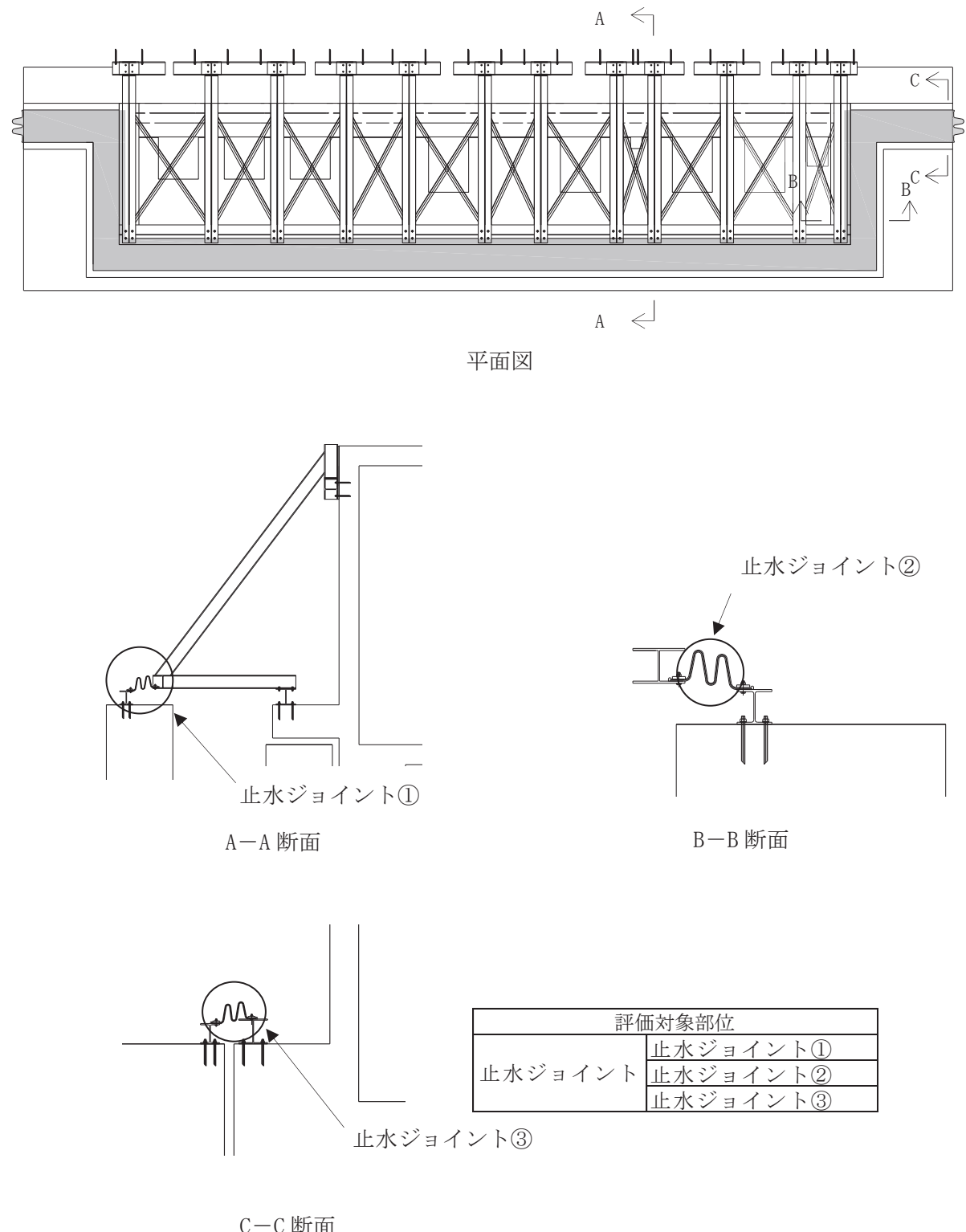


図3-2 評価対象部位（変形性評価）

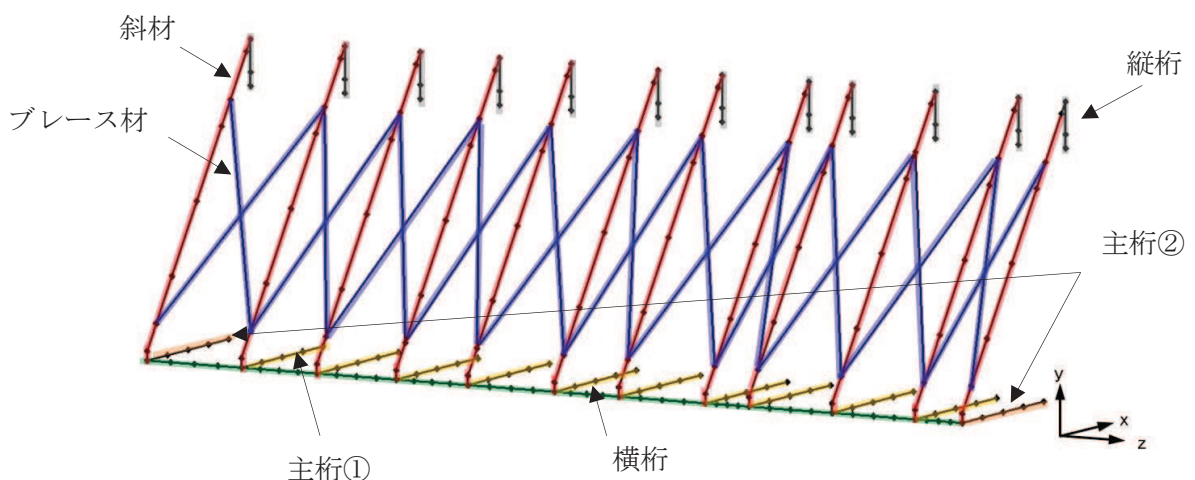
4. 固有値解析

4.1 固有値解析のモデルの設定及び解析手法

浸水防止蓋と鋼製ブラケットは一体化された三次元性を有する構造であることを踏まえ、図4-1に示す三次元フレームモデルにより固有値解析を実施する。

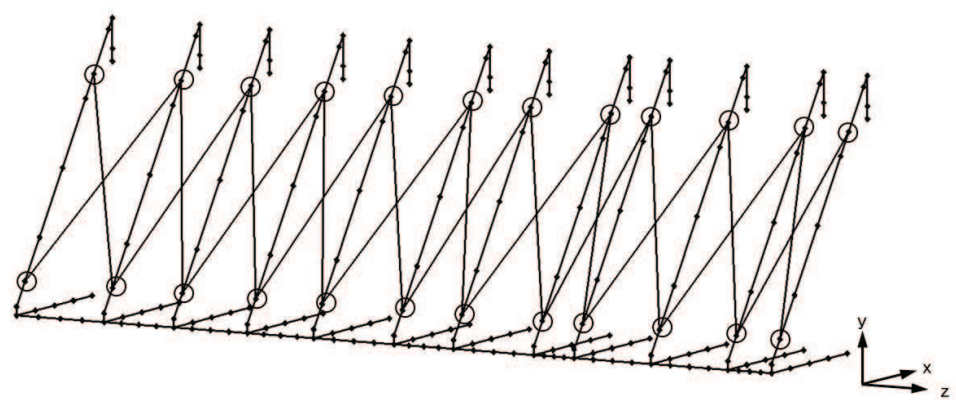
解析コードは「Engineer's StudioVer. 6.00.4」を用いる。

解析コードの検証及び妥当性確認の概要については、添付書類「VI-5 計算機プログラム(解析コード)の概要」に示す。



対象部材	材質	断面形状
：主桁①	SUS304	H-200×200×20×20
：主桁②	SUS304	H-200×300×20×20
：斜材	SUS304	H-200×200×8×12
：横桁	SUS304	H-200×300×20×20
：ブレース材	SUS304	L-60×60×5
：縦桁	SUS304	H-200×200×8×12

図 4-1 固有値解析モデル (1/2)



記号	$x^{※1}$	$y^{※1}$	$z^{※1}$
●	剛結※2	剛結※2	剛結※2
○	ピン※2	ピン※2	ピン※2

注記 ※1 : x , y , z は要素座標系で, x は部材軸方向となる。

※2 : H 鋼の接合箇所は剛結とし, ブレースと H 鋼をボルトにて接合している
箇所についてはピンとする。

図 4-1 固有値解析モデル (2/2)

4.2 固有振動数の計算結果

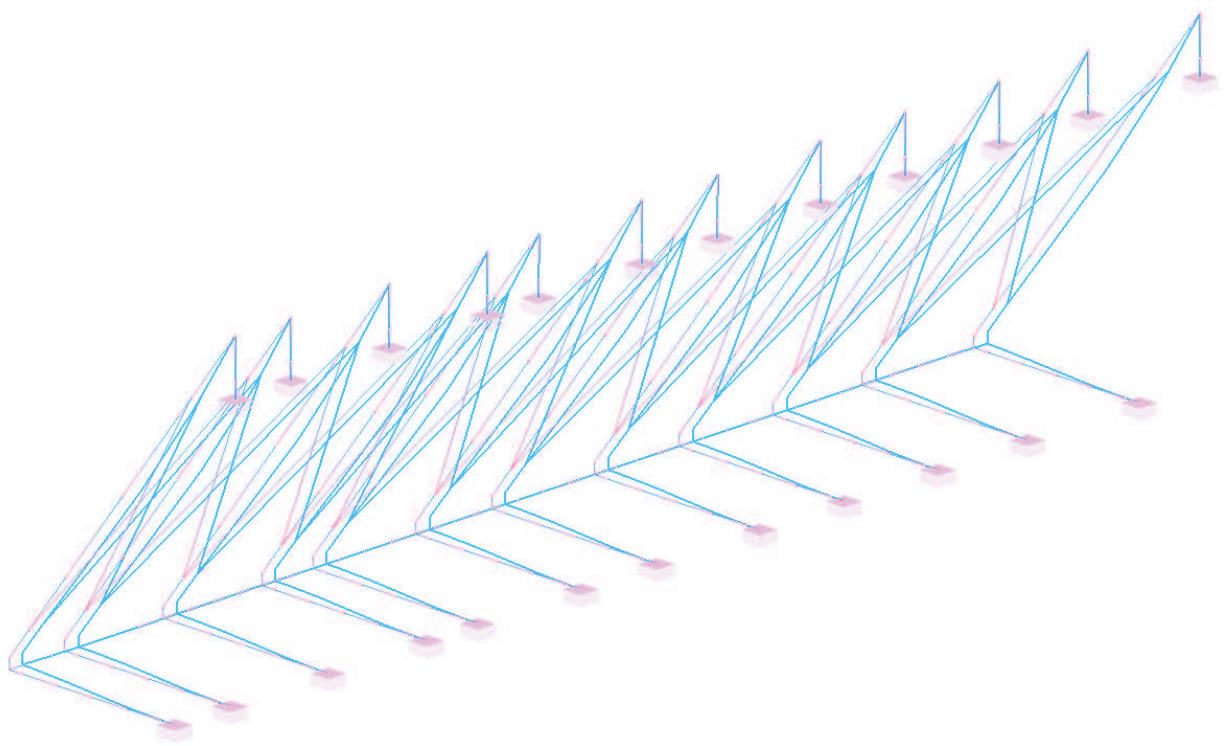
固有振動数の解析結果を表 4-1 及び図 4-2 に示す。固有振動数は 20Hz 以上であることが、剛構造である。

表 4-1 固有値解析結果(1/2)

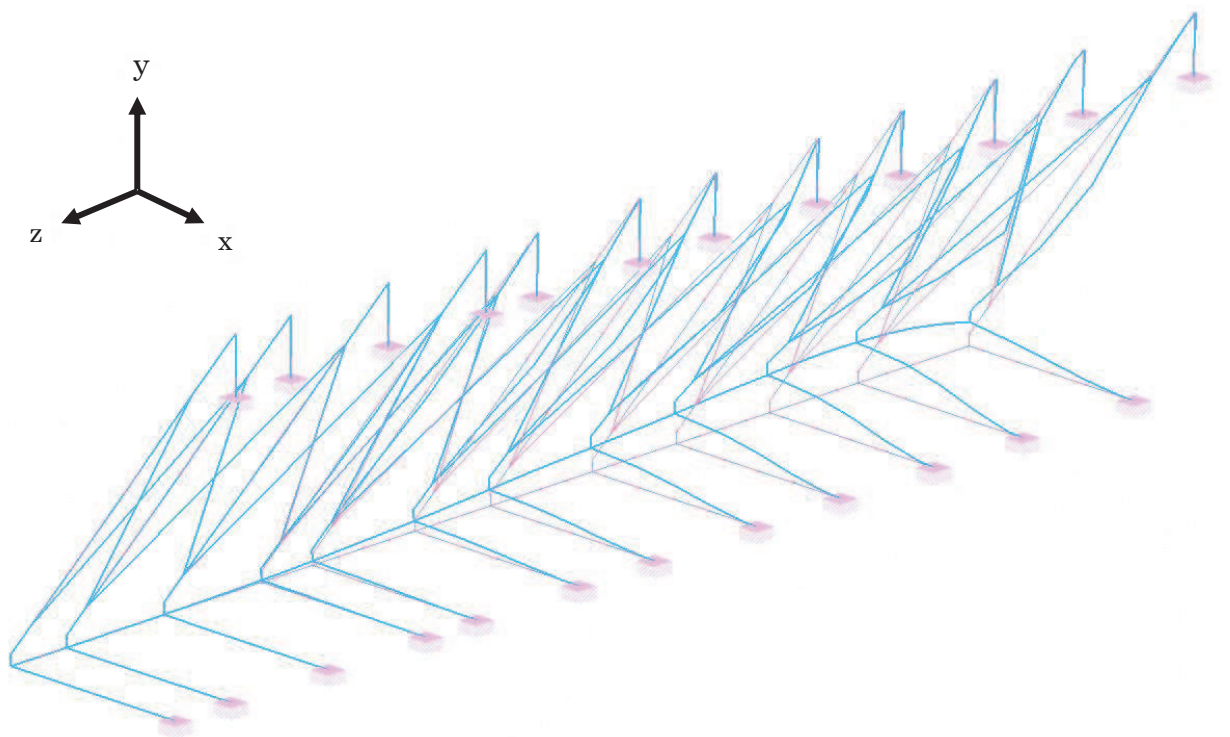
振動モード 次数	卓越方向	固有周期 T(Sec)	固有振動数 f(Hz)	x方向 刺激係数	y方向 刺激係数	z方向 刺激係数
1	z方向	0.041	24.17	-0.001	-0.002	-2.814
2		0.030	33.88	-0.001	-0.041	0.015
3		0.027	36.90	0.000	0.047	-0.005
4		0.027	37.58	-0.001	0.007	0.003
5		0.026	37.82	0.002	0.015	0.021
6		0.026	38.20	-0.001	0.023	-0.018
7		0.026	38.58	0.002	0.017	-0.015
8		0.025	40.04	-0.001	-0.006	-0.012
9		0.024	41.27	0.003	0.018	-0.009
10		0.024	42.24	0.000	0.002	0.056
11		0.024	42.51	0.001	-0.003	0.002
12		0.023	43.13	0.003	0.016	0.002
13		0.021	47.97	-0.001	0.005	-0.602
14		0.015	66.63	-0.914	1.508	0.002
15		0.015	66.93	0.344	-0.523	0.012
16		0.015	67.26	-0.334	0.535	-0.001
17		0.015	67.89	-0.001	-0.006	-0.013
18		0.015	68.52	0.147	-0.235	0.005
19		0.014	69.15	0.042	-0.039	0.012
20		0.014	69.48	-0.161	0.214	-0.003
21		0.014	69.82	0.011	0.000	0.003
22		0.014	70.04	-0.035	0.045	0.001
23		0.014	70.30	-0.014	0.016	0.004
24		0.014	71.22	0.240	-0.350	-0.011
25		0.014	71.96	-0.220	0.280	0.004
26		0.010	98.46	0.010	0.023	-0.034
27		0.010	98.71	-0.007	-0.035	0.051
28		0.010	98.94	-0.007	-0.049	0.091
29		0.010	99.05	0.007	0.032	0.059
30		0.010	99.93	-0.001	0.005	-0.006
31		0.010	101.16	-0.007	-0.027	-0.017
32		0.010	101.54	0.004	0.018	0.020
33		0.010	103.15	0.019	0.086	0.027
34		0.010	103.46	0.005	0.021	-0.032
35		0.010	104.21	-0.005	-0.026	0.002
36		0.010	105.06	-0.038	-0.197	-0.052
37		0.009	106.77	-0.003	-0.015	0.402
38	y方向	0.009	108.71	0.298	1.639	-0.022
39		0.009	110.96	0.164	0.901	0.033
40		0.009	112.38	0.195	1.075	0.009
41		0.009	116.39	-0.006	-0.027	-0.005
42		0.009	116.84	-0.023	-0.114	0.006
43		0.008	124.01	-0.052	-0.266	0.002
44		0.008	130.57	-0.037	-0.196	-0.005
45		0.007	136.73	0.004	0.070	-0.043
46		0.007	137.74	0.102	0.435	0.004
47		0.007	139.18	0.026	0.046	-0.055
48		0.007	139.88	-0.023	-0.140	-0.019
49		0.007	141.16	0.012	-0.006	-0.043
50		0.007	142.27	0.030	0.067	0.010

表 4-1 固有値解析結果(2/2)

振動モード 次数	卓越方向	固有周期 T(Sec)	固有振動数 f(Hz)	x方向 刺激係数	y方向 刺激係数	z方向 刺激係数
51		0.007	142.84	0.021	0.053	-0.064
52		0.007	146.25	-0.010	-0.045	-0.013
53		0.007	148.80	-0.008	0.020	-0.037
54		0.007	151.22	-0.038	-0.002	-0.020
55		0.006	154.27	0.039	0.129	0.025
56		0.006	157.99	0.026	-0.008	0.516
57		0.006	158.18	-0.016	-0.026	-0.190
58		0.006	161.64	-0.027	-0.122	-0.031
59		0.006	163.43	-0.004	-0.034	-0.014
60		0.006	168.10	-0.114	-0.074	0.305
61		0.006	169.82	0.292	0.131	0.021
62		0.006	170.31	0.133	0.104	0.023
63		0.006	170.52	-0.257	-0.126	-0.079
64		0.006	171.62	0.126	0.057	-0.016
65		0.006	173.74	-0.005	-0.064	-0.004
66		0.006	176.20	0.000	-0.007	0.080
67		0.006	179.44	-0.046	0.017	-0.009
68		0.005	182.04	0.007	-0.027	-0.109
69		0.005	182.70	0.011	-0.003	0.046
70		0.005	183.98	-0.029	-0.013	-0.001
71		0.005	184.52	-0.050	-0.013	0.008
72		0.005	184.97	0.093	0.072	0.017
73		0.005	185.27	0.014	-0.019	0.016
74		0.005	186.19	-0.023	-0.010	0.047
75		0.005	187.50	-0.080	-0.047	0.000
76		0.005	189.22	0.030	0.010	0.058
77		0.005	191.58	0.078	0.071	-0.073
78		0.005	191.94	0.022	0.021	0.176
79		0.005	196.63	-0.023	-0.003	0.180
80		0.005	197.46	0.012	0.019	-0.040
81		0.005	204.43	0.007	0.018	0.018
82		0.005	209.76	-0.006	0.004	0.033
83		0.005	215.25	0.020	0.042	0.123
84		0.005	218.42	0.018	0.024	0.031
85		0.004	222.59	-0.269	-0.139	0.362
86		0.004	232.50	-0.238	-0.415	-0.135
87		0.004	233.03	0.160	0.197	-0.067
88		0.004	234.20	-0.198	-0.248	0.011
89		0.004	236.83	0.106	0.212	0.063
90		0.004	240.15	0.083	0.152	-0.068
91		0.004	249.88	-0.093	0.064	-0.023
92		0.004	253.89	0.355	0.071	0.172
93		0.004	260.07	-0.240	0.105	-0.070
94		0.004	273.57	-0.023	-0.014	-0.003
95	x方向	0.004	276.20	1.433	0.149	-0.001
96		0.004	277.12	0.790	0.082	-0.005
97		0.004	278.75	1.240	0.114	-0.007
98		0.004	282.21	1.035	0.061	-0.008
99		0.004	284.68	0.308	0.179	-0.011
100		0.003	287.67	-0.113	-0.023	0.003

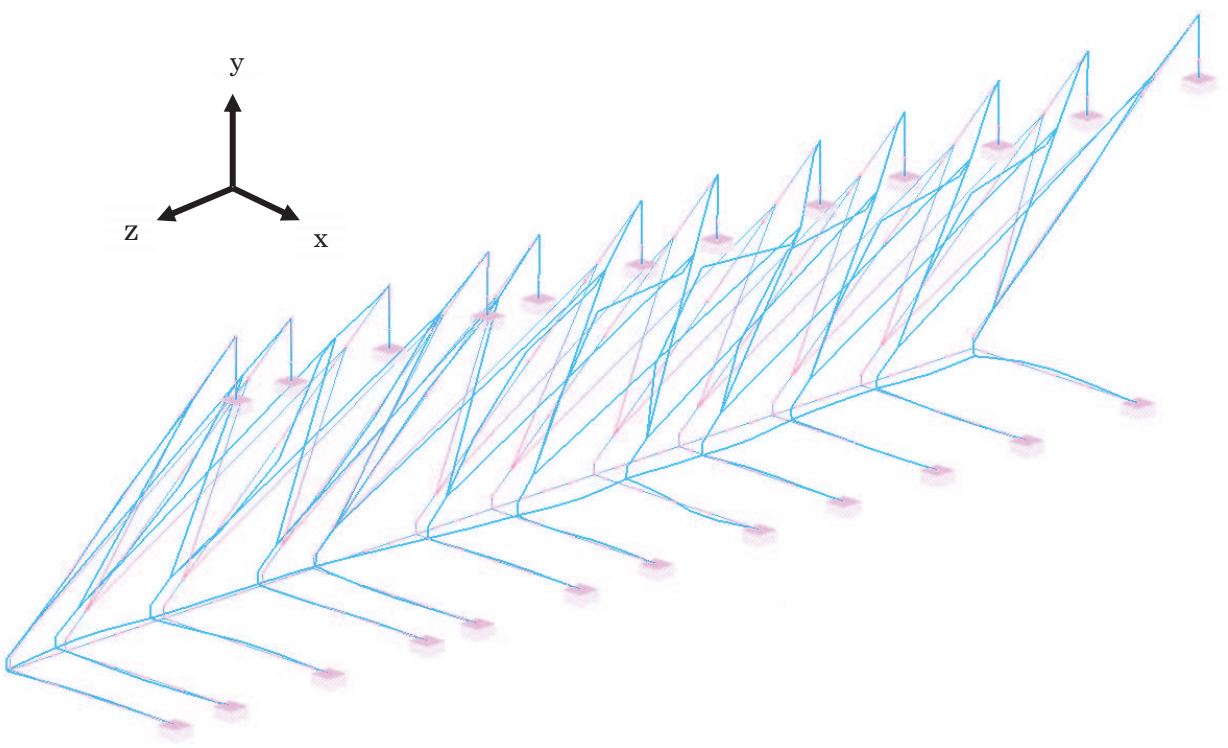


振動モード：1次， 固有振動数 24.17Hz



振動モード：38次， 固有振動数 108.71Hz

図4-2 固有値解析結果 (1/2)



振動モード：95 次， 固有振動数 276.20Hz

図 4-2 固有値解析結果 (2/2)

5. 構造強度評価

5.1 応力評価方法

浸水防止蓋、鋼製ブレケット及び固定ボルトの応力評価は、添付書類「VI-3-別添 3-1 津波への配慮が必要な施設の強度計算の方針」にて設定している荷重及び荷重の組合せ並びに許容限界を踏まえて、「3. 評価対象部位」にて設定する評価対象部位に作用する応力等が「5.1.2 許容限界」にて示す許容限界以下であることを確認する。

5.1.1 荷重及び荷重の組合せ

(1) 荷重の組合せ

浸水防止蓋の評価に用いる荷重の組合せを以下に示す。

$$G + P_t + S_d + P_s$$

ここで、 G : 固定荷重(kN)

P_t : 突き上げ津波荷重(kN/m²)

S_d : 弹性設計用地震動 S d - D 2 による余震荷重(kN)

P_s : 積雪荷重(kN)

なお、浸水防止蓋については、鉛直方向の荷重の組合せにおいて、自重及び積雪荷重は鉛直下向きに作用し計算上有利となる事から考慮しない。

(2) 荷重の設定

応力評価に用いる荷重は、以下のとおりとする。

a. 固定荷重 (G)

固定荷重として、浸水防止蓋を構成する部材の自重を考慮する。

b. 突き上げ津波荷重 (P_t)

突き上げ津波荷重は、浸水防止蓋に作用するものとする。また、評価においては浸水津波荷重を含むものとし、以下の式により算出する。

$$P_t = 1/2 \cdot C_D \cdot \rho_0 \cdot U^2 + \rho_0 \cdot g \cdot H$$

ここで、 P_t : 突き上げ津波荷重(kN/m²)

C_D : 抗力係数(=2.01)

ρ_0 : 水の密度(=1.03t/m³)

U : 流速(=1.0m/s)

g : 重力加速度(=9.80665m/s²)

H : 評価高さ(=3.4m (O.P.+18.0m-O.P.+14.6m))

c. 積雪荷重 (P_s)

積雪荷重として、添付書類「VI-1-1-2 発電用原子炉施設の自然現象等による損傷の防止に関する説明書」のうち、添付書類「VI-1-1-2-1-1 発電用原子炉施設に対する自然現象等による損傷の防止に関する基本方針」に基づき 43cm の積雪量を想定し、平均的な積雪荷重を与えるための係数 0.35 を考慮する。

積雪荷重による質量は以下に式より算出する。

$$P_s = 0.35 \cdot W_s \cdot d_s \cdot A \cdot 10^{-3}$$

ここで、 P_s : 積雪荷重(kN)

W_s : 1cm 当りの積雪荷重 20 (N/m²)

d_s : 積雪高さ 43 (cm)

A : 浸水防止蓋の面積 (m²)

d. 余震荷重 (S d)

余震荷重として、添付書類「VI-3-別添 3-1 津波への配慮が必要な施設の強度計算の方針」に示すとおり、弾性設計用地震動 S d - D 2 に伴う地震力を考慮する。

「4. 固有値解析」に示したとおり、浸水防止蓋と鋼製ブラケットを一体として解析した固有振動数が 20Hz 以上であることを確認したため、応力評価に用いる設計震度は、材料物性の不確かさを考慮したものとして添付書類「VI-2-2-29 第3号機海水熱交換器建屋の地震応答計算書」の地震応答解析結果を用いる。地震応答解析ケースを表 5-1 に、設計震度を表 5-2 に示す。ここで、地震力は浸水防止蓋の設置位置における水平方向の最大応答加速度から設定する震度を用いて評価するものとし、下記のとおり算出する。

$$S d_H = (G + P_s) \cdot \alpha_H$$

ここで、 $S d_H$: 弹性設計用地震動 S d - D 2 の水平方向の余震荷重(kN)

G : 固定荷重(kN)

P_s : 積雪荷重(kN)

α_H : 弹性設計用地震動 S d - D 2 の水平方向の余震震度

また、表 5-2 のとおり、鉛直方向の余震震度が 1 未満であることから、浸水防止蓋の自重と鉛直方向の地震力を足し合わせた荷重は、突き上げ津波荷重を相殺する向きに作用するため、浸水防止蓋の応力評価においては自重と鉛直方向の地震力を保守的に考慮しないこととする。

表 5-1 地震応答解析ケース

対象地震動	ケース名	スケルトンカーブ		建屋材料減衰	地盤物性	
		初期剛性	終局耐力		入力地震動	底面地盤: ほね
弹性設計用地震動 S d - D 2 (水平)	ケース1 (基本ケース)	2011年3月11日東北地方太平洋沖地震の観測記録を用いたシミュレーション解析により補正	設計基準強度を用い JEAG式で評価	5%	表層地盤の非線形性を考慮	標準地盤
	ケース2	同上	同上	同上	同上	標準地盤 + o
	ケース3					標準地盤 - o
弹性設計用地震動 S d - D 2 (鉛直)	ケース1 (基本ケース)	設計剛性	-	5%	直接入力	標準地盤
	ケース2	同上	-	同上	同上	標準地盤 + o
	ケース3					標準地盤 - o

表 5-2 余震震度

地震時荷重 算出位置 (m)	地震応答解析結果				設計震度
	方向	弾性設計用 地震動 $S_d - D_2$	ケース	最大加速度 (cm/s ²)	
0. P. 15.0	水平方向 (N-S) $\alpha_{H(N-S)}$	$S_d - D_2$	2	1544	1.58
	水平方向 (E-W) $\alpha_{H(E-W)}$	$S_d - D_2$	2	1354	1.39
	鉛直方向 α_V	$S_d - D_2$	2	721	0.74

凡例
(1) : 要素番号
1● : 質点番号

(1) (2) (3) (4) (5)

(水平方向) (鉛直方向)

地震応答解析モデル図

表中の 0. P. は第 3 号機海水熱交換器建屋の地震応答計算書での値を示す。

5.1.2 許容限界

浸水防止蓋の許容限界は、「3. 評価対象部位」にて設定した部位に対し、添付書類「VI-3-別添 3-1 津波への配慮が必要な施設の強度計算の方針」にて設定している許容限界を踏まえて設定する。

(1) 使用材料

浸水防止蓋、鋼製ブラケット及び固定ボルトの使用材料を表 5-3 に示す。

表 5-3 使用材料

評価対象部位	材質	仕様
浸水防止蓋	スキンプレート	SUS304 $t = 16$ (mm)
鋼製ブラケット	主桁①	SUS304 H-200×200×20×20 (mm)
	主桁②	SUS304 H-200×300×20×20 (mm)
	横桁	SUS304 H-200×300×20×20 (mm)
	斜材	SUS304 H-200×200×8×12 (mm)
	ブレース材	SUS304 L-60×60×5 (mm)
	縦桁	SUS304 H-200×200×8×12 (mm)
固定ボルト	固定ボルト①	SUS304 M20
	固定ボルト②	SUS304 M20

(2) 許容限界

a. 浸水防止蓋, 鋼製ブラケット

浸水防止蓋, 鋼製ブラケットの許容応力度は, 「鋼構造設計規準—許容応力度設計法一(日本建築学会, 2005年改定)」に基づき表5-4の値とする。

表5-4 浸水防止蓋, 鋼製ブラケットの短期許容応力度

材質	短期許容応力度 (N/mm ²)	
	曲げ	せん断
SUS304	205	118

b. 固定ボルト

固定ボルトの許容荷重は, 「3. 評価対象部位」に記載した固定ボルトに作用する荷重の向きを踏まえて, 「各種合成構造設計指針・同解説(日本建築学会, 2010改定)」に基づき算定する。

地震荷重を考慮する場合の固定ボルトの許容荷重を表5-5に示す。

なお, 固定ボルトは躯体に埋め込まれていることから, 固定ボルトが引張力を受ける場合においては, 固定ボルトの降伏により決まる許容荷重(P_{a1}), 付着力により決まる許容荷重(P_{a3})を比較して, いずれか小さい値を採用する。また, 固定ボルトがせん断力を受ける場合においては, 固定ボルトのせん断強度により決まる許容荷重(q_{a1}), 定着したコンクリート躯体の支圧強度により決まる許容荷重(q_{a2})及びコーン状破壊により決まる許容荷重(q_{a3})を比較して, いずれか小さい値を採用する。

地震荷重を考慮する場合の固定ボルトの許容荷重の設定に用いる入力値を表5-5に, 許容荷重を表5-6に示す。

引張力を受ける場合

$$P_{a1} = \Phi_1 \cdot s\sigma_{pa} \cdot s_c a$$

$$P_{a3} = \Phi_3 \cdot \tau_a \cdot \pi \cdot d_a \cdot l_{ce}$$

ここで, P_{a1} : 固定ボルトの降伏により決まる場合の固定ボルト
1本当たりの許容引張力 (N)

P_{a3} : 固定ボルトの付着力により決まる場合の固定ボルト
1本当たりの許容引張力 (N)

Φ_1 : 低減係数(短期荷重用)

Φ_3 : 低減係数(短期荷重用)

$s\sigma_{pa}$: 固定ボルトの引張強度 ($= s\sigma_y$) (N/mm²)

$s\sigma_y$: 固定ボルトの規格降伏点強度 (N/mm²)

$s_c a$: 固定ボルトの断面積 (mm²)

d_a : 固定ボルトの径 (mm)

l_{ce}	: 固定ボルトの強度算定用埋込み長さ $(= l_e - 2d_a)$ (mm)
l_e	: 固定ボルトの有効埋込み長さ (mm)
τ_a	: へりあき及び固定ボルトのピッチによる付着強度 (N/mm ²)
 せん断力を受ける場合	
$q_{a1} = \Phi_1 \cdot s\sigma_{qa} \cdot s_c a$	
$q_{a2} = \Phi_2 \cdot c\sigma_{qa} \cdot s_c a$	
$q_{a3} = \Phi_2 \cdot c\sigma_t \cdot A_{qc}$	
ここで, q_{a1}	: 固定ボルトのせん断強度により決まる場合の固定ボルト1本当たりの許容せん断力 (N)
q_{a2}	: 定着した軸体の支圧強度により決まる場合の固定ボルト1本当たりの許容せん断力 (N)
q_{a3}	: 定着した軸体のコーン状破壊により決まる場合の固定ボルト1本当たりの許容せん断力 (N)
Φ_1	: 低減係数 (短期荷重用)
Φ_2	: 低減係数 (短期荷重用)
$s\sigma_{qa}$: 固定ボルトのせん断強度 ($= 0.7 \cdot s\sigma_y$) (N/mm ²)
$s\sigma_y$: 固定ボルトの規格降伏点強度 (N/mm ²)
$s_c a$: 固定ボルトの断面積 (mm ²)
$c\sigma_{qa}$: コンクリートの支圧強度 (N/mm ²)
	$(= 0.5 \sqrt{F_c \cdot E_c})$
$c\sigma_t$: コーン状破壊に対するコンクリートの引張強度 (N/mm ²) ($= 0.31 \sqrt{F_c}$)
F_c	: コンクリートの設計基準強度 (N/mm ²)
E_c	: コンクリートのヤング係数 (N/mm ²)
A_{qc}	: せん断力に対するコーン状破壊面の有効投影面積 (mm ²)

表 5-5 固定ボルトの許容荷重の設定に用いる入力値

記号	単位	定義		数値
Φ_1	—	低減係数（短期荷重用）		1.0
Φ_2	—	低減係数（短期荷重用）		2/3
Φ_3	—	低減係数（短期荷重用）		2/3
$s \sigma_{pa}$	N/mm ²	固定ボルトの許容引張応力度		205
$s \sigma_y$	N/mm ²	固定ボルトの規格降伏点強度		205
$s_c a$	mm ²	固定ボルトの断面積		245
d_a	mm	固定ボルトの径		20
l_{ce}	mm	固定ボルトの強度算定用埋込み長さ		固定ボルト① 140
				固定ボルト② 220
l_e	mm	固定ボルトの有効埋込み長さ		固定ボルト① 180
				固定ボルト② 260
τ_a	N/mm ²	へりあき及び固定ボルトのピッチによる付着強度		固定ボルト① 8.69
				固定ボルト② 4.11
$s \sigma_{qa}$	N/mm ²	固定ボルトのせん断応力度		143.50
$c \sigma_{qa}$	N/mm ²	コンクリートの支圧強度		450.90
$c \sigma_t$	N/mm ²	コーン状破壊に対するコンクリートの引張強度		1.76
F_c	N/mm ²	コンクリートの設計基準強度		32.4
E_c	N/mm ²	コンクリートのヤング係数		25100
A_{qc}	mm ²	せん断力に対するコーン状破壊面の有効投影面積		固定ボルト① -*
				固定ボルト② 15708

注記* 固定ボルト①は第3号機海水熱交換器建屋の壁面に設置するため、へりあきはなしとする。

表 5-6 (1) 地震荷重を考慮する場合の固定ボルト①の短期許容荷重

材質	短期許容荷重 (kN)						
	引張			せん断			
	P _{a1}	P _{a3}	設定値	q _{a1}	q _{a2}	q _{a3}	設定値
SUS304	50.2	50.9	50.2	35.1	73.6	-*	35.1

注記* 固定ボルト①は第3号機海水熱交換器建屋の壁面に設置するため、へりあきはなしとする。

表 5-6 (2) 地震荷重を考慮する場合の固定ボルト②の短期許容荷重

材質	短期許容荷重 (kN)						
	引張			せん断			
	P _{a1}	P _{a3}	設定値	q _{a1}	q _{a2}	q _{a3}	設定値
SUS304	50.2	37.8	37.8	35.1	73.6	18.4	18.4

5.1.3 余震荷重

荷重の組合せは、表 5-7 に示すとおり組合せ係数法 (1.0 : 0.4) により評価する。

表 5-7 荷重の組合せ

ケース No.	荷重の組合せ
1	$G + P_s + 1.0 S_d_{H(NS)} + 0.4 S_d_v$
2	$G + P_s + 1.0 S_d_{H(NS)} - 0.4 S_d_v$
3	$G + P_s - 1.0 S_d_{H(NS)} + 0.4 S_d_v$
4	$G + P_s - 1.0 S_d_{H(NS)} - 0.4 S_d_v$
5	$G + P_s + 0.4 S_d_{H(NS)} + 1.0 S_d_v$
6	$G + P_s - 0.4 S_d_{H(NS)} + 1.0 S_d_v$
7	$G + P_s + 0.4 S_d_{H(NS)} - 1.0 S_d_v$
8	$G + P_s - 0.4 S_d_{H(NS)} - 1.0 S_d_v$
9	$G + P_s + 1.0 S_d_{H(EW)} + 0.4 S_d_v$
10	$G + P_s + 1.0 S_d_{H(EW)} - 0.4 S_d_v$
11	$G + P_s - 1.0 S_d_{H(EW)} + 0.4 S_d_v$
12	$G + P_s - 1.0 S_d_{H(EW)} - 0.4 S_d_v$
13	$G + P_s + 0.4 S_d_{H(EW)} + 1.0 S_d_v$
14	$G + P_s - 0.4 S_d_{H(EW)} + 1.0 S_d_v$
15	$G + P_s + 0.4 S_d_{H(EW)} - 1.0 S_d_v$
16	$G + P_s - 0.4 S_d_{H(EW)} - 1.0 S_d_v$

G : 固定荷重 (kN)

P_s : 積雪荷重 (kN)

$S_d_{H(NS)}$: 弹性設計用地震動 S_d-D2 の水平方向 (N-S) の余震荷重

$$((G + P_s) \times \alpha_{H(NS)}) \text{ (kN)}$$

$S_d_{H(EW)}$: 弹性設計用地震動 S_d-D2 の水平方向 (E-W) の余震荷重

$$((G + P_s) \times \alpha_{H(EW)}) \text{ (kN)}$$

S_d_v : 弹性設計用地震動 S_d-D2 の鉛直方向の余震荷重

$$((G + P_s) \times \alpha_v) \text{ (kN)}$$

5.1.4 計算方法

浸水防止蓋、鋼製ブレケット及び固定ボルトに発生する応力度が、許容限界以下であることを確認する。

(1) 浸水防止蓋

浸水防止蓋は図 5-1 に示すとおり主桁間に分割して設置することから三辺固定スラブモデルとして断面力を算出する。評価箇所は図 5-1 に示すとおり、断面力が大きいと考えられる主桁間の幅が最大の箇所とする。浸水防止蓋に作用する等分布荷重（鉛直震度含む）が作用している板に発生する曲げ応力およびせん断応力は「鉄筋コンクリート構造計算規準・同解説（日本建築学会、2018 年改定）」（図 5-2）より算出する。

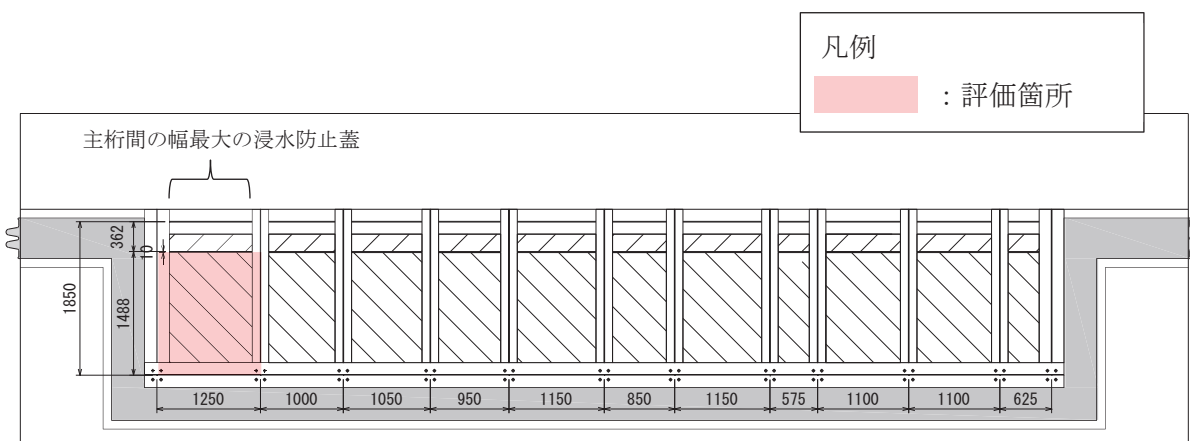


図 5-1 浸水防止蓋の評価箇所

a. 浸水防止蓋に作用する単位面積当たりの等分布荷重 w

$$w = P_t$$

ここで, P_t : 突き上げ津波荷重 (kN/m^2)

b. 浸水防止蓋に作用する単位幅当たりの等分布荷重 w'

$$w' = w / 1000$$

ここで, w' : 浸水防止蓋に作用する単位幅当たりの等分布荷重
($\text{N}/\text{mm}^2 \cdot \text{mm}$)

c. 最大曲げ応力 σ

求めた曲げモーメントのうち最大となる曲げモーメントについて、以下の式にて最大曲げ応力を算出する。

$$M = \alpha \cdot w' \cdot l_x^2$$

ここで、 M : 最大モーメント ($N \cdot mm$)
 α : 平板のモーメントに関する係数
 w' : 浸水防止蓋に作用する単位幅当たりの等分布荷重
 $(N/mm^2 \cdot mm)$
 l_x : 浸水防止蓋の短辺長 (mm)

$$\sigma = M / Z$$

ここで、 σ : 最大曲げ応力 (N/mm^2)
 M : 最大曲げモーメント ($N \cdot mm$)
 Z : スキンプレートの断面係数 (mm^3)

d. 最大せん断応力 τ

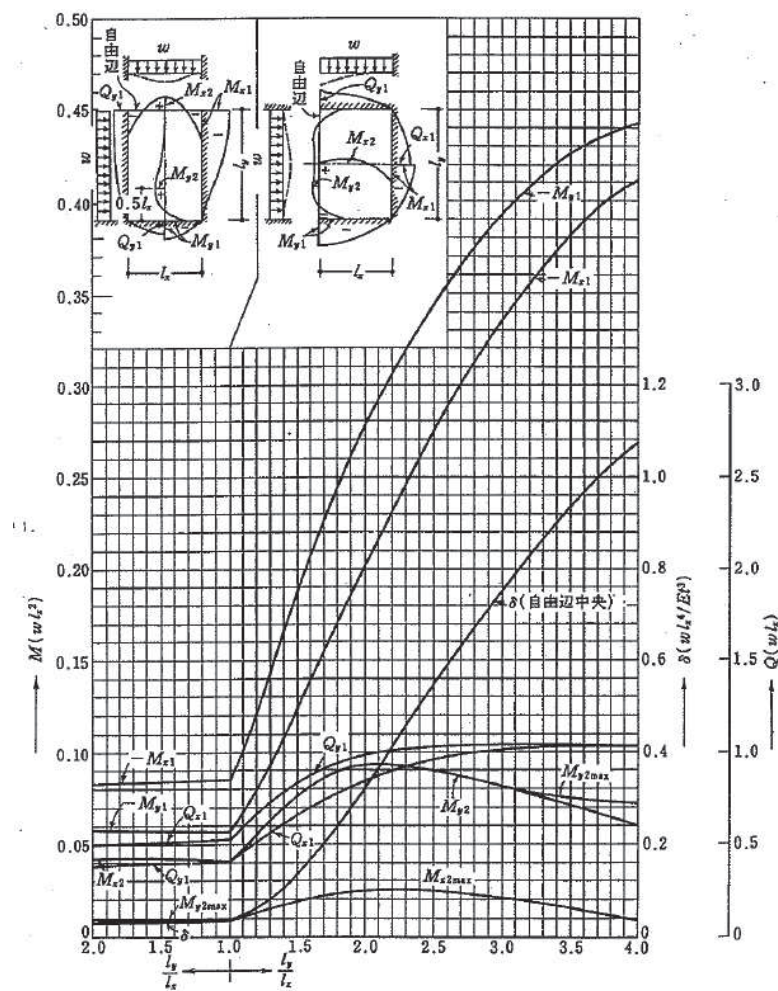
求めたせん断力のうち最大となるせん断力について、以下の式にてせん断応力度を算出する。

$$Q = \beta \cdot w' \cdot l_x$$

ここで、 Q : せん断力 (N)
 β : 平板のせん断に関する係数
 w' : 浸水防止蓋に作用する単位幅当たりの等分布荷重
 (N/mm)
 l_x : 浸水防止蓋の短辺長 (mm)

$$\tau = Q / A_s$$

ここで、 τ : 最大せん断応力度 (N/mm^2)
 Q : 最大せん断応力 (N)
 A_s : 浸水防止蓋の単位幅あたりのせん断断面積 (mm^2)



付図 15.3 等分布荷重時 3 辺固定 1 辺自由スラブの応力図と自由辺中央のたわみ δ^0 ($v=0$)

図 5-2 応力算出図

e. 曲げ応力度とせん断応力度の組合せに対する検討

浸水防止蓋に生じる曲げ応力度とせん断応力度から、組合せ応力度を「鋼構造設計規準—許容応力度設計法一（日本建築学会、2005 改定）」に基づく次式により算定し、短期許容応力度以下であることを確認する。

$$x = \sqrt{\sigma^2 + 3 \cdot \tau^2}$$

x : 組合せ応力度 (N/mm^2)

σ : 最大曲げ応力度 (N/mm^2)

τ : 最大せん断応力度 (N/mm^2)

(2) 鋼製ブラケット

鋼製ブラケットの応力評価に用いるモデルは固有値解析を行ったモデルと同一とし、鋼製ブラケットの計算には解析コード「Engineer's StudioVer. 6.00.4」を使用して評価部位に生じる断面力を求める。解析コードの検証及び妥当性確認の概要については、添付書類「VI-5 計算機プログラム（解析コード）の概要」に示す。モデルに入力する荷重は、「5.1.1 荷重及び荷重の組合せ」に示すとおりである。

各部材に入力する荷重図を図5-3～図5-9に示す。

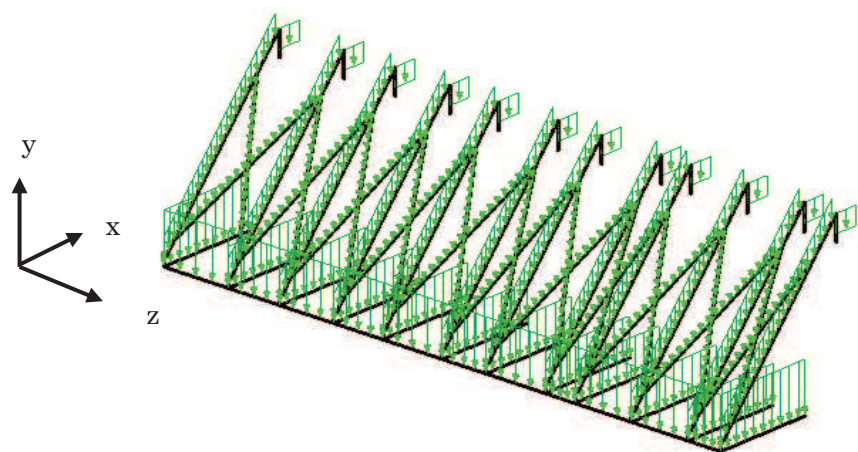


図5-3 鋼製ブラケットの耐震評価モデルへの入力荷重（死荷重）

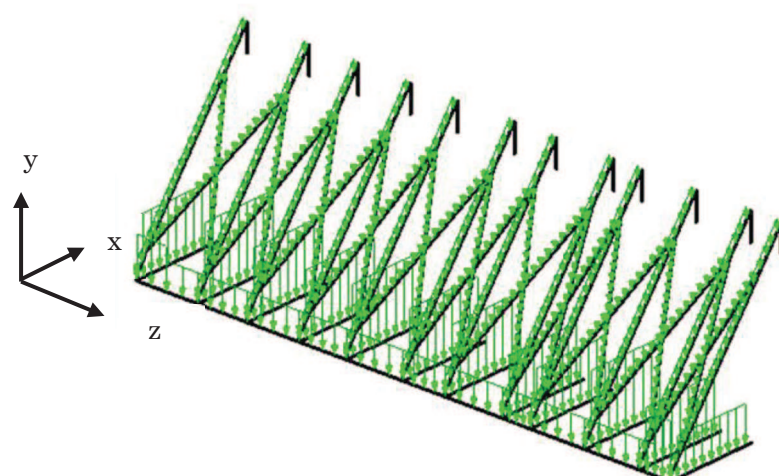


図5-4 鋼製ブラケットの耐震評価モデルへの入力荷重（積雪荷重）

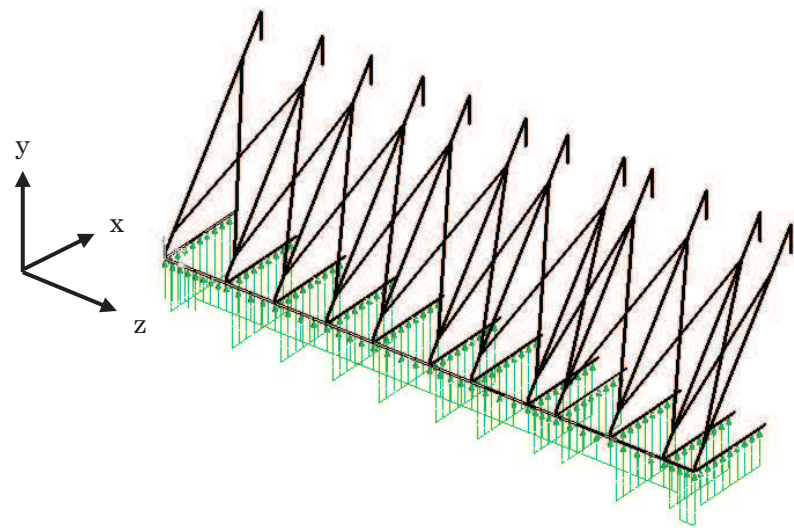


図 5-5 鋼製ブラケットの耐震評価モデルへの入力荷重（突き上げ津波荷重）

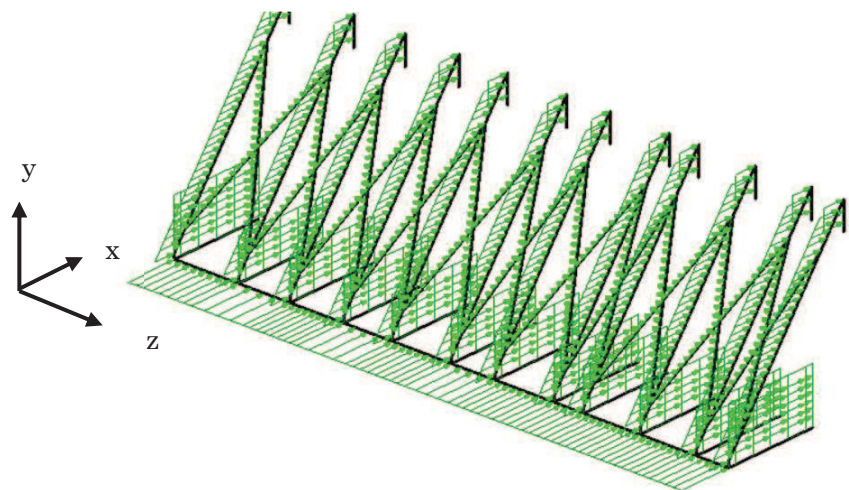


図 5-6 鋼製ブラケットの耐震評価モデルへの入力荷重（地震時荷重）(+NS 方向)

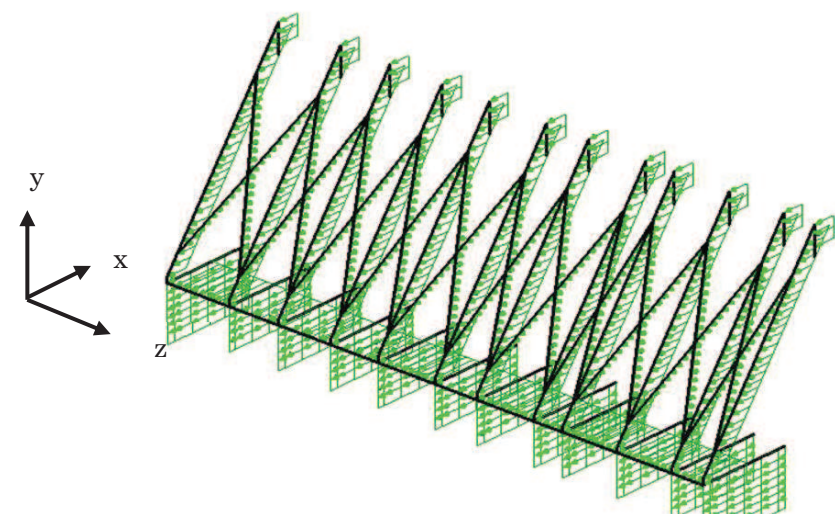


図 5-7 鋼製ブラケットの耐震評価モデルへの入力荷重（地震時荷重）(-NS 方向)

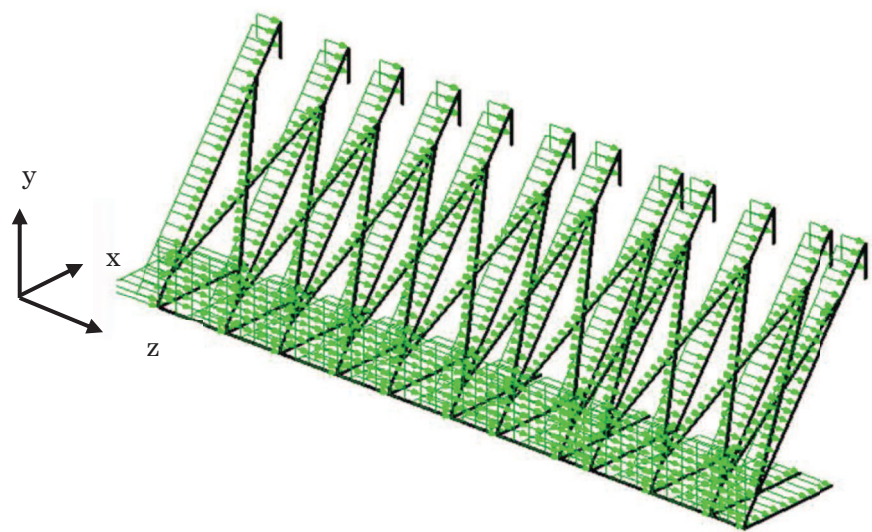


図 5-8 鋼製プラケットの耐震評価モデルへの入力荷重（地震時荷重）（+EW 方向）

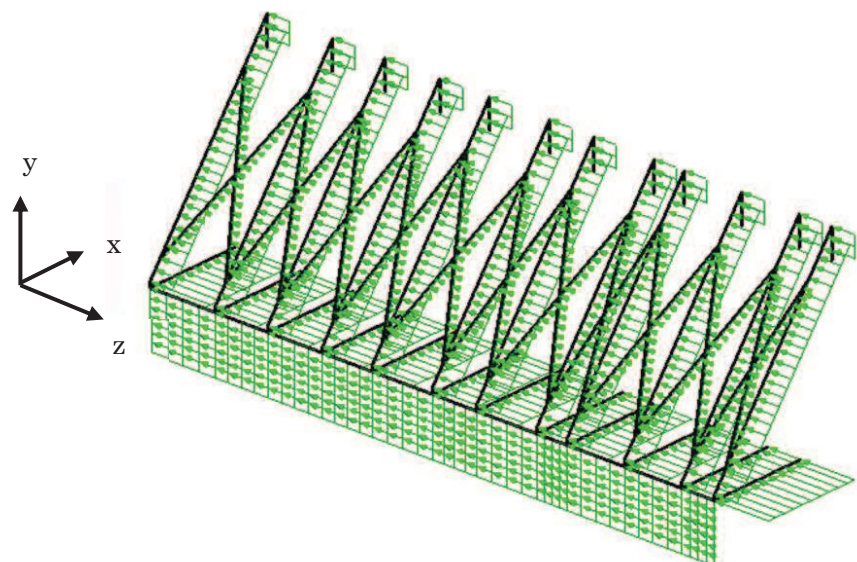


図 5-9 鋼製プラケットの耐震評価モデルへの入力荷重（地震時荷重）（-EW 方向）

(3) 固定ボルト

鋼製ブラケットの解析により得られる固定ボルト部の応力により、固定ボルトに作用する応力度を求め、許容限界以下であることを確認する。なお、固定ボルト①の照査箇所のボルト本数は4本であり、また固定ボルト②の照査箇所のボルト本数は8本である。

a. 固定ボルトに作用する引張力 T_d

$$T_d = R_n / N + R_m / B / (N / 2)$$

ここで、 T_d : 固定ボルト1本当りに作用する引張力 (kN)

R_n : 固定ボルトの支点反力 (引張) (kN)

R_m : 固定ボルトの支点モーメント (kN・mm)

B : 固定ボルトのボルト間隔 (mm)

N : 照査箇所の固定ボルトの本数 (本)

b. 固定ボルトに作用するせん断力 q

$$q = R_s / N$$

ここで、 q : 固定ボルト1本当りに作用するせん断力 (kN)

R_s : 解析で得られる支点反力 (せん断) (kN)

N : 浸水防止蓋に取り付く固定ボルトの本数 (本)

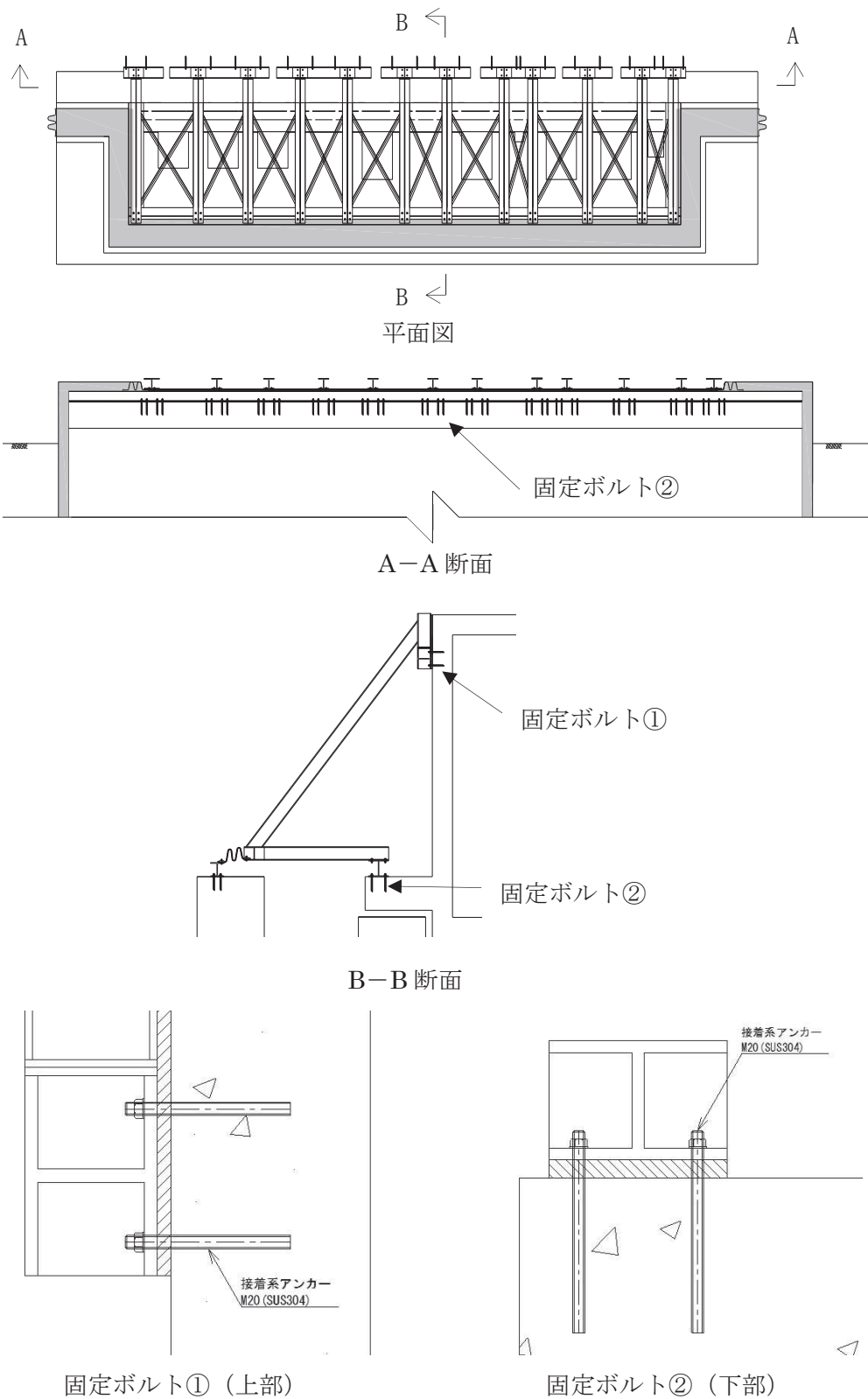


図 5-10 固定ボルト詳細図

5.1.5 計算条件

浸水防止蓋の応力評価に用いる入力値を表5-8に示す。

表5-8 浸水防止蓋の強度評価に用いる入力値

評価対象部位	記号	単位	定義	数値
浸水防止蓋 (スキンプレート)	A _s	mm ²	浸水防止蓋の単位幅あたりのせん断断面積	16
	α	—	平板のモーメントに関する係数	0.085
	β	—	平板のせん断に関する係数	0.55
	l _x	mm	浸水防止蓋の短辺長(mm)	1250
	A	m ²	浸水防止蓋の面積	1.86
	Z	mm ³	浸水防止蓋の断面係数	42.67
固定ボルト①	R _n	kN	固定ボルトの支点反力(引張)	11.4
	R _m	kN・mm	固定ボルトの支点モーメント	2935
	R _s	kN	固定ボルトの支点反力(せん断)	36.9
	B	mm	照査箇所のボルト間隔	200
	N	本	照査箇所の固定ボルトの本数	4
固定ボルト②	R _n	kN	固定ボルトの支点反力(引張)	40.7
	R _m	kN・mm	固定ボルトの支点モーメント	19197
	R _s	kN	固定ボルトの支点反力(せん断)	39.6
	B	mm	照査箇所のボルト間隔	200
	N	本	照査箇所の固定ボルトの本数	8

5.2 変形性評価方法

止水ジョイントは浸水防止蓋と第3号機補機冷却海水系放水ピットとの境界部に設置するところから浸水防止蓋と第3号機補機冷却海水系放水ピットに生じる変位量を用いて評価する。

余震荷重による変位量は設計用地震力による変位量を下回ることは明白であることから、添付書類「VI-2-10-2-8-4 浸水防止蓋（第3号機補機冷却海水系放水ピット）の耐震性についての計算書」にて算定した設計用地震力による最大変位量が、重畠時（津波荷重と余震荷重作用時）の止水ジョイントの許容限界内に収まることを確認する。

5.2.1 許容限界

重畠時（津波荷重と余震荷重作用時）の止水ジョイント部材の変形量の許容限界は、漏水試験及び变形試験により、有意な漏えいが生じないことを確認した変形量とする。表5-9に止水ジョイント部材の仕様を表5-10に変形量の許容限界を示す。

なお、止水ジョイント部材が地震時及び津波時による変位に対し有意な漏えいを生じない変形に留まること、津波による波圧と余震による変位に対し止水ジョイント部材から有意な漏えいが生じないことを性能確認試験により確認している。また、長期的な耐久性に関しては、耐候性試験により確認している。

表5-9 止水ジョイント部材の仕様

種別	名称	主成分
M型ゴム	ME300	クロロブレンゴム

表5-10 重畠時（津波荷重と余震荷重作用時）の止水ジョイント部材の変形量の許容限界

	許容限界 (mm)	
	開き方向	せん断方向
変形量	350	350

5.2.2 設計用地震力における最大変位量

添付書類「VI-2-10-2-8-4 浸水防止蓋（第3号機補機冷却海水系放水ピット）の耐震性についての計算書」にて算定した設計用地震力による最大変位量を表5-11に示す。

表5-11 設計用地震力による最大変位量

区分	地震時最大変位量 (mm)		
	第3号機海水 熱交換器建屋	第3号機補機冷却 海水系放水ピット	評価用 変位量
止水ジョイント①	開き方向	12	69
	せん断方向	14	138
止水ジョイント②	開き方向	14	138
	せん断方向	12	69
止水ジョイント③	開き方向	12	69
	せん断方向	14	139

6. 評価結果

浸水防止蓋の応力評価結果を表 6-1～表 6-13 に、変形性評価結果を表 6-14 に示す。全ての部材において発生応力、応力度又は変形量が許容限界以下であることを確認した。

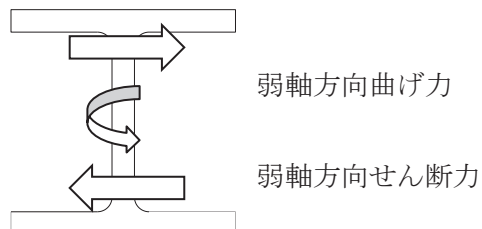
表 6-1 応力評価結果（浸水防止蓋）

評価対象部位		発生値 (応力度又は荷重)		許容限界		検定値
浸水防止蓋	曲げ	111	N/mm ²	205	N/mm ²	0.55<1.0
	せん断	2	N/mm ²	118	N/mm ²	0.02<1.0
	組合せ	112	N/mm ²	205	N/mm ²	0.55<1.0

表 6-2 応力評価結果 (鋼製プラケット 弱軸方向)

評価対象部位		発生値 (*弱軸方向) (応力度又は荷重)		許容限界	検定値
主桁①	曲げ	28	N/mm ²	205	N/mm ² 0.14<1.0
	せん断	2	N/mm ²	118	N/mm ² 0.02<1.0
	組合せ	29	N/mm ²	205	N/mm ² 0.15<1.0
主桁②	曲げ	29	N/mm ²	205	N/mm ² 0.15<1.0
	せん断	2	N/mm ²	118	N/mm ² 0.02<1.0
	組合せ	30	N/mm ²	205	N/mm ² 0.15<1.0
斜材	曲げ	20	N/mm ²	205	N/mm ² 0.10<1.0
	せん断	1	N/mm ²	118	N/mm ² 0.01<1.0
	組合せ	21	N/mm ²	205	N/mm ² 0.11<1.0
横桁	曲げ	19	N/mm ²	205	N/mm ² 0.10<1.0
	せん断	2	N/mm ²	118	N/mm ² 0.02<1.0
	組合せ	20	N/mm ²	205	N/mm ² 0.10<1.0
プレース材	軸力	8	N/mm ²	205	N/mm ² 0.04<1.0
縦桁	曲げ	15	N/mm ²	205	N/mm ² 0.08<1.0
	せん断	1	N/mm ²	118	N/mm ² 0.01<1.0
	組合せ	16	N/mm ²	205	N/mm ² 0.08<1.0

注記* : H鋼の弱軸について



プレース材には等辺山形鋼を用いているため強軸、弱軸はなく断面剛性は一様

表 6-3 曲げおよび軸力に関する応力評価結果（鋼製プラケット 弱軸方向）(1/2)

ケースNo.	解析ケース	評価部材	曲げモーメント (kN・m)	軸力 (kN)	発生応力度 σ'_s (N/mm ²)	短期許容応力度 σ'_{sa} (N/mm ²)	照査値 σ'_s / σ'_{sa}
1	津波時NS+1.0_UD+0.4	主桁①	0.049	20.654	3	205	0.02
		主桁②	0.169	15.302	2	205	0.01
		斜材	0.418	45.366	10	205	0.05
		横桁	0.616	1.210	2	205	0.01
		プレース	-	3.303	6	205	0.03
		縦桁	0.272	35.231	8	205	0.04
2	津波時NS+1.0_UD-0.4	主桁①	0.043	18.770	2	205	0.01
		主桁②	0.150	13.759	2	205	0.01
		斜材	0.388	42.278	10	205	0.05
		横桁	0.594	1.111	2	205	0.01
		プレース	-	3.049	6	205	0.03
		縦桁	0.253	31.804	7	205	0.04
3	津波時NS-1.0_UD+0.4	主桁①	0.139	37.219	4	205	0.02
		主桁②	0.427	29.842	3	205	0.02
		斜材	0.401	45.165	10	205	0.05
		横桁	0.490	1.460	1	205	0.01
		プレース	-	3.211	6	205	0.03
		縦桁	0.261	33.505	7	205	0.04
4	津波時NS-1.0_UD-0.4	主桁①	0.133	35.335	4	205	0.02
		主桁②	0.409	28.300	3	205	0.02
		斜材	0.371	42.525	10	205	0.05
		横桁	0.470	1.360	1	205	0.01
		プレース	-	3.011	6	205	0.03
		縦桁	0.242	30.078	7	205	0.04
5	津波時NS+0.4_UD+1.0	主桁①	0.081	24.895	3	205	0.02
		主桁②	0.260	19.035	2	205	0.01
		斜材	0.435	47.004	11	205	0.06
		横桁	0.467	1.360	1	205	0.01
		プレース	-	3.412	6	205	0.03
		縦桁	0.284	37.283	8	205	0.04
6	津波時NS+0.4_UD-1.0	主桁①	0.066	20.185	3	205	0.02
		主桁②	0.214	15.178	2	205	0.01
		斜材	0.360	40.372	9	205	0.05
		横桁	0.412	1.111	1	205	0.01
		プレース	-	2.887	5	205	0.03
		縦桁	0.235	28.716	6	205	0.03
7	津波時NS-0.4_UD+1.0	主桁①	0.116	31.521	4	205	0.02
		主桁②	0.364	24.851	3	205	0.02
		斜材	0.429	47.072	11	205	0.06
		横桁	0.433	1.459	1	205	0.01
		プレース	-	3.373	6	205	0.03
		縦桁	0.279	36.593	8	205	0.04
8	津波時NS-0.4_UD-1.0	主桁①	0.101	26.811	3	205	0.02
		主桁②	0.317	20.994	2	205	0.01
		斜材	0.353	40.471	9	205	0.05
		横桁	0.365	1.211	1	205	0.01
		プレース	-	2.872	5	205	0.03
		縦桁	0.230	28.025	6	205	0.03

表 6-3 曲げおよび軸力に関する応力評価結果（鋼製ブラケット 弱軸方向）(2/2)

ケースNo.	解析ケース	評価部材	曲げモーメント (kN・m)	軸力 (kN)	発生応力度 $\sigma's$ (N/mm ²)	短期許容応力度 $\sigma'sa$ (N/mm ²)	照査値 $\sigma's/\sigma'sa$	
9	津波時EW+1.0_UD+0.4	主桁①	6.413	34.405	28	205	0.14	
		主桁②	15.455	30.496	28	205	0.14	
		斜材	1.693	44.955	18	205	0.09	
		横桁	9.861	8.985	18	205	0.09	
		プレース	-	4.177	8	205	0.04	
		縦桁	1.357	34.630	14	205	0.07	
10	津波時EW+1.0_UD-0.4	主桁①	6.413	32.886	27	205	0.14	
		主桁②	15.462	28.953	28	205	0.14	
		斜材	1.679	42.314	18	205	0.09	
		横桁	9.888	8.983	18	205	0.09	
		プレース	-	3.977	7	205	0.04	
		縦桁	1.346	31.203	14	205	0.07	
11	津波時EW-1.0_UD+0.4	主桁①	6.419	33.325	27	205	0.14	
		主桁②	15.702	34.288	29	205	0.15	
		斜材	1.985	45.129	20	205	0.10	
		横桁	10.588	10.238	19	205	0.10	
		プレース	-	3.922	7	205	0.04	
		縦桁	1.455	34.106	15	205	0.08	
12	津波時EW-1.0_UD-0.4	主桁①	6.419	31.441	27	205	0.14	
		主桁②	15.695	33.009	29	205	0.15	
		斜材	1.961	42.489	19	205	0.10	
		横桁	10.561	10.185	19	205	0.10	
		プレース	-	3.728	7	205	0.04	
		縦桁	1.435	30.679	14	205	0.07	
13	津波時EW+0.4_UD+1.0	主桁①	2.563	26.076	12	205	0.06	
		主桁②	6.145	25.112	12	205	0.06	
		斜材	0.759	46.987	13	205	0.07	
		横桁	3.843	4.158	7	205	0.04	
		プレース	-	3.759	7	205	0.04	
		縦桁	0.648	37.043	10	205	0.05	
14	津波時EW+0.4_UD-1.0	主桁①	2.563	22.280	12	205	0.06	
		主桁②	6.143	21.255	12	205	0.06	
		斜材	0.733	40.386	11	205	0.06	
		横桁	3.792	3.988	7	205	0.04	
		プレース	-	3.259	6	205	0.03	
		縦桁	0.621	28.475	9	205	0.05	
15	津波時EW-0.4_UD+1.0	主桁①	2.569	29.963	13	205	0.07	
		主桁②	6.360	22.948	13	205	0.07	
		斜材	0.956	47.057	14	205	0.07	
		横桁	4.474	4.634	8	205	0.04	
		プレース	-	3.536	7	205	0.04	
		縦桁	0.757	36.833	11	205	0.06	
16	津波時EW-0.4_UD-1.0	主桁①	2.570	25.254	12	205	0.06	
		主桁②	6.342	19.752	12	205	0.06	
		斜材	0.897	40.456	12	205	0.06	
		横桁	4.406	4.433	8	205	0.04	
		プレース	-	3.049	6	205	0.03	
		縦桁	0.708	28.266	9	205	0.05	
最大値		主桁①	6.413	34.405	28	205	0.14	
		主桁②	15.702	34.288	29	205	0.15	
		斜材	1.985	45.129	20	205	0.10	
		横桁	10.588	10.238	19	205	0.10	
		プレース	0.272	35.231	8	205	0.04	
		縦桁	1.455	34.106	15	205	0.08	

表 6-4 せん断に関する応力評価結果（鋼製ブラケット 弱軸方向）（1／2）

ケースNo.	解析ケース	評価部材	せん断力 (kN)	発生 応力度 τ (N/mm ²)	短期 許容応力度 τ_a (N/mm ²)	照査値 τ / τ_a
1	津波時NS+1.0_UD+0.4	主桁①	0.036	1	118	0.01
		主桁②	0.122	1	118	0.01
		斜材	0.796	1	118	0.01
		横桁	2.112	1	118	0.01
		縦桁	0.550	1	118	0.01
2	津波時NS+1.0_UD-0.4	主桁①	0.033	1	118	0.01
		主桁②	0.109	1	118	0.01
		斜材	0.732	1	118	0.01
		横桁	2.078	1	118	0.01
		縦桁	0.510	1	118	0.01
3	津波時NS-1.0_UD+0.4	主桁①	0.109	1	118	0.01
		主桁②	0.333	1	118	0.01
		斜材	0.752	1	118	0.01
		横桁	2.064	1	118	0.01
		縦桁	0.528	1	118	0.01
4	津波時NS-1.0_UD-0.4	主桁①	0.104	1	118	0.01
		主桁②	0.319	1	118	0.01
		斜材	0.688	1	118	0.01
		横桁	2.030	1	118	0.01
		縦桁	0.488	1	118	0.01
5	津波時NS+0.4_UD+1.0	主桁①	0.061	1	118	0.01
		主桁②	0.196	1	118	0.01
		斜材	0.831	1	118	0.01
		横桁	1.498	1	118	0.01
		縦桁	0.573	1	118	0.01
6	津波時NS+0.4_UD-1.0	主桁①	0.050	1	118	0.01
		主桁②	0.161	1	118	0.01
		斜材	0.670	1	118	0.01
		横桁	1.288	1	118	0.01
		縦桁	0.474	1	118	0.01
7	津波時NS-0.4_UD+1.0	主桁①	0.090	1	118	0.01
		主桁②	0.280	1	118	0.01
		斜材	0.813	1	118	0.01
		横桁	1.551	1	118	0.01
		縦桁	0.564	1	118	0.01
8	津波時NS-0.4_UD-1.0	主桁①	0.079	1	118	0.01
		主桁②	0.246	1	118	0.01
		斜材	0.653	1	118	0.01
		横桁	1.342	1	118	0.01
		縦桁	0.465	1	118	0.01

表 6-4 せん断に関する応力評価結果（鋼製ブラケット 弱軸方向）(2/2)

ケースNo.	解析ケース	評価部材	せん断力 (kN)	発生 応力度 τ (N/mm ²)	短期 許容応力度 τ_a (N/mm ²)	照査値 τ / τ_a	
9	津波時EW+1.0_UD+0.4	主桁①	9.044	2	118	0.02	
		主桁②	16.687	2	118	0.02	
		斜材	2.458	1	118	0.01	
		横桁	18.220	2	118	0.02	
		縦桁	3.978	1	118	0.01	
10	津波時EW+1.0_UD-0.4	主桁①	9.043	2	118	0.02	
		主桁②	16.683	2	118	0.02	
		斜材	2.419	1	118	0.01	
		横桁	18.304	2	118	0.02	
		縦桁	3.975	1	118	0.01	
11	津波時EW-1.0_UD+0.4	主桁①	9.035	2	118	0.02	
		主桁②	17.090	2	118	0.02	
		斜材	2.765	1	118	0.01	
		横桁	20.480	2	118	0.02	
		縦桁	4.150	1	118	0.01	
12	津波時EW-1.0_UD-0.4	主桁①	9.036	2	118	0.02	
		主桁②	17.077	2	118	0.02	
		斜材	2.701	1	118	0.01	
		横桁	20.396	2	118	0.02	
		縦桁	4.143	1	118	0.01	
13	津波時EW+0.4_UD+1.0	主桁①	3.621	1	118	0.01	
		主桁②	6.726	1	118	0.01	
		斜材	1.269	1	118	0.01	
		横桁	6.547	1	118	0.01	
		縦桁	1.696	1	118	0.01	
14	津波時EW+0.4_UD-1.0	主桁①	3.619	1	118	0.01	
		主桁②	6.717	1	118	0.01	
		斜材	1.170	1	118	0.01	
		横桁	6.757	1	118	0.01	
		縦桁	1.641	1	118	0.01	
15	津波時EW-0.4_UD+1.0	主桁①	3.611	1	118	0.01	
		主桁②	6.983	1	118	0.01	
		斜材	1.619	1	118	0.01	
		横桁	8.933	1	118	0.01	
		縦桁	1.941	1	118	0.01	
16	津波時EW-0.4_UD-1.0	主桁①	3.613	1	118	0.01	
		主桁②	6.949	1	118	0.01	
		斜材	1.458	1	118	0.01	
		横桁	8.723	1	118	0.01	
		縦桁	1.842	1	118	0.01	
最大値		主桁①	9.044	2	118	0.02	
		主桁②	17.090	2	118	0.02	
		斜材	2.765	1	118	0.01	
		横桁	20.480	2	118	0.02	
		縦桁	4.150	1	118	0.01	

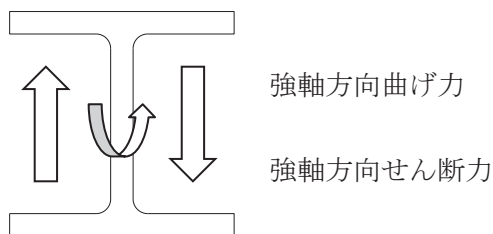
表6-5 組合せ応力に関する応力評価結果（鋼製ブラケット 弱軸方向）

	評価部材	発生 応力度 $\sigma' s$ (N/mm ²)	発生 応力度 τ (N/mm ²)	組合せ 応力度 $\sigma' s$ (N/mm ²)	短期 許容応力度 $\sigma' sa$ (N/mm ²)	照査値 $\sigma' s / \sigma' sa$
最大値	主桁①	28	2	29	205	0.15
	主桁②	29	2	30	205	0.15
	斜材	20	1	21	205	0.11
	横桁	19	2	20	205	0.10
	縦桁	15	1	16	205	0.08

表 6-6 応力評価結果（鋼製プラケット 強軸方向）

評価対象部位		発生値（＊強軸方向） (応力度又は荷重)		許容限界		検定値
主桁①	曲げ	30	N/mm ²	205	N/mm ²	0.15<1.0
	せん断	13	N/mm ²	118	N/mm ²	0.12<1.0
	組合せ	38	N/mm ²	205	N/mm ²	0.19<1.0
主桁②	曲げ	18	N/mm ²	205	N/mm ²	0.09<1.0
	せん断	11	N/mm ²	118	N/mm ²	0.10<1.0
	組合せ	27	N/mm ²	205	N/mm ²	0.14<1.0
斜材	曲げ	15	N/mm ²	205	N/mm ²	0.08<1.0
	せん断	3	N/mm ²	118	N/mm ²	0.03<1.0
	組合せ	16	N/mm ²	205	N/mm ²	0.08<1.0
横桁	曲げ	5	N/mm ²	205	N/mm ²	0.03<1.0
	せん断	5	N/mm ²	118	N/mm ²	0.05<1.0
	組合せ	10	N/mm ²	205	N/mm ²	0.05<1.0
プレース材	軸力	8	N/mm ²	205	N/mm ²	0.04<1.0
縦桁	曲げ	12	N/mm ²	205	N/mm ²	0.06<1.0
	せん断	9	N/mm ²	118	N/mm ²	0.08<1.0
	組合せ	20	N/mm ²	205	N/mm ²	0.10<1.0

注記＊：H鋼の強軸について



プレース材には等辺山形鋼を用いているため強軸、弱軸はなく断面剛性は一様

表 6-7 曲げおよび軸力に関する応力評価結果（鋼製ブラケット 強軸方向）(1/2)

ケースNo.	解析ケース	評価部材	曲げモーメント (kN・m)	軸力 (kN)	発生応力度 σ'_{s} (N/mm ²)	短期許容応力度 σ'_{sa} (N/mm ²)	照査値 σ'_{s}/σ'_{sa}
1	津波時NS+1.0_UD+0.4	主桁①	17.727	20.654	27	205	0.14
		主桁②	15.187	15.302	16	205	0.08
		斜材	3.272	45.366	15	205	0.08
		横桁	3.317	1.210	4	205	0.02
		プレース	-	3.303	6	205	0.03
		縦桁	1.587	35.231	9	205	0.05
2	津波時NS+1.0_UD-0.4	主桁①	16.719	18.770	25	205	0.13
		主桁②	14.193	13.759	15	205	0.08
		斜材	3.432	42.278	14	205	0.07
		横桁	3.129	1.111	4	205	0.02
		プレース	-	3.049	6	205	0.03
		縦桁	2.009	31.804	10	205	0.05
3	津波時NS-1.0_UD+0.4	主桁①	18.746	37.219	30	205	0.15
		主桁②	16.188	29.842	18	205	0.09
		斜材	2.294	45.165	12	205	0.06
		横桁	3.355	1.460	4	205	0.02
		プレース	-	3.211	6	205	0.03
		縦桁	2.935	33.505	12	205	0.06
4	津波時NS-1.0_UD-0.4	主桁①	17.738	35.335	28	205	0.14
		主桁②	15.194	28.300	17	205	0.09
		斜材	1.855	42.525	11	205	0.06
		横桁	3.167	1.360	4	205	0.02
		プレース	-	3.011	6	205	0.03
		縦桁	2.440	30.078	10	205	0.05
5	津波時NS+0.4_UD+1.0	主桁①	18.789	24.895	29	205	0.15
		主桁②	16.233	19.035	17	205	0.09
		斜材	2.666	47.004	14	205	0.07
		横桁	3.470	1.360	4	205	0.02
		プレース	-	3.412	6	205	0.03
		縦桁	0.706	37.283	8	205	0.04
6	津波時NS+0.4_UD-1.0	主桁①	16.268	20.185	25	205	0.13
		主桁②	13.748	15.178	15	205	0.08
		斜材	3.065	40.372	13	205	0.07
		横桁	3.000	1.111	3	205	0.02
		プレース	-	2.887	5	205	0.03
		縦桁	1.340	28.716	8	205	0.04
7	津波時NS-0.4_UD+1.0	主桁①	19.197	31.521	30	205	0.15
		主桁②	16.633	24.851	18	205	0.09
		斜材	2.017	47.072	12	205	0.06
		横桁	3.485	1.459	4	205	0.02
		プレース	-	3.373	6	205	0.03
		縦桁	2.134	36.593	11	205	0.06
8	津波時NS-0.4_UD-1.0	主桁①	16.676	26.811	26	205	0.13
		主桁②	14.148	20.994	15	205	0.08
		斜材	2.417	40.471	12	205	0.06
		横桁	3.015	1.211	3	205	0.02
		プレース	-	2.872	5	205	0.03
		縦桁	0.897	28.025	7	205	0.04

表 6-7 曲げおよび軸力に関する応力評価結果（鋼製ブラケット 強軸方向）(2/2)

ケースNo.	解析ケース	評価部材	曲げモーメント (kN・m)	軸力 (kN)	発生応力度 $\sigma's$ (N/mm ²)	短期許容応力度 $\sigma'sa$ (N/mm ²)	照査値 $\sigma's/\sigma'sa$	
9	津波時EW+1.0_UD+0.4	主桁①	18.195	34.405	29	205	0.15	
		主桁②	15.903	30.496	18	205	0.09	
		斜材	2.460	44.955	13	205	0.07	
		横桁	3.174	8.985	4	205	0.02	
		プレース	-	4.177	8	205	0.04	
		縦桁	0.966	34.630	8	205	0.04	
10	津波時EW+1.0_UD-0.4	主桁①	17.186	32.886	27	205	0.14	
		主桁②	14.909	28.953	17	205	0.09	
		斜材	2.620	42.314	13	205	0.07	
		横桁	3.052	8.983	4	205	0.02	
		プレース	-	3.977	7	205	0.04	
		縦桁	0.472	31.203	6	205	0.03	
11	津波時EW-1.0_UD+0.4	主桁①	18.279	33.325	29	205	0.15	
		主桁②	15.472	34.288	18	205	0.09	
		斜材	2.463	45.129	13	205	0.07	
		横桁	3.953	10.238	5	205	0.03	
		プレース	-	3.922	7	205	0.04	
		縦桁	0.996	34.106	8	205	0.04	
12	津波時EW-1.0_UD-0.4	主桁①	17.270	31.441	27	205	0.14	
		主桁②	14.478	33.009	17	205	0.09	
		斜材	2.622	42.489	13	205	0.07	
		横桁	3.793	10.185	5	205	0.03	
		プレース	-	3.728	7	205	0.04	
		縦桁	0.501	30.679	6	205	0.03	
13	津波時EW+0.4_UD+1.0	主桁①	18.976	26.076	29	205	0.15	
		主桁②	16.519	25.112	18	205	0.09	
		斜材	2.341	46.987	13	205	0.07	
		横桁	3.259	4.158	4	205	0.02	
		プレース	-	3.759	7	205	0.04	
		縦桁	1.346	37.043	9	205	0.05	
14	津波時EW+0.4_UD-1.0	主桁①	16.455	22.280	25	205	0.13	
		主桁②	14.034	21.255	15	205	0.08	
		斜材	2.740	40.386	13	205	0.07	
		横桁	2.789	3.988	3	205	0.02	
		プレース	-	3.259	6	205	0.03	
		縦桁	0.691	28.475	6	205	0.03	
15	津波時EW-0.4_UD+1.0	主桁①	19.010	29.963	30	205	0.15	
		主桁②	16.347	22.948	18	205	0.09	
		斜材	2.342	47.057	13	205	0.07	
		横桁	3.695	4.634	4	205	0.02	
		プレース	-	3.536	7	205	0.04	
		縦桁	1.358	36.833	9	205	0.05	
16	津波時EW-0.4_UD-1.0	主桁①	16.488	25.254	26	205	0.13	
		主桁②	13.862	19.752	15	205	0.08	
		斜材	2.741	40.456	13	205	0.07	
		横桁	3.225	4.433	4	205	0.02	
		プレース	-	3.049	6	205	0.03	
		縦桁	0.672	28.266	6	205	0.03	
最大値		主桁①	18.746	37.219	30	205	0.15	
		主桁②	16.188	29.842	18	205	0.09	
		斜材	3.272	45.366	15	205	0.08	
		横桁	-	2.887	5	205	0.03	
		プレース	0.706	37.283	8	205	0.04	
		縦桁	2.294	45.165	12	205	0.06	

表 6-8 せん断に関する応力評価結果（鋼製ブラケット 強軸方向）（1/2）

ケースNo.	解析ケース	評価部材	せん断力 (kN)	発生 応力度 τ (N/mm ²)	短期 許容応力度 τ_a (N/mm ²)	照査値 τ / τ_a
1	津波時NS+1.0_UD+0.4	主桁①	38.803	13	118	0.12
		主桁②	32.163	11	118	0.10
		斜材	2.987	3	118	0.03
		横桁	11.909	4	118	0.04
		縦桁	5.999	5	118	0.05
2	津波時NS+1.0_UD-0.4	主桁①	37.069	12	118	0.11
		主桁②	30.463	10	118	0.09
		斜材	3.411	3	118	0.03
		横桁	11.367	4	118	0.04
		縦桁	7.487	6	118	0.06
3	津波時NS-1.0_UD+0.4	主桁①	40.376	13	118	0.12
		主桁②	33.753	11	118	0.10
		斜材	1.986	2	118	0.02
		横桁	11.993	4	118	0.04
		縦桁	11.337	9	118	0.08
4	津波時NS-1.0_UD-0.4	主桁①	38.642	13	118	0.12
		主桁②	32.052	11	118	0.10
		斜材	1.471	2	118	0.02
		横桁	11.452	4	118	0.04
		縦桁	9.594	7	118	0.06
5	津波時NS+0.4_UD+1.0	主桁①	40.575	13	118	0.12
		主桁②	33.915	11	118	0.10
		斜材	1.712	2	118	0.02
		横桁	12.340	4	118	0.04
		縦桁	2.714	2	118	0.02
6	津波時NS+0.4_UD-1.0	主桁①	36.240	12	118	0.11
		主桁②	29.664	10	118	0.09
		斜材	2.773	2	118	0.02
		横桁	10.986	4	118	0.04
		縦桁	4.844	4	118	0.04
7	津波時NS-0.4_UD+1.0	主桁①	41.205	13	118	0.12
		主桁②	34.551	11	118	0.10
		斜材	1.346	1	118	0.01
		横桁	12.374	4	118	0.04
		縦桁	7.977	6	118	0.06
8	津波時NS-0.4_UD-1.0	主桁①	36.870	12	118	0.11
		主桁②	30.300	10	118	0.09
		斜材	1.497	2	118	0.02
		横桁	11.020	4	118	0.04
		縦桁	3.617	3	118	0.03

表 6-8 せん断に関する応力評価結果（鋼製ブラケット 強軸方向）(2/2)

ケースNo.	解析ケース	評価部材	せん断力 (kN)	発生 応力度 τ (N/mm ²)	短期 許容応力度 τ_a (N/mm ²)	照査値 τ / τ_a	
9	津波時EW+1.0_UD+0.4	主桁①	39.564	13	118	0.12	
		主桁②	33.139	11	118	0.10	
		斜材	1.389	1	118	0.01	
		横桁	13.623	5	118	0.05	
		縦桁	3.505	3	118	0.03	
10	津波時EW+1.0_UD-0.4	主桁①	37.830	12	118	0.11	
		主桁②	31.438	10	118	0.09	
		斜材	1.813	2	118	0.02	
		横桁	13.082	5	118	0.05	
		縦桁	1.761	2	118	0.02	
11	津波時EW-1.0_UD+0.4	主桁①	39.615	13	118	0.12	
		主桁②	32.777	11	118	0.10	
		斜材	1.396	1	118	0.01	
		横桁	12.970	5	118	0.05	
		縦桁	3.608	3	118	0.03	
12	津波時EW-1.0_UD-0.4	主桁①	37.881	12	118	0.11	
		主桁②	31.077	10	118	0.09	
		斜材	1.820	2	118	0.02	
		横桁	12.312	4	118	0.04	
		縦桁	1.864	2	118	0.02	
13	津波時EW+0.4_UD+1.0	主桁①	40.880	13	118	0.12	
		主桁②	34.306	11	118	0.10	
		斜材	1.073	1	118	0.01	
		横桁	13.026	5	118	0.05	
		縦桁	4.844	4	118	0.04	
14	津波時EW+0.4_UD-1.0	主桁①	36.545	12	118	0.11	
		主桁②	30.054	10	118	0.09	
		斜材	2.134	2	118	0.02	
		横桁	11.672	4	118	0.04	
		縦桁	2.373	2	118	0.02	
15	津波時EW-0.4_UD+1.0	主桁①	40.900	13	118	0.12	
		主桁②	34.161	11	118	0.10	
		斜材	1.076	1	118	0.01	
		横桁	12.461	4	118	0.04	
		縦桁	4.885	4	118	0.04	
16	津波時EW-0.4_UD-1.0	主桁①	36.565	12	118	0.11	
		主桁②	29.910	10	118	0.09	
		斜材	2.136	2	118	0.02	
		横桁	10.815	4	118	0.04	
		縦桁	2.305	2	118	0.02	
最大値		主桁①	41.205	13	118	0.12	
		主桁②	34.551	11	118	0.10	
		斜材	3.411	3	118	0.03	
		横桁	13.623	5	118	0.05	
		縦桁	11.337	9	118	0.08	

表 6-9 組合せ応力に関する応力評価結果 (鋼製ブラケット 強軸方向)

	評価部材	発生 応力度 $\sigma' s$ (N/mm ²)	発生 応力度 τ (N/mm ²)	組合せ 応力度 $\sigma' s$ (N/mm ²)	短期 許容応力度 $\sigma' sa$ (N/mm ²)	照査値 $\sigma' s / \sigma' sa$
最大値	主桁①	30	13	38	205	0.19
	主桁②	18	11	27	205	0.14
	斜材	15	3	16	205	0.08
	横桁	5	5	10	205	0.05
	縦桁	12	9	20	205	0.10

表 6-10 応力評価結果（固定ボルト）

評価対象部位		発生値 (応力度又は荷重)		許容限界		検定値
固定ボルト①	引張	10.2	kN	50.2	kN	0.21<1.0
	せん断	9.3	kN	35.1	kN	0.27<1.0
	組合せ	—		—		0.12<1.0
固定ボルト②	引張	29.1	kN	37.8	kN	0.77<1.0
	せん断	5.0	kN	18.4	kN	0.28<1.0
	組合せ	—		—		0.67<1.0

表 6-11 固定ボルトに関する評価結果（引張）（1／2）

ケースNo.	解析ケース	固定ボルト①（上部）					
		発生作用力 引張			許容限界 引張 Tda	照査値 Td/Tda	検定値
		Rn/本	Rm/本	Td			
1	津波時NS+1.0_UD+0.4	-	3.97	4.0	50.2	0.08	1.0
2	津波時NS+1.0_UD-0.4	-	5.03	5.1	50.2	0.11	1.0
3	津波時NS-1.0_UD+0.4	2.84	7.34	10.2	50.2	0.21	1.0
4	津波時NS-1.0_UD-0.4	2.40	6.10	8.5	50.2	0.17	1.0
5	津波時NS+0.4_UD+1.0	0.44	1.43	1.9	50.2	0.04	1.0
6	津波時NS+0.4_UD-1.0	-	3.35	3.4	50.2	0.07	1.0
7	津波時NS-0.4_UD+1.0	2.00	5.34	7.4	50.2	0.15	1.0
8	津波時NS-0.4_UD-1.0	0.91	2.25	3.2	50.2	0.07	1.0
9	津波時EW+1.0_UD+0.4	0.88	2.42	3.3	50.2	0.07	1.0
10	津波時EW+1.0_UD-0.4	0.45	1.18	1.7	50.2	0.04	1.0
11	津波時EW-1.0_UD+0.4	0.91	2.49	3.4	50.2	0.07	1.0
12	津波時EW-1.0_UD-0.4	0.47	1.26	1.8	50.2	0.04	1.0
13	津波時EW+0.4_UD+1.0	1.22	3.37	4.6	50.2	0.10	1.0
14	津波時EW+0.4_UD-1.0	-	1.73	1.8	50.2	0.04	1.0
15	津波時EW-0.4_UD+1.0	1.23	3.40	4.7	50.2	0.10	1.0
16	津波時EW-0.4_UD-1.0	-	1.68	1.7	50.2	0.04	1.0
最大値		2.84	7.34	10.2	50.2	0.21	1.0

表 6-11 固定ボルトに関する評価結果（引張）（2／2）

ケースNo.	解析ケース	固定ボルト②（下部）					
		発生作用力 引張			許容限界 引張 Tda	照査値 Td/Tda	検定値
		Rn/本	Rm/本	Td			
1	津波時NS+1.0_UD+0.4	4.67	22.16	26.9	37.8	0.72	1.0
2	津波時NS+1.0_UD-0.4	4.30	20.90	25.2	37.8	0.67	1.0
3	津波時NS-1.0_UD+0.4	4.87	23.44	28.4	37.8	0.76	1.0
4	津波時NS-1.0_UD-0.4	4.50	22.18	26.7	37.8	0.71	1.0
5	津波時NS+0.4_UD+1.0	5.01	23.49	28.5	37.8	0.76	1.0
6	津波時NS+0.4_UD-1.0	4.09	20.34	24.5	37.8	0.65	1.0
7	津波時NS-0.4_UD+1.0	5.09	24.00	29.1	37.8	0.77	1.0
8	津波時NS-0.4_UD-1.0	4.17	20.85	25.1	37.8	0.67	1.0
9	津波時EW+1.0_UD+0.4	4.77	22.75	27.6	37.8	0.74	1.0
10	津波時EW+1.0_UD-0.4	4.40	21.49	25.9	37.8	0.69	1.0
11	津波時EW-1.0_UD+0.4	4.78	22.85	27.7	37.8	0.74	1.0
12	津波時EW-1.0_UD-0.4	4.41	21.59	26.0	37.8	0.69	1.0
13	津波時EW+0.4_UD+1.0	5.05	23.72	28.8	37.8	0.77	1.0
14	津波時EW+0.4_UD-1.0	4.13	20.57	24.7	37.8	0.66	1.0
15	津波時EW-0.4_UD+1.0	5.05	23.77	28.9	37.8	0.77	1.0
16	津波時EW-0.4_UD-1.0	4.13	20.61	24.8	37.8	0.66	1.0
最大値		5.09	24.00	29.1	37.8	0.77	1.0

表 6-12 固定ボルトに関する評価結果（せん断）（1／2）

ケースNo.	解析ケース	固定ボルト①（上部）			
		発生作用力 せん断 q	許容限界 せん断 qa	照査値 q/qa	検定値
1	津波時NS+1.0_UD+0.4	8.6	35.1	0.25	1.0
2	津波時NS+1.0_UD-0.4	7.5	35.1	0.22	1.0
3	津波時NS-1.0_UD+0.4	8.2	35.1	0.24	1.0
4	津波時NS-1.0_UD-0.4	7.1	35.1	0.21	1.0
5	津波時NS+0.4_UD+1.0	9.3	35.1	0.27	1.0
6	津波時NS+0.4_UD-1.0	6.6	35.1	0.19	1.0
7	津波時NS-0.4_UD+1.0	9.1	35.1	0.26	1.0
8	津波時NS-0.4_UD-1.0	6.4	35.1	0.19	1.0
9	津波時EW+1.0_UD+0.4	8.4	35.1	0.24	1.0
10	津波時EW+1.0_UD-0.4	7.4	35.1	0.22	1.0
11	津波時EW-1.0_UD+0.4	8.3	35.1	0.24	1.0
12	津波時EW-1.0_UD-0.4	7.2	35.1	0.21	1.0
13	津波時EW+0.4_UD+1.0	9.2	35.1	0.27	1.0
14	津波時EW+0.4_UD-1.0	6.5	35.1	0.19	1.0
15	津波時EW-0.4_UD+1.0	9.2	35.1	0.27	1.0
16	津波時EW-0.4_UD-1.0	6.5	35.1	0.19	1.0
最大値		9.3	35.1	0.27	1.0

表 6-12 固定ボルトに関する評価結果（せん断）（2／2）

ケースNo.	解析ケース	固定ボルト②（下部）			
		発生作用力 せん断 q	許容限界 せん断 qa	照査値 q/qa	検定値
1	津波時NS+1.0_UD+0.4	1.4	18.4	0.08	1.0
2	津波時NS+1.0_UD-0.4	1.2	18.4	0.07	1.0
3	津波時NS-1.0_UD+0.4	5.0	18.4	0.28	1.0
4	津波時NS-1.0_UD-0.4	4.8	18.4	0.27	1.0
5	津波時NS+0.4_UD+1.0	2.7	18.4	0.15	1.0
6	津波時NS+0.4_UD-1.0	2.1	18.4	0.12	1.0
7	津波時NS-0.4_UD+1.0	4.1	18.4	0.23	1.0
8	津波時NS-0.4_UD-1.0	3.5	18.4	0.20	1.0
9	津波時EW+1.0_UD+0.4	4.4	18.4	0.24	1.0
10	津波時EW+1.0_UD-0.4	4.2	18.4	0.23	1.0
11	津波時EW-1.0_UD+0.4	4.3	18.4	0.24	1.0
12	津波時EW-1.0_UD-0.4	4.2	18.4	0.23	1.0
13	津波時EW+0.4_UD+1.0	3.3	18.4	0.18	1.0
14	津波時EW+0.4_UD-1.0	2.8	18.4	0.16	1.0
15	津波時EW-0.4_UD+1.0	3.8	18.4	0.21	1.0
16	津波時EW-0.4_UD-1.0	3.2	18.4	0.18	1.0
最大値		5.0	18.4	0.28	1.0

表 6-13 固定ボルトに関する評価結果（組合せ）（1／2）

	固定ボルト①（上部）			
	発生作用力		組合せ	
	引張 Td	せん断 q		
最大値	10.2	9.3	0.12	1.0

表 6-13 固定ボルトに関する評価結果（組合せ）（2／2）

	固定ボルト②（下部）			
	発生作用力		組合せ	
	引張 Td	せん断 q		
最大値	29.1	5.0	0.67	1.0

表 6-14 変形性評価結果

評価対象部位	地震時 最大変位量 (mm)		地震時 相対変位量 (mm)	許容限界 (mm)
	第3号機海水 熱交換器建屋	第3号機補機冷却 海水系放水ピット		
止水ジョイント①	開き方向	12	69	81
	せん断方向	14	138	152
止水ジョイント②	開き方向	14	138	152
	せん断方向	12	69	81
止水ジョイント③	開き方向	12	69	81
	せん断方向	14	138	152

- 6. 浸水防護施設に関する補足資料
- 6.5 浸水防止設備に関する補足説明
- 6.5.3 浸水防止蓋に関する補足説明
- 6.5.3.5 浸水防止蓋（第3号機海水熱交換器建屋）の耐震性についての計算書に関する補足説明

目 次

1.	概要	1
2.	一般事項	2
2.1	配置概要	2
2.2	構造計画	4
2.3	評価方針	5
2.4	適用規格・基準等	6
2.5	記号の説明	7
3.	評価対象部位及び評価対象設備	9
4.	固有値解析	11
4.1	固有値解析の計算方法	11
4.2	固有振動数の計算条件	12
4.3	固有振動数の計算結果	13
5.	構造強度評価	14
5.1	構造強度評価方法	14
5.2	荷重及び荷重の組合せ	14
5.3	許容限界	16
5.4	設計用地震力	22
5.5	評価方法	24
5.6	評価条件	34
6.	評価結果	36

1. 概要

本資料は、添付書類「VI-2-1-9 機能維持の基本方針」にて設定している構造強度に基づき、浸水防止設備のうち浸水防止蓋（第3号機海水熱交換器建屋海水ポンプ設置エリア角落し部）及び浸水防止蓋（第3号機海水熱交換器建屋海水ポンプ設置エリア点検用開口部）（No.1），（No.2）（以下、「浸水防止蓋」という。）が設計用地震力に対して、主要な構造部材が十分な構造健全性を有することを確認するものである。その耐震評価は浸水防止蓋の固有値解析及び応力評価により行う。

浸水防止蓋は、浸水防護施設としてSクラス施設に分類される。以下、浸水防止設備としての構造強度評価を示す。

なお、浸水防止蓋の耐震評価においては、平成23年3月11日に発生した東北地方太平洋沖地震による地殻変動に伴い、牡鹿半島全体で約1mの地盤沈下が発生したことを考慮する。

2. 一般事項

2.1 配置概要

浸水防止蓋は、第3号機海水熱交換器建屋海水ポンプ設置エリアの床面に設置する。

浸水防止蓋の設置位置図を図2-1に、浸水対策図を図2-2に示す。

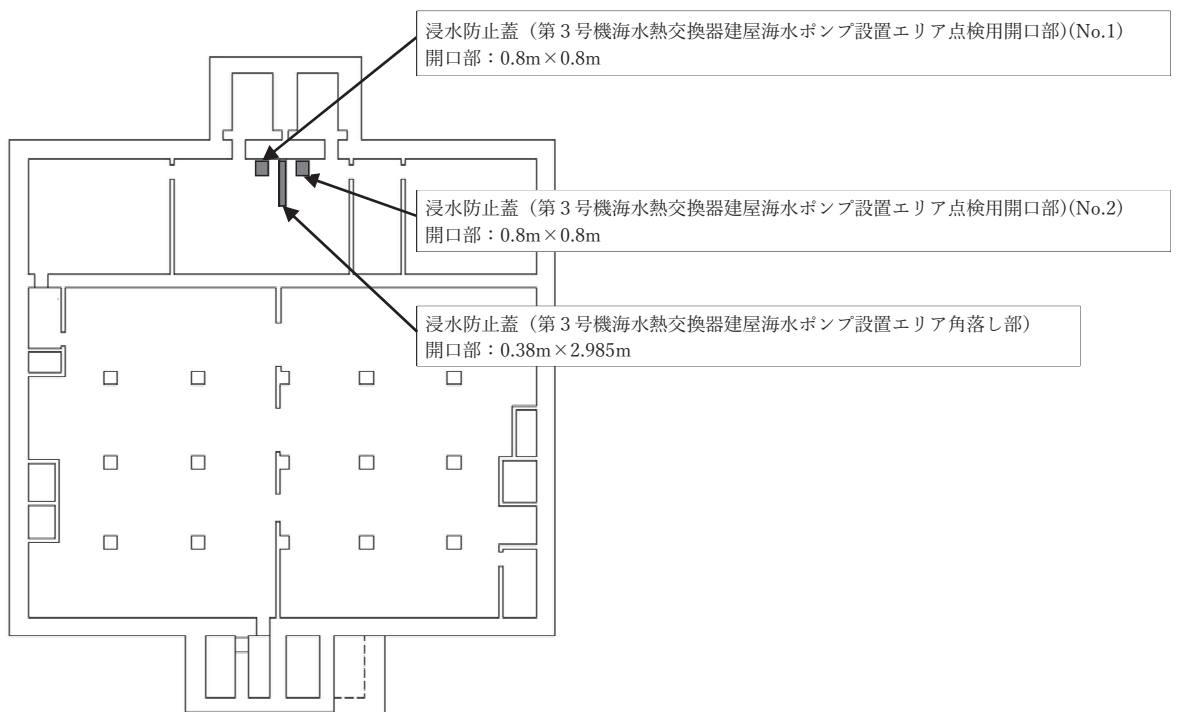
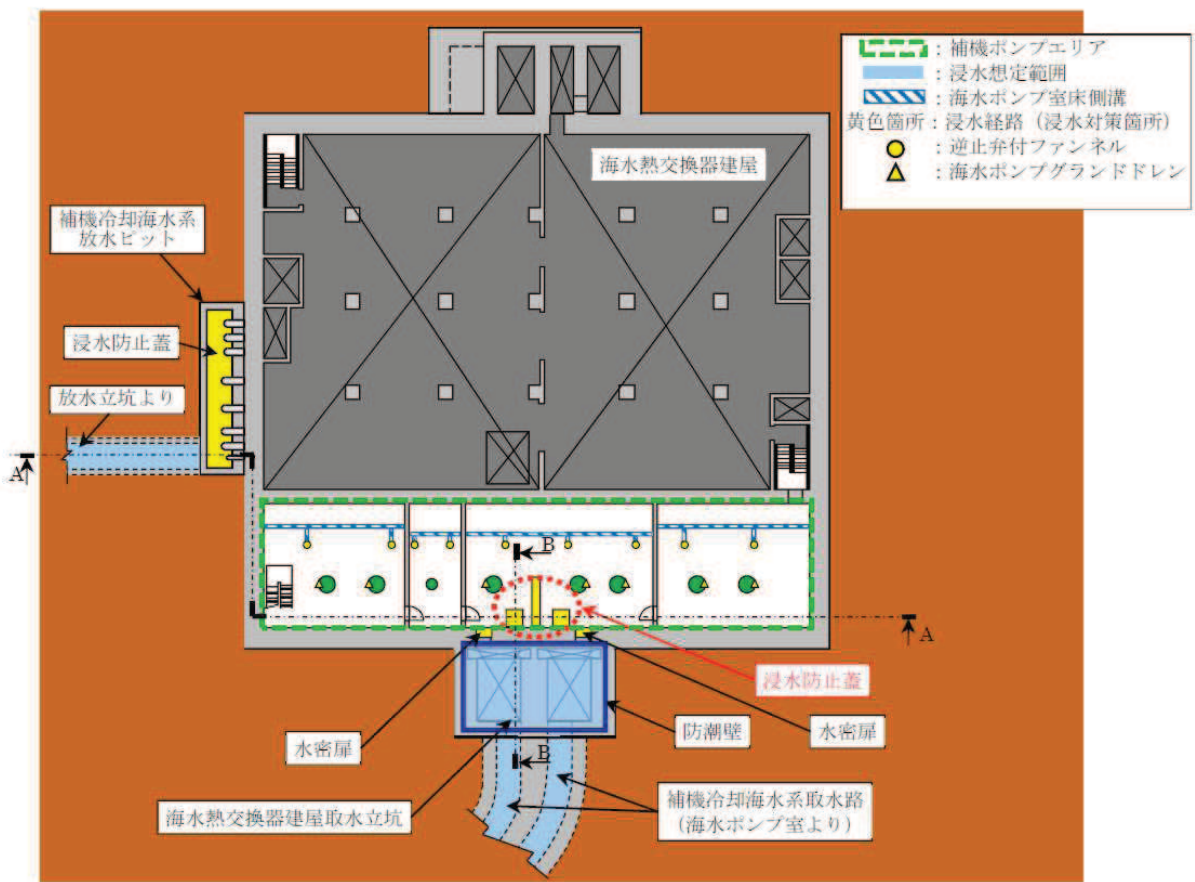
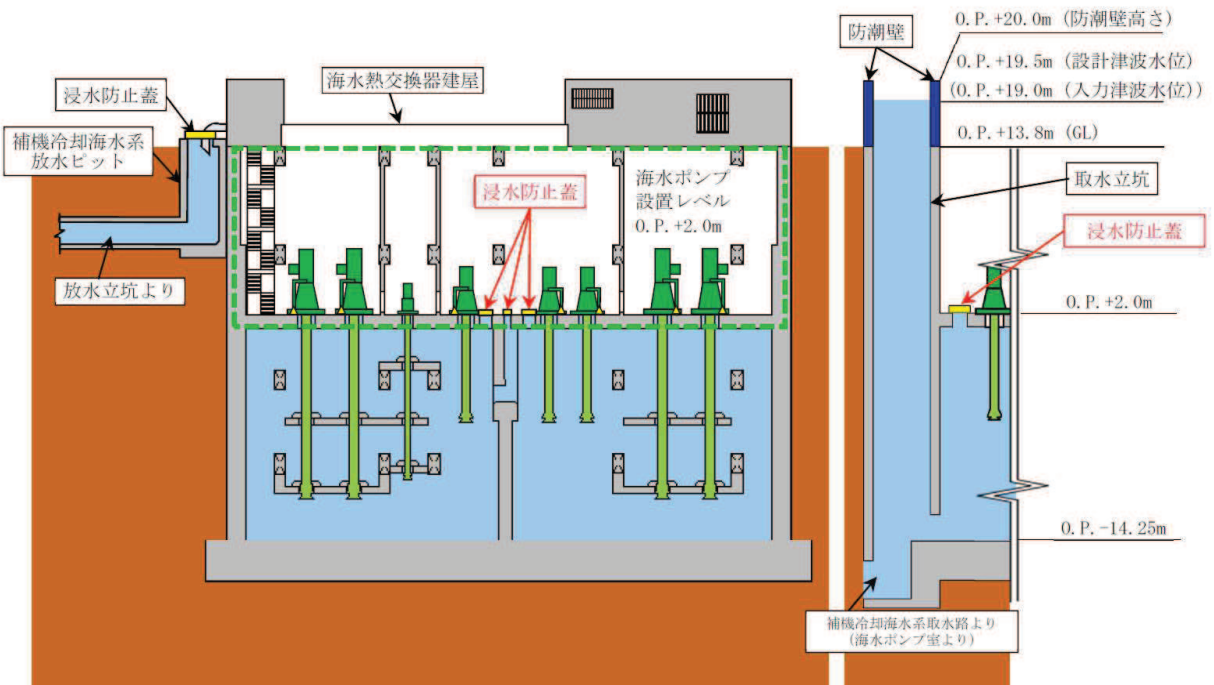


図2-1 浸水防止蓋の設置位置図
(第3号機海水熱交換器建屋 地下中2階)



平面図

図 2-2 第3号機海水熱交換器建屋 浸水対策配置図 (1/2)



A-A 断面図

B-B 断面図

図 2-2 第3号機海水熱交換器建屋 浸水対策配置図 (2/2)

2.2 構造計画

浸水防止蓋の構造は、長方形又は正方形のスキンプレートに主桁（溝形鋼又は鋼板）を組合せた構造とする。

浸水防止蓋は、第3号機海水熱交換器建屋海水ポンプ設置エリア床面に設置する固定ボルトにて固定する。浸水防止蓋の構造計画を表2-1に示す。

表2-1 浸水防止蓋の構造計画

計画の概要		概略構造図
基礎・支持構造	主体構造	
第3号機海水熱交換器建屋海水ポンプ設置エリア床面に設置する固定ボルトで固定する。	浸水防止蓋及び固定ボルトにより構成する。	
		浸水防止蓋(第3号機海水熱交換器建屋海水ポンプ設置エリア角落し部)
		浸水防止蓋(第3号機海水熱交換器建屋海水ポンプ設置エリア点検用開口部)(No.1), (No.2)

枠囲みの内容は商業機密の観点から公開できません。

2.3 評価方針

浸水防止蓋の耐震評価は、添付書類「VI-2-1-9 機能維持の基本方針」にて設定した荷重及び荷重の組合せ並びに許容限界に基づき、「2.2 構造計画」に示す浸水防止蓋の構造を踏まえ、「3. 評価対象部位及び評価対象設備」にて設定する評価対象部位において、「4. 固有値解析」で算出した固有振動数に基づく設計用地震力により算出した応力等が許容限界内に収まることを、「5. 構造強度評価」に示す方法にて確認する。応力評価の確認結果を「6. 評価結果」にて確認する。

耐震評価フローを図 2-3 に示す。

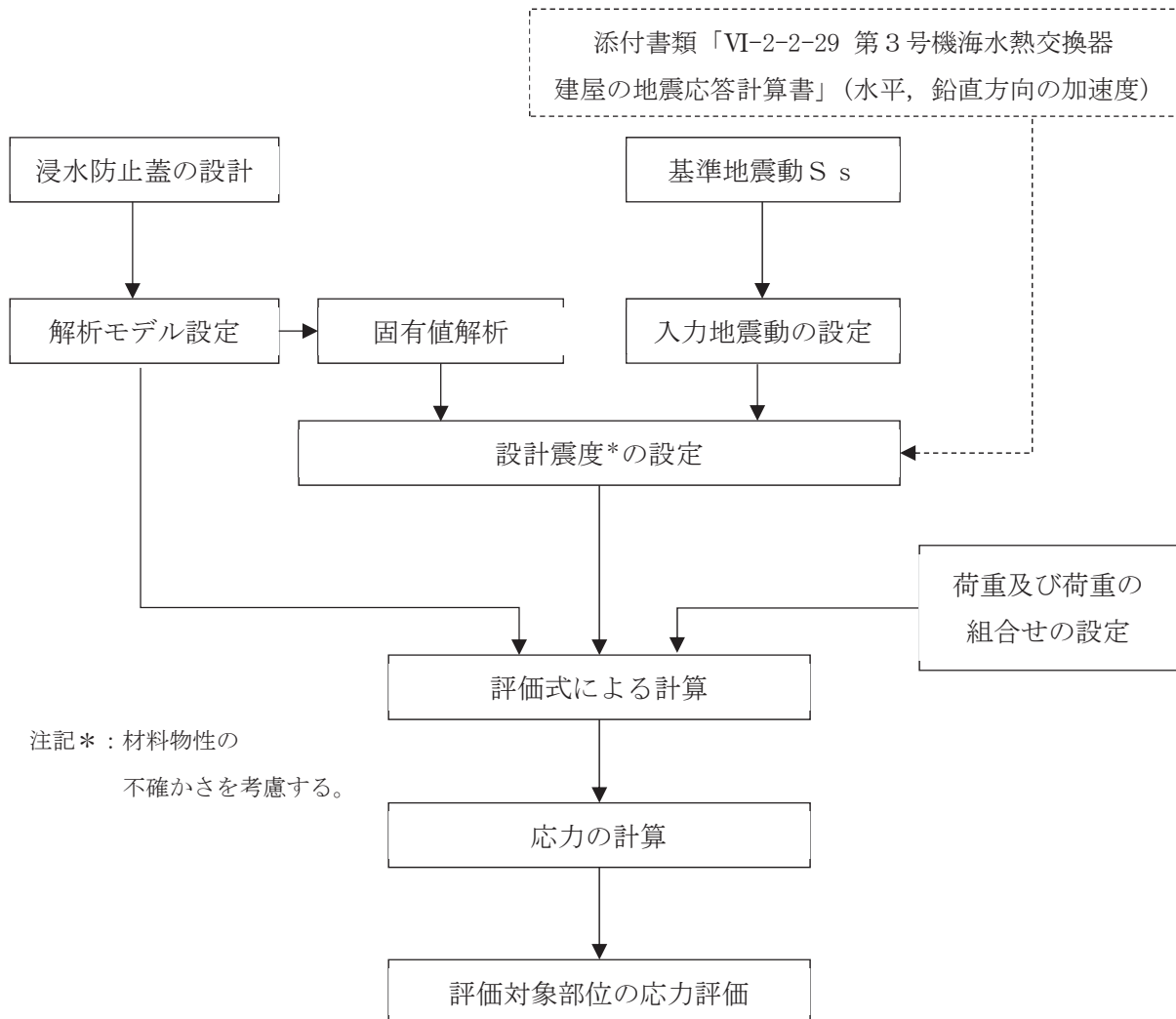


図 2-3 耐震評価フロー

2.4 適用規格・基準等

適用する規格、基準等を以下に示す。

- ・ 建築基準法及び同施行令
- ・ 各種合成構造設計指針・同解説（日本建築学会、2010年改定）
- ・ 鋼構造設計規準—許容応力度設計法—（日本建築学会、2005年改定）
- ・ 機械工学便覧（日本機械学会、2005年改訂）

2.5 記号の説明

浸水防止蓋の耐震評価に用いる記号を表 2-2 に示す。

表 2-2 耐震評価に用いる記号 (1/2)

記号	単位	定義
S _s	kN	基準地震動 S _s による地震荷重
k _H	-	基準地震動 S _s の水平方向の設計震度
k _V	-	基準地震動 S _s の鉛直方向の設計震度
G	kN	固定荷重
P _s	kN	積雪荷重
W _s	N/m ²	1 cm 当りの積雪荷重
d _s	cm	積雪高さ
A	m ²	浸水防止蓋の面積
W _{s s}	kN/m ²	単位面積当たりの等分布荷重
W _{s s'}	kN/m	単位長さ当たりの等分布荷重
τ	N/mm ²	最大せん断応力度
σ	N/mm ²	最大曲げ応力度
Q	kN	最大せん断力
M	kN・m	最大曲げモーメント
x	N/mm ²	組合せ応力度
A _s	mm ²	せん断断面積
Z	mm ³	断面係数
L ₁	mm	主桁の負担幅
L ₂	mm	主桁全長
L ₃	mm	スキンプレートの支持長辺長さ
L ₄	mm	スキンプレートの支持短辺長さ
β ₁	-	スキンプレートの辺長比に応じた係数
t	mm	スキンプレートの厚さ

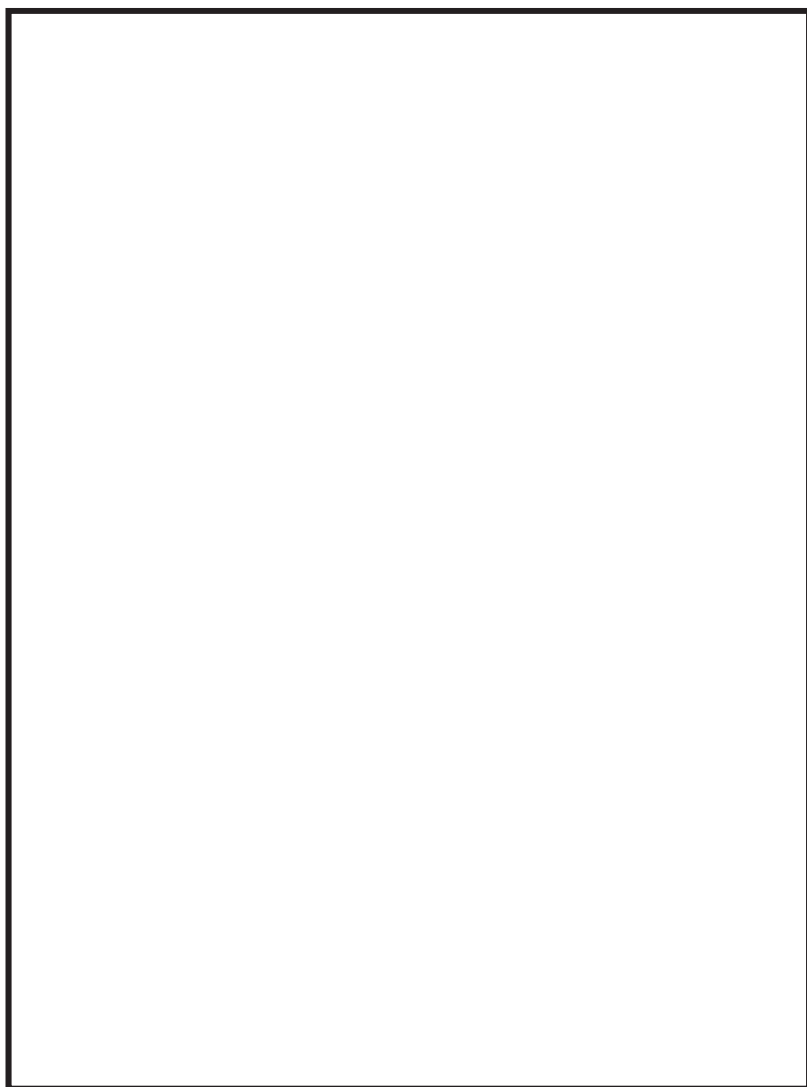
表 2-2 耐震評価に用いる記号 (2/2)

記号	単位	定義
N	本	浸水防止蓋に取り付く固定ボルト (2) の本数
T _d	kN	固定ボルト (2) 1 本当りに作用する引張力
q	kN	固定ボルト (2) 1 本当りに作用するせん断力
σ_t	N/mm ²	固定ボルト (1) 1 本当りに生じる引張応力度
τ_s	N/mm ²	固定ボルト (1) 1 本当りに生じるせん断応力度
T _s	kN	固定ボルト (1) 1 本当りに作用する引張力
q _s	kN	固定ボルト (1) 1 本当りに作用するせん断力
A'	mm ²	固定ボルト (1) の有効断面積
n _s	本	固定ボルト (1) の本数
σ_f	N/mm ²	枠下フランジに生じる最大曲げ応力度
M _f	kN・m	枠下フランジに作用する最大曲げモーメント
Z _f	mm ³	枠下フランジの断面係数
L ₇	mm	枠ウェブ部中心から下フランジ端部までの距離
τ_f	N/mm ²	枠下フランジに生じる最大せん断応力度
Q _f	kN	枠下フランジに生じる最大せん断力
A _f	mm ²	枠下フランジのせん断断面積
Q _w	kN	枠ウェブ部に作用する水平方向の最大せん断力
τ_w	N/mm ²	水平方向の地震荷重により枠ウェブ部に生じる最大せん断応力度
A _{s w}	mm ²	枠ウェブ部のせん断断面積
C _w	kN	鉛直方向の地震荷重により枠ウェブ部に作用する最大圧縮力
σ_{cw}	N/mm ²	鉛直方向の地震荷重により枠ウェブ部に生じる最大圧縮応力度
A _w	mm ²	枠ウェブ部の断面積
T _a	kN	固定ボルト (2) の短期許容引張荷重
q _a	kN	固定ボルト (2) の短期許容せん断荷重

3. 評価対象部位及び評価対象設備

浸水防止蓋の評価対象部位は、「2.2 構造計画」にて設定している構造を踏まえて、地震に伴う荷重の作用方向及び伝達過程を考慮し設定する。また、浸水防止蓋（第3号機海水熱交換器建屋海水ポンプ設置エリア点検用開口部）(No. 1), (No. 2)は構成部材の寸法、規格が等しく、評価結果が変わらないことから、浸水防止蓋（第3号機海水熱交換器建屋海水ポンプ設置エリア角落し部）及び浸水防止蓋（第3号機海水熱交換器建屋海水ポンプ設置エリア点検用開口部）(No. 1)を評価対象設備とする。

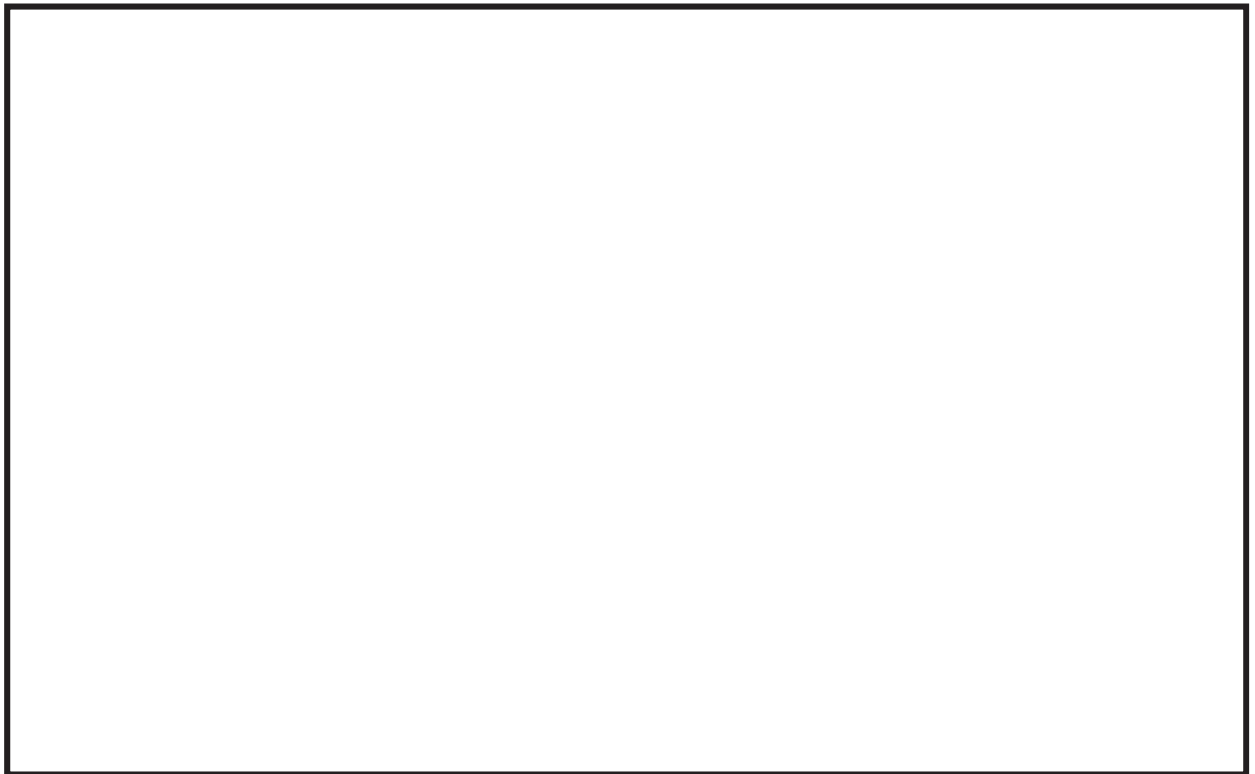
浸水防止蓋の評価対象部位は、地震に伴う慣性力が浸水防止蓋のスキンプレート、主桁、固定ボルト（1）及び枠に伝わり、浸水防止蓋を固定する固定ボルト（2）を介して軸体に伝達されることから、浸水防止蓋の評価対象部位は、スキンプレート、主桁、固定ボルト（1）、枠及び固定ボルト（2）とする。評価対象部位を図3-1に示す。



浸水防止蓋（第3号機海水熱交換器建屋海水ポンプ設置エリア角落し部）

図3-1 評価対象部位（1／2）

枠囲みの内容は商業機密の観点から公開できません。



浸水防止蓋（第3号機海水熱交換器建屋海水ポンプ設置エリア点検用開口部）(No.1), (No.2)

図3-1 評価対象部位（2／2）

枠囲みの内容は商業機密の観点から公開できません。

4. 固有値解析

4.1 固有値解析の計算方法

浸水防止蓋の構造に応じて解析モデルを設定し、固有振動数を算出する。

4.1.1 解析モデルの設定

浸水防止蓋は、スキンプレート及び主桁の組合せにより剛な断面を有しているとともに、固定ボルト（1）及び枠を介し、固定ボルト（2）にて浸水防止蓋と軸体を固定する構造であることから、浸水防止蓋の主桁を両端支持はりに単純化したモデルとし、モデル化に用いるはり長さは、主桁の全長とする。図4-1に解析モデル図を示す。

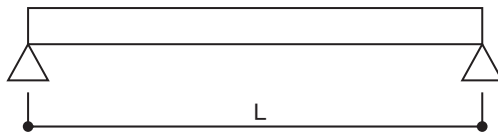


図4-1 浸水防止蓋の固有値解析モデル

4.1.2 記号の説明

浸水防止蓋の固有振動数算出に用いる記号を表4-1に示す。

表4-1 浸水防止蓋の固有振動数算出に用いる記号

記号	単位	定義
f	Hz	一次固有振動数
L	mm	はり長さ
E	N/mm ²	ヤング率
I	mm ⁴	断面二次モーメント
m	kg/mm	質量分布

4.1.3 固有振動数の算出方法

固有振動数 f を「土木学会構造力学公式集」を参考に以下の式より算出する。

$$f = \frac{\pi^2}{2\pi L^2} \cdot \sqrt{\frac{E \cdot I \cdot 10^3}{m}}$$

4.2 固有振動数の計算条件

固有振動数の計算条件を表 4-2 に固有振動数の計算条件を示す。

表 4-2 固有振動数の計算条件

設備名称	はり長さ L (mm)	ヤング率 E (N/mm ²)	断面二次 モーメン I (mm ⁴)	質量分布 m (kg/mm)
浸水防止蓋（第 3 号機海水熱交換器建屋海水ポンプ設置エリア角落し部）	420	1.93×10^5	7.11×10^5	0.097
浸水防止蓋（第 3 号機海水熱交換器建屋海水ポンプ設置エリア点検用開口部）(No. 1), (No. 2)	1000	1.93×10^5	4.50×10^6	0.080

4.3 固有振動数の計算結果

固有振動数の計算結果を表 4-3 に示す。固有振動数は、20Hz 以上であることから、剛構造である。

表 4-3 固有振動数の算出結果

設備名称	固有振動数(Hz)
浸水防止蓋（第 3 号機海水熱交換器建屋海水ポンプ設置エリア角落し部）	335
浸水防止蓋（第 3 号機海水熱交換器建屋海水ポンプ設置エリア点検用開口部）(No. 1), (No. 2)	163

5. 構造強度評価

5.1 構造強度評価方法

浸水防止蓋の耐震評価は、添付書類「VI-2-1-9 機能維持の基本方針」にて設定している荷重及び荷重の組合せ並びに許容限界を踏まえて、「3. 評価対象部位及び評価対象設備」にて設定する評価対象部位に生じる応力等が「5.3 許容限界」にて示す許容限界以下であることを確認する。

5.2 荷重及び荷重の組合せ

5.2.1 荷重の組合せ

浸水防止蓋の評価に用いる荷重の組合せを以下に示す。

$$G + S_s + P_s$$

ここで、 G : 固定荷重 (kN)

S_s : 基準地震動 S_s による地震荷重 (kN)

P_s : 積雪荷重 (kN)

5.2.2 荷重の設定

耐震評価に用いる荷重は、以下のとおりとする。

(1) 固定荷重 (G)

固定荷重として、浸水防止蓋を構成する部材の自重を考慮する。

(2) 積雪荷重 (P_s)

積雪荷重として、添付書類「VI-1-1-2 発電用原子炉施設の自然現象等による損傷の防止に関する説明書」のうち、添付書類「VI-1-1-2-1-1 発電用原子炉施設に対する自然現象等による損傷の防止に関する基本方針」に基づき 43cm の積雪量を想定し、平均的な積雪荷重を与えるための係数 0.35 を考慮する。

積雪荷重による質量は以下に式より算出する。

$$P_s = 0.35 \cdot W_s \cdot d_s \cdot A \cdot 10^{-3}$$

ここで、 P_s : 積雪荷重 (kN)

W_s : 1cm 当りの積雪荷重 20 (N/m²)

d_s : 積雪高さ 43 (cm)

A : 浸水防止蓋の面積 (m²)

(3) 基準地震動 S_s による地震荷重 (S_s)

地震荷重として、基準地震動 S_s による慣性力を考慮する。ここで、地震荷重は、浸水防止蓋の固定荷重及び積雪荷重に設計震度を乗じた次式により算出する。

$$S_s = (G + P_s) \cdot k$$

ここで、 S_s : 基準地震動 S_s による地震荷重 (kN)

G : 固定荷重 (kN)

P_s : 積雪荷重 (kN)

k : 基準地震動 S_s の設計震度

5.3 許容限界

許容限界は、添付書類「VI-2-1-9 機能維持の基本方針」にて設定している許容限界を踏まえて設定する。

5.3.1 使用材料

浸水防止蓋を構成するスキンプレート、主桁、固定ボルト（1）、固定ボルト（2）及び枠の使用材料を表5-1に示す

表5-1 使用材料

設備名称	評価対象部位	材質	仕様
浸水防止蓋（第3号機海水熱交換器建屋海水ポンプ設置エリア角落し部）	スキンプレート	SUS304	$t = 16$ (mm)
	主桁	SUS304	C-80×40×5×5 (mm)
	固定ボルト（1）	SUS304	M16
	固定ボルト（2）	SUS304	M16
浸水防止蓋（第3号機海水熱交換器建屋海水ポンプ設置エリア点検用開口部）(No.1), (No.2)	スキンプレート	SUS304	$t = 12$ (mm)
	主桁	SUS304	PL-16×150 (mm)
	固定ボルト（1）	SUS304	M30
	固定ボルト（2）	SUS304	M16
	枠	SUS304	H-150×150×7×10 (mm)

5.3.2 許容限界

（1）スキンプレート、主桁、固定ボルト（1）

鋼材の許容応力度は、「鋼構造設計規準—許容応力度設計法一（日本建築学会、2005年改定）」を踏まえて表5-2の値とする。

表5-2 鋼材の短期許容応力度

材質	短期許容応力度 (N/mm ²)		
	曲げ	引張	せん断
SUS304	205	205	118

注：許容応力度を決定する場合の基準値Fは、日本産業規格（JIS）に基づく。

(2) 固定ボルト (2)

固定ボルト (2) の許容応力は、「3. 評価対象部位及び評価対象設備」に記載した固定ボルト (2) に作用する荷重の向きを踏まえて、「各種合成構造設計指針・同解説（日本建築学会, 2010 年改定）」に基づき算定する。

固定ボルト (2) は躯体に埋め込まれていることから、固定ボルト (2) が引張力を受ける場合においては、固定ボルト (2) の降伏により決まる許容荷重 (P_{a1})、付着力により決まる許容荷重 (P_{a3}) を比較して、いずれか小さい値を採用する。また、固定ボルト (2) がせん断力を受ける場合においては、固定ボルト (2) のせん断強度により決まる許容荷重 (q_{a1})、定着したコンクリート躯体の支圧強度により決まる許容荷重 (q_{a2}) 及びコーン状破壊により決まる許容荷重 (q_{a3}) を比較して、いずれか小さい値を採用する。

突き上げ津波荷重を考慮する場合の固定ボルト (2) の許容荷重設定に用いる入力値を表 5-3 及び表 5-4 に、許容荷重を表 5-5 及び表 5-6 に示す。

引張力を受ける場合

$$P_{a1} = \Phi_1 \cdot {}_s\sigma_{pa} \cdot {}_{sc}a$$

$$P_{a3} = \Phi_3 \cdot \tau_a \cdot \pi \cdot d_a \cdot l_{ce}$$

ここで、 P_{a1} : 固定ボルトの降伏により決まる場合の固定ボルト 1 本当たりの許容引張力 (N)

P_{a3} : 固定ボルトの付着力により決まる場合の固定ボルト 1 本当たりの許容引張力 (N)

Φ_1 : 低減係数 (短期荷重用)

Φ_3 : 低減係数 (短期荷重用)

${}_s\sigma_{pa}$: 固定ボルトの引張強度 ($= {}_s\sigma_y$) (N/mm²)

${}_s\sigma_y$: 固定ボルトの規格降伏点強度 (N/mm²)

${}_{sc}a$: 固定ボルトの断面積 (mm²)

d_a : 固定ボルトの径 (mm)

l_{ce} : 固定ボルトの強度算定用埋込み長さ ($= l_e - 2d_a$) (mm)

τ_a : ヘリあき及び固定ボルトのピッチによる付着強度の低減係数

せん断力を受ける場合

$$q_{a1} = \Phi_1 \cdot s\sigma_{qa} \cdot s_c a$$

$$q_{a2} = \Phi_2 \cdot c\sigma_{qa} \cdot s_c a$$

$$q_{a3} = \Phi_2 \cdot c\sigma_t \cdot A_{qc}$$

ここで, q_{a1} : 固定ボルトのせん断強度により決まる場合の固定ボルト 1 本当たりの許容せん断力 (N)

q_{a2} : 定着した軸体の支圧強度により決まる場合の固定ボルト 1 本当たりの許容せん断力 (N)

q_{a3} : 定着した軸体のコーン状破壊により決まる場合の固定ボルト 1 本当たりの許容せん断力 (N)

Φ_1 : 低減係数 (短期荷重用)

Φ_2 : 低減係数 (短期荷重用)

$s\sigma_{qa}$: 固定ボルトのせん断強度 ($= 0.7 \cdot s\sigma_y$) (N/mm²)

$s\sigma_y$: 固定ボルトの規格降伏点強度 (N/mm²)

$s_c a$: 固定ボルトの断面積 (mm²)

$c\sigma_{qa}$: コンクリートの支圧強度 (N/mm²) ($= 0.5 \sqrt{F_c \cdot E_c}$)

$c\sigma_t$: コーン状破壊に対するコンクリートの引張強度 (N/mm²)

$$(= 0.31 \sqrt{F_c})$$

F_c : コンクリートの設計基準強度 (N/mm²)

E_c : コンクリートのヤング係数 (N/mm²)

A_{qc} : せん断力に対するコーン状破壊面の有効投影面積 (mm²)

表 5-3 浸水防止蓋（第3号機海水熱交換器建屋海水ポンプ設置エリア角落し部）の
固定ボルトの許容荷重の設定に用いる入力値

記号	単位	定義	数値
Φ_1	—	低減係数（短期荷重用）	1.0
Φ_2	—	低減係数（短期荷重用）	2/3
Φ_3	—	低減係数（短期荷重用）	2/3
$s \sigma_{pa}$	N/mm ²	固定ボルトの引張強度	205
$s \sigma_y$	N/mm ²	固定ボルトの規格降伏点強度	205
$s_c a$	mm ²	固定ボルトの断面積	157
d_a	mm	固定ボルトの径	16
l_{ce}	mm	固定ボルトの強度算定用埋込み長さ	82
τ_a	—	へりあき及び固定ボルトのピッチによる付着強度の 低減係数	12.17
$s \sigma_{qa}$	N/mm ²	固定ボルトのせん断強度	143.5
$c \sigma_{qa}$	N/mm ²	コンクリートの支圧強度	450
$c \sigma_t$	N/mm ²	コーン状破壊に対するコンクリートの引張強度	1.76
F_c	N/mm ²	コンクリートの設計基準強度	32.4
E_c	N/mm ²	コンクリートのヤング係数	25100
A_{qc}	mm ²	せん断力に対するコーン状破壊面の有効投影面積	19007

表 5-4 浸水防止蓋（第3号機海水熱交換器建屋海水ポンプ設置エリア点検用開口部）
 (No. 1) (No. 2) の固定ボルトの許容荷重の設定に用いる入力値

記号	単位	定義	数値
Φ_1	—	低減係数（短期荷重用）	1.0
Φ_2	—	低減係数（短期荷重用）	2/3
Φ_3	—	低減係数（短期荷重用）	2/3
$s \sigma_{pa}$	N/mm ²	固定ボルトの引張強度	205
$s \sigma_y$	N/mm ²	固定ボルトの規格降伏点強度	205
$s_c a$	mm ²	固定ボルトの断面積	157
d_a	mm	固定ボルトの径	16
l_{ce}	mm	固定ボルトの強度算定用埋込み長さ	82
τ_a	—	へりあき及び固定ボルトのピッチによる付着強度の 低減係数	12.42
$s \sigma_{qa}$	N/mm ²	固定ボルトのせん断強度	143.5
$c \sigma_{qa}$	N/mm ²	コンクリートの支圧強度	450
$c \sigma_t$	N/mm ²	コーン状破壊に対するコンクリートの引張強度	1.76
F_c	N/mm ²	コンクリートの設計基準強度	32.4
E_c	N/mm ²	コンクリートのヤング係数	25100
A_{qc}	mm ²	せん断力に対するコーン状破壊面の有効投影面積	37738

表 5-5 浸水防止蓋（第3号機海水熱交換器建屋海水ポンプ設置エリア角落し部）の
固定ボルト（2）の短期許容荷重

材質	短期許容荷重 (kN)						
	引張			せん断			
	P _{a1}	P _{a3}	設定値	q _{a1}	q _{a2}	q _{a3}	設定値
SUS304	32.1	33.4	32.1	22.5	47.1	22.3	22.3

表 5-6 浸水防止蓋（第3号機海水熱交換器建屋海水ポンプ設置エリア点検用開口部）
(No. 1), (No. 2) の固定ボルト（2）の短期許容荷重

材質	短期許容荷重 (kN)						
	引張			せん断			
	P _{a1}	P _{a3}	設定値	q _{a1}	q _{a2}	q _{a3}	設定値
SUS304	32.1	34.1	32.1	22.5	47.1	44.2	22.5

5.4 設計用地震力

「4. 固有値解析」に示したとおり浸水防止蓋の固有振動数が 20Hz 以上であることを確認したため、浸水防止蓋の耐震評価に用いる設計震度は、材料物性の不確かさを考慮したものとして添付書類「VI-2-2-29 第3号機海水熱交換器建屋の地震応答計算書」の地震応答解析結果を用いる。地震応答解析ケースを表 5-7 に、設計震度を表 5-8 に示す。

表 5-7 地震応答解析ケース

対象地震動	ケース名	スケルトンカーブ		建屋材料減衰	地盤物性	
		初期剛性	終局耐力		入力地震動	底面地盤ばね
基準地震動 S s (水平)	ケース 1 (基本ケース)	2011 年 3 月 11 日東北地方太平洋沖地震の観測記録を用いたシミュレーション解析により補正	設計基準強度を用い JEAG 式で評価	5%	表層地盤の非線形性を考慮	標準地盤
	ケース 2	同上	同上	同上	同上	標準地盤 + σ
	ケース 3					標準地盤 - σ
	ケース 4	基本ケースの 0.53 倍*	同上	同上	同上	標準地盤
	ケース 5					標準地盤 + σ
	ケース 6					標準地盤 - σ
基準地震動 S s (鉛直)	ケース 1 (基本ケース)	設計剛性	—	5%	直接入力	標準地盤
	ケース 2	同上	—	同上	同上	標準地盤 + σ
	ケース 3					標準地盤 - σ

注記＊：建屋剛性（初期剛性）の不確かさについて、基準地震動 S s 入力後の建屋全体の平均的な剛性低下を全ての基準地震動 S s について評価し、最も剛性低下するケースの以下の剛性を初期剛性的不確かさとして考慮する。具体的には、基準地震動 S s 入力前後の 1 次固有振動数の比 ($f_{\text{ss,入}}/f_{\text{ss,ナガ}}$) を基本ケースの初期剛性に掛けることによって算定する。

表 5-8 設計震度

地震時荷重算出位置 (m)	地震応答解析結果				設計震度
	方向	基準地震動 S s	ケース	最大加速度 (cm/s ²)	
O.P. 8.00	NS	S s - D 2	5	1827	$k_H = 1.87$
	EW	S s - D 2	5	1531	
	UD	S s - D 3	2	1082	$k_V = 1.11$

凡例
 (1) : 要素番号
 1● : 質点番号

O.P.
(m)
15.0

8.0

-1.1

-9.5

-12.5

(1)
(2)
(3)
(4)
(5)

回転ばね
地盤ばね

(水平方向)

O.P.
(m)
15.0

8.0

-1.1

-9.5

-12.5

(1)
(2)
(3)
(4)
(5)

鉛直ばね

(鉛直方向)

注：表中の 0.P. は第 3 号機海水熱交換器建屋の地震応答計算書での値を示す。

5.5 評価方法

浸水防止蓋を構成する主桁、スキンプレート、固定ボルト（1）及び枠に発生する応力度並びに固定ボルト（2）に発生する応力が、許容限界以下であることを確認する。

主桁とスキンプレートについては、箇所によって評価結果に差異が生じることから、図5-1、図5-2にそれぞれ評価の対象とする主桁、スキンプレートを示す。また、図5-3に、固定ボルト（1）、固定ボルト（2）及び枠の納まりを示す。

5.5.1 主桁

主桁の支持条件は両端をピン支持とし、図5-1に示すとおり、主桁が荷重を負担する範囲が最も大きくなり、評価上最も厳しい条件となるよう評価を実施する。

(1) 基準地震動 S_s による地震荷重 S_s

$$S_s = (G + P_s) \cdot k_v$$

ここで、 S_s : 基準地震動 S_s による地震荷重 (kN)

G : 固定荷重 (kN)

P_s : 積雪荷重 (kN)

k_v : 基準地震動 S_s の鉛直方向の設計震度

(2) 主桁に作用する単位長さ当たりの鉛直方向の等分布荷重 W_{ss}'

$$W_{ss}' = (G + S_s + P_s) \cdot L_1 \cdot 10^{-3} / A$$

ここで、 W_{ss}' : 主桁に作用する単位長さ当たりの鉛直方向の等分布荷重 (kN/m)

G : 固定荷重 (kN)

S_s : 基準地震動 S_s による地震荷重 (kN)

P_s : 積雪荷重 (kN)

L_1 : 主桁の負担幅 (mm)

A : 浸水防止蓋の面積 (m^2)

(3) 主桁に生じる最大せん断応力度 τ

$$\tau = (Q \cdot 10^3) / A_s$$

τ : 主桁に生じる最大せん断応力度 (N/mm^2)

Q : 主桁に生じる最大せん断力 (kN)

A_s : 主桁のせん断面積 (mm^2)

ここで、 $Q = 1/2 \cdot W_{ss}' \cdot L_2 \cdot 10^{-3}$

W_{ss}' : 主桁に作用する単位長さ当たりの鉛直方向の等分布荷重 (kN/m)

L_2 : 主桁全長 (mm)

(4) 主桁に生じる最大曲げ応力度 σ

$$\sigma = M \cdot 10^6 / Z$$

σ : 主桁に生じる最大曲げ応力度 (N/mm²)

M : 主桁に生じる最大曲げモーメント (kN · m)

Z : 主桁の断面係数 (mm³)

$$\text{ここで, } M = 1/8 \cdot W_{ss} \cdot (L_2 \cdot 10^{-3})^2$$

W_{ss} : 主桁に作用する単位長さ当たりの鉛直方向の等分布荷重 (kN/m)

L_2 : 主桁全長 (mm)

(5) 主桁に生じる組合せ応力度

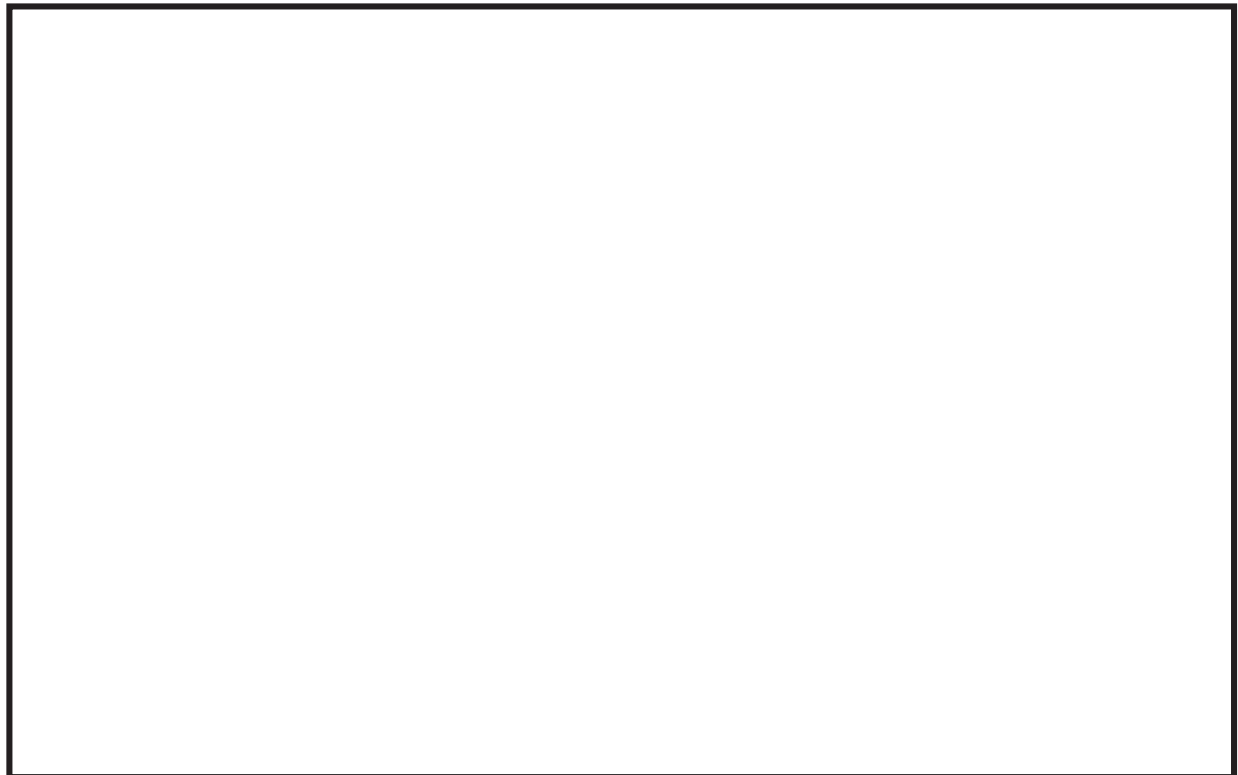
主桁に生じる曲げ応力度とせん断応力度から、組合せ応力度を「鋼構造設計規準－許容応力度設計法－（日本建築学会、2005年改定）」に基づく次式により算定し、短期許容応力度以下であることを確認する。

$$x = \sqrt{\sigma^2 + 3 \cdot \tau^2}$$

x : 組合せ応力度 (N/mm²)

σ : 最大曲げ応力度 (N/mm²)

τ : 最大せん断応力度 (N/mm²)



(a) 角落し部 (平面図)

(b) 点検用開口部(平面図)

図 5-1 評価の対象とする主桁

枠囲みの内容は商業機密の観点から公開できません。

5.5.2 スキンプレート

図5-2に示す通り、スキンプレートが荷重を負担する範囲が最も大きくなり、評価上最も厳しい条件となるよう評価を実施する。

(1) 基準地震動 S_s による地震荷重 S_s

$$S_s = (G + P_s) \cdot k_v$$

ここで、 S_s : 基準地震動 S_s による地震荷重 (kN)

G : 固定荷重 (kN)

P_s : 積雪荷重 (kN)

k_v : 基準地震動 S_s の鉛直方向の設計震度

(2) スキンプレートに作用する単位面積当たりの鉛直方向の等分布荷重 W_{ss}

$$W_{ss} = (G + S_s + P_s) / A$$

ここで、 W_{ss} : スキンプレートに作用する単位面積当たりの鉛直方向の等分布荷重 (kN/m^2)

G : 固定荷重 (kN)

S_s : 基準地震動 S_s による地震荷重 (kN)

P_s : 積雪荷重 (kN)

A : 浸水防止蓋の面積 (m^2)

(3) スキンプレートに生じる最大曲げ応力度 σ

スキンプレートに生じる曲げ応力度は機械工学便覧に基づき次式より算出する。

$$\sigma = \beta_1 \cdot W_{ss} \cdot L_4^2 \cdot 10^{-3} / t^2$$

ここで、 σ : スキンプレートに生じる最大曲げ応力度 (N/mm^2)

W_{ss} : スキンプレートに作用する単位面積当たりの鉛直方向の等分布荷重 (kN/m^2)

L_4 : スキンプレートの支持短辺長さ (mm)

β_1 : スキンプレートの辺長比に応じた係数

t : スキンプレートの厚さ (mm)

(4) スキンプレートに生じる最大せん断応力度 τ

$$\tau = W_{ss} \cdot L_3 \cdot L_4 \cdot 10^{-3} / \{2 \cdot (L_3 + L_4) \cdot t\}$$

ここで、 τ : スキンプレートに生じる最大せん断応力度 (N/mm^2)

W_{ss} : スキンプレートに作用する単位面積当たりの鉛直方向の等分布荷重 (kN/m^2)

L_3 : スキンプレートの支持長辺長さ (mm)

L_4 : スキンプレートの支持短辺長さ (mm)

t : スキンプレートの厚さ (mm)

(5) 曲げ応力度とせん断応力度の組合せに対する検討

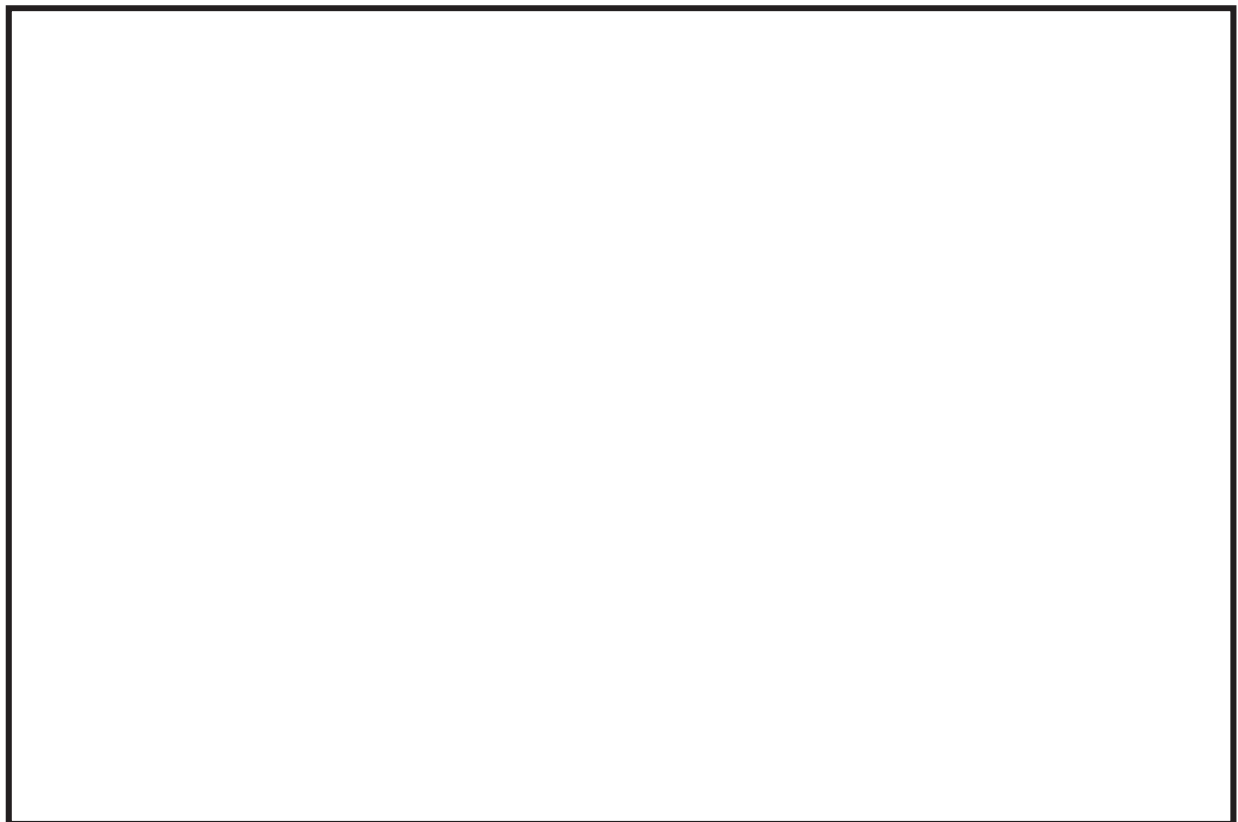
スキンプレートに生じる曲げ応力度、せん断応力度を算定し、スキンプレートの短期許容応力度以下であることを確認する。またスキンプレートに生じる曲げ応力度とせん断応力度から、組合せ応力度を「鋼構造設計規準—許容応力度設計法一（日本建築学会、2005年改定）」に基づく次式により算定し、短期許容応力度以下であることを確認する。

$$x = \sqrt{\sigma^2 + 3 \cdot \tau^2}$$

x : 組合せ応力度 (N/mm²)

σ : 最大曲げ応力度 (N/mm²)

τ : 最大せん断応力度 (N/mm²)



(a) 角落し部 (平面図)

(b) 点検用開口部(平面図)

図 5-2 評価の対象とするスキンプレート

枠囲みの内容は商業機密の観点から公開できません。

5.5.3 固定ボルト (1)

(1) 基準地震動 S_s による水平方向の地震荷重 S_s

$$S_s = (G + P_s) \cdot k_H$$

ここで, S_s : 基準地震動 S_s による水平方向の地震荷重(kN)

G : 固定荷重(kN)

P_s : 積雪荷重(kN)

k_H : 基準地震動 S_s の水平方向の設計震度

(2) 基準地震動 S_s による鉛直方向の地震荷重 S_s

$$S_s = (G + P_s) \cdot k_V$$

ここで, S_s : 基準地震動 S_s による鉛直方向の地震荷重(kN)

G : 固定荷重(kN)

P_s : 積雪荷重(kN)

k_V : 基準地震動 S_s の鉛直方向の設計震度

(3) 固定ボルト (1) 1 本当に生じる引張応力度 σ_t

$$\sigma_t = T_s \cdot 10^3 / A'$$

ここで, $T_s = S_s / n_s$

σ_t : 固定ボルト (1) 1 本当に生じる引張応力度(N/mm²)

T_s : 固定ボルト (1) 1 本当に作用する引張力(kN)

S_s : 基準地震動 S_s による鉛直方向の地震荷重(kN)

n_s : 固定ボルト (1) の本数(本)

A' : 固定ボルト (1) の有効断面積(mm²)

(4) 固定ボルト (1) 1 本当に生じるせん断応力度 τ_s

$$\tau_s = q_s \cdot 10^3 / A'$$

ここで, $q_s = S_s / n_s$

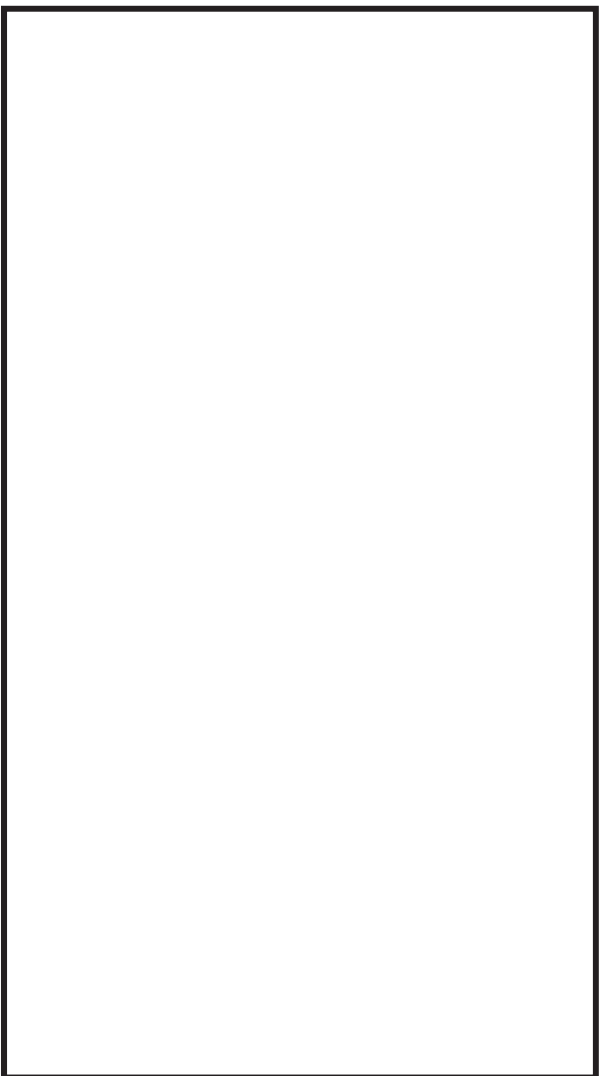
τ_s : 固定ボルト (1) 1 本当に生じるせん断応力度(N/mm²)

q_s : 固定ボルト (1) 1 本当に作用するせん断力(kN)

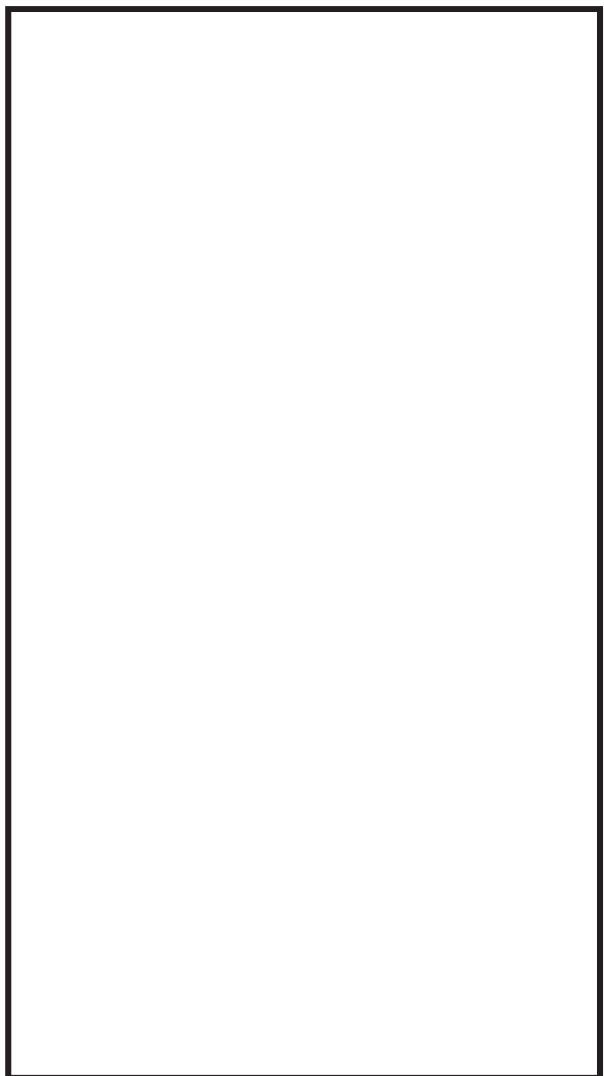
S_s : 基準地震動 S_s による水平方向の地震荷重(kN)

n_s : 固定ボルト (1) の本数(本)

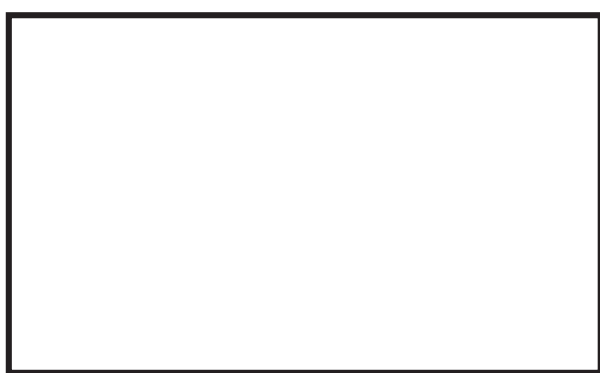
A' : 固定ボルト (1) の有効断面積(mm²)



平面図



A-A 断面図



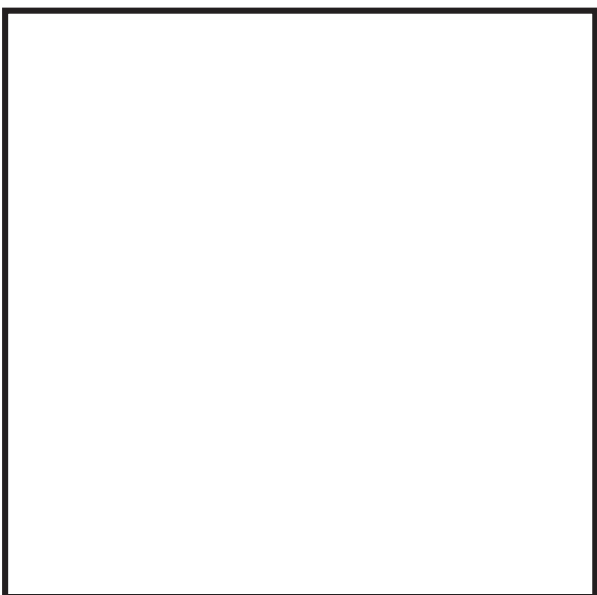
B-B 断面図



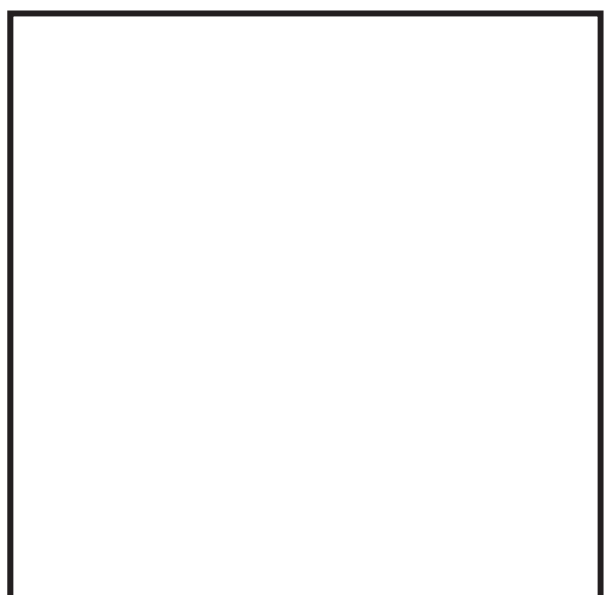
C 部詳細図

図 5-3 固定ボルト (1) 及び固定ボルト (2) の納まり (1/2)

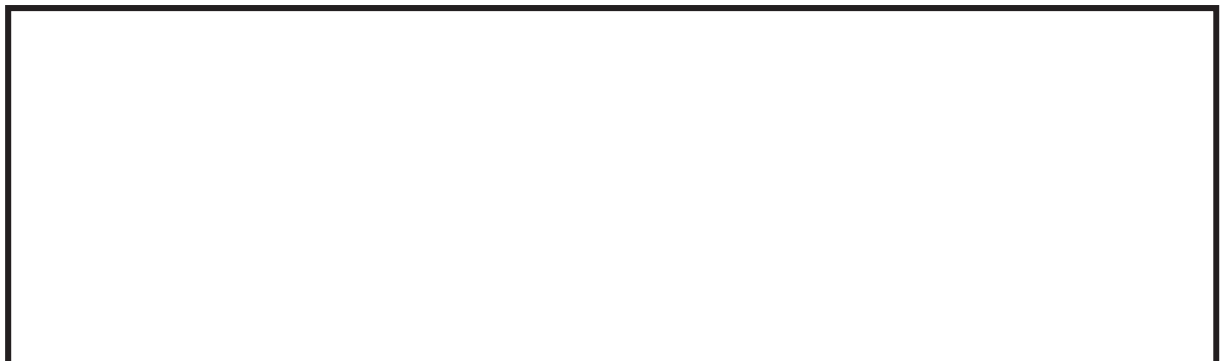
枠囲みの内容は商業機密の観点から公開できません。



平面図



A-A 断面



B-B 断面



C部詳細図

図 5-3 固定ボルト (1) 及び固定ボルト (2) の納まり (2/2)

枠囲みの内容は商業機密の観点から公開できません。

5.5.4 固定ボルト (2)

- (1) 基準地震動 S_s による水平方向の地震荷重 S_s

$$S_s = (G + P_s) \cdot k_H$$

ここで, S_s : 基準地震動 S_s による水平方向の地震荷重(kN)

G : 固定荷重(kN)

P_s : 積雪荷重(kN)

k_H : 基準地震動 S_s の水平方向の設計震度

- (2) 基準地震動 S_s による鉛直方向の地震荷重 S_s

$$S_s = (G + P_s) \cdot k_V$$

ここで, S_s : 基準地震動 S_s による鉛直方向の地震荷重(kN)

G : 固定荷重(kN)

P_s : 積雪荷重(kN)

k_V : 基準地震動 S_s の鉛直方向の設計震度

- (3) 固定ボルト (2) 1 本当に作用する引張力 T_d

$$T_d = S_s / N$$

ここで, T_d : 固定ボルト (2) 1 本当に作用する引張力(kN)

S_s : 基準地震動 S_s による鉛直方向の地震荷重(kN)

N : 固定ボルト (2) の本数(本)

- (4) 固定ボルト (2) 1 本当に作用するせん断力 q

$$q = S_s / N$$

ここで, q : 固定ボルト (2) 1 本当に作用するせん断力(kN)

S_s : 基準地震動 S_s による水平方向の地震荷重(kN)

N : 固定ボルト (2) の本数(本)

5.5.5 枠

枠の上フランジについては、直接荷重を負担しない構造となっていることから、下フランジ及びウェブについて評価を実施する。

(1) 枠下フランジに生じる最大曲げ応力度 σ_f

$$\sigma_f = (M_f \cdot 10^6) / Z_f$$

σ_f : 枠下フランジに生じる最大曲げ応力度 (N/mm²)

M_f : 枠下フランジに作用する最大曲げモーメント (kN・m)

Z_f : 枠下フランジの断面係数 (mm³)

ここで、 $M_f = S_s / 8 \cdot L_7 \cdot 10^{-3}$

$$S_s = (G + P_s) \cdot k_v$$

S_s : 基準地震動 S_s による鉛直方向の地震荷重 (kN)

L_7 : 枠ウェブ部中心から下フランジ端部までの距離 (mm)

G : 固定荷重 (kN)

P_s : 積雪荷重 (kN)

k_v : 基準地震動 S_s の鉛直方向の設計震度

(2) 枠下フランジに生じる最大せん断応力度 τ_f

$$\tau_f = Q_f \cdot 10^3 / A_f$$

$$Q_f = S_s / 8$$

$$S_s = (G + P_s) \cdot k_v$$

τ_f : 枠下フランジに生じる最大せん断応力度 (N/mm²)

Q_f : 枠下フランジに生じる最大せん断力 (kN)

S_s : 基準地震動 S_s による鉛直方向の地震荷重 (kN)

A_f : 枠下フランジのせん断面積 (mm²)

G : 固定荷重 (kN)

P_s : 積雪荷重 (kN)

k_v : 基準地震動 S_s の鉛直方向の設計震度

(3) 枠ウェブ部に生じる組合せ応力度 x

$$x = \sqrt{\sigma_f^2 + 3 \cdot \tau_f^2}$$

x : 組合せ応力度 (N/mm²)

σ_f : 枠下フランジに生じる最大曲げ応力度 (N/mm²)

τ_f : 枠下フランジに生じる最大せん断応力度 (N/mm²)

- (4) 水平方向の地震荷重により柱ウェブ部に作用する最大せん断力 Q_w

$$Q_w = S_s / 2$$

$$S_s = (G + P_s) \cdot k_H$$

Q_w : 柱ウェブ部に作用する水平方向の最大せん断力 (kN)

S_s : 基準地震動 S_s による水平方向の地震荷重 (kN)

G : 固定荷重 (kN)

P_s : 積雪荷重 (kN)

k_H : 基準地震動 S_s の水平方向の設計震度

- (5) 水平方向の地震荷重により柱ウェブ部に生じる最大せん断応力度 τ_w

$$\tau_w = (Q_w \cdot 10^3) / A_{sw}$$

τ_w : 水平方向の地震荷重により柱ウェブ部に生じる
最大せん断応力度 (N/mm^2)

Q_w : 柱ウェブ部に作用する最大せん断力 (kN)

A_{sw} : 柱ウェブ部のせん断面積 (mm^2)

- (6) 鉛直方向の地震荷重により柱ウェブ部に作用する最大圧縮力 C_w

$$C_w = S_s / 4$$

C_w : 鉛直方向の地震荷重により柱ウェブ部に作用する最大圧縮力 (kN)

S_s : 基準地震動 S_s による鉛直方向の地震荷重 (kN)

- (7) 鉛直方向の地震荷重により柱ウェブ部に生じる最大圧縮応力度 σ_{cw}

$$\sigma_{cw} = (C_w \cdot 10^3) / A_w$$

σ_{cw} : 鉛直方向の地震荷重により柱ウェブ部に生じる最大圧縮応力度 (N/mm^2)

A_w : 柱ウェブ部の断面積 (mm^2)

5.6 評価条件

浸水防止蓋の耐震評価に用いる入力値を表 5-9 及び表 5-10 に示す。

表 5-9 浸水防止蓋（第 3 号機海水熱交換器建屋海水ポンプ設置エリア角落し部）
の耐震評価に用いる入力値

評価対象 部位	記号	単位	定義	数値
共通	G	kN	固定荷重	3.040
	P _s	kN	積雪荷重	0.481
主桁	A	m ²	浸水防止蓋の面積	1.6
	L ₁	mm	主桁の負担幅	430
	L ₂	mm	主桁全長	420
	A _s	mm ²	せん断断面積	400
	Z	mm ³	断面係数	1.78×10 ⁴
スキン プレート	A	m ²	浸水防止蓋の面積	1.6
	L ₃	mm	スキンプレートの支持長辺長さ	430
	L ₄	mm	スキンプレートの支持短辺長さ	420
	β ₁	—	スキンプレートの辺長比に応じた係数	0.4
	t	mm	スキンプレートの厚さ	16
固定 ボルト(1)	n _s	本	固定ボルト(1)の本数	36
	A'	mm ²	固定ボルト(1)の有効断面積	157
固定 ボルト(2)	N	本	固定ボルト(2)の本数	27

表 5-10 浸水防止蓋（第3号機海水熱交換器建屋海水ポンプ設置エリア点検用開口部）(No. 1) の
耐震評価に用いる入力値

評価対象 部位	記号	単位	定義	数値
共通	G	kN	固定荷重	3.138
	P _s	kN	積雪荷重	0.301
主桁	A	m ²	浸水防止蓋の面積	1.0
	L ₁	mm	主桁の負担幅	250
	L ₂	mm	主桁全長	1000
	A _s	mm ²	せん断断面積	2400
	Z	mm ³	断面係数	6.00 × 10 ⁴
スキン プレート	A	m ²	浸水防止蓋の面積	1.0
	L ₃	mm	スキンプレートの支持長辺長さ	250
	L ₄	mm	スキンプレートの支持短辺長さ	200
	β ₁	-	スキンプレートの辺長比に応じた係数	0.5
	t	mm	スキンプレートの厚さ	12
固定 ボルト(1)	n _s	本	固定ボルト(1)の本数	8
	A'	mm ²	固定ボルト(1)の有効断面積	561
固定 ボルト(2)	N	本	固定ボルト(2)の本数	15
枠	L ₇	mm	枠ウェブ部中心から下フランジ端部までの距離	75
	Z _w	mm ³	枠下フランジの断面係数	14170
	A _w	mm ²	枠ウェブ部の断面積	7000
	A _{s w}	mm ²	枠のせん断断面積	7000
	Z _f	mm ³	枠下フランジの断面係数	14170
	A _f	mm ²	枠下フランジのせん断断面積	10000

6. 評価結果

浸水防止蓋の耐震評価結果を表 6-1 及び表 6-2 に示す。各部材の断面検定を行った結果、全ての部材において発生応力又は応力度が許容限界以下であることを確認した。

表 6-1 浸水防止蓋(第 3 号機海水熱交換器建屋海水ポンプ設置エリア角落し部)
の耐震評価結果

評価対象部位		発生値(応力度又は荷重)		許容限界		検定値
主桁	曲げ	3	N/mm ²	205	N/mm ²	0.02 < 1.0
	せん断	2	N/mm ²	118	N/mm ²	0.02 < 1.0
	組合せ	5	N/mm ²	205	N/mm ²	0.03 < 1.0
スキンプレート	曲げ	2	N/mm ²	205	N/mm ²	0.01 < 1.0
	せん断	1	N/mm ²	118	N/mm ²	0.01 < 1.0
	組合せ	3	N/mm ²	205	N/mm ²	0.02 < 1.0
固定ボルト (1)	引張	1	N/mm ²	205	N/mm ²	0.01 < 1.0
	せん断	1	N/mm ²	118	N/mm ²	0.01 < 1.0
固定ボルト (2)	引張	0.2	kN	32.1	kN	0.01 < 1.0
	せん断	0.3	kN	22.3	kN	0.02 < 1.0
	組合せ	-		-		0.01 < 1.0

表 6-2 浸水防止蓋（第3号機海水熱交換器建屋海水ポンプ設置エリア点検用開口部）(No. 1) の
耐震評価結果

評価対象部位		発生値 (応力度又は荷重)		許容限界		検定値
主桁	曲げ	4	N/mm ²	205	N/mm ²	0.02 < 1.0
	せん断	1	N/mm ²	118	N/mm ²	0.01 < 1.0
	組合せ	5	N/mm ²	205	N/mm ²	0.03 < 1.0
スキンプレート	曲げ	2	N/mm ²	205	N/mm ²	0.01 < 1.0
	せん断	1	N/mm ²	118	N/mm ²	0.01 < 1.0
	組合せ	3	N/mm ²	205	N/mm ²	0.02 < 1.0
固定ボルト (1)	引張	1	N/mm ²	205	N/mm ²	0.01 < 1.0
	せん断	1	N/mm ²	118	N/mm ²	0.01 < 1.0
固定ボルト (2)	引張	0.3	kN	32.1	kN	0.01 < 1.0
	せん断	0.5	kN	22.5	kN	0.03 < 1.0
	組合せ	-		-		0.01 < 1.0
柱	下フランジ	曲げ	3	N/mm ²	205	N/mm ²
		せん断	1	N/mm ²	118	N/mm ²
		組合せ	4	N/mm ²	205	N/mm ²
	ウェブ	圧縮	1	N/mm ²	192	N/mm ²
		せん断	1	N/mm ²	118	N/mm ²

- 6. 浸水防護施設に関する補足資料
- 6.5 浸水防止設備に関する補足説明
- 6.5.3 浸水防止蓋に関する補足説明
- 6.5.3.6 浸水防止蓋（第3号機海水熱交換器建屋）の強度計算書に関する補足説明

目 次

1.	概要	1
2.	一般事項	2
2.1	配置概要	2
2.2	構造計画	4
2.3	評価方針	6
2.4	適用規格・基準等	7
2.5	記号の説明	8
3.	評価対象部位及び評価対象設備	10
4.	構造強度評価	12
4.1	構造強度評価方法	12
4.2	荷重及び荷重の組合せ	12
4.3	許容限界	16
4.4	評価方法	22
4.5	評価条件	32
5.	評価結果	36

1. 概要

本資料は、添付書類「VI-3-別添 3-1 津波への配慮が必要な施設の強度計算の方針」にて設定している構造強度に基づき、浸水防止設備のうち浸水防止蓋（第3号機海水熱交換器建屋海水ポンプ設置エリア角落し部）及び浸水防止蓋（第3号機海水熱交換器建屋海水ポンプ設置エリア点検用開口部）（No.1），（No.2）（以下、「浸水防止蓋」という。）が津波の冠水に伴う突き上げ荷重及び余震を考慮した荷重に対して津波防護対象設備を内包する建屋及び区画の設置された敷地に浸水することを防止するために、十分な構造健全性を有していることを説明するものである。

なお、浸水防止蓋の強度評価においては、平成23年3月11日に発生した東北地方太平洋沖地震による地殻変動に伴い、牡鹿半島全体で約1mの地盤沈下が発生したことを考慮する。

2. 一般事項

2.1 配置概要

浸水防止蓋は、第3号機海水熱交換器建屋海水ポンプ設置エリアの床面に設置する。

浸水防止蓋の設置位置図を図2-1に、浸水対策図を図2-2に示す。

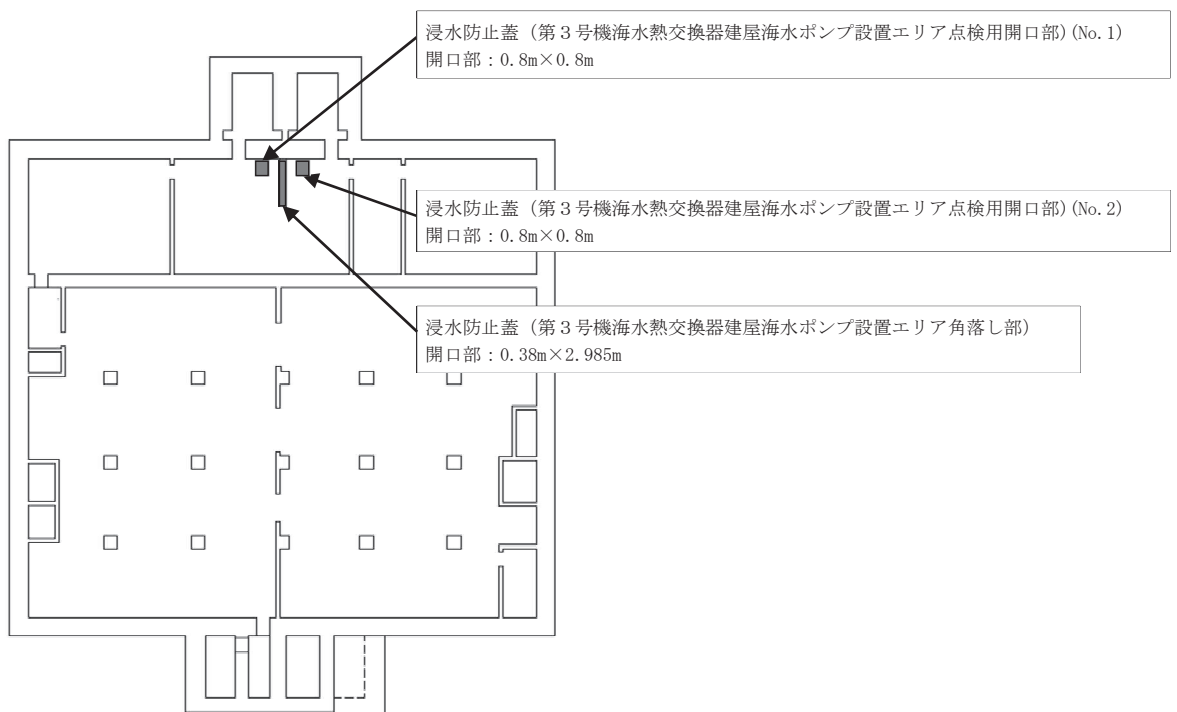
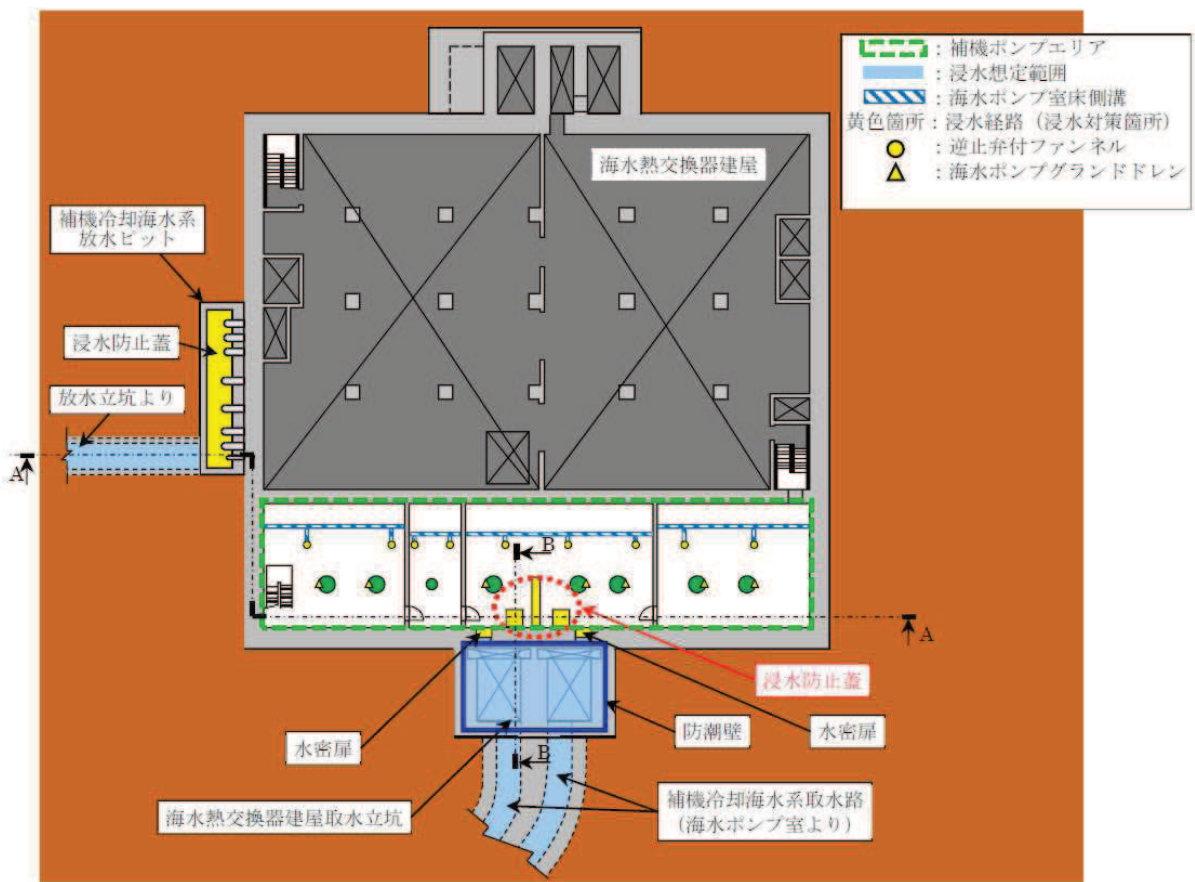
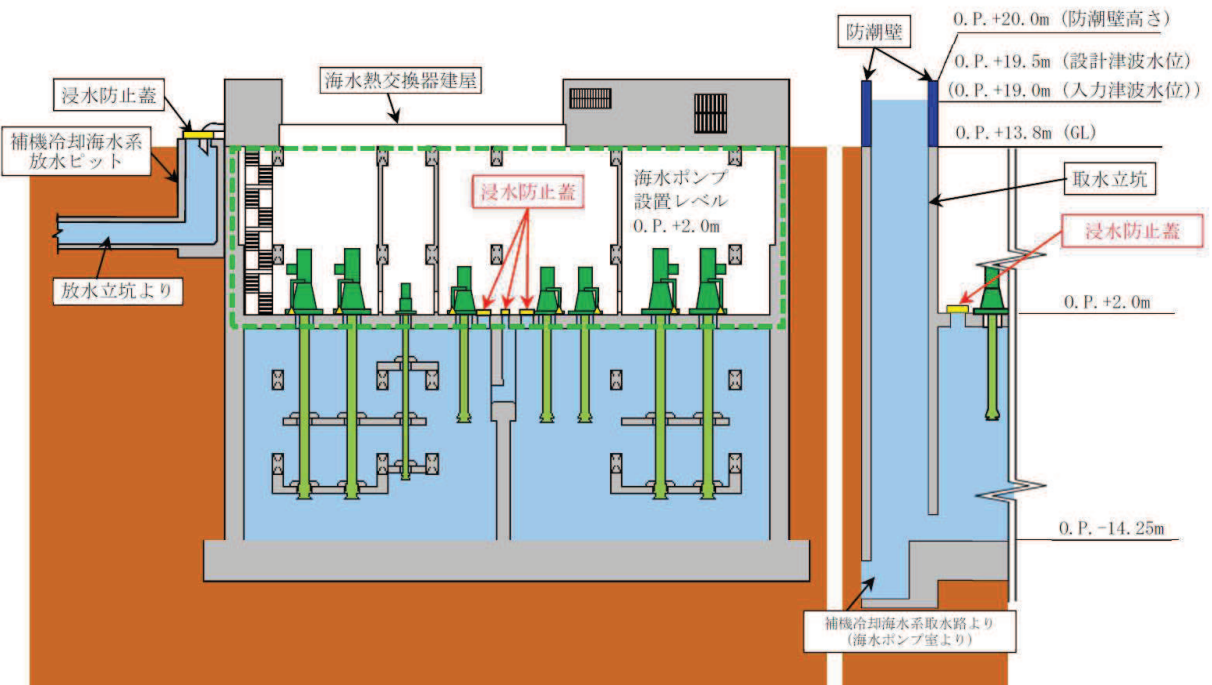


図2-1 浸水防止蓋の設置位置図
(第3号機海水熱交換器建屋 地下中2階)



平面図

図 2-2 第3号機海水熱交換器建屋 浸水対策配置図 (1/2)



A-A 断面図

B-B 断面図

図 2-2 第3号機海水熱交換器建屋 浸水対策配置図 (2/2)

2.2 構造計画

浸水防止蓋の構造は、長方形又は正方形のスキンプレートに主桁（溝形鋼又は鋼板）を組合せた構造とする。

浸水防止蓋は、第3号機海水熱交換器建屋海水ポンプ設置エリア床面に設置する固定ボルトにて固定する。浸水防止蓋の構造計画を表2-1に示す。

表 2-1 浸水防止蓋の構造計画

計画の概要		概略構造図
基礎・支持構造	主体構造	
第3号機海水熱交換器建屋海水ポンプ設置エリア床面に設置する固定ボルトで固定する。	浸水防止蓋及び固定ボルトにより構成する。	
		<p>浸水防止蓋(第3号機海水熱交換器建屋海水ポンプ設置エリア角落し部)</p> <p>浸水防止蓋(第3号機海水熱交換器建屋海水ポンプ設置エリア点検用開口部)(No.1), (No.2)</p>

枠囲みの内容は商業機密の観点から公開できません。

2.3 評価方針

浸水防止蓋の強度評価は、添付書類「VI-3-別添 3-1 津波への配慮が必要な施設の強度計算の方針」にて設定した荷重及び荷重の組合せ並びに許容限界に基づき、「2.2 構造計画」に示す浸水防止蓋の構造を踏まえ、「3. 評価対象部位及び評価対象設備」にて設定する評価対象部位において、「4. 構造強度評価」に示す方法にて確認する。強度評価の確認結果を「5. 評価結果」にて確認する。

強度評価フローを図 2-3 に記す。

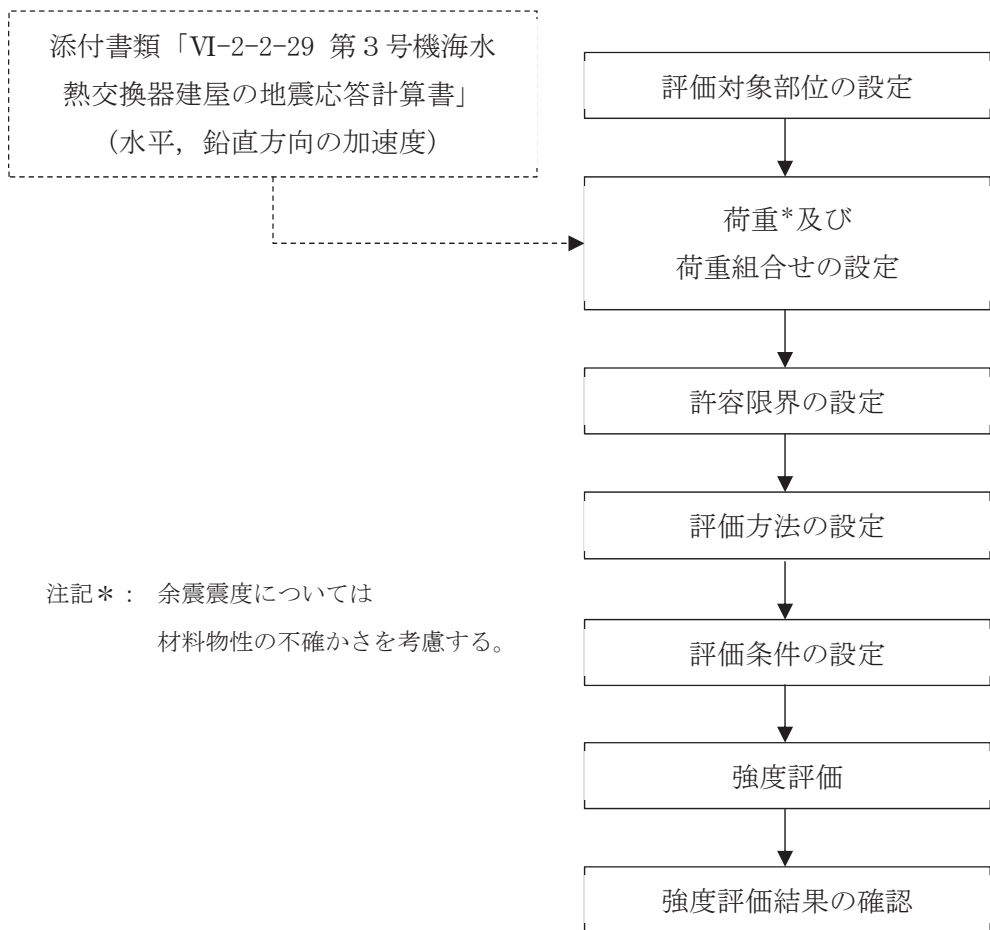


図 2-3 強度評価フロー

2.4 適用規格・基準等

適用する規格、基準等を以下に示す。

- ・ 建築基準法及び同施行令
- ・ 各種合成構造設計指針・同解説（日本建築学会、2010年改定）
- ・ 鋼構造設計規準—許容応力度設計法—（日本建築学会、2005年改定）
- ・ 機械工学便覧（日本機械学会、2005年改訂）

2.5 記号の説明

浸水防止蓋の強度評価に用いる記号を表2-2に示す。

表2-2 浸水防止蓋の強度評価に用いる記号 (1/2)

記号	単位	定義
S_d	kN	弾性設計用地震動 S_d-D_2 に伴う余震荷重
α_H	-	弾性設計用地震動 S_d-D_2 の水平方向の余震震度
α_V	-	弾性設計用地震動 S_d-D_2 の鉛直方向の余震震度
P_t	kN/m ²	突き上げ津波荷重
C_D	-	抗力係数
U	m/s	流速
g	m/s ²	重力加速度
H	mm	評価高さ
P_s	kN	積雪荷重
W_s	N/m ²	1 cm当たりの積雪荷重
d_s	cm	積雪高さ
A	m ²	浸水防止蓋の面積
W_ss	kN/m ²	単位面積当たりの等分布荷重
W_ss'	kN/m	単位長さ当たりの等分布荷重
τ	N/mm ²	最大せん断応力度
σ	N/mm ²	最大曲げ応力度
Q	kN	最大せん断力
M	kN・m	最大曲げモーメント
x	N/mm ²	組合せ応力度
A_s	mm ²	せん断断面積
Z	mm ³	断面係数
L ₁	mm	主桁の負担幅
L ₂	mm	主桁全長
L ₃	mm	スキンプレートの支持長辺長さ
L ₄	mm	スキンプレートの支持短辺長さ
L ₅	mm	スキンプレートの突き上げ津波受圧面長辺長さ
L ₆	mm	スキンプレートの突き上げ津波受圧面短辺長さ
β_1	-	スキンプレートの辺長比に応じた係数
t	mm	スキンプレートの厚さ

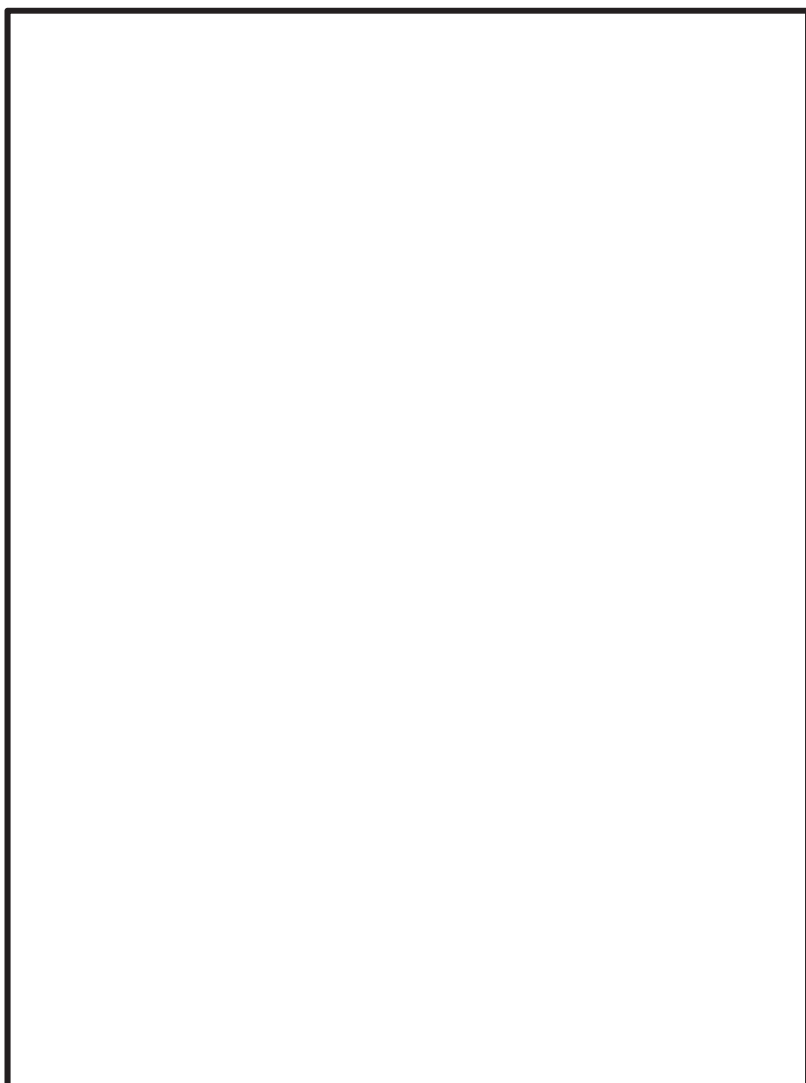
表 2-2 浸水防止蓋の強度評価に用いる記号 (2/2)

記号	単位	記号の説明
N	本	浸水防止蓋に取り付く固定ボルト (2) の本数
T _d	kN	固定ボルト (2) 1 本当りに作用する引張力
q	kN	固定ボルト (2) 1 本当りに作用するせん断力
T _s	kN	固定ボルト (1) 1 本当りに作用する引張力
q _s	kN	固定ボルト (1) 1 本当りに作用するせん断力
σ _t	N/mm ²	固定ボルト (1) 1 本当りに生じる引張応力度
τ _s	N/mm ²	固定ボルト (1) 1 本当りに生じるせん断応力度
A'	mm ²	固定ボルト (1) の有効断面積
n _s	本	固定ボルト (1) の本数
σ _f	N/mm ²	柱下フランジに生じる最大曲げ応力度
M _f	kN・m	柱下フランジに作用する最大曲げモーメント
Z _f	mm ³	柱下フランジの断面係数
L ₇	mm	柱ウェブ部中心から下フランジ端部までの距離
Q _w	kN	柱ウェブ部に作用する最大せん断力
τ _w	N/mm ²	柱ウェブ部に生じる最大せん断応力度
T _w	kN	鉛直方向の余震荷重により柱ウェブ部に作用する引張力
σ _{t w}	N/mm ²	鉛直方向の余震荷重により柱ウェブ部に生じる引張応力度
A _w	mm ²	柱ウェブ部の断面積
A _{s w}	mm ²	柱ウェブ部のせん断断面積
P _v	kN/m ²	弾性設計用地震動 S d-D 2 に伴う鉛直方向の動水圧荷重
τ _f	N/mm ²	柱下フランジに生じる最大せん断応力度
A _f	mm ²	柱下フランジのせん断断面積
T _a	kN	固定ボルト (2) の短期許容引張荷重
q _a	kN	固定ボルト (2) の短期許容せん断荷重

3. 評価対象部位及び評価対象設備

浸水防止蓋の評価対象部位は、「2.2 構造計画」にて設定している構造を踏まえて、突き上げ津波荷重及び余震荷重の伝達過程を考慮し設定する。また、浸水防止蓋（第3号機海水熱交換器建屋海水ポンプ設置エリア点検用開口部）(No. 1), (No. 2)は構成部材の寸法、規格が等しく、評価結果が変わらないことから、浸水防止蓋（第3号機海水熱交換器建屋海水ポンプ設置エリア角落し部）及び浸水防止蓋（第3号機海水熱交換器建屋海水ポンプ設置エリア点検用開口部）(No. 1)を評価対象設備とする。

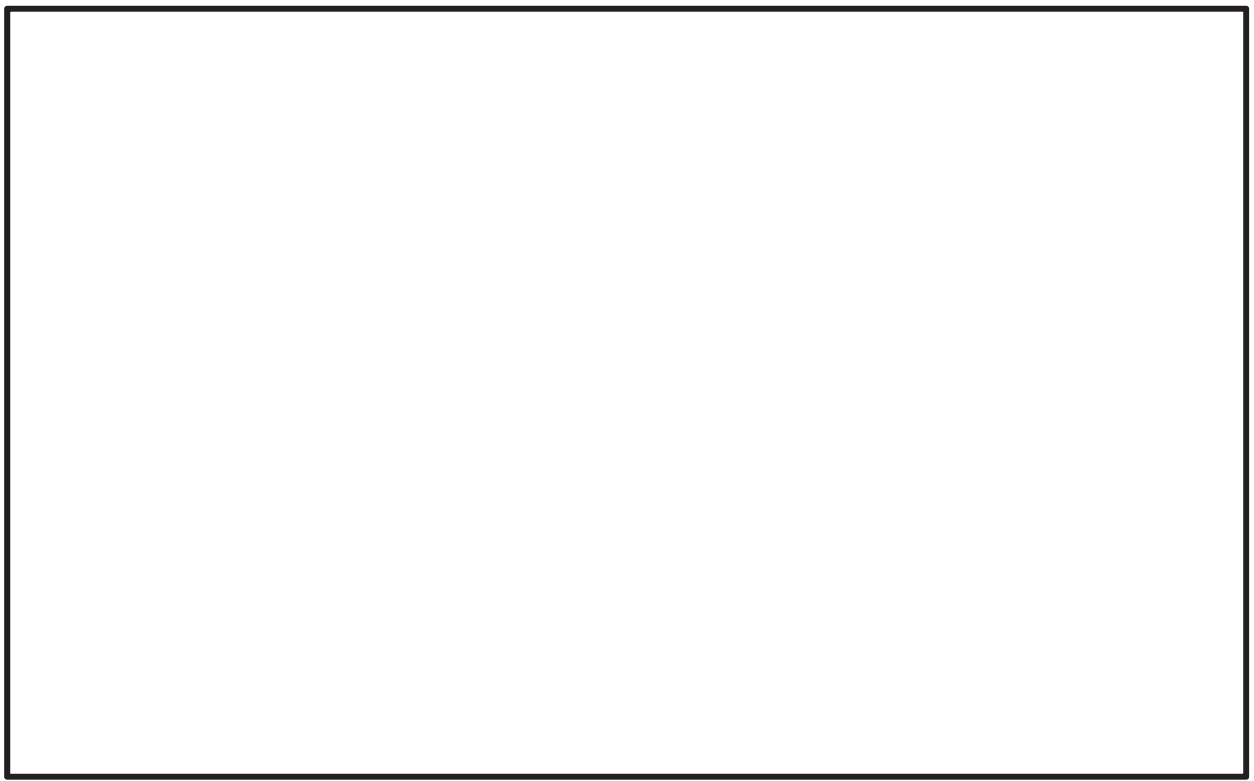
浸水防止蓋の評価対象部位は、津波荷重及び余震荷重が浸水防止蓋のスキンプレート、主桁、固定ボルト（1）及び枠に伝わり、浸水防止蓋を固定する固定ボルト（2）を介して軸体に伝達されることから、浸水防止蓋の評価対象部位は、スキンプレート、主桁、固定ボルト（1）、枠及び固定ボルト（2）とし、評価対象部位を図3-1に示す。



浸水防止蓋（第3号機海水熱交換器建屋海水ポンプ設置エリア角落し部）

図3-1 評価対象部位（1/2）

枠囲みの内容は商業機密の観点から公開できません。



浸水防止蓋（第3号機海水熱交換器建屋海水ポンプ設置エリア点検用開口部）(No.1), (No.2)

図3-1 評価対象部位（2／2）

枠囲みの内容は商業機密の観点から公開できません。

4. 構造強度評価

4.1 構造強度評価方法

浸水防止蓋の強度評価は、「VI-3-別添 3-1 津波への配慮が必要な施設の強度計算の方針」にて設定している荷重及び荷重の組合せ並びに許容限界を踏まえて、「3. 評価対象部位及び評価対象設備」にて設定する評価対象部位に生じる応力等が「4.3 許容限界」にて示す許容限界以下であることを確認する。

4.2 荷重及び荷重の組合せ

4.2.1 荷重の組合せ

浸水防止蓋の評価に用いる荷重の組合せを以下に示す。

$$G + P_t + S_d + P_s$$

ここで、 G : 固定荷重 (kN)

P_t : 突き上げ津波荷重 (kN/m²)

S_d : 余震荷重（弹性設計用地震動 S_d - D 2 に伴う地震力） (kN)

P_s : 積雪荷重 (kN)

なお、鉛直方向の荷重の組合せにおいては、自重及び積雪荷重は鉛直下向きに作用し計算上有利となる事から考慮しない。

4.2.2 荷重の設定

強度評価に用いる荷重は、以下のとおりとする。

(1) 固定荷重 (G)

固定荷重として、浸水防止蓋を構成する部材の自重を考慮する。

(2) 突き上げ津波荷重 (P_t)

突き上げ津波荷重は、浸水防止蓋に作用するものとする。また、評価においては浸水津波荷重を含むものとし、以下の式により算出する。また、評価高さの考え方を図 4-1 に示す。

$$P_t = 1/2 \cdot C_D \cdot \rho_0 \cdot U^2 + \rho_0 \cdot g \cdot H \cdot 10^{-3}$$

ここで、 P_t : 突き上げ津波荷重 (kN/m²)

C_D : 抗力係数 (=2.01)

ρ₀ : 水の密度 (t/m³)

U : 流速 (=1.0m/s)

g : 重力加速度 (=9.80665m/s²)

H : 評価高さ (mm)

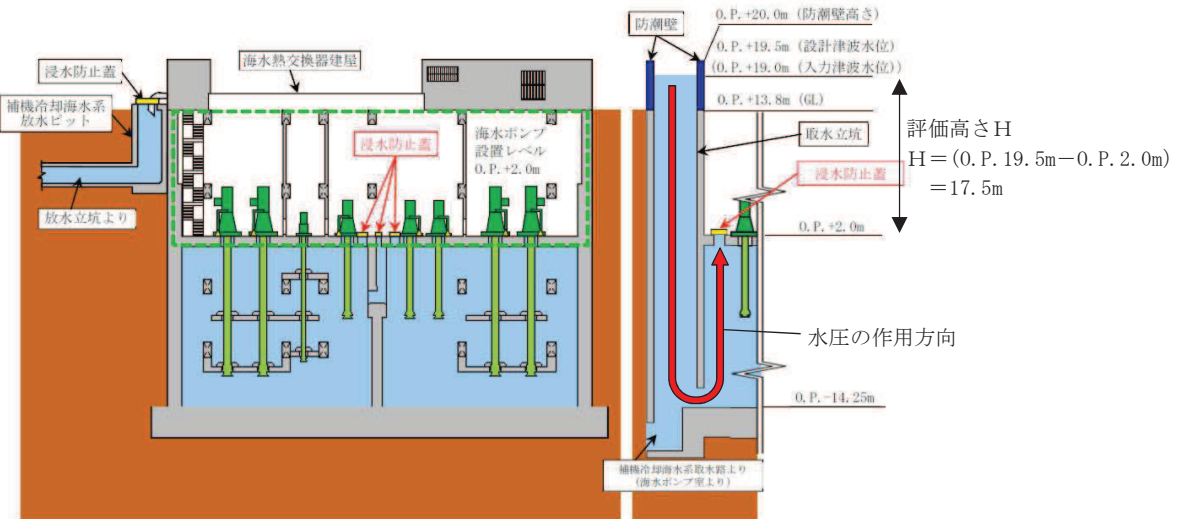


図 4-1 評価高さの考え方

(3) 積雪荷重 (P_s)

積雪荷重として、添付書類「VI-1-1-2 発電用原子炉施設の自然現象等による損傷の防止に関する説明書」のうち、添付書類「VI-1-1-2-1-1 発電用原子炉施設に対する自然現象等による損傷の防止に関する基本方針」に基づき 43cm の積雪量を想定し、平均的な積雪荷重を与えるための係数 0.35 を考慮する。

積雪荷重による質量は以下に式より算出する。

$$P_s = 0.35 \cdot W_s \cdot d_s \cdot A \cdot 10^{-3}$$

ここで、 P_s : 積雪荷重 (kN)

W_s : 1cm 当りの積雪荷重 20 (N/m²)

d_s : 積雪高さ 43 (cm)

A : 浸水防止蓋の面積 (m²)

(4) 余震荷重 (S d)

余震荷重として、添付書類「VI-3-別添 3-1 津波への配慮が必要な施設の強度計算の方針」に示すとおり、弹性設計用地震動 S d-D 2 に伴う地震力及び動水圧荷重を考慮するものとし、水平方向については、弹性設計用地震動 S d-D 2 に伴う地震力を考慮する。鉛直方向については、弹性設計用地震動 S d-D 2 に伴う動水圧荷重を考慮する。

なお、浸水防止蓋の強度評価に用いる余震震度は、材料物性の不確かさを考慮したものとして添付書類「VI-2-2-29 第3号機海水熱交換器建屋の地震応答計算書」の地震応答解析結果を用いる。地震応答解析ケースを表4-1に、余震震度を表4-2に示す。ここで、地震力は浸水防止蓋の設置位置における水平方向の最大応答加速度から設定する震度を用いて評価するものとし、下記のとおり算出する。

$$S_d = (G + P_s) \cdot \alpha_H$$

ここで、 S_d : 弹性設計用地震動 S d-D 2 に伴う余震荷重(kN)

G : 固定荷重(kN)

P_s : 積雪荷重(kN)

α_H : 弹性設計用地震動 S d-D 2 に伴う水平方向の余震震度

また、表4-1のとおり、鉛直方向の余震震度が1未満であることから、浸水防止蓋の自重と鉛直方向の地震力を足し合わせた荷重は、突き上げ津波荷重を相殺する向きに浸水防止蓋に作用するため、強度評価においては浸水防止蓋の自重と鉛直方向の地震力を保守的に考慮しないこととする。

動水圧荷重は、浸水防止蓋の設置位置における鉛直方向の最大応答加速度から設定する震度、水の密度及び評価高さを用いて評価するものとし、下記のとおり算出する。

$$P_v = \rho_0 \cdot \alpha_v \cdot g \cdot H \cdot 10^{-3}$$

ここで、 P_v : 弹性設計用地震動 S d-D 2 に伴う鉛直方向の動水圧荷重(kN/m²)

ρ_0 : 水の密度(t/m³)

α_v : 弹性設計用地震動 S d-D 2 に伴う鉛直方向の余震震度

g : 重力加速度(=9.80665m/s²)

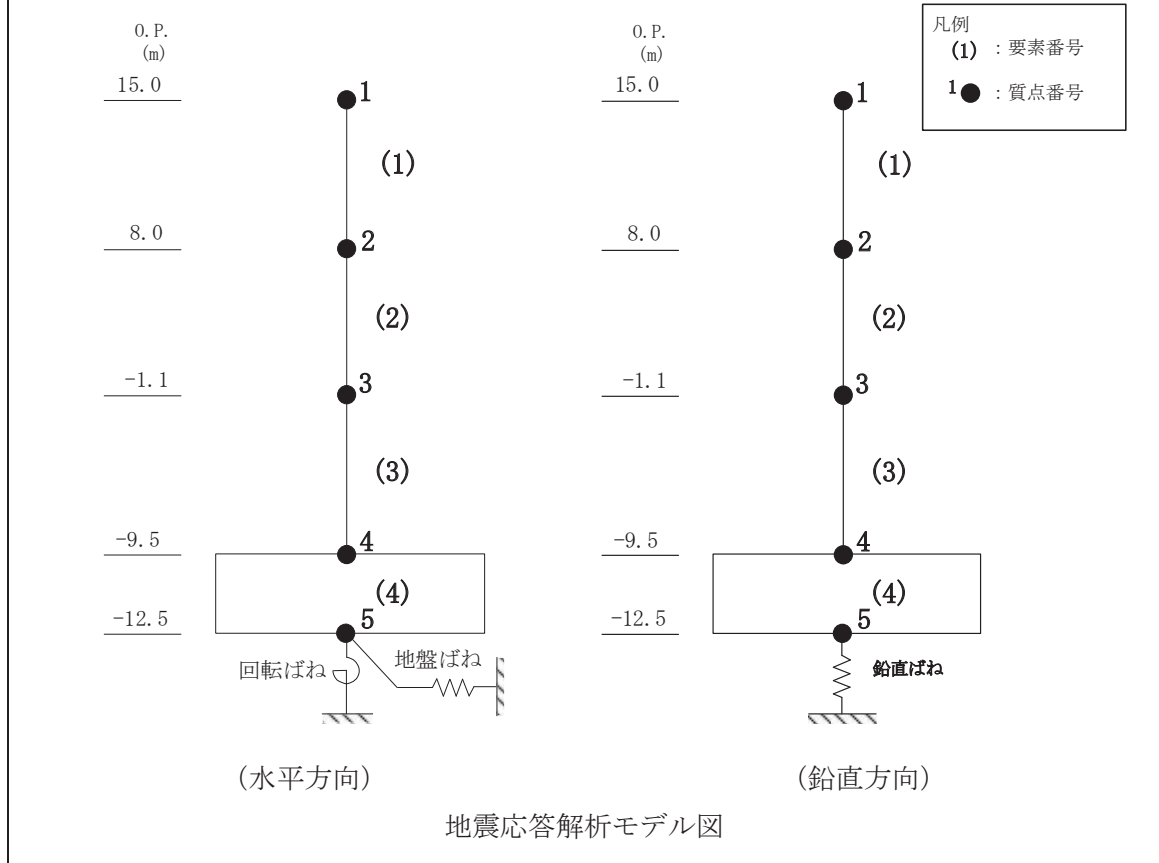
H : 評価高さ(mm)

表 4-1 地震応答解析ケース

対象地震動	ケース名	スケルトンカーブ		建屋材料減衰	地盤物性	
		初期剛性	終局耐力		入力地震動	底面地盤ばね
弹性設計用 地震動 S d-D 2 (水平)	ケース 1 (基本ケース)	2011年3月11日東北 地方太平洋沖地震の観 測記録を用いたシミュ レーション解析により 補正	設計基準強度を用い、 JEAG式で評価	5%	表層地盤の非線形性を考慮	標準地盤
	ケース 2	同上	同上	同上	同上	標準地盤 + α
	ケース 3					標準地盤 - α
弹性設計用 地震動 S d-D 2 (鉛直)	ケース 1 (基本ケース)	設計剛性	—	5%	直接入力	標準地盤
	ケース 2	同上	—	同上	同上	標準地盤 + α
	ケース 3					標準地盤 - α

表 4-2 余震震度

地震時荷重算出位置 (m)	地震応答解析結果				設計震度
	方向	弹性設計用地震動 S d-D 2	ケース	最大加速度 (cm/s ²)	
O.P. 8.00	NS	S d-D 2	2	1142	$\alpha_H = 1.17$
	EW	S d-D 2	2	1077	
	UD	S d-D 2	2	625	$\alpha_V = 0.64$



注：表中の 0.P. は第三号機海水熱交換器建屋の地震応答計算書での値を示す。

4.3 許容限界

浸水防止蓋の許容限界は、「3. 評価対象部位及び評価対象設備」にて設定した部位に対し、「VI-3-別添 3-1 津波への配慮が必要な施設の強度計算の方針」にて設定している許容限界を踏まえ設定する。

4.3.1 使用材料

浸水防止蓋を構成するスキンプレート、主桁、固定ボルト(1)、固定ボルト(2)及び枠の使用材料を表4-3に示す

表4-3 使用材料

設備名称	評価対象部位	材質	仕様
浸水防止蓋（第3号機海水熱交換器建屋海水ポンプ設置エリア角落し部）	スキンプレート	SUS304	$t = 16$ (mm)
	主桁	SUS304	C-80×40×5×5 (mm)
	固定ボルト(1)	SUS304	M16
	固定ボルト(2)	SUS304	M16
浸水防止蓋（第3号機海水熱交換器建屋海水ポンプ設置エリア点検用開口部）(No.1), (No.2)	スキンプレート	SUS304	$t = 12$ (mm)
	主桁	SUS304	PL-16×150 (mm)
	固定ボルト(1)	SUS304	M30
	固定ボルト(2)	SUS304	M16
	枠	SUS304	H-150×150×7×10 (mm)

4.3.2 許容限界

(1) スキンプレート、主桁、固定ボルト(1)

鋼材の許容応力度は、「鋼構造設計規準—許容応力度設計法一（日本建築学会、2005年改定）」を踏まえて表4-4の値とする。

表4-4 鋼材の短期許容応力度

材質	短期許容応力度 (N/mm ²)		
	曲げ	引張	せん断
SUS304	205	205	118

注：許容応力度を決定する場合の基準値Fは、日本産業規格（JIS）に基づく。

(2) 固定ボルト (2)

固定ボルト (2) の許容応力は、「3. 評価対象部位及び評価対象設備」に記載した固定ボルト (2) に作用する荷重の向きを踏まえて、「各種合成構造設計指針・同解説（日本建築学会, 2010 年改定）」に基づき算定する。

固定ボルト (2) は躯体に埋め込まれていることから、固定ボルト (2) が引張力を受ける場合においては、固定ボルト (2) の降伏により決まる許容荷重 (P_{a1})、付着力により決まる許容荷重 (P_{a3}) を比較して、いずれか小さい値を採用する。また、固定ボルト (2) がせん断力を受ける場合においては、固定ボルト (2) のせん断強度により決まる許容荷重 (q_{a1})、定着したコンクリート躯体の支圧強度により決まる許容荷重 (q_{a2}) 及びコーン状破壊により決まる許容荷重 (q_{a3}) を比較して、いずれか小さい値を採用する。

突き上げ津波荷重を考慮する場合の固定ボルト (2) の許容荷重設定に用いる入力値を表 4-5 及び表 4-6 に、許容荷重を表 4-7 及び表 4-8 に示す。

引張力を受ける場合

$$P_{a1} = \Phi_1 \cdot {}_s\sigma_{pa} \cdot {}_{sc}a$$

$$P_{a3} = \Phi_3 \cdot \tau_a \cdot \pi \cdot d_a \cdot l_{ce}$$

ここで、 P_{a1} : 固定ボルトの降伏により決まる場合の固定ボルト 1 本当たりの許容引張力 (N)

P_{a3} : 固定ボルトの付着力により決まる場合の固定ボルト 1 本当たりの許容引張力 (N)

Φ_1 : 低減係数 (短期荷重用)

Φ_3 : 低減係数 (短期荷重用)

${}_s\sigma_{pa}$: 固定ボルトの引張強度 ($= {}_s\sigma_y$) (N/mm²)

${}_s\sigma_y$: 固定ボルトの規格降伏点強度 (N/mm²)

${}_{sc}a$: 固定ボルトの断面積 (mm²)

d_a : 固定ボルトの径 (mm)

l_{ce} : 固定ボルトの強度算定用埋込み長さ ($= l_e - 2d_a$) (mm)

τ_a : ヘリあき及び固定ボルトのピッチによる付着強度の低減係数

せん断力を受ける場合

$$q_{a1} = \Phi_1 \cdot s\sigma_{qa} \cdot s_c a$$

$$q_{a2} = \Phi_2 \cdot c\sigma_{qa} \cdot s_c a$$

$$q_{a3} = \Phi_2 \cdot c\sigma_t \cdot A_{qc}$$

ここで, q_{a1} : 固定ボルトのせん断強度により決まる場合の固定ボルト 1 本当たりの許容せん断力 (N)

q_{a2} : 定着した軸体の支圧強度により決まる場合の固定ボルト 1 本当たりの許容せん断力 (N)

q_{a3} : 定着した軸体のコーン状破壊により決まる場合の固定ボルト 1 本当たりの許容せん断力 (N)

Φ_1 : 低減係数 (短期荷重用)

Φ_2 : 低減係数 (短期荷重用)

$s\sigma_{qa}$: 固定ボルトのせん断強度 ($= 0.7 \cdot s\sigma_y$) (N/mm²)

$s\sigma_y$: 固定ボルトの規格降伏点強度 (N/mm²)

$s_c a$: 固定ボルトの断面積 (mm²)

$c\sigma_{qa}$: コンクリートの支圧強度 (N/mm²) ($= 0.5 \sqrt{F_c \cdot E_c}$)

$c\sigma_t$: コーン状破壊に対するコンクリートの引張強度 (N/mm²)

$$(= 0.31 \sqrt{F_c})$$

F_c : コンクリートの設計基準強度 (N/mm²)

E_c : コンクリートのヤング係数 (N/mm²)

A_{qc} : せん断力に対するコーン状破壊面の有効投影面積 (mm²)

表 4-5 浸水防止蓋（第3号機海水熱交換器建屋海水ポンプ設置エリア角落し部）の
固定ボルトの許容荷重の設定に用いる入力値

記号	単位	定義	数値
Φ_1	—	低減係数（短期荷重用）	1.0
Φ_2	—	低減係数（短期荷重用）	2/3
Φ_3	—	低減係数（短期荷重用）	2/3
$s \sigma_{pa}$	N/mm ²	固定ボルトの引張強度	205
$s \sigma_y$	N/mm ²	固定ボルトの規格降伏点強度	205
$s_c a$	mm ²	固定ボルトの断面積	157
d_a	mm	固定ボルトの径	16
l_{ce}	mm	固定ボルトの強度算定用埋込み長さ	82
τ_a	—	へりあき及び固定ボルトのピッチによる付着強度の 低減係数	12.17
$s \sigma_{qa}$	N/mm ²	固定ボルトのせん断強度	143.5
$c \sigma_{qa}$	N/mm ²	コンクリートの支圧強度	450
$c \sigma_t$	N/mm ²	コーン状破壊に対するコンクリートの引張強度	1.76
F_c	N/mm ²	コンクリートの設計基準強度	32.4
E_c	N/mm ²	コンクリートのヤング係数	25100
A_{qc}	mm ²	せん断力に対するコーン状破壊面の有効投影面積	19007

表 4-6 浸水防止蓋（第3号機海水熱交換器建屋海水ポンプ設置エリア点検用開口部）
 (No. 1) (No. 2) の固定ボルトの許容荷重の設定に用いる入力値

記号	単位	定義	数値
Φ_1	—	低減係数（短期荷重用）	1.0
Φ_2	—	低減係数（短期荷重用）	2/3
Φ_3	—	低減係数（短期荷重用）	2/3
$s \sigma_{pa}$	N/mm ²	固定ボルトの引張強度	205
$s \sigma_y$	N/mm ²	固定ボルトの規格降伏点強度	205
$s_c a$	mm ²	固定ボルトの断面積	157
d_a	mm	固定ボルトの径	16
l_{ce}	mm	固定ボルトの強度算定用埋込み長さ	82
τ_a	—	へりあき及び固定ボルトのピッチによる付着強度の 低減係数	12.42
$s \sigma_{qa}$	N/mm ²	固定ボルトのせん断強度	143.5
$c \sigma_{qa}$	N/mm ²	コンクリートの支圧強度	450
$c \sigma_t$	N/mm ²	コーン状破壊に対するコンクリートの引張強度	1.76
F_c	N/mm ²	コンクリートの設計基準強度	32.4
E_c	N/mm ²	コンクリートのヤング係数	25100
A_{qc}	mm ²	せん断力に対するコーン状破壊面の有効投影面積	37738

表 4-7 浸水防止蓋（第3号機海水熱交換器建屋海水ポンプ設置エリア角落し部）の
固定ボルト（2）の短期許容荷重

材質	短期許容荷重 (kN)						
	引張			せん断			
	P _{a1}	P _{a3}	設定値	q _{a1}	q _{a2}	q _{a3}	設定値
SUS304	32.1	33.4	32.1	22.5	47.1	22.3	22.3

表 4-8 浸水防止蓋（第3号機海水熱交換器建屋海水ポンプ設置エリア点検用開口部）
(No. 1), (No. 2) の固定ボルト（2）の短期許容荷重

材質	短期許容荷重 (kN)						
	引張			せん断			
	P _{a1}	P _{a3}	設定値	q _{a1}	q _{a2}	q _{a3}	設定値
SUS304	32.1	34.1	32.1	22.5	47.1	44.2	22.5

4.4 評価方法

浸水防止蓋を構成する主桁、スキンプレート、固定ボルト（1）及び枠に発生する応力度並びに固定ボルト（2）に発生する応力が、許容値限界以下であることを確認する。

主桁とスキンプレートについては、箇所によって評価結果に差異が生じることから、図4-2、図4-3にそれぞれ評価の対象とする主桁、スキンプレートを示す。また、図4-4に、固定ボルト（1）、固定ボルト（2）及び枠の納まりを示す。

4.4.1 主桁

主桁の支持条件は両端をピン支持とし、図4-1に示すとおり、主桁が荷重を負担する範囲が最も大きくなり、評価上最も厳しい条件となるよう評価を実施する。

(1) 主桁に作用する単位長さ当たりの鉛直方向の等分布荷重 W_{ss}'

$$W_{ss}' = (P_t + P_v) \cdot L_1 \cdot 10^{-3}$$

ここで、 W_{ss}' ：主桁に作用する単位長さ当たりの鉛直方向の等分布荷重(kN/m)

P_t ：突き上げ津波荷重(kN/m²)

P_v ：弾性設計用地震動S d-D 2に伴う鉛直方向の動水圧荷重(kN/m²)

L_1 ：主桁の負担幅(mm)

(2) 主桁に生じる最大せん断応力度 τ

$$\tau = (Q \cdot 10^3) / A_s$$

τ ：主桁に生じる最大せん断応力度(N/mm²)

Q ：主桁に生じる最大せん断力(kN)

A_s ：主桁のせん断面積(mm²)

$$\text{ここで, } Q = 1/2 \cdot W_{ss}' \cdot L_2 \cdot 10^{-3}$$

W_{ss}' ：主桁に作用する単位長さ当たりの鉛直方向の等分布荷重(kN/m)

L_2 ：主桁全長(mm)

(3) 主桁に生じる最大曲げ応力度 σ

$$\sigma = (M \cdot 10^6) / Z$$

σ ：主桁に生じる最大曲げ応力度(N/mm²)

M ：主桁に生じる最大曲げモーメント(kN・m)

Z ：主桁の断面係数(mm³)

$$\text{ここで, } M = 1/8 \cdot W_{ss}' \cdot (L_2 \cdot 10^{-3})^2$$

W_{ss}' ：主桁に作用する単位長さ当たりの鉛直方向の等分布荷重(kN/m)

L_2 ：主桁全長(mm)

(4) 主桁に生じる組合せ応力度

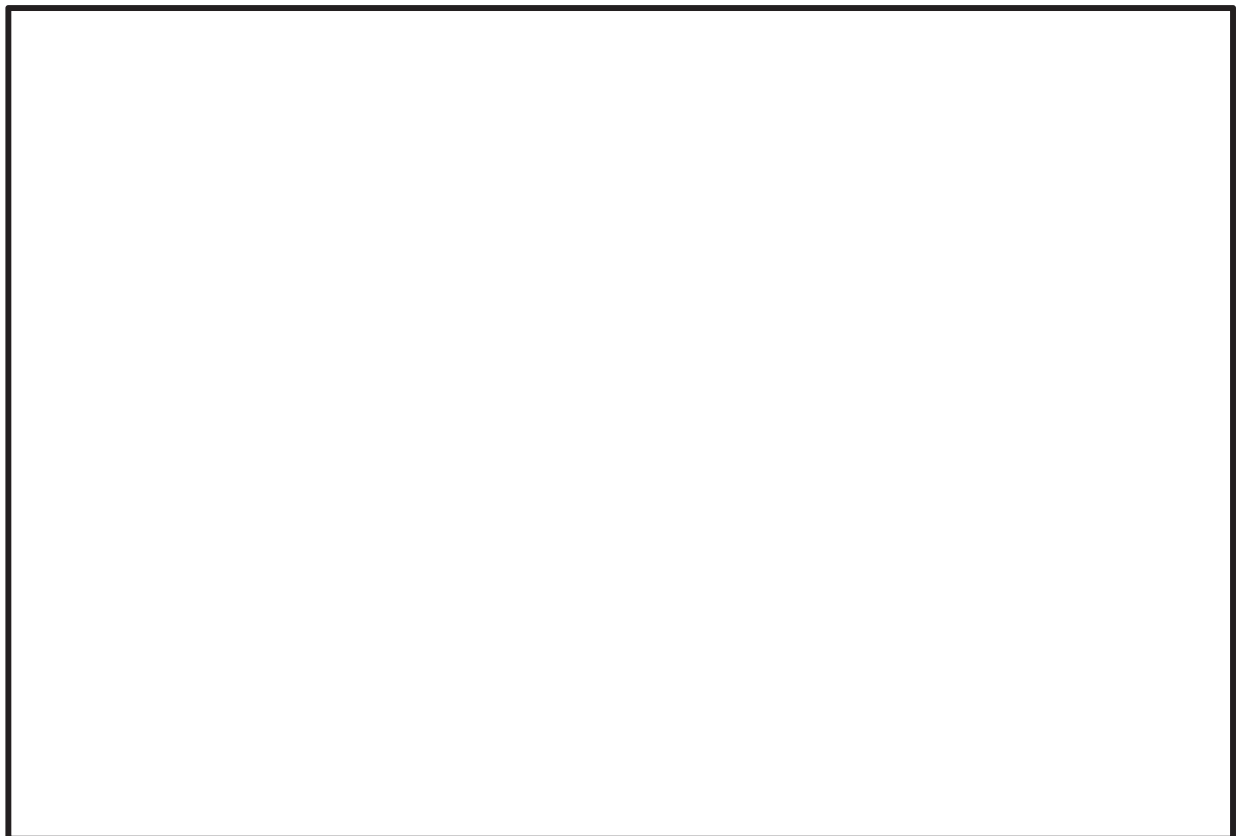
主桁に生じる曲げ応力度とせん断応力度から、組合せ応力度を「鋼構造設計規準－許容応力度設計法－（日本建築学会、2005年改定）」に基づく次式により算定し、短期許容応力度以下であることを確認する。

$$x = \sqrt{\sigma_f^2 + 3 \cdot \tau_f^2}$$

x : 組合せ応力度 (N/mm²)

σ_f : 最大曲げ応力度 (N/mm²)

τ_f : 最大せん断応力度 (N/mm²)



(a) 角落し部 (平面図)

(b) 点検用開口部(平面図)

図 4-2 評価の対象とする主桁

枠囲みの内容は商業機密の観点から公開できません。

4.4.2 スキンプレート

図4-3に示すとおり、スキンプレートが荷重を負担する範囲が最も大きくなり、評価上最も厳しい条件となるよう評価を実施する。

(1) スキンプレートに作用する単位面積当たりの鉛直方向の等分布荷重 W_{ss}

$$W_{ss} = P_t + P_v$$

ここで、 W_{ss} ：スキンプレートに作用する単位面積当たりの鉛直方向の等分布荷重(kN/m^2)

P_t ：突き上げ津波荷重(kN/m^2)

P_v ：弾性設計用地震動S d-D 2に伴う鉛直方向の動水圧荷重(kN/m^2)

(2) スキンプレートに生じる最大曲げ応力度 σ

$$\sigma = \beta_1 \cdot W_{ss} \cdot L_4^2 \cdot 10^{-3} / t^2$$

ここで、 σ ：スキンプレートに生じる最大曲げ応力度(N/mm^2)

W_{ss} ：スキンプレートに作用する単位面積当たりの鉛直方向の等分布荷重(kN/m^2)

L_4 ：スキンプレートの支持短辺長さ(mm)

β_1 ：スキンプレートの辺長比に応じた係数

t ：スキンプレートの厚さ(mm)

(3) スキンプレートに生じる最大せん断応力度 τ

$$\tau = W_{ss} \cdot L_3 \cdot L_4 \cdot 10^{-3} / \{2 \cdot (L_3 + L_4) \cdot t\}$$

ここで、 τ ：スキンプレートに生じる最大せん断応力度(N/mm^2)

W_{ss} ：スキンプレートに作用する単位面積当たりの鉛直方向の等分布荷重(kN/m^2)

L_3 ：スキンプレートの支持長辺長さ(mm)

L_4 ：スキンプレートの支持短辺長さ(mm)

t ：スキンプレートの厚さ(mm)

(4) スキンプレートに生じる組合せ応力度

スキンプレートに生じる曲げ応力度、せん断応力度を算定し、スキンプレートの短期許容応力度以下であることを確認する。またスキンプレートに生じる曲げ応力度とせん断応力度から、組合せ応力度を「鋼構造設計規準—許容応力度設計法一（日本建築学会、2005年改定）」に基づく次式により算定し、短期許容応力度以下であることを確認する。

$$x = \sqrt{\sigma^2 + 3 \cdot \tau^2}$$

ここで、 x : 組合せ応力度 (N/mm^2)

σ : 最大曲げ応力度 (N/mm^2)

τ : 最大せん断応力度 (N/mm^2)



(a) 角落し部 (平面図)

(b) 点検用開口部(平面図)

図 4-3 評価の対象とするスキンプレート

枠囲みの内容は商業機密の観点から公開できません。

4.4.3 固定ボルト (1)

- (1) 固定ボルト (1) 1 本当りに生じる鉛直方向の引張応力度 σ_t

$$\sigma_t = T_s \cdot 10^3 / A'$$

$$T_s = (P_t + P_v) \cdot L_5 \cdot L_6 \cdot 10^{-6} / n_s$$

ここで、
 σ_t : 固定ボルト (1) 1 本当りに生じる鉛直方向の引張応力度 (N/mm^2)
 T_s : 固定ボルト (1) 1 本当りに作用する引張力 (kN)
 P_t : 突き上げ津波荷重 (kN/m^2)
 P_v : 弹性設計用地震動 S d-D 2 に伴う鉛直方向の動水圧荷重 (kN/m^2)
 L_5 : スキンプレートの突き上げ津波受圧面長辺長さ (mm)
 L_6 : スキンプレートの突き上げ津波受圧面短辺長さ (mm)
 n_s : 固定ボルト (1) の本数(本)
 A' : 固定ボルト (1) の有効断面積 (mm^2)

- (2) 弹性設計用地震動 S d-D 2 に伴う水平方向の余震荷重 S d

$$S_d = (G + P_s) \cdot \alpha_H$$

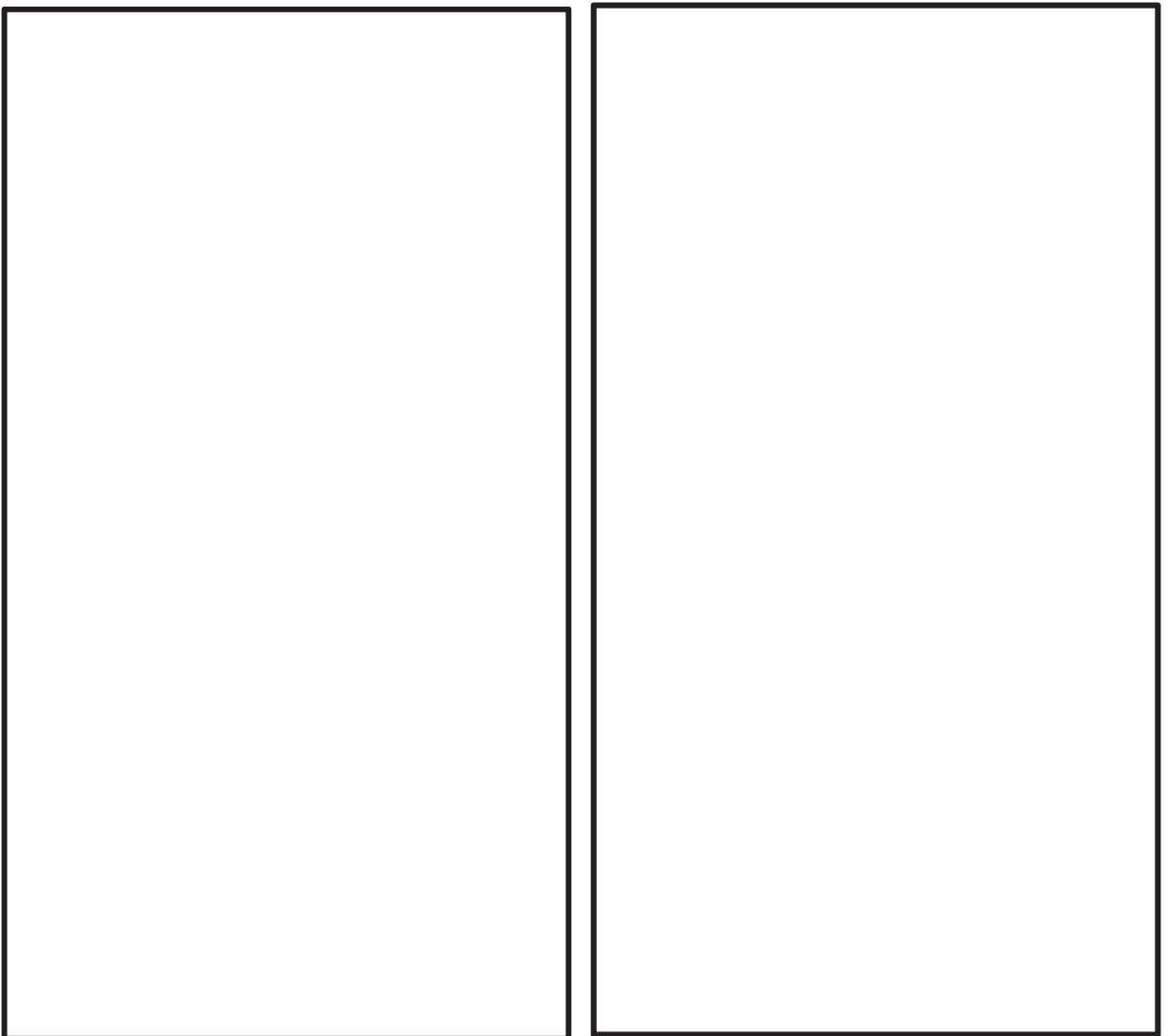
ここで、
 S_d : 弹性設計用地震動 S d-D 2 に伴う水平方向の余震荷重 (kN)
 G : 浸水防止蓋の固定荷重 (kN)
 P_s : 積雪荷重 (kN)
 α_H : 水平方向の余震震度

- (3) 固定ボルト (1) 1 本当りに生じるせん断応力度 τ_s

$$\tau_s = q_s \cdot 10^3 / A'$$

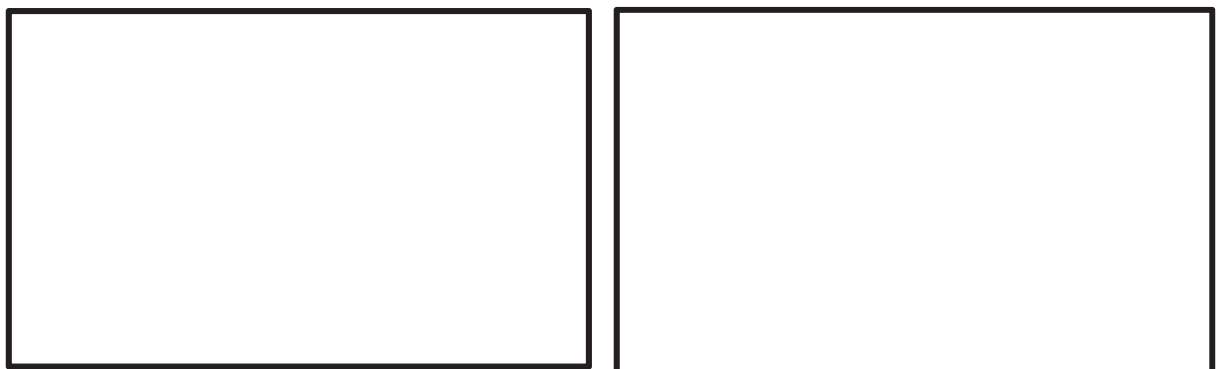
$$q_s = S_d / n_s$$

ここで、
 τ_s : 固定ボルト (1) 1 本当りに生じるせん断応力度 (N/mm^2)
 q_s : 固定ボルト (1) 1 本当りに作用するせん断力 (kN)
 S_d : 弹性設計用地震動 S d-D 2 に伴う水平方向の余震荷重 (kN)
 n_s : 固定ボルト (1) の本数(本)
 A' : 固定ボルト (1) の有効断面積 (mm^2)



平面図

A-A 断面図

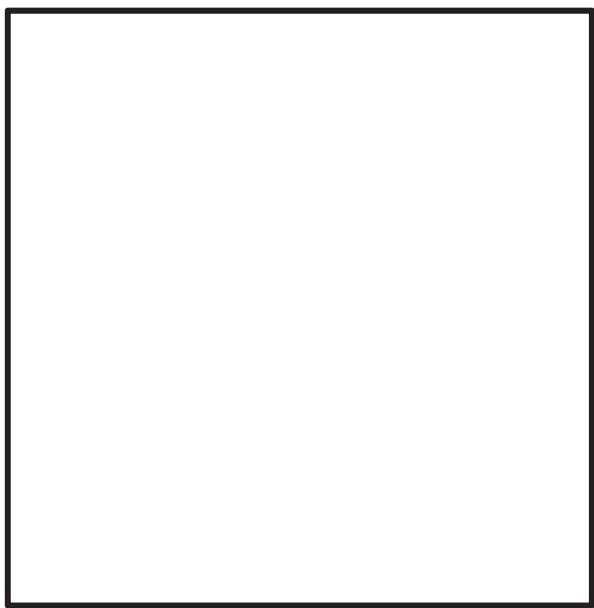


B-B 断面図

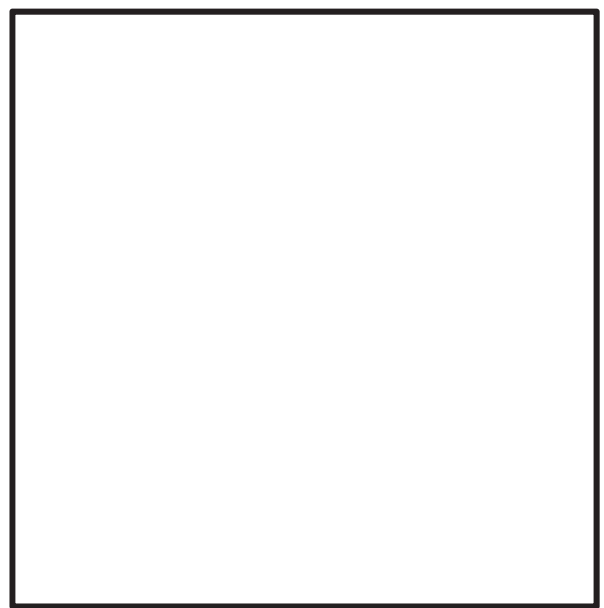
C 部詳細図

図 4-4 固定ボルト (1) 及び固定ボルト (2) の納まり (1/2)

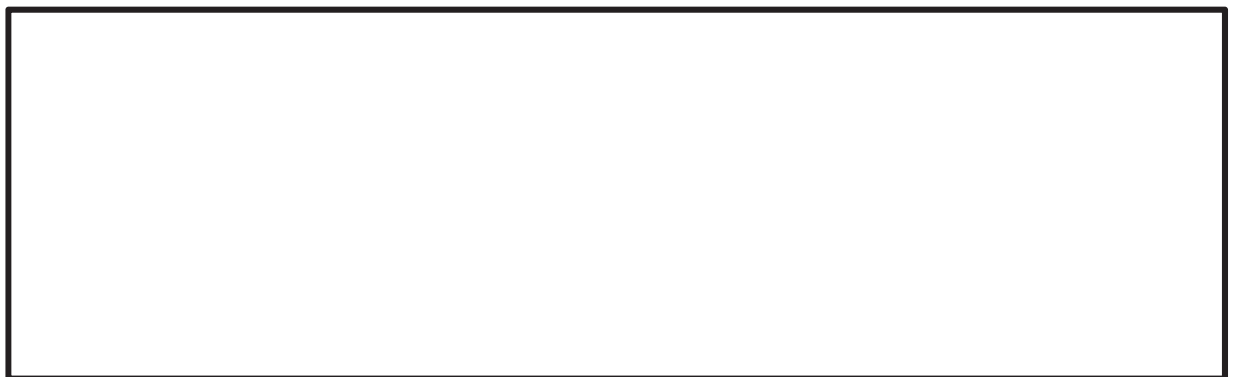
枠囲みの内容は商業機密の観点から公開できません。



平面図



A-A 断面



B-B 断面



C部詳細図

図 4-4 固定ボルト (1) 及び固定ボルト (2) の納まり (2/2)

枠囲みの内容は商業機密の観点から公開できません。

4.4.4 固定ボルト (2)

- (1) 固定ボルト (2) 1 本当に作用する引張力 T_d

$$T_d = (P_t + P_v) \cdot L_5 \cdot L_6 \cdot 10^{-6} / N$$

ここで、 T_d : 固定ボルト (2) 1 本当に作用する引張力 (kN)

P_t : 突き上げ津波荷重 (kN/m^2)

P_v : 弹性設計用地震動 $S_d - D_2$ に伴う鉛直方向の動水圧荷重 (kN/m^2)

L_5 : スキンプレートの突き上げ津波受圧面長辺長さ (mm)

L_6 : スキンプレートの突き上げ津波受圧面短辺長さ (mm)

N : 固定ボルト (2) の本数(本)

- (2) 弹性設計用地震動 $S_d - D_2$ に伴う水平方向の余震荷重 S_d

$$S_d = (G + P_s) \cdot \alpha_H$$

ここで、 S_d : 弹性設計用地震動 $S_d - D_2$ に伴う水平方向の余震荷重 (kN)

G : 浸水防止蓋の固定荷重 (kN)

P_s : 積雪荷重 (kN)

α_H : 水平方向の余震震度

- (3) 固定ボルト (2) 1 本当に作用するせん断力 q

$$q = S_d / N$$

ここで、 q : 固定ボルト (2) 1 本当に作用するせん断力 (kN)

S_d : 弹性設計用地震動 $S_d - D_2$ に伴う水平方向の余震荷重 (kN)

N : 固定ボルト (2) の本数(本)

- (4) 組合せ評価方法

組合せによる評価を「日本建築学会 2010 年 各種合成構造設計指針・同解説」に基づく次式により算出し、1 以下であることを確認する。

$$(T_d / T_a)^2 + (q / q_a)^2 \leq 1$$

ここで、

T_d : 固定ボルト (2) 1 本当に作用する引張力 (kN)

T_a : 固定ボルト (2) の短期許容引張荷重 (kN)

q : 固定ボルト (2) 1 本当に作用するせん断力 (kN)

q_a : 固定ボルト (2) の短期許容せん断荷重 (kN)

4.4.5 枠

枠の上フランジについては、直接荷重を負担しない構造となっていることから、下フランジ及びウェブについて評価を実施する。

(1) 枠下フランジに生じる最大曲げ応力度 σ_f

$$\sigma_f = (M_f \cdot 10^6) / Z_f$$

σ_f : 枠下フランジに生じる最大曲げ応力度 (N/mm²)

M_f : 枠下フランジに作用する最大曲げモーメント (kN·m)

Z_f : 枠下フランジの断面係数 (mm³)

$$\text{ここで, } M_f = (P_t + P_v) \cdot L_5 \cdot L_6 \cdot L_7 \cdot 10^{-9} / 8$$

P_t : 突き上げ津波荷重 (kN/m²)

P_v : 弹性設計用地震動 S d-D 2 に伴う鉛直方向の動水圧荷重 (kN/m²)

L_5 : スキンプレートの突き上げ津波受压面長辺長さ (mm)

L_6 : スキンプレートの突き上げ津波受压面短辺長さ (mm)

L_7 : 枠ウェブ部中心から下フランジ端部までの距離 (mm)

(2) 枠下フランジに生じる最大せん断応力度 τ_f

$$\tau_f = (P_t + P_v) \cdot L_5 \cdot L_6 \cdot 10^{-3} / 8 / A_f$$

τ_f : 枠下フランジに生じる最大せん断応力度 (N/mm²)

P_t : 突き上げ津波荷重 (kN/m²)

P_v : 弹性設計用地震動 S d-D 2 に伴う鉛直方向の動水圧荷重 (kN/m²)

L_5 : スキンプレートの突き上げ津波受压面長辺長さ (mm)

L_6 : スキンプレートの突き上げ津波受压面短辺長さ (mm)

A_f : 枠下フランジのせん断面積 (mm²)

(3) 下フランジに生じる組合せ応力度 x

$$x = \sqrt{\sigma_f^2 + 3 \cdot \tau_f^2}$$

x : 組合せ応力度 (N/mm²)

σ_f : 枠下フランジに生じる最大曲げ応力度 (N/mm²)

τ_f : 枠下フランジに生じる最大せん断応力度 (N/mm²)

- (4) 水平方向の余震荷重により枠ウェブ部に作用する最大せん断力

$$Q_w = S_d / 2$$

$$S_d = (G + P_s) \cdot \alpha_H$$

Q_w : 枠ウェブ部に作用する最大せん断力 (kN)

S_d : 弹性設計用地震動 $S_d - D_2$ に伴う水平方向の余震荷重 (kN)

G : 浸水防止蓋の固定荷重 (kN)

P_s : 積雪荷重 (kN)

α_H : 水平方向の余震震度

- (5) 水平方向の余震荷重により枠ウェブ部に生じる最大せん断応力度 τ_w

$$\tau_w = (Q_w \cdot 10^3) / A_{sw}$$

τ_w : 枠ウェブ部に生じる最大せん断応力度 (N/mm^2)

Q_w : 枠ウェブ部に作用する最大せん断力 (kN)

A_{sw} : 枠ウェブ部のせん断面積 (mm^2)

- (6) 鉛直方向の余震荷重により枠ウェブ部に作用する引張力 T_w

$$T_w = (P_t + P_v) \cdot L_5 \cdot L_6 \cdot 10^{-6} / 4$$

T_w : 鉛直方向の余震荷重により枠ウェブ部に作用する引張力 (kN)

P_t : 突き上げ津波荷重 (kN/m^2)

P_v : 弹性設計用地震動 $S_d - D_2$ に伴う鉛直方向の動水圧荷重 (kN/m^2)

L_5 : スキンプレートの突き上げ津波受圧面長辺長さ (mm)

L_6 : スキンプレートの突き上げ津波受圧面短辺長さ (mm)

- (7) 鉛直方向の余震荷重により枠ウェブ部に生じる引張応力度 σ_{tw}

$$\sigma_{tw} = T_w \cdot 10^3 / A_w$$

σ_{tw} : 鉛直方向の余震荷重により枠ウェブ部に生じる
引張応力度 (N/mm^2)

T_w : 鉛直方向の余震荷重により枠ウェブ部に作用する引張力 (kN)

A_w : 枠ウェブ部の断面積 (mm^2)

4.5 評価条件

浸水防止蓋の強度評価に用いる入力値を表 4-9 及び表 4-10 に示す。

表 4-9 浸水防止蓋（第 3 号機海水熱交換器建屋海水ポンプ設置エリア角落し部）の
強度評価に用いる入力値（1/2）

評価対象 部位	記号	単位	定義	数値
共通	ρ_0	t/m ³	水の密度	1.03
	g	m/s ²	重力加速度	9.80665
	H	mm	評価高さ	17500
	A	m ²	浸水防止蓋の面積	1.6
	G	kN	スキンプレートと主桁の固定荷重	3.040
	P _s	kN	積雪荷重	0.481
	P _t	kN/m ²	突き上げ津波荷重	178
	P _v	kN/m ²	弾性設計用地震動 S _d に伴う鉛直方向の動水圧荷重	114
主桁	S _d	kN	弾性設計用地震動 S _d -D ₂ に伴う余震荷重	4.12
	L ₁	mm	主桁の負担幅	430
	L ₂	mm	主桁全長	420
	A _s	mm ²	せん断面積	400
スキン プレート	Z	mm ³	断面係数	1.78×10^4
	L ₃	mm	スキンプレートの支持長辺長さ	430
	L ₄	mm	スキンプレートの支持短辺長さ	420
	β_1	-	スキンプレートの辺長比に応じた係数	0.4
	t	mm	スキンプレートの厚さ	16

表 4-9 浸水防止蓋（第3号機海水熱交換器建屋海水ポンプ設置エリア角落し部）の
強度評価に用いる入力値（2／2）

評価対象 部位	記号	単位	定義	数値
固定 ボルト(2)	n_s	本	固定ボルト(1)の本数	36
	A'	mm^2	固定ボルト(1)の有効断面積	157
	L_5	mm	スキンプレートの突き上げ津波受圧面長辺長さ	3005
	L_6	mm	スキンプレートの突き上げ津波受圧面短辺長さ	380
固定 ボルト(2)	N	本	固定ボルト(2)の本数	27
	L_5	mm	スキンプレートの突き上げ津波受圧面長辺長さ	3005
	L_6	mm	スキンプレートの突き上げ津波受圧面短辺長さ	380

表 4-10 浸水防止蓋（第3号機海水熱交換器建屋海水ポンプ設置エリア点検用開口部）(No. 1) の
強度評価に用いる入力値 (1/2)

評価対象 部位	記号	単位	定義	数値
共通	ρ_0	t/m ³	水の密度	1.03
	g	m/s ²	重力加速度	9.80665
	H	mm	評価高さ	17500
	A	m ²	浸水防止蓋の面積	1.0
	G	kN	スキンプレートと主桁の固定荷重	3.138
	P _s	kN	積雪荷重	0.301
	P _t	kN/m ²	突き上げ津波荷重	178
	P _v	kN/m ²	弾性設計用地震動 S _d に伴う鉛直方向の動水圧 荷重	114
	S _d	kN	弾性設計用地震動 S _d - D ₂ に伴う余震荷重	4.02
主桁	L ₁	mm	主桁の負担幅	250
	L ₂	mm	主桁全長	1000
	A _s	mm ²	せん断面積	2400
	Z	mm ³	断面係数	6.00×10^4
スキン プレート	L ₃	mm	スキンプレートの支持長辺長さ	250
	L ₄	mm	スキンプレートの支持短辺長さ	200
	L ₅	mm	スキンプレートの突き上げ津波受圧面長辺長さ	850
	L ₆	mm	スキンプレートの突き上げ津波受圧面短辺長さ	850
	β_1	-	スキンプレートの辺長比に応じた係数	0.5
	t	mm	スキンプレートの厚さ	12

表 4-10 浸水防止蓋（第3号機海水熱交換器建屋海水ポンプ設置エリア点検用開口部）(No. 1) の
強度評価に用いる入力値 (2/2)

評価対象 部位	記号	単位	定義	数値
固定 ボルト (1)	n_s	本	固定ボルト (1) の本数	8
	A'	mm^2	固定ボルト (1) の有効断面積	561
	L_5	mm	スキンプレートの突き上げ津波受圧面長辺長さ	850
	L_6	mm	スキンプレートの突き上げ津波受圧面短辺長さ	850
固定 ボルト (2)	N	本	固定ボルト (2) の本数	15
	L_5	mm	スキンプレートの突き上げ津波受圧面長辺長さ	850
	L_6	mm	スキンプレートの突き上げ津波受圧面短辺長さ	850
枠	L_5	mm	スキンプレートの突き上げ津波受圧面長辺長さ	850
	L_6	mm	スキンプレートの突き上げ津波受圧面短辺長さ	850
	L_7	mm	枠ウェブ部中心から下フランジ端部までの距離	75
	Z_f	mm^3	枠下フランジの断面係数	14170
	A_w	mm^2	枠ウェブ部の断面積	7000
	A_{s_w}	mm^2	枠のせん断断面積	7000
	A_f	mm^2	枠下フランジのせん断断面積	10000

5. 評価結果

浸水防止蓋の強度評価結果を表 5-1 及び表 5-2 に示す。各部材の断面検定を行った結果、すべての部材において発生応力又は応力度が許容限界以下であることを確認した。

表 5-1 浸水防止蓋(第 3 号機海水熱交換器建屋海水ポンプ設置エリア角落し部)
の強度評価結果

評価対象部位		発生値 (応力度又は荷重)		許容限界		検定値
主桁	曲げ	156	N/mm ²	205	N/mm ²	0.77 < 1.0
	せん断	66	N/mm ²	118	N/mm ²	0.56 < 1.0
	組合せ	193	N/mm ²	205	N/mm ²	0.95 < 1.0
スキンプレート	曲げ	81	N/mm ²	205	N/mm ²	0.40 < 1.0
	せん断	2	N/mm ²	118	N/mm ²	0.02 < 1.0
	組合せ	81	N/mm ²	205	N/mm ²	0.40 < 1.0
固定ボルト (1)	引張	59	N/mm ²	205	N/mm ²	0.29 < 1.0
	せん断	1	N/mm ²	118	N/mm ²	0.01 < 1.0
固定ボルト (2)	引張	12.4	kN	32.1	kN	0.39 < 1.0
	せん断	0.2	kN	22.3	kN	0.01 < 1.0
	組合せ	-		-		0.16 < 1.0

表 5-2 浸水防止蓋（第3号機海水熱交換器建屋海水ポンプ設置エリア点検用開口部）(No. 1) の
強度評価結果

評価対象部位		発生値 (応力度又は荷重)		許容限界		検定値
主桁	曲げ	153	N/mm ²	205	N/mm ²	0.75 < 1.0
	せん断	16	N/mm ²	118	N/mm ²	0.14 < 1.0
	組合せ	155	N/mm ²	205	N/mm ²	0.76 < 1.0
スキンプレート	曲げ	41	N/mm ²	205	N/mm ²	0.20 < 1.0
	せん断	2	N/mm ²	118	N/mm ²	0.02 < 1.0
	組合せ	41	N/mm ²	205	N/mm ²	0.20 < 1.0
固定ボルト (1)	引張	48	N/mm ²	205	N/mm ²	0.24 < 1.0
	せん断	1	N/mm ²	118	N/mm ²	0.01 < 1.0
固定ボルト (2)	引張	14.1	kN	32.1	kN	0.44 < 1.0
	せん断	0.3	kN	22.5	kN	0.02 < 1.0
	組合せ	-		-		0.20 < 1.0
枠	下フランジ	曲げ	140	N/mm ²	205	N/mm ²
		せん断	3	N/mm ²	118	N/mm ²
		組合せ	140	N/mm ²	205	N/mm ²
	ウェブ	引張	8	N/mm ²	205	N/mm ²
		せん断	1	N/mm ²	118	N/mm ²

6. 浸水防護施設に関する補足説明
6.5 浸水防止設備に関する補足説明
6.5.3 浸水防止蓋に関する補足説明
6.5.3.7 浸水防止蓋（揚水井戸（第2号機海水ポンプ室防潮壁区画内）の耐震性についての計算書に関する補足説明

目 次

1.	概要	1
2.	一般事項	2
2.1	配置概要	2
2.2	構造計画	4
2.3	評価方針	5
2.4	適用規格・基準等	6
2.5	記号の説明	7
3.	評価対象部位	8
4.	固有値解析	9
4.1	固有振動数の計算方法	9
4.2	固有振動数の計算条件	10
4.3	固有振動数の計算結果	10
5.	構造強度評価	11
5.1	構造強度評価方法	11
5.2	荷重及び荷重の組合せ	11
5.3	許容限界	12
5.4	設計用地震力	15
5.5	評価方法	19
5.6	評価条件	27
6.	評価結果	28

1. 概要

本資料は、添付書類「VI-2-1-9 機能維持の基本方針」にて設定している構造強度に基づき、浸水防止設備のうち浸水防止蓋（揚水井戸（第2号機海水ポンプ室防潮壁区画内））（以下「浸水防止蓋」という。）が設計用地震力に対して、主要な構造部材が十分な構造健全性を有することを確認するものである。その耐震評価は浸水防止蓋の固有値解析及び応力評価により行う。

浸水防止蓋は、浸水防止設備としてSクラスの施設に分類される。以下、浸水防止設備としての構造強度評価を示す。

なお、浸水防止蓋の耐震評価においては、平成23年3月11日に発生した東北地方太平洋沖地震による地殻変動に伴い、牡鹿半島全体で約1mの地盤沈下が発生したことを考慮する。

2. 一般事項

2.1 配置概要

浸水防止蓋は、揚水井戸（第2号機海水ポンプ室防潮壁区画内）からの浸水を防止するため設置する。

浸水防止蓋の設置位置図を図2-1、浸水対策図を図2-2に示す。

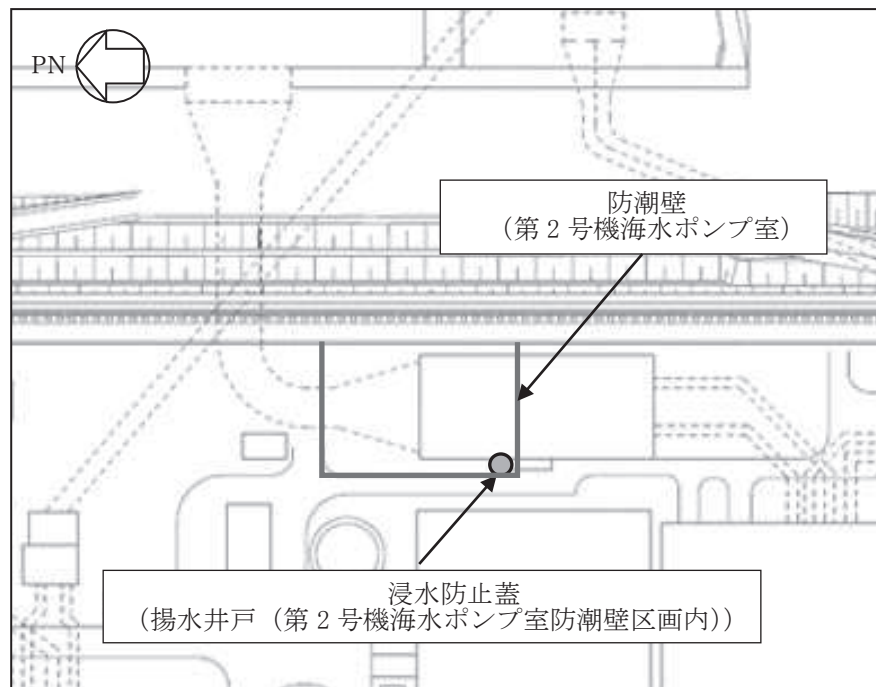


図2-1 浸水防止蓋の設置位置図

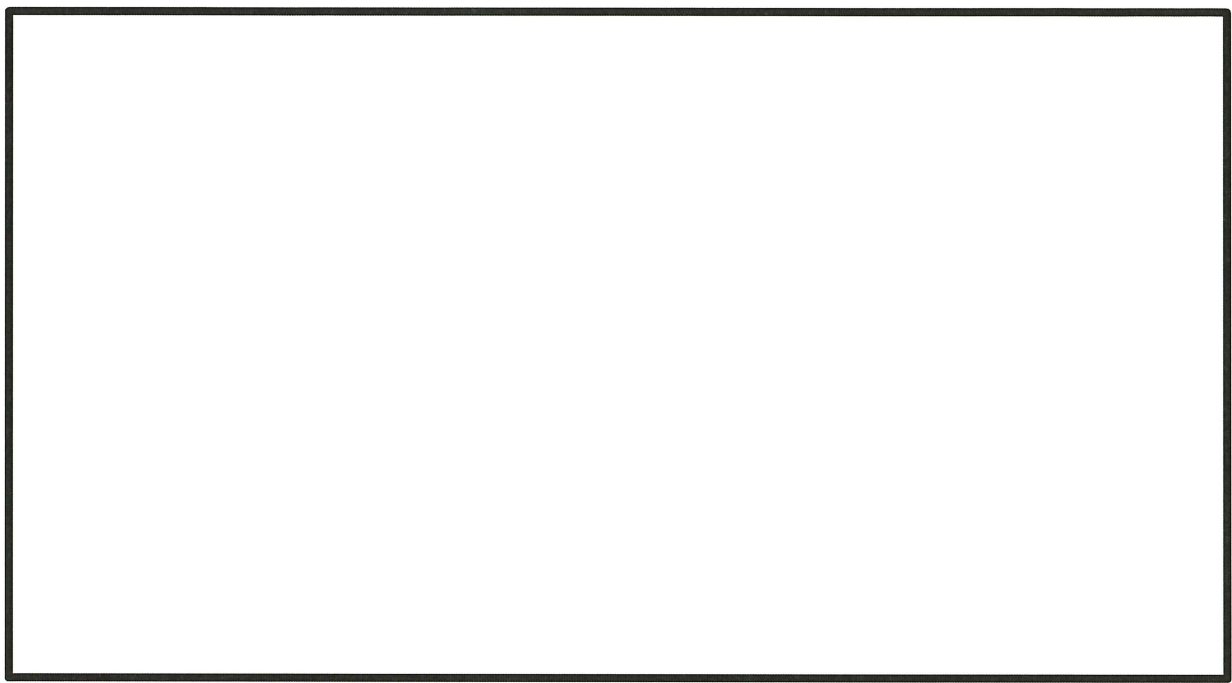


図 2-2 (1) 第 2 号機 海水ポンプ室 浸水対策配置図（平面図）

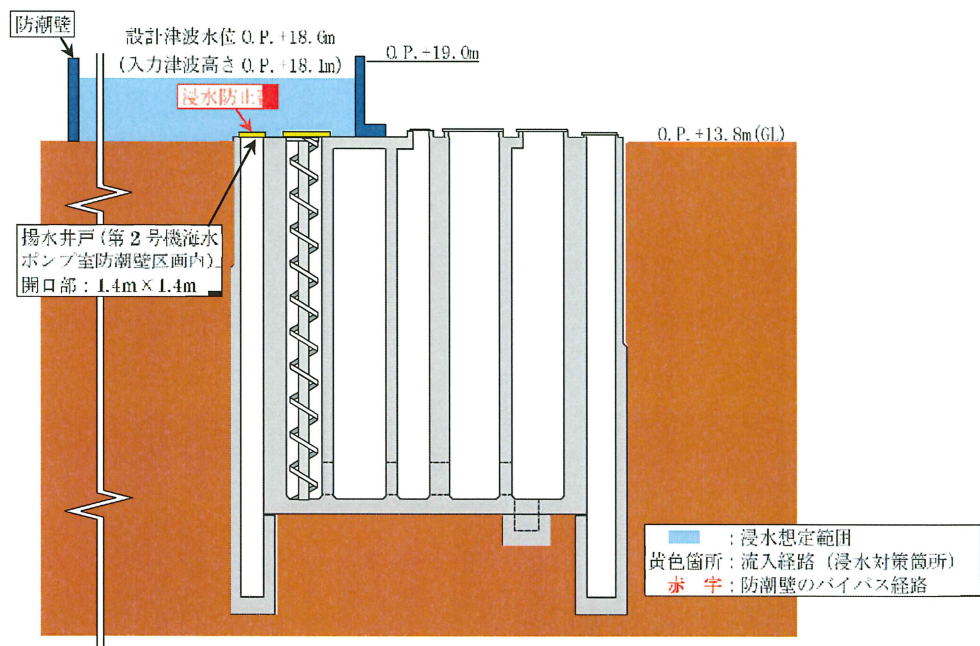


図 2-2 (2) 第 2 号機 海水ポンプ室 浸水対策配置図 (B-B 断面図)

枠囲みの内容は防護上の観点から公開できません。

2.2 構造計画

浸水防止蓋の構造は、長方形のスキンプレートに主桁（H型鋼）を組合せた構造とする。

浸水防止蓋は、揚水井戸（第2号機海水ポンプ室防潮壁区画内）上部に固定ボルトにて固定する。浸水防止蓋の構造計画を表2-1に示す。

表2-1 浸水防止蓋の構造計画

計画の概要		構造概略図
基礎・支持構造	主体構造	
揚水井戸（第2号機海水ポンプ室防潮壁区画内）上部に固定ボルトで固定する。	浸水防止蓋及び固定ボルトにより構成する。	

2.3 評価方針

浸水防止蓋の耐震評価は、添付書類「VI-2-1-9 機能維持の基本方針」にて設定した荷重及び荷重の組合せ並びに許容限界に基づき、「2.2 構造計画」に示す浸水防止蓋の構造を踏まえ、「3. 評価対象部位」にて設定する評価部位において、「4. 固有値解析」で算出した固有振動数に基づく設計用地震力により算出した応力等が許容限界内に収まるることを、「5. 構造強度評価」に示す方法にて確認する。応力評価の確認結果を「6. 評価結果」にて確認する。

耐震評価フローを図 2-3 に示す。

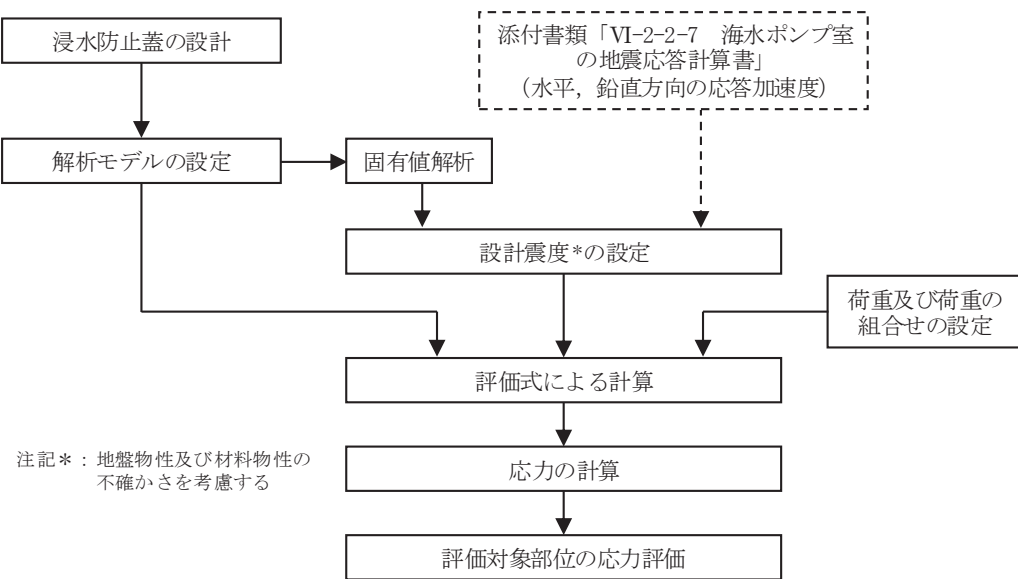


図 2-3 耐震評価フロー

2.4 適用規格・基準等

適用する規格、基準等を以下に示す。

- (1) 鋼構造設計規準－許容応力度設計法－（日本建築学会、2005改定）
- (2) 各種合成構造設計指針・同解説（日本建築学会、2010改定）
- (3) 機械工学便覧（日本機械学会、2005改訂）

2.5 記号の説明

浸水防止蓋の耐震評価に用いる記号を表 2-2 に示す。

表 2-2 浸水防止蓋の耐震評価に用いる記号

記号	単位	定義
S _s	kN	基準地震動 S _s による地震荷重
k _H	—	基準地震動 S _s の水平方向の設計震度
k _V	—	基準地震動 S _s の鉛直方向の設計震度
G	kN	固定荷重
P _s	kN	積雪荷重
W _s	N/m ²	1 cm 当りの積雪荷重
d _s	cm	積雪高さ
A	m ²	浸水防止蓋の面積
W _{s s}	kN/m ²	単位面積当たりの等分布荷重
W _{s s'}	kN/m	単位長さ当たりの等分布荷重
τ	N/mm ²	最大せん断応力度
σ	N/mm ²	最大曲げ応力度
Q	kN	最大せん断力
M	kN・m	最大曲げモーメント
x	N/mm ²	組合せ応力度
A _s	mm ²	せん断面積
Z	mm ³	断面係数
L ₁	mm	主桁の負担幅
L ₂	mm	主桁全長
L ₃	mm	スキンプレートの支持長辺長さ
L ₄	mm	スキンプレートの支持短辺長さ
β ₂	—	スキンプレートの辺長比に応じた係数
t	mm	スキンプレートの厚さ
N	本	浸水防止蓋に取り付く固定ボルトの本数
T _d	kN	固定ボルト 1 本当りに作用する引張力
q	kN	固定ボルト 1 本当りに作用するせん断力

3. 評価対象部位

浸水防止蓋の評価対象部位は、「2.2 構造計画」に設定している構造を踏まえて、地震に伴う荷重の作用方向及び伝達過程を考慮し設定する。

浸水防止蓋は、地震に伴う慣性力が浸水防止蓋のスキンプレート、主桁に伝わり、浸水防止蓋を固定する固定ボルトを介して軸体に伝達されることから、スキンプレート、主桁及び固定ボルトを評価対象部位として設定する。評価対象部位を図3-1に示す。

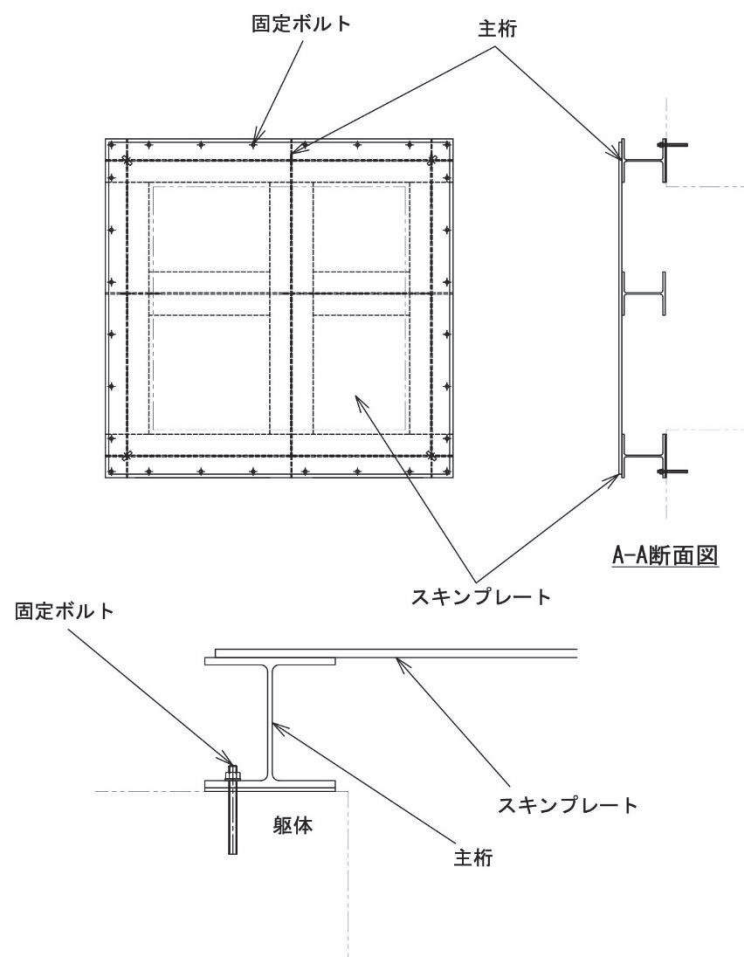


図3-1 評価対象部位

4. 固有値解析

4.1 固有振動数の計算方法

浸水防止蓋の構造に応じて解析モデルを設定し、固有振動数を算出する。

4.1.1 解析モデルの設定

浸水防止蓋は、スキンプレート及び主桁の組合せにより剛な断面を有しているとともに、固定ボルトを介し、浸水防止蓋と躯体を固定することから、浸水防止蓋の主桁を両端ピン支持に単純化したモデルとし、モデル化に用いるはり長さは、主桁の全長とする。図4-1に解析モデル図を示す。

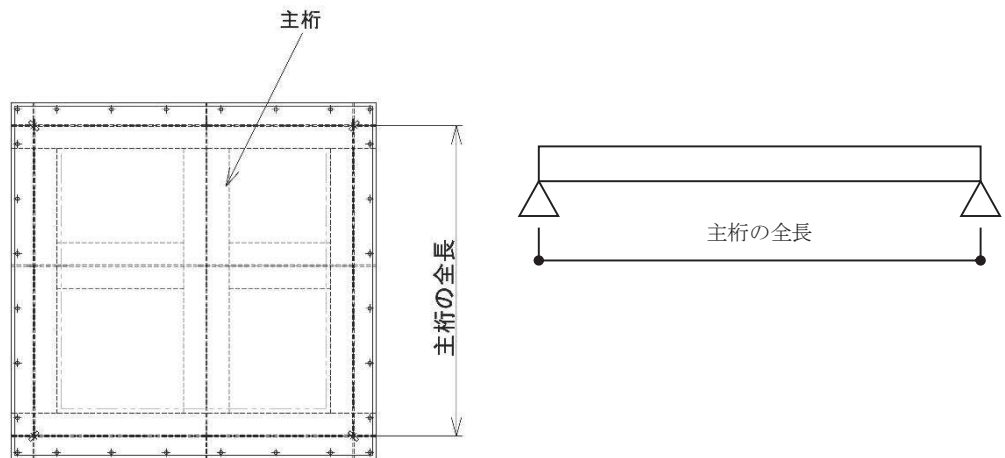


図4-1 浸水防止蓋の固有値解析モデル

4.1.2 記号の説明

浸水防止蓋の固有振動数算出に用いる記号を表4-1に示す。

表4-1 浸水防止蓋の固有振動数の計算に用いる記号

記号	単位	定義
f	Hz	一次固有振動数
L	mm	はりの長さ
E	N/mm ²	ヤング率
I	mm ⁴	主桁の断面二次モーメント
m	kg/mm	質量分布

4.1.3 固有振動数の算出方法

固有振動数 f を「土木学会構造力学公式集」を参考に以下の式より算出する。

$$f = \frac{\pi^2}{2\pi L^2} \sqrt{\frac{E \cdot I \cdot 10^3}{m}}$$

4.2 固有振動数の計算条件

固有振動数の計算条件を表4-2に示す。

表4-2 固有振動数の計算条件

はり長さ L (mm)	ヤング率 E (N/mm ²)	断面二次 モーメント I (mm ⁴)	質量分布 m (kg/mm)
1700	2.05×10^5	3.65×10^7	7.18×10^{-2}

4.3 固有振動数の計算結果

固有振動数の計算結果を表4-3に示す。固有振動数は20Hz以上であることから、剛構造である。

表4-3 固有振動数の計算結果

固有振動数 (Hz)	175.46
---------------	--------

5. 構造強度評価

5.1 構造強度評価方法

浸水防止蓋の耐震評価は、添付書類「VI-2-1-9 機能維持の基本方針」にて設定している荷重及び荷重の組合せ並びに許容限界を踏まえて、「3. 評価対象部位」にて設定する評価対象部位に作用する応力等が「5.3 許容限界」にて示す許容限界以下であることを確認する。

5.2 荷重及び荷重の組合せ

5.2.1 荷重の組合せ

浸水防止蓋の評価に用いる荷重の組合せを下記に示す。

$$G + S_s + P_s$$

ここで、 G : 固定荷重 (kN)

S_s : 基準地震動 S_s による地震荷重 (kN)

P_s : 積雪荷重 (kN)

5.2.2 荷重の設定

耐震評価に用いる荷重は、以下のとおりとする。

(1) 固定荷重 (G)

固定荷重として、浸水防止蓋を構成する部材の自重を考慮する。

(2) 積雪荷重 (P_s)

積雪荷重として、添付書類「VI-1-1-2 発電用原子炉施設の自然現象等による損傷の防止に関する説明書」のうち、添付書類「VI-1-1-2-1-1 発電用原子炉施設に対する自然現象等による損傷の防止に関する基本方針」に基づき 43cm の積雪量を想定し、平均的な積雪荷重を与えるための係数 0.35 を考慮する。

積雪荷重による質量は以下の式より算出する。

$$P_s = 0.35 \cdot W_s \cdot d_s \cdot A \cdot 10^{-3}$$

ここで、 P_s : 積雪荷重 (kN)

W_s : 1cm 当りの積雪荷重 20 (N/m²)

d_s : 積雪高さ 43 (cm)

A : 浸水防止蓋の面積 (m²)

(3) 基準地震動 S_s による地震荷重 (S_s)

地震荷重として、基準地震動 S_s に伴う慣性力を考慮する。地震荷重は浸水防止蓋の固定荷重及び積雪荷重に設計震度を乗じた次式により算出する。

$$S_s = (G + P_s) \cdot k$$

ここで、
 S_s : 基準地震動 S_s による地震荷重 (kN)
 G : 固定荷重 (kN)
 P_s : 積雪荷重 (kN)
 k : 基準地震動 S_s の設計震度

5.3 許容限界

許容限界は、添付書類「VI-2-1-9 機能維持の基本方針」にて設定している許容限界を踏まえて設定する。

5.3.1 使用材料

浸水防止蓋を構成するスキンプレート、主桁、固定ボルトの使用材料を表 5-1 に示す。

表 5-1 使用材料

評価対象部位	材質	仕様
スキンプレート	SM490Y	$t = 16$ (mm)
主桁	SM490Y	H-250×250×9×14 (mm)
固定ボルト	SM490Y	M16

5.3.2 許容限界

(1) スキンプレート、主桁

鋼材の許容応力度は、「鋼構造設計規準－許容応力度設計法－（日本建築学会、2005 改定）」を踏まえて表 5-2 の値とする。

表 5-2 鋼材の短期許容応力度

材質	短期許容応力度 (N/mm ²)	
	曲げ	せん断
SM490Y	325	188

(2) 固定ボルト

固定ボルトの許容荷重は、「3. 評価対象部位」に記載した固定ボルトに作用する荷重

の向きを踏まえて、「各種合成構造設計指針・同解説（日本建築学会、2010 改定）」に基づき算定する。

固定ボルトは躯体に埋め込まれていることから、固定ボルトが引張力を受ける場合においては、固定ボルトの降伏により決まる許容荷重（ P_{a1} ），付着力により決まる許容荷重（ P_{a3} ）を比較して、いずれか小さい値を採用する。また、固定ボルトがせん断力を受ける場合においては、固定ボルトのせん断強度により決まる許容荷重（ q_{a1} ），定着したコンクリート躯体の支圧強度により決まる許容荷重（ q_{a2} ）及びコーン状破壊により決まる許容荷重（ q_{a3} ）を比較して、いずれか小さい値を採用する。

地震荷重を考慮する場合の固定ボルトの許容荷重の設定に用いる入力値を表 5-3 に、許容荷重を表 5-4 に示す。

引張力を受ける場合

$$P_{a1} = \Phi_1 \cdot {}_s\sigma_{pa} \cdot {}_{sc}a$$

$$P_{a3} = \Phi_3 \cdot \tau_a \cdot \pi \cdot d_a \cdot l_{ce}$$

ここで、 P_{a1} : 固定ボルトの降伏により決まる場合の固定ボルト 1 本当たりの許容引張力 (N)

P_{a3} : 固定ボルトの付着力により決まる場合の固定ボルト 1 本当たりの許容引張力 (N)

Φ_1 : 低減係数 (短期荷重用)

Φ_3 : 低減係数 (短期荷重用)

${}_s\sigma_{pa}$: 固定ボルトの引張強度 ($= {}_s\sigma_y$) (N/mm²)

${}_s\sigma_y$: 固定ボルトの規格降伏点強度 (N/mm²)

${}_{sc}a$: 固定ボルトの断面積 (mm²)

d_a : 固定ボルトの径 (mm)

l_{ce} : 固定ボルトの強度算定用埋込み長さ ($= l_e - 2d_a$) (mm)

τ_a : へりあき及び固定ボルトのピッチによる付着強度の低減係数

せん断力を受ける場合

$$q_{a1} = \Phi_1 \cdot {}_s\sigma_{qa} \cdot {}_{sc}a$$

$$q_{a2} = \Phi_2 \cdot {}_c\sigma_{qa} \cdot {}_{sc}a$$

$$q_{a3} = \Phi_2 \cdot {}_c\sigma_t \cdot A_{qc}$$

ここで、 q_{a1} : 固定ボルトのせん断強度により決まる場合の固定ボルト 1 本当たりの許容せん断力 (N)

q_{a2} : 定着した躯体の支圧強度により決まる場合の固定ボルト 1 本当たりの許容せん断力 (N)

q_{a3} : 定着した躯体のコーン状破壊により決まる場合の固定ボルト 1 本当たりの許容せん断力 (N)

Φ_1 : 低減係数 (短期荷重用)

Φ_2	：低減係数（短期荷重用）
$s \sigma_{qa}$	：固定ボルトのせん断強度 ($=0.7 \cdot s \sigma_y$) (N/mm ²)
$s \sigma_y$	：固定ボルトの規格降伏点強度 (N/mm ²)
$s_c a$	：固定ボルトの断面積 (mm ²)
$c \sigma_{qa}$	：コンクリートの支圧強度 (N/mm ²) ($=0.5 \sqrt{F_c \cdot E_c}$)
$c \sigma_t$	：コーン状破壊に対するコンクリートの引張強度 (N/mm ²) $(=0.31 \sqrt{F_c})$
F_c	：コンクリートの設計基準強度 (N/mm ²)
E_c	：コンクリートのヤング係数 (N/mm ²)
A_{qc}	：せん断力に対するコーン状破壊面の有効投影面積 (mm ²)

表 5-3 固定ボルトの許容荷重の設定に用いる入力値

記号	単位	定義	数値
Φ_1	—	低減係数（短期荷重用）	1.0
Φ_2	—	低減係数（短期荷重用）	2/3
Φ_3	—	低減係数（短期荷重用）	2/3
$s \sigma_{pa}$	N/mm ²	固定ボルトの引張強度	325
$s \sigma_y$	N/mm ²	固定ボルトの規格降伏点強度	325
$s_c a$	mm ²	固定ボルトの断面積	157
d_a	mm	固定ボルトの径	16
l_{ce}	mm	固定ボルトの強度算定用埋込み長さ	168
τ_a	—	へりあき及び固定ボルトのピッチによる付着強度の低減係数	6.71
$s \sigma_{qa}$	N/mm ²	固定ボルトのせん断強度	227.50
$c \sigma_{qa}$	N/mm ²	コンクリートの支圧強度	346.82
$c \sigma_t$	N/mm ²	コーン状破壊に対するコンクリートの引張強度	1.40
F_c	N/mm ²	コンクリートの設計基準強度	20.5
E_c	N/mm ²	コンクリートのヤング係数	23470
A_{qc}	mm ²	せん断力に対するコーン状破壊面の有効投影面積	35343

表 5-4 地震荷重を考慮する場合の固定ボルトの短期許容荷重

材質	短期許容荷重 (kN)						
	引張			せん断			
	P _{a1}	P _{a3}	設定値	q _{a1}	q _{a2}	q _{a3}	設定値
SM490Y	51.0	37.7	37.7	35.7	36.3	32.9	32.9

5.4 設計用地震力

浸水防止蓋を設置する揚水井戸（第2号機海水ポンプ室防潮壁区画内）と一体構造となる原子炉機器冷却海水配管ダクト（鉛直部）は、規模及び重量共に大きい海水ポンプ室に懸架されており、海水ポンプ室と一体となって挙動する。また、「4. 固有値解析」に示したとおり、浸水防止蓋の固有振動数は20Hz以上であることから、浸水防止蓋の耐震評価に用いる設計震度は、海水ポンプ室の地盤物性及び材料物性の不確かさを考慮したものとして添付書類「VI-2-2-7 海水ポンプ室の地震応答計算書」の地震応答解析結果を用いる。地震応答解析ケースを表5-5に示す。耐震評価に用いる応答加速度は、原子炉機器冷却海水配管ダクト（鉛直部）が接する図5-1に示すスクリーンエリア及び補機ポンプエリアのうち最大加速度が大きい方を用いる。

耐震評価で用いる海水ポンプ室の最大加速度分布図を図5-2に、最大加速度を表5-6に、設計震度を表5-7に示す。

表5-5 海水ポンプ室の地震応答解析ケース

解析ケース	材料物性 (コンクリート) (E_0 :ヤング係数)	地盤物性	
		盛土、旧表土、 改良地盤、 D 級岩盤 (G_0 :初期せん断弾性係数)	C_L 級岩盤、 C_M 級岩盤、 C_H 級岩盤、 B 級岩盤 (G_d :動せん断弾性係数)
ケース① (基本ケース)	設計基準強度	平均値	平均値
ケース②	設計基準強度	平均値+1 σ	平均値
ケース③	設計基準強度	平均値-1 σ	平均値
ケース④	実強度に基づく 圧縮強度*	平均値	平均値

注記*：既設構造物のコア採取による圧縮強度試験の結果を使用する。

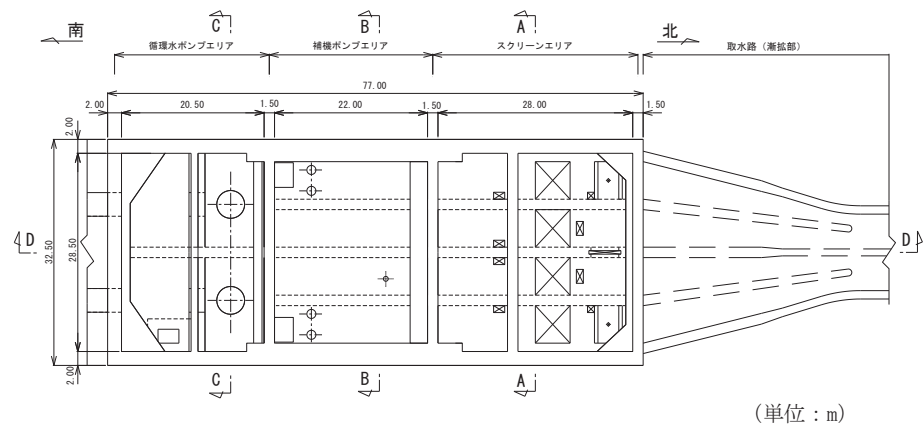


図 5-1 (1) 海水ポンプ室平面図

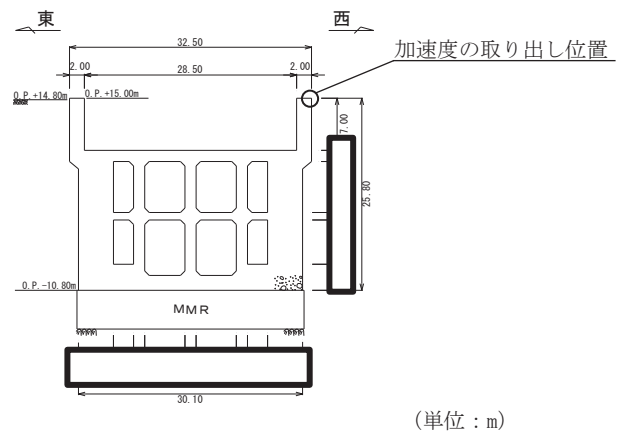


図 5-1 (2) 海水ポンプ室断面図 (スクリーンエリア) (A-A 断面)

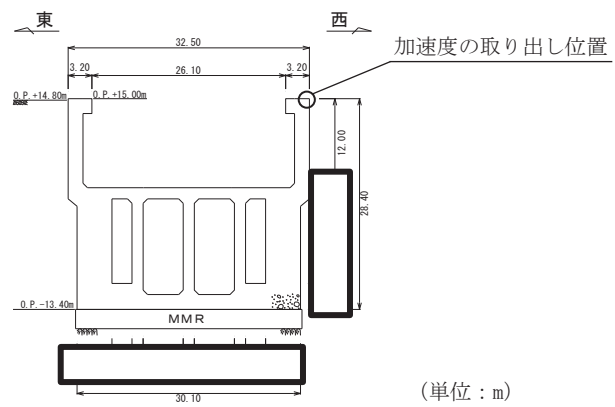
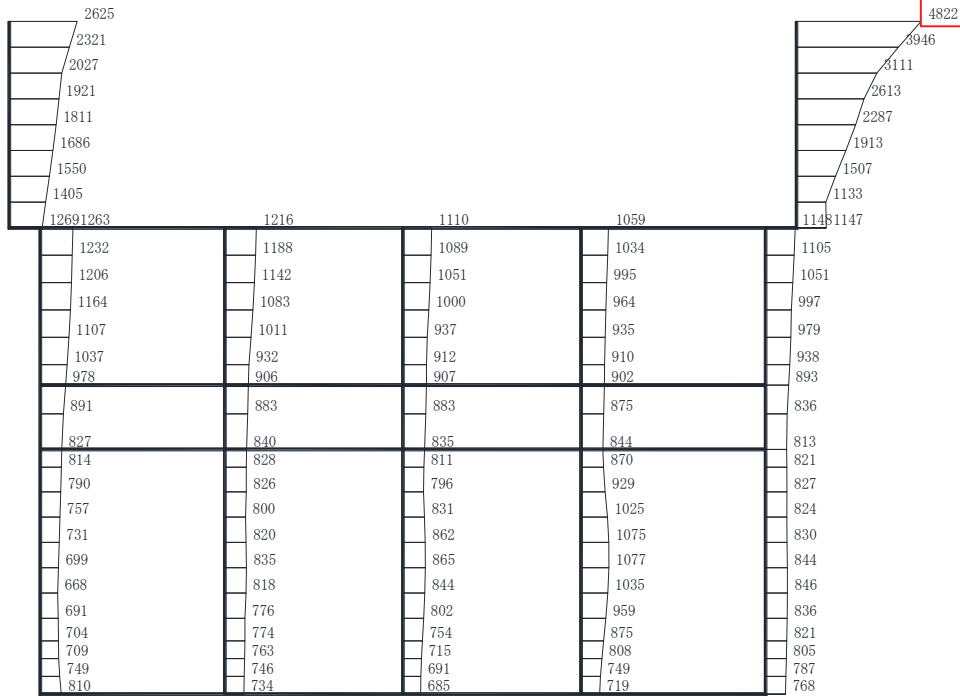


図 5-1 (3) 海水ポンプ室断面図 (補機ポンプエリア) (B-B 断面)

枠囲みの内容は防護上の観点から公開できません。

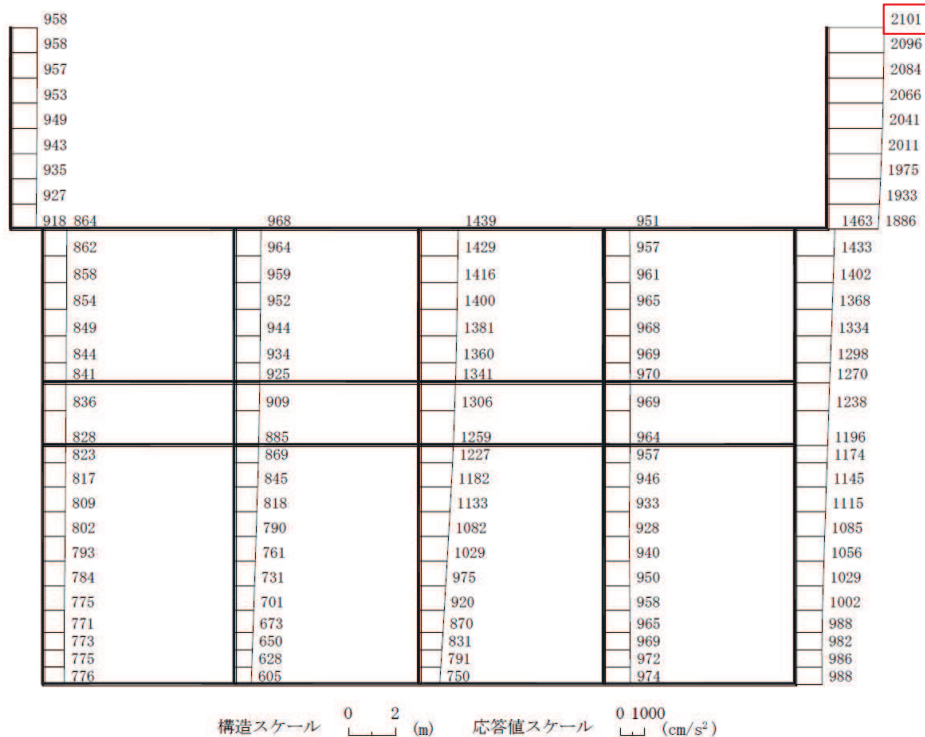
□：耐震評価に用いる最大加速度



(スクリーンエリア (東西方向), Ss-D1 (++) , 解析ケース②)

図 5-2 (1) 最大加速度分布図 (水平方向)

□：耐震評価に用いる最大加速度



構造スケール 0 2 (m) 応答値スケール 0 1000 (cm/s²)

(スクリーンエリア (南北方向), Ss-N1 (++) , 解析ケース④)

図 5-2 (2) 最大加速度分布図 (鉛直方向)

表 5-6 (1) 最大加速度 (水平方向)

地震時荷重算出断面	地震動	位相	解析ケース	最大加速度 (cm/s^2)
スクリーンエリア (東西方向)	S s - D 1	++	ケース②	4822

表 5-6 (2) 最大加速度 (鉛直方向)

地震時荷重算出断面	地震動	位相	解析ケース	最大加速度 (cm/s^2)
スクリーンエリア (東西方向)	S s - N 1	++	ケース④	2101

表 5-7 設計震度

設置場所	床面高さ (m)	基準地震動 S s の設計震度	
		水平方向 k_H	鉛直方向 k_v
揚水井戸 (第 2 号 機海水ポンプ室防 潮壁区画内)	0. P. 14.0	4.92	2.15

5.5 評価方法

浸水防止蓋を構成する主桁、スキンプレート及び固定ボルトに発生する応力より算定する応力度が、許容限界以下であることを確認する。主桁とスキンプレートについては、評価上最も厳しい条件となる断面で評価を実施する。図5-3、図5-4にそれぞれ評価の対象とする主桁、スキンプレートを示す。また、図5-5に固定ボルトの納まりを示す。

5.5.1 主桁

主桁の支持条件は両端をピン支持とし、図5-3に示すとおり、主桁が荷重を負担する範囲が最も大きくなり、評価上最も厳しい条件となるよう評価を実施する。

(1) 基準地震動 S_s による地震荷重 S_s

$$S_s = (G + P_s) \cdot k_v$$

ここで、 S_s : 基準地震動 S_s による地震荷重 (kN)

G : 主桁とスキンプレートの固定荷重 (kN)

P_s : 積雪荷重 (kN)

k_v : 基準地震動 S_s の鉛直方向の設計震度

(2) 主桁に作用する単位長さ当たりの鉛直方向の等分布荷重 $W_{s,s'}$

$$W_{s,s'} = (G + S_s + P_s) \cdot L_1 \cdot 10^{-3} / A$$

ここで、 $W_{s,s'}$: 主桁に作用する単位長さ当たりの鉛直方向の等分布荷重 (kN/m)

G : 主桁とスキンプレートの固定荷重 (kN)

S_s : 基準地震動 S_s による地震荷重 (kN)

P_s : 積雪荷重 (kN)

L_1 : 主桁の負担幅 (mm)

A : 浸水防止蓋の面積 (m^2)

(3) 主桁に作用する最大せん断応力度 τ

$$\tau = (Q \cdot 10^3) / A_s$$

τ : 主桁に作用する最大せん断応力度 (N/mm^2)

Q : 主桁に作用する最大せん断力 (kN)

A_s : 主桁のせん断断面積 (mm^2)

$$\text{ここで, } Q = 1/2 \cdot W_{s,s'} \cdot L_2 \cdot 10^{-3}$$

Q : 主桁に作用する最大せん断力 (kN)

$W_{s,s'}$: 主桁に作用する単位長さ当たりの鉛直方向の等分布荷重 (kN/m)

L_2 : 主桁全長 (mm)

(4) 主桁に作用する最大曲げ応力度 σ

$$\sigma = (M \cdot 10^6) / Z$$

σ : 主桁に作用する最大曲げ応力度 (N/mm^2)

M : 主桁に作用する最大曲げモーメント ($kN \cdot m$)

Z : 主桁の断面係数 (mm^3)

$$\text{ここで, } M = 1/8 \cdot W_s s' \cdot (L_2 \cdot 10^{-3})^2$$

M : 主桁に作用する最大曲げモーメント ($kN \cdot m$)

$W_s s'$: 主桁に作用する単位長さ当たりの鉛直方向の等分布荷重 (kN/m)

L_2 : 主桁全長 (mm)

(5) 主桁に作用する組合せ応力度

主桁に作用する曲げ応力度、せん断応力度を算定し、主桁の短期許容応力度以下であることを確認する。また、主桁に生じる曲げ応力度とせん断応力度から、組合せ応力度を「鋼構造設計規準－許容応力度設計法－（日本建築学会、2005 改定）」に基づく次式により算定し、短期許容応力度以下であることを確認する。

$$x = \sqrt{\sigma^2 + 3 \cdot \tau^2}$$

ここで、 x : 組合せ応力度 (N/mm^2)

σ : 曲げ応力度 (N/mm^2)

τ : せん断応力度 (N/mm^2)

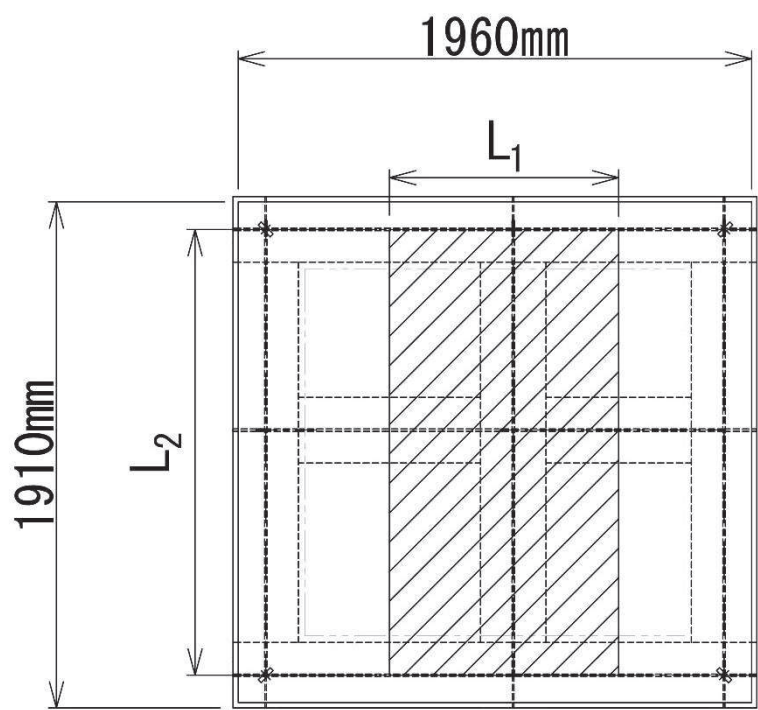


図 5-3 評価の対象とする主桁

5.5.2 スキンプレート

スキンプレートの支持条件は四辺固定とし、図 5-4 に示すとおり、評価上最も厳しい条件となるよう評価を実施する。曲げ応力度及びせん断応力度は「機械工学便覧（日本機械学会、2005 改訂）」より以下の式にて算出する。

(1) 基準地震動 S_s による地震荷重 S_s

$$S_s = (G + P_s) \cdot k_v$$

ここで、 S_s : 基準地震動 S_s による地震荷重 (kN)

G : スキンプレートの固定荷重 (kN)

P_s : 積雪荷重 (kN)

k_v : 基準地震動 S_s の鉛直方向の設計震度

(2) スキンプレートに作用する単位面積当たりの鉛直方向の荷重 W_{ss}

$$W_{ss} = (G + S_s + P_s) / A$$

ここで、 W_{ss} : スキンプレートに作用する単位面積当たりの鉛直方向の等分布荷重 (kN/m^2)

G : スキンプレートの固定荷重 (kN)

S_s : 基準地震動 S_s による地震荷重 (kN)

P_s : 積雪荷重 (kN)

A : 浸水防止蓋の面積 (m^2)

(3) スキンプレートに作用する最大曲げ応力度 σ

スキンプレートに作用する曲げ応力度は「機械工学便覧（日本機械学会、2005 改訂）」に基づき次式により算出する。

$$\sigma = \beta_2 \cdot W_{ss} \cdot L_4^2 \cdot 10^{-3} / t^2$$

ここで、 σ : スキンプレートに作用する最大曲げ応力度 (N/mm^2)

β_2 : スキンプレートの辺長比に応じた係数

W_{ss} : スキンプレートに作用する単位面積当たりの鉛直方向の等分布荷重 (kN/m^2)

L_4 : スキンプレートの支持短辺長さ (mm)

t : スキンプレートの厚さ (mm)

(4) スキンプレートに作用する最大せん断応力度 τ

スキンプレートに作用するせん断応力度は「機械工学便覧（日本機械学会、2005 改訂）」に基づき次式により算出する。

$$\tau = W_{ss} \cdot L_3 \cdot L_4 \cdot 10^{-3} / (t \cdot (L_3 + L_4) \cdot 2)$$

ここで, τ : スキンプレートに作用する最大せん断応力度 (N/mm²)

W_{ss} : スキンプレートに作用する単位面積当たりの鉛直方向の等分布荷重 (kN/m²)

L_3 : スキンプレートの支持長辺長さ (mm)

L_4 : スキンプレートの支持短辺長さ (mm)

t : スキンプレートの厚さ (mm)

(5) スキンプレートに作用する組合せ応力度

スキンプレートに作用する曲げ応力度、せん断応力度を算定し、スキンプレートの短期許容応力度以下であることを確認する。また、スキンプレートに生じる曲げ応力度とせん断応力度から、組合せ応力度を「鋼構造設計規準－許容応力度設計法－（日本建築学会、2005 改定）」に基づく次式により算定し、短期許容応力度以下であることを確認する。

$$x = \sqrt{\sigma^2 + 3 \cdot \tau^2}$$

ここで, x : 組合せ応力度 (N/mm²)

σ : 曲げ応力度 (N/mm²)

τ : せん断応力度 (N/mm²)

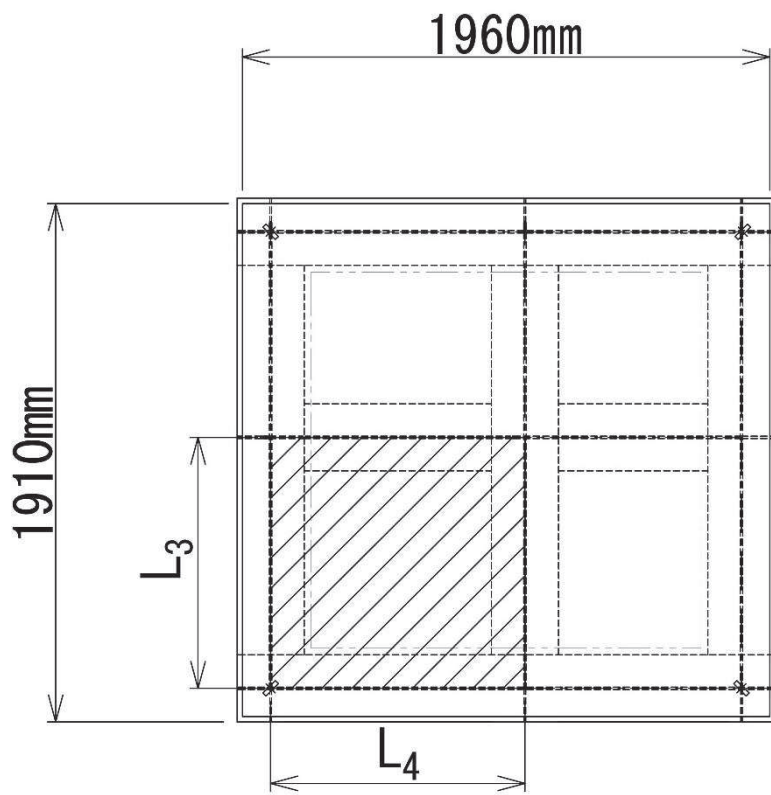


図 5-4 評価の対象とするスキンプレート

5.5.3 固定ボルト

- (1) 基準地震動 S_s による水平方向の地震荷重 S_s

$$S_s = (G + P_s) \cdot k_H$$

ここで, S_s : 基準地震動 S_s による水平方向の地震荷重 (kN)

G : 浸水防止蓋の固定荷重 (kN)

P_s : 積雪荷重 (kN)

k_H : 基準地震動 S_s の水平方向の設計震度

- (2) 基準地震動 S_s による鉛直方向の地震荷重 S_s

$$S_s = (G + P_s) \cdot k_V$$

ここで, S_s : 基準地震動 S_s による鉛直方向の地震荷重 (kN)

G : 浸水防止蓋の固定荷重 (kN)

P_s : 積雪荷重 (kN)

k_V : 基準地震動 S_s の鉛直方向の設計震度

- (3) 固定ボルトに作用する引張力 T_d

$$T_d = S_s / N$$

ここで, T_d : 固定ボルト 1 本当りに作用する引張力 (kN)

S_s : 基準地震動 S_s による鉛直方向の地震荷重 (kN)

N : 浸水防止蓋に取り付く固定ボルトの本数

- (4) 固定ボルトに作用するせん断力 q

$$q = S_s / N$$

ここで, q : 固定ボルト 1 本当りに作用するせん断力 (kN)

S_s : 基準地震動 S_s による水平方向の地震荷重 (kN)

N : 浸水防止蓋に取り付く固定ボルトの本数

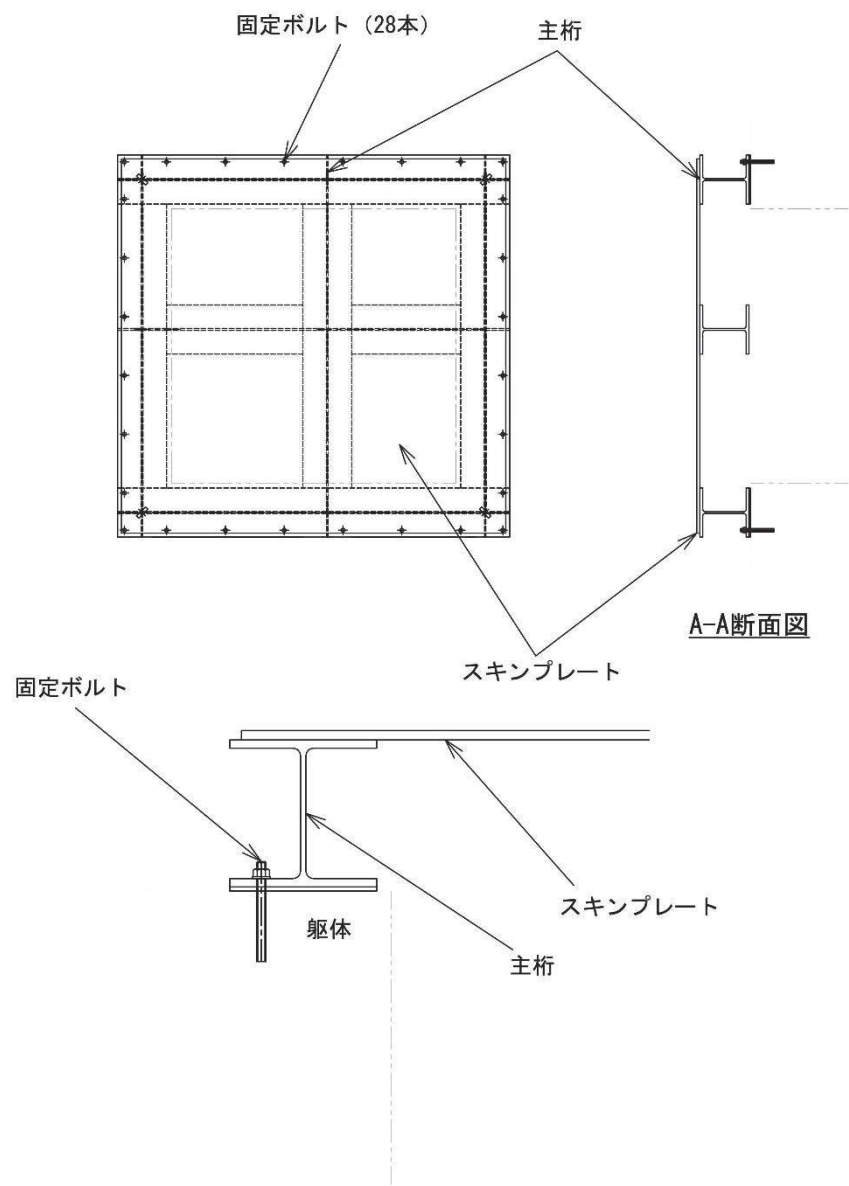


図 5-5 固定ボルトの納まり

5.6 評価条件

浸水防止蓋の耐震評価に用いる入力値を表 5-8 に示す。

表 5-8 浸水防止蓋の耐震評価に用いる入力値

評価対象 部位	記号	単位	定義	数値
主桁	G	kN	主桁とスキンプレートの固定荷重	11.28
	P _s	kN	積雪荷重	1.13
	A	m ²	浸水防止蓋の面積	3.74
	L ₁	mm	主桁の負担幅	875
	L ₂	mm	主桁全長	1700
	A _s	mm ²	主桁のせん断断面積	1998
	Z	mm ³	主桁の断面係数	8.46 × 10 ⁵
スキン プレート	G	kN	スキンプレートの固定荷重	4.61
	P _s	kN	積雪荷重	1.13
	A	m ²	浸水防止蓋の面積	3.74
	L ₃	mm	スキンプレートの支持長辺長さ	945
	L ₄	mm	スキンプレートの支持短辺長さ	935
	β ₂	—	スキンプレートの辺長比に応じた係数	0.4
	t	mm	スキンプレートの厚さ	16
固定 ボルト	G	kN	主桁とスキンプレートの固定荷重	11.28
	P _s	kN	積雪荷重	1.13
	N	本	浸水防止蓋に取り付く固定ボルトの本数	28

6. 評価結果

浸水防止蓋の耐震評価結果を表 6-1 に示す。各部材の断面検定を行った結果、すべての部材において発生応力又は応力度が許容限界以下であることを確認した。

表 6-1 浸水防止蓋の耐震評価結果

評価対象部位		発生値 (応力度又は荷重)		許容限界		検定値
主桁	曲げ	4	N/mm ²	325	N/mm ²	0.02<1.0
	せん断	4	N/mm ²	188	N/mm ²	0.03<1.0
	組合せ	8	N/mm ²	325	N/mm ²	0.03<1.0
スキンプレート	曲げ	7	N/mm ²	325	N/mm ²	0.03<1.0
	せん断	1	N/mm ²	188	N/mm ²	0.01<1.0
	組合せ	8	N/mm ²	325	N/mm ²	0.03<1.0
固定ボルト	引張	1.0	kN	37.7	kN	0.03<1.0
	せん断	2.2	kN	32.9	kN	0.07<1.0
	組合せ	—		—		0.01<1.0

- 6. 浸水防護施設に関する補足説明
- 6.5 浸水防止設備に関する補足説明
- 6.5.3 浸水防止蓋に関する補足説明
- 6.5.3.8 浸水防止蓋（揚水井戸（第2号機海水ポンプ室防潮壁区画内）の強度計算書に関する
補足説明

目 次

1.	概要	1
2.	一般事項	2
2.1	配置概要	2
2.2	構造計画	4
2.3	評価方針	5
2.4	適用基準	6
2.5	記号の説明	7
3.	評価対象部位	8
4.	構造強度評価	9
4.1	構造強度評価方法	9
4.2	荷重及び荷重の組合せ	9
4.3	許容限界	15
4.4	評価方法	19
4.5	評価条件	27
5.	評価結果	28

1. 概要

本資料は、添付書類「VI-3-別添3-1 津波への配慮が必要な施設の強度計算の方針」にて設定している構造強度に基づき、浸水防止設備のうち浸水防止蓋（第2号機海水ポンプ室防潮壁区画内）（以下「浸水防止蓋」という。）が地震後の繰返しの襲来を想定した津波荷重及び余震を考慮した荷重に対して、主要な構造部材が十分な構造強度を有していることを説明するものである。

なお、浸水防止蓋の強度評価においては、平成23年3月11日に発生した東北地方太平洋沖地震による地殻変動に伴い、牡鹿半島全体で約1mの地盤沈下が発生したことを考慮する。

2. 一般事項

2.1 配置概要

浸水防止蓋は、揚水井戸（第2号機海水ポンプ室防潮壁区画内）からの浸水を防止するため設置する。

浸水防止蓋の設置位置図を図2-1に、浸水対策図を図2-2に示す。

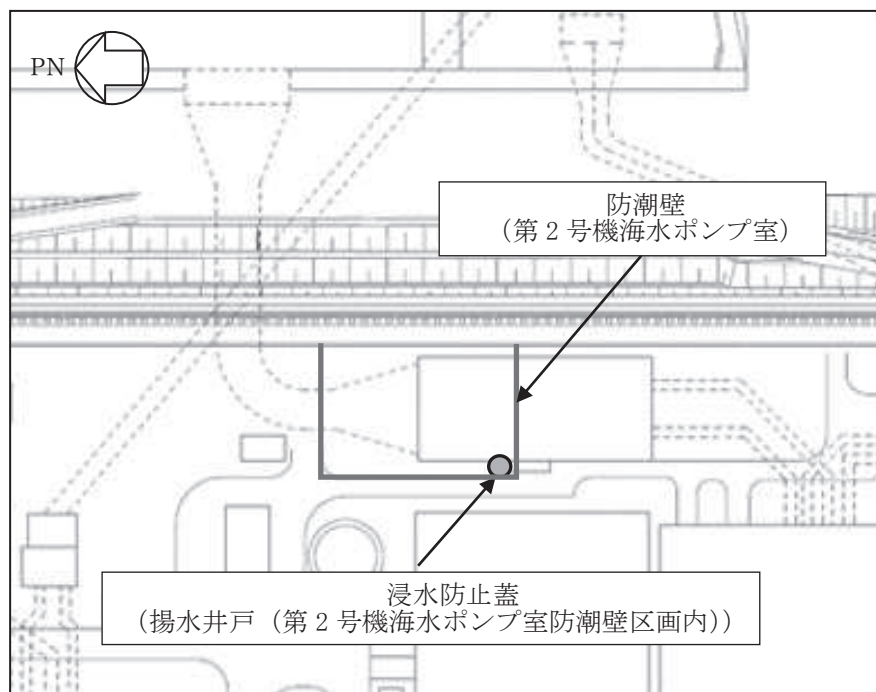


図2-1 浸水防止蓋の設置位置図

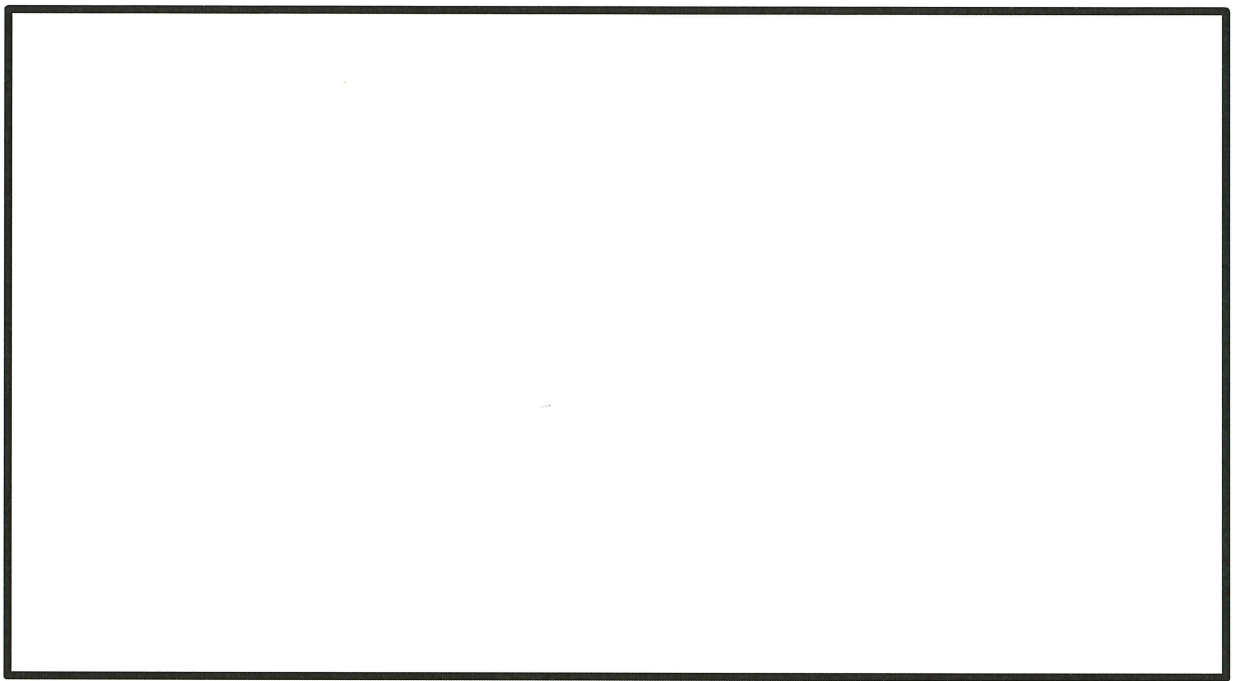


図 2-2 (1) 第 2 号機 海水ポンプ室 浸水対策配置図 (平面図)

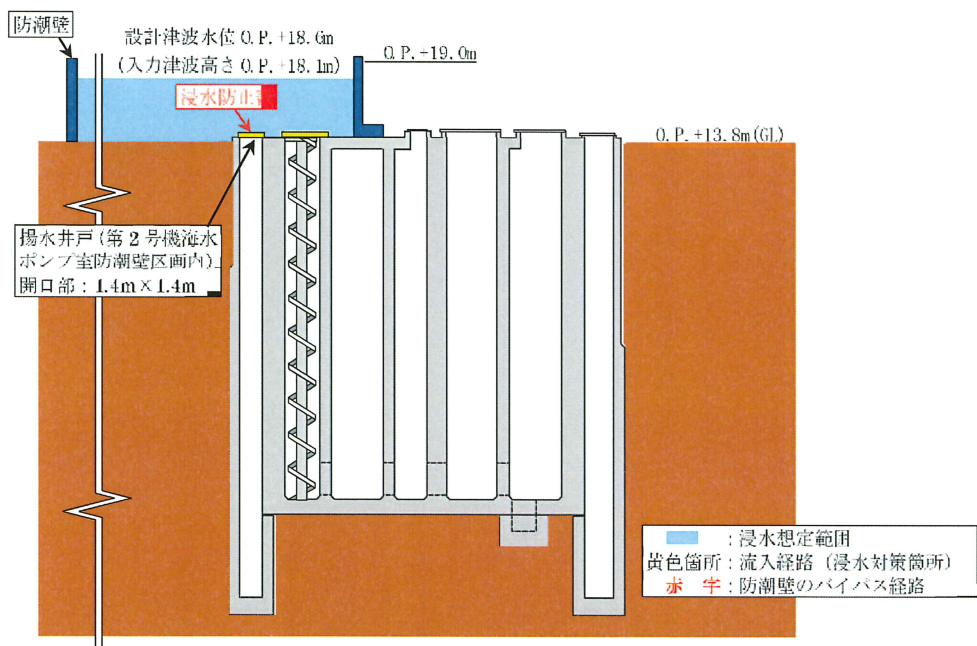


図 2-2 (2) 第 2 号機 海水ポンプ室 浸水対策配置図 (B-B 断面図)

枠囲みの内容は防護上の観点から公開できません。

2.2 構造計画

浸水防止蓋の構造は、長方形のスキンプレートに主桁（H型鋼）を組合せた構造とする。

浸水防止蓋は、揚水井戸（第2号機海水ポンプ室防潮壁区画内）上部に固定ボルトにて固定する。浸水防止蓋の構造計画を表2-1に示す。

表2-1 浸水防止蓋の構造計画

計画の概要		構造概略図
基礎・支持構造	主体構造	
揚水井戸（第2号機海水ポンプ室防潮壁区画内）上部に固定ボルトで固定する。	浸水防止蓋及び固定ボルトにより構成する。	

2.3 評価方針

浸水防止蓋の強度評価は、添付書類「VI-3-別添 3-1 津波への配慮が必要な施設の強度計算の方針」にて設定した荷重及び荷重の組合せ並びに許容限界に基づき、「2.2 構造計画」に示す浸水防止蓋の構造を踏まえ、「3. 評価対象部位」にて設定する評価部位において、「4.4 評価方法」で算出した応力等が許容限界内に収まることを、「4. 構造強度評価」に示す方法にて確認する。強度評価の確認結果を「5. 評価結果」にて確認する。

強度評価フローを図 2-3 に示す。

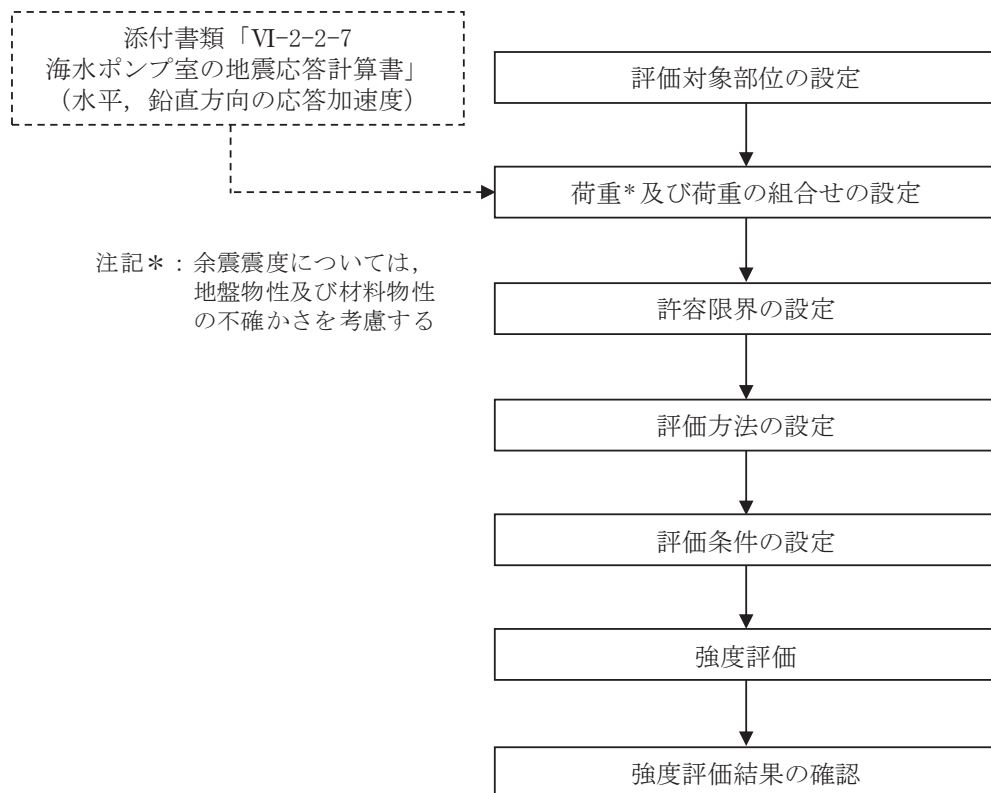


図 2-3 強度評価フロー

2.4 適用基準

適用する規格、基準等を以下に示す。

- (1) 鋼構造設計規準－許容応力度設計法－（日本建築学会、2005 改定）
- (2) 各種合成構造設計指針・同解説（日本建築学会、2010 改定）
- (3) 機械工学便覧（日本機械学会、2005 改訂）

2.5 記号の説明

浸水防止蓋の強度評価に用いる記号を表 2-2 にそれぞれ示す。

表 2-2 浸水防止蓋の強度評価に用いる記号

記号	単位	定義
S d	kN	弾性設計用地震動 S d - D 2 による余震荷重
α_H	—	弾性設計用地震動 S d - D 2 の水平方向の余震震度
α_V	—	弾性設計用地震動 S d - D 2 の鉛直方向の余震震度
G	kN	固定荷重
P h	kN	浸水津波荷重
ρ_o	t/m ³	水の密度
g	m/s ²	重力加速度
h ₁	0. P. m	設計津波水位
h ₂	0. P. m	浸水防止蓋の設置高さ
A	m ²	浸水防止蓋の面積
P s	kN	積雪荷重
W s	N/m ²	1 cm当りの積雪荷重
d s	cm	積雪高さ
W s s	kN/m ²	単位面積当りの等分布荷重
W s s'	kN/m	単位長さ当りの等分布荷重
τ	N/mm ²	最大せん断応力度
σ	N/mm ²	最大曲げ応力度
Q	kN	最大せん断力
M	kN・m	最大曲げモーメント
x	N/mm ²	組合せ応力度
A s	mm ²	せん断面積
Z	mm ³	断面係数
L ₁	mm	主桁の負担幅
L ₂	mm	主桁全長
L ₃	mm	スキンプレートの支持長辺長さ
L ₄	mm	スキンプレートの支持短辺長さ
β_2	—	スキンプレートの辺長比に応じた係数
t	mm	スキンプレートの厚さ
N	本	浸水防止蓋に取り付く固定ボルトの本数
T d	kN	固定ボルト 1 本当りに作用する引張力
q	kN	固定ボルト 1 本当りに作用するせん断力

3. 評価対象部位

浸水防止蓋の評価対象部位は、「2.2 構造計画」に設定している構造を踏まえて、津波荷重及び余震荷重の作用方向及び伝達過程を考慮し設定する。

浸水防止蓋に作用する津波荷重及び余震荷重は、浸水防止蓋のスキンプレート、主桁に伝わり、浸水防止蓋を固定する固定ボルトを介して軸体に伝達されることから、スキンプレート、主桁及び固定ボルトを評価対象部位として設定する。浸水防止蓋の評価対象部位を、図3-1に示す。

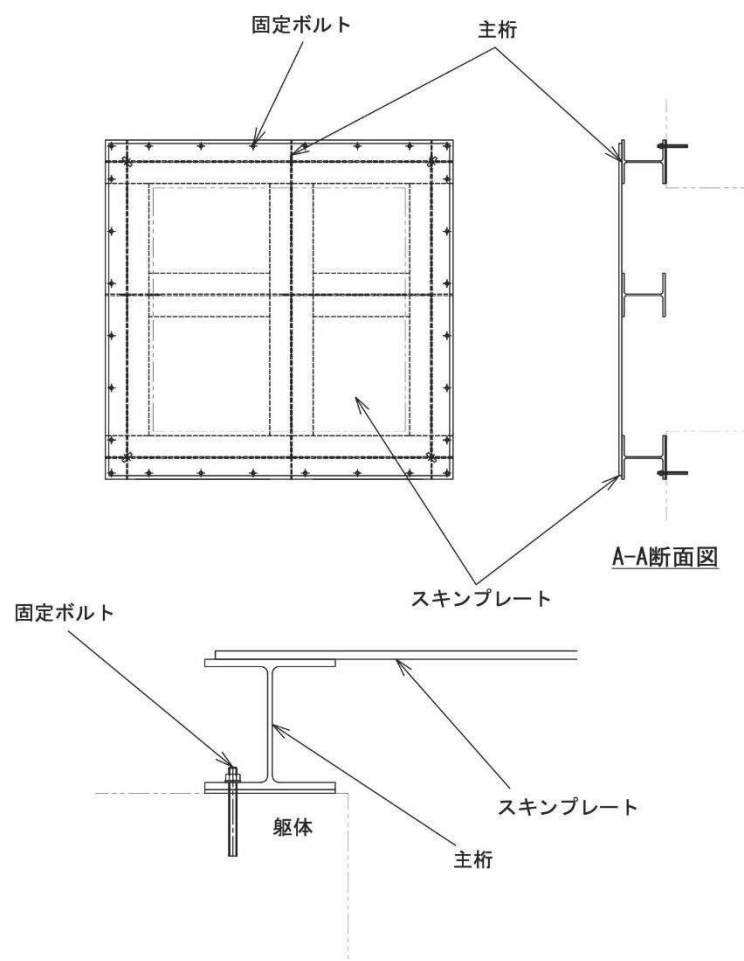


図 3-1 浸水防止蓋の評価対象部位

4. 構造強度評価

4.1 構造強度評価方法

浸水防止蓋の強度評価は、添付書類「VI-3-別添 3-1 津波への配慮が必要な施設の強度計算の方針」にて設定している荷重及び荷重の組合せ並びに許容限界を踏まえて、「3. 評価対象部位」にて設定する評価対象部位に作用する応力等が「4.3 許容限界」にて示す許容限界以下であることを確認する。

4.2 荷重及び荷重の組合せ

4.2.1 荷重の組合せ

浸水防止蓋の評価に用いる荷重の組合せを下記に示す。

$$G + P_h + S_d + P_s$$

ここで、 G : 固定荷重 (kN)

P_h : 浸水津波荷重 (kN)

S_d : 余震荷重 (kN)

P_s : 積雪荷重 (kN)

4.2.2 荷重の設定

強度評価に用いる荷重は以下のとおりとする。

(1) 固定荷重(D)

固定荷重として、浸水防止蓋を構成する部材の自重を考慮する。

(2) 浸水津波荷重(P_h)

浸水津波荷重は、添付書類「VI-3-別添 3-1 津波への配慮が必要な施設の強度計算の方針」に示すとおり、津波高さ及び浸水防止蓋の設置高さを考慮した静水圧を次式により算出する。

$$P_h = \rho_0 \cdot g \cdot (h_1 - h_2) \cdot A$$

ここで、 ρ_0 : 水の密度 1.03 (t/m³)

g : 重力加速度 9.80665 (m/s²)

h_1 : 設計津波水位 (O.P. m)

h_2 : 浸水防止蓋の設置高さ (O.P. m)

A : 浸水防止蓋の面積 (m²)

(3) 積雪荷重(P_s)

積雪荷重として、添付書類「VI-1-1-2 発電用原子炉施設の自然現象等による損傷の防止に関する説明書」のうち、添付書類「VI-1-1-2-1-1 発電用原子炉施設に対する自然現象等による損傷の防止に関する基本方針」に基づき 43cm の積雪量を想定し、平均的な積雪荷重を与えるための係数 0.35 を考慮する。

積雪荷重による質量は以下の式より算出する。

$$P_s = 0.35 \cdot W_s \cdot d_s \cdot A \cdot 10^{-3}$$

ここで、 P_s : 積雪荷重 (kN)

W_s : 1cm 当りの積雪荷重 20 (N/m²)

d_s : 積雪高さ 43 (cm)

A : 浸水防止蓋の面積 (m²)

(4) 余震荷重(S_d)

余震荷重として、添付書類「VI-3-別添 3-1 津波への配慮が必要な施設の強度計算の方針」に示すとおり、弹性設計用地震動 S_d-D 2 に伴う地震力及び動水圧荷重を考慮するものとし、水平方向については、弹性設計用地震動 S_d-D 2 に伴う地震力を考慮する。鉛直方向については、弹性設計用地震動 S_d-D 2 に伴う地震力と動水圧荷重を考慮する。

浸水防止蓋を設置する揚水井戸（第 2 号機海水ポンプ室防潮壁区画内）と一体構造となっている原子炉機器冷却海水配管ダクト（鉛直部）は、規模及び重量共に大きい海水ポンプ室に懸架されており、海水ポンプ室と一体となって挙動することから、浸水防止蓋の強度評価に用いる余震震度は、海水ポンプ室の地盤物性及び材料物性の不確かさを考慮したものとして添付書類「VI-2-2-7 海水ポンプ室の地震応答計算書」の地震応答解析結果を用いる。地震応答解析ケースを表 4-1 に示す。強度評価に用いる応答加速度は、原子炉機器冷却海水配管ダクト（鉛直部）が接する図 4-1 に示すスクリーンエリア及び補機ポンプエリアのうち最大加速度が大きい方を用いる。

強度評価で用いる海水ポンプ室の最大加速度分布図を図 4-2 に、最大加速度を表 4-2 に、余震震度を表 4-3 に示す。

なお、地震力は、浸水防止蓋の固定荷重、浸水津波荷重及び積雪荷重に余震震度を乗じた次式により算出する。

$$S_d = (G + P_h + P_s) \cdot \alpha_H$$

$$S_d = (G + P_h + P_s) \cdot \alpha_v$$

ここで、 S_d : 弹性設計用地震動 S_d-D 2 による余震荷重 (kN)

G : 固定荷重 (kN)

P_h : 浸水津波荷重 (kN)

P_s : 積雪荷重 (kN)

α_H : 弹性設計用地震動 S_d-D 2 による水平方向の余震震度

α_v : 弹性設計用地震動 S_d-D 2 による鉛直方向の余震震度

表 4-1 海水ポンプ室の地震応答解析ケース

解析ケース	材料物性 (コンクリート) (E_0 : ヤング係数)	地盤物性	
		盛土, 旧表土, 改良地盤, D 級岩盤 (G_0 : 初期せん断弾性係数)	C_L 級岩盤, C_M 級岩盤, C_H 級岩盤, B 級岩盤 (G_d : 動せん断弾性係数)
ケース① (基本ケース)	設計基準強度	平均値	平均値
ケース②	設計基準強度	平均値+1 σ	平均値
ケース③	設計基準強度	平均値-1 σ	平均値
ケース④	実強度に基づく 圧縮強度*	平均値	平均値

注記* : 既設構造物のコア採取による圧縮強度試験の結果を使用する。

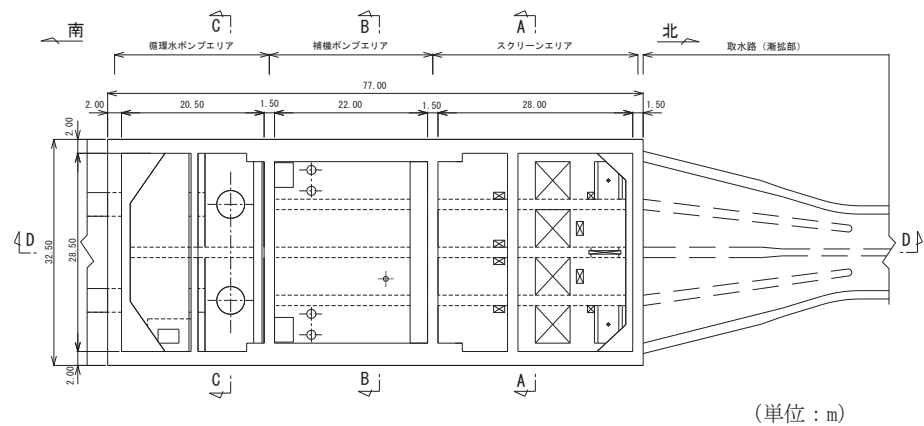


図 4-1 (1) 海水ポンプ室平面図

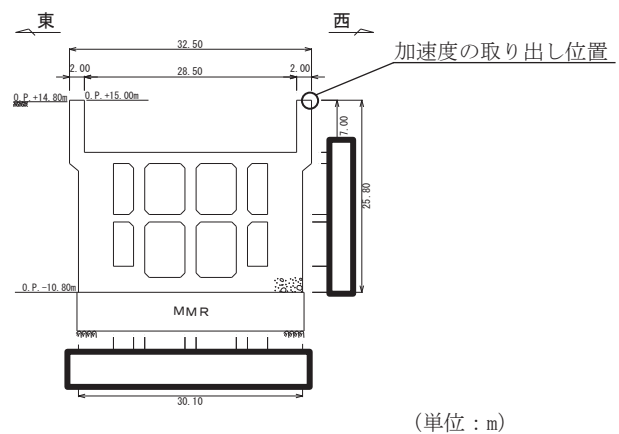


図 4-1 (2) 海水ポンプ室断面図 (スクリーンエリア) (A-A 断面)

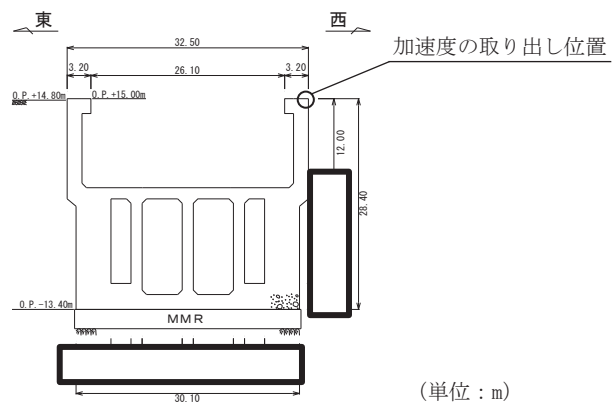
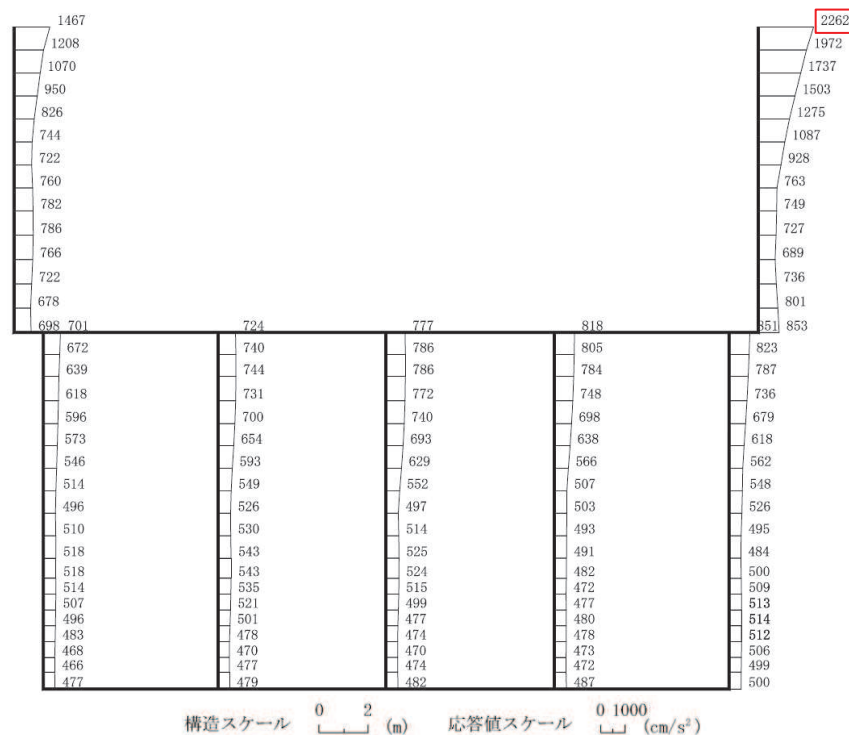


図 4-1 (3) 海水ポンプ室断面図 (補機ポンプエリア) (B-B 断面)

枠囲みの内容は防護上の観点から公開できません。

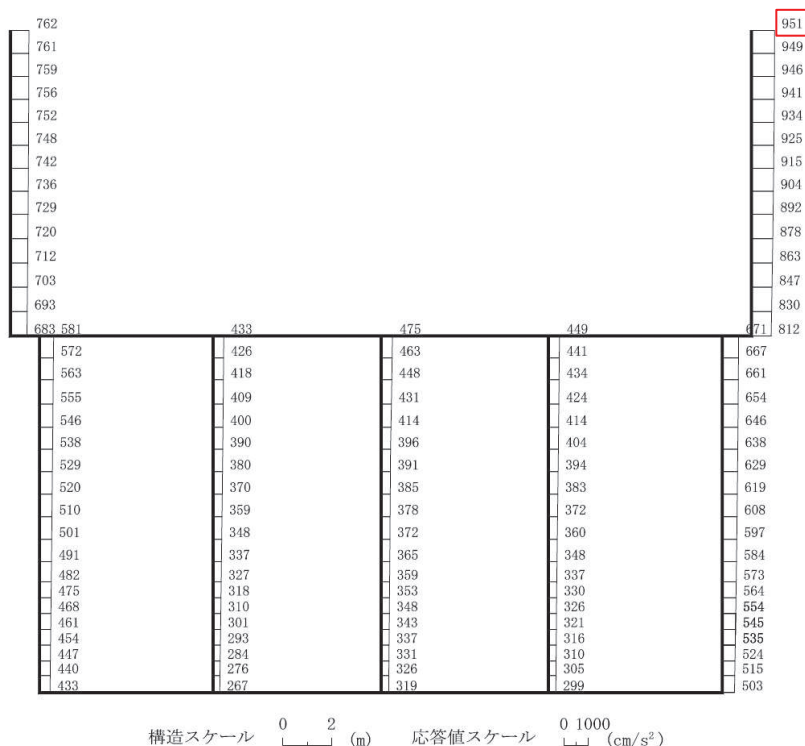
□ : 強度評価に用いる最大加速度



(補機ポンプエリア (東西方向), S d-D 2 (++) , 解析ケース③)

図 4-2 (1) 最大加速度分布図 (水平方向)

□ : 強度評価に用いる最大加速度



(補機ポンプエリア (東西方向), S d-D 2 (++) , 解析ケース②)

図 4-2 (2) 最大加速度分布図 (鉛直方向)

表 4-2 (1) 最大加速度 (水平方向)

地震時荷重算出断面	地震動	位相	解析ケース	最大加速度 (cm/s ²)
補機ポンプエリア (東西方向)	S d - D 2	++	ケース③	2262

表 4-2 (2) 最大加速度 (鉛直方向)

地震時荷重算出断面	地震動	位相	解析ケース	最大加速度 (cm/s ²)
補機ポンプエリア (東西方向)	S d - D 2	++	ケース②	951

表 4-3 余震震度

設置場所	床面高さ (m)	弾性設計用地震動 S d - D 2 の余震震度	
		水平方向 α_H	鉛直方向 α_V
揚水井戸 (第 2 号 機海水ポンプ室防 潮壁区画内)	0. P. 14. 0	2. 31	0. 97

4.3 許容限界

浸水防止蓋の許容限界は、「3. 評価対象部位」にて設定した部位に対し、添付書類「VI-3-別添 3-1 津波への配慮が必要な施設の強度計算の方針」にて設定している許容限界を踏まえて設定する。

4.3.1 使用材料

浸水防止蓋を構成するスキンプレート、主桁、固定ボルトの使用材料を表 4-4 に示す。

表 4-4 使用材料

評価対象部位	材質	仕様
スキンプレート	SM490Y	$t = 16$ (mm)
主桁	SM490Y	H-250×250×9×14 (mm)
固定ボルト	SM490Y	M16

4.3.2 許容限界

(1) スキンプレート, 主桁

鋼材の許容応力度は、「鋼構造設計規準－許容応力度設計法－（日本建築学会, 2005 改定）」に基づき表 4-5 の値とする。

表 4-5 鋼材の短期許容応力度

材質	短期許容応力度 (N/mm ²)	
	曲げ	せん断
SM490Y	325	188

(2) 固定ボルト

固定ボルトの許容荷重は、「3. 評価対象部位」に記載した固定ボルトに作用する荷重の向きを踏まえて、「各種合成構造設計指針・同解説（日本建築学会, 2010 改定）」に基づき算定する。

固定ボルトは躯体に埋め込まれていることから、固定ボルトが引張力を受ける場合においては、固定ボルトの降伏により決まる許容荷重 (P_{a1})、付着力により決まる許容荷重 (P_{a3}) を比較して、いずれか小さい値を採用する。また、固定ボルトがせん断力を受ける場合においては、固定ボルトのせん断強度により決まる許容荷重 (q_{a1})、定着したコンクリート躯体の支圧強度により決まる許容荷重 (q_{a2}) 及びコーン状破壊により決まる許容荷重 (q_{a3}) を比較して、いずれか小さい値を採用する。

津波荷重及び余震荷重を考慮する場合の固定ボルトの許容荷重の設定に用いる入力値を表 4-6 に、許容荷重を表 4-7 に示す。

引張力を受ける場合

$$P_{a1} = \Phi_1 \cdot s \sigma_{pa} \cdot s_c a$$

$$P_{a3} = \Phi_3 \cdot \tau_a \cdot \pi \cdot d_a \cdot l_{ce}$$

ここで、 P_{a1} : 固定ボルトの降伏により決まる場合の固定ボルト 1 本当たりの許容引張力 (N)

P_{a3} : 固定ボルトの付着力により決まる場合の固定ボルト 1 本当たりの許容引張力 (N)

Φ_1 : 低減係数 (短期荷重用)

Φ_3 : 低減係数 (短期荷重用)

$s \sigma_{pa}$: 固定ボルトの引張強度 ($= s \sigma_y$) (N/mm²)

$s \sigma_y$: 固定ボルトの規格降伏点強度 (N/mm²)

$s_c a$: 固定ボルトの断面積 (mm²)

d_a : 固定ボルトの径 (mm)

l_{ce} : 固定ボルトの強度算定用埋込み長さ ($= l_e - 2 d_a$) (mm)

τ_a : ヘリあき及び固定ボルトのピッチによる付着強度の低減係数

せん断力を受ける場合

$$q_{a1} = \Phi_1 \cdot s \sigma_{qa} \cdot s_c a$$

$$q_{a2} = \Phi_2 \cdot c \sigma_{qa} \cdot s_c a$$

$$q_{a3} = \Phi_2 \cdot c \sigma_t \cdot A_{qc}$$

ここで, q_{a1} : 固定ボルトのせん断強度により決まる場合の固定ボルト 1 本当たりの許容せん断力 (N)

q_{a2} : 定着した軸体の支圧強度により決まる場合の固定ボルト 1 本当たりの許容せん断力 (N)

q_{a3} : 定着した軸体のコーン状破壊により決まる場合の固定ボルト 1 本当たりの許容せん断力 (N)

Φ_1 : 低減係数 (短期荷重用)

Φ_2 : 低減係数 (短期荷重用)

$s \sigma_{qa}$: 固定ボルトのせん断強度 ($=0.7 \cdot s \sigma_y$) (N/mm²)

$s \sigma_y$: 固定ボルトの規格降伏点強度 (N/mm²)

$s_c a$: 固定ボルトの断面積 (mm²)

$c \sigma_{qa}$: コンクリートの支圧強度 (N/mm²) ($=0.5 \sqrt{F_c \cdot E_c}$)

$c \sigma_t$: コーン状破壊に対するコンクリートの引張強度 (N/mm²)

$$(=0.31 \sqrt{F_c})$$

F_c : コンクリートの設計基準強度 (N/mm²)

E_c : コンクリートのヤング係数 (N/mm²)

A_{qc} : せん断力に対するコーン状破壊面の有効投影面積 (mm²)

表 4-6 固定ボルトの許容荷重の設定に用いる入力値

記号	単位	定義	数値
Φ_1	—	低減係数（短期荷重用）	1.0
Φ_2	—	低減係数（短期荷重用）	2/3
Φ_3	—	低減係数（短期荷重用）	2/3
$s \sigma_{pa}$	N/mm ²	固定ボルトの引張強度	325
$s \sigma_y$	N/mm ²	固定ボルトの規格降伏点強度	325
$s_c a$	mm ²	固定ボルトの断面積	157
d_a	mm	固定ボルトの径	16
l_{ce}	mm	固定ボルトの強度算定用埋込み長さ	168
τ_a	—	へりあき及び固定ボルトのピッチによる付着強度の低減係数	6.71
$s \sigma_{qa}$	N/mm ²	固定ボルトのせん断強度	227.50
$c \sigma_{qa}$	N/mm ²	コンクリートの支圧強度	346.82
$c \sigma_t$	N/mm ²	コーン状破壊に対するコンクリートの引張強度	1.40
F_c	N/mm ²	コンクリートの設計基準強度	20.5
E_c	N/mm ²	コンクリートのヤング係数	23470
A_{qc}	mm ²	せん断力に対するコーン状破壊面の有効投影面積	35343

表 4-7 津波荷重及び余震荷重を考慮する場合の固定ボルトの短期許容荷重

材質	短期許容荷重 (kN)						
	引張			せん断			
	P _{a1}	P _{a3}	設定値	q _{a1}	q _{a2}	q _{a3}	設定値
SM490Y	51.0	37.7	37.7	35.7	36.3	32.9	32.9

4.4 評価方法

浸水防止蓋を構成する主桁、スキンプレート及び固定ボルトに発生する応力より算定する応力度が、許容限界以下であることを確認する。主桁とスキンプレートについては、評価上最も厳しい条件となる断面で評価を実施する。図4-3、図4-4にそれぞれ評価の対象とする主桁、スキンプレートを示す。また、図4-5に固定ボルトの納まりを示す。

4.4.1 主桁

主桁の支持条件は両端をピン支持とし、図4-3に示すとおり、主桁が荷重を負担する範囲が最も大きくなり、評価上最も厳しい条件となるよう評価を実施する。

(1) 弹性設計用地震動S d-D 2による余震荷重S d

$$S_d = (G + P_h + P_s) \cdot \alpha_v$$

ここで、 S_d : 弹性設計用地震動S d-D 2による余震荷重 (kN)

G : 主桁とスキンプレートの固定荷重 (kN)

P_h : 浸水津波荷重 (kN)

P_s : 積雪荷重 (kN)

α_v : 弹性設計用地震動S d-D 2の鉛直方向の余震震度

(2) 主桁に作用する単位長さ当たりの鉛直方向の等分布荷重W s s'

$$W_{s,s'} = (G + P_h + S_d + P_s) \cdot L_1 \cdot 10^{-3} / A$$

ここで、 $W_{s,s'}$: 主桁に作用する単位長さ当たりの鉛直方向の等分布荷重 (kN/m)

S_d : 弹性設計用地震動S d-D 2による余震荷重 (kN)

G : 主桁とスキンプレートの固定荷重 (kN)

P_h : 浸水津波荷重 (kN)

P_s : 積雪荷重 (kN)

L_1 : 主桁の負担幅 (mm)

A : 浸水防止蓋の面積 (m^2)

(3) 主桁に作用する最大せん断応力度 τ

$$\tau = (Q \cdot 10^3) / A_s$$

τ : 主桁に作用する最大せん断応力度 (N/mm^2)

Q : 主桁に作用する最大せん断力 (kN)

A_s : 主桁のせん断面積 (mm^2)

ここで、 $Q = 1/2 \cdot W_{s,s'} \cdot L_2 \cdot 10^{-3}$

Q : 主桁に作用する最大せん断力 (kN)

$W_{s,s'}$: 主桁に作用する単位長さ当たりの鉛直方向の等分布荷重 (kN/m)

L_2 : 主桁全長 (mm)

(4) 主桁に作用する最大曲げ応力度 σ

$$\sigma = (M \cdot 10^6) / Z$$

σ : 主桁に作用する最大曲げ応力度 (N/mm^2)

M : 主桁に作用する最大曲げモーメント ($kN \cdot m$)

Z : 主桁の断面係数 (mm^3)

$$\text{ここで, } M = 1/8 \cdot W_s s' \cdot (L_2 \cdot 10^{-3})^2$$

M : 主桁に作用する最大曲げモーメント ($kN \cdot m$)

$W_s s'$: 主桁に作用する単位長さ当たりの鉛直方向の等分布荷重 (kN/m)

L_2 : 主桁全長 (mm)

(5) 主桁に作用する組合せ応力度

主桁に作用する曲げ応力度、せん断応力度を算定し、主桁の短期許容応力度以下であることを確認する。また、主桁に生じる曲げ応力度とせん断応力度から、組合せ応力度を「鋼構造設計規準—許容応力度設計法—（日本建築学会、2005 改定）」に基づく次式により算定し、短期許容応力度以下であることを確認する。

$$x = \sqrt{\sigma^2 + 3 \cdot \tau^2}$$

ここで、 x : 組合せ応力度 (N/mm^2)

σ : 曲げ応力度 (N/mm^2)

τ : せん断応力度 (N/mm^2)

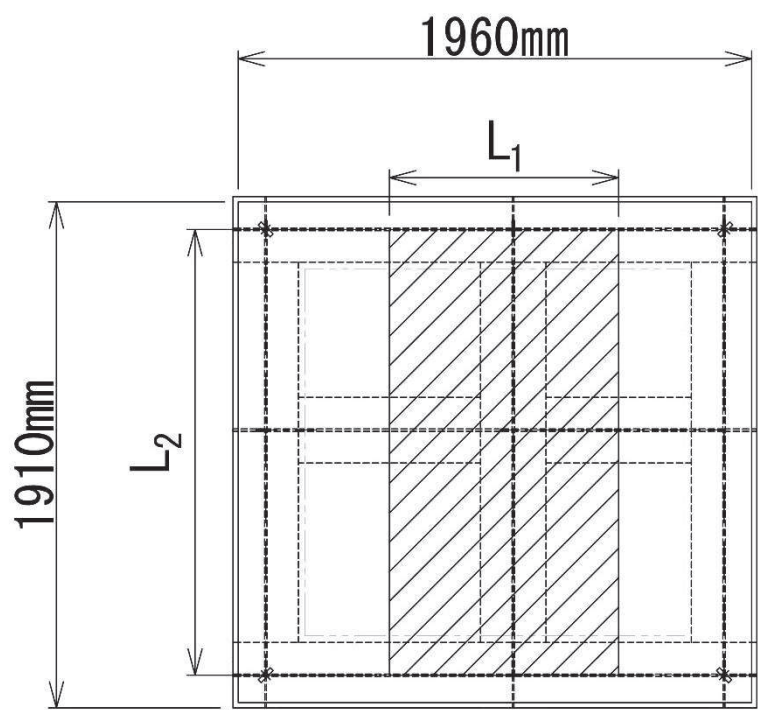


図 4-3 評価の対象とする主桁

4.4.2 スキンプレート

スキンプレートの支持条件は四辺固定とし、図 4-4 に示すとおり、評価上最も厳しい条件となるよう評価を実施する。曲げ応力度及びせん断応力度は「機械工学便覧（日本機械学会、2005 改訂）」より以下の式にて算出する。

(1) 弹性設計用地震動 S d-D 2 による余震荷重 S d

$$S_d = (G + P_h + P_s) \cdot \alpha_v$$

ここで、 S_d : 弹性設計用地震動 S d-D 2 による余震荷重 (kN)

G : スキンプレートの固定荷重 (kN)

P_h : 浸水津波荷重 (kN)

P_s : 積雪荷重 (kN)

α_v : 弹性設計用地震動 S d-D 2 の鉛直方向の余震震度

(2) スキンプレートに作用する単位面積当たりの鉛直方向の荷重 W s s

$$W_{ss} = (G + P_h + S_d + P_s) / A$$

ここで、 W_{ss} : スキンプレートに作用する単位面積当たりの鉛直方向の等分布荷重 (kN/m^2)

G : スキンプレートの固定荷重 (kN)

P_h : 浸水津波荷重 (kN)

S_d : 弹性設計用地震動 S d-D 2 による余震荷重 (kN)

P_s : 積雪荷重 (kN)

A : 浸水防止蓋の面積 (m^2)

(3) スキンプレートに作用する最大曲げ応力度 σ

スキンプレートに作用する曲げ応力度は「機械工学便覧（日本機械学会、2005 改訂）」に基づき次式により算出する。

$$\sigma = \beta_2 \cdot W_{ss} \cdot L_4^2 \cdot 10^{-3} / t^2$$

ここで、 σ : スキンプレートに作用する最大曲げ応力度 (N/mm^2)

β_2 : スキンプレートの辺長比に応じた係数

W_{ss} : スキンプレートに作用する単位面積当たりの鉛直方向の等分布荷重 (kN/m^2)

L_4 : スキンプレートの支持短辺長さ (mm)

t : スキンプレートの厚さ (mm)

(4) スキンプレートに作用する最大せん断応力度 τ

スキンプレートに作用するせん断応力度は「機械工学便覧（日本機械学会、2005 改訂）」に基づき次式により算出する。

$$\tau = W_{ss} \cdot L_3 \cdot L_4 \cdot 10^{-3} / (t \cdot (L_3 + L_4) \cdot 2)$$

ここで, τ : スキンプレートに作用する最大せん断応力度 (N/mm²)

W_{ss} : スキンプレートに作用する単位面積当たりの鉛直方向の等分布荷重 (kN/m²)

L_3 : スキンプレートの支持長辺長さ (mm)

L_4 : スキンプレートの支持短辺長さ (mm)

t : スキンプレートの厚さ (mm)

(5) スキンプレートに作用する組合せ応力度

スキンプレートに作用する曲げ応力度、せん断応力度を算定し、スキンプレートの短期許容応力度以下であることを確認する。また、スキンプレートに生じる曲げ応力度とせん断応力度から、組合せ応力度を「鋼構造設計規準—許容応力度設計法一（日本建築学会、2005 改定）」に基づく次式により算定し、短期許容応力度以下であることを確認する。

$$x = \sqrt{\sigma^2 + 3 \cdot \tau^2}$$

ここで, x : 組合せ応力度 (N/mm²)

σ : 曲げ応力度 (N/mm²)

τ : せん断応力度 (N/mm²)

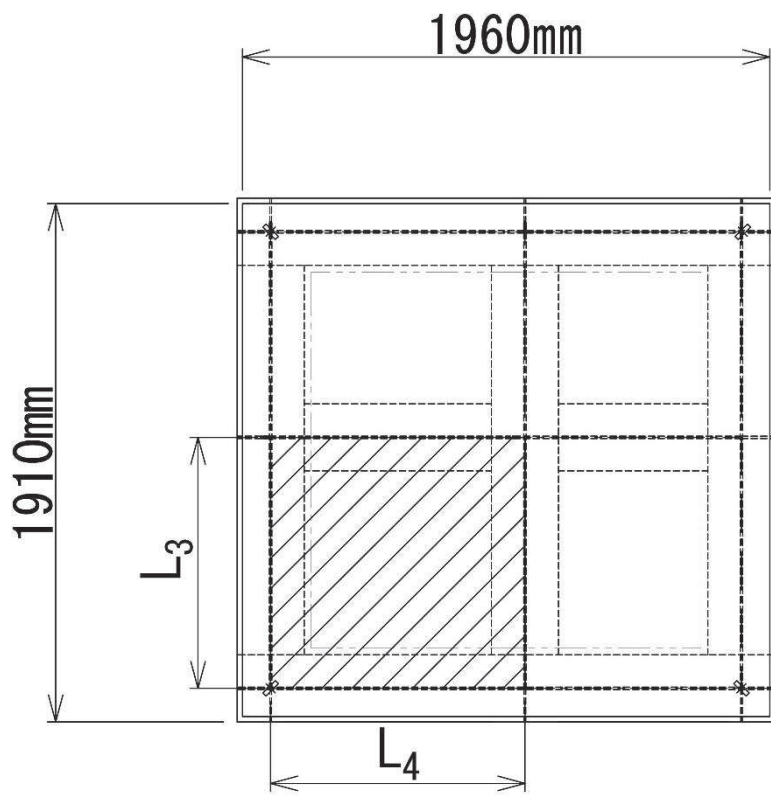


図 4-4 評価の対象とするスキンプレート

4.4.3 固定ボルト

- (1) 弹性設計用地震動 S d-D 2 による水平方向の余震荷重 S d

$$S_d = (G + P_h + P_s) \cdot \alpha_H$$

ここで, S_d : 弹性設計用地震動 S d-D 2 による水平方向の余震荷重 (kN)
 G : 浸水防止蓋の固定荷重 (kN)
 P_h : 浸水津波荷重 (kN)
 P_s : 積雪荷重 (kN)
 α_H : 弹性設計用地震動 S d-D 2 の水平方向の余震震度

- (2) 弹性設計用地震動 S d-D 2 による鉛直方向の余震荷重 S d

$$S_d = (G + P_h + P_s) \cdot \alpha_V$$

ここで, S_d : 弹性設計用地震動 S d-D 2 による鉛直方向の余震荷重 (kN)
 G : 浸水防止蓋の固定荷重 (kN)
 P_h : 浸水津波荷重 (kN)
 P_s : 積雪荷重 (kN)
 α_V : 弹性設計用地震動 S d-D 2 の鉛直方向の余震震度

- (3) 固定ボルトに作用する引張力 T d

$$T_d = S_d / N$$

ここで, T_d : 固定ボルト 1 本当にに作用する引張力 (kN)
 S_d : 弹性設計用地震動 S d-D 2 による鉛直方向の余震荷重 (kN)
 N : 浸水防止蓋に取り付く固定ボルトの本数

- (4) 固定ボルトに作用するせん断力 q

$$q = S_d / N$$

ここで, q : 固定ボルト 1 本当にに作用するせん断力 (kN)
 S_d : 弹性設計用地震動 S d-D 2 による水平方向の余震荷重 (kN)
 N : 浸水防止蓋に取り付く固定ボルトの本数

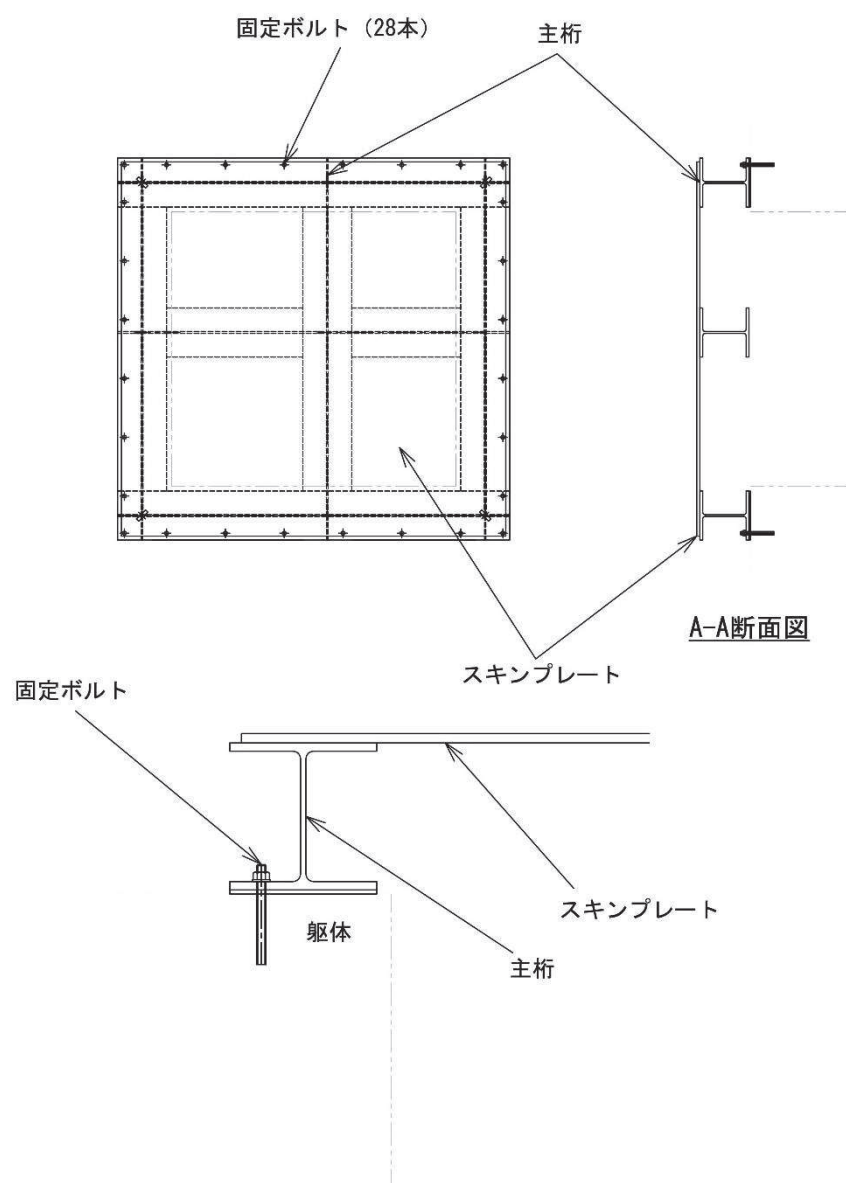


図 4-5 固定ボルトの納まり

4.5 評価条件

浸水防止蓋の強度評価に用いる入力値を表4-8に示す。

表4-8 浸水防止蓋の強度評価に用いる入力値

評価対象 部位	記号	単位	定義	数値
主桁	G	kN	主桁とスキンプレートの固定荷重	11.28
	P _h	kN	浸水津波荷重	173.78
	h ₁	0.P. m	設計津波水位	18.6
	h ₂	0.P. m	浸水防止蓋の設置高さ	14.0
	P _s	kN	積雪荷重	1.13
	A	m ²	浸水防止蓋の面積	3.74
	L ₁	mm	主桁の負担幅	875
	L ₂	mm	主桁全長	1700
	A _s	mm ²	主桁のせん断断面積	1998
	Z	mm ³	主桁の断面係数	8.46×10 ⁵
スキン プレート	G	kN	スキンプレートの固定荷重	4.61
	P _h	kN	浸水津波荷重	173.78
	h ₁	0.P. m	設計津波水位	18.6
	h ₂	0.P. m	浸水防止蓋の設置高さ	14.0
	P _s	kN	積雪荷重	1.13
	A	m ²	浸水防止蓋の面積	3.74
	L ₃	mm	スキンプレートの支持長辺長さ	945
	L ₄	mm	スキンプレートの支持短辺長さ	935
	β ₂	—	スキンプレートの辺長比に応じた係数	0.4
	t	mm	スキンプレートの厚さ	16
固定 ボルト	G	kN	主桁とスキンプレートの固定荷重	11.28
	P _h	kN	浸水津波荷重	173.78
	h ₁	0.P. m	設計津波水位	18.6
	h ₂	0.P. m	浸水防止蓋の設置高さ	14.0
	P _s	kN	積雪荷重	1.13
	N	本	浸水防止蓋に取り付く固定ボルトの本数	28

5. 評価結果

浸水防止蓋の強度評価結果を表5-1に示す。各部材の断面検定を行った結果、全ての部材において発生応力又は応力度が許容限界以下であることを確認した。

表 5-1 浸水防止蓋の強度評価結果

評価対象部位		発生値 (応力度又は荷重)		許容限界 (応力度又は荷重)		検定値
主桁	曲げ	37	N/mm ²	325	N/mm ²	0.12 < 1.0
	せん断	37	N/mm ²	188	N/mm ²	0.20 < 1.0
	組合せ	74	N/mm ²	325	N/mm ²	0.23 < 1.0
スキンプレート	曲げ	130	N/mm ²	325	N/mm ²	0.40 < 1.0
	せん断	2	N/mm ²	188	N/mm ²	0.02 < 1.0
	組合せ	131	N/mm ²	325	N/mm ²	0.41 < 1.0
固定ボルト	引張	6.5	kN	37.7	kN	0.18 < 1.0
	せん断	15.4	kN	32.9	kN	0.47 < 1.0
	組合せ	—		—		0.25 < 1.0

6. 浸水防護施設に関する補足説明
 6.5 浸水防止設備に関する補足説明
 6.5.3 浸水防止蓋に関する補足説明
 6.5.3.9 浸水防止蓋（揚水井戸（第3号機海水ポンプ室防潮壁区画内）の耐震性についての計算書に関する補足説明

目 次

1.	概要	1
2.	一般事項	2
2.1	配置概要	2
2.2	構造計画	4
2.3	評価方針	5
2.4	適用規格・基準等	6
2.5	記号の説明	7
3.	評価対象部位	8
4.	固有値解析	9
4.1	固有振動数の計算方法	9
4.2	固有振動数の計算条件	10
4.3	固有振動数の計算結果	10
5.	構造強度評価	11
5.1	構造強度評価方法	11
5.2	荷重及び荷重の組合せ	11
5.3	許容限界	12
5.4	設計用地震力	13
5.5	評価方法	14
5.6	評価条件	18
6.	評価結果	19
7.	揚水井戸（第3号機海水ポンプ室防潮壁区画内）の耐震評価	20
7.1	概要	20
7.2	評価方針	21
7.3	適用基準	23
8	地震応答解析	24
8.1	位置	24
8.2	構造概要	25
8.3	評価方針	28
8.4	地盤の応答解析モデル	29
8.5	地盤応答	48

9	耐震評価	49
9.1	評価方針	49
9.2	荷重及び荷重の組合せ	49
9.3	地下水位	51
9.4	許容限界	51
9.5	評価方法	52
9.6	評価結果	56

1. 概要

本資料は、添付書類「VI-2-1-9 機能維持の基本方針」にて設定している構造強度に基づき、浸水防止設備のうち浸水防止蓋（揚水井戸（第3号機海水ポンプ室防潮壁区画内））（以下「浸水防止蓋」という。）が設計用地震力に対して、主要な構造部材が十分な構造健全性を有することを確認するものである。その耐震評価は浸水防止蓋の固有値解析及び応力評価により行う。

浸水防止蓋は、浸水防止設備としてSクラスの施設に分類される。以下、浸水防止設備としての構造強度評価を示す。

あわせて、浸水防止蓋の間接支持構造物である揚水井戸（第3号機海水ポンプ室防潮壁区画内）の構造部材の健全性評価及び基礎地盤の支持性能評価を示す。

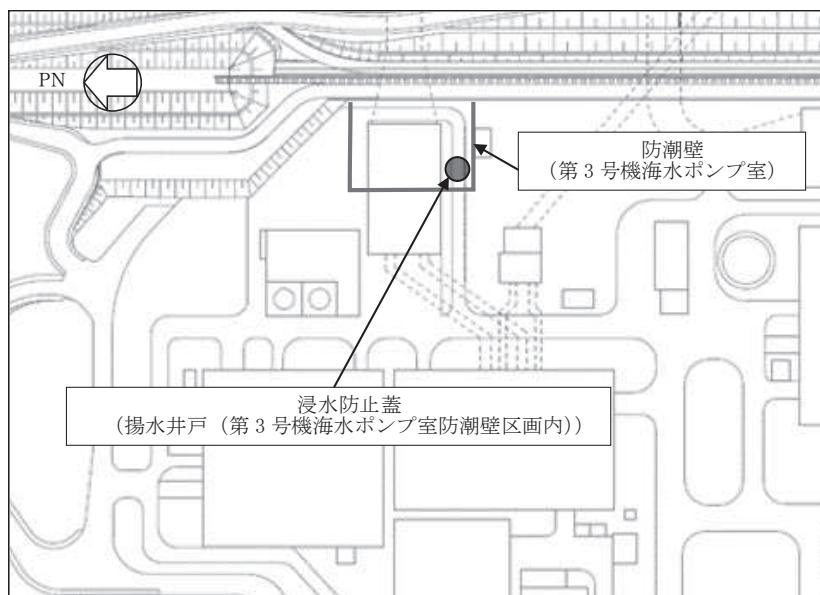
なお、浸水防止蓋及び揚水井戸（第3号機海水ポンプ室防潮壁区画内）の耐震評価においては、平成23年3月11日に発生した東北地方太平洋沖地震による地殻変動に伴い、牡鹿半島全体で約1mの地盤沈下が発生したことを考慮する。

2. 一般事項

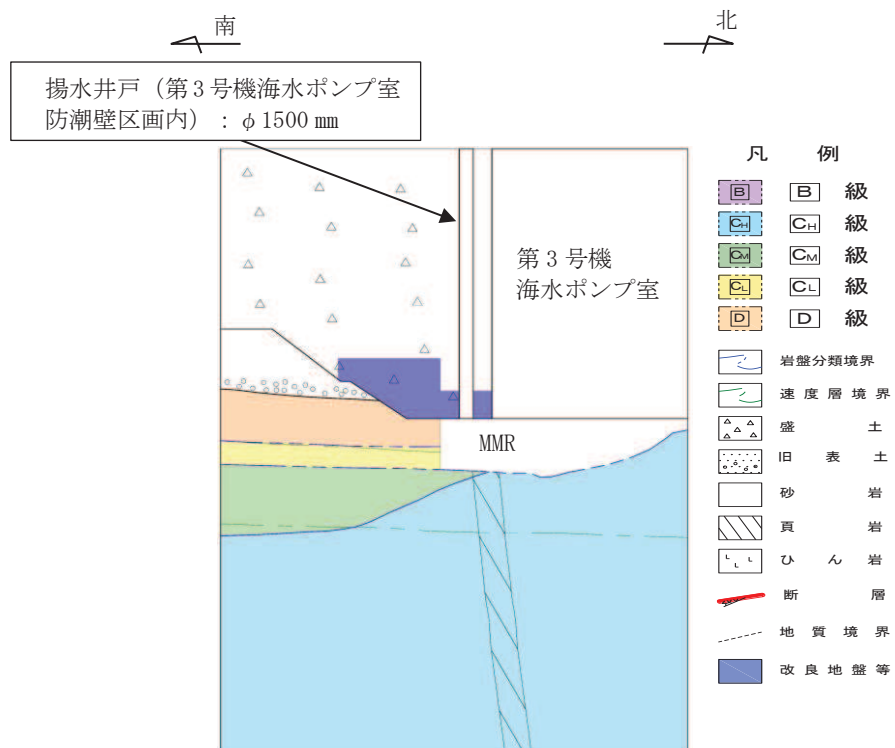
2.1 配置概要

浸水防止蓋は、揚水井戸（第3号機海水ポンプ室防潮壁区画内）上部から浸水を防止するために設置する。

浸水防止蓋の設置位置図を図2-1、浸水対策図を図2-2に示す。



(平面図)



(断面図 (揚水井戸 (第3号機海水ポンプ室防潮壁区画内) , 南北方向))

図2-1 浸水防止蓋の設置位置図

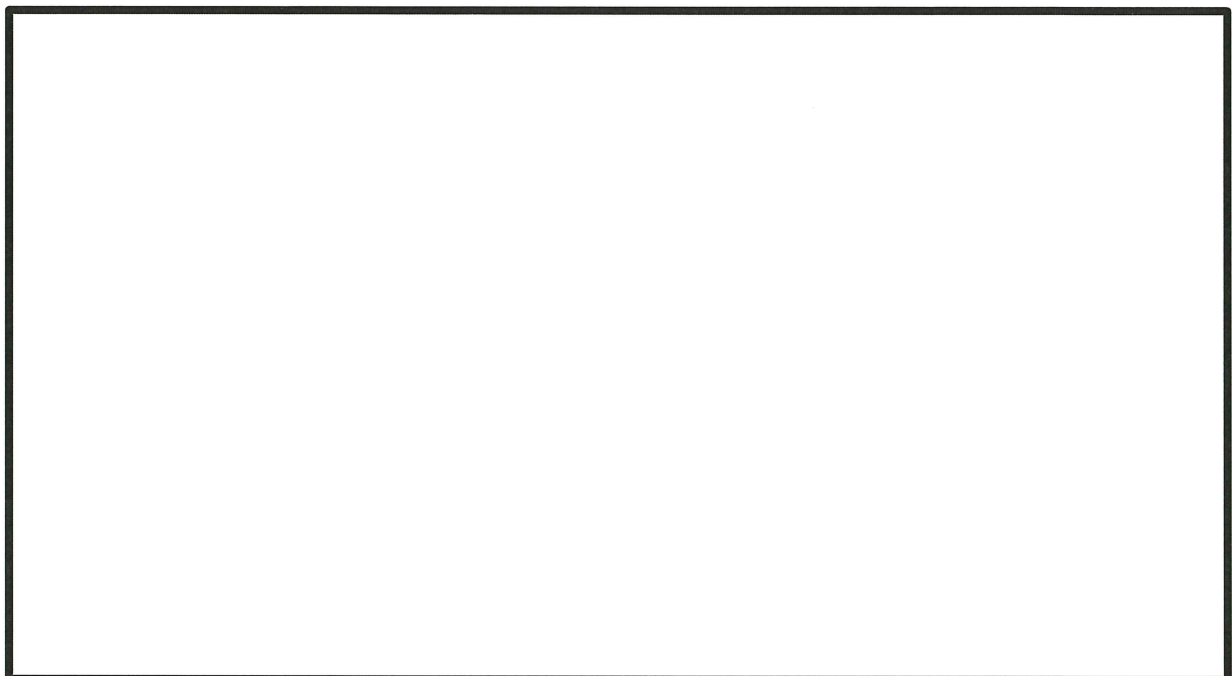


図 2-2 (1) 第3号機 海水ポンプ室 浸水対策配置図（平面図）

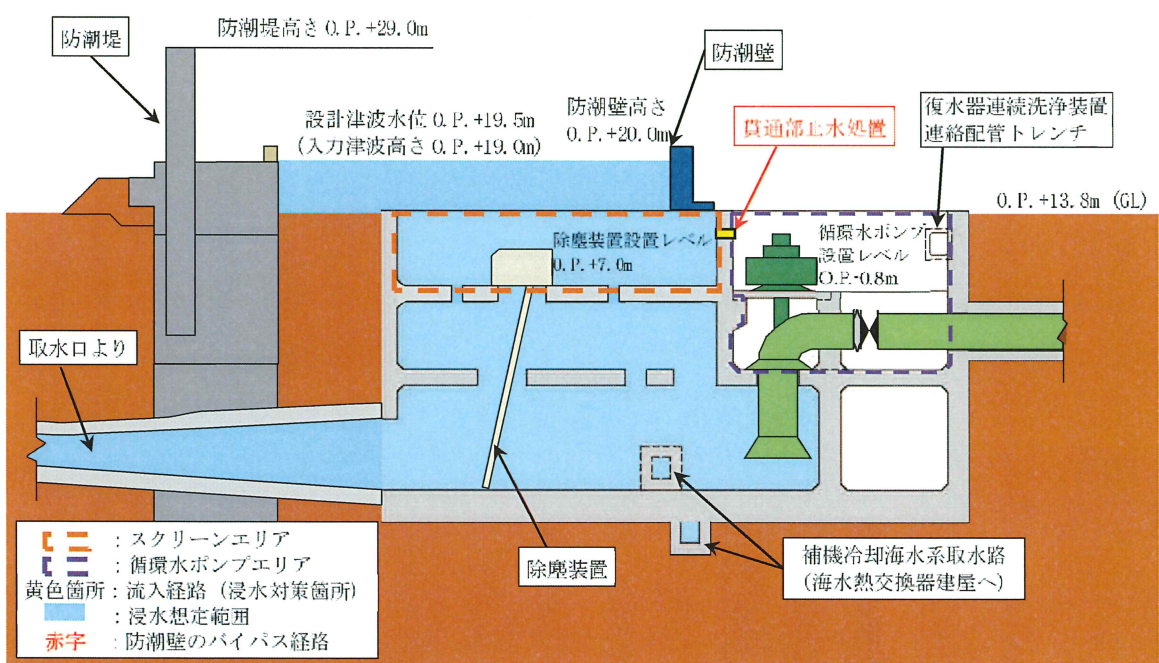


図 2-2 (2) 第3号機 海水ポンプ室 浸水対策配置図（A-A 断面図）

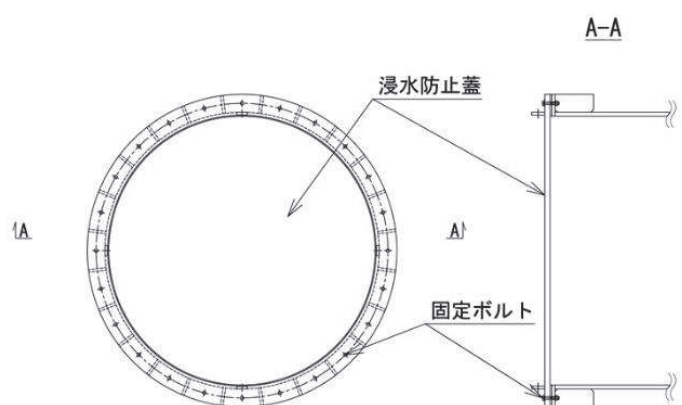
枠囲みの内容は防護上の観点から公開できません。

2.2 構造計画

浸水防止蓋の構造は、円形のスキンプレートによる構造とする。

浸水防止蓋は、揚水井戸（第3号機海水ポンプ室防潮壁区画内）上部に固定ボルトにて固定する。浸水防止蓋の構造計画を表2-1に示す。

表2-1 浸水防止蓋の構造計画

計画の概要		構造概略図
基礎・支持構造	主体構造	
揚水井戸（第3号機海水ポンプ室防潮壁区画内）上部に固定ボルトで固定する。	浸水防止蓋及び固定ボルトにより構成する。	

2.3 評価方針

浸水防止蓋の耐震評価は、添付書類「VI-2-1-9 機能維持の基本方針」にて設定した荷重及び荷重の組合せ並びに許容限界に基づき、「2.2 構造計画」に示す浸水防止蓋の構造を踏まえ、「3. 評価対象部位」にて設定する評価部位において、「4. 固有値解析」で算出した固有振動数及び「8. 地震応答解析」から得られる加速度に基づく設計用地震力により算出した応力等が許容限界内に収まるることを、「5. 構造強度評価」に示す方法にて確認する。応力評価の確認結果を「6. 評価結果」にて確認する。

耐震評価フローを図 2-3 に示す。

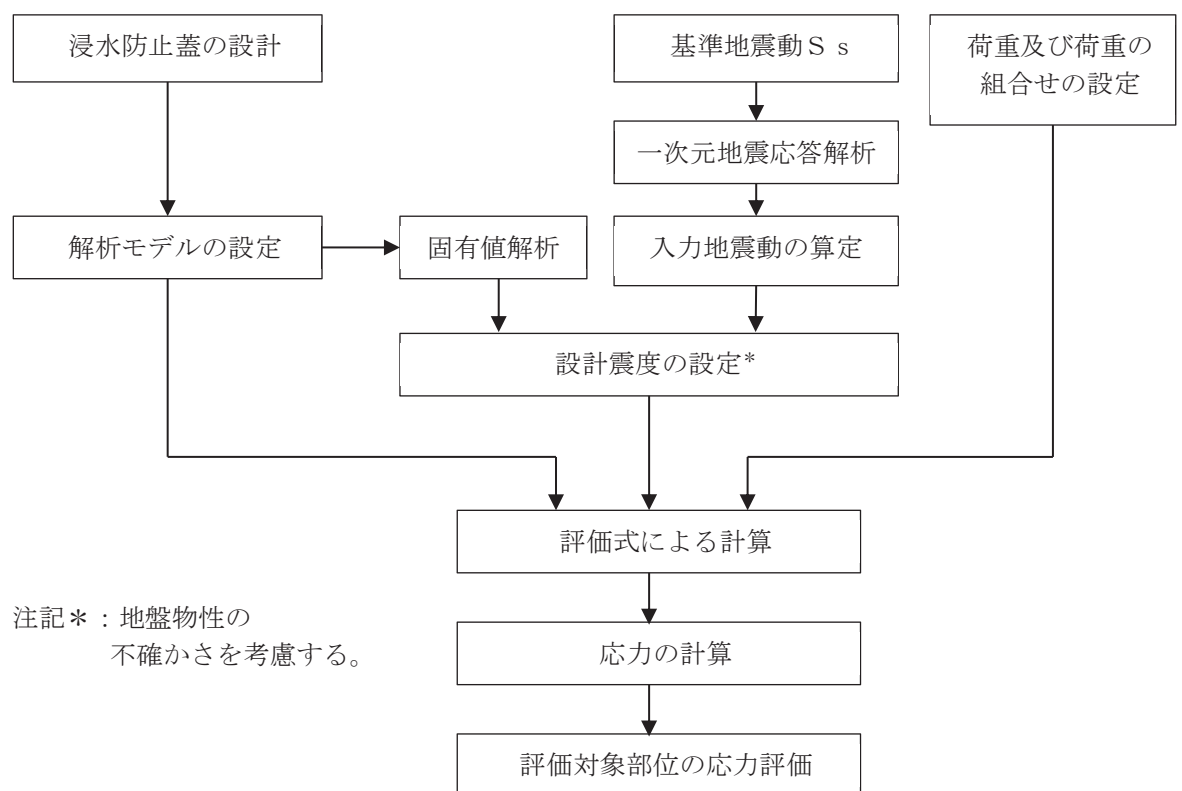


図 2-3 耐震評価フロー

2.4 適用規格・基準等

適用する規格、基準等を以下に示す。

- (1) 鋼構造設計規準－許容応力度設計法－（日本建築学会、2005改定）
- (2) 機械工学便覧（日本機械学会、2005改訂）

2.5 記号の説明

浸水防止蓋の耐震評価に用いる記号を表 2-2 に示す。

表 2-2 浸水防止蓋の耐震評価に用いる記号

記号	単位	定義
S _s	kN	基準地震動 S _s による地震荷重
k _H	—	基準地震動 S _s の水平方向の設計震度
k _v	—	基準地震動 S _s の鉛直方向の設計震度
G	kN	固定荷重
P _s	kN	積雪荷重
W _s	N/m ²	1 cm 当りの積雪荷重
d _s	cm	積雪高さ
A	m ²	浸水防止蓋の面積
W _s s	kN/m ²	単位面積当たりの等分布荷重
τ	N/mm ²	最大せん断応力度
σ	N/mm ²	最大曲げ応力度
x	N/mm ²	組合せ応力度
a	mm	スキンプレートの半径
t	mm	スキンプレートの厚さ
N	本	浸水防止蓋に取り付く固定ボルトの本数
A'	mm ²	固定ボルトの有効断面積
σ _t	N/mm ²	固定ボルト 1 本当りに作用する引張応力度
τ _s	N/mm ²	固定ボルト 1 本当りに作用するせん断応力度

3. 評価対象部位

浸水防止蓋の評価対象部位は、「2.2 構造計画」に設定している構造を踏まえて、地震に伴う荷重の作用方向及び伝達過程を考慮し設定する。

浸水防止蓋は、地震に伴う慣性力が浸水防止蓋のスキンプレートに伝わり、浸水防止蓋を固定する固定ボルトを介して軸体に伝達されることから、スキンプレート及び固定ボルトを評価対象部位として設定する。評価対象部位を図3-1に示す。

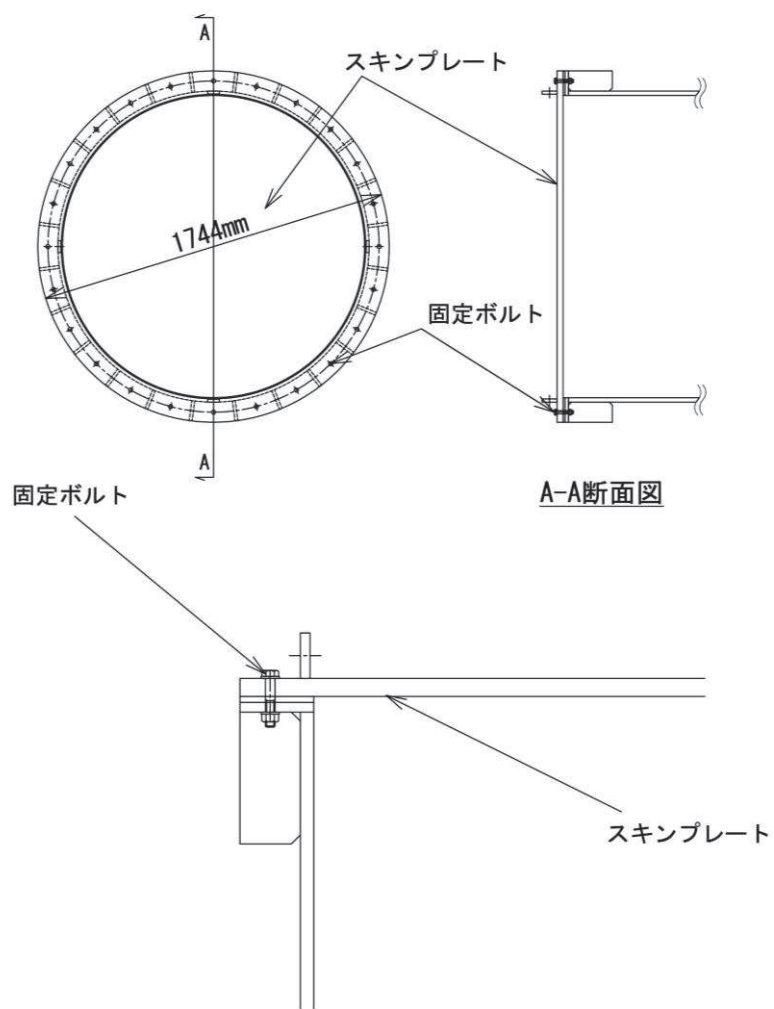


図3-1 評価対象部位

4. 固有値解析

4.1 固有振動数の計算方法

浸水防止蓋の構造に応じて解析モデルを設定し、固有振動数を算出する。

4.1.1 解析モデルの設定

浸水防止蓋は、剛な断面を有しているとともに、固定ボルトを介し、浸水防止蓋と軸体を固定する構造であることから、浸水防止蓋を両端ピン支持に単純化したモデルとし、モデル化に用いるはり長さは、スキンプレートの直径とする。図 4-1 に解析モデル図を示す。

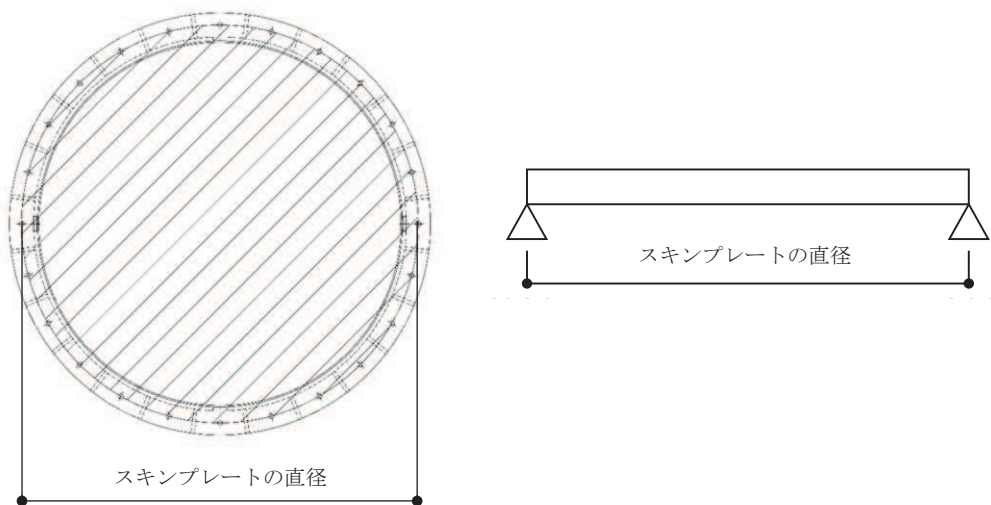


図 4-1 浸水防止蓋の固有値解析モデル

4.1.2 記号の説明

浸水防止蓋の固有振動数算出に用いる記号を表 4-1 に示す。

表 4-1 浸水防止蓋の固有振動数の計算に用いる記号

記号	単位	定義
f	Hz	一次固有振動数
L	mm	はりの長さ (スキンプレートの直径)
E	N/mm ²	ヤング率
I	mm ⁴	スキンプレートの断面二次モーメント
m	kg/mm	質量分布

4.1.3 固有振動数の算出方法

固有振動数 f を「土木学会構造力学公式集」を参考に以下の式より算出する。

$$f = \frac{\pi^2}{2\pi L^2} \sqrt{\frac{E \cdot I \cdot 10^3}{m}}$$

4.2 固有振動数の計算条件

固有振動数の計算条件を表 4-2 に示す。

表 4-2 固有振動数の計算条件

はり長さ L (mm)	ヤング率 E (N/mm ²)	断面二次 モーメント I (mm ⁴)	質量分布 m (kg/mm)
1644	2.05×10^5	3.70×10^6	3.87×10^{-1}

4.3 固有振動数の計算結果

固有振動数の計算結果を表 4-3 に示す。固有振動数は 20Hz 以上であることから、剛構造である。

表 4-3 固有振動数の計算結果

固有振動数 (Hz)	25.73
---------------	-------

5. 構造強度評価

5.1 構造強度評価方法

浸水防止蓋の耐震評価は、添付書類「VI-2-1-9 機能維持の基本方針」にて設定している荷重及び荷重の組合せ並びに許容限界を踏まえて、「3. 評価対象部位」にて設定する評価対象部位に作用する応力等が「5.3 許容限界」にて示す許容限界以下であることを確認する。

5.2 荷重及び荷重の組合せ

5.2.1 荷重の組合せ

浸水防止蓋の評価に用いる荷重の組合せを下記に示す。

$$G + S_s + P_s$$

ここで、 G : 固定荷重 (kN)

S_s : 基準地震動 S_s による地震荷重 (kN)

P_s : 積雪荷重 (kN)

5.2.2 荷重の設定

耐震評価に用いる荷重は、以下のとおりとする。

(1) 固定荷重 (G)

固定荷重として、浸水防止蓋を構成する部材の自重を考慮する。

(2) 積雪荷重 (P_s)

積雪荷重として、添付書類「VI-1-1-2 発電用原子炉施設の自然現象等による損傷の防止に関する説明書」のうち、添付書類「VI-1-1-2-1-1 発電用原子炉施設に対する自然現象等による損傷の防止に関する基本方針」に基づき 43cm の積雪量を想定し、平均的な積雪荷重を与えるための係数 0.35 を考慮する。

積雪荷重による質量は以下の式より算出する。

$$P_s = 0.35 \cdot W_s \cdot d_s \cdot A \cdot 10^{-3}$$

ここで、 P_s : 積雪荷重 (kN)

W_s : 1cm 当りの積雪荷重 20 (N/m²)

d_s : 積雪高さ 43 (cm)

A : 浸水防止蓋の面積 (m²)

(3) 基準地震動 S_s による地震荷重 (S_s)

地震荷重として、基準地震動 S_s に伴う慣性力を考慮する。地震荷重は浸水防止蓋の固定荷重及び積雪荷重に設計震度を乗じた次式により算出する。

$$S_s = (G + P_s) \cdot k$$

ここで、 S_s : 基準地震動 S_s による地震荷重 (kN)

G : 固定荷重 (kN)

P_s : 積雪荷重 (kN)

k : 基準地震動 S_s の設計震度

5.3 許容限界

許容限界は、添付書類「VI-2-1-9 機能維持の基本方針」にて設定している許容限界を踏まえて設定する。

5.3.1 使用材料

浸水防止蓋を構成するスキンプレート、固定ボルトの使用材料を表 5-1 に示す。

表 5-1 使用材料

評価対象部位	材質	仕様
スキンプレート	SM490Y	$t = 30$ (mm)
固定ボルト	SM490Y	M16

5.3.2 許容限界（スキンプレート、固定ボルト）

鋼材の許容応力度は、「鋼構造設計規準—許容応力度設計法—（日本建築学会、2005 改定）」を踏まえて表 5-2 の値とする。

表 5-2 鋼材の短期許容応力度

材質	短期許容応力度 (N/mm ²)	
	曲げ	せん断
SM490Y	325	188

5.4 設計用地震力

「4. 固有値解析」に示したとおり、浸水防止蓋の固有振動数が 20Hz 以上であることを確認したため、浸水防止蓋の耐震評価に用いる設計震度は「8. 地震応答解析」に示す地震応答解析結果を用いる。

耐震評価で用いる揚水井戸（第 3 号機海水ポンプ室防潮壁区画内）の最大加速度を表 5-3 に、設計震度を表 5-4 に示す。

表 5-3 (1) 地盤の地表面最大加速度（水平方向）

地震動	解析ケース	最大加速度 (cm/s ²)
S s - N 1	ケース③	-505.5

表 5-3 (2) 地盤の地表面最大加速度（鉛直方向）

地震動	解析ケース	最大加速度 (cm/s ²)
S s - D 2	ケース①	1308.9

表 5-4 設計震度

設置場所	床面高さ (m)	基準地震動 S s の設計震度	
		水平方向 k _H	鉛直方向 k _V
揚水井戸（第 3 号機海水ポンプ室防潮壁区画内）	0. P. 14.0	0.52	1.34

5.5 評価方法

浸水防止蓋を構成するスキンプレート及び固定ボルトに発生する応力より算定する応力度が、許容限界以下であることを確認する。スキンプレートについては、評価上最も厳しい条件となる断面で評価を実施する。図5-1に評価の対象とするスキンプレートを示す。また、図5-2に固定ボルトの納まりを示す。

5.5.1 スキンプレート

スキンプレートの支持条件は周辺支持の円板とし、図5-1に示すとおり、評価上最も厳しい条件となるよう評価を実施する。曲げ応力度及びせん断応力度は「機械工学便覧（日本機械学会、2005改訂）」より以下の式にて算出する。

(1) 基準地震動 S_s による地震荷重 S_s

$$S_s = (G + P_s) \cdot k_v$$

ここで、 S_s : 基準地震動 S_s による地震荷重 (kN)

G : スキンプレートの固定荷重 (kN)

P_s : 積雪荷重 (kN)

k_v : 基準地震動 S_s の鉛直方向の設計震度

(2) スキンプレートに作用する単位面積当たりの鉛直方向の荷重 $W_{s,s}$

$$W_{s,s} = (G + S_s + P_s) / A$$

ここで、 $W_{s,s}$: スキンプレートに作用する単位面積当たりの鉛直方向の等分布荷重 (kN/m^2)

G : スキンプレートの固定荷重 (kN)

S_s : 基準地震動 S_s による地震荷重 (kN)

P_s : 積雪荷重 (kN)

A : 浸水防止蓋の面積 (m^2)

(3) スキンプレートに作用する最大曲げ応力度 σ

スキンプレートに作用する曲げ応力度は「機械工学便覧（日本機械学会、2005改訂）」に基づき次式により算出する。

$$\sigma = 1.24 \cdot W_{s,s} \cdot a^2 \cdot 10^{-3} / t^2$$

ここで、 σ : スキンプレートに作用する最大曲げ応力度 (N/mm^2)

$W_{s,s}$: スキンプレートに作用する単位面積当たりの鉛直方向の等分布荷重 (kN/m^2)

a : スキンプレートの半径 (mm)

t : スキンプレートの厚さ (mm)

(4) スキンプレートに作用する最大せん断応力度 τ

スキンプレートに作用するせん断応力度は「機械工学便覧（日本機械学会、2005 改訂）」に基づき次式により算出する。

$$\tau = W_s s \cdot A \cdot 10^{-3} / (2 \cdot \pi \cdot a \cdot t)$$

ここで, τ : スキンプレートに作用する最大せん断応力度 (N/mm^2)

$W_s s$: スキンプレートに作用する単位面積当りの鉛直方向の等分布荷重 (kN/m^2)

a : スキンプレートの半径 (mm)

t : スキンプレートの厚さ (mm)

(5) スキンプレートに作用する組合せ応力度

スキンプレートに作用する曲げ応力度, せん断応力度を算定し, スキンプレートの短期許容応力度以下であることを確認する。また, スキンプレートに生じる曲げ応力度とせん断応力度から, 組合せ応力度を「鋼構造設計規準—許容応力度設計法—（日本建築学会, 2005 改定）」に基づく次式により算定し, 短期許容応力度以下であることを確認する。

$$x = \sqrt{\sigma^2 + 3 \cdot \tau^2}$$

ここで, x : 組合せ応力度 (N/mm^2)

σ : 曲げ応力度 (N/mm^2)

τ : せん断応力度 (N/mm^2)

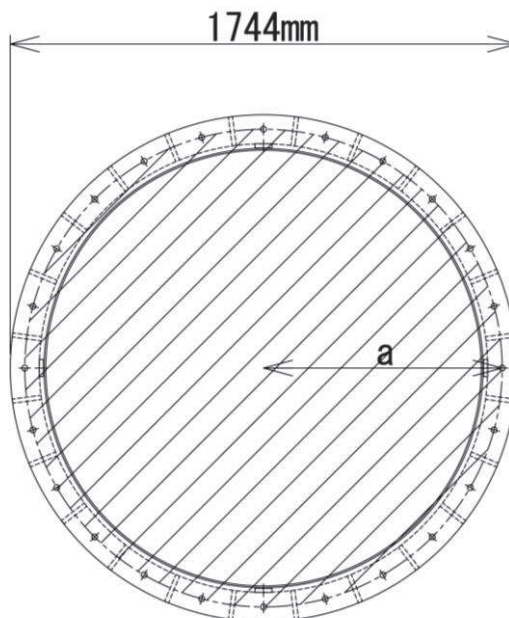


図 5-1 評価の対象とするスキンプレート

5.5.2 固定ボルト

(1) 基準地震動 S_s による水平方向の地震荷重 S_s

$$S_s = (G + P_s) \cdot k_H$$

ここで,
 S_s : 基準地震動 S_s による水平方向の地震荷重 (kN)
 G : 浸水防止蓋の固定荷重 (kN)
 P_s : 積雪荷重 (kN)
 k_H : 基準地震動 S_s の水平方向の設計震度

(2) 基準地震動 S_s による鉛直方向の地震荷重 S_s

$$S_s = (G + P_s) \cdot k_V$$

ここで,
 S_s : 基準地震動 S_s による鉛直方向の地震荷重 (kN)
 G : 浸水防止蓋の固定荷重 (kN)
 P_s : 積雪荷重 (kN)
 k_V : 基準地震動 S_s の鉛直方向の設計震度

(3) 固定ボルト 1 本当たりに生じる引張応力度 σ_t

$$\sigma_t = T_s \cdot 10^3 / A'$$

ここで,
 T_s = S_s / N
 σ_t : 固定ボルト 1 本当たりに生じる引張応力度 (N/mm)
 T_s : 固定ボルト 1 本当たりに生じる引張応力度 (kN)
 S_s : 基準地震動 S_s による鉛直方向の地震荷重 (kN)
 N : 浸水防止蓋に取り付く固定ボルトの本数
 A' : 固定ボルトの有効断面積 (mm²)

(4) 固定ボルト 1 本当たりに生じるせん断応力度 τ_s

$$\tau_s = q_s \cdot 10^3 / A'$$

ここで,
 q_s = S_s / N
 τ_s : 固定ボルト 1 本当たりに作用するせん断応力度 (N/mm²)
 q : 固定ボルト 1 本当たりに作用するせん断力 (kN)
 S_s : 基準地震動 S_s による水平方向の地震荷重 (kN)
 N : 浸水防止蓋に取り付く固定ボルトの本数
 A' : 固定ボルトの有効断面積 (mm²)

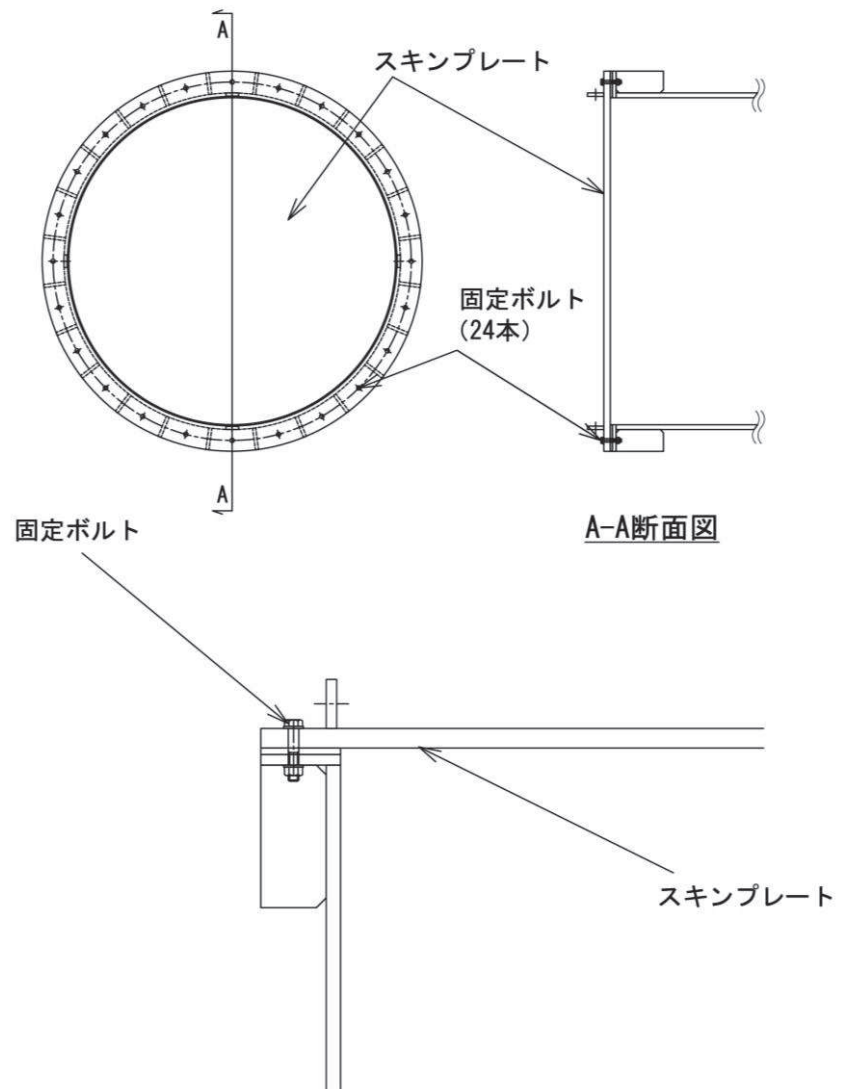


図 5-2 固定ボルトの納まり

5.6 評価条件

浸水防止蓋の耐震評価に用いる入力値を表 5-5 に示す。

表 5-5 浸水防止蓋の耐震評価に用いる入力値

評価 対象 部位	記号	単位	定義	数値
スキン プレート	G	kN	スキンプレートの固定荷重	5.59
	P _s	kN	積雪荷重	0.72
	A	m ²	浸水防止蓋の面積	2.39
	a	mm	スキンプレートの半径	822
	t	mm	スキンプレートの厚さ	30
固定 ボルト	G	kN	スキンプレートの固定荷重	5.59
	P _s	kN	積雪荷重	0.72
	N	本	浸水防止蓋に取り付く固定ボルトの本数	24
	A'	mm ²	固定ボルトの有効断面積	157

6. 評価結果

浸水防止蓋の耐震評価結果を表 6-1 に示す。各部材の断面検定を行った結果、すべての部材において発生応力又は応力度が許容限界以下であることを確認した。

表 6-1 浸水防止蓋の耐震評価結果

評価対象部位		発生値 (応力度又は荷重)		許容限界		検定値
スキンプレート	曲げ	6	N/mm ²	325	N/mm ²	0.02<1.0
	せん断	1	N/mm ²	188	N/mm ²	0.01<1.0
	組合せ	7	N/mm ²	325	N/mm ²	0.03<1.0
固定ボルト	引張	3	N/mm ²	325	N/mm ²	0.01<1.0
	せん断	1	N/mm ²	188	N/mm ²	0.01<1.0

7. 揚水井戸（第3号機海水ポンプ室防潮壁区画内）の耐震評価

7.1 概要

揚水井戸（第3号機海水ポンプ室防潮壁区画内）（以下、「揚水井戸」という。）は、鋼製シャフトからなる構造物であり、マンメイドロック（以下「MMR」という。）を介し C_M 級岩盤に設置する。揚水井戸の頂部開口部に浸水防止蓋を設置する。

揚水井戸に要求される機能の維持を確認するに当たっては、地震応答解析に基づく構造部材の健全性評価及び基礎地盤の支持性能評価により行う。

7.2 評価方針

揚水井戸の耐震評価は地震応答解析に基づき実施し、表 7-1 に示すとおり、構造部材の健全性及び基礎地盤の支持性能評価を行う。

構造部材の健全性評価については、添付書類「VI-2-1-9 機能維持の基本方針」に基づき発生する応力が許容限界以下であることを確認する。

基礎地盤の支持性能評価においては、添付書類「VI-2-1-9 機能維持の基本方針」に基づき発生する応力（接地圧）が許容限界以下であることを確認する。

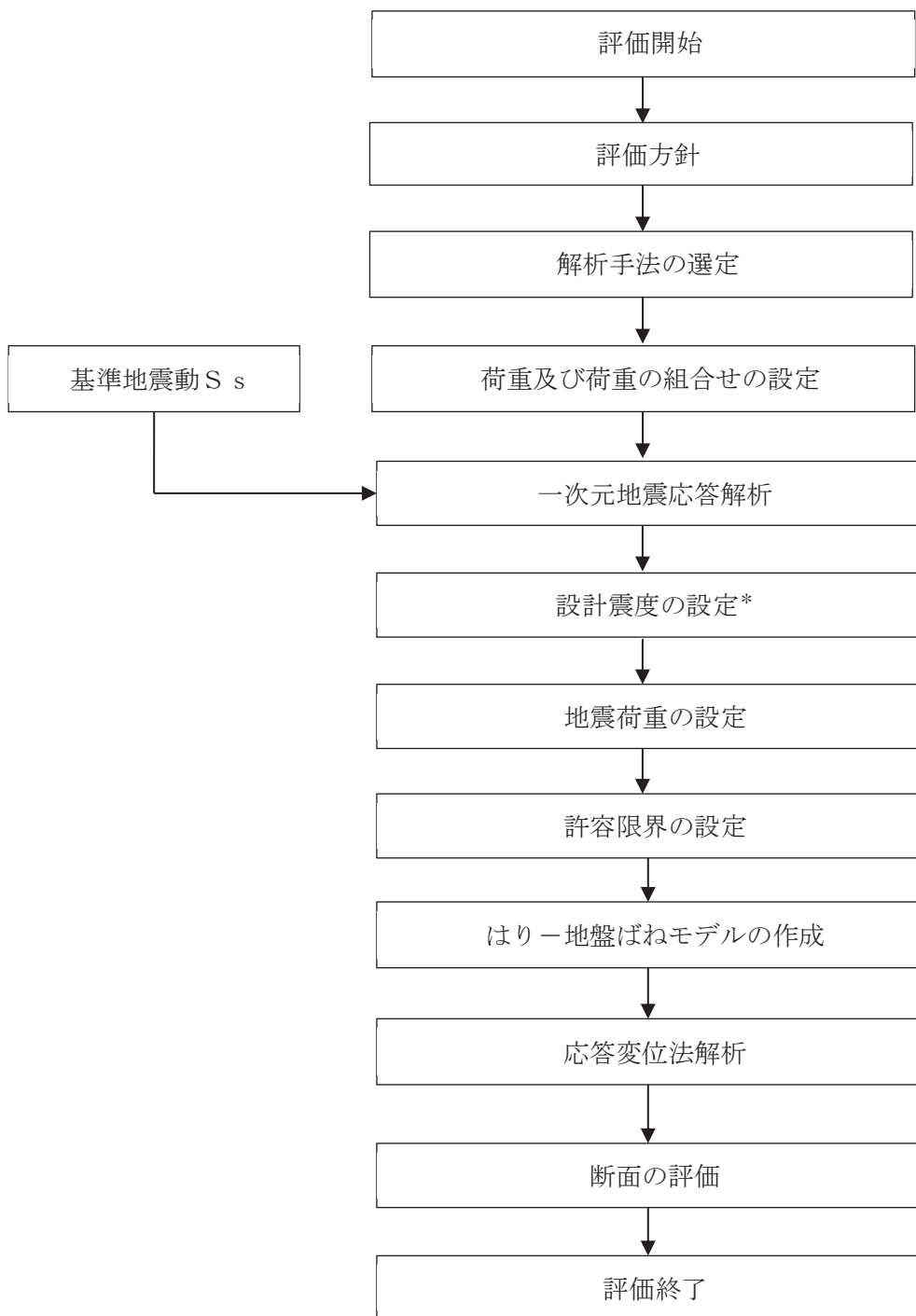
構造部材の健全性評価及び基礎地盤の支持性能評価を実施することで、構造強度を有することを確認する。

揚水井戸の耐震評価フローを図 7-1 に示す。

表 7-1 揚水井戸の評価項目

評価方針	評価項目	部位	評価方法	許容限界
構造強度 を有する こと	構造部材の 健全性	鋼製シャフト	発生する応力（曲げ 軸力、せん断力）が 許容限界以下である ことを確認	短期許容応力度
	基礎地盤の 支持性能	基礎地盤	発生する応力（接地 圧）が許容限界以下 であることを確認	極限支持力*

注記*：妥当な安全余裕を考慮する。



注記*：一次元地震応答解析にて算出された最大加速度による設計震度を設定する。

図 7-1 揚水井戸の耐震評価フロー

7.3 適用基準

適用する規格、基準類を以下に示す。また、各項目で適用する規格・基準類を表 7-2 に示す。

- (1)道路橋示方書（I 共通編・II 鋼橋編）・同解説（日本道路協会 平成 14 年 3 月）
- (2)道路橋示方書（I 共通編・IV 下部構造編）・同解説（日本道路協会 平成 14 年 3 月）
- (3)原子力発電所耐震設計技術指針 JEAG 4601-1987（日本電気協会 電気技術基準調査委員会）

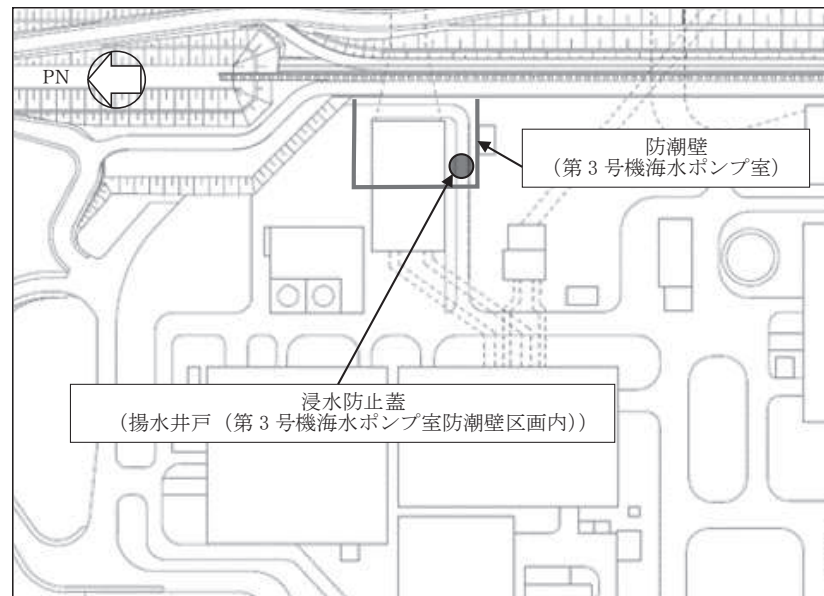
表 7-2 各項目で適用する規格・基準類

項目	適用する規格、基準類	備考（参照先）
使用材料及び材料定数	・道路橋示方書（I 共通編・II 鋼橋編）・同解説（日本道路協会 平成 14 年 3 月）	—
一次元地震応答解析	・原子力発電所耐震設計技術指針 JEAG 4601-1987（日本電気協会 電気技術基準調査委員会）	・地盤モデルの節点間隔の設定
許容限界	・道路橋示方書（I 共通編・II 鋼橋編）・同解説（日本道路協会 平成 14 年 3 月）	—
応答変位法解析	・道路橋示方書（I 共通編・IV 下部構造編）・同解説（日本道路協会 平成 14 年 3 月）	・応答変位法解析に用いる地盤ばねの設定

8 地震応答解析

8.1 位置

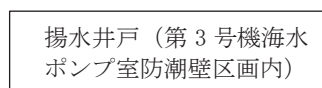
揚水井戸の設置位置を図 8-1 に示す。



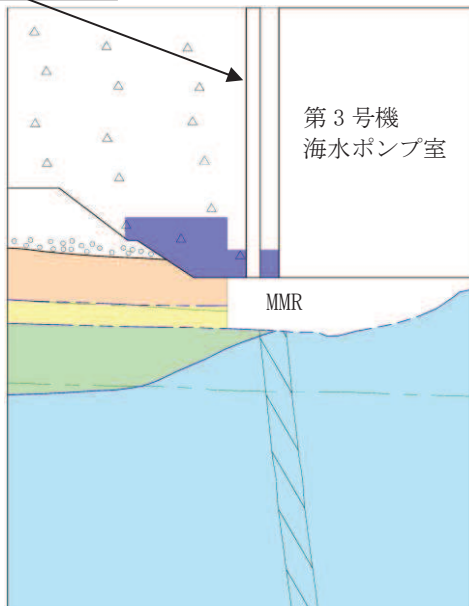
(平面図)

南

北



凡 例	
	B 級
	C _H 級
	C _M 級
	C _L 級
	D 級
	岩盤分類境界
	速度層境界
	盛 土
	旧 表 土
	砂 岩
	頁 岩
	ひ ん 岩
	断 层
	地 質 境 界
	改 良 地 盤 等



(断面図 (南北方向))

図 8-1 揚水井戸の設置位置

8.2 構造概要

揚水井戸は、防潮壁（第3号機海水ポンプ室）内に設置し、浸水防止蓋の間接支持構造物となる。

揚水井戸は、全長30.0m、内径1500mm、厚さ30mm、材質SM570の鋼製構造とし、4.5m単位のシャフトを繋ぎ合わせて（ジョイント部*）設置する。

構造概要を図8-2に、揚水井戸設置位置の地質断面図及び地質状況を図8-3、図8-4に示す。

注* 施工上の継ぎ目

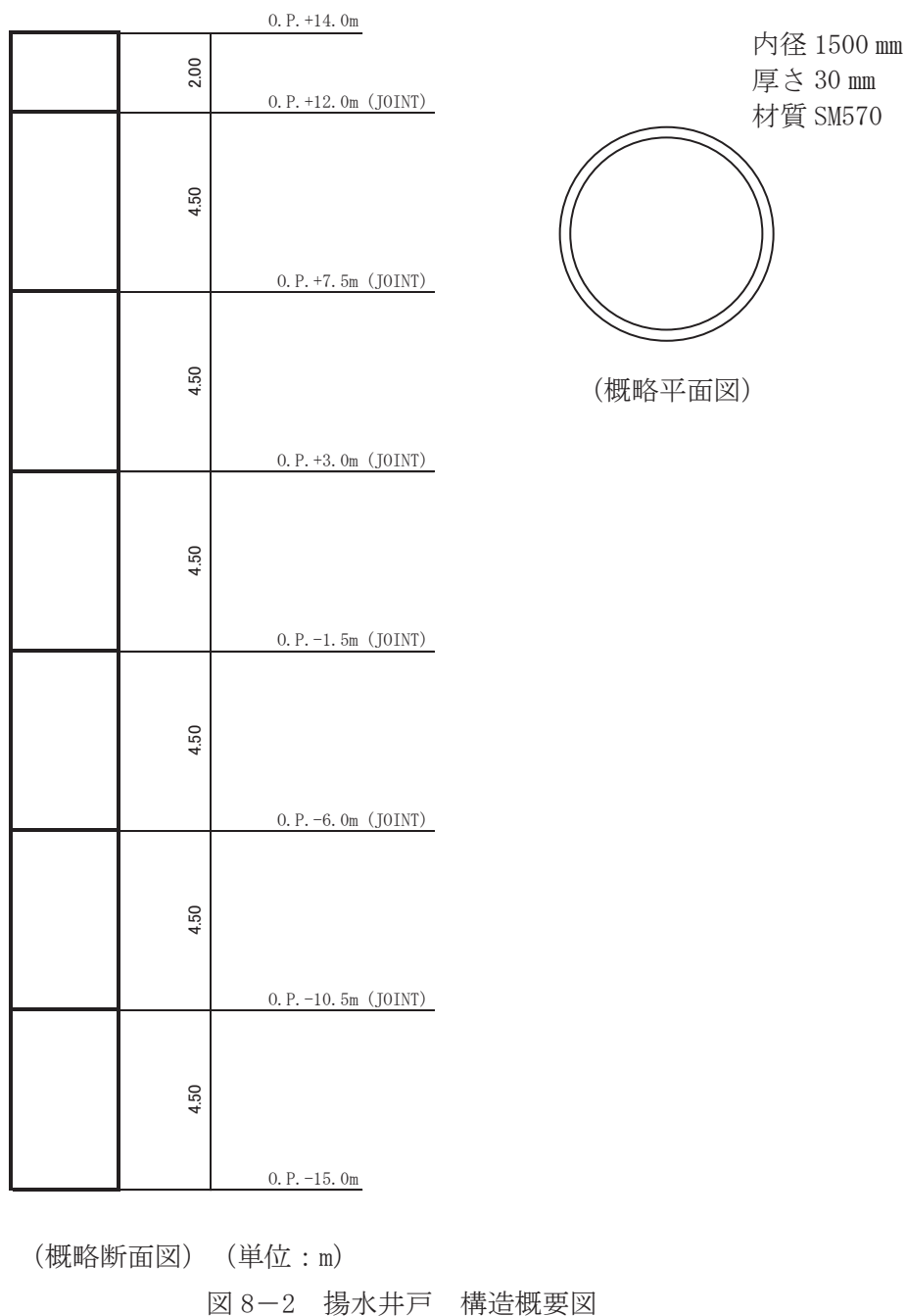


図8-2 揚水井戸 構造概要図

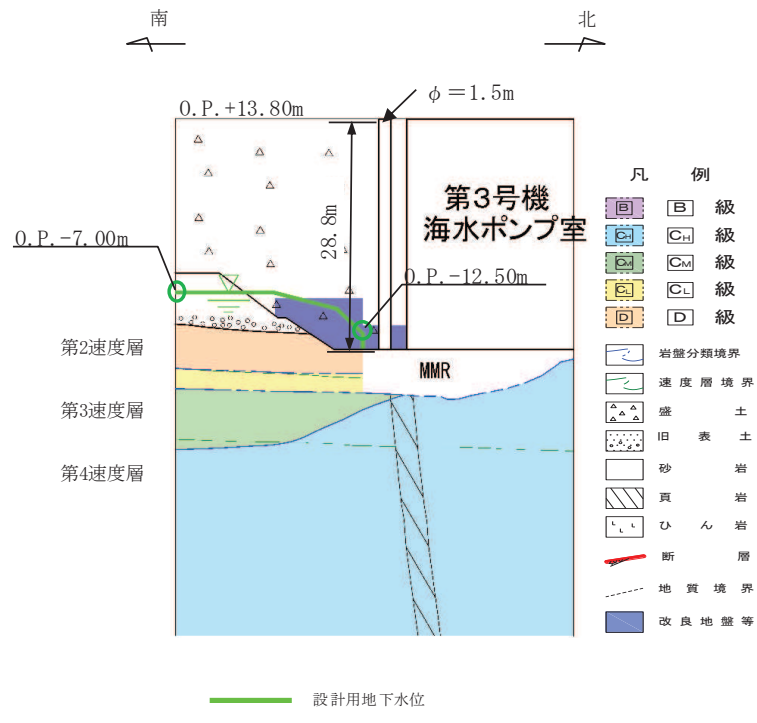


図 8-3(1) 揚水井戸周辺の地質断面図（南北）

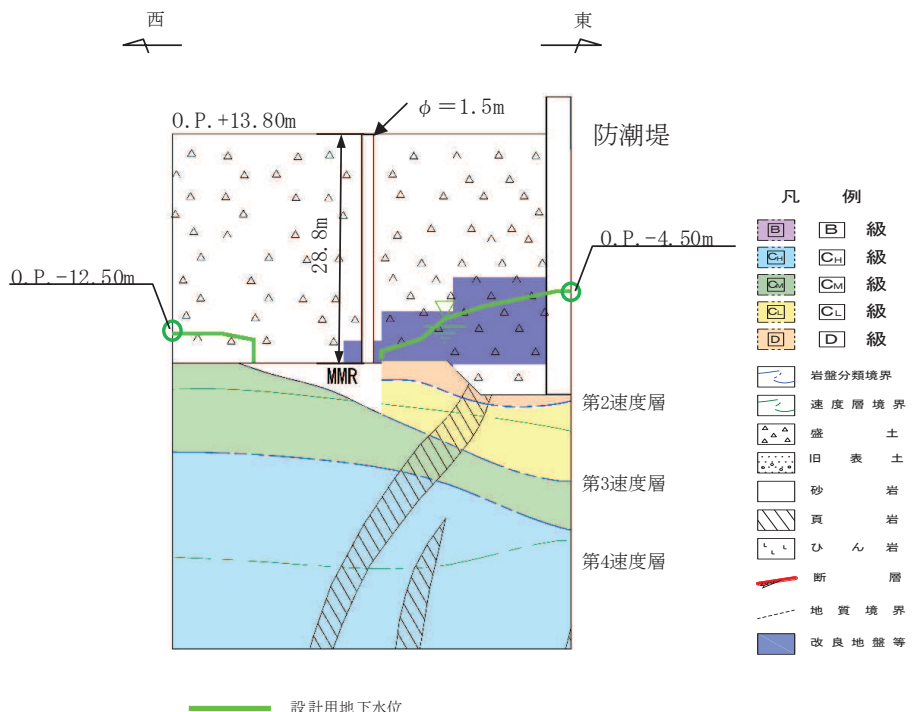


図 8-3(2) 揚水井戸周辺の地質断面図（東西）

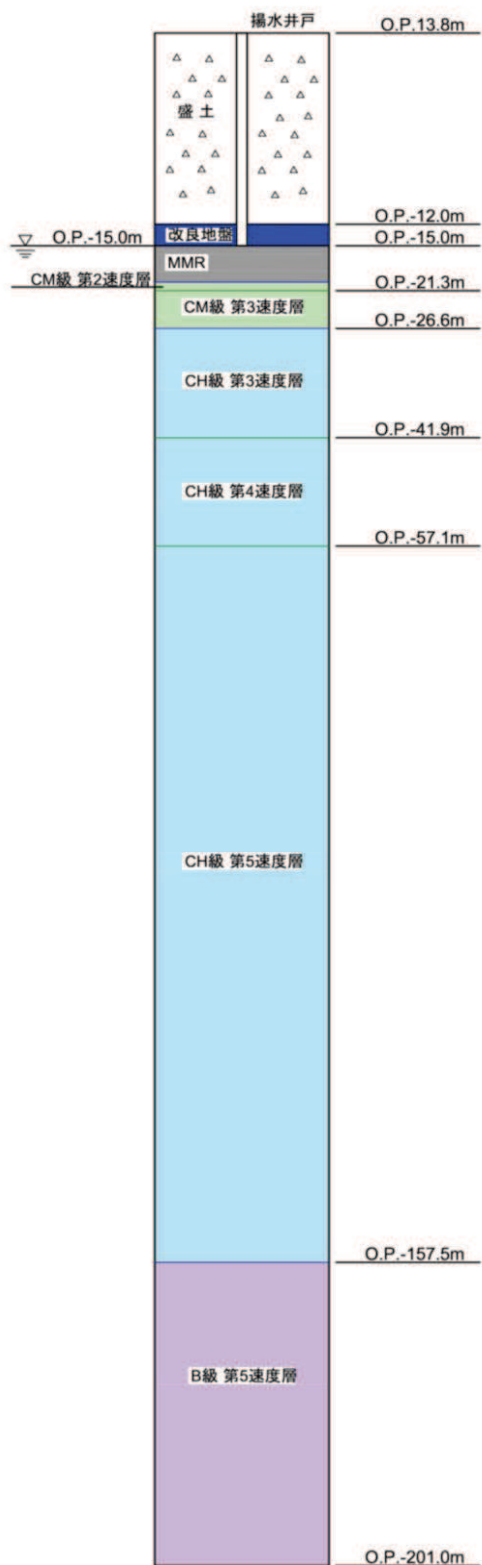


図 8-4 揚水井戸設置位置の地質状況

8.3 評価方針

揚水井戸設置位置の地盤の応答解析は、添付書類「VI-2-1-6 地震応答解析の基本方針」に基づき、基準地震動 S_s 及び弾性設計用地震動 $S_d - D_2$ に対して実施する。

地盤の応答解析は、「8.3 地盤の応答解析モデル」において設定した地盤モデルに基づき「8.4 地盤応答」を評価する。

地盤モデルには、地盤物性の不確かさを考慮し、地盤応答として地盤の地表面最大応答加速度を算出する。

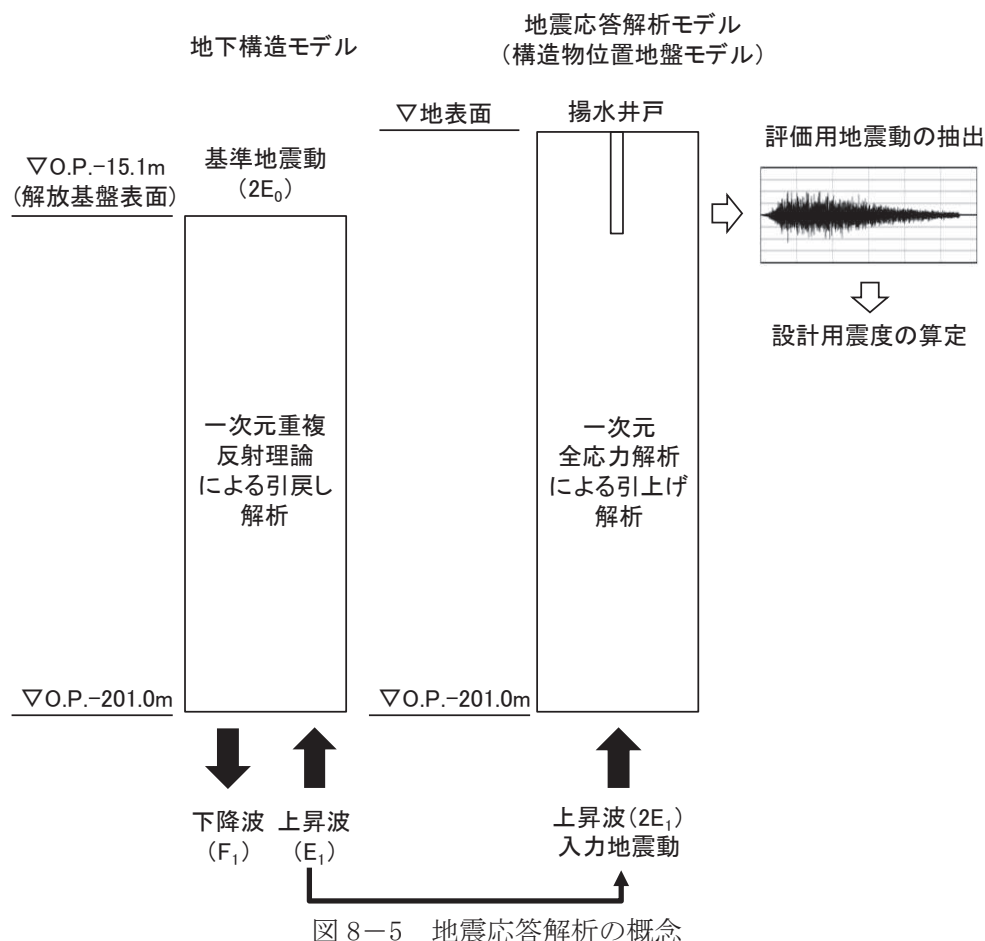
8.4 地盤の応答解析モデル

地盤の応答解析は、基準地震動 S_s を用いて添付書類「VI-2-1-3 地盤の支持性能に係る基本方針」のうち「6.1 入力地震動の設定に用いる地下構造モデル」を踏まえて算定する。設計用震度は、入力地震動を地震応答解析モデルに入力して評価用地震動から算定する。

地震応答解析の概念を図 8-5 に、入力地震動の加速度時刻歴波形及び加速度応答スペクトルを図 8-6 に示す。揚水井戸は液状化の影響が及ばないよう周囲を地盤改良するため、解析手法は図 8-7 に示す解析手法の選定フローに基づき全応力解析とする。また、地盤については、地盤のひずみ依存性を適切に考慮できるようモデル化し、添付書類「VI-2-1-3 地盤の支持性能に係る基本方針」にて設定している物性値を用いる。

地盤の応答解析では地盤物性のばらつきを考慮する。地盤物性のばらつき考慮ケースを表 8-1 に解析ケースを表 8-2 に示す。

解析コードには、引戻し解析に「SHAKE Ver1.6」を使用し、地盤の応答解析による設計震度及び地盤変位の算定には「TDAPⅢ Ver3.11」を使用する。解析コードの検証及び妥当性確認の概要については、添付書類「VI-5 計算機プログラム（解析コード）の概要」に示す。



防潮壁と同様の考え方で液状化による変形抑制のための地盤改良を実施することにより、液状化影響が及ばないことから全応力解析により実施する。
解析手法の妥当性については、防潮壁の計算書とあわせて説明する。

表 8-1 解析ケース（揚水井戸）

解析ケース	地盤物性
	盛土, 改良地盤 (G_0 : 初期せん断弾性係数)
ケース① (基本ケース)	平均値
ケース②	平均値 + 1 σ
ケース③	平均値 - 1 σ

表 8-2 設計震度算定における解析ケース

解析ケース	ケース①	ケース②	ケース③
	基本ケース	地盤物性のばらつき (+1 σ) を考慮した解析ケース	地盤物性のばらつき (-1 σ) を考慮した解析ケース
地盤物性	平均値	平均値 + 1 σ	平均値 - 1 σ
S s - D 1	○	○	○
S s - D 2	○	○	○
S s - D 3	○	○	○
S s - F 1	○	○	○
S s - F 2	○	○	○
S s - F 3	○	○	○
S s - N 1	○	○	○
S d - D 2	○	○	○

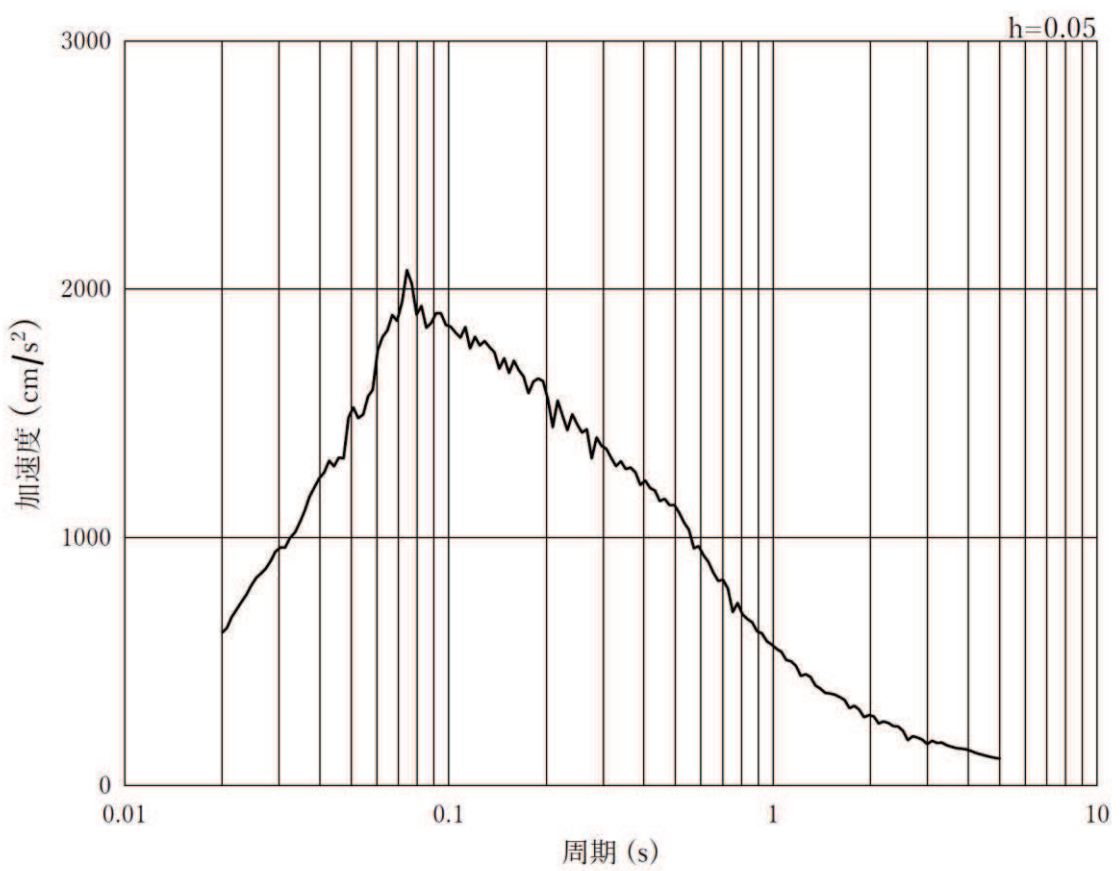
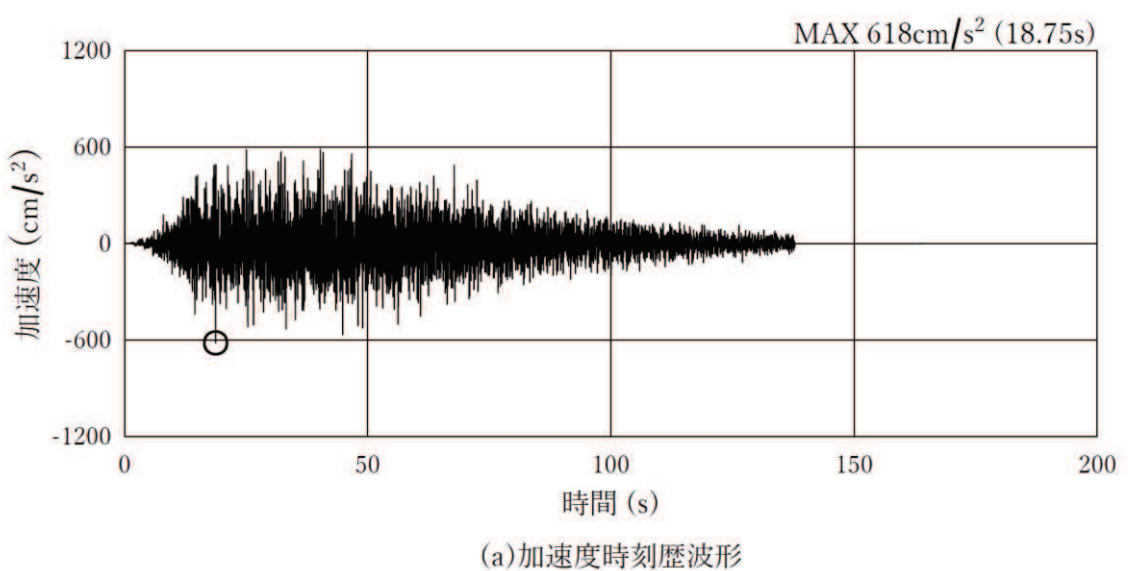
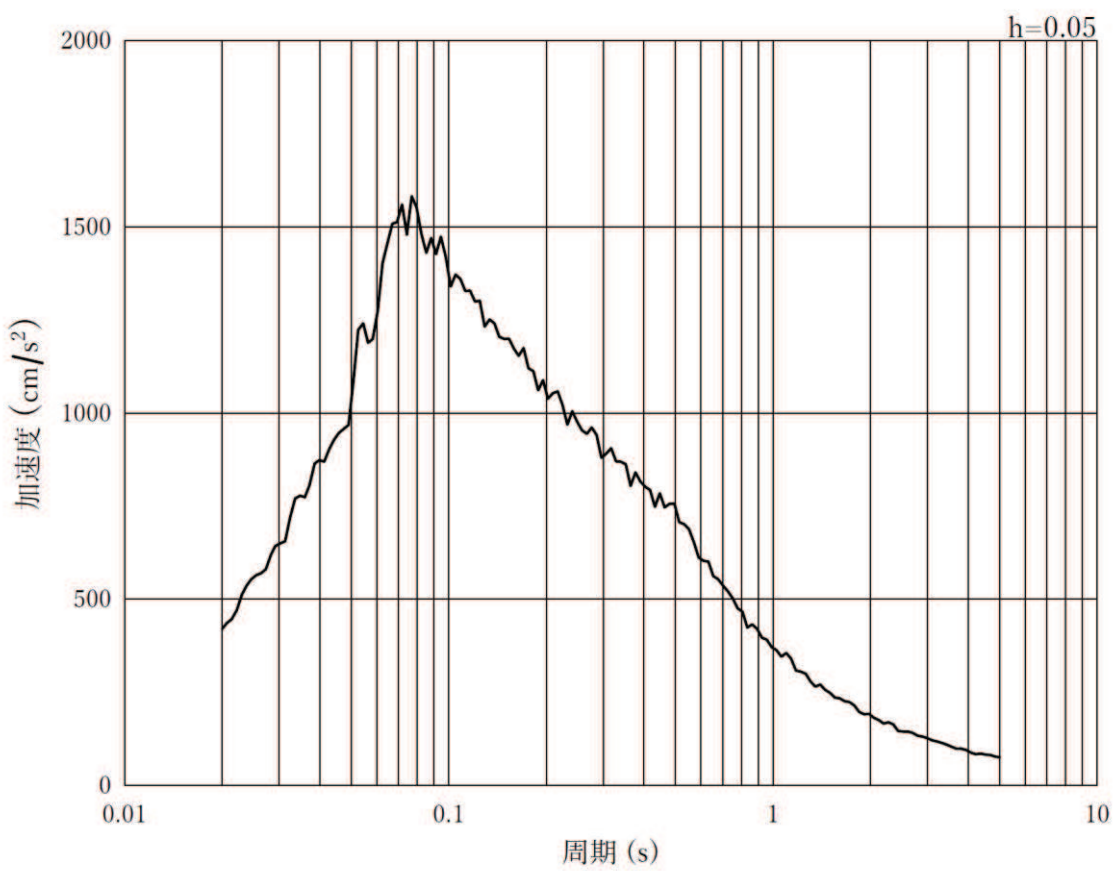
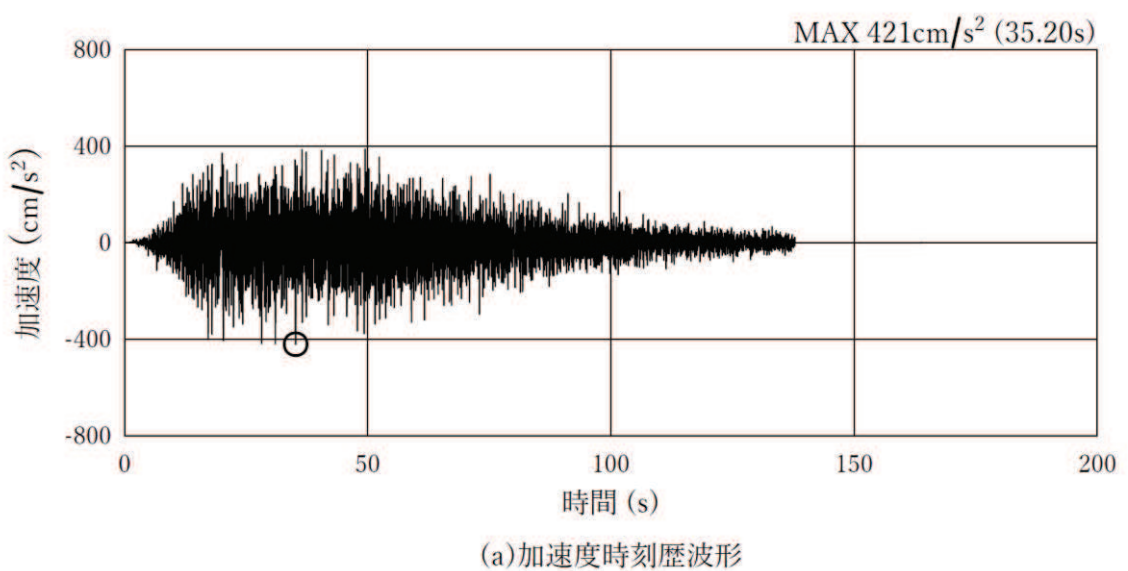
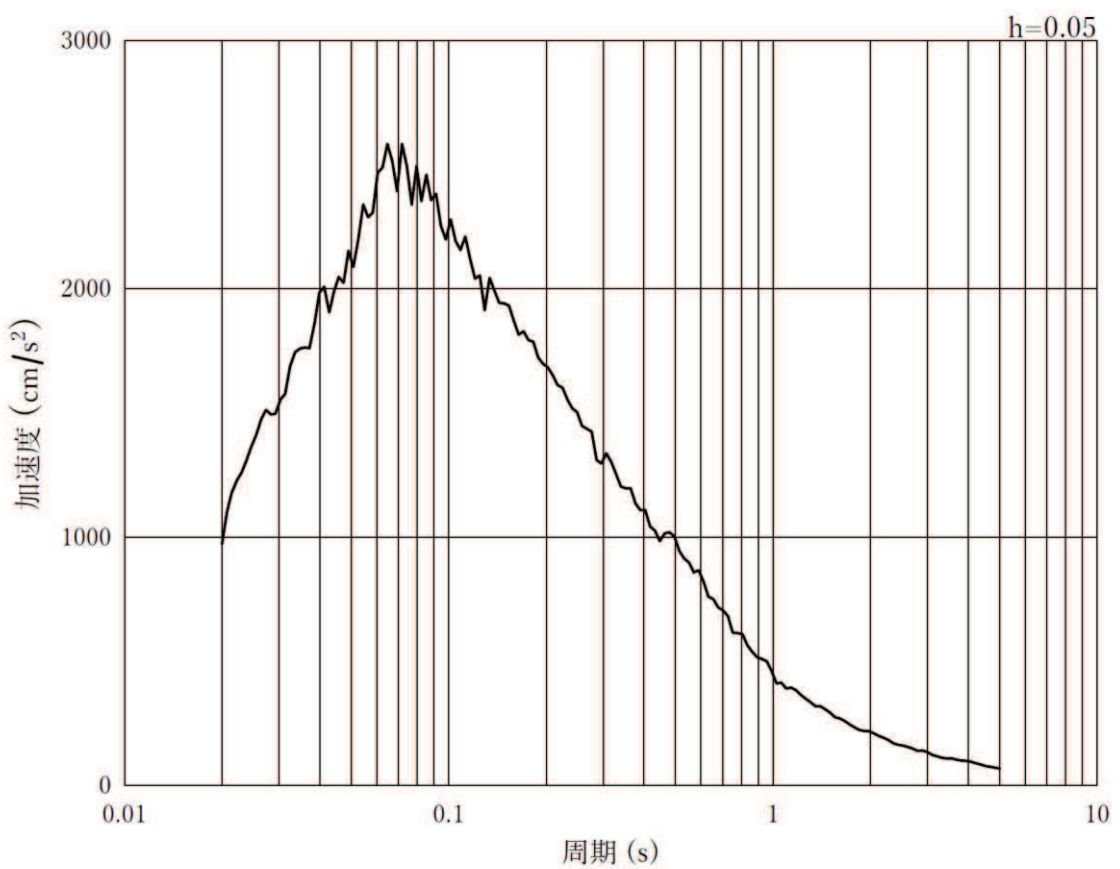
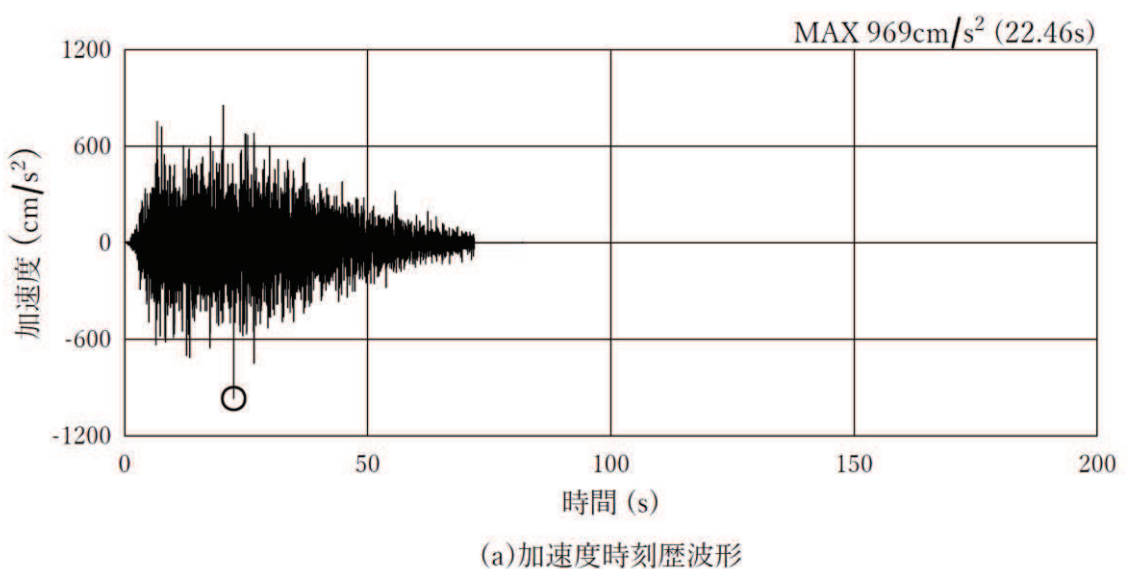


図 8-6(1) 入力地震動の加速度時刻歴波形及び加速度応答スペクトル
(水平方向 : S s-D 1)



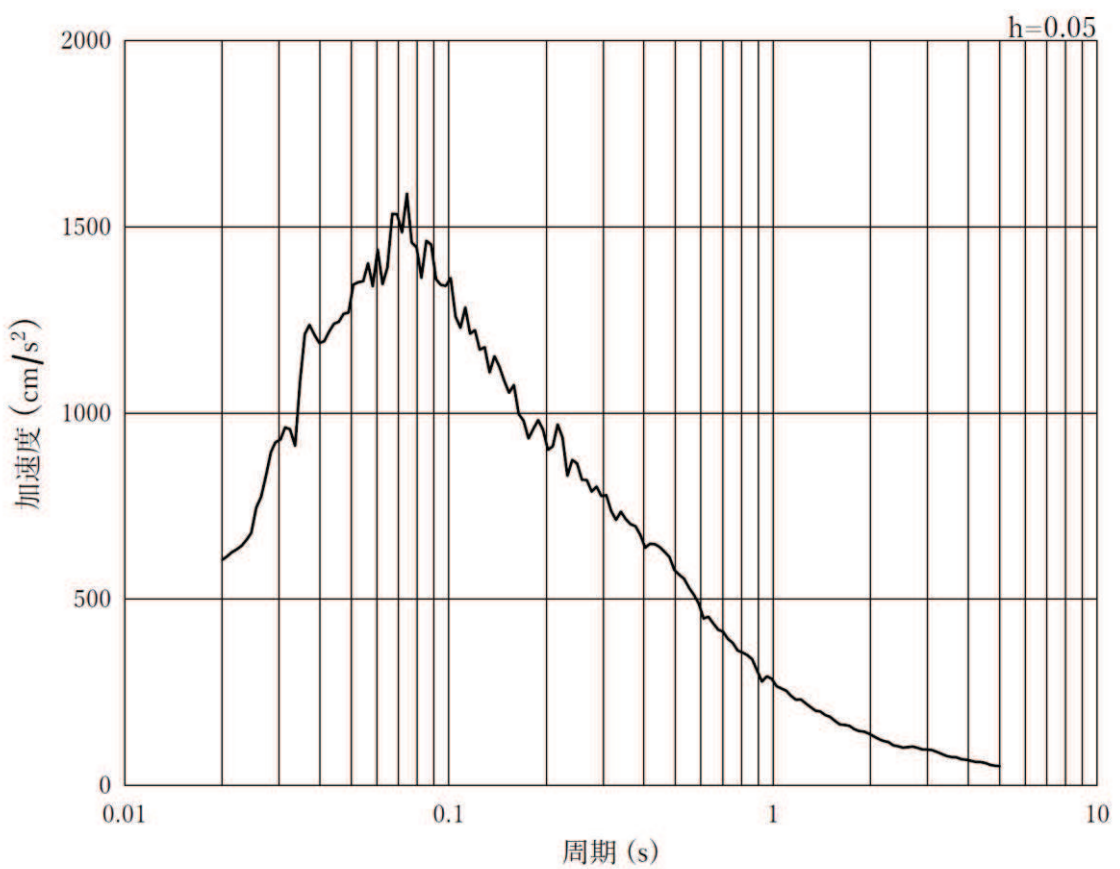
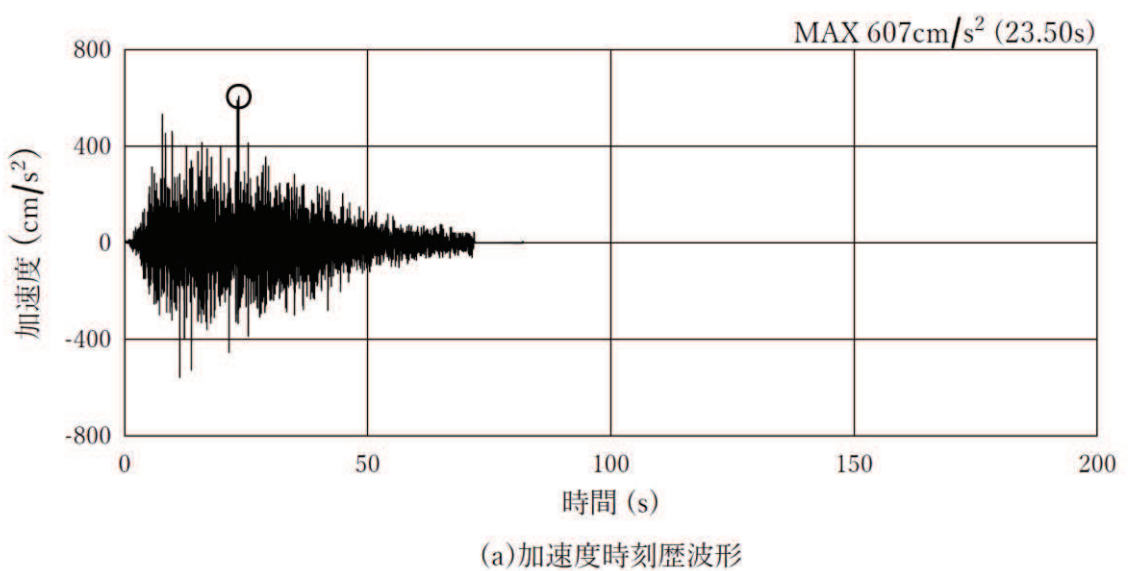
(b) 加速度応答スペクトル

図 8-6(2) 入力地震動の加速度時刻歴波形及び加速度応答スペクトル
(鉛直方向: S s - D 1)



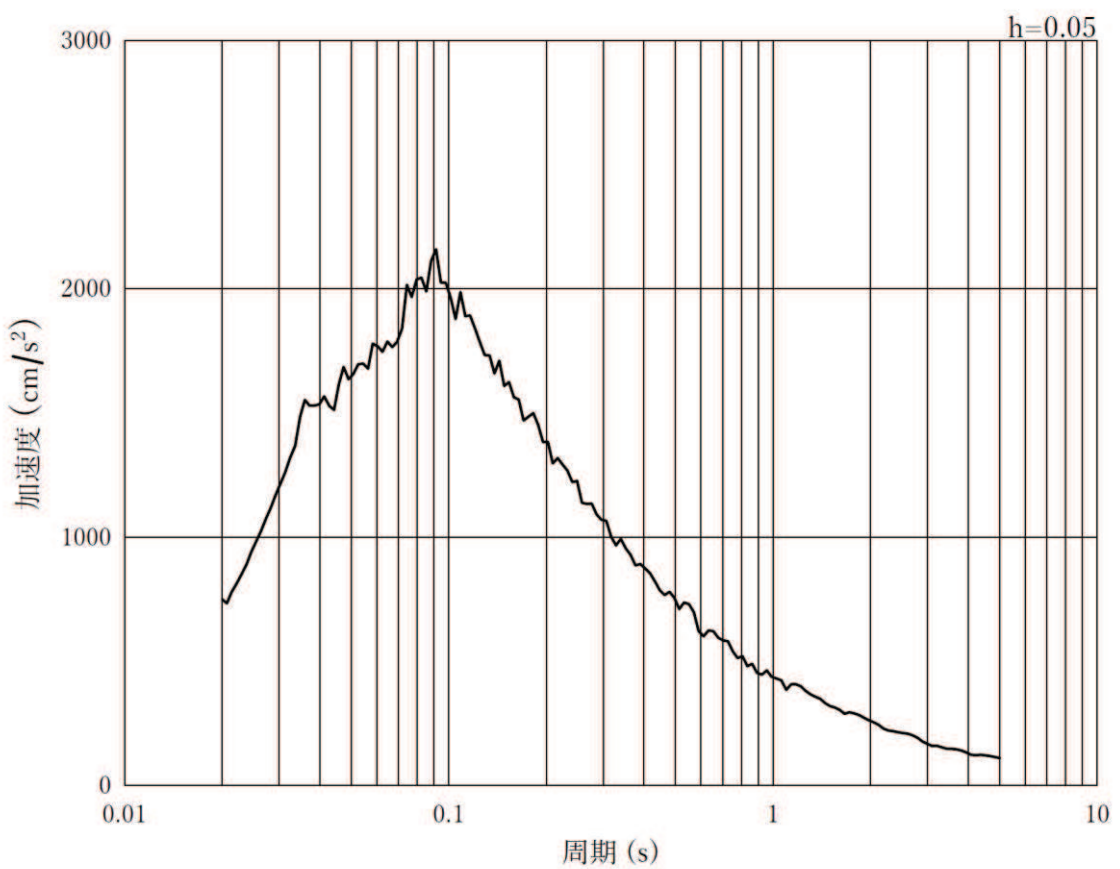
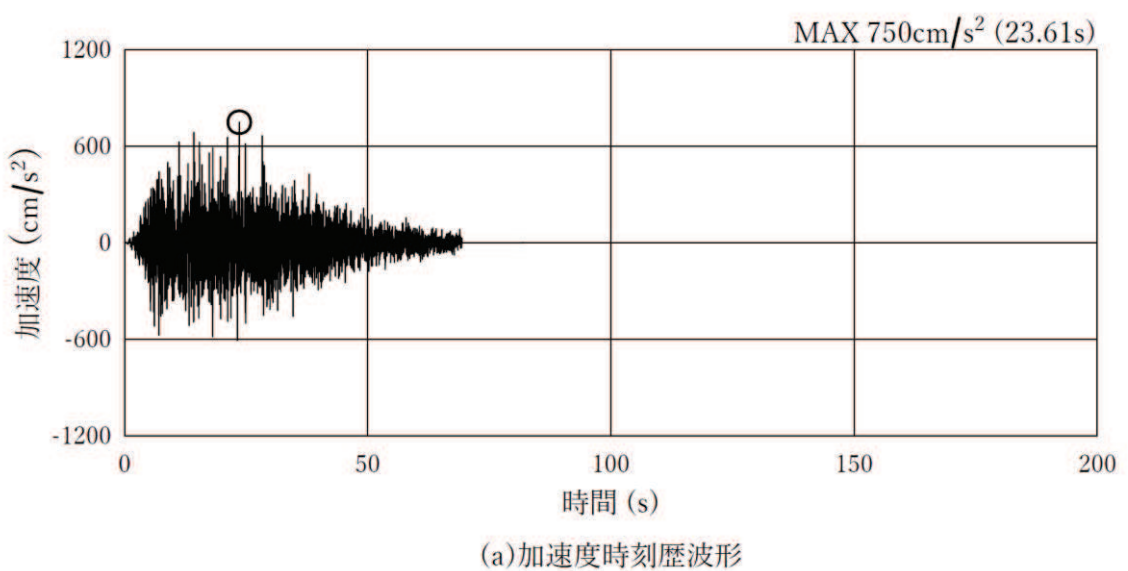
(b) 加速度応答スペクトル

図 8-6(3) 入力地震動の加速度時刻歴波形及び加速度応答スペクトル
(水平方向: S s-D 2)



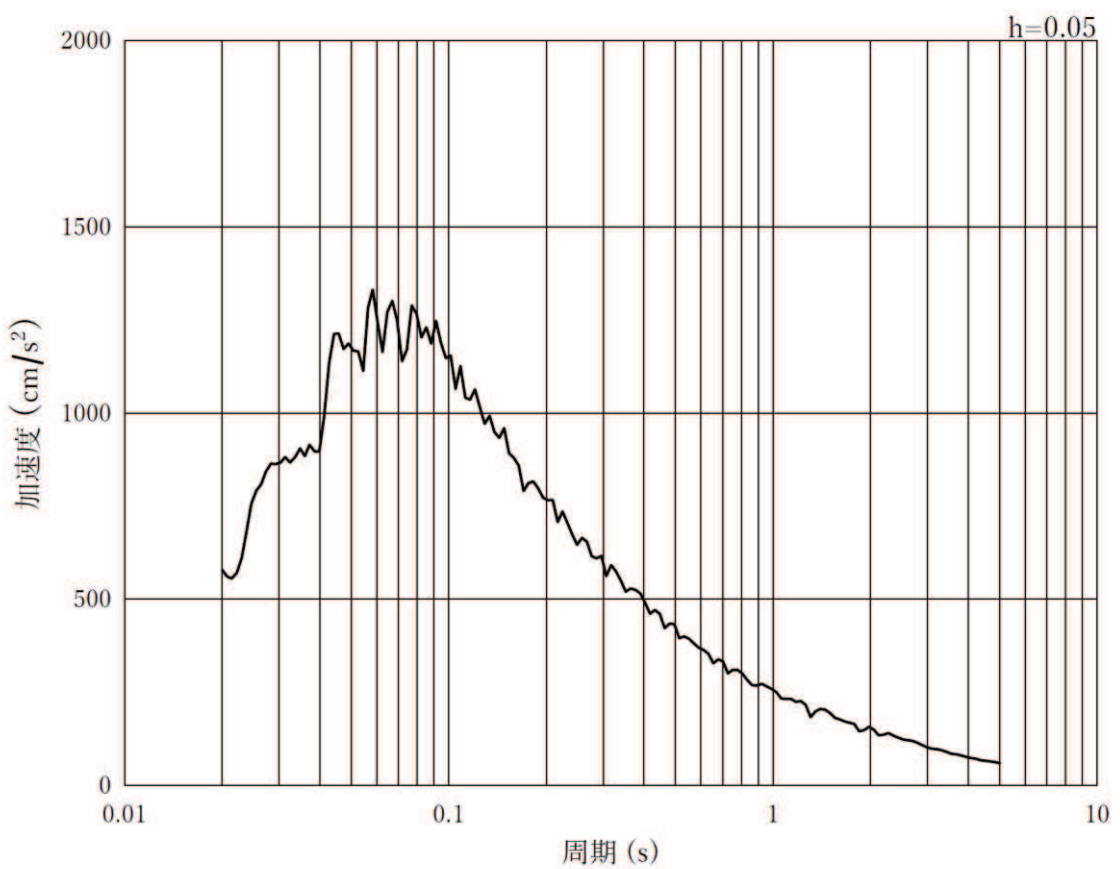
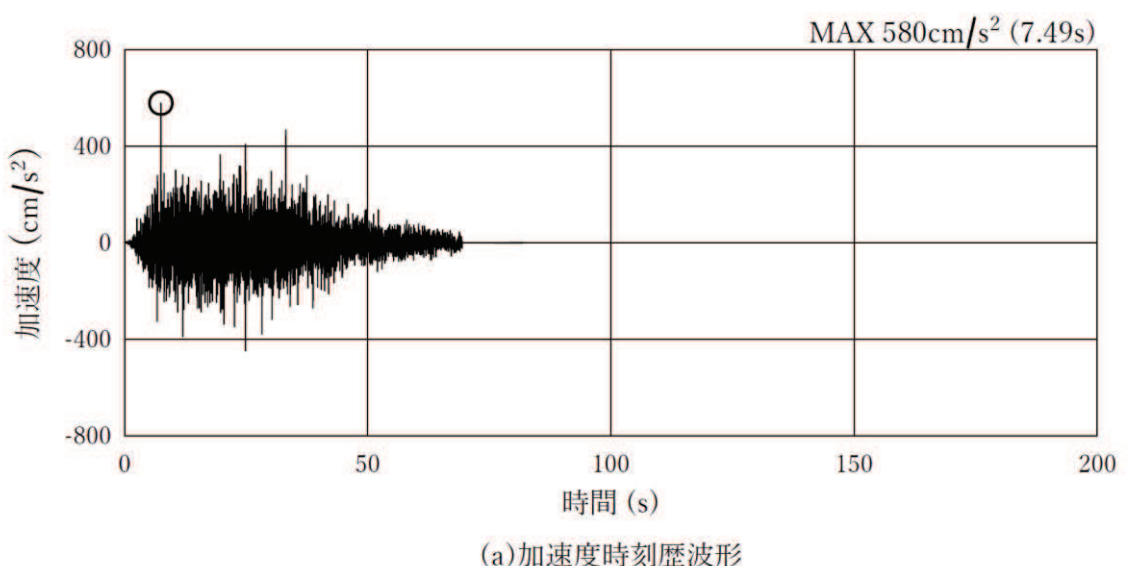
(b) 加速度応答スペクトル

図 8-6(4) 入力地震動の加速度時刻歴波形及び加速度応答スペクトル
(鉛直方向: S s-D 2)



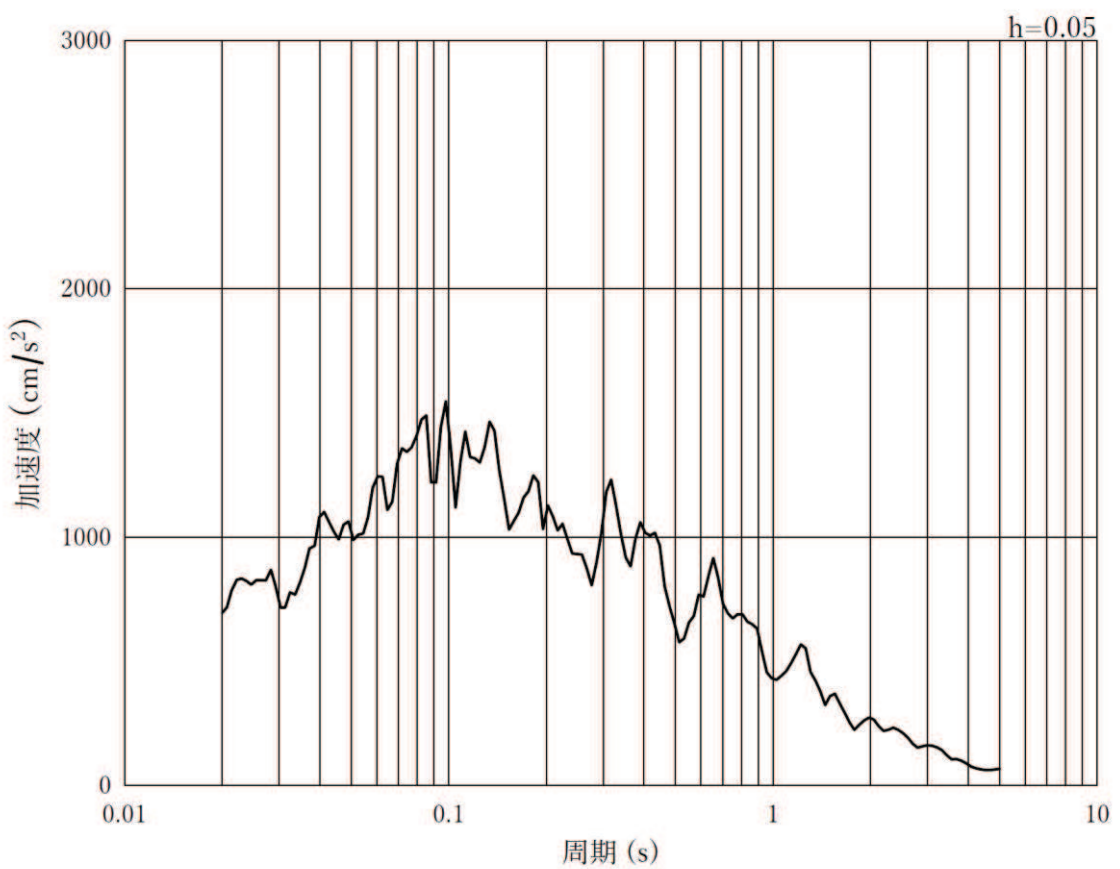
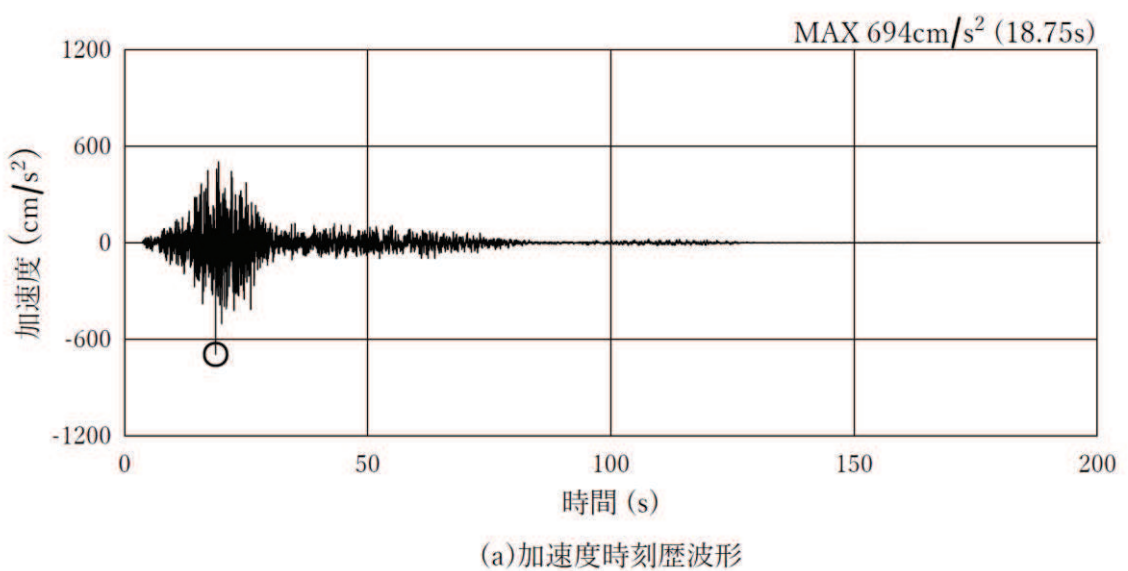
(b) 加速度応答スペクトル

図 8-6(5) 入力地震動の加速度時刻歴波形及び加速度応答スペクトル
(水平方向: S s-D 3)



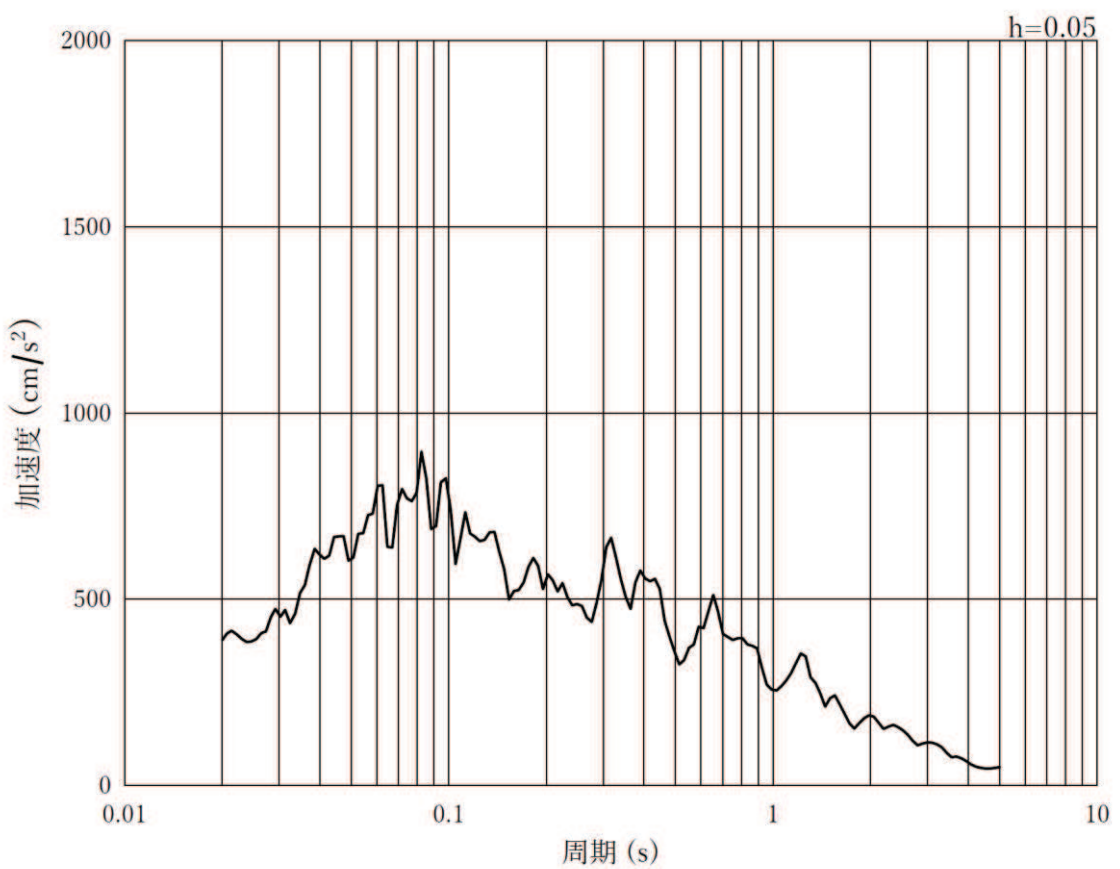
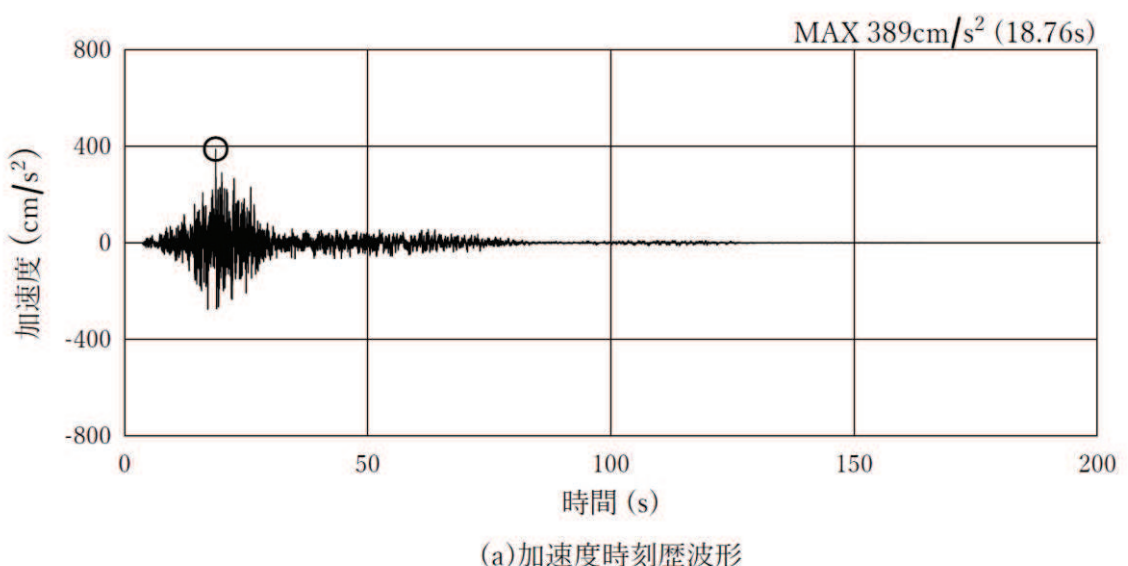
(b) 加速度応答スペクトル

図 8-6(6) 入力地震動の加速度時刻歴波形及び加速度応答スペクトル
(鉛直方向: S s - D 3)



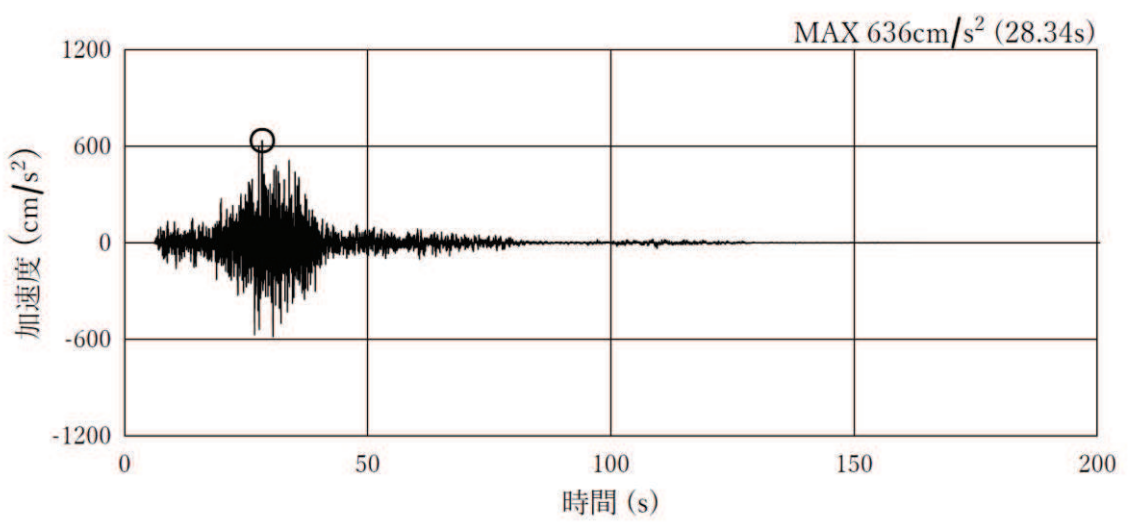
(b) 加速度応答スペクトル

図 8-6(7) 入力地震動の加速度時刻歴波形及び加速度応答スペクトル
(水平方向: S s - F 1)

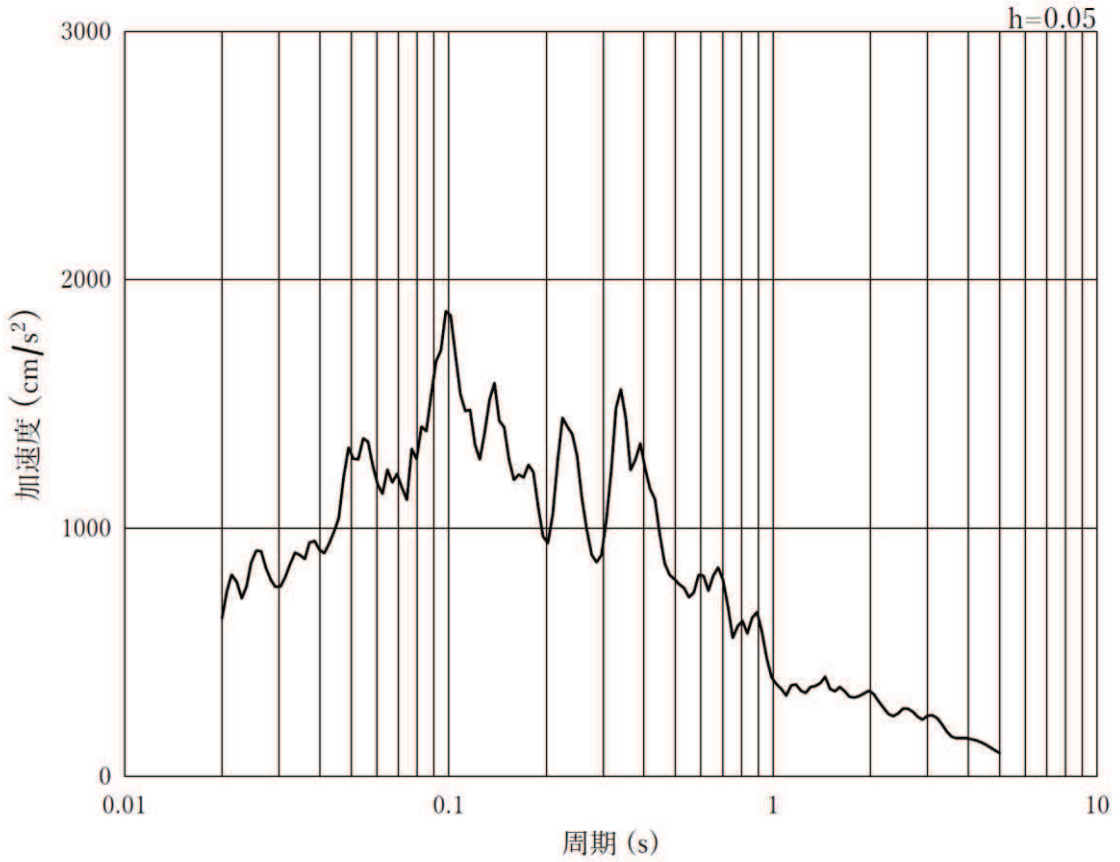


(b) 加速度応答スペクトル

図 8-6(8) 入力地震動の加速度時刻歴波形及び加速度応答スペクトル
(鉛直方向: S s - F 1)

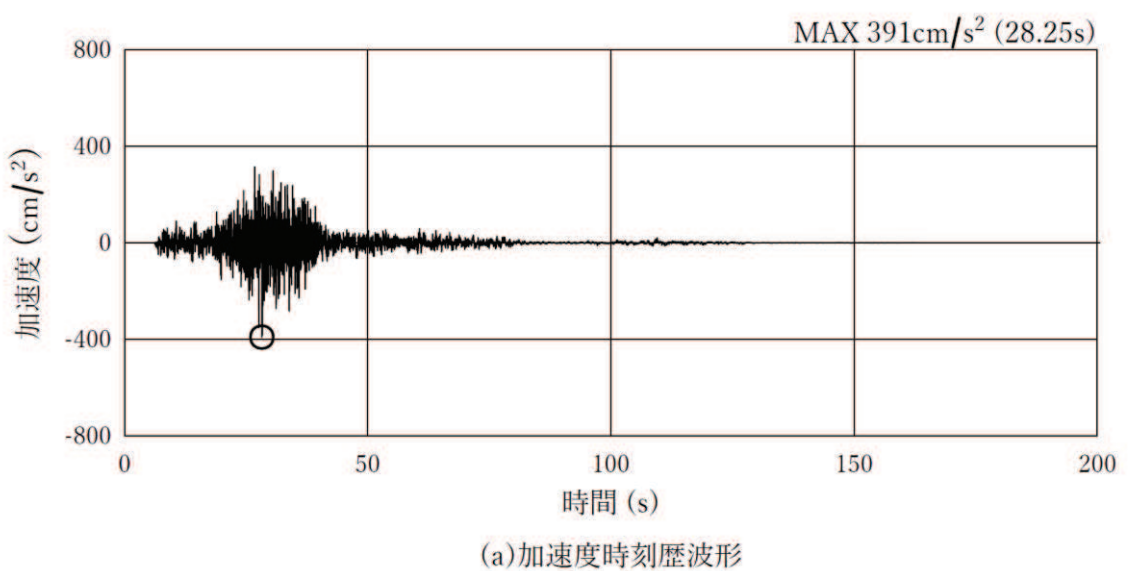


(a) 加速度時刻歴波形

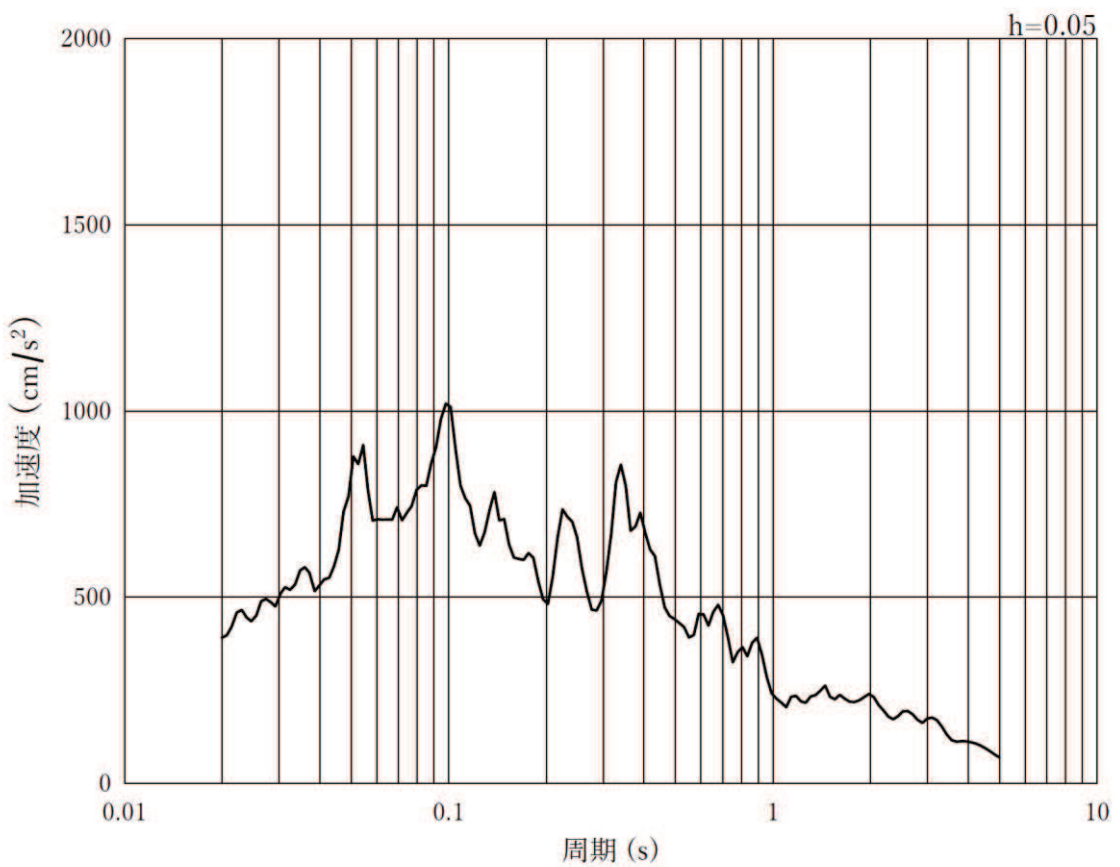


(b) 加速度応答スペクトル

図 8-6(9) 入力地震動の加速度時刻歴波形及び加速度応答スペクトル
(水平方向: S s - F 2)



(a) 加速度時刻歴波形



(b) 加速度応答スペクトル

図 8-6(10) 入力地震動の加速度時刻歴波形及び加速度応答スペクトル
(鉛直方向: S s - F 2)

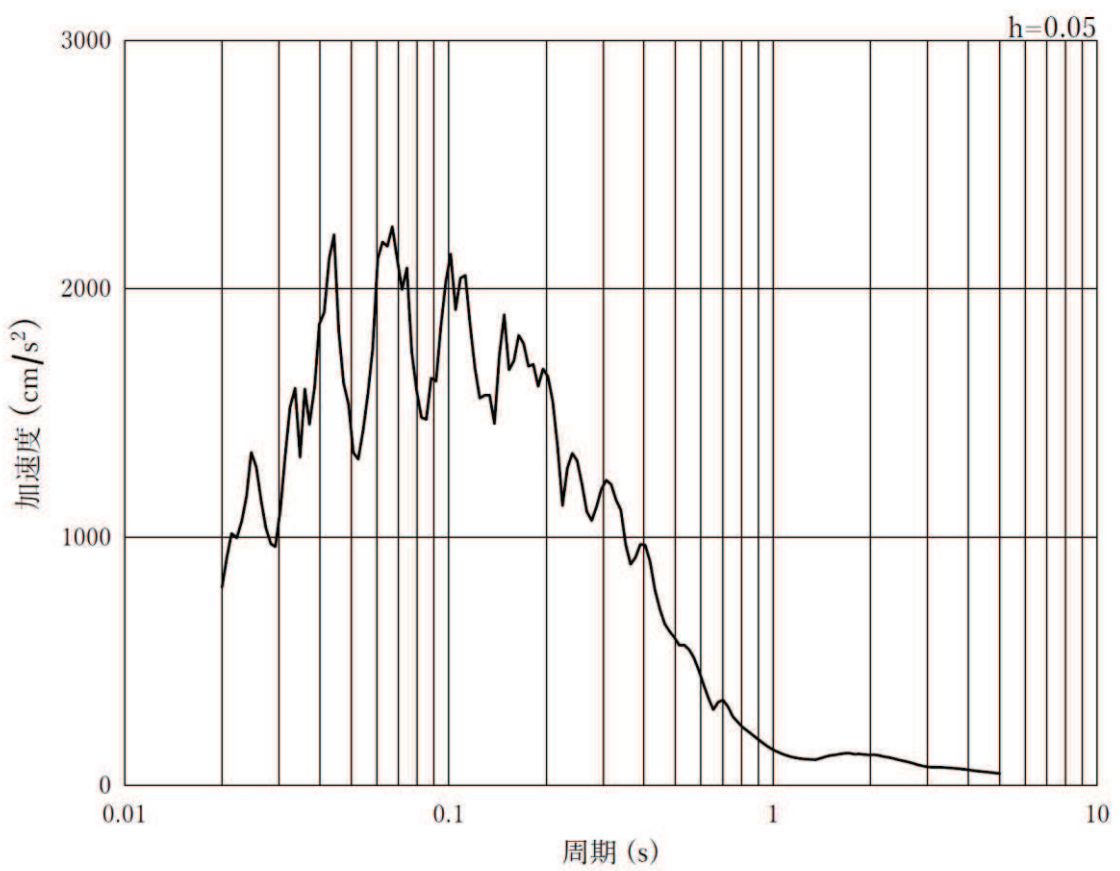
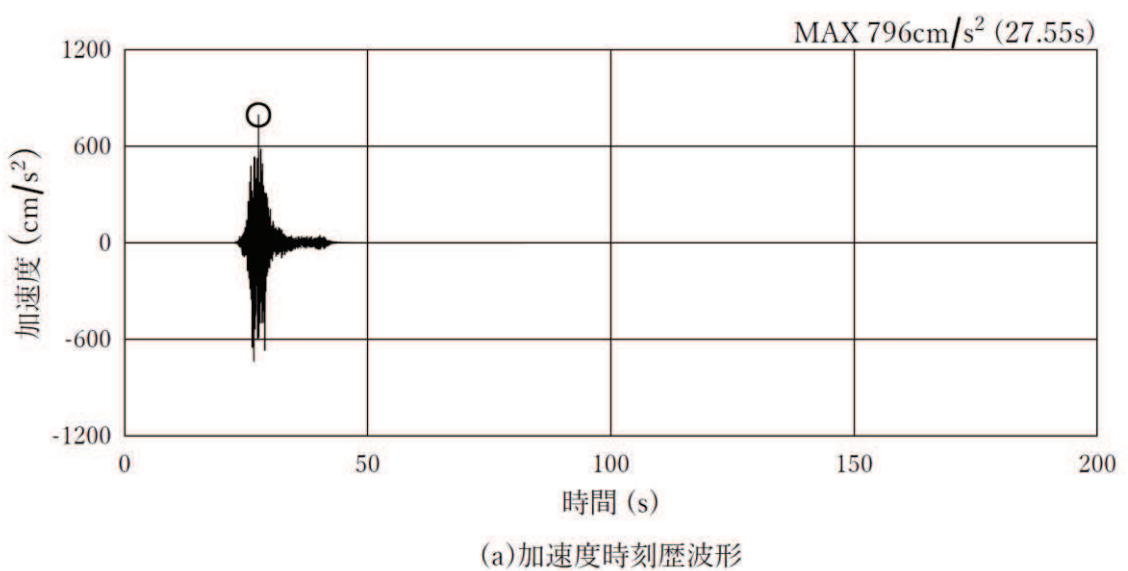
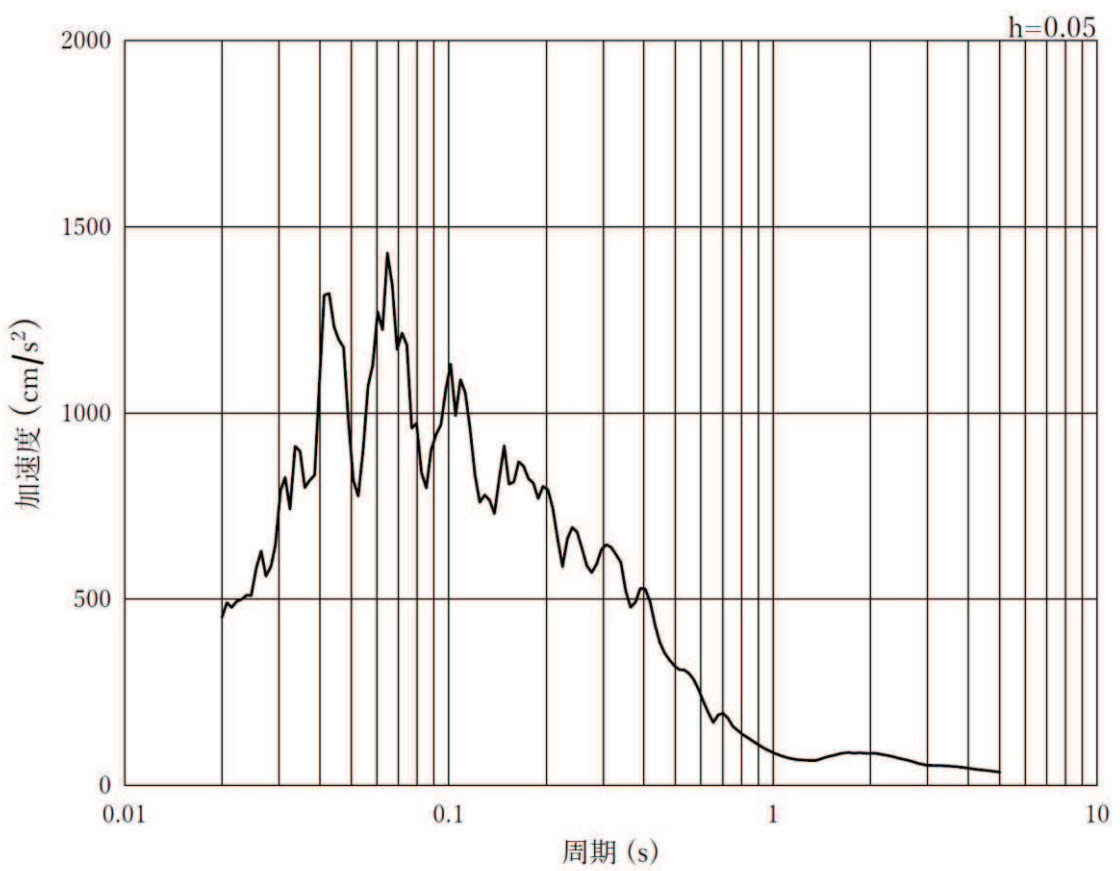
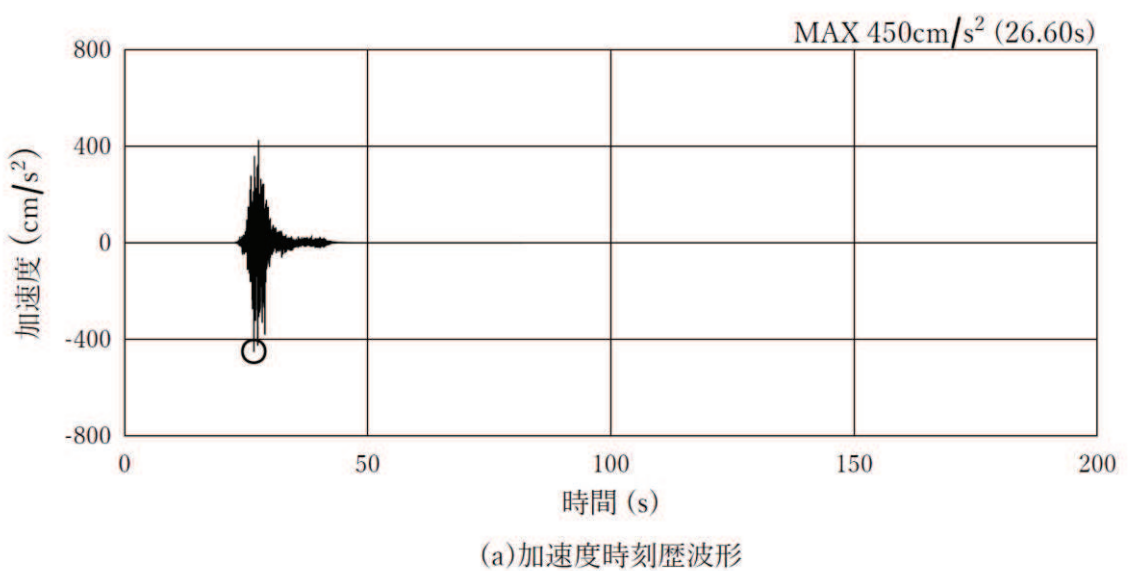
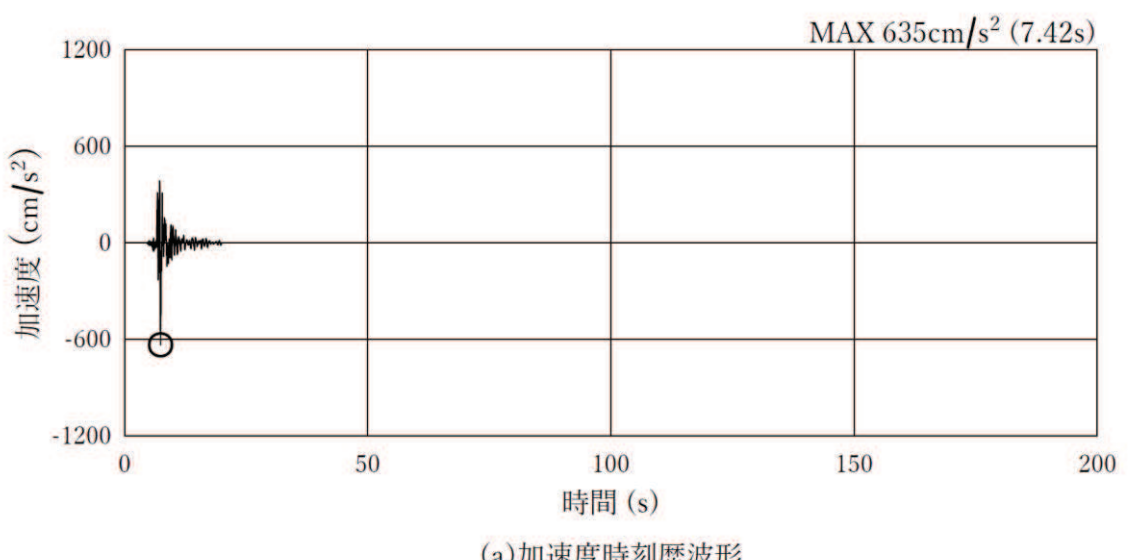


図 8-6(11) 入力地震動の加速度時刻歴波形及び加速度応答スペクトル
(水平方向: S s - F 3)

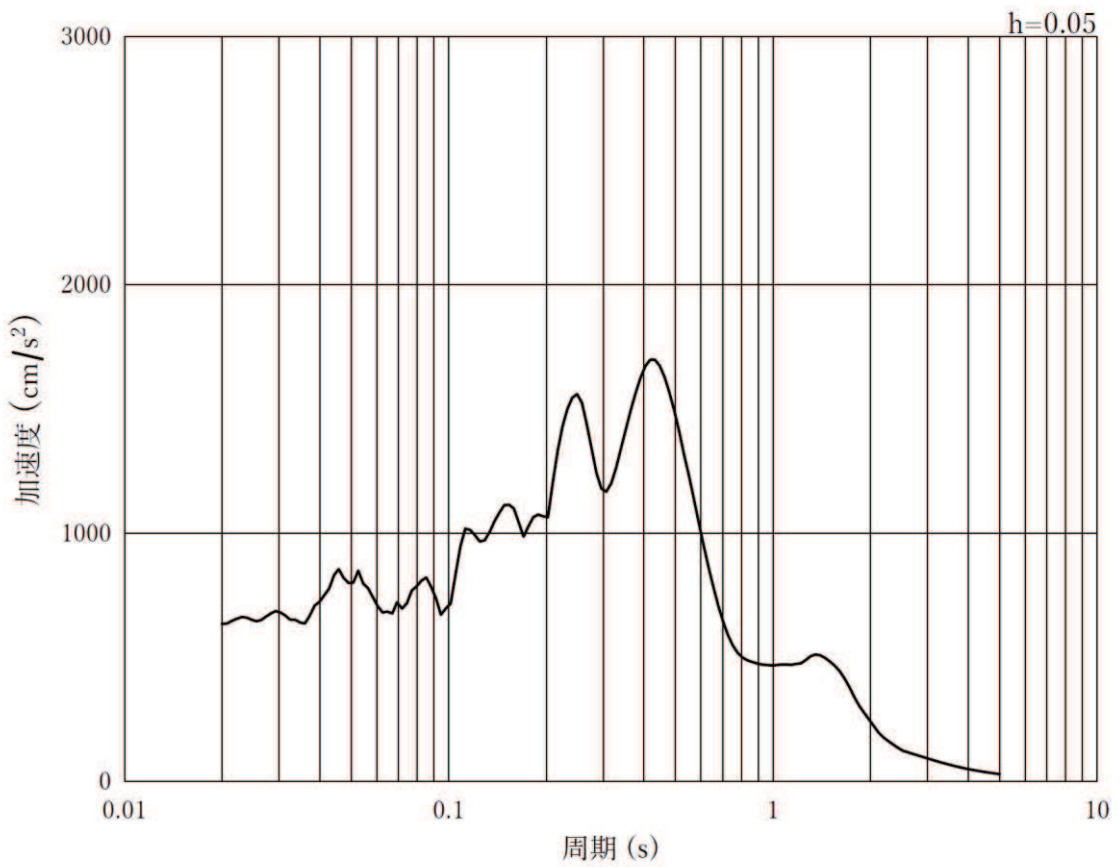


(b) 加速度応答スペクトル

図 8-6(12) 入力地震動の加速度時刻歴波形及び加速度応答スペクトル
(鉛直方向: S s - F 3)

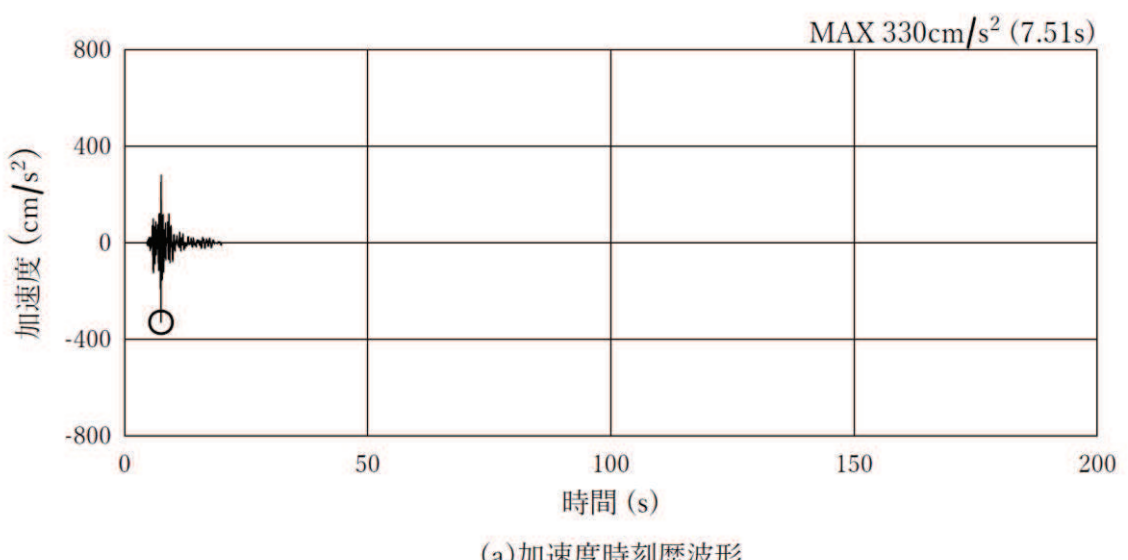


(a) 加速度時刻歴波形

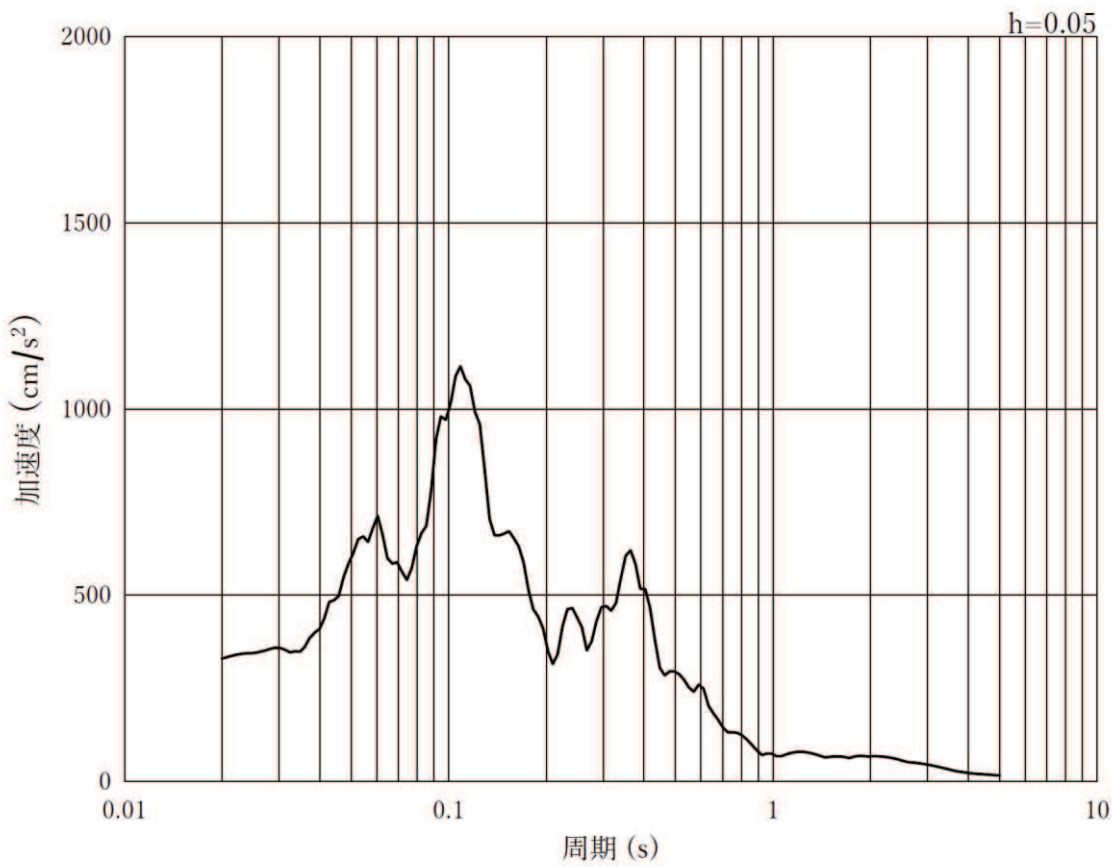


(b) 加速度応答スペクトル

図 8-6(13) 入力地震動の加速度時刻歴波形及び加速度応答スペクトル
(水平方向: S s - N 1)

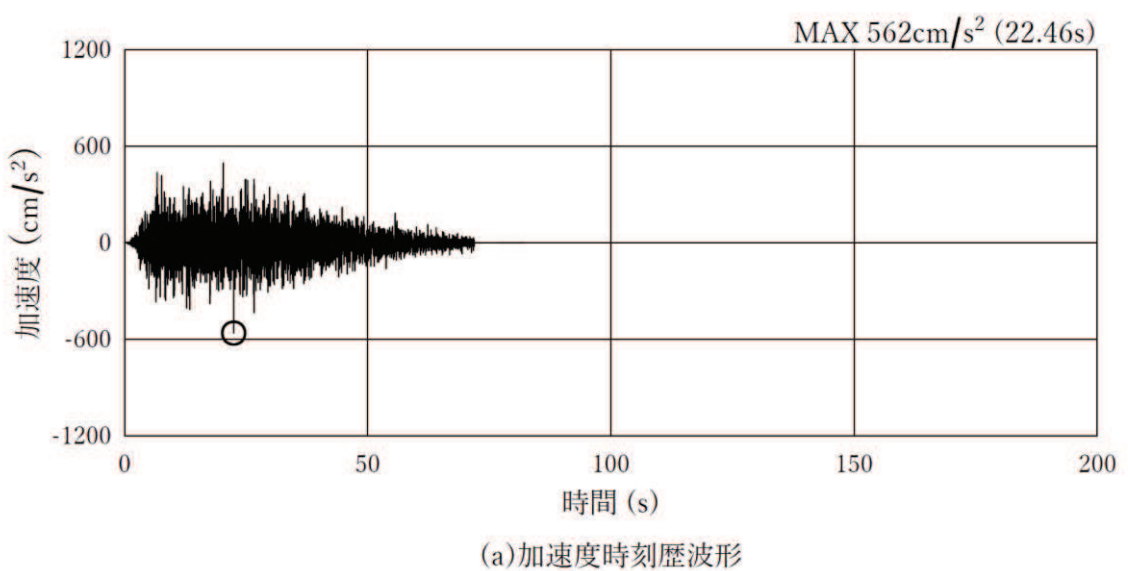


(a) 加速度時刻歴波形

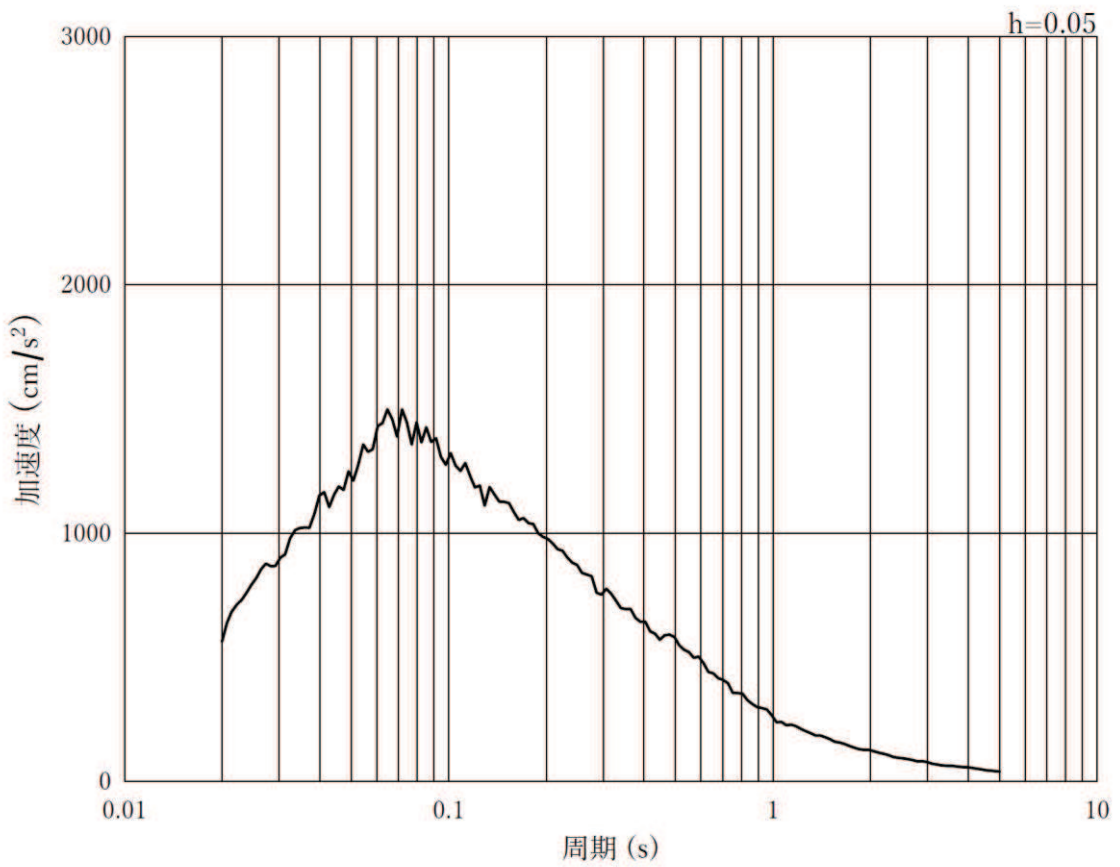


(b) 加速度応答スペクトル

図 8-6(14) 入力地震動の加速度時刻歴波形及び加速度応答スペクトル
(鉛直方向: S s - N 1)

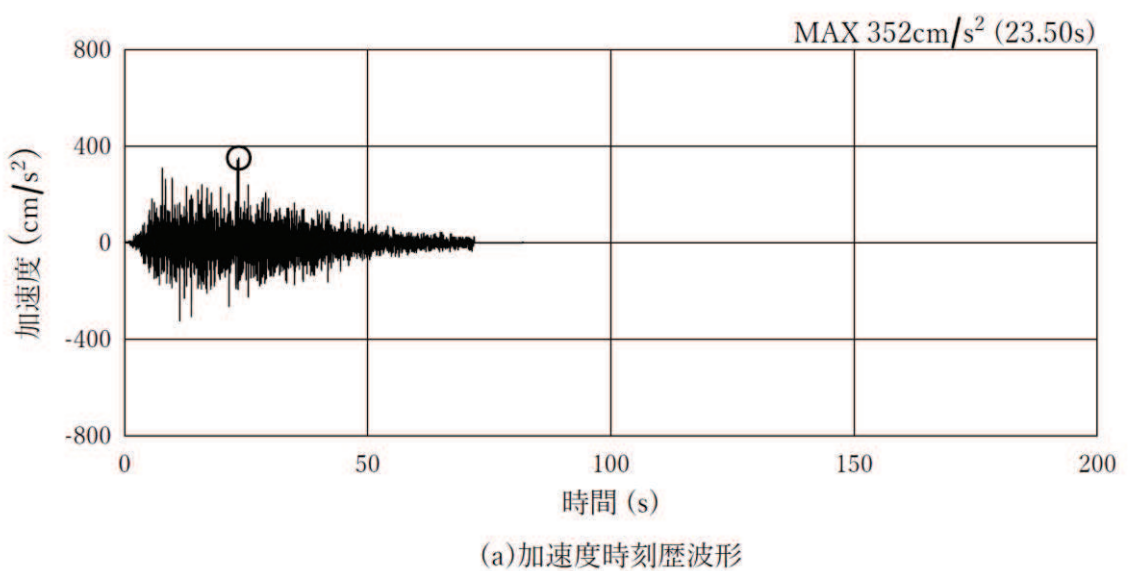


(a) 加速度時刻歴波形

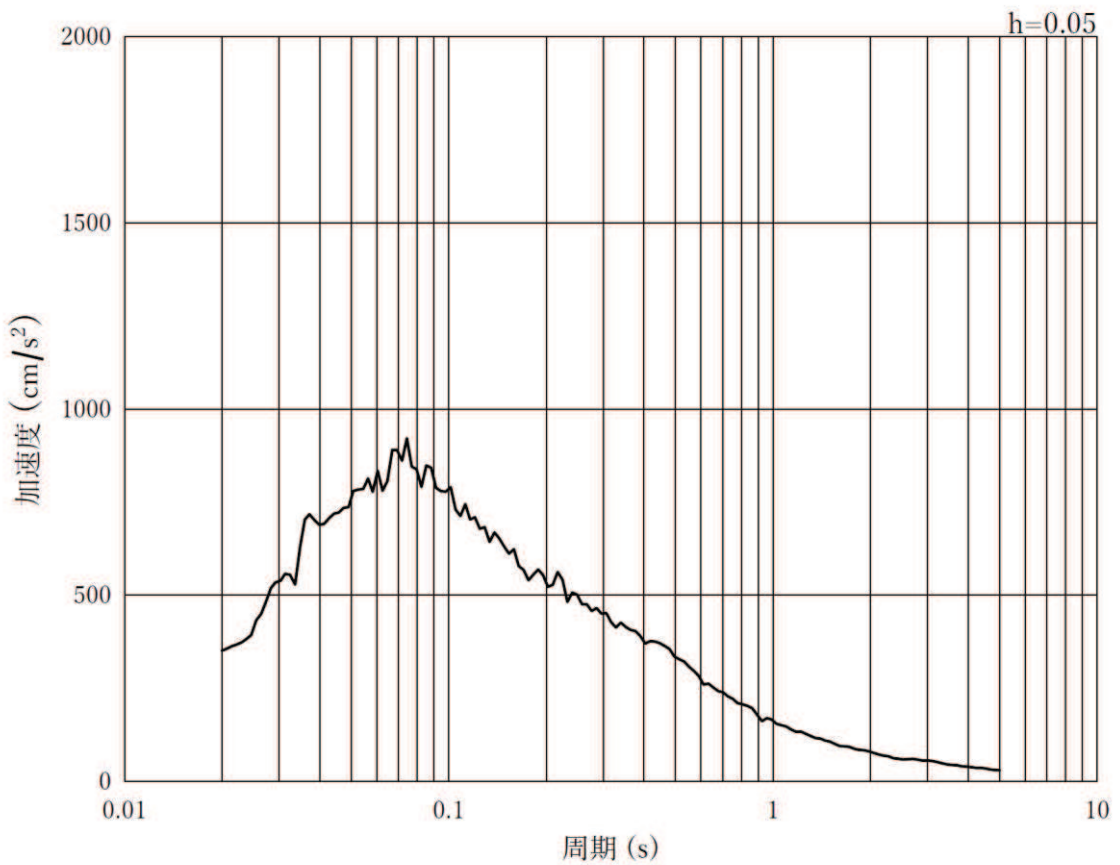


(b) 加速度応答スペクトル

図 8-6(15) 入力地震動の加速度時刻歴波形及び加速度応答スペクトル
(水平方向： S d-D 2)



(a) 加速度時刻歴波形



(b) 加速度応答スペクトル

図 8-6(16) 入力地震動の加速度時刻歴波形及び加速度応答スペクトル
(鉛直方向 : S d-D 2)

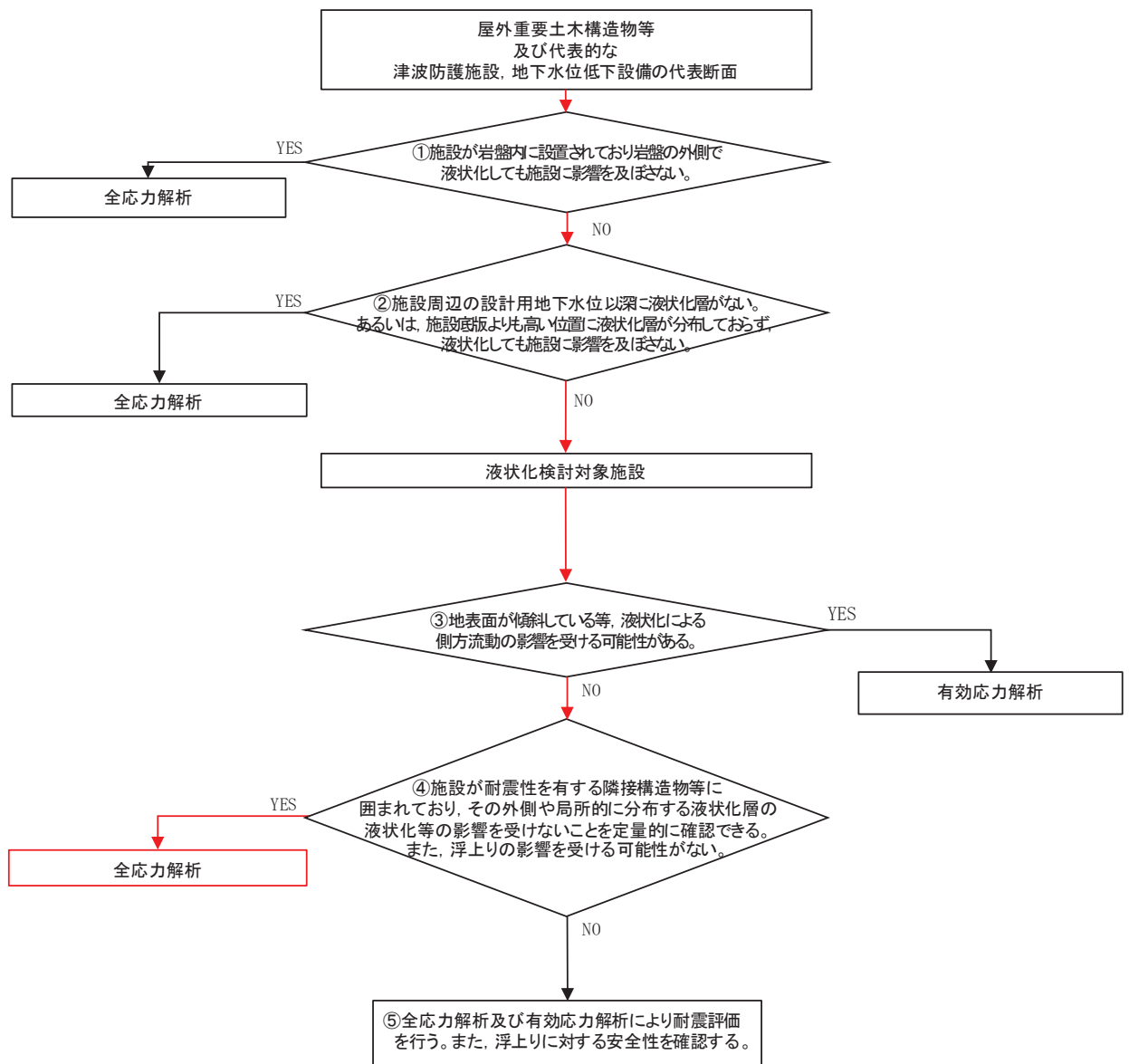


図 8-7 解析手法の選定フロー

8.5 地盤応答

解析結果のうち、すべての基準地震動 S s 及び弾性設計用地震動 S d - D 2 に対する地盤の地表面最大加速度を表 8-3 に示す。なお、弾性設計用地震動 S d - D 2 の応答加速度については、浸水防止蓋の強度評価における余震荷重の算定に用いる。

表 8-3(1) 地盤の最大応答加速度 (ケース①)

(cm/s²)

方向	S s - D 1	S s - D 2	S s - D 3	S s - F 1	S s - F 2	S s - F 3	S s - N 1	S d - D 2
水平	371.3	371.3	345.1	-341.2	382.3	350.2	-477.2	265.3
鉛直	-1170.2	1308.9	1007.2	532.3	-747.5	-812.4	848.9	759.8

表 8-3(2) 地盤の最大応答加速度 (ケース②)

(cm/s²)

方向	S s - D 1	S s - D 2	S s - D 3	S s - F 1	S s - F 2	S s - F 3	S s - N 1	S d - D 2
水平	364.5	365.5	340.9	-335.9	377.9	353.6	-460.2	265.6
鉛直	-1158.3	1298.2	-1059.2	537.3	-702.9	-780.6	809.6	752.1

表 8-3(3) 地盤の最大応答加速度 (ケース③)

(cm/s²)

方向	S s - D 1	S s - D 2	S s - D 3	S s - F 1	S s - F 2	S s - F 3	S s - N 1	S d - D 2
水平	374.8	375.9	354.4	-348.3	394.8	344.9	-505.5	262.9
鉛直	-1182.7	1260.8	954.2	541.7	-792.5	-886.3	882.0	733.7

9 耐震評価

9.1 評価方針

揚水井戸の評価は、添付書類「VI-2-6 耐震設計の基本方針」に基づき、応力解析による断面の評価を行うことで、構造部材の健全性評価及び基礎地盤の支持性能の確認を行う。

9.2 荷重及び荷重の組合せ

耐震評価に用いる荷重及び荷重の組合せは、添付書類「VI-2-1-9 機能維持の基本方針」に基づき設定する。

9.2.1 耐震評価上考慮する状態

耐震評価において、地震以外に考慮する状態を以下に示す。

(1) 運転時の状態

発電用原子炉が運転状態にあり、通常の条件下におかれている状態。ただし、運転時の異常な過渡変化時の影響を受けないことから考慮しない。

(2) 設計基準事故時の状態

設計基準事故時の影響を受けないことから考慮しない。

(3) 設計用自然条件

積雪の影響を考慮する。なお、埋設構造物であるため風の影響は考慮しない。

(4) 重大事故等時の状態

重大事故等時の状態の影響を受けないことから考慮しない。

9.2.2 荷重

耐震評価において考慮する荷重を以下に示す。

(1) 固定荷重(G)

固定荷重として、躯体自重を考慮する。

(2) 積載荷重(P)

積載荷重として積雪荷重を含めて地表面に 4.9kN/m^2 を考慮する。

(3) 積雪荷重(P_s)

積雪荷重については、発電所の最寄りの気象官署である石巻特別地域気象観測所で観測された月最深積雪の最大値である 43cm に平均的な積雪荷重を与えるための係数 0.35 を考慮した値を設定する。また、建築基準法施行令第 86 条第 2 項により、積雪量 1cm ごとに 20N/m^2 の積雪荷重が作用することを考慮する。

(4) 地震荷重(S_s)

地震荷重については、「8. 地震応答解析」で得られる基準地震動 S_s 及び弾性設計用地震動 $S_d - D_2$ に対する地盤の地表面相対変位最大時における変位を考慮する。

9.2.3 荷重の組合せ

耐震評価における荷重の組合せを表9-1に、考慮する荷重の詳細を表9-2に示す。

表9-1 荷重の組合せ

外力の状態	荷重の組合せ
地震時 (S _s)	G + P + S _s

G : 固定荷重

P : 積載荷重 (積雪荷重P_sを含めて4.9kN/m²を地表面に考慮)

S_s : 地震荷重

表9-2 考慮する荷重

種別	荷重		算定方法
永久荷重	躯体自重	○	・設計図書に基づいて、対象構造物の体積に材料の密度を乗じて設定する。
	機器・配管自重	—	・対象構造物に作用する機器・配管はないため考慮しない。
	土被り荷重	○	・上載盛土による土圧を考慮する。
	積載荷重	○	・積雪荷重を含めて4.9(kN/m ²)を考慮する。
	静止土圧	○	・水平・鉛直土圧を考慮する。
	外水圧	—	・地下水位はないため考慮しない。
	内水圧	—	・内水はないため考慮しない。
	積雪荷重	○	・積載荷重に含めて考慮する。
偶発荷重	風荷重	—	・埋設構造物であることから考慮しない。
	水平地震動	○	・基準地震動S _s による水平及び鉛直同時加振を考慮する。
	鉛直地震動	○	

9.3 地下水位

地下水位は MMR 上限面とし、盛土、改良地盤については地下水以浅の物性を使用する。
揚水井戸周辺の設計用地下水位を図 8-4 に示す。

9.4 許容限界

9.4.1 構造部材の健全性に対する許容限界

許容限界は、添付書類「VI-2-1-9 機能維持の基本方針」に基づき設定する。

鋼製シャフトの許容限界は、「道路橋示方書（I 共通編・II 鋼橋編）・同解説（日本道路協会、平成14年3月）」に基づき、表9-3示す短期許容応力度とする。

表9-3 鋼製シャフトの許容応力度及び短期許容応力度

鋼材	許容応力度 (N/mm ²)		短期許容 応力度* (N/mm ²)
SM570 (t≤40mm)	許容引張応力度及び 許容圧縮応力度 σ_{sa}	255	382
	許容せん断応力度 τ_{sa}	145	217

注記*：「道路橋示方書（I 共通編・II 鋼橋編）・同解説（日本道路協会、平成14年3月）」により鋼材の許容応力度に対して1.5倍の割り増しを考慮する。

9.4.2 基礎地盤の支持性能に対する許容限界

基礎地盤に発生する接地圧に対する許容限界は、添付書類「V-2-1-3 地盤の支持性能に係る基本方針」に基づき、岩盤の極限支持力とする。

基礎地盤の支持性能に対する許容限界を表9-4に示す。

表9-4 基礎地盤の許容限界

評価項目	基礎地盤	許容限界 (N/mm ²)
極限支持力	牧の浜部層	11.4

9.5 評価方法

9.5.1 構造部材の健全性評価

(1) 解析方法及びモデル化方法

鋼製シャフトの応力解析は、「8. 地震応答解析」で得られる地盤変位を用いた応答変位法を用いる。鋼製シャフトは曲げ及びせん断剛性を考慮した線形はり要素としてモデル化し、地盤は「道路橋示方書（I 共通編・IV下部構造編）」に基づき、受動土圧を上限値としたバイリニア型の地盤ばねでモデル化する。地盤モデルの節点間隔は「原子力発電所耐震設計技術指針 J E A G 4 6 0 1」に基づき、設定する。

解析モデルを図 9-1 に、地盤ばねの設定概要を図 9-2 に示す。

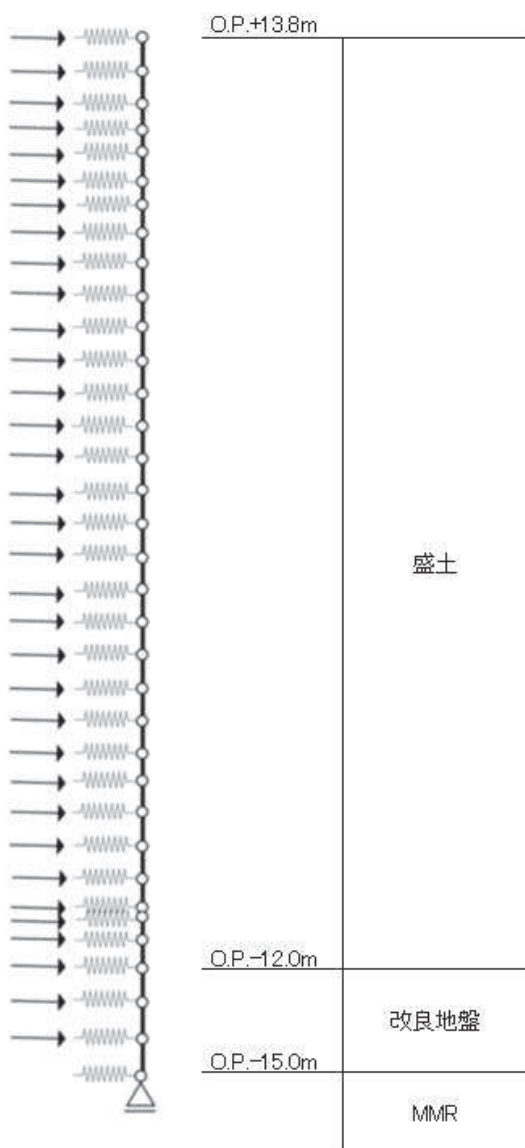


図 9-1 応答変位法解析モデル

地盤ばねの設定

地盤ばねは、以下の式に基づき水平地盤反力係数 k_H を考慮する。

$$k_H = \alpha_K \cdot k_{H0} (B_H / 0.3)^{-3/4}$$

ここで、

k_H : 水平地盤反力係数 (kN/m^3)

α_K : 地盤反力係数の換算係数 (=1.0)

k_{H0} : 水平方向地盤反力係数 (kN/m^3)

$$k_{H0} = (1 / 0.3) \cdot E_D$$

$$E_D = 2 \cdot (1 + \nu_D) \cdot G_D$$

E_D : 地盤の変形係数 (kN/m^3)

ν_D : 動ボアソン比

G_D : 地盤の等価せん断剛性 (kN/m^3)

地盤の等価せん断剛性は収束剛性 G_{eq} を用いる。 G_{eq} は図 8-5 に示した入力地震動を図 8-3 の 1 次元地盤モデルに入力し、1 次元波動論に基づく地盤応答解析により設定する。地震応答解析には解析コードは「microSHAKE/3D ver2.3.1」を用いる。解析コードの検証及び妥当性確認の概要については、添付書類「VI-5 計算機プログラム（解析コード）の概要」に示す。

B_H : 荷重作用方向に直交する基礎の換算載荷幅 (m)

$$B_H = (D / \beta)^{1/2}$$

D : 鋼製シャフト外径 (m)

β : 杭の特性値 (m^{-3}) ($= k_H \cdot D / (4 \cdot E \cdot I)^{1/4}$)

E : 鋼製シャフトのヤング係数 (N/mm^2)

I : 鋼製シャフトの断面 2 次モーメント (m^4)

地盤モデルの節点間隔は、以下の式に基づき設定する。

$$V_s / 20 (\text{Hz}) \times 1 / 5$$

ここで、 V_s : せん断波速度 (初期剛性時) (m/s^2)

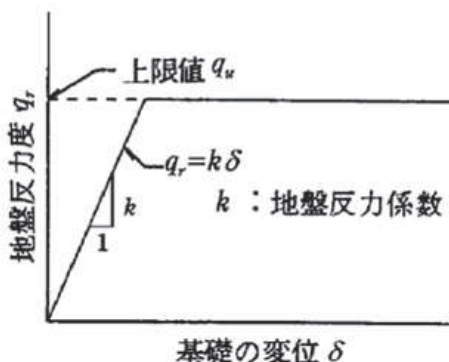


図 9-2 地盤ばねの設定概要

(2) 照査方法

応答変位法に用いる地盤変位は、解析ケース①の水平方向の地盤ばねを介して地表面の相対変位が最大となる時刻の変位分布を用いて照査を実施する。また、解析ケース②、③の地表面相対変位が解析ケース①を上回る場合は、その変位分布を用いた照査も実施する。曲げ・軸力系の破壊に対する照査式およびせん断破壊に対する照査式を以下に示す。また、鋼製シャフトの断面性能を表9-5に物性値を表9-6に示す。

曲げ・軸力系の破壊に対する照査

$$\sigma_s = N/A + M/Z$$

ここで、 σ_s : 曲げ応力度 (N/mm^2)
 N : 軸力 (kN)
 A : 断面積 (腐食代 2 mm (内側 : 1 mm, 外側 : 1 mm) 考慮) (mm^2)
 M : 曲げモーメント (kN · m)
 Z : 断面係数 (腐食代 2 mm (内側 : 1 mm, 外側 : 1 mm) 考慮) (mm^3)

せん断破壊に対する照査

$$\tau_s = \kappa \cdot Q/A$$

ここで、 τ_s : せん断応力度 (N/mm^2)
 κ : 形状係数 (=2 (円筒形))
 Q : せん断力 (kN)
 A : 断面積 (腐食代 2 mm (内側 : 1 mm, 外側 : 1 mm) 考慮) (mm^2)

表9-5 揚水井戸 鋼製シャフトの断面性能

標高 O.P. (m)	内径 (mm)	厚さ* (mm)	断面2次 モーメント (mm ⁴)	断面係数 (mm ³)	せん断断面積 (mm ²)
13.8～-15.0	1500	30	4.22×10^{10}	5.06×10^7	1.35×10^5

注記* : 鋼管の外面が土中に接し内面が湿潤状態となるため、各応力度の算定に当たっては、道路橋示方書 (I 共通編・IV下構造編)・同解説 (日本道路協会、平成14年3月)に基づき、内側及び外側に1mmの腐食代を考慮する。

表9-6 揚水井戸 鋼製シャフトの材料物性

材料	単位体積重量 (kN/m ³)	ヤング係数 (N/mm ²)	ボアソン比
鋼材	SM570	77.0	2.0×10^5

9.5.2 基礎地盤の支持性能評価

鋼製シャフトの基礎地盤の支持性能評価は、「8. 地震応答解析」で得られる地表面の最大鉛直加速度を用いた鉛直震度と自重による地盤反力から接地圧を算定する。なお、鉛直震度は保守的に深さによらず一律とし、以下の照査により評価を実施する。

$$R_u = R / A$$

ここで、 R_u : 最大接地圧 (kN) (N/mm^2)

R : 地盤反力 (常時+地震時) (kN)

A : 断面積 (腐食代 2 mm (内側: 1 mm, 外側: 1 mm) 考慮) (mm^2)

9.6 評価結果

9.6.1 構造部材の健全性評価結果

(1) 評価に用いる地盤変位

「8. 地震応答解析」で得られる基準地震動 S_s の解析ケース①の地表面の最大相対変位の比較を表 9-7 に、地表面の地盤変位が最大となる時刻の変位分布図を図 9-3 に示す。鋼製シャフトは土中構造物であり周辺地盤の特徴から地盤改良と盛土との境界部において曲げ・軸力系の応力が最大となり、当該部における曲率に比例的であると考えられる。各地震動では、変形モードの特徴から 1 次モードにおいて境界部の曲率が大きくなっている。地表面の変形量に比例している。以上から、地表面の変位が最大となる $S_s - N 1$ の地盤変位分布を用いて健全性評価を行う。

また、 $S_s - N 1$ を対象に、地盤物性のばらつきを考慮した解析ケース②及び解析ケース③の地表面の最大相対変位の比較を表 9-7 に示す。これから、解析ケース③の最大相対変位は解析ケース①の最大相対変位を上回ることから、解析ケース③の地盤変位を用いた検討も実施する。 $S_s - N 1$ (解析ケース③) の地表面の地盤変位が最大となる時刻の変位分図を図 9-3 に示す。

表 9-7 地表面の最大相対変位の比較

解析ケース		地表面の最大相対変位 (m)		
		ケース①	ケース②	ケース③
		基本ケース	地盤物性のばらつき ($+1\sigma$) を考慮した解析ケース	地盤物性のばらつき (-1σ) を考慮した解析ケース
地盤物性		平均値	平均値 $+1\sigma$	平均値 -1σ
地震動	$S_s - D 1$	0.115	—	—
	$S_s - D 2$	0.092	—	—
	$S_s - D 3$	0.101	—	—
	$S_s - F 1$	0.096	—	—
	$S_s - F 2$	0.107	—	—
	$S_s - F 3$	0.050	—	—
	$S_s - N 1$	<u>0.197</u>	0.189	<u>0.203</u>

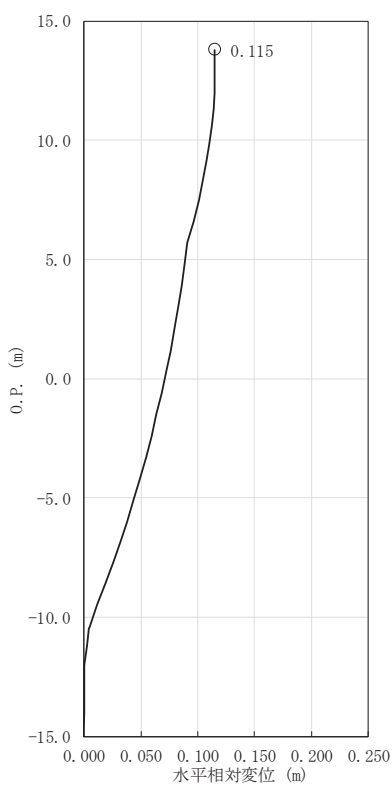


図 9-3 (1) 地表面の地盤変位最大時の変位分布図
(S s-D 1, 解析ケース①)

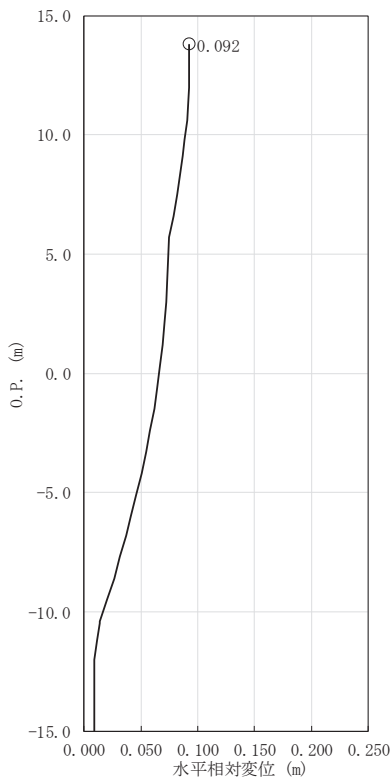


図 9-3 (2) 地表面の地盤変位最大時の変位分布図
(S s-D 2, 解析ケース①)

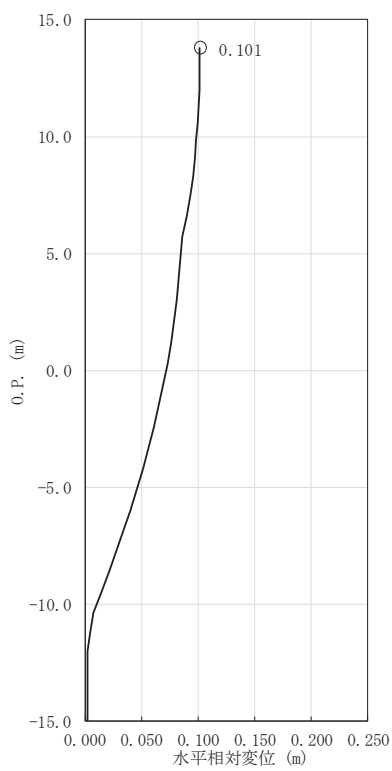


図 9-3 (3) 地表面の地盤変位最大時の変位分布図
(S s-D 3, 解析ケース①)

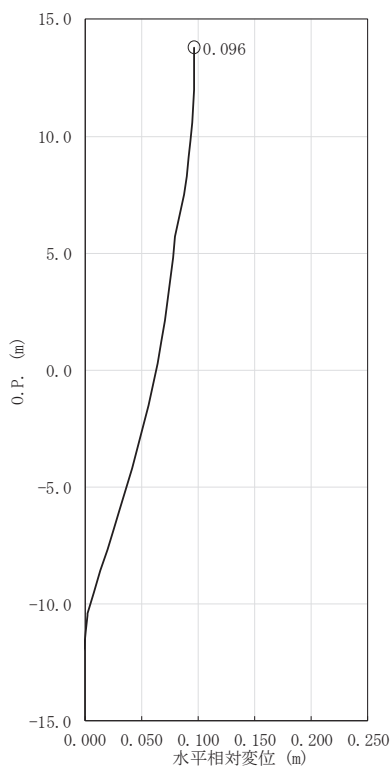


図 9-3 (4) 地表面の地盤変位最大時の変位分布図
(S s-F 1, 解析ケース①)

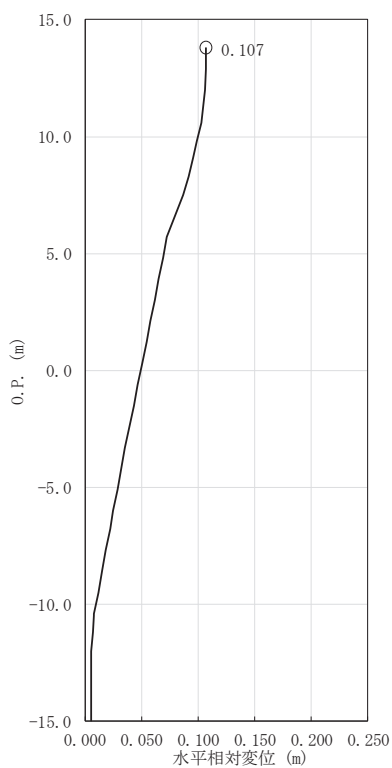


図 9-3 (5) 地表面の地盤変位最大時の変位分布図
(S s - F 2, 解析ケース①)

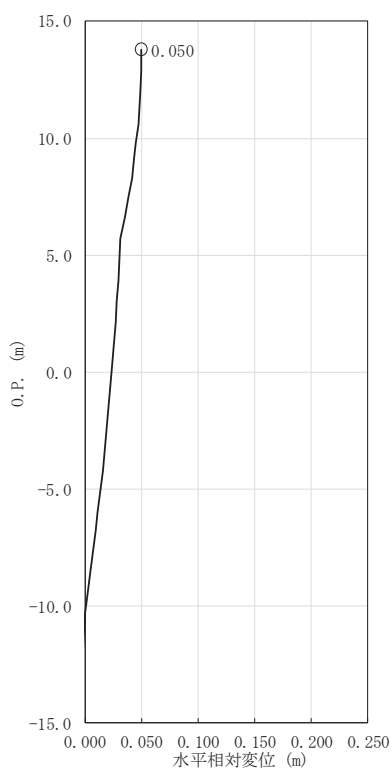


図 9-3 (6) 地表面の地盤変位最大時の変位分布図
(S s - F 3, 解析ケース①)

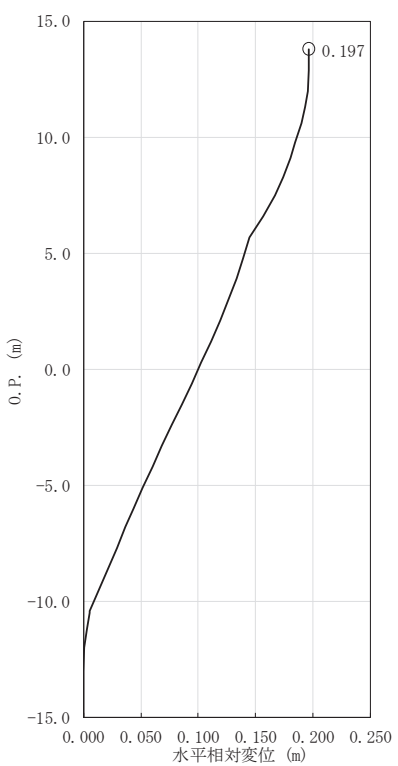


図 9-3 (7) 地表面の地盤変位最大時の変位分布図
(S s - N 1, 解析ケース①)

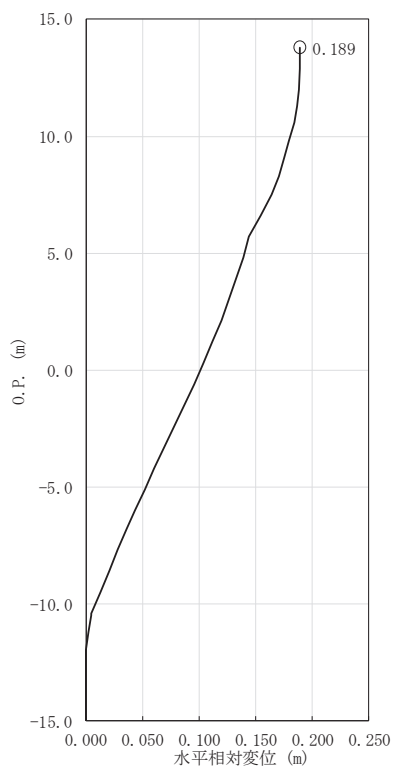


図 9-3 (8) 地表面の地盤変位最大時の変位分布図
(S s - N 1, 解析ケース②)

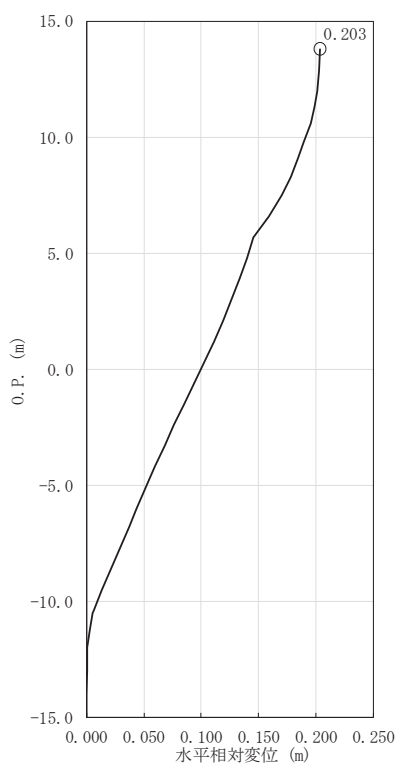
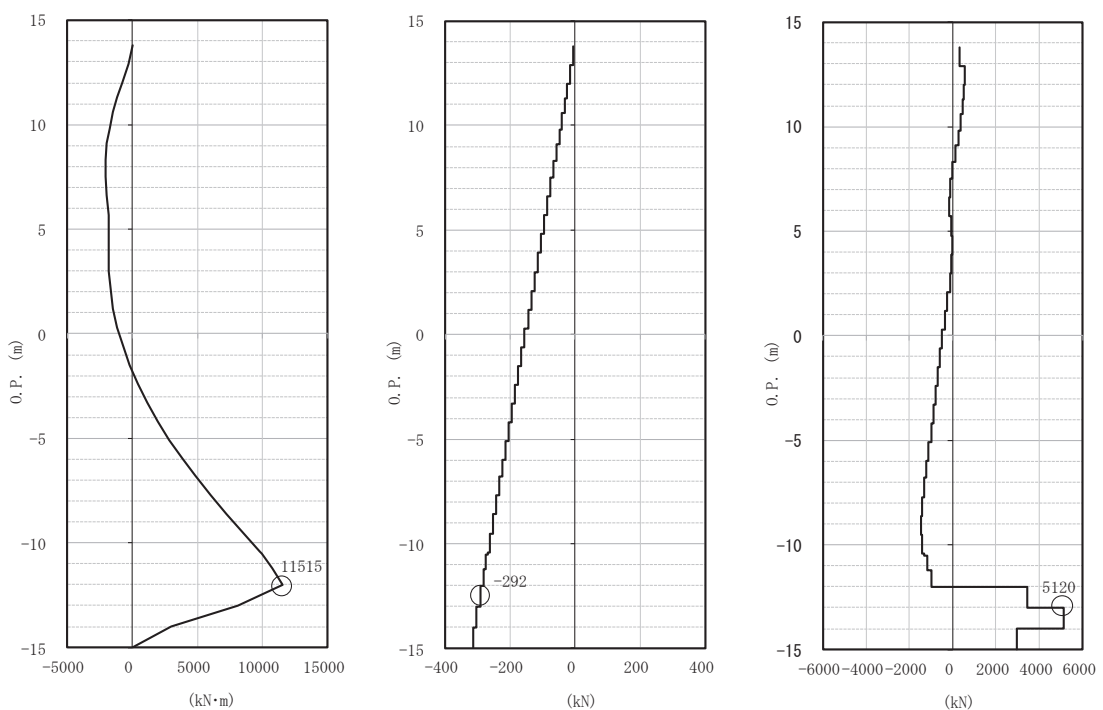


図 9-3 (9) 地表面の地盤変位最大時の変位分布図
(S s - N 1, 解析ケース③)

(2) 評価結果

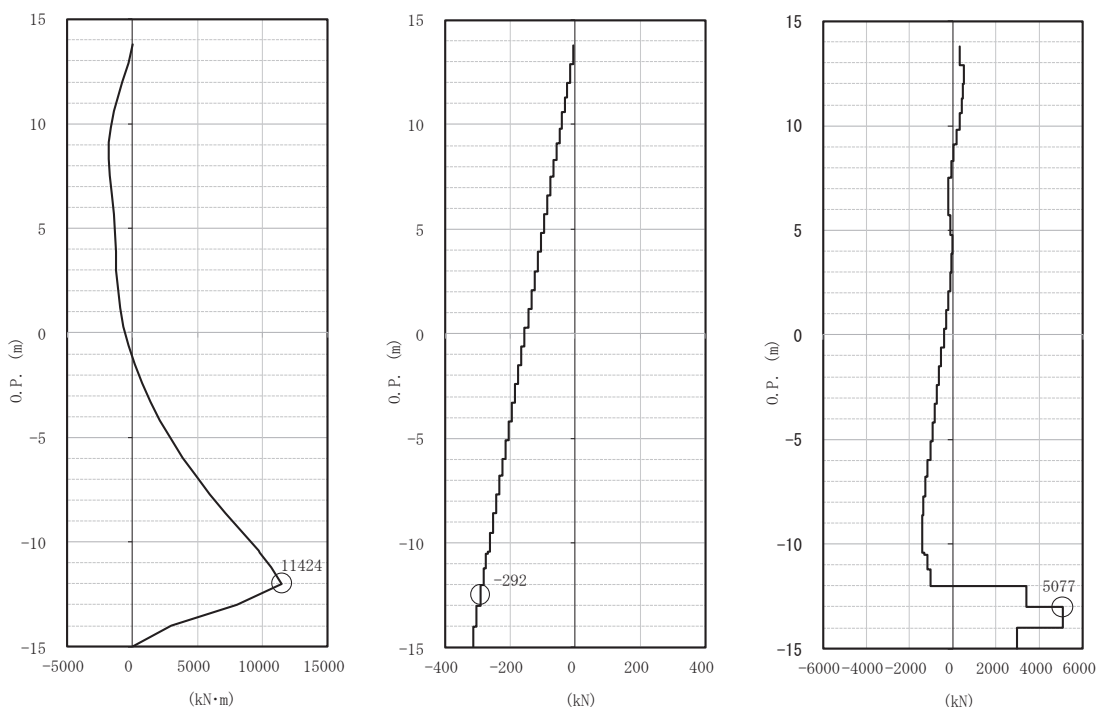
鋼製シャフトの応力解析から得られる S s—N 1 (解析ケース①) 及び S s—N 1 (解析ケース③) の断面力分布図を図 9-4 に示す。また、鋼製シャフトの評価結果を表 9-8 に示す。



(a) 曲げモーメント (b) 軸力* (c) せん断力

図 9-4 (1) 断面力分布図 (Ss-N1, 解析ケース①)

注記* : +引張, -圧縮として示す



(a) 曲げモーメント (b) 軸力* (c) せん断力

図 9-4 (2) 断面力分布図 (Ss-N1, 解析ケース③)

注記* : +引張, -圧縮として示す

表 9-8(1) 鋼製シャフトの評価結果 曲げ・軸力系の破壊に対する照査

地震動	解析 ケース	発生断面力		曲げ応力度 σ_s (N/mm ²)	短期許容応力度 σ_{sa} (N/mm ²)	照査値 σ_s / σ_{sa}
		曲げ モーメント (kN/m)	軸力 (kN)			
S s - N 1	①	11515	292	230	382	0.61
	③	11424	292	229	382	0.60

表 9-8(2) 鋼製シャフトの評価結果 せん断破壊に対する照査

地震動	解析 ケース	発生断面力		せん断応力度 τ_s (N/mm ²)	短期許容応力度 τ_{sa} (N/mm ²)	照査値 τ_s / τ_{sa}
		せん断力 (kN)				
S s - N 1	①	5120		77	217	0.36
	③	5077		76	217	0.36

9.6.2 基礎地盤の支持性能照査結果

(1) 評価に用いる鉛直震度

「8. 地震応答解析」で得られる基準地震動 S_s 及び弾性設計用地震動 S_{s-D} の地表面における最大応答加速度から算定した鉛直震度の比較を表 9-9 に示す。これから、基礎地盤の支持性能照査は、 $S_s - D$ の鉛直震度を用いる。また、地盤物性のばらつきを考慮した $S_s - D$ の解析ケース②及び解析ケース③の鉛直震度も表 9-9 に示す。

表 9-9 地表面における最大応答加速度から算定した鉛直震度の比較

解析ケース		鉛直震度		
		ケース①	ケース②	ケース③
		基本ケース	地盤物性のばらつき ($+1\sigma$) を考慮した解析ケース	地盤物性のばらつき (-1σ) を考慮した解析ケース
地盤物性		平均値	平均値 $+1\sigma$	平均値 -1σ
地震動	$S_s - D$ 1	1.20	—	—
	$S_s - D$ 2	1.34	1.33	1.29
	$S_s - D$ 3	1.03	—	—
	$S_s - F$ 1	0.55	—	—
	$S_s - F$ 2	0.77	—	—
	$S_s - F$ 3	0.83	—	—
	$S_s - N$ 1	0.87	—	—

(2) 評価結果

鋼製シャフトの基礎地盤の支持性能照査結果を表 9-10 に示す。

表 9-10 基礎地盤の支持性能評価結果

地震動	解析ケース	最大接地圧 R_u (N/mm ²)	極限支持力 R_{ua} (N/mm ²)	照査値 R_u / R_{ua}
$S_s - D$ 2	①	5.5	11.4	0.49

- 6. 浸水防護施設に関する補足説明
- 6.5 浸水防止設備に関する補足説明
- 6.5.3 浸水防止蓋に関する補足説明
- 6.5.3.10 浸水防止蓋（揚水井戸（第3号機海水ポンプ室防潮壁区画内）の強度計算書に関する
補足説明

目 次

1.	概要	1
2.	一般事項	2
2.1	配置概要	2
2.2	構造計画	4
2.3	評価方針	5
2.4	適用基準	6
2.5	記号の説明	7
3.	評価対象部位	8
4.	構造強度評価	9
4.1	構造強度評価方法	9
4.2	荷重及び荷重の組合せ	9
4.3	許容限界	11
4.4	評価方法	13
4.5	評価条件	17
5.	評価結果	18

1. 概要

本資料は、添付書類「VI-3-別添3-1 津波への配慮が必要な施設の強度計算の方針」にて設定している構造強度に基づき、浸水防止設備のうち浸水防止蓋（揚水井戸（第3号機海水ポンプ室防潮壁区画内））（以下「浸水防止蓋」という。）が地震後の繰返しの襲来を想定した津波荷重及び余震を考慮した荷重に対して、主要な構造部材が十分な構造強度を有していることを説明するものである。

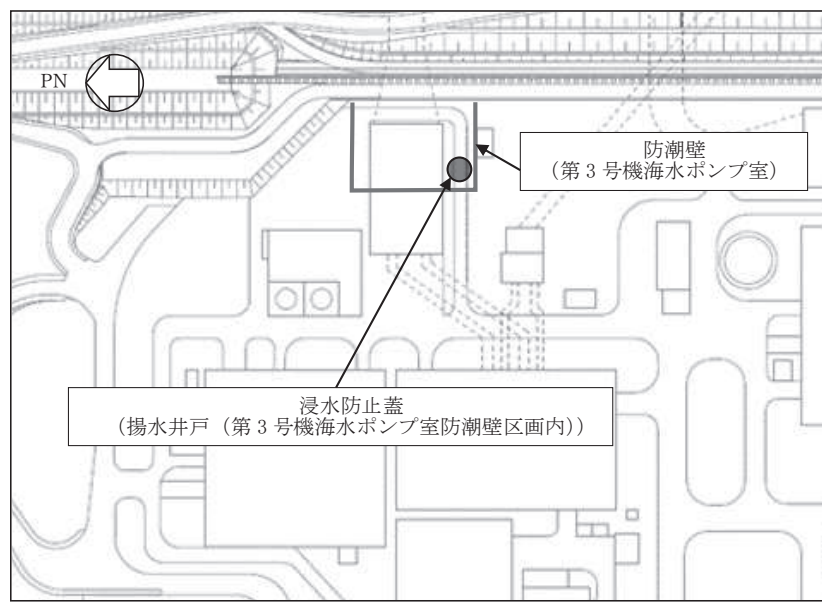
なお、浸水防止蓋の強度評価においては、平成23年3月11日に発生した東北地方太平洋沖地震による地殻変動に伴い、牡鹿半島全体で約1mの地盤沈下が発生したことを考慮する。

2. 一般事項

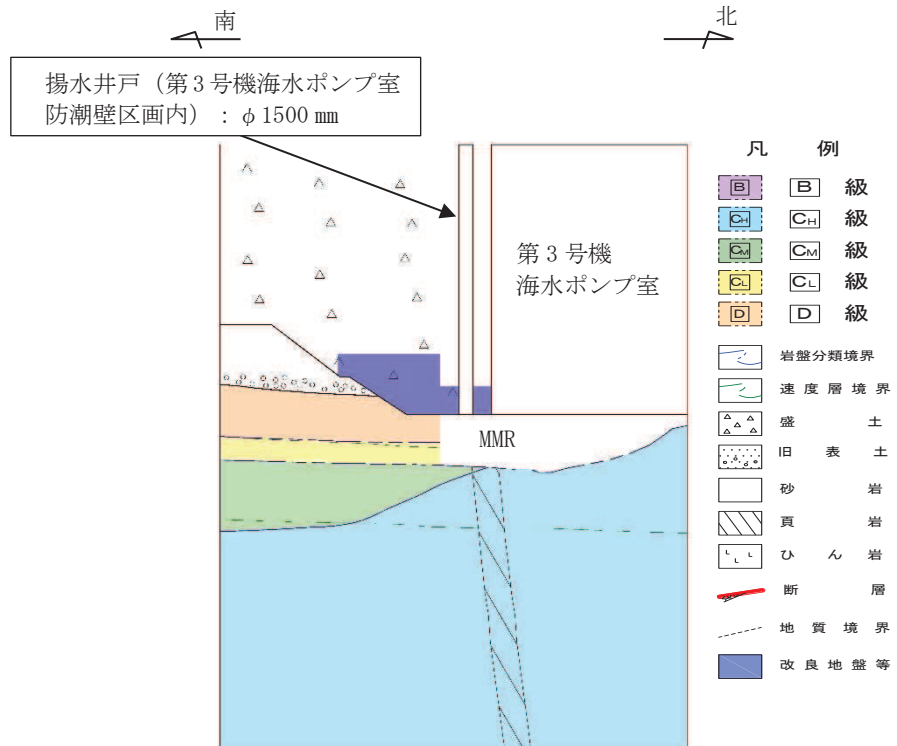
2.1 配置概要

浸水防止蓋は、揚水井戸（第3号機海水ポンプ室防潮壁区画内）上部から浸水を防止するために設置する。

浸水防止蓋の設置位置図を図2-1に、浸水対策図を図2-2に示す。



(平面図)



(断面図 (揚水井戸 (第3号機海水ポンプ室防潮壁区画内) , 南北方向))

図2-1 浸水防止蓋の設置位置図

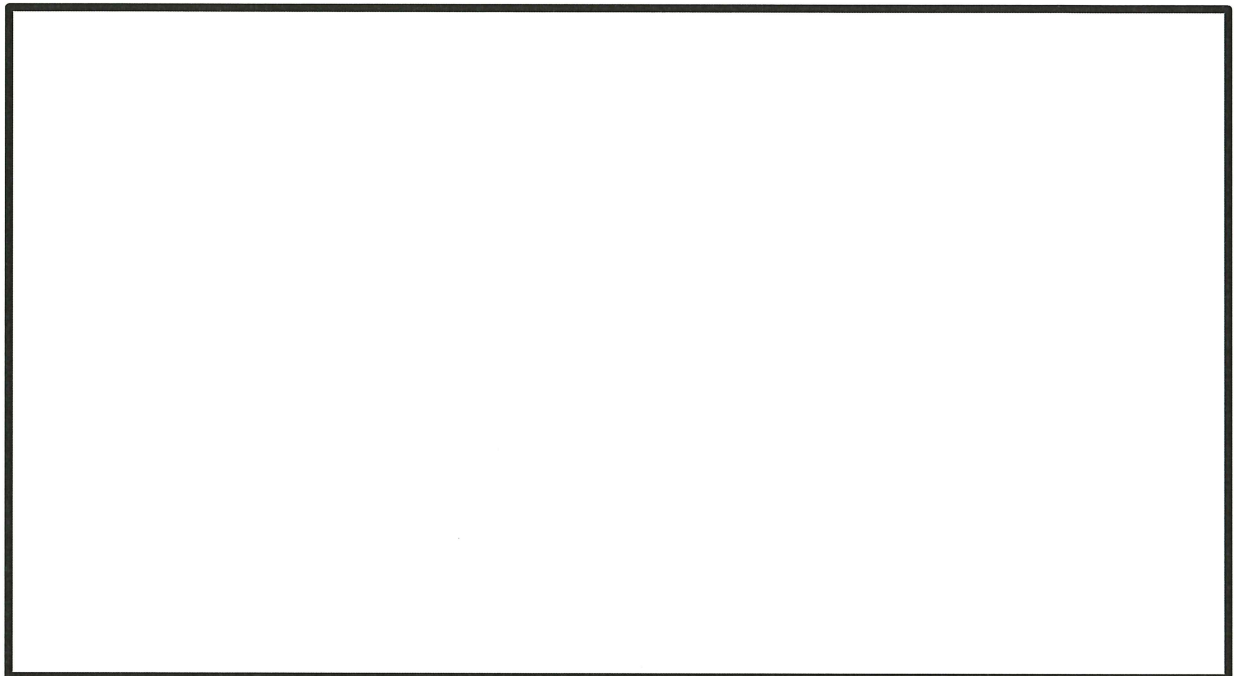


図 2-2 (1) 第3号機 海水ポンプ室 浸水対策配置図（平面図）

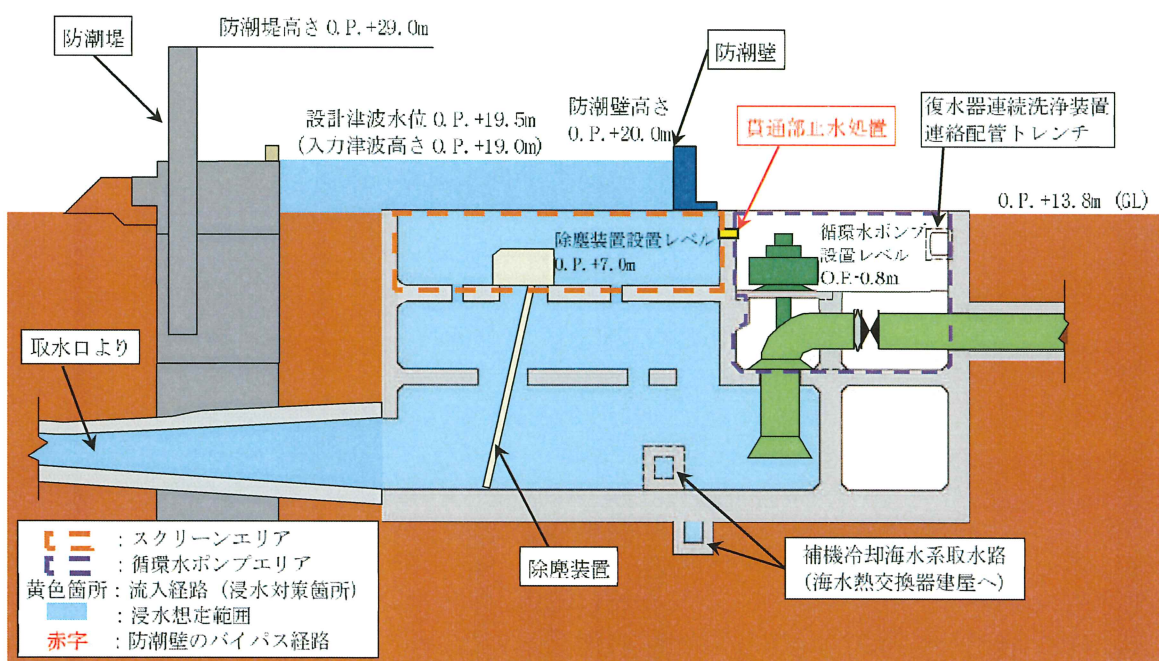


図 2-2 (2) 第3号機 海水ポンプ室 浸水対策配置図 (A-A 断面図)

枠囲みの内容は防護上の観点から公開できません。

2.2 構造計画

浸水防止蓋の構造は、円形のスキンプレートによる構造とする。

浸水防止蓋は、揚水井戸（第3号機海水ポンプ室防潮壁区画内）上部に固定ボルトにて固定する。浸水防止蓋の構造計画を表2-1に示す。

表2-1 浸水防止蓋の構造計画

計画の概要		構造概略図
基礎・支持構造	主体構造	
揚水井戸 (第3号機 海水ポンプ 室防潮壁区 画内) 上部 に固定ボル トで固定す る。	浸水防止蓋 及び固定ボ ルトにより 構成する。	

2.3 評価方針

浸水防止蓋の強度評価は、添付書類「VI-3-別添 3-1 津波への配慮が必要な施設の強度計算の方針」にて設定した荷重及び荷重の組合せ並びに許容限界に基づき、「2.2 構造計画」に示す浸水防止蓋の構造を踏まえ、「3. 評価対象部位」にて設定する評価部位において、「4.4 評価方法」で算出した応力等が許容限界内に収まることを、「4. 構造強度評価」に示す方法にて確認する。強度評価の確認結果を「5. 評価結果」にて確認する。

強度評価フローを図 2-3 に示す。

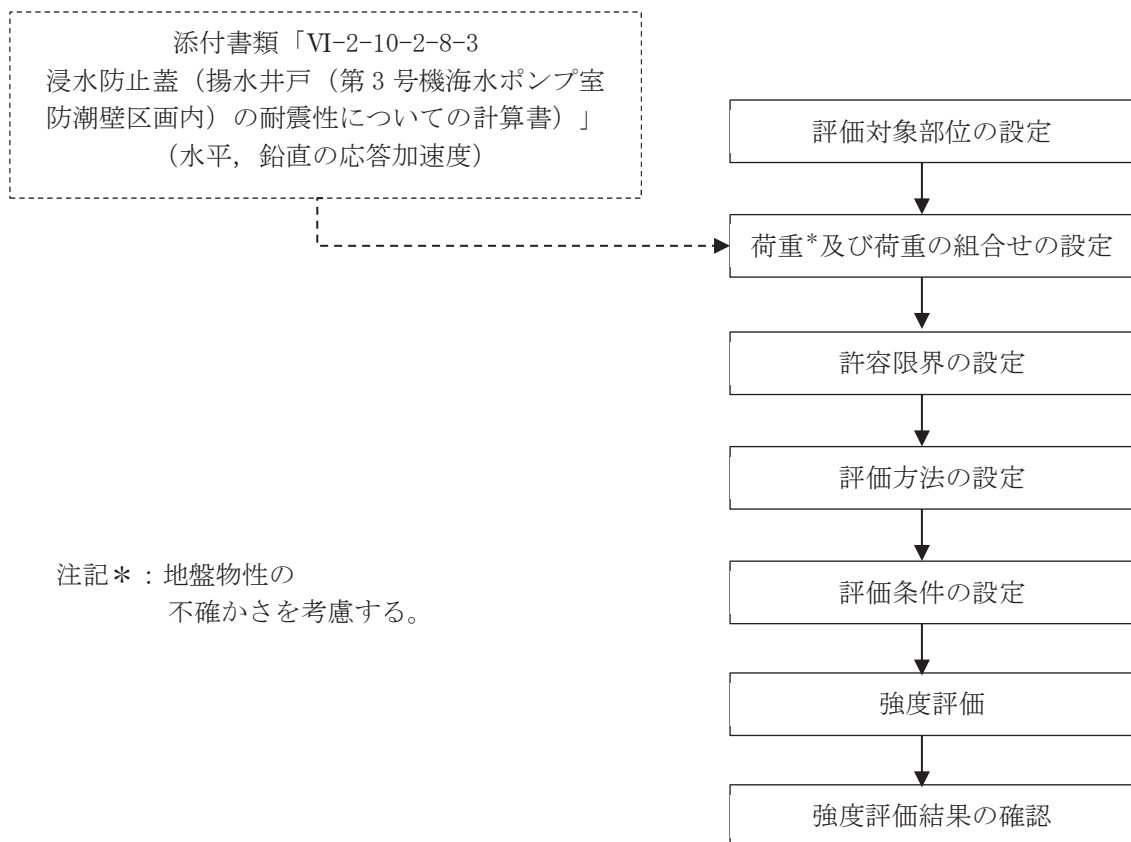


図 2-3 強度評価フロー

2.4 適用基準

適用する規格、基準等を以下に示す。

- (1) 鋼構造設計規準－許容応力度設計法－（日本建築学会、2005 改定）
- (2) 機械工学便覧（日本機械学会、2005 改訂）

2.5 記号の説明

浸水防止蓋の強度評価に用いる記号を表 2-2 にそれぞれ示す。

表 2-2 浸水防止蓋の強度評価に用いる記号

記号	単位	定義
S d	kN	弾性設計用地震動 S d - D 2 による余震荷重
α_H	—	弾性設計用地震動 S d - D 2 の水平方向の余震震度
α_V	—	弾性設計用地震動 S d - D 2 の鉛直方向の余震震度
G	kN	固定荷重
P h	kN	浸水津波荷重
ρ_o	t/m ³	水の密度
g	m/s ²	重力加速度
h ₁	0. P. m	設計津波水位
h ₂	0. P. m	浸水防止蓋の設置高さ
A	m ²	浸水防止蓋の面積
P s	kN	積雪荷重
W s	N/m ²	1 cm当たりの積雪荷重
d s	cm	積雪高さ
W s s	kN/m ²	単位面積当たりの等分布荷重
τ	N/mm ²	最大せん断応力度
σ	N/mm ²	最大曲げ応力度
x	N/mm ²	組合せ応力度
a	mm	スキンプレートの半径
t	mm	スキンプレートの厚さ
N	本	浸水防止蓋に取り付く固定ボルトの本数
A'	mm ²	固定ボルトの有効断面積
σ_t	N/mm ²	固定ボルト 1 本当りに作用する引張応力度
τ_s	N/mm ²	固定ボルト 1 本当りに作用するせん断応力度

3. 評価対象部位

浸水防止蓋の評価対象部位は、「2.2 構造計画」に設定している構造を踏まえて、津波荷重及び余震荷重の作用方向及び伝達過程を考慮し設定する。

浸水防止蓋に作用する津波荷重及び余震荷重は、浸水防止蓋のスキンプレートに伝わり、浸水防止蓋を固定する固定ボルトを介して軸体に伝達されることから、スキンプレート及び固定ボルトを評価対象部位として設定する。浸水防止蓋の評価対象部位を、図3-1に示す。

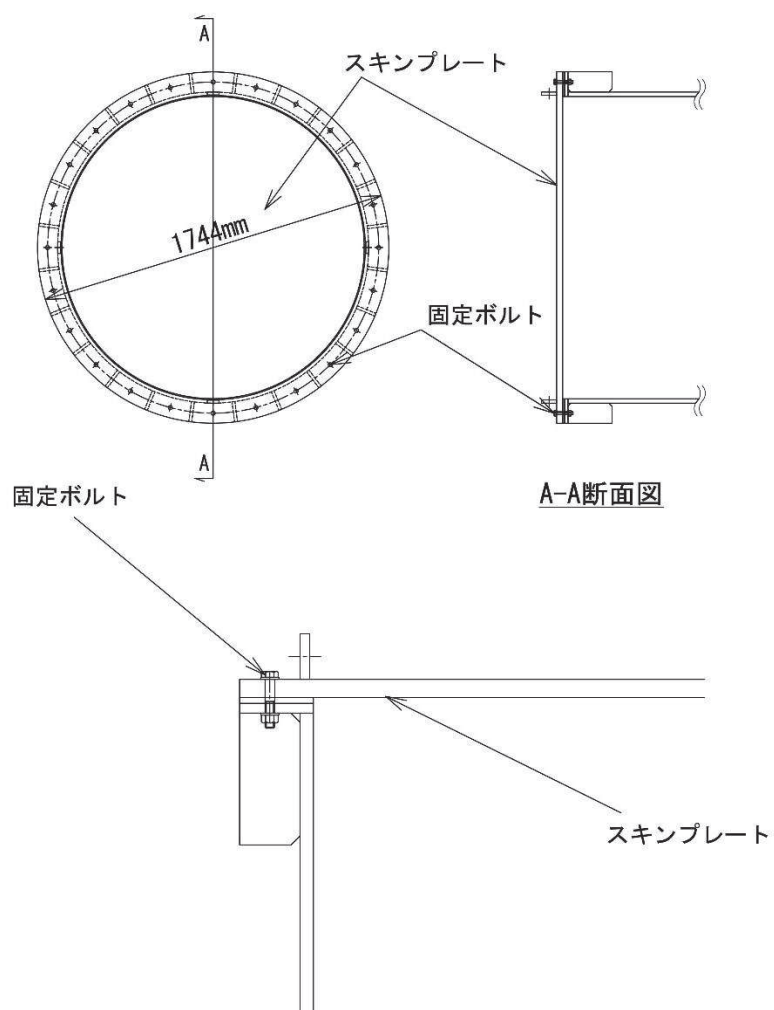


図 3-1 浸水防止蓋の評価対象部位

4. 構造強度評価

4.1 構造強度評価方法

浸水防止蓋の強度評価は、添付書類「VI-3-別添 3-1 津波への配慮が必要な施設の強度計算の方針」にて設定している荷重及び荷重の組合せ並びに許容限界を踏まえて、「3. 評価対象部位」にて設定する評価対象部位に作用する応力等が「4.3 許容限界」にて示す許容限界以下であることを確認する。

4.2 荷重及び荷重の組合せ

4.2.1 荷重の組合せ

浸水防止蓋の評価に用いる荷重の組合せを下記に示す。

$$G + P_h + S_d + P_s$$

ここで、 G : 固定荷重 (kN)

P_h : 浸水津波荷重 (kN)

S_d : 余震荷重 (kN)

P_s : 積雪荷重 (kN)

4.2.2 荷重の設定

強度評価に用いる荷重は以下のとおりとする。

(1) 固定荷重(D)

固定荷重として、浸水防止蓋を構成する部材の自重を考慮する。

(2) 浸水津波荷重(P_h)

浸水津波荷重は、添付書類「VI-3-別添 3-1 津波への配慮が必要な施設の強度計算の方針」に示すとおり、津波高さ及び浸水防止蓋の設置高さを考慮した静水圧を次式により算出する。

$$P_h = \rho_0 \cdot g \cdot (h_1 - h_2) \cdot A$$

ここで、 ρ_0 : 水の密度 1.03 (t/m³)

g : 重力加速度 9.80665 (m/s²)

h_1 : 設計津波水位 (O.P. m)

h_2 : 浸水防止蓋の設置高さ (O.P. m)

A : 浸水防止蓋の面積 (m²)

(3) 積雪荷重(P_s)

積雪荷重として、添付書類「VI-1-1-2 発電用原子炉施設の自然現象等による損傷の防止に関する説明書」のうち、添付書類「VI-1-1-2-1-1 発電用原子炉施設に対する自然現象等による損傷の防止に関する基本方針」に基づき 43cm の積雪量を想定し、平均的な積雪荷重を与えるための係数 0.35 を考慮する。

積雪荷重による質量は以下に式より算出する。

$$P_s = 0.35 \cdot W_s \cdot d_s \cdot A \cdot 10^{-3}$$

ここで、 P_s : 積雪荷重 (kN)

W_s : 1cm 当りの積雪荷重 20 (N/m²)

d_s : 積雪高さ 43 (cm)

A : 浸水防止蓋の面積 (m²)

(4) 余震荷重(S_d)

余震荷重として、添付書類「VI-3-別添 3-1 津波への配慮が必要な施設の強度計算の方針」に示すとおり、弹性設計用地震動 S_{d-D 2} に伴う地震力及び動水圧荷重を考慮するものとし、水平方向については、弹性設計用地震動 S_{d-D 2} に伴う地震力を考慮する。鉛直方向については、弹性設計用地震動 S_{d-D 2} に伴う地震力と動水圧荷重を考慮する。

なお、浸水防止蓋の強度評価に用いる余震震度は、地盤物性の不確かさを考慮したものとして添付書類「VI-2-10-2-8-3 浸水防止蓋（揚水井戸（第 3 号機海水ポンプ室防潮壁区画内））の耐震性についての計算書」の地震応答解析結果を用いる。

強度評価で用いる揚水井戸（第 3 号機海水ポンプ室防潮壁区画内）の最大加速度を表 4-1 に、余震震度を表 4-2 に示す。

地震力は、浸水防止蓋の固定荷重、浸水津波荷重及び積雪荷重に余震震度を乗じた次式により算出する。

$$S_d = (G + P_h + P_s) \cdot \alpha_H$$

$$S_d = (G + P_h + P_s) \cdot \alpha_v$$

ここで、 S_d : 弹性設計用地震動 S_{d-D 2} による余震荷重 (kN)

G : 固定荷重 (kN)

P_h : 浸水津波荷重 (kN)

P_s : 積雪荷重 (kN)

α_H : 弹性設計用地震動 S_{d-D 2} による水平方向の余震震度

α_v : 弹性設計用地震動 S_{d-D 2} による鉛直方向の余震震度

表 4-1 (1) 地盤の地表面最大加速度（水平方向）

地震動	解析ケース	最大加速度 (cm/s ²)
S d - D 2	ケース②	265.6

表 4-1 (2) 地盤の地表面最大加速度（鉛直方向）

地震動	解析ケース	最大加速度 (cm/s ²)
S d - D 2	ケース①	759.8

表 4-2 余震震度

設置場所	床面高さ (m)	弾性設計用地震動 S d - D 2 の余震震度	
		水平方向 α_H	鉛直方向 α_V
揚水井戸 (第 3 号機海水ポンプ室防潮壁区画内)	0.P. 14.0	0.28	0.78

4.3 許容限界

浸水防止蓋の許容限界は、「3. 評価対象部位」にて設定した部位に対し、添付書類「VI-3-別添 3-1 津波への配慮が必要な施設の強度計算の方針」にて設定している許容限界を踏まえて設定する。

4.3.1 使用材料

浸水防止蓋を構成するスキンプレート、固定ボルトの使用材料を表 4-3 に示す。

表 4-3 使用材料

評価対象部位	材質	仕様
スキンプレート	SM490Y	$t = 30$ (mm)
固定ボルト	SM490Y	M16

4.3.2 許容限界（スキンプレート、固定ボルト）

鋼材の許容応力度は、「鋼構造設計規準—許容応力度設計法—（日本建築学会、2005改定）」を踏まえて表4-4の値とする。

表4-4 鋼材の短期許容応力度

材質	短期許容応力度 (N/mm ²)	
	曲げ	せん断
SM490Y	325	188

4.4 評価方法

浸水防止蓋を構成するスキンプレート及び固定ボルトに発生する応力より算定する応力度が、許容限界以下であることを確認する。スキンプレートについては、評価上最も厳しい条件となる断面で評価を実施する。図4-1に評価の対象とするスキンプレートを示す。また、図4-2に固定ボルトの納まりを示す。

4.4.1 スキンプレート

スキンプレートの支持条件は周辺支持の円板とし、図4-1に示す通り、評価上最も厳しい条件となるよう評価を実施する。曲げ応力度及びせん断応力度は「機械工学便覧（日本機械学会、2005改訂）」より以下の式にて算出する。

(1) 弹性設計用地震動S d-D 2による余震荷重S d

$$S_d = (G + P_h + P_s) \cdot \alpha_v$$

ここで、
 S_d : 弹性設計用地震動S d-D 2による余震荷重 (kN)
 G : スキンプレートの固定荷重 (kN)
 P_h : 浸水津波荷重 (kN)
 P_s : 積雪荷重 (kN)
 α_v : 弹性設計用地震動S d-D 2の鉛直方向の余震震度

(2) スキンプレートに作用する単位面積当たりの鉛直方向の荷重W s s

$$W_{ss} = (G + P_h + S_d + P_s) / A$$

ここで、
 W_{ss} : スキンプレートに作用する単位面積当たりの鉛直方向の等分布荷重 (kN/m²)
 G : スキンプレートの固定荷重 (kN)
 P_h : 浸水津波荷重 (kN)
 S_d : 弹性設計用地震動S d-D 2による余震荷重 (kN)
 P_s : 積雪荷重 (kN)
 A : 浸水防止蓋の面積 (m²)

(3) スキンプレートに作用する最大曲げ応力度σ

スキンプレートに作用する曲げ応力度は「機械工学便覧（日本機械学会、2005改訂）」に基づき次式により算出する。

$$\sigma = 1.24 \cdot W_{ss} \cdot a^2 / t^2$$

ここで、
 σ : スキンプレートに作用する最大曲げ応力度 (N/mm²)
 W_{ss} : スキンプレートに作用する単位面積当たりの鉛直方向の等分布荷重 (kN/m²)
 a : スキンプレートの半径 (mm)
 t : スキンプレートの厚さ (mm)

(4) スキンプレートに作用する最大せん断応力度 τ

スキンプレートに作用するせん断応力度は「機械工学便覧（日本機械学会、2005 改訂）」に基づき次式により算出する。

$$\tau = W_{ss} \cdot A \cdot 10^6 / (2 \cdot \pi \cdot a \cdot t)$$

ここで, τ : スキンプレートに作用する最大せん断応力度 (N/mm^2)

W_{ss} : スキンプレートに作用する単位面積当たりの鉛直方向の等分布荷重 (kN/m^2)

A : 浸水防止蓋の面積 (m^2)

a : スキンプレートの半径 (mm)

t : スキンプレートの厚さ (mm)

(5) スキンプレートに作用する組合せ応力度

スキンプレートに作用する曲げ応力度, せん断応力度を算定し, スキンプレートの短期許容応力度以下であることを確認する。また, スキンプレートに生じる曲げ応力度とせん断応力度から, 組合せ応力度を「鋼構造設計規準—許容応力度設計法一（日本建築学会, 2005 改定）」に基づく次式により算定し, 短期許容応力度以下であることを確認する。

$$x = \sqrt{\sigma^2 + 3 \cdot \tau^2}$$

ここで, x : 組合せ応力度 (N/mm^2)

σ : 曲げ応力度 (N/mm^2)

τ : せん断応力度 (N/mm^2)

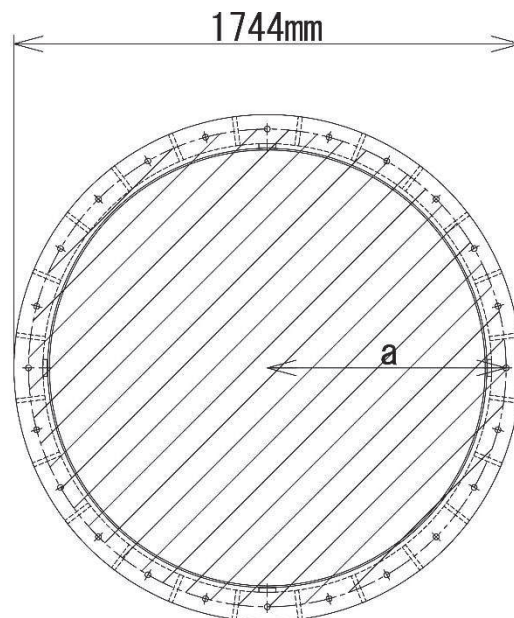


図 4-1 評価の対象とするスキンプレート

4.4.2 固定ボルト

- (1) 弹性設計用地震動 S d-D 2 による水平方向の余震荷重 S d

$$S_d = (G + P_h + P_s) \cdot \alpha_H$$

ここで, S_d : 弹性設計用地震動 S d-D 2 による水平方向の余震荷重 (kN)
 G : 浸水防止蓋の固定荷重 (kN)
 P_h : 浸水津波荷重 (kN)
 P_s : 積雪荷重 (kN)
 α_H : 弹性設計用地震動 S d-D 2 の水平方向の余震震度

- (2) 弹性設計用地震動 S d-D 2 による鉛直方向の余震荷重 S d

$$S_d = (G + P_h + P_s) \cdot \alpha_V$$

ここで, S_d : 弹性設計用地震動 S d-D 2 による鉛直方向の余震荷重 (kN)
 G : 浸水防止蓋の固定荷重 (kN)
 P_h : 浸水津波荷重 (kN)
 P_s : 積雪荷重 (kN)
 α_V : 弹性設計用地震動 S d-D 2 の鉛直方向の余震震度

- (3) 固定ボルト 1 本当たりに生じる引張応力度 σ_t

$$\sigma_t = T_s \cdot 10^3 / A'$$

ここで, $T_s = S_s / N$

σ_t : 固定ボルト 1 本当たりに生じる引張応力度 (N/mm^2)
 T_s : 固定ボルト 1 本当たりに生じる引張応力度 (kN)
 S_d : 弹性設計用地震動 S d-D 2 による鉛直方向の余震荷重 (kN)
 N : 浸水防止蓋に取り付く固定ボルトの本数
 A' : 固定ボルトの有効断面積 (mm^2)

- (4) 固定ボルト 1 本当たりに生じるせん断応力度 τ_s

$$\tau_s = q_s \cdot 10^3 / A'$$

ここで, $q_s = S_s / N$

τ_s : 固定ボルト 1 本当たりに作用するせん断応力度 (N/mm^2)
 q_s : 固定ボルト 1 本当たりに作用するせん断力 (kN)
 S_d : 弹性設計用地震動 S d-D 2 による水平方向の余震荷重 (kN)
 N : 浸水防止蓋に取り付く固定ボルトの本数
 A' : 固定ボルトの有効断面積 (mm^2)

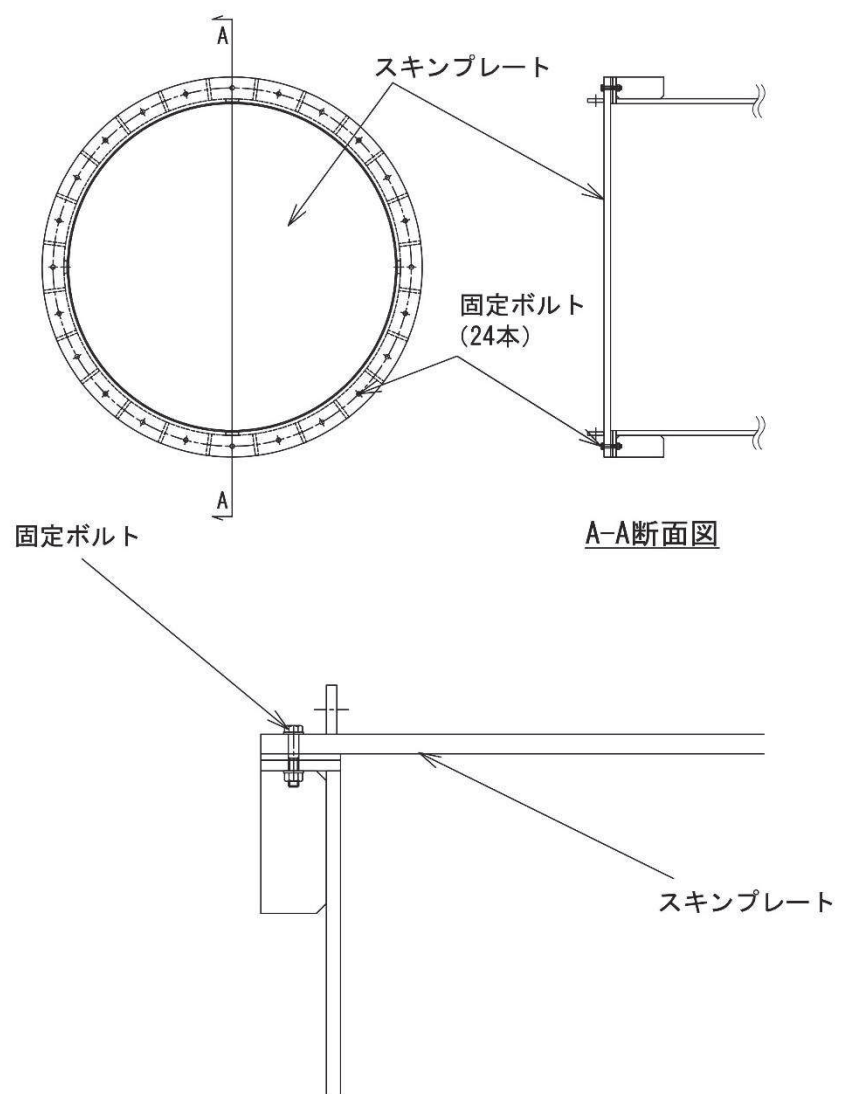


図 4-2 固定ボルトの納まり

4.5 評価条件

浸水防止蓋の強度評価に用いる入力値を表4-5に示す。

表4-5 浸水防止蓋の強度評価に用いる入力値

評価対象 部位	記号	単位	定義	数値
スキン プレート	G	kN	スキンプレートの固定荷重	5.59
	P _h	kN	浸水津波荷重	132.78
	h ₁	0.P. m	設計津波水位	19.5
	h ₂	0.P. m	浸水防止蓋の設置高さ	14.0
	P _s	kN	積雪荷重	0.72
	A	m ²	浸水防止蓋の面積	2.39
	a	mm	スキンプレートの半径	822
	t	mm	スキンプレートの厚さ	30
固定 ボルト	G	kN	スキンプレートの固定荷重	5.59
	P _h	kN	浸水津波荷重	132.78
	h ₁	0.P. m	設計津波水位	19.5
	h ₂	0.P. m	浸水防止蓋の設置高さ	14.0
	P _s	kN	積雪荷重	0.72
	N	本	浸水防止蓋に取り付く固定ボルトの本数	24
	A'	mm ²	固定ボルトの有効断面積	157

5. 評価結果

浸水防止蓋の強度評価結果を表5-1に示す。各部材の断面検定を行った結果、全ての部材において発生応力又は応力度が許容限界以下であることを確認した。

表 5-1 浸水防止蓋の強度評価結果

評価対象部位		発生値 (応力度又は荷重)		許容限界 (応力度又は荷重)		検定値
スキンプレート	曲げ	97	N/mm ²	325	N/mm ²	0.30<1.0
	せん断	1	N/mm ²	188	N/mm ²	0.01<1.0
	組合せ	98	N/mm ²	325	N/mm ²	0.31<1.0
固定ボルト	引張	30	N/mm ²	325	N/mm ²	0.10<1.0
	せん断	11	N/mm ²	188	N/mm ²	0.06<1.0

6.5 浸水防止設備に関する補足説明

6.5.4 浸水防止壁に関する補足説明

(1) 概要

本資料は、浸水防止設備のうち第2号機浸水防止壁（以下「浸水防止壁」という。）の耐震計算及び強度計算の詳細について説明するものである。

(2) 浸水防止壁の構造

浸水防止壁は、海水ポンプ室補機ポンプエリアの軸体上部に設置する。浸水防止壁の設置位置及び構造を図6.5.4-1～図6.5.4-3に示す。

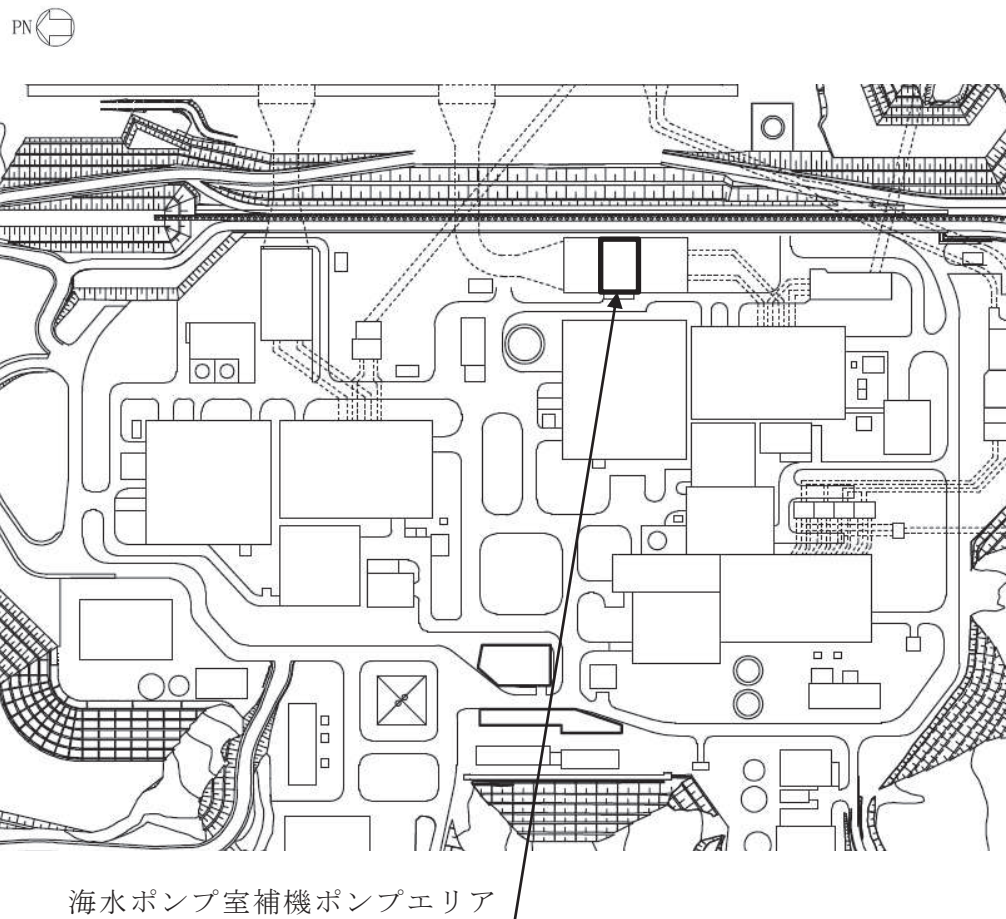


図6.5.4-1 浸水防止壁の設置位置

PN

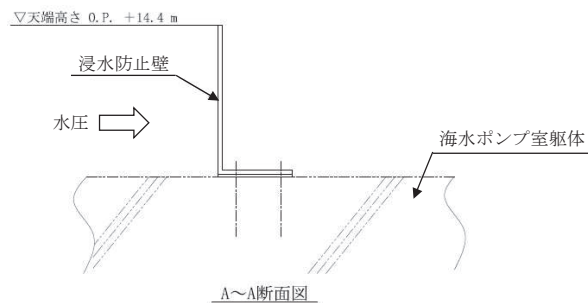
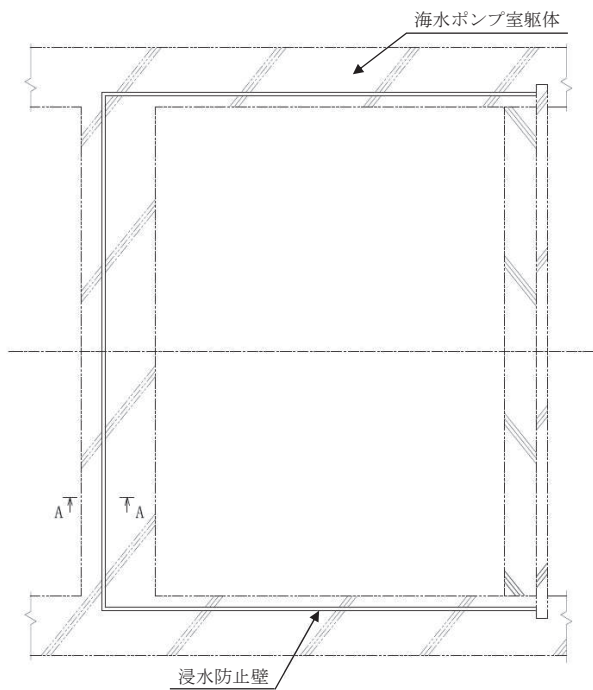
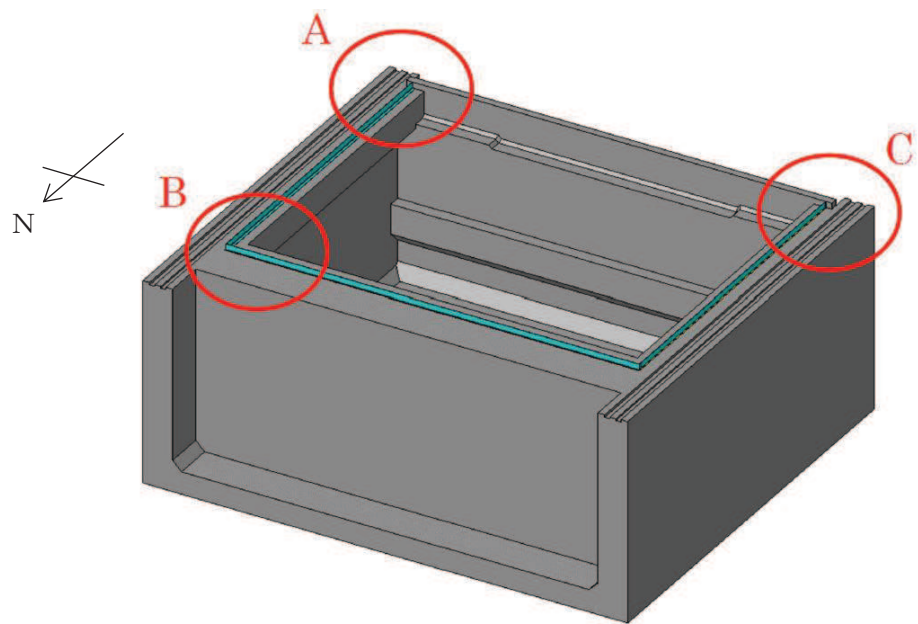
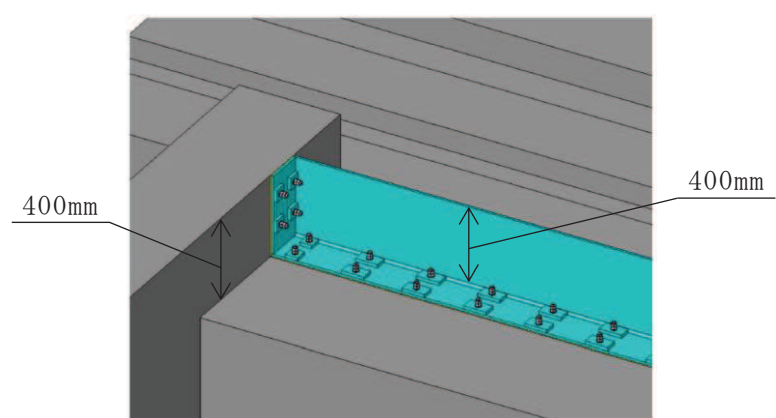
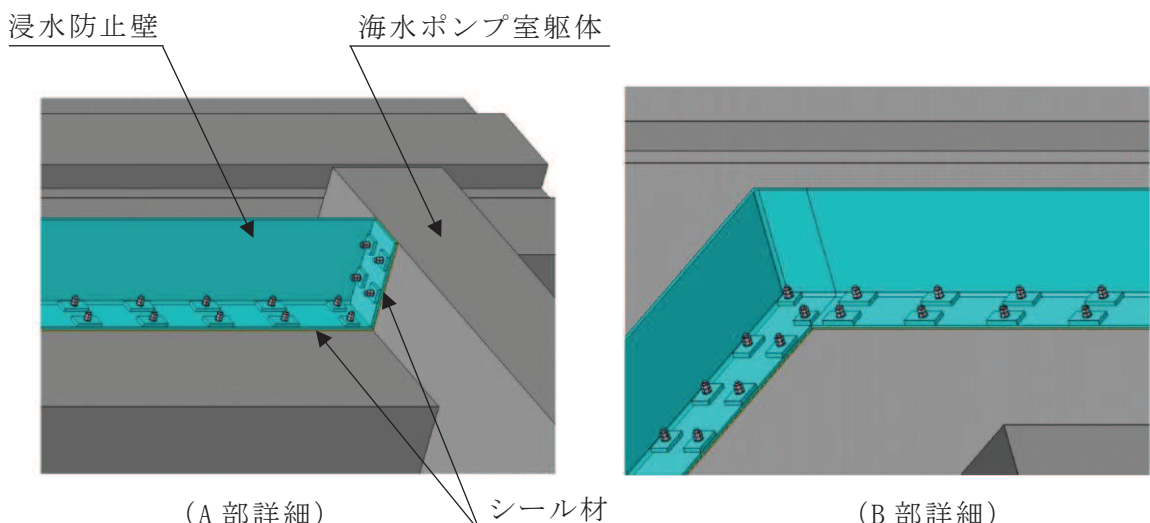


図 6.5.4-2 浸水防止壁の構造



(海水ポンプ室補機ポンプエリア俯瞰図)



(C 部詳細)

図 6.5.4-3 浸水防止壁の構造概略

(3) 評価方法に関する補足

浸水防止壁は、図 6.5.4-2 及び図 6.5.4-3 に示すとおり、L 字形の鋼板にて海水ポンプ室補機ポンプエリアを囲う構造である。

評価は、海水ポンプ室躯体と浸水防止壁の接合部に生じる曲げモーメント及びせん断力を算定し、浸水防止壁及び基礎ボルトの評価を行う。また、浸水防止壁の 1 辺が 20m 以上にわたる長い直線状の構造であることから、直線部の単位長さ (1000 mm) 当たりにて評価を行う。

(4) 風荷重の算出

風の等分布荷重は、「建築基準法・同施行令」に基づき、次式により算出する。

$$w_{pk} = q \cdot C_f \cdot 1000$$

ここで、

w_{pk} : 風の等分布荷重 (N/mm)

q : 速度圧 (N/mm²)

$$\begin{aligned} q &= 0.6 \cdot E \cdot V_0^2 \\ &= 0.6 \times 1.77743 \times 30^2 = 9.598 \times 10^{-4} \text{ N/mm}^2 \end{aligned}$$

E : 建築基準法施行令第 87 条第 2 項により算出した数値

V_0 : その地方における基準風速 (=30 m/s)

E は、浸水防止壁の高さが 5m 以下のため次式により算出する。

$$\begin{aligned} E &= E_r^2 \cdot G_f \\ &= 0.898844^2 \times 2.2 = 1.77743 \end{aligned}$$

E_r : 平均風速の高さ方向の分布を表す係数

G_f : ガスト影響係数 (=2.2)

$$\begin{aligned} E_r &= 1.7 \cdot \left(Z_b / Z_c \right)^\alpha \\ &= 1.7 \cdot (5/350)^{0.15} = 0.898844 \end{aligned}$$

Z_b , Z_c 及び α は、地表面粗度区分を II における以下の値。

Z_b : 5 m

Z_c : 350 m

α : 0.15

C_f : 風力係数 (=1.2)

(5) 基礎ボルト本数

評価における基礎ボルト本数は、下記のとおりとする。

$n = \text{単位長さ } 1000 \text{ mm} / \text{基礎ボルトピッチ } 300 \text{ mm} \times 2 \text{ 列}$

$$= 6.6 \text{ 本} \rightarrow 6 \text{ 本}$$

6.5 浸水防止設備に関する補足説明

6.5.5 逆止弁付ファンネルに関する補足説明

(1) 概要

浸水防護設備のうち、逆止弁付ファンネルについては、添付書類「VI-2-10-2-10 逆止弁付ファンネルの耐震性についての計算書」及び添付書類「VI-3-別添 3-2-9 逆止弁付ファンネルの強度計算書」の応力評価において、耐津波のバウンダリとなる各部材の評価を示している。本資料では、逆止弁付ファンネルを構成する部材全てを評価し、逆止弁付ファンネルとしての性能目標を満足することを確認する。

(2) 逆止弁付ファンネルを構成する各部材の評価及び機能保持の確認方法についての評価方針

逆止弁付ファンネルの性能目標としては、地震後、津波後の再使用性や津波の繰返しの作用を想定し、部材がおおむね弾性状態にとどまることとし、止水機能を喪失しない設計としている。

以上に示した性能目標を満足していることを確認する方法として、加振試験、水圧試験及び漏えい試験を実施し、各部材の構造強度健全性及び弁座部の止水性を確認することにより止水機能が保持されていることを確認する方針とする。

具体的には、地震後、津波後の再使用性や津波の繰返しの作用を想定した止水機能保持確認として、次に示す試験にて確認する方針とする。

地震を想定して、加振試験を実施し、各部材の構造強度健全性を確認する。また、津波を想定して、加振試験後に水圧試験及び漏えい試験を実施し、各部材の構造強度健全性及び弁座部の止水性を確認する。

表 6.5.7-1 に止水機能保持確認方針として、逆止弁付ファンネルの各部材の限界状態と評価内容を示す。また、図 6.5.7-1 に逆止弁付ファンネルの構造を示す。

表 6.5.7-1 逆止弁付ファンネル止水機能保持確認方針

部材	限界状態	評価内容
弁本体	変形, 損傷	<ul style="list-style-type: none"> ・加振試験を実施し, 構造強度健全性を確認することにより, 止水機能保持を確認する。 ・加振試験後に水圧試験を実施し, 構造強度健全性を確認することにより, 止水機能保持を確認する。
弁体	変形, 損傷, 漏えい	<ul style="list-style-type: none"> ・加振試験後に漏えい試験を実施し, 弁座部の止水性を確認することにより, 止水機能保持を確認する。 ・応力評価の評価対象部材
弁座	変形, 損傷, 漏えい	
圧縮スプリング	変形, 損傷	
ガイド	変形, 損傷	<ul style="list-style-type: none"> ・加振試験を実施し, 構造強度健全性を確認することにより, 止水機能保持を確認する。
サポータ	変形, 損傷	<ul style="list-style-type: none"> ・加振試験後に水圧試験を実施し, 構造強度健全性を確認することにより, 止水機能保持を確認する。 ・加振試験後に漏えい試験を実施し, 弁座部の止水性を確認することにより, 止水機能保持を確認する。
取付金具 (取付ねじ含む)	変形, 損傷, 緩み	
取付金具ピン	変形, 損傷	
ねじ切り部	変形, 損傷 緩み	

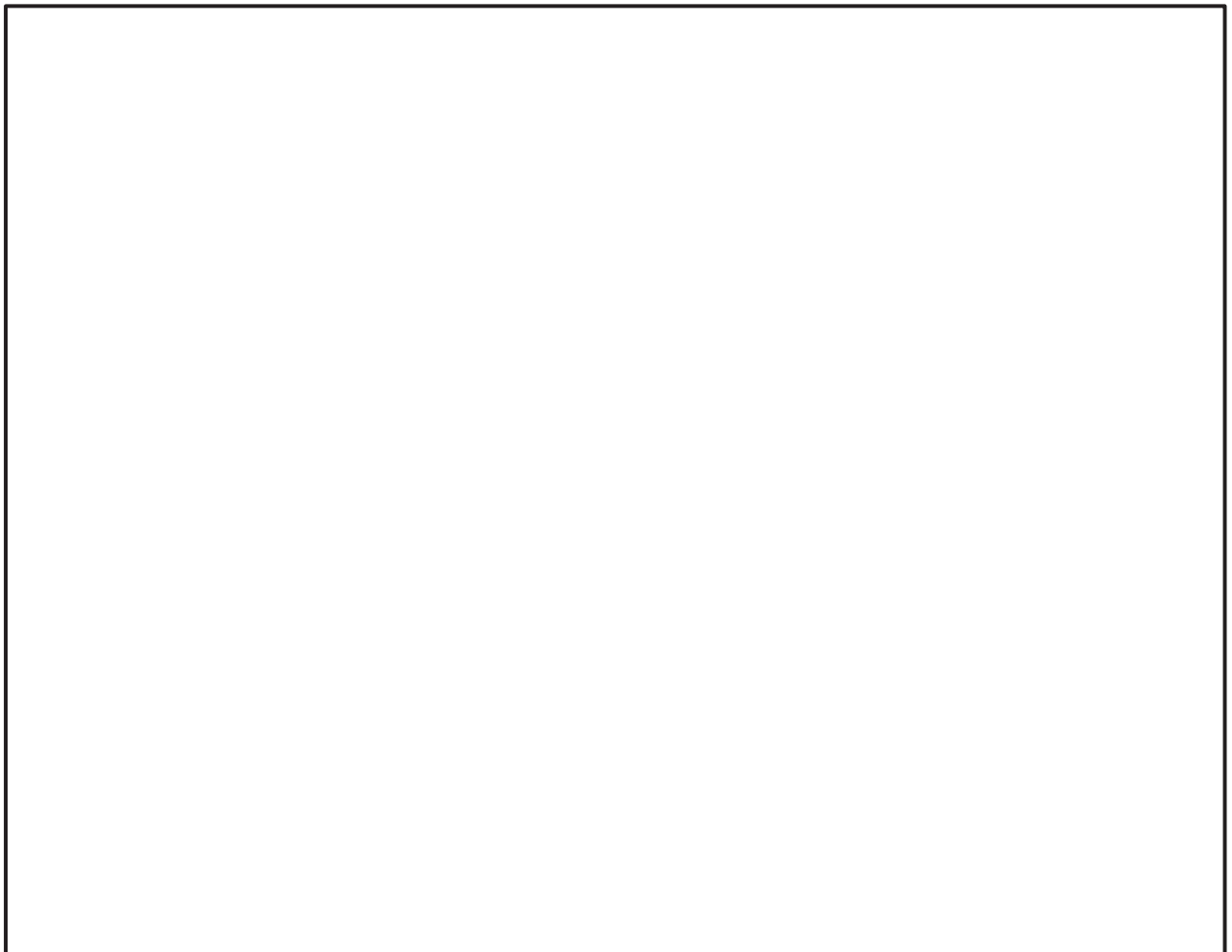


図 6.5.7-1 逆止弁付ファンネル構造図

枠囲みの内容は商業機密の観点から公開できません。

(3) 評価方法

以下に示す条件にて試験を実施し、試験毎に示す判定基準により評価する。

a. 加振試験

基準地震動 S s による逆止弁付ファンネルの設置箇所の設計震度*を上回るものとして、「原子力発電所耐震設計技術指針 (JEAG 4601-1991 追補版)」に示される一般弁の機能確認済加速度と同じ 6G (58.8m/s^2) で加振する。

なお、加振試験を実施する前に、水平、鉛直方向それぞれについて、周波数 5~50Hz の範囲で掃引試験を行い、周波数 5~50Hz の範囲に固有振動数がなく、逆止弁付ファンネルが剛構造として加振試験を実施できることを確認する。

表 6.5.7-2 に加振試験の条件、方法及び判定基準を示す。

表 6.5.7-3 に加振試験装置の主要仕様、図 6.5.7-2 に加振試験装置の外観を示す。

加振試験時の固定箇所は、図 6.5.7-1 に示す。

表 6.5.7-2 加振試験の条件、方法及び判定基準

試験条件	試験方法	判定基準
<ul style="list-style-type: none"> ・振動波形：正弦波 ・最大加速度：水平 6G、鉛直 6G ・周波数：33Hz ・弁本体の取付部を剛構造の治具を介して、加振試験装置に固定する。 	加振した後に、外観目視により各部材を確認する。 水平方向と鉛直方向毎に、それぞれで加振する。	機能に影響を及ぼす変形、損傷及び緩みがないこと。

表 6.5.7-3 加振試験装置主要仕様

項目		仕様	
		鉛直加振	水平加振
定格加振力	正弦波	16.0kN	16.0kN
	ランダム波	12.8kNrms	12.8kNrms
最大加速度	正弦波	105G	105G
	ランダム波	105G	105G
最大変位		56mm _{P-P}	56mm _{P-P}
振動数範囲		5~3000Hz	5~2000Hz
最大積載量		200kg	200kg
加振台寸法		500mm×500mm	500mm×500mm

* 逆止弁付ファンネル設置箇所の設計震度は以下のとおり。

- ・2号機海水ポンプ室補機ポンプエリア

水平方向 : 1.67, 鉛直方向 : 1.94

- ・3号機海水熱交換器建屋

水平方向 : 2.24, 鉛直方向 : 1.59

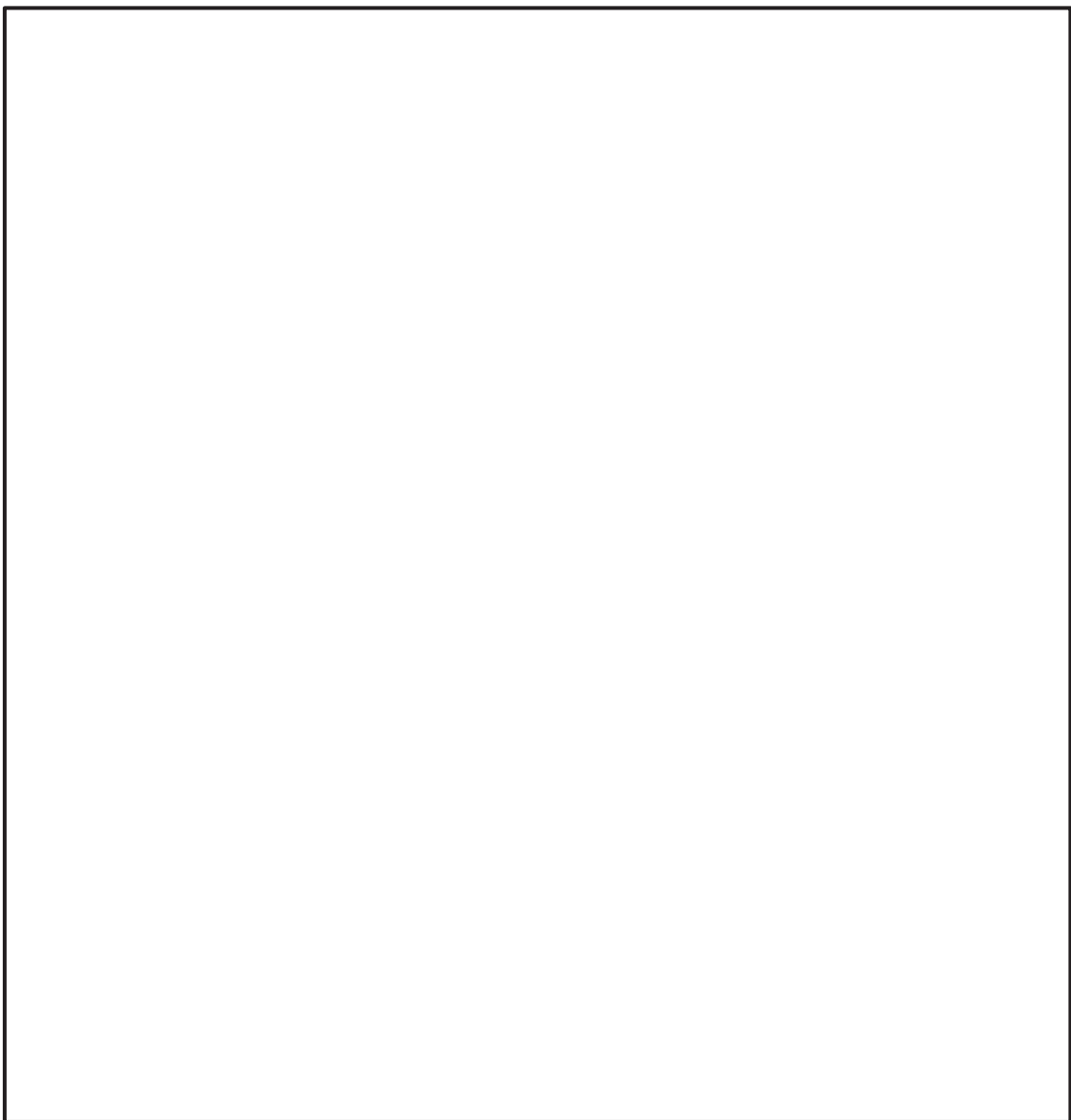


図 6.5.7-2 加振試験装置の外観

枠囲みの内容は商業機密の観点から公開できません。

b. 水圧試験

基準津波による各逆止弁付ファンネルの設置箇所の許容津波高さに津波の突き上げ力を考慮した圧力*を大きく上回る圧力として、1.2MPa 以上の水圧とする。

水圧の保持時間は、「J SME S NC 1-2005/2007 発電用原子力設備規格設計・建設規格」に示される耐圧試験に準じて、10 分間以上とする。

また、水圧試験は、加振試験実施後に行うことを条件とする。

表 6.5.7-4 に水圧試験の条件、方法及び判定基準を示す。

表 6.5.7-4 水圧試験の条件、方法及び判定基準

試験条件	試験方法	判定基準
・試験圧力：1.2MPa 以上の水圧 ・水圧保持時間：10 分間以上 ・加振試験後に実施	試験条件に示した圧力及び保持時間で加圧する。加圧後に外観目視により各部材を確認する。	機能に影響を及ぼす変形、損傷がないこと。

* 許容津波高さに津波の突き上げ力を考慮した圧力は、以下のとおり。

- ・2号機海水ポンプ室補機ポンプエリア：0.19MPa
- ・3号機海水熱交換器建屋：0.20MPa

c. 漏えい試験

各逆止弁付ファンネルの設置箇所に加わる津波荷重水位を上回る圧力として、0.18MPa*を最大として段階的に漏えい試験を行う。

漏えい量を測定する時間は、メーカ実績より 1 分間とし、1 時間に換算した値で判定を行う。

また、漏えい試験は、加振試験実施後に行うことを条件とする。

判定基準は、外郭防護 2 の浸水量評価において、設定している許容漏えい量 $3.4 \times 10^{-2} \text{ m}^3/\text{h}$ 以下とする。

表 6.5.7-5 に漏えい試験の条件、方法及び判定基準を示す。

表 6.5.7-5 漏えい試験の条件、方法及び判定基準

試験条件	試験方法	判定基準
・試験圧力：0.18MPa（最大） ・水圧保持時間：1 分間以上 ・加振試験後に実施	試験条件に示した圧力及び時間で弁座部からの漏えい量を測定する。	許容漏えい量 ($3.4 \times 10^{-2} \text{ m}^3/\text{h}$) 以下であること。

※：設計津波水位 O.P. 19.5m および逆止弁付ファンネル設置高さ O.P. 2.0m の差である O.P. 17.5m に余裕を考慮した水圧

(4) 評価結果

以下に、加振試験、水圧試験及び漏えい試験の結果と止水機能保持の確認を示す。

a. 加振試験

表 6.5.7-6 に逆止弁付ファンネルの加振試験結果及び止水機能保持確認を示す。

なお、掃引試験により、周波数 5~50Hz に逆止弁付ファンネルの固有振動数がないことを確認した。

表 6.5.7-6 逆止弁付ファンネルの加振試験結果

部位	加振試験結果
弁本体	変形及び損傷なし
弁体	変形及び損傷なし
弁座	変形及び損傷なし
圧縮スプリング	変形及び損傷なし
ガイド	変形及び損傷なし
サポート	変形及び損傷なし
取付金具 (取付ねじ含む)	変形、損傷及び緩みなし
取付金具ピン	変形及び損傷なし
ねじ切り部	変形、損傷及び緩みなし

b. 水圧試験

表 6.5.7-7 に逆止弁付ファンネルの水圧試験結果及び止水機能保持確認を示す。

表 6.5.7-7 逆止弁付ファンネルの水圧試験結果及び止水機能保持確認

部位	水圧試験結果	止水機能保持確認
弁本体	変形及び損傷なし	止水性能は保持されている。
弁体	変形及び損傷なし	
弁座	変形及び損傷なし	
圧縮スプリング	変形及び損傷なし	
ガイド	変形及び損傷なし	
サポート	変形及び損傷なし	
取付金具 (取付ねじ含む)	変形、損傷及び緩みなし	
取付金具ピン	変形及び損傷なし	
ねじ切り部	変形、損傷及び緩みなし	

c. 漏えい試験

表 6.5.7-8 に逆止弁付ファンネルの漏えい試験結果及び止水機能保持確認を示す。

表 6.5.7-8 に逆止弁付ファンネルの漏えい試験結果及び止水機能保持確認

部位	漏えい試験結果		止水機能保持確認
弁本体	有意な漏えいなし		
弁体			
弁座			
圧縮スプリング			
ガイド			
サポート			
取付金具 (取付ねじ含む)			
取付金具ピン			
ねじ切り部			
	試験圧力 (MPa)	漏えい量 (m ³ /h)	
	0.0006	0	
	0.005	2.4×10^{-4}	
	0.01	3.4×10^{-2}	
	0.02	2.4×10^{-2}	
	0.04	2.4×10^{-2}	
	0.06	4.3×10^{-3}	
	0.12	1.3×10^{-3}	
	0.18	2.3×10^{-3}	
			止水性能は保持されている。

6.5 浸水防止設備に関する補足説明

6.5.6 貫通部止水処置に関する補足説明

(1) 概要

第3号機補機冷却海水系放水ピットには浸水防止蓋を設置するとともに、浸水防止蓋を貫通する屋外に露出する配管の貫通部は基準地震動 S_sによる地震力に対してバウンダリ機能を維持し、貫通部には止水処置を実施する設計としている。浸水防止蓋および貫通部止水処置の配置については、図-1および図-2に示す。

本資料は、添付資料「VI-3-別添3-2-10 貫通部止水処置の強度計算書」に示す貫通部止水処置（第3号機補機冷却海水系放水ピット浸水防止蓋貫通部）を実施する屋外に露出する配管について、基準地震動 S_sに対し、十分な構造強度を有していることを説明するものである。

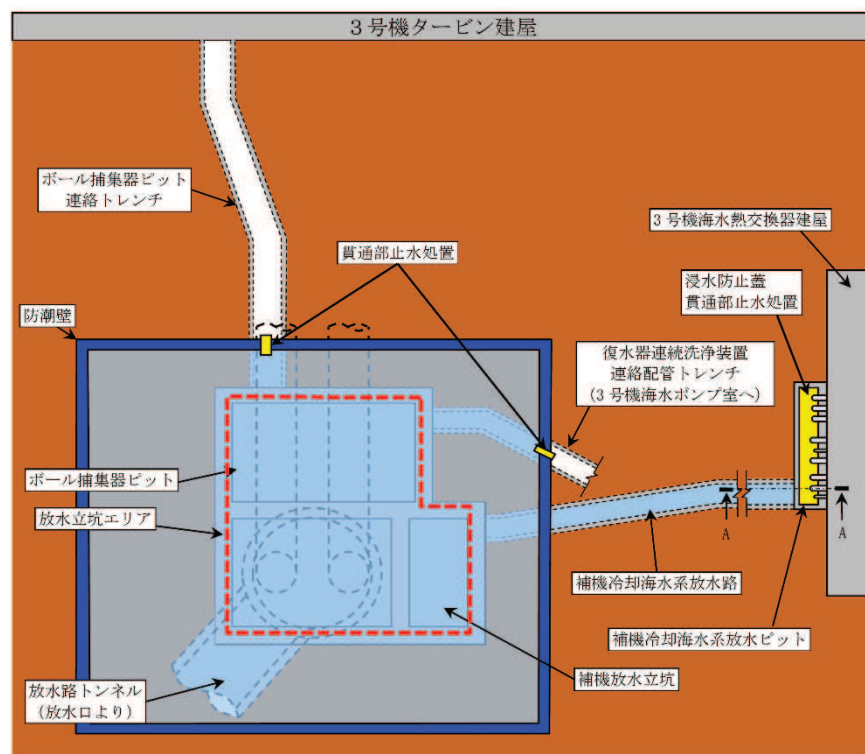


図-1 第3号機 放水立坑 浸水対策配置図（平面図）

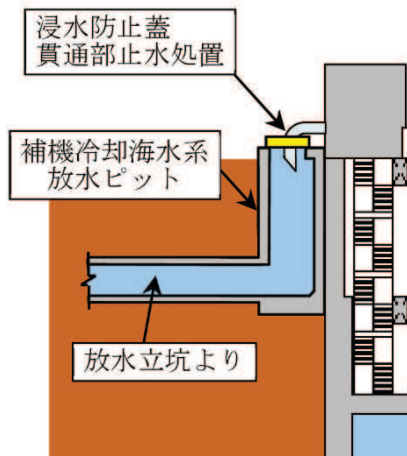


図-2 第3号機 放水立坑 浸水対策配置図 (A-A 断面図)

(2) 評価条件

a. 計算方法

3次元はりモデルにより基準地震動 S_s に対する健全性評価を実施する。解析コードは、「MSAP(配管)」を使用する。

b. 荷重及び荷重の組合せ

(a) 荷重の種類

応力評価に用いる荷重は、以下の荷重を用いる。

- ・常時作用する荷重 (D)

死荷重は、持続的に生じる荷重であり、自重とする。

- ・内圧荷重 (P_D)

内圧荷重は、当該設備に設計上定められた最高使用圧力による荷重とする。

- ・機械的荷重 (M_D)

当該設備に設計上定められた機械的荷重

- ・地震荷重 (S_s)

地震荷重は、基準地震動 S_s により定まる地震力とする。

(b) 荷重の組み合わせ

評価に用いる荷重の組合せを表-1 に示す。

表-1 配管の荷重の組合せ

許容応力状態	荷重の組合せ	評価部位
$IV_A S$	$D + P_D + M_D + S_s$	配管

c. 許容限界

配管評価における許容限界を表-2に示す。

表-2 配管の許容限界

区分	耐震 重要度 分類	荷重の 組合せ	許容 応力 状態	許容限界 ^{*1}			
				一次一般 膜応力	一次膜応力+ 一次曲げ応力	一次+ 二次応力	一次+二次+ ピーク応力
配管	S, C	$D + P_D + M_D + S_s$	$IV_A S$	$0.6 \cdot S_u$	左欄の 1.5 倍 の値	^{*2} S _s 地震動のみによる疲労解析 を行い、疲労累積係数が 1.0 以 下であること。但し、地震動の みによる一次+二次応力の変動 値が $2 \cdot S_y$ 以下であれば、疲労 解析は不要。	

注記*1：軸力による全断面平均応力については許容応力状態III_A S の一次一般膜応力の許容値の 0.8 倍の値とする。

*2 : $2 \cdot S_y$ を超える場合は弾塑性解析を行う。この場合、設計・建設規格 PVB-3536(1), (2), (4) 及び(5) (ただし、 S_m は $2/3 \cdot S_y$ と読み替える。) の簡易弾塑性解析を用い る。

d. 評価対象系統

評価対象の配管仕様を表-3にまとめた。

表-3 評価対象の配管仕様

系統名称	ライン数	口径	板厚 (mm)	材質
第3号機原子炉補機冷却海水系	4	500A	9.5	SM400B
第3号機タービン補機冷却海水系	3	500A	9.5	SM400A
第3号機非放射性ドレン移送系	1	50A	5.5	STPG370
第3号機高圧炉心スプレイ補機冷却海水系	1	200A	8.2	STPT370

e. 材料および許容応力

使用する材料の最高使用温度での許容応力を表-4に示す。

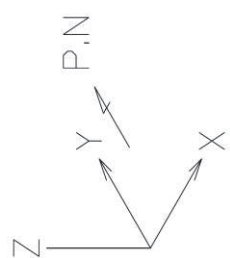
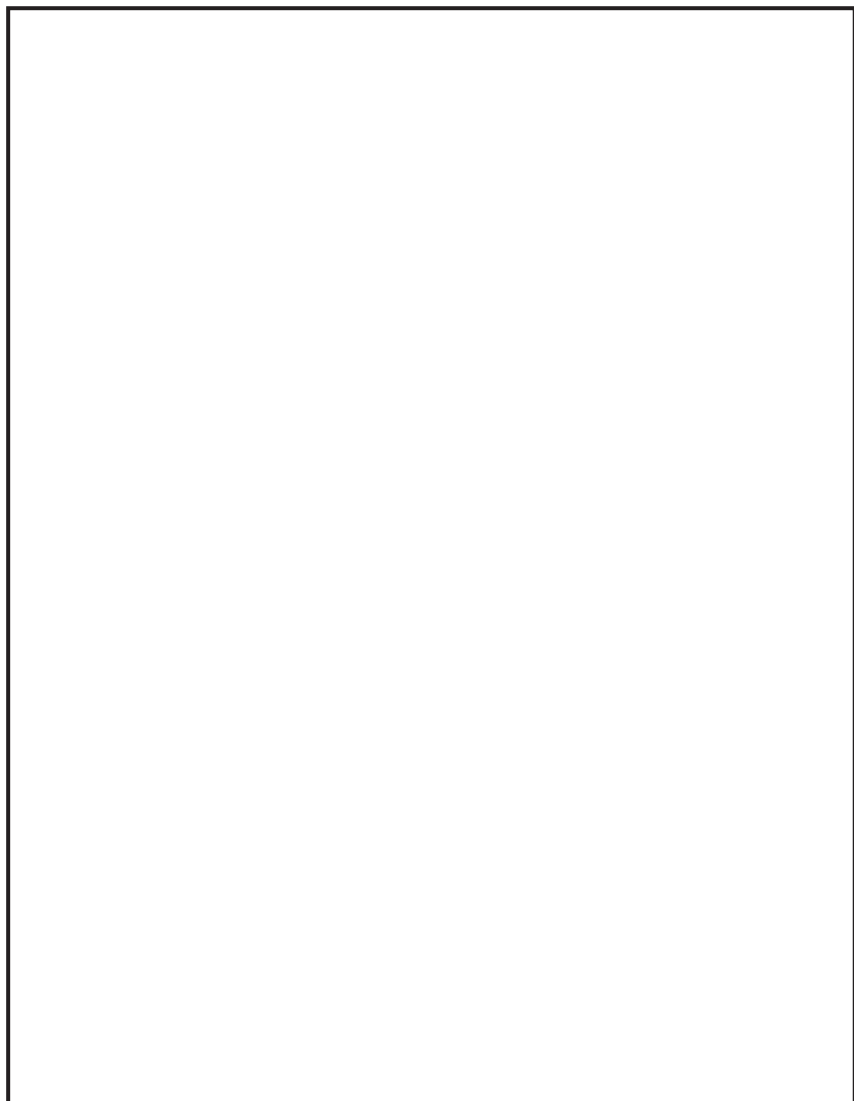
表-4 材料および許容応力

材料	最高使用温度 (°C)	許容応力 (MPa)	
		S_y	S_u
SM400B	50	241	394
SM400A	40	245	400
STPG370	66	189	357
STPT370	50	209	366

f. 評価モデル

各系統の評価モデルを図-3 に示す。

Anchor
Guide
Rigid
Snubber
Spring



枠囲みの内容は商業機密の観点から公開できません。

図 3-1 第 3 号機原子炉補機冷却海水系 系統評価モデル図

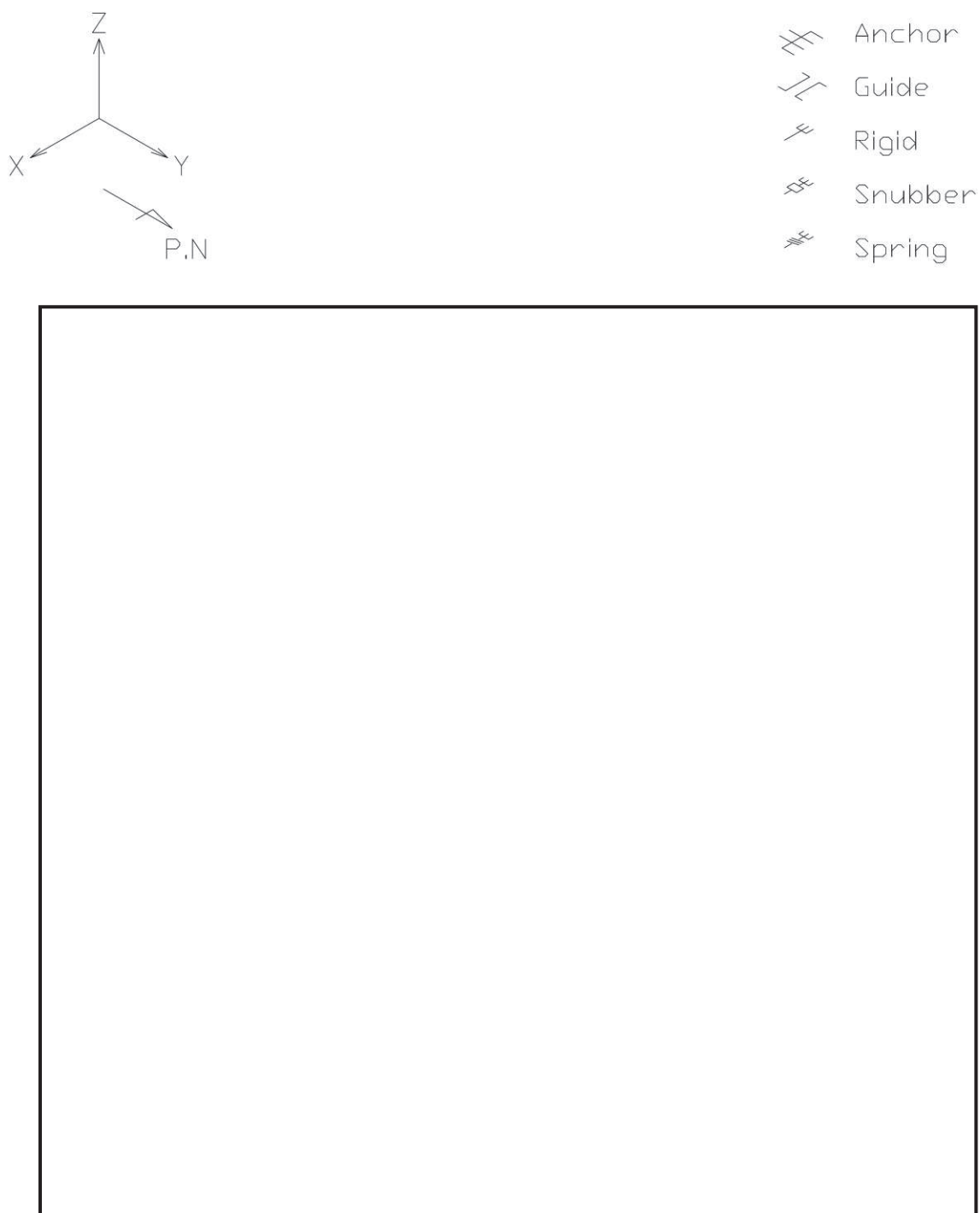


図 3-2 第3号機タービン補機冷却海水系 系統評価モデル図

枠囲みの内容は商業機密の観点から公開できません。

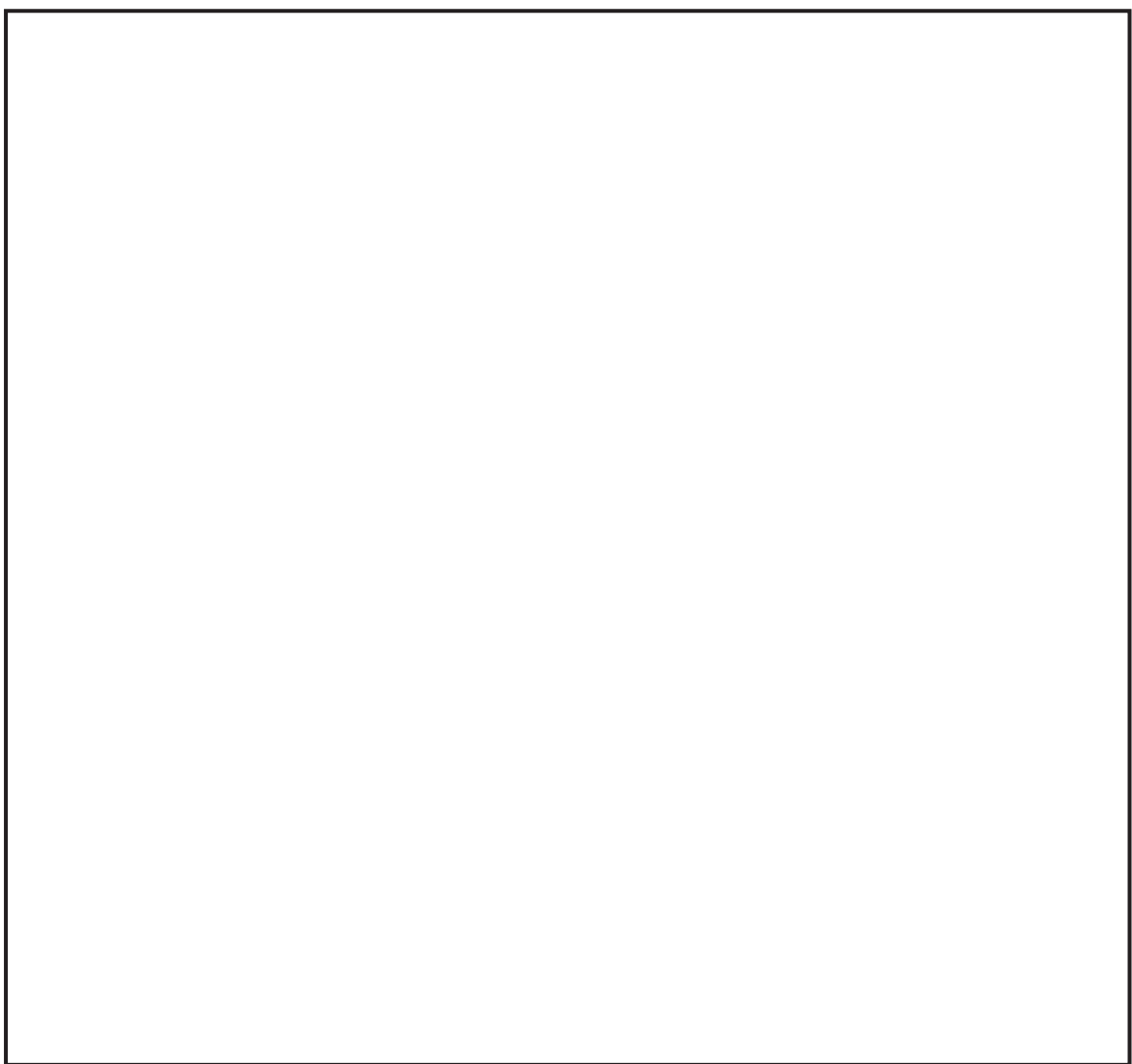


図 3-3 第3号機非放射性ドレン移送系 系統評価モデル図

枠囲みの内容は商業機密の観点から公開できません。

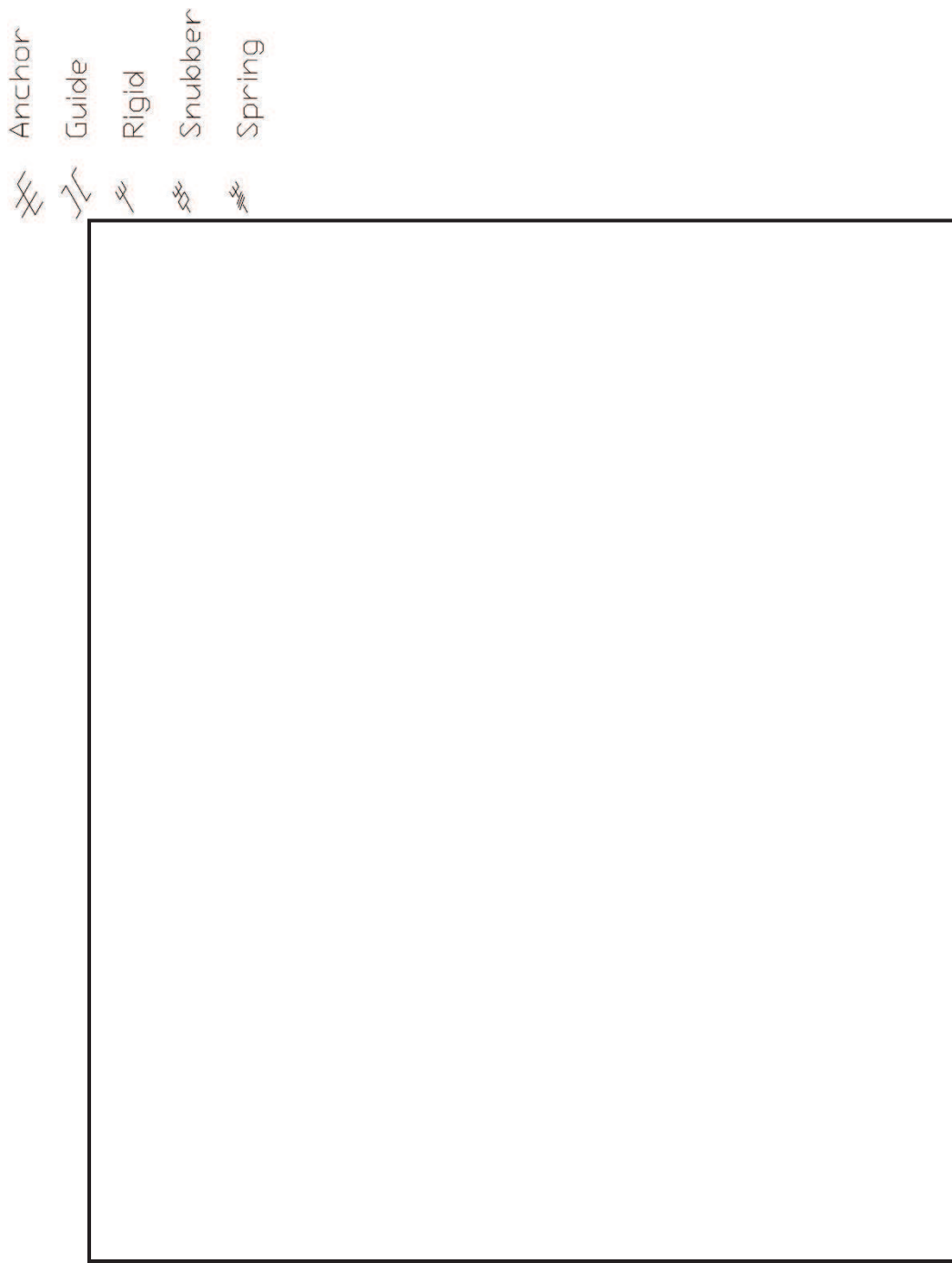
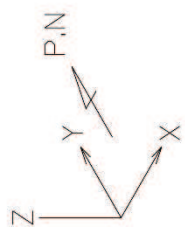


図 3-4 第 3 号機高圧炉心スプレイ補機冷却海水系 系統評価モデル



枠囲みの内容は商業機密の観点から公開できません。

(3) 評価結果

表-5 に示すとおり、最大応力はそれぞれの許容値以下である。

表-5 配管評価結果

系統名称	口径	評価 対象 部位	応力種類			
			一次		一次＋二次	
			算出応力 (MPa)	許容応力 (MPa)	算出応力 (MPa)	許容応力 (MPa)
第3号機原子炉補機冷却海水系	500A	配管	40	354	109	482
第3号機タービン補機冷却海水系	500A		35	360	109	490
第3号機非放射性ドレン移送系	50A		149	321	275	378
第3号機高圧炉心スプレイ補機冷却海水系	200A		27	329	63	418

評価結果は、算出応力と許容応力を踏まえ、評価上厳しい箇所の結果について記載する。

6. 浸水防護施設に関する補足資料

6.6 津波監視設備に関する補足説明

目 次

6.6.1 津波監視カメラに関する補足説明

6.6.2 取水ピット水位計の設計に関する補足説明

6.6.1 津波監視カメラに関する補足説明

6.6.1.1 概要

本資料は、津波監視設備のうち津波監視カメラの耐震計算の詳細について説明するものである。津波監視カメラは、地震後の繰返しの襲来を想定した遡上波に対し、余震、漂流物の衝突、風及び積雪を考慮した場合においても、波力及び漂流物の影響を受けない場所として、原子炉建屋屋上および防潮堤にカメラ本体を設置し、昼夜にわたり監視可能な設計とする。また、カメラ本体からの映像信号を中央制御室に設置する津波監視設備制御盤に伝送し、中央制御室にて監視可能な設計とする。対象となる津波監視カメラの配置を図 6.6.1-1 に示す。

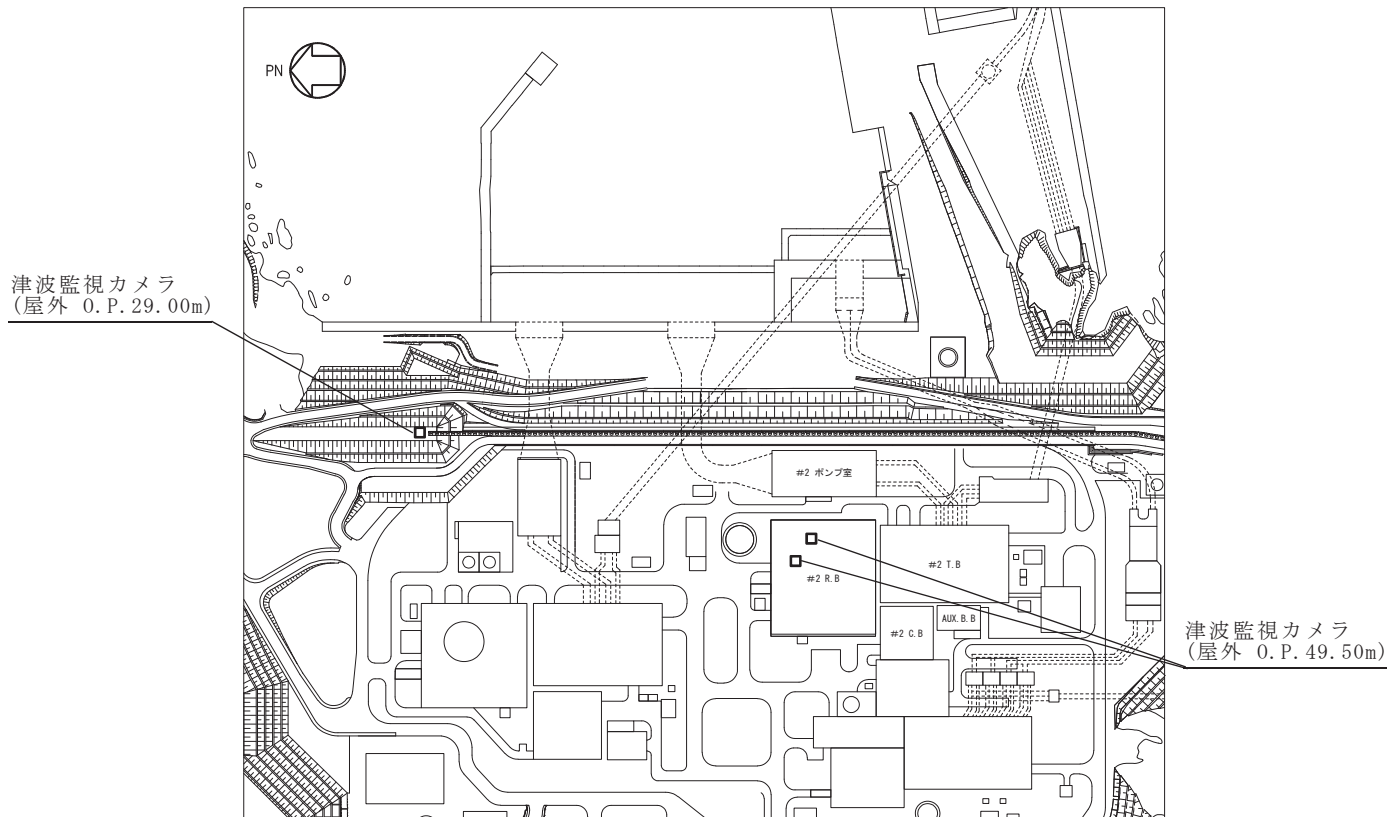


図 6.6.1-1 津波監視カメラ配置図

6.6.1.2 基本方針

津波監視カメラの耐震計算は、添付書類「VI-2-1-9 機能維持の基本方針」にて設定している構造強度及び機能維持の設計方針に基づき、津波監視カメラが設計用地震力に対して十分な構造強度及び電気的機能を有していることを確認する。

耐震計算に当たっては津波監視カメラの構成機器を踏まえ評価対象機器を以下のとおり設定する。

- (1) 津波監視カメラ
- (2) 津波監視設備制御盤

6.6.1.3 評価方法

(1) 津波監視カメラ

a. 一般事項

図 6.6.1-2 及び図 6.6.1-3 に津波監視カメラの概略構造図を示す。

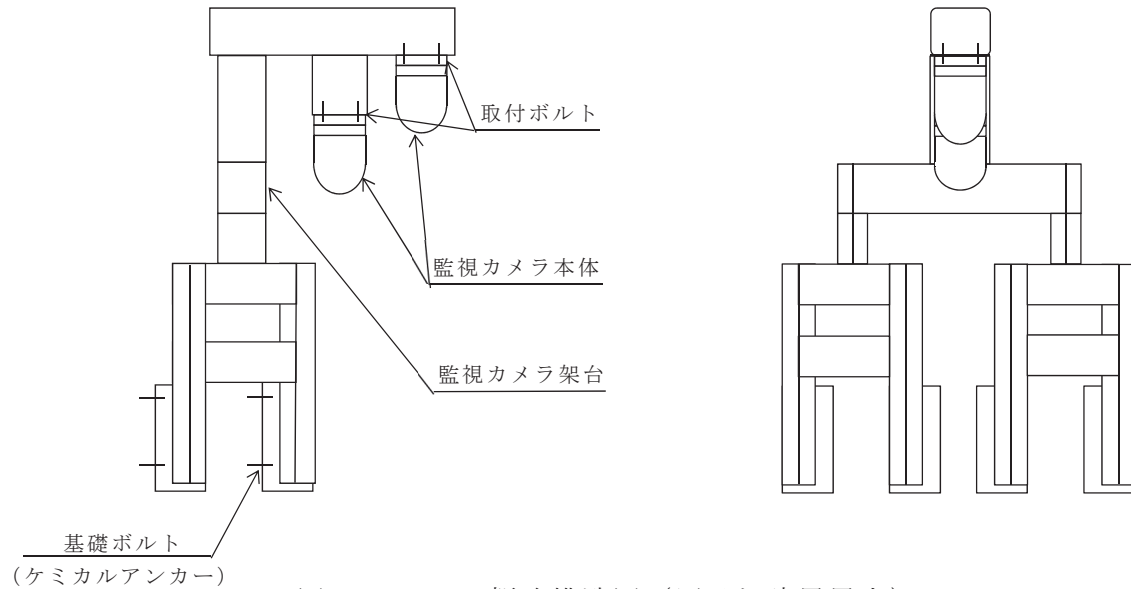


図 6.6.1-2 概略構造図（原子炉建屋屋上）

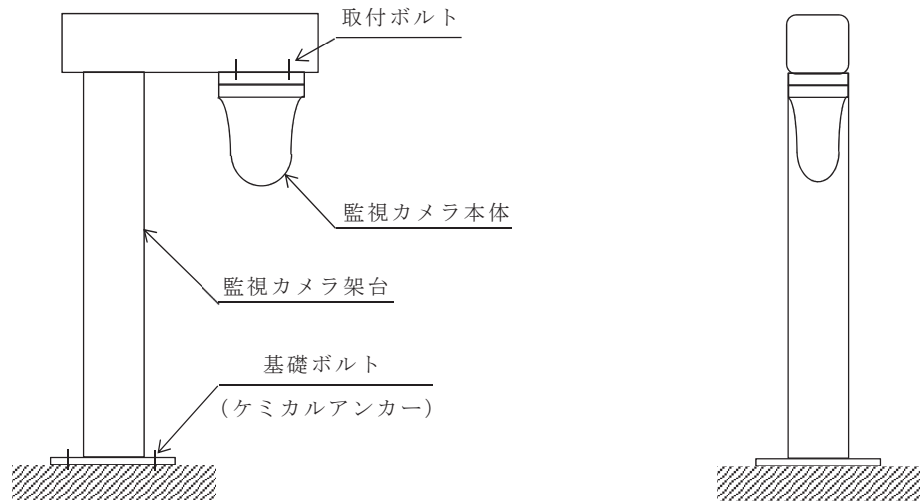


図 6.6.1-3 概略構造図（防潮堤）

原子炉建屋屋上に設置される監視カメラは、取付ボルトにより監視カメラ架台に固定され、監視カメラ架台は原子炉建屋屋上の外壁に基礎ボルトで設置される。

防潮堤に設置される監視カメラは、取付ボルトにより監視カメラ架台に固定され、監視カメラ架台は防潮堤基礎部に基礎ボルトで設置される。

b. 固有周期

津波監視カメラの固有周期は、三次元はりモデルによる固有値解析により求める。固有値解析の結果、固有周期が 0.05 秒以下であり、剛であることを確認している。

津波監視カメラの解析モデルを図 6.6.1-4 及び図 6.6.1-5 に示す。

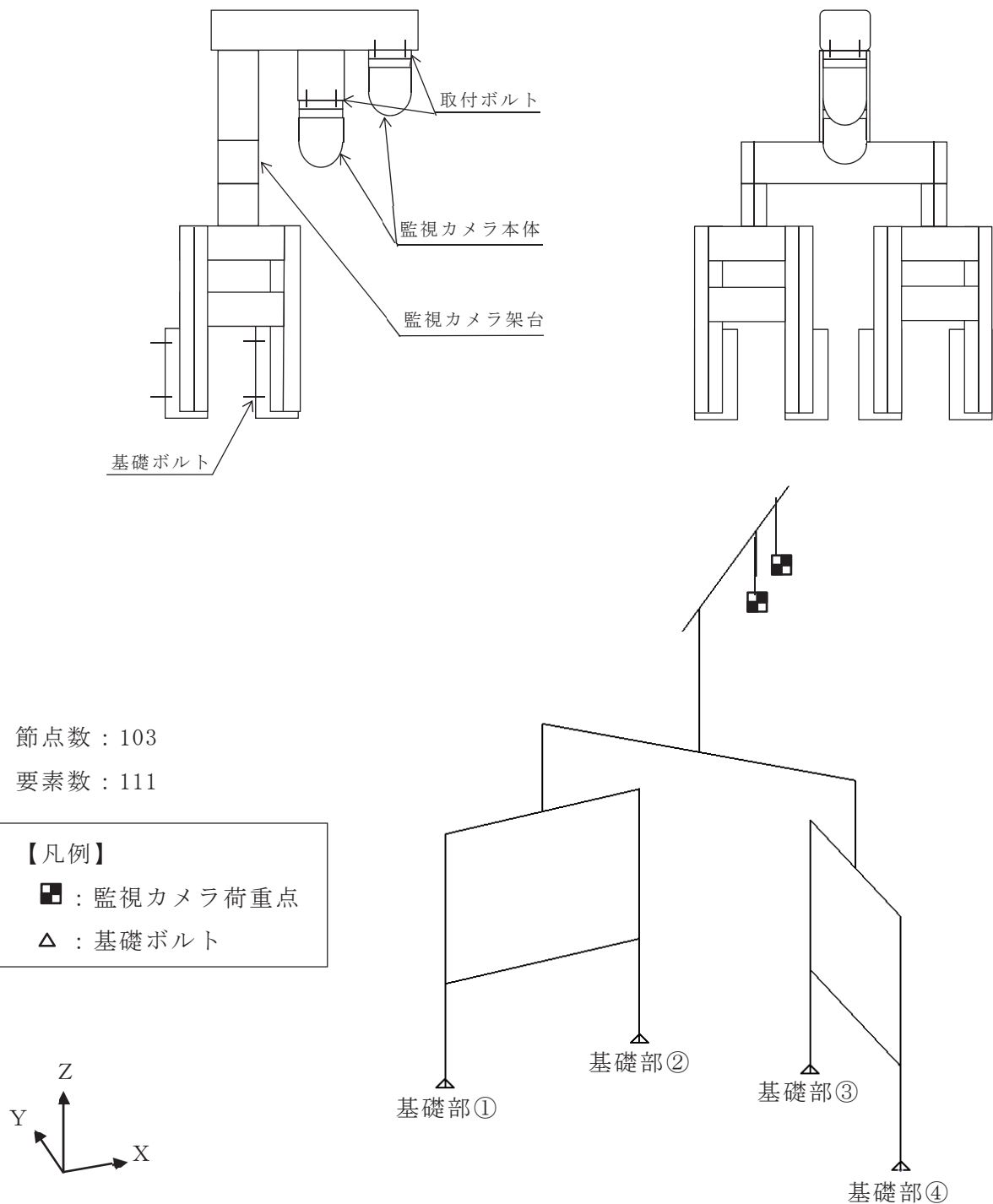


図 6.6.1-4 解析モデル（原子炉建屋屋上）

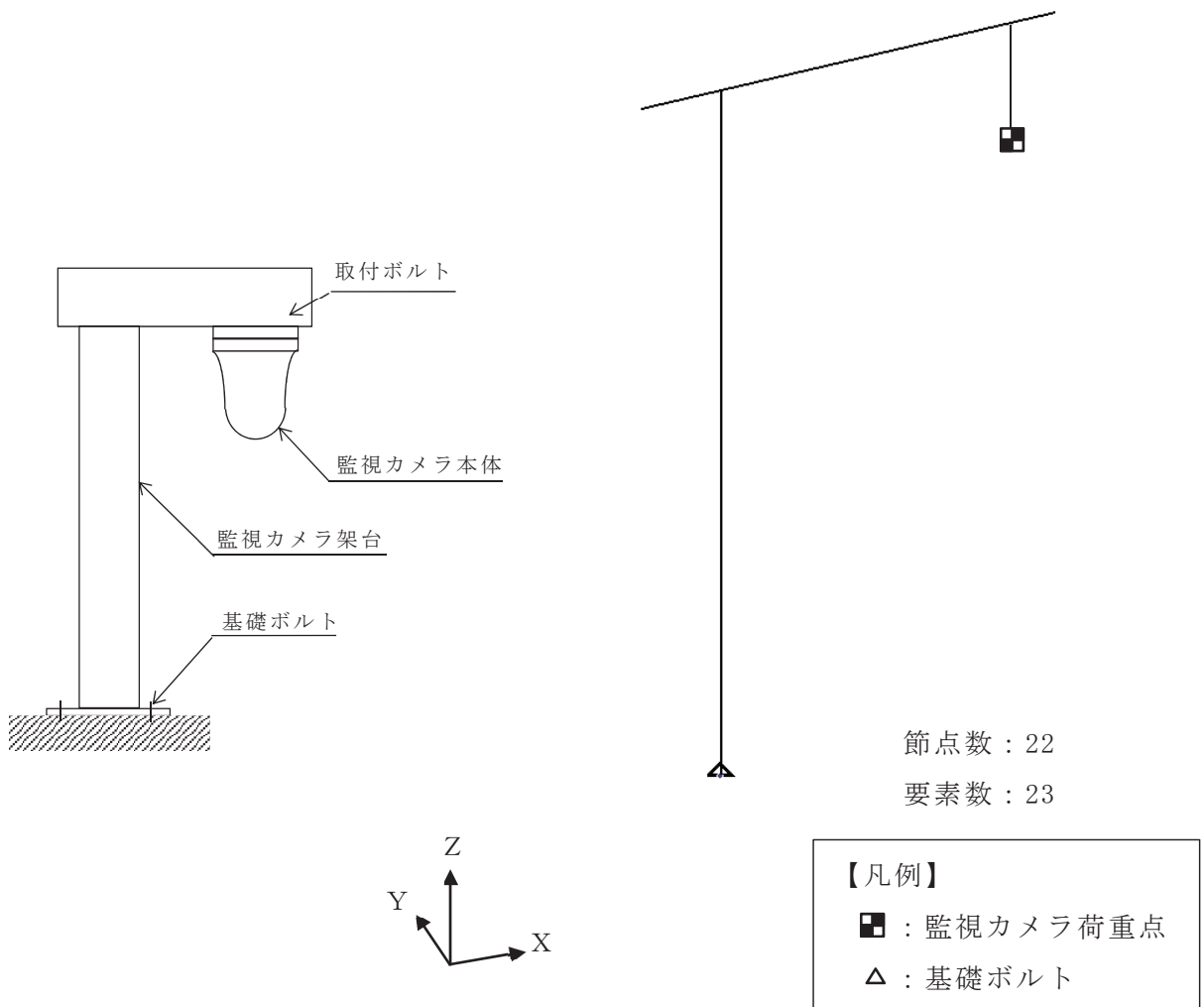


図 6.6.1-5 解析モデル（防潮堤）

c. 構造強度評価

(a) 評価条件

評価条件に用いる設計用地震力を表 6.6.1-1 に示す。

「基準地震動 S_s 」による地震力は、添付書類「VI-2-1-7 設計用床応答曲線の作成方針」及び「VI-2-10-2-2-2 防潮堤（盛土堤防）の耐震性についての計算書」に基づき設定する。

表 6.6.1-1 設計用地震力（設計基準対象施設）

機器名称	据付場所 及び 床面高さ (m)	弾性設計用地震動 S_d 又は静的震度		基準地震動 S_s	
		水平方向 設計震度	鉛直方向 設計震度	水平方向 設計震度	鉛直方向 設計震度
津波監視カメラ	原子炉建屋 O.P. 50.50	—	—	$C_H = 7.28$	$C_V = 2.09$
	防潮堤 O.P. 29.00	—	—	$C_H = 1.69$	$C_V = 1.21$

<雰囲気温度>

40°C (屋外)

(b) 応力計算

津波監視カメラは屋外に設置されるため、耐震計算に考慮する荷重の組合せは以下のとおりとする。

- ・ 固定荷重 + 基準地震動 (S_s) + 風荷重 + 積雪荷重

イ. 固定荷重

津波監視カメラに作用する固定荷重を表 6.6.1-2 に示す。

表 6.6.1-2 固定荷重

(単位 : kg)

部位	荷重
津波監視カメラ (原子炉建屋屋上)	1834
津波監視カメラ (防潮堤)	121

四. 風荷重

津波監視カメラに作用する風荷重 W_{WL} は次式にて求める。

$$W_{WL} = C_f \cdot q$$

ここで

W_{WL} : 風荷重 (N/m^2)

C_f^* : 風力係数 = 2.4

q : 風荷重の速度圧 (N/m^2)

注記* : 風力係数 C_f は日本建築学会 建築物荷重指針・同解説(2004)の値を使用する。

風荷重の速度圧 q は建築基準法施工令第87条に基づき次式にて求める。

$$q = 0.6 \cdot E \cdot V_0^2$$

ここで

V_0 : 設計基準風速 (m/s) = 30 m/s

E : 速度圧の高さ方向の分布を表す係数

風荷重の速度圧の高さ方向の分布を表す係数 E は次式にて求める。

$$E = E_r^2 \cdot G_r$$

G_r^* : ガスト影響係数

原子炉建屋屋上 = 2.029

防潮堤 = 2.165

E_r : 平均風速の高さ方向の分布を表す係数

$$E_r = 1.7 \cdot \left(\frac{Z_b}{Z_G} \right)^\alpha \quad (H \text{が } Z_b \text{ 以下の場合})$$

$$E_r = 1.7 \cdot \left(\frac{H}{Z_G} \right)^\alpha \quad (H \text{が } Z_b \text{ より大きい場合})$$

ここで

H : カメラ設置高さ (m)

原子炉建屋屋上 = 地上 35.8 m

防潮堤 = 地上 15.2 m

α^* : 地表面粗度区分による係数 = 0.15

Z_b : 地表面粗度区分による係数 = 5

Z_G : 地表面粗度区分による係数 = 350

注記* : 当該地の地表面粗度区分Ⅱとして建設省告示第1454号の値を使用する。

(イ) 原子炉建屋屋上の風荷重 W_{WL}

$$E_r = 1.7 \cdot \left(\frac{35.7}{350} \right)^{0.15}$$
$$= 1.21$$

$$E = 1.21^2 \times 2.029$$
$$= 2.98$$

$$q = 0.6 \times 2.98 \times 30^2$$
$$= 1610$$

以上より、

$$W_{WL} = 2.4 \times 1610$$
$$= \underline{3864 \text{ N/m}^2}$$

(ロ) 防潮堤の風荷重 W_{WL}

$$E_r = 1.7 \cdot \left(\frac{15.2}{350} \right)^{0.15}$$
$$= 1.07$$

$$E = 1.07^2 \times 2.165$$
$$= 2.48$$

$$q = 0.6 \times 2.48 \times 30^2$$
$$= 1340$$

以上より、

$$W_{WL} = 2.4 \times 1340$$
$$= \underline{3216 \text{ N/m}^2}$$

ハ. 積雪荷重

津波監視カメラに作用する単位面積当たりの積雪荷重 W_{SNL} は次式にて求める。

$$W_{SNL} = d_s \cdot \rho_s \cdot 0.35$$

ここで

d_s^{*1} : 積雪の垂直堆積量 (cm) = 43

ρ_s^{*2} : 積雪の単位荷重 (N/m²/cm) = 20

0.35 : 平均的な積雪荷重を与えるための係数

注記＊1：添付書類「VI-1-1-2-1-1 発電用原子炉施設に対する自然現象等による損傷の防止に関する基本方針」に基づく積雪量。

注記＊2：建築基準法施工令第86条第2項に基づく積雪の単位荷重。

以上より、

$$\begin{aligned}W_{S N L} &= 43 \times 20 \times 0.35 \\&= \underline{301 \text{ N/m}^2}\end{aligned}$$

(c) 基礎ボルトの計算方法

基礎ボルトの応力は、三次元はりモデルによる個別解析から基礎ボルト部の内力を求めて、その結果を用いて手計算にて計算する。

ここで、 N 、 Q_X 、 Q_Y 、 M_X 、 M_Y 及び M_Z は基礎部に作用する力及びモーメントであり解析により求まる。基礎部に作用する力を図 6.6.1-6 及び図 6.6.1-7 に示す。

イ 原子炉建屋屋上基礎ボルト

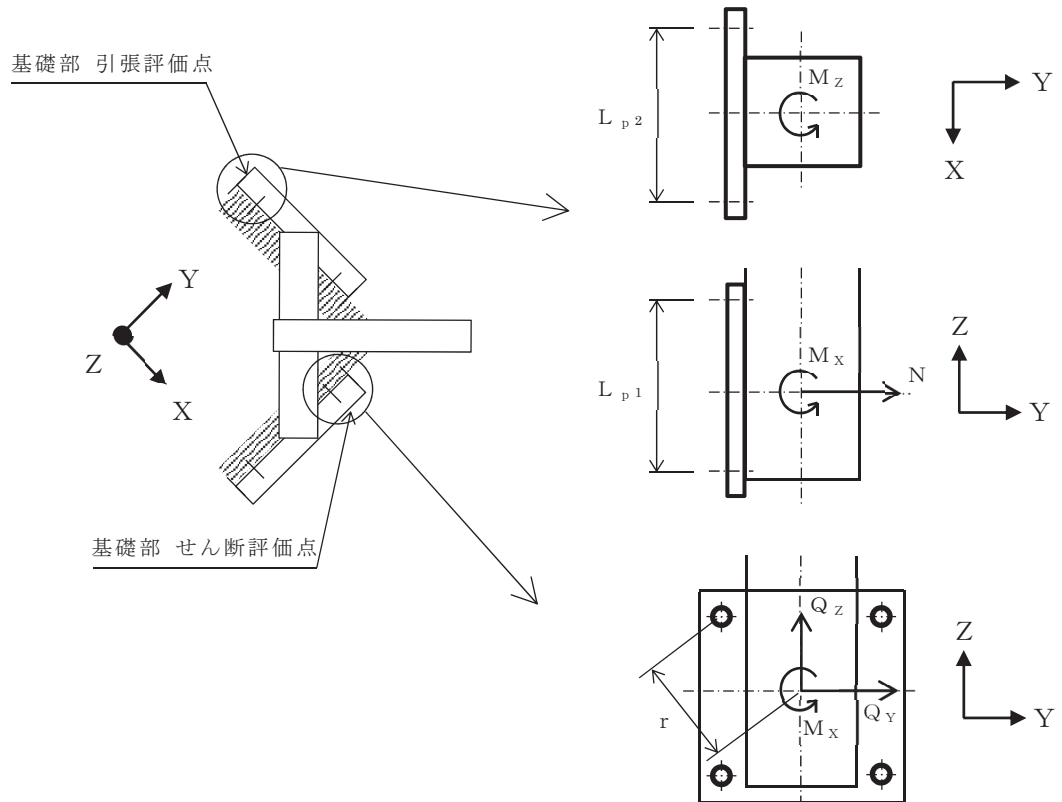


図 6.6.1-6 計算モデル（原子炉建屋屋上 基礎ボルト）

(イ) 引張応力

基礎ボルトに作用する引張力 F_b

$$\begin{aligned}
 F_b &= \frac{N}{n} + \frac{M_X}{L_{p1} \cdot (n/2)} + \frac{M_Z}{L_{p2} \cdot (n/2)} \\
 &= \frac{2.529 \cdot 10^4}{4} + \frac{1.560 \cdot 10^7}{400 \cdot (4/2)} + \frac{2.248 \cdot 10^5}{400 \cdot (4/2)} \\
 &= \underline{\underline{2.610 \cdot 10^4 \text{ N}}}
 \end{aligned}$$

基礎ボルトに作用する引張応力 σ_b

$$\begin{aligned}\sigma_b &= \frac{F_b}{A_b} \\ &= \frac{2.610 \cdot 10^4}{380.1} \\ &= 68.66 \\ &= \underline{69 \text{ MPa}}\end{aligned}$$

(ロ)せん断応力

基礎ボルトに作用するせん断力 Q_b

$$\begin{aligned}Q_b &= \sqrt{Q_Y^2 + Q_Z^2} + \frac{M_x}{r} \\ &= \sqrt{(3.445 \cdot 10^4)^2 + (7.169 \cdot 10^4)^2} + \frac{1.277 \cdot 10^7}{283} \\ &= 1.247 \cdot 10^5 \text{ N}\end{aligned}$$

ここで

r : 基礎ボルト中心から基礎部中心までの距離 = 283 mm

基礎ボルト 1 本あたりに生じるせん断応力 τ_b

$$\begin{aligned}\tau_b &= \frac{Q_b}{n \cdot A_b} \\ &= \frac{1.247 \cdot 10^5}{4 \cdot 380.1} \\ &= 82.01 \\ &= \underline{83 \text{ MPa}}\end{aligned}$$

ここで

n : 基礎ボルトの本数 = 4 本
 A_b : 基礎ボルトの軸断面積 = 380.1 mm²

□ 防潮堤基礎ボルト

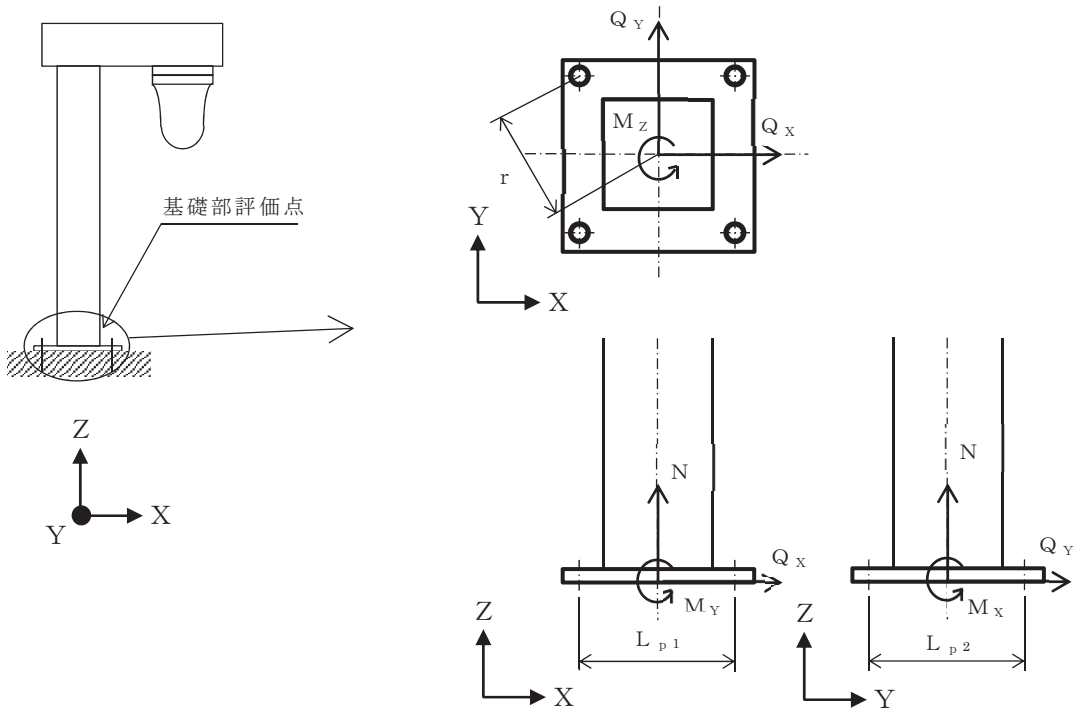


図 6.6.1-7 計算モデル（防潮堤 基礎ボルト）

(イ) 引張応力

基礎ボルトに作用する引張力 F_b

$$\begin{aligned} F_b &= \frac{N}{n} + \frac{M_x}{L_{p2} \cdot (n/2)} + \frac{M_y}{L_{p1} \cdot (n/2)} \\ &= \frac{2.489 \cdot 10^2}{4} + \frac{0}{320 \cdot (4/2)} + \frac{2.474 \cdot 10^6}{220 \cdot (4/2)} \\ &= \underline{\underline{5.685 \cdot 10^3 \text{ N}}} \end{aligned}$$

基礎ボルトに作用する引張応力 σ_b

$$\begin{aligned} \sigma_b &= \frac{F_b}{A_b} \\ &= \frac{5.685 \cdot 10^3}{201.1} \\ &= 28.26 \\ &= \underline{\underline{29 \text{ MPa}}} \end{aligned}$$

(口) せん断応力

基礎ボルトに作用するせん断力 Q_b

$$Q_b = \sqrt{Q_x^2 + Q_y^2} + \frac{M_z}{r}$$
$$= \sqrt{(8.885 \cdot 10^{-11})^2 + (3.707 \cdot 10^3)^2} + \frac{3.452 \cdot 10^5}{194}$$
$$= \underline{5.486 \cdot 10^3 \text{ N}}$$

ここで

r : 基礎ボルト中心から基礎部中心までの距離 = 194 mm

基礎ボルト 1 本あたりに生じるせん断応力 τ_b

$$\tau_b = \frac{Q_b}{n \cdot A_b}$$
$$= \frac{5.486 \cdot 10^3}{4 \cdot 201.1}$$
$$= 6.81$$
$$= \underline{7 \text{ MPa}}$$

ここで

n : 基礎ボルトの本数 = 4 本

A_b : 基礎ボルトの軸断面積 = 201.1 mm²

(d) 基礎ボルトの応力評価方法

基礎ボルトの許容応力評価条件を表 6.6.1-3 に、許容応力の算出方法を表 6.6.1-4 に示す。

表 6.6.1-3 使用材料の許容応力評価条件（設計基準対象施設）

評価部材	材料	温度条件 （℃）		S_y (MPa)	S_u (MPa)	S_y (R T) (MPa)
基礎ボルト (原子炉建屋屋上)	SNB7 ($d \leq 63$)	周囲環境 温度	40	725	860	—
基礎ボルト (防潮堤)	SNB7 ($d \leq 63$)	周囲環境 温度	40	725	860	—

表 6.6.1-4 許容応力（その他の支持構造物）

許容応力状態	許容応力 ^{*1, *2} (ボルト等)	
	一次応力	
	引張り	せん断
III _A S	$1.5 \cdot f_t$	$1.5 \cdot f_s$

注記^{*1}：応力の組合せが考えられる場合には、組合せ応力に対しても評価を行う。

^{*2}：当該の応力が生じない場合、規格基準で省略可能とされている場合及び他の応力で代表可能である場合は評価を省略する。

イ 原子炉建屋屋上の許容応力

(イ) 許容引張応力

許容引張応力 f_{t_s}

$$f_{t_s} = \text{Min} (1.4 \cdot f_{t_o} - 1.6 \cdot \tau_b, f_{t_o}) \cdot 0.8$$

$$f_{t_o} = \frac{F}{2} \cdot 1.5$$

$$= \frac{602}{2} \cdot 1.5$$

$$= \underline{451 \text{ MPa}}$$

$$f_{t_s} = \text{Min} (1.4 \cdot 451 - 1.6 \cdot 64, 451) \cdot 0.8$$

$$= \text{Min} (529, 451) \cdot 0.8$$

$$= \underline{360 \text{ MPa}}$$

注：JEAG4601・補-1984に基づき，後施工アンカの許容応力は20%低減を考慮する。

(ロ) 許容せん断応力

許容せん断応力 f_{s_b}

$$f_{s_b} = \frac{F}{1.5\sqrt{3}} \cdot 1.5 \cdot 0.8$$

$$= \frac{602}{1.5\sqrt{3}} \cdot 1.5 \cdot 0.8$$

$$= \underline{278 \text{ MPa}}$$

注：JEAG4601・補-1984に基づき，後施工アンカの許容応力は20%低減を考慮する。

□ 防潮堤の許容応力

(イ) 許容引張応力

許容引張応力 f_{t_s}

$$f_{t_s} = \text{Min} (1.4 \cdot f_{t_o} - 1.6 \cdot \tau_b, f_{t_o}) \cdot 0.8$$

$$f_{t_o} = \frac{F}{2} \cdot 1.5$$

$$= \frac{602}{2} \cdot 1.5$$

$$= \underline{451 \text{ MPa}}$$

$$f_{t_s} = \text{Min} (1.4 \cdot 451 - 1.6 \cdot 5, 451) \cdot 0.8$$

$$= \text{Min} (623, 451) \cdot 0.8$$

$$= \underline{360 \text{ MPa}}$$

注：JEAG4601・補－1984に基づき，後施工アンカの許容応力は20%低減を考慮する。

(ロ) 許容せん断応力

許容せん断応力 f_{s_b}

$$f_{s_b} = \frac{F}{1.5\sqrt{3}} \cdot 1.5 \cdot 0.8$$

$$= \frac{602}{1.5\sqrt{3}} \cdot 1.5 \cdot 0.8$$

$$= \underline{278 \text{ MPa}}$$

注：JEAG4601・補－1984に基づき，後施工アンカの許容応力は20%低減を考慮する。

(e) 監視カメラ架台の計算方法

監視カメラ架台は、三次元はりモデルによる個別解析から監視カメラ架台の内力を求めて、その結果を用いて手計算にて計算する。

監視カメラ架台に作用する力は図 6.6.1-8 及び図 6.6.1-9 に示す。

イ 原子炉建屋屋上の監視カメラ架台

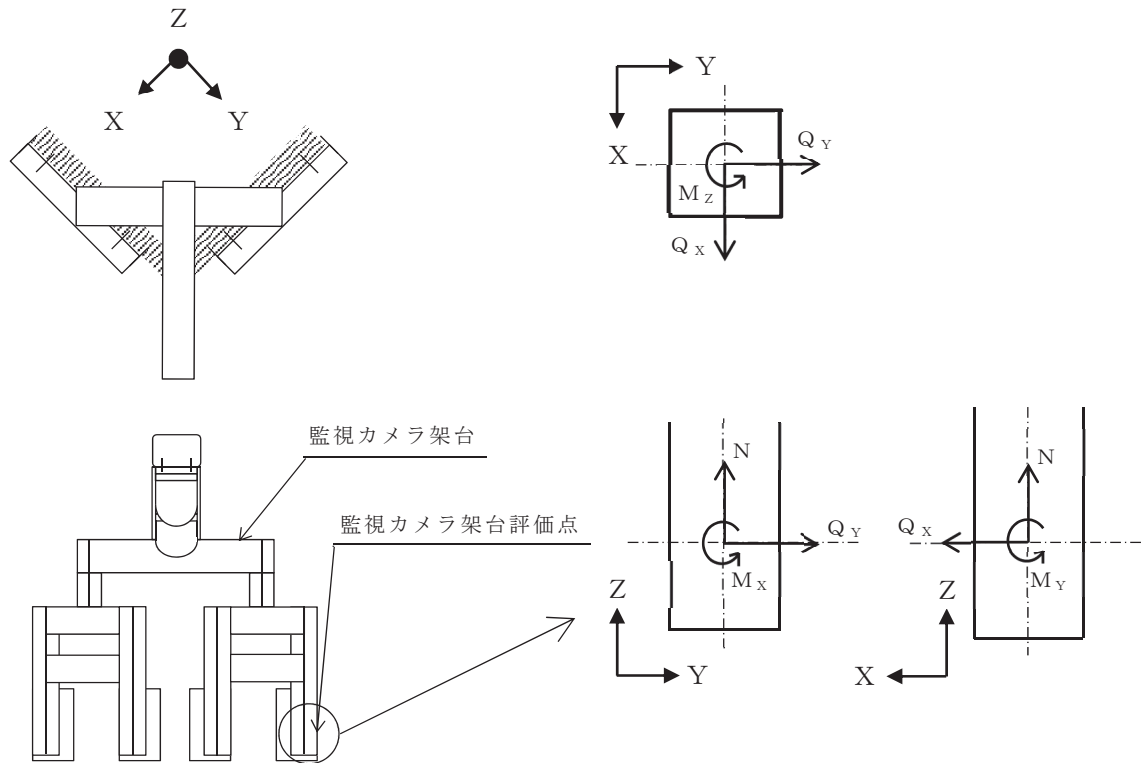


図 6.6.1-8 計算モデル（原子炉建屋屋上 監視カメラ架台）

原子炉建屋屋上の監視カメラ架台に作用する圧縮応力 σ_c 、曲げ応力 σ_{b_x} 、 σ_{b_y} 、せん断応力 τ_x 、 τ_y 及び組合せ応力 σ_m は次式より求める。

$$\sigma_c = \frac{|N|}{A} = \frac{5.031 \cdot 10^4}{6.667 \cdot 10^3} = 7.54 = 8 \text{ MPa}$$

$$\sigma_{b_x} = \frac{M_x}{Z_x} = \frac{9.791 \cdot 10^6}{3.99 \cdot 10^5} = 24.53 = 25 \text{ MPa}$$

$$\sigma_{b_y} = \frac{M_y}{Z_y} = \frac{1.560 \cdot 10^7}{3.99 \cdot 10^5} = 39.09 = 40 \text{ MPa}$$

$$\tau_{s_x} = \frac{Q_x}{A_{s_x}} = \frac{1.854 \cdot 10^4}{2.628 \cdot 10^3} = 7.05 = 8 \text{ MPa}$$

$$\tau_{s_y} = \frac{Q_y}{A_{s_y}} = \frac{2.190 \cdot 10^4}{2.628 \cdot 10^3} = 8.33 = 9 \text{ MPa}$$

$$\tau_t = \frac{M_z}{\alpha} = \frac{2.248 \cdot 10^5}{6.567 \cdot 10^5} = 0.34 = 1 \text{ MPa}$$

$$\tau_x = \tau_{sx} + \tau_t = 8 + 1 = 9 \text{ MPa}$$

$$\tau_y = \tau_{sy} + \tau_t = 9 + 1 = 10 \text{ MPa}$$

$$\sigma_m = \sqrt{(\sigma_c + \sigma_{bx} + \sigma_{by})^2 + 3\tau^2}$$

$$\tau = \text{Max} (\tau_x, \tau_y)$$

$$= \text{Max}(9, 10)$$

$$= 10 \text{ MPa}$$

$$\sigma_m = \sqrt{(8 + 25 + 40)^2 + 3 \cdot 10^2}$$

$$= 75.02$$

$$= 76 \text{ MPa}$$

ここで、 N , M_x , M_y , Q_x , Q_y は原子炉建屋屋上の監視カメラ架台に作用する力及びモーメントであり解析により求まる。

□ 防潮堤の監視カメラ架台

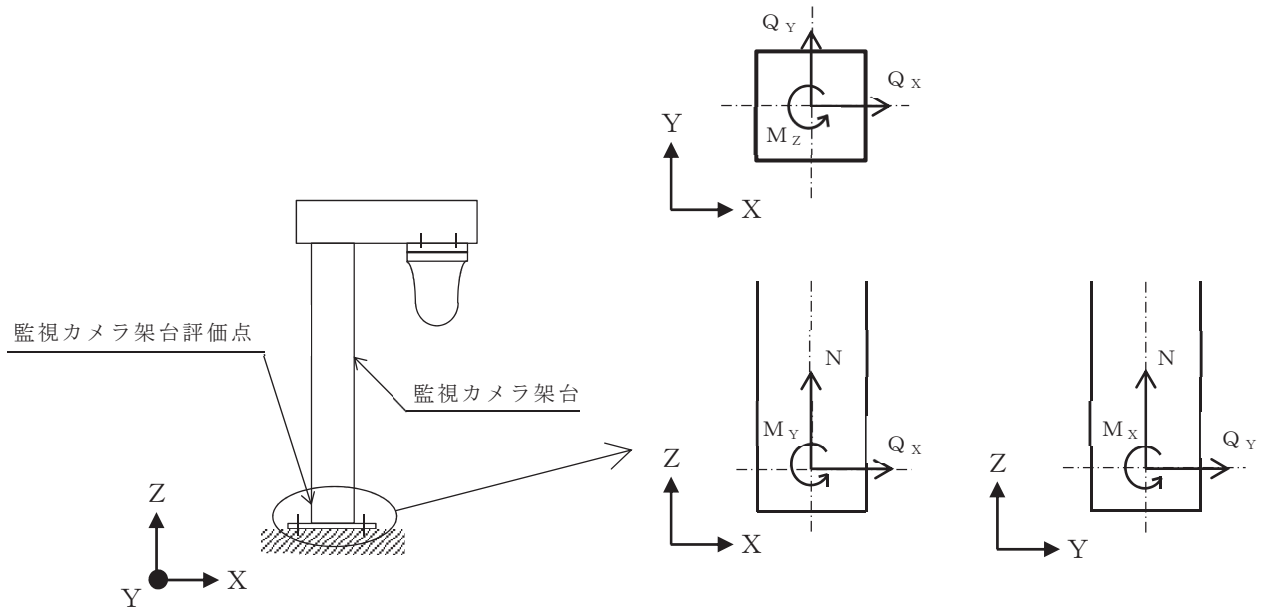


図 6.6.1-9 計算モデル（防潮堤 監視カメラ架台）

防潮堤の監視カメラ架台に作用する圧縮応力 σ_c ，曲げ応力 σ_{bx} ， σ_{by} ，せん断応力 τ_x ， τ_y 及び組合せ応力 σ_m は次式より求める。

$$\sigma_c = \frac{|N|}{A} = \frac{2.543 \cdot 10^3}{6.667 \cdot 10^3} = 0.38 = \underline{1 \text{ MPa}}$$

$$\sigma_{bx} = \frac{M_x}{Z_x} = \frac{0}{4.38 \cdot 10^5} = \underline{0 \text{ MPa}}$$

$$\sigma_{by} = \frac{M_y}{Z_y} = \frac{2.664 \cdot 10^6}{3.30 \cdot 10^5} = 8.07 = \underline{9 \text{ MPa}}$$

$$\tau_{sx} = \frac{Q_x}{A_{sx}} = \frac{3.566 \cdot 10^3}{1.728 \cdot 10^3} = 2.06 = \underline{3 \text{ MPa}}$$

$$\tau_{sy} = \frac{Q_y}{A_{sy}} = \frac{0}{3.528 \cdot 10^3} = \underline{0 \text{ MPa}}$$

$$\tau_t = \frac{M_z}{\alpha} = \frac{0}{6.117 \cdot 10^5} = \underline{0 \text{ MPa}}$$

$$\tau_x = \tau_{sx} + \tau_t = 3 + 0 = \underline{3 \text{ MPa}}$$

$$\tau_y = \tau_{sy} + \tau_t = 0 + 0 = \underline{0 \text{ MPa}}$$

$$\sigma_m = \sqrt{(\sigma_c + \sigma_{bx} + \sigma_{by})^2 + 3\tau^2}$$

$$\tau = \text{Max} (\tau_x, \tau_y)$$

$$= \text{Max} (3, 0)$$

$$= \underline{3 \text{ MPa}}$$

$$\sigma_m = \sqrt{(1+0+9)^2 + 3 \cdot 3^2}$$

$$= 11.26$$

$$= \underline{12 \text{ MPa}}$$

ここで、 N , M_x , M_y , Q_x , Q_y は監視カメラ架台に作用する力であり
解析により求まる。

ハ 監視カメラ架台の応力計算方法

(イ) 圧縮

監視カメラ架台の圧縮応力 σ_c は下式を満足すること。

$$\frac{\sigma_c}{1.5 \cdot f_c} \leqq 1$$

(ロ) 曲げ

監視カメラ架台の曲げ応力 σ_{bx} , σ_{by} は下式を満足すること。

$$\frac{\sigma_{bx}}{1.5 \cdot f_{bx}} \leqq 1$$

$$\frac{\sigma_{by}}{1.5 \cdot f_{by}} \leqq 1$$

(ハ) せん断

監視カメラ架台のせん断応力 τ_v , τ_h は下式を満足すること。

$$\frac{\tau_x}{1.5 \cdot f_s} \leqq 1$$

$$\frac{\tau_y}{1.5 \cdot f_s} \leqq 1$$

(二) 組合せ

監視カメラ架台の組合せ応力は下式を満足すること。

$$\frac{\sqrt{(\sigma_c + \sigma_{bx} + \sigma_{by})^2 + 3\tau^2}}{1.5 \cdot f_t} \leqq 1$$

ここで, $\tau = \text{Max}(\tau_x, \tau_y)$

(f) 応力の評価方法

監視カメラ架台の許容応力評価条件を表 6.6.1-5 に、許容応力の算出方法を表 6.6.1-6 に示す。

表 6.6.1-5 使用材料の許容応力評価条件（設計基準対象施設）

評価部材	材料	温度条件 （℃）		S_y (MPa)	S_u (MPa)	S_y (R T) (MPa)
監視カメラ架台 (原子炉建屋屋上)	STKR400	周囲環境 温度	40	245	400	—
監視カメラ架台 (防潮堤)	STKR400	周囲環境 温度	40	245	400	—

表 6.6.1-6 許容応力（その他の支持構造物）

許容応力状態	許容応力 ^{*1, *2} (ボルト等以外)			
	一次応力			
	引張り	せん断	圧縮	曲げ
III _A S	$1.5 \cdot f_t$	$1.5 \cdot f_s$	$1.5 \cdot f_c$	$1.5 \cdot f_b$

注記*1：応力の組合せが考えられる場合には、組合せ応力に対しても評価を行う。

*2：当該の応力が生じない場合、規格基準で省略可能とされている場合及び他の応力で代表可能である場合は評価を省略する。

(g) 計算条件

評価に用いる数値を表 6.6.1-7 及び表 6.6.1-8 に示す。

表 6.6.1-7 計算条件（原子炉建屋屋上）

項目	記号	単位	数値等
運転時質量	m	kg	1834
水平方向設計震度	C _H	—	7.28
鉛直方向設計震度	C _V	—	2.09
風荷重の減速圧	q	N/m ²	1610
風力係数	C _f	—	2.4
積雪の垂直堆積量	d _s	cm	43
積雪の単位荷重	ρ _s	N/m ² /cm	20
基礎ボルトの呼び径	d	mm	22
基礎ボルトの軸断面積	A _b	mm ²	380.1
基礎ボルトの本数	n	—	4
せん断力のみを受ける基礎ボルトの許容せん断応力	f _{s b}	MPa	278
引張力のみを受ける基礎ボルトの許容引張応力	f _{t o}	MPa	451
引張力とせん断力を同時に受ける基礎ボルトの許容引張応力	f _{t s}	MPa	360
基礎ボルト中心間距離	L _{p 1}	mm	400
基礎ボルト中心間距離	L _{p 2}	mm	400
基礎ボルト中心から基礎部中心までの距離	r	mm	283

表 6.6.1-8 計算条件（防潮堤）

項目	記号	単位	数値等
運転時質量	m	kg	121
水平方向設計震度	C _H	—	1.69
鉛直方向設計震度	C _V	—	1.21
風荷重の減速圧	q	N/m ²	1340
風力係数	C _f	—	2.4
積雪の垂直堆積量	d _s	cm	43
積雪の単位荷重	ρ _s	N/m ² /cm	20
基礎ボルトの呼び径	d	mm	16
基礎ボルトの軸断面積	A _b	mm ²	201.1
基礎ボルトの本数	n	—	4
せん断力のみを受ける基礎ボルトの許容せん断応力	f _{s b}	MPa	278
引張力のみを受ける基礎ボルトの許容引張応力	f _{t o}	MPa	451
引張力とせん断力を同時に受ける基礎ボルトの許容引張応力	f _{t s}	MPa	360
基礎ボルト中心間距離	L _{p1}	mm	220
基礎ボルト中心間距離	L _{p2}	mm	320
基礎ボルト中心から基礎部中心までの距離	r	mm	194

(h) 部材の機器要目

部材の機器要目を表 6.6.1-9 及び表 6.6.1-10 に示す。

表 6.6.1-9 (1) 部材の機器要目 (原子炉建屋屋上)

機器名称			津波監視カメラ (原子炉建屋屋上)			
対象要素		柱 (下段)	梁 (下段)	柱 (中段)	梁 (中段)	
材料		STKR400	STKR400	STKR400	STKR400	
寸法	mm	200×200×9	200×200×9	200×200×9	250×250×9	
断面積	A	mm ²	6.667×10 ³	6.667×10 ³	6.667×10 ³	
断面二次モーメント	I _x	mm ⁴	3.99×10 ⁷	3.99×10 ⁷	3.99×10 ⁷	
	I _y	mm ⁴	3.99×10 ⁷	3.99×10 ⁷	3.99×10 ⁷	
ねじり定数	J	mm ⁴	6.271×10 ⁷	6.271×10 ⁷	6.271×10 ⁷	
せん断面積	A _{s_x}	mm ²	2.628×10 ³	2.628×10 ³	2.628×10 ³	
	A _{s_y}	mm ²	2.628×10 ³	2.628×10 ³	2.628×10 ³	
断面係数	Z _x	mm ³	3.99×10 ⁵	3.99×10 ⁵	3.99×10 ⁵	
	Z _y	mm ³	3.99×10 ⁵	3.99×10 ⁵	3.99×10 ⁵	

表 6.6.1-9 (2) 部材の機器要目 (原子炉建屋屋上)

機器名称			津波監視カメラ (原子炉建屋屋上)			
対象要素		柱 (上段)	梁 (上段)	梁 (カメラ設置部)	カメラ台	
材料		STKR400	STKR400	STKR400	STKR400	
寸法	mm	250×250×9	250×150×6	250×150×4.5	250×250×6	
断面積	A	mm ²	8.467×10 ³	4.563×10 ³	3.432×10 ³	
断面二次モーメント	I _x	mm ⁴	8.09×10 ⁷	3.89×10 ⁷	2.949×10 ⁷	
	I _y	mm ⁴	8.09×10 ⁷	1.77×10 ⁷	1.353×10 ⁷	
ねじり定数	J	mm ⁴	1.260×10 ⁸	3.818×10 ⁷	2.937×10 ⁷	
せん断面積	A _{s_x}	mm ²	3.528×10 ³	1.368×10 ³	1.107×10 ³	
	A _{s_y}	mm ²	3.528×10 ³	2.568×10 ³	2.007×10 ³	
断面係数	Z _x	mm ³	6.47×10 ⁵	3.11×10 ⁵	2.359×10 ⁵	
	Z _y	mm ³	6.47×10 ⁵	2.36×10 ⁵	1.804×10 ⁵	

表 6.6.1-10 部材の機器要目（防潮堤）

機器名称		津波監視カメラ（防潮堤）			
対象要素		梁	梁 (カメラ設置部)	柱	
材料		STKR400	STKR400	STKR400	
断面形状		角形鋼管	角形鋼管	角形鋼管	
寸法		mm	250×150×6	250×150×4.5	250×150×9
断面積	A	mm ²	4.563×10 ³	3.432×10 ³	6.667×10 ³
断面二次モーメント	I _x	mm ⁴	3.89×10 ⁷	2.949×10 ⁷	5.48×10 ⁷
	I _y	mm ⁴	1.77×10 ⁷	1.353×10 ⁷	2.47×10 ⁷
ねじり定数	J	mm ⁴	3.818×10 ⁷	2.937×10 ⁷	5.441×10 ⁷
せん断面積	A _{s_x}	mm ²	1.368×10 ³	1.107×10 ³	1.728×10 ³
	A _{s_y}	mm ²	2.568×10 ³	2.007×10 ³	3.528×10 ³
断面係数	Z _x	mm ³	3.11×10 ⁵	2.359×10 ⁵	4.38×10 ⁵
	Z _y	mm ³	2.36×10 ⁵	1.804×10 ⁵	3.30×10 ⁵

(i) 構造強度評価結果

基礎ボルトの構造強度評価の結果を表 6.6.1-11 に示す。発生応力が許容応力以下であることから、基礎ボルトが構造健全性を有することを確認した。

表 6.6.1-11 基礎ボルトの応力評価結果

評価部位	設置場所	評価応力	発生応力 (MPa)	許容応力 (MPa)
基礎ボルト	原子炉建屋 屋上	引張り	$\sigma_b = 69$	$f_{t_s} = 360^*$
		せん断	$\tau_b = 83$	$f_{s_b} = 278$
基礎ボルト	防潮堤	引張り	$\sigma_b = 29$	$f_{t_s} = 360^*$
		せん断	$\tau_b = 7$	$f_{s_b} = 278$

注記 * : $f_{s_b} = \text{Min}[1.4 \cdot f_{t_o} - 1.6 \cdot \tau_b, f_{t_o}]$

監視カメラ架台の構造強度評価の結果を表 6.6.1-12 に示す。発生応力が許容応力以下であることから、監視カメラ架台が構造健全性を有することを確認した。

表 6.6.1-12 監視カメラ架台の応力評価結果

評価部位	設置場所	応力		発生応力 (MPa)	許容応力 (MPa)
監視 カメラ 架台	原子炉 建屋 屋上	圧縮		$\sigma_c = 8$	$1.5 \cdot f_c = 224$
		曲げ	X 方向	$\sigma_{b_x} = 25$	$1.5 \cdot f_{b_x} = 245$
			Y 方向	$\sigma_{b_y} = 40$	$1.5 \cdot f_{b_y} = 245$
		せん断	X 方向	$\tau_x = 9$	$1.5 \cdot f_s = 141$
			Y 方向	$\tau_y = 10$	$1.5 \cdot f_s = 141$
		組合せ	垂直+せん断	$\sigma_m = 76$	$1.5 \cdot f_t = 245$
		圧縮		$\sigma_c = 1$	$1.5 \cdot f_c = 223$
監視 カメラ 架台	防潮堤	曲げ	X 方向	$\sigma_{b_x} = 0$	$1.5 \cdot f_{b_x} = 245$
			Y 方向	$\sigma_{b_y} = 9$	$1.5 \cdot f_{b_y} = 245$
		せん断	X 方向	$\tau_x = 3$	$1.5 \cdot f_s = 141$
			Y 方向	$\tau_y = 0$	$1.5 \cdot f_s = 141$
		組合せ	垂直+せん断	$\sigma_m = 12$	$1.5 \cdot f_t = 245$

(2) 津波監視設備制御盤

a. 一般事項

図 6.6.1-10 に津波監視制御盤の概略構造図を示す。

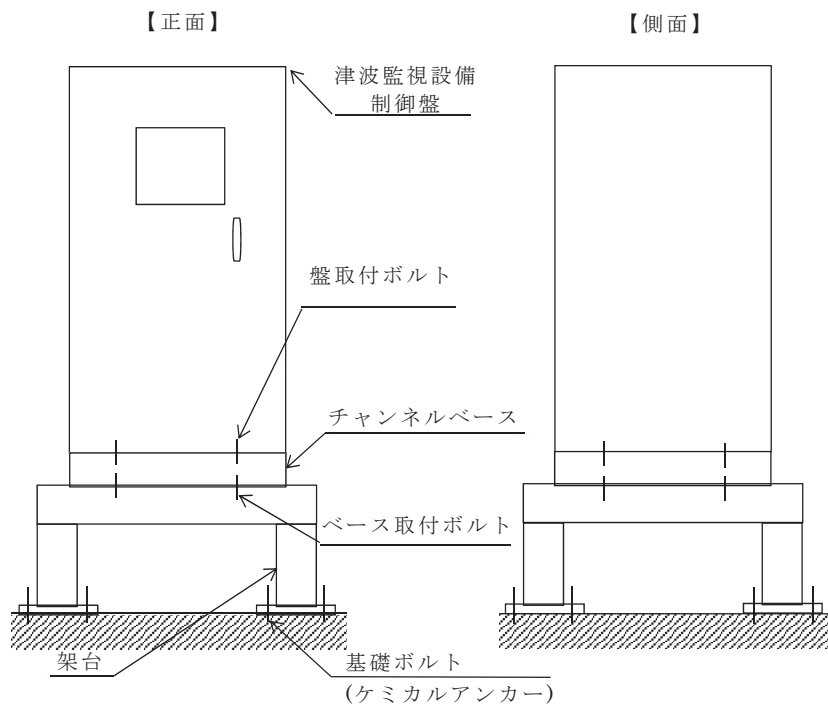


図 6.6.1-10 概略構造図（津波監視設備制御盤）

b. 固有周期

津波監視設備制御盤の固有周期は、振動試験装置により固有振動数（共振周波数）を測定する。測定の結果、固有周期は 0.05 秒以下であり、剛であることを確認した。

c. 構造強度評価

(a) 評価条件

評価に用いる設計用地震力を表 6.6.1-13 に示す。

津波監視設備制御盤の構造強度評価は、添付書類「VI-2-1-13-7 盤の耐震性についての計算書作成の基本方針」に記載の耐震計算方法に基づき行う。

表 6.6.1-13 設計用地震力

機器名称	据付場所 及び 床面高さ (m)	弾性設計用地震動 S_d 又は静的震度		基準地震動 S_s	
		水平方向 設計震度	鉛直方向 設計震度	水平方向 設計震度	鉛直方向 設計震度
津波監視設備 制御盤	制御建屋 O.P. 22.95*	—	—	$C_H = 2.78$	$C_V = 2.00$

注記 * : 基準床レベルを示す。

<雰囲気温度>

40°C (中央制御室)

(b) 応力計算

イ 引張応力

(イ) 盤取付ボルト

盤取付ボルトに作用する引張力 F_{b1}

$$F_{b1} = \frac{m_1 \cdot C_H \cdot h_1 \cdot g - m_1 \cdot (1-C_V) \cdot l_{21} \cdot g}{n_{f1} \cdot (l_{11} + l_{21})}$$

$$= \frac{955 \cdot 2.78 \cdot 2300 \cdot 9.80665 - 955 \cdot (1-2.00) \cdot 920 \cdot 9.80665}{4 \cdot (0+920)}$$

$$= \underline{1.861 \times 10^4 \text{ N}}$$

盤取付ボルトに作用する引張応力 σ_{b1}

$$\sigma_{b1} = \frac{F_{b1}}{A_{b1}}$$

$$= \frac{1.861 \cdot 10^4}{201.1}$$

$$= \underline{93 \text{ MPa}}$$

(ロ) ベース取付ボルト

ベース取付ボルトに作用する引張力 F_{b2}

$$F_{b2} = \frac{m_2 \cdot C_H \cdot h_2 \cdot g - m_2 \cdot (1-C_V) \cdot l_{22} \cdot g}{n_{f2} \cdot (l_{12} + l_{22})}$$
$$= \frac{1145 \cdot 2.78 \cdot 2450 \cdot 9.80665 - 1145 \cdot (1-2.00) \cdot 920 \cdot 9.80665}{2 \cdot (0+920)}$$
$$= \underline{4.718 \cdot 10^4 \text{ N}}$$

ベース取付ボルトに作用する引張応力 σ_{b2}

$$\sigma_{b2} = \frac{F_{b2}}{A_{b2}}$$
$$= \frac{4.718 \cdot 10^4}{314.2}$$
$$= \underline{151 \text{ MPa}}$$

(ハ) 基礎ボルト

基礎ボルトに作用する引張力 F_{b3}

$$F_{b3} = \frac{m_3 \cdot C_H \cdot h_3 \cdot g - m_3 \cdot (1-C_V) \cdot l_{23} \cdot g}{n_{f3} \cdot (l_{13} + l_{23})}$$
$$= \frac{1650 \cdot 2.78 \cdot 2950 \cdot 9.80665 - 1650 \cdot (1-2.00) \cdot 1082.5 \cdot 9.80665}{4 \cdot (62.5 + 1082.5)}$$
$$= \underline{3.280 \times 10^4 \text{ N}}$$

基礎ボルトに作用する引張応力 σ_{b3}

$$\sigma_{b3} = \frac{F_{b3}}{A_{b3}}$$
$$= \frac{3.280 \cdot 10^4}{201.1}$$
$$= \underline{164 \text{ MPa}}$$

ロ せん断応力

(イ) 盤取付ボルト

盤取付ボルトに作用するせん断力 Q_{b1}

$$Q_{b1} = m_1 \cdot C_H \cdot g$$
$$= 955 \cdot 2.78 \cdot 9.80665$$
$$= \underline{2.604 \cdot 10^4 \text{ N}}$$

盤取付ボルト 1 本あたりに作用するせん断応力 τ_{b1}

$$\tau_{b1} = \frac{Q_{b1}}{n_1 \cdot A_{b1}}$$

$$= \frac{2.604 \cdot 10^4}{12 \cdot 201.1}$$

$$= 11 \text{ MPa}$$

(ロ) ベース取付ボルト

ベース取付ボルトに作用するせん断力 Q_{b2}

$$Q_{b2} = m_2 \cdot C_H \cdot g$$

$$= 1145 \cdot 2.78 \cdot 9.80665$$

$$= 3.122 \cdot 10^4 \text{ N}$$

盤取付ボルト 1 本あたりに作用するせん断応力 τ_{b2}

$$\tau_{b2} = \frac{Q_{b2}}{n_2 \cdot A_{b2}}$$

$$= \frac{3.122 \cdot 10^4}{16 \cdot 314.2}$$

$$= 7 \text{ MPa}$$

(ハ) 基礎ボルト

基礎ボルトに作用するせん断力 Q_{b3}

$$Q_{b3} = m_3 \cdot C_H \cdot g$$

$$= 1650 \cdot 2.78 \cdot 9.80665$$

$$= 4.498 \cdot 10^4 \text{ N}$$

基礎ボルト 1 本あたりに作用するせん断応力 τ_{b3}

$$\tau_{b3} = \frac{Q_{b3}}{n_3 \cdot A_{b3}}$$

$$= \frac{4.498 \cdot 10^4}{16 \cdot 201.1}$$

$$= 14 \text{ MPa}$$

(c) 応力の評価方法

許容応力評価条件を表 6.6.1-14 に示す。

表 6.6.1-14 使用材料の許容応力評価条件（設計基準対象施設）

評価部材	材料	温度条件 (°C)		$S_{y,i}$ (MPa)	$S_{u,i}$ (MPa)	F_i (MPa)	F_i^* (MPa)
取付ボルト ($i = 1$)	SS400 ($d \leq 16$)	周囲環境 温度	40	245	400	245	280
ベース取付ボルト ($i = 2$)	SS400 ($16 < d \leq 40$)	周囲環境 温度	40	235	400	235	280
基礎ボルト ($i = 3$)	SNB7 ($d \leq 63$)	周囲環境 温度	40	725	860	602	602

イ 許容引張応力

(イ) 盤取付ボルト

許容引張応力 $f_{t,s,1}$

$$f_{t,s,1} = \text{Min} (1.4 \cdot f_{t,o,1} - 1.6 \cdot \tau_{b,1}, f_{t,o,1})$$

$$f_{t,o,1} = \frac{F_1}{2} \cdot 1.5$$

$$= \frac{245}{2} \cdot 1.5$$

$$= \underline{183 \text{ MPa}}$$

$$f_{t,s,1} = \text{Min} (1.4 \cdot 183 - 1.6 \cdot 11, 183)$$

$$= \underline{183 \text{ MPa}}$$

(ロ) ベース取付ボルト

許容引張応力 $f_{t,s,2}$

$$f_{t,s,2} = \text{Min} (1.4 \cdot f_{t,o,2} - 1.6 \cdot \tau_{b,2}, f_{t,o,2})$$

$$f_{t,o,2} = \frac{F_2}{2} \cdot 1.5$$

$$= \frac{235}{2} \cdot 1.5$$

$$= \underline{176 \text{ MPa}}$$

$$f_{t,s1} = \text{Min} (1.4 \cdot 176 - 1.6 \cdot 7, 176) \\ = \underline{176 \text{ MPa}}$$

(ハ) 基礎ボルト

許容引張応力 $f_{t,s3}$

$$f_{t,s3} = \text{Min} (1.4 \cdot f_{t,o3} - 1.6 \cdot \tau_{b3}, f_{t,o3}) \cdot 0.8 \\ f_{t,o3} = \frac{F_3}{2} \cdot 1.5 \\ = \frac{602}{2} \cdot 1.5 \\ = \underline{451 \text{ MPa}}$$

$$f_{t,s3} = \text{Min} (1.4 \cdot 451 - 1.6 \cdot 14, 451) \cdot 0.8 \\ = \underline{360 \text{ MPa}}$$

注：JEAG4601・補-1984に基づき、後施工アンカの許容応力は20%低減を考慮する。

□ 許容せん断応力

(イ) 盤取付ボルト

許容せん断応力 $f_{s,b1}$

$$f_{s,b1} = \frac{F_1}{1.5 \cdot \sqrt{3}} \cdot 1.5 \\ = \frac{245}{1.5 \cdot \sqrt{3}} \cdot 1.5 \\ = \underline{141 \text{ MPa}}$$

(ロ) ベース取付ボルト

許容せん断応力 $f_{s,b2}$

$$f_{s,b2} = \frac{F_2}{1.5 \cdot \sqrt{3}} \cdot 1.5 \\ = \frac{235}{1.5 \cdot \sqrt{3}} \cdot 1.5 \\ = \underline{135 \text{ MPa}}$$

(ハ) 基礎ボルト

許容せん断応力 $f_{s\ b\ 3}$

$$\begin{aligned}f_{s\ b\ 3} &= \frac{F_3}{1.5 \cdot \sqrt{3}} \cdot 1.5 \cdot 0.8 \\&= \frac{602}{1.5 \cdot \sqrt{3}} \cdot 1.5 \cdot 0.8 \\&= \underline{\underline{278 \text{ MPa}}}\end{aligned}$$

注: JEAG4601・補-1984に基づき、後施工アンカの許容応力は20%低減を考慮する。

(d) 構造強度評価結果

構造強度評価の結果を表6.6.1-15に示す。発生応力が許容応力以下であることから、ボルトが構造健全性を有することを確認した。

表6.6.1-15 津波監視設備制御盤の構造強度評価

評価部位	評価応力	算出応力(MPa)	許容応力(MPa)
盤取付ボルト (i = 1)	引張り	$\sigma_{b1} = 93$	$f_{ts1} = 183^*$
	せん断	$\tau_{b1} = 11$	$f_{sb1} = 141$
ベース取付ボルト (i = 2)	引張り	$\sigma_{b2} = 151$	$f_{ts2} = 176^*$
	せん断	$\tau_{b2} = 7$	$f_{sb2} = 135$
基礎ボルト (i = 3)	引張り	$\sigma_{b3} = 164$	$f_{ts3} = 360^*$
	せん断	$\tau_{b3} = 14$	$f_{sb3} = 278$

注記*: $f_{ts} = \text{Min}[1.4 \cdot f_{to} - 1.6 \cdot \tau_b, f_{to}]$

すべて許容応力以下である。

6.6.2 取水ピット水位計の設計に関する補足説明

(1) 概要

本資料は、津波監視設備のうち取水ピット水位計の耐震計算の詳細について説明するものである。耐震計算にあたっては、添付書類「VI-2-1-9 機能維持の基本方針」にて設定している構造強度及び機能維持の設計方針に基づき、強度計算にあたっては、添付書類「VI-3-別添 3-1 津波への配慮が必要な施設の強度計算の方針」にて設定している構造強度及び機能維持の設計方針に基づき、取水ピット水位計の耐震計算書及び強度計算書に示した評価について補足するものである。対象となる取水ピット水位計の配置を図 6.6.2-1 に示す。

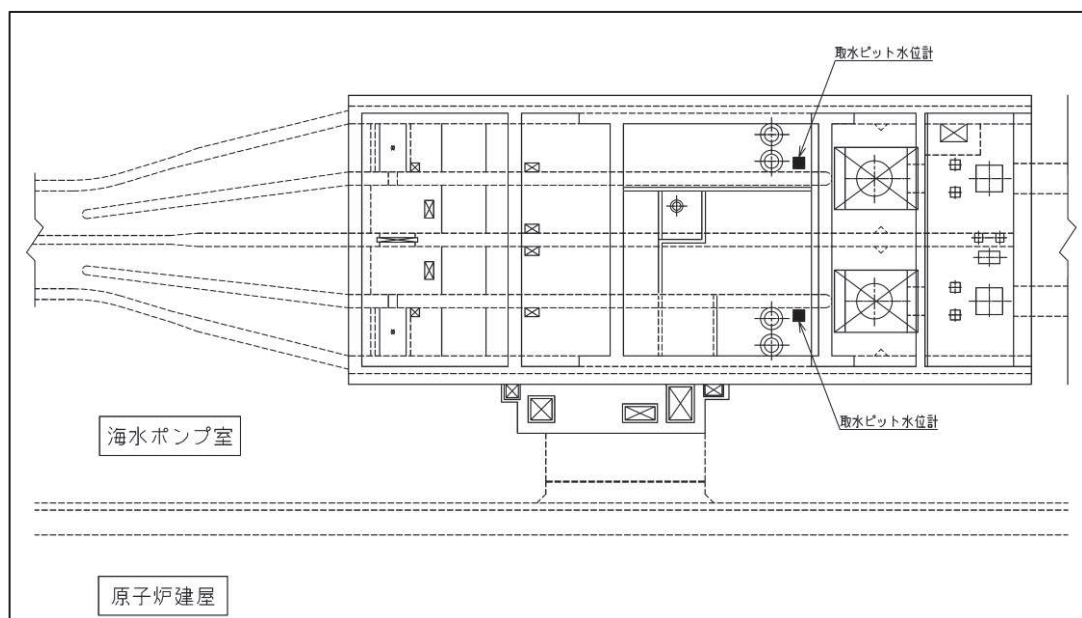


図 6.6.2-1 取水ピット水位計配置図

(2) 基本方針

取水ピット水位計の耐震計算は、表 6.6.2-1 に示す添付書類にて設定している構造強度及び機能維持の設計方針に基づき、取水ピット水位計が設計用地震力に対して十分な構造強度及び電気的機能を有していることを確認する。耐震計算にあたっては取水ピット水位計の構成機器を踏まえ評価対象機器を以下のとおり設定する。

表 6.6.2-1 評価対象機器

評価対象機器	参照する基本方針
a. 検出器	添付書類「VI-2-1-13-8 計装ラックの耐震性についての計算書作成の基本方針」
b. バブラー管	添付書類「VI-2-1-9 機能維持の基本方針」
c. バブラー管（フランジ部）	添付書類「VI-2-1-9 機能維持の基本方針」
d. アキュムレータ	添付書類「VI-2-1-13-1 スカート支持たて置円筒形容器の耐震性についての計算書作成の基本方針」
e. ボンベラック	添付書類「VI-2-1-9 機能維持の基本方針」
f. 管	添付書類「VI-2-1-13-6 管の耐震性についての計算書作成の基本方針」

取水ピット水位計の強度計算は、添付書類「VI-3-別添3-1 津波への配慮が必要な施設の強度計算の方針」にて設定している構造強度及び機能維持の設計方針に基づき、取水ピット水位計が津波荷重及び余震を考慮した荷重に対し、主要な構造部材が構造健全性を有することを確認する。

(3) 耐震計算における評価方法

a. 検出器

(a) 一般事項

図6.6.2-2に検出器の概略構造図を示す。

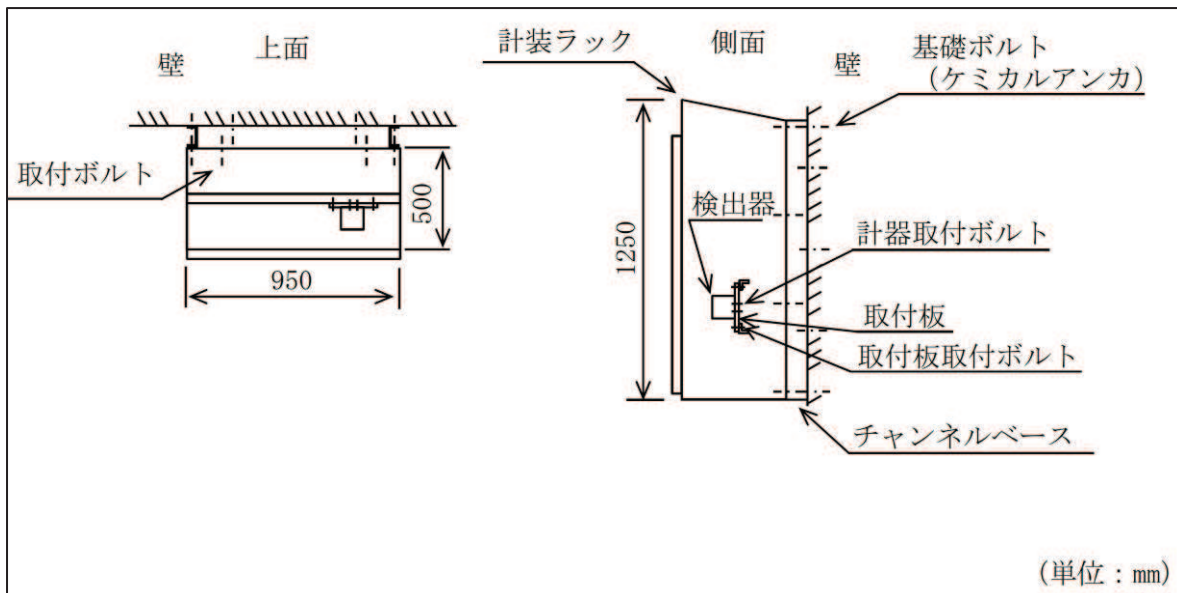


図6.6.2-2 検出器の概略構造図

(b) 評価条件

<設計用地震力>

設置場所（海水ポンプ室）の最大応答加速度を適用する。

S_s 水平方向震度 (C_H) : 2.76

鉛直方向震度 (C_V) : 2.21

<雰囲気温度>

40°C (屋外)

(c) 固有周期

検出器が設置される計装ラックの固有周期は、構造が同等であり、同様な振動特性を持つ計装ラックに対する振動試験（打振試験）にて求める。結果、固有周期は0.05秒以下であることを確認したため剛である。

(d) 応力計算

<耐震評価（基礎ボルト）>

①引張応力

基礎ボルトに作用する引張力 F_{b1}

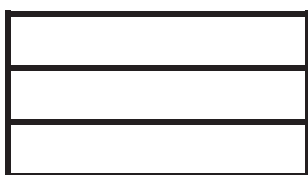
$$F_{b1} = \frac{m_1 \cdot (1 + C_V) \cdot h_1 \cdot g - m_1 \cdot C_H \cdot l_{11} \cdot g}{n_f v_1 \cdot l_{21}}$$

$$= 6981.50$$

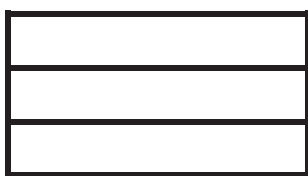
$$= 6.982 \times 10^3 \text{ (N)}$$

基礎ボルトに作用する引張応力 σ_{b1}

$$A_{b1} = \frac{\pi}{4} \cdot d_1^2$$



$$\sigma_{b1} = \frac{F_{b1}}{A_{b1}}$$



②せん断応力

基礎ボルトに作用するせん断力 Q_{b1}

$$Q_{b11} = m_1 \cdot C_H \cdot g$$

$$= 8661.23 \text{ (N)}$$

$$Q_{b21} = m_1 \cdot (1 + C_V) \cdot g$$

$$= 10073.3 \text{ (N)}$$

枠囲みの内容は商業機密の観点から公開できません。

$$\begin{aligned}
 Q_{b1} &= \sqrt{(Q_{b11})^2 + (Q_{b21})^2} \\
 &= \sqrt{((8661.23)^2 + (10073.3)^2)} \\
 &= 13284.8 \\
 &= 1.328 \times 10^3 \text{ (N)}
 \end{aligned}$$

基礎ボルトに作用するせん断応力 τ_{b1}

$$\tau_{b1} = \frac{Q_{b1}}{n_1 \cdot A_{b1}}$$

$$= \boxed{\quad}$$

$$= 11.7463$$

$$= 12 \text{ (MPa)}$$

③ F 値

設計温度における使用部材の設計降伏点 S_y と設計引張強さ S_u は 2005 設計・建設規格第 I 編 付録図表 Part5 表 8, 表 9 より

$$40^\circ\text{C} \text{における } S_{y1} = 205$$

$$40^\circ\text{C} \text{における } S_{u1} = 520$$

$$\begin{aligned}
 F_1 &= \min(S_{y1}, 0.7 S_{u1}) \\
 &= \min(205, 0.7 \times 520) \\
 &= \min(205, 364) \\
 &= 205 \text{ (MPa)}
 \end{aligned}$$

④ 許容引張応力

許容引張応力 f_{ts1}

$$f_{ts1} = \min(1.4 \times f_{tol} - 1.6 \times \tau_{b1}, f_{tol})$$

$$f_{tol} = F_1 / 2 \times 1.5$$

$$= 205 / 2 \times 1.5$$

$$= 153.75$$

$$= 153 \text{ (MPa)}$$

$$f_{ts1} = \min(1.4 \times 153.75 - 1.6 \times 11.7463, 153)$$

$$= \min(196, 153)$$

$$= 153 \text{ MPa}$$

枠囲みの内容は商業機密の観点から公開できません。

⑤許容せん断応力

許容せん断応力 $f_{s\text{bl}}$

$$\begin{aligned}f_{s\text{bl}} &= F_1 / (1.5 \times \sqrt{3}) \times 1.5 \\&= 205 / (1.5 \times \sqrt{3}) \times 1.5 \\&= 118.356 \\&= 118 \text{ (MPa)}$$

<耐震評価（取付ボルト）>

①引張応力

取付ボルトに作用する引張力 F_{b2}

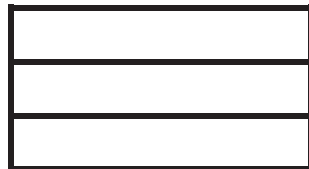
$$F_{b2} = \frac{m_2 \cdot (1 + C_V) \cdot h_2 \cdot g - m_2 \cdot C_H \cdot l_{12} \cdot g}{n_f v_2 \cdot \ell_{22}}$$

$$= 5722.23$$

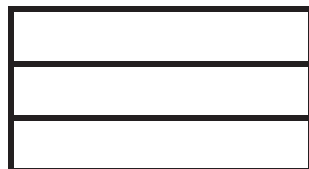
$$= 5.722 \times 10^3 \text{ (N)}$$

取付ボルトに作用する引張応力 σ_{b2}

$$A_{b2} = \frac{\pi}{4} \cdot d_2^2$$



$$\sigma_{b2} = \frac{F_{b2}}{A_{b2}}$$



②せん断応力

取付ボルトに作用するせん断力 Q_{b2}

$$Q_{b12} = m_2 \cdot C_H \cdot g$$



$$= 7578.57 \text{ (N)}$$

枠囲みの内容は商業機密の観点から公開できません。

$$Q_{b22} = m_2 \cdot (1 + C_v) \cdot g$$

$$\boxed{\quad}$$
$$= 8814.21 \text{ (N)}$$

$$Q_{b2} = \sqrt{(Q_{b12})^2 + (Q_{b22})^2}$$
$$= \sqrt{(7578.57)^2 + (8814.21)^2}$$
$$= 11624.3$$
$$= 1.162 \times 10^3 \text{ (N)}$$

取付ボルトに作用するせん断応力 τ_{b2}

$$\tau_{b2} = \frac{Q_{b2}}{n_2 \cdot A_{b2}}$$

$$\boxed{\quad}$$
$$= 12.8477$$
$$= 13 \text{ (MPa)}$$

③ F 値

設計温度における使用部材の設計降伏点 S_y と設計引張強さ S_u は 2005 設計・建設規格第 I 編 付録図表 Part5 表 8, 表 9 より

40°Cにおける $S_{y2}=205$

40°Cにおける $S_{u2}=520$

$$F_2 = \min(S_{y2}, 0.7 S_{u2})$$
$$= \min(205, 0.7 \times 520)$$
$$= \min(205, 364)$$
$$= 205 \text{ (MPa)}$$

枠囲みの内容は商業機密の観点から公開できません。

④許容引張応力

許容引張応力 f_{ts2}

$$f_{ts2} = \text{Min}(1.4 \times f_{to2} - 1.6 \times \tau_{b2}, f_{to2})$$

$$f_{to2} = F_2 / 2 \times 1.5$$

$$= 205 / 2 \times 1.5$$

$$= 153.75$$

$$\underline{= 153 \text{ (MPa)}}$$

$$f_{ts2} = \text{Min}(1.4 \times 153.75 - 1.6 \times 12.8477, 153)$$

$$= \text{Min}(194, 153)$$

$$\underline{= 153 \text{ (MPa)}}$$

⑤許容せん断応力

許容せん断応力 f_{sb2}

$$f_{sb2} = F_2 / (1.5 \times \sqrt{3}) \times 1.5$$

$$= 205 / (1.5 \times \sqrt{3}) \times 1.5$$

$$= 118.356$$

$$\underline{= 118 \text{ (MPa)}}$$

<耐震評価結果>

検出器の耐震評価結果を表 6.6.2-2 に示す。

表 6.6.2-2 検出器の耐震評価結果

部位	評価応力	発生応力 (MPa)	許容応力 (MPa)	判定 発生応力 ≤ 許容応力
基礎ボルト (i =1)	引張	62	153*	OK
	せん断	12	118	OK
取付ボルト (i =2)	引張	51	153*	OK
	せん断	13	118	OK

注記 * : $f_{tsi} = \text{Min}[1.4 \cdot f_{toi} - 1.6 \cdot \tau_{bi}, f_{toi}]$ より算出

b. バブラー管

(a) 一般事項

図6.6.2-3にバブラー管の概略構造図を示す。

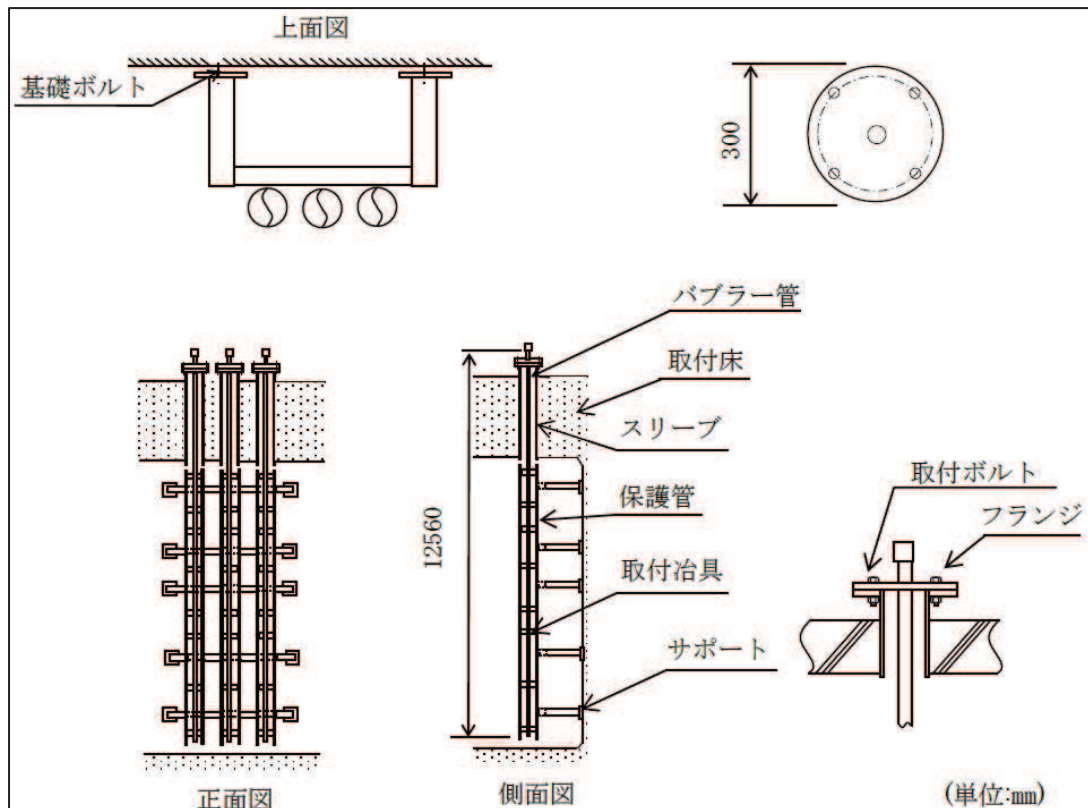


図6.6.2-3 バブラー管の概略構造図

(b) 評価条件

<設計用地震力>

設置場所（海水ポンプ室）の最大応答加速度を適用する。

S_s 水平方向震度 (C_H) : 1.67

鉛直方向震度 (C_V) : 1.94

<雰囲気温度>

40°C (屋外)

(c) 固有周期

バブラー管の固有周期は、3次元はりモデルによる固有値解析により求める。固有値解析の結果、固有周期が0.05秒以下であり、剛であることを確認している。バブラー管の解析モデルを図6.6.2-4に示す。

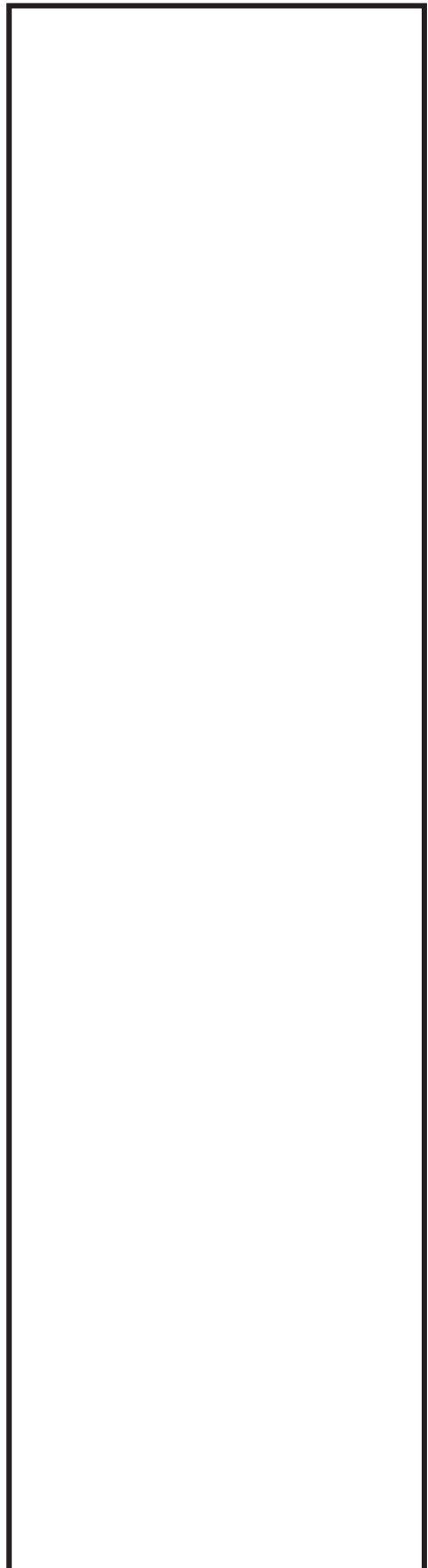


図 6.6.2-4 解析モデル（バブラー管）

枠囲みの内容は商業機密の観点から公開できません。

(d) 応力計算

<耐震評価（基礎ボルト）>

①引張応力

基礎ボルトに作用する引張力 F_b

$$F_b = \frac{F_Y}{n} + \frac{M_x}{\ell_1 \cdot n_x} + \frac{M_z}{\ell_2 \cdot n_z}$$

=762.336

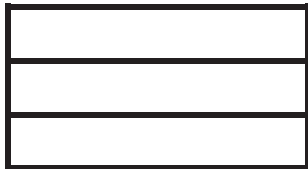
=762.3 (N)

基礎ボルトに作用する引張応力 σ_b

$$A_b = \frac{\pi}{4} \cdot d^2$$



$$\sigma_b = \frac{F_b}{A_b}$$



②せん断応力

基礎ボルトに作用するせん断力 Q_b

$$Q_b = \sqrt{\frac{F_Y^2 + F_Z^2}{n}} + \frac{M_x}{\ell_3 \cdot n}$$

=472.345

=472.3 (N)

$$\ell_3 = \text{Min}(\ell_1, \ell_2)$$



枠囲みの内容は商業機密の観点から公開できません。

基礎ボルトに作用するせん断応力 τ_b

$$\tau_b = \frac{Q_b}{A_b}$$



$$= 4.17645$$

$$= 5 \text{ (MPa)}$$

③ F 値

設計温度における使用部材の設計降伏点 S_y と設計引張強さ S_u は 2005 設計・建設規格第 I 編 付録図表 Part5 表 8, 表 9 より

40°Cにおける $S_y = 205$

40°Cにおける $S_u = 520$

$$F = \text{Min}(S_y, 0.7 S_u)$$

$$= \text{Min}(205, 0.7 \times 520)$$

$$= \text{Min}(205, 364)$$

$$= 205 \text{ MPa}$$

④ 許容引張応力

許容引張応力 f_{ts}

$$f_{ts} = \text{Min}(1.4 \times f_{to} - 1.6 \times \tau_b, f_{to})$$

$$f_{to} = F / 2 \times 1.5$$

$$= 205 / 2 \times 1.5$$

$$= 153.75$$

$$= 153 \text{ (MPa)}$$

$$f_{ts} = \text{Min}(1.4 \times 153.75 - 1.6 \times 4.17645, 153)$$

$$= \text{Min}(208, 153)$$

$$= 153 \text{ MPa}$$

⑤ 訸容せん断応力

許容せん断応力 f_{sb}

$$f_{sb} = F / (1.5 \times \sqrt{3}) \times 1.5$$

$$= 205 / (1.5 \times \sqrt{3}) \times 1.5$$

$$= 118.356$$

$$= 118 \text{ MPa}$$

枠囲みの内容は商業機密の観点から公開できません。

<耐震評価結果>

バブラー管の耐震評価結果を表 6.6.2-3 に示す。

表 6.6.2-3 バブラー管の耐震評価結果

部位	評価応力	発生応力 (MPa)	許容応力 (MPa)	判定 発生応力≤許容応力
基礎ボルト	引張	7	153*	OK
	せん断	5	118	OK

注記 * : $f_{t_s} = \text{Min}[1.4 \cdot f_{t_o} - 1.6 \cdot \tau_b, f_{t_o}]$ より算出

c. バブラー管（フランジ部）

(a) 一般事項

図6.6.2-5にバブラー管（フランジ部）の概略構造図を示す。

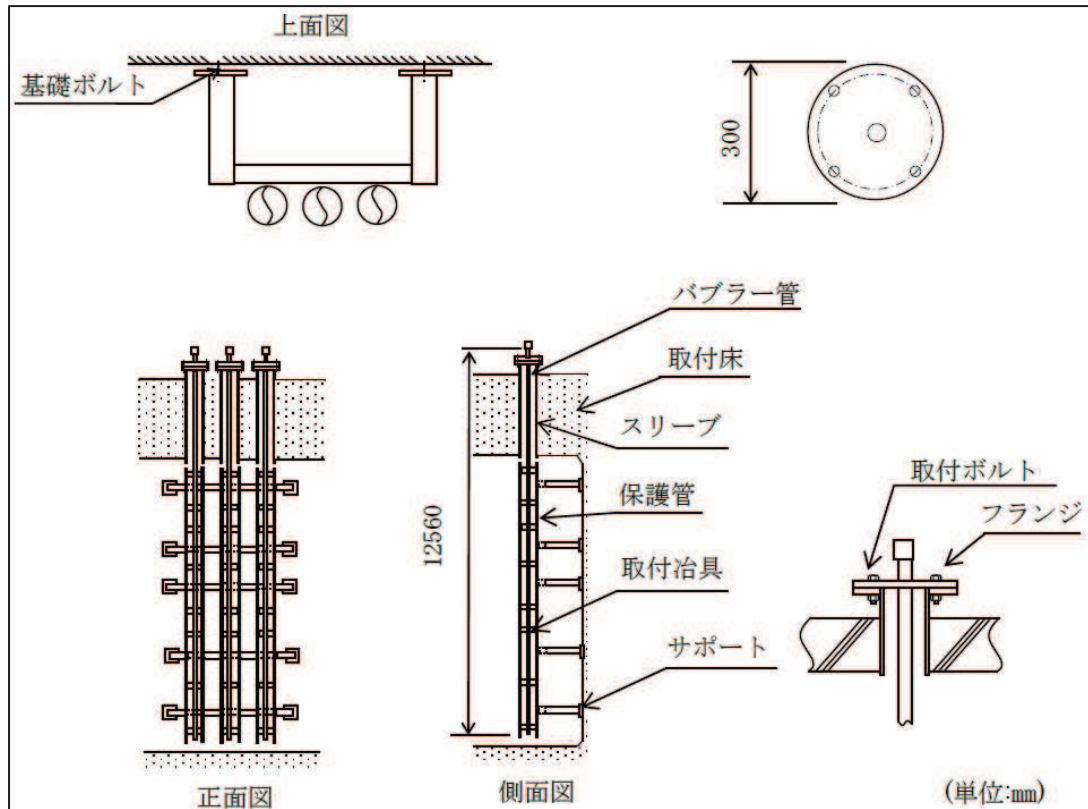


図6.6.2-5 バブラー管（フランジ部）の概略構造図

(b) 評価条件

<設計用地震力>

設置場所（海水ポンプ室）の最大応答加速度を適用する。

S_s 水平方向震度 (C_H) : 1.67

鉛直方向震度 (C_V) : 1.94

<雰囲気温度>

40°C (屋外)

(c) 固有周期

バブラー管（フランジ部）の固有周期は、3次元はりモデルによる固有値解析により求める。固有値解析の結果、固有周期が0.05秒以下であり、剛であることを確認している。バブラー管（フランジ部）の解析モデルを図6.6.2-6に示す。



図 6.6.2-6 解析モデル（バブラー管（フランジ部））

枠囲みの内容は商業機密の観点から公開できません。

(d) 応力計算

<耐震評価（取付ボルト）>

①引張応力

取付ボルトに作用する引張力 F_b

$$F_b = \frac{F_Y}{n} + \frac{M_x}{\ell_1 \cdot n_x} + \frac{M_z}{\ell_2 \cdot n_z}$$

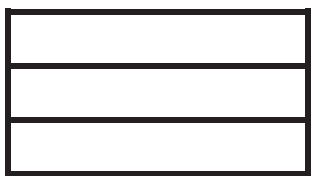


$$= 251.396$$

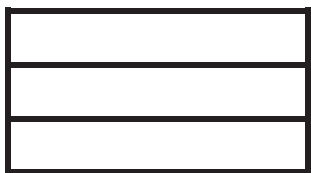
$$= 251.4 \text{ (N)}$$

取付ボルトに作用する引張応力 σ_b

$$A_b = \frac{\pi}{4} \cdot d^2$$



$$\sigma_b = \frac{F_b}{A_b}$$



②せん断応力

取付ボルトに作用するせん断力 Q_b

$$Q_b = \frac{\sqrt{F_Y^2 + F_Z^2}}{n}$$



$$= 15.75$$

$$= 15.75 \text{ (N)}$$

$$\ell_3 = \min(\ell_1, \ell_2)$$



枠囲みの内容は商業機密の観点から公開できません。

取付ボルトに作用するせん断応力 τ_b

$$\tau_b = \frac{Q_b}{A_b}$$



$$= 0.0501338$$

$$= 0 \text{ (MPa)}$$

③ F 値

設計温度における使用部材の設計降伏点 S_y と設計引張強さ S_u は 2005 設計・建設規格第 I 編 付録図表 Part5 表 8, 表 9 より

40°Cにおける $S_y = 205$

40°Cにおける $S_u = 520$

$$F = \text{Min}(S_y, 0.7 S_u)$$

$$= \text{Min}(205, 0.7 \times 520)$$

$$= \text{Min}(205, 364)$$

$$= 205 \text{ MPa}$$

④ 許容引張応力

許容引張応力 f_{ts}

$$f_{ts} = \text{Min}(1.4 \times f_{to} - 1.6 \times \tau_b, f_{to})$$

$$f_{to} = F / 2 \times 1.5$$

$$= 205 / 2 \times 1.5$$

$$= 153.75$$

$$= 153 \text{ (MPa)}$$

$$f_{ts} = \text{Min}(1.4 \times 153.75 - 1.6 \times 0.0501338, 153)$$

$$= \text{Min}(215, 153)$$

$$= 153 \text{ MPa}$$

⑤ 訸容せん断応力

許容せん断応力 f_{sb}

$$f_{sb} = F / (1.5 \times \sqrt{3}) \times 1.5$$

$$= 205 / (1.5 \times \sqrt{3}) \times 1.5$$

$$= 118.356$$

$$= 118 \text{ MPa}$$

枠囲みの内容は商業機密の観点から公開できません。

<耐震評価結果>

バブラー管（フランジ部）の耐震評価結果を表 6.6.2-4 に示す。

表 6.6.2-4 バブラー管（フランジ部）の耐震評価結果

部位	評価応力	発生応力 (MPa)	許容応力 (MPa)	判定 発生応力≤許容応力
取付ボルト	引張	1	153*	OK
	せん断	0	118	OK

注記 * : $f_{ts} = \text{Min}[1.4 \cdot f_{to} - 1.6 \cdot \tau_b, f_{to}]$ より算出

d. アキュムレータ

(a) 一般事項

図6.6.2-7にアキュムレータの概略構造図を示す。

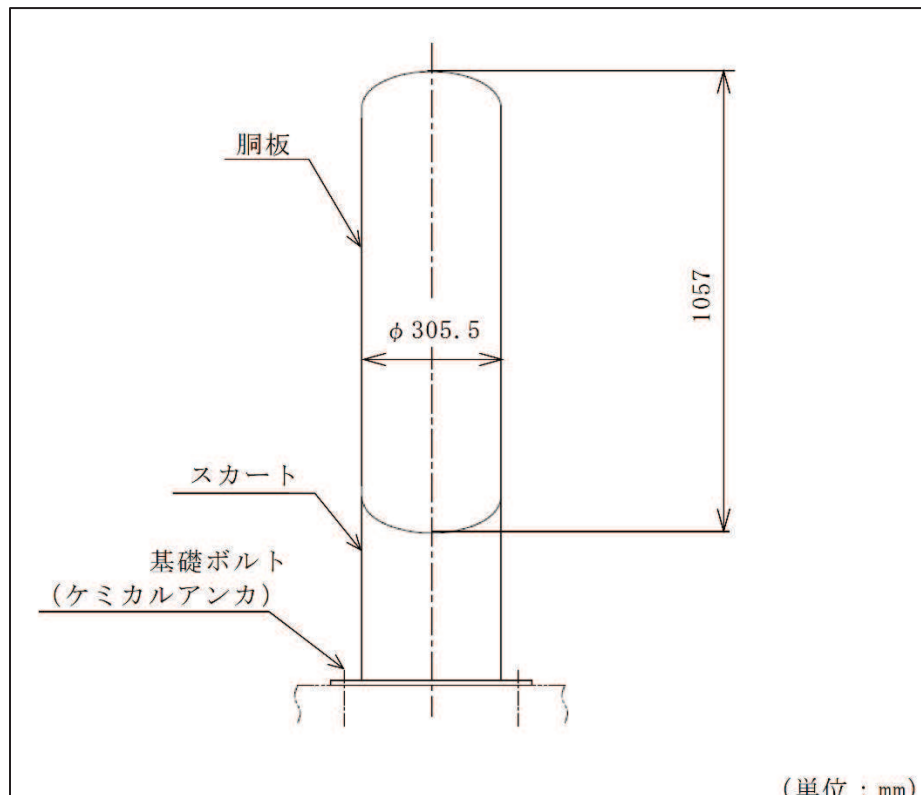


図6.6.2-7 アキュムレータの概略構造図

(b) 評価条件

<設計用地震力>

設置場所（海水ポンプ室）の最大応答加速度を適用する。

S_s 水平方向震度 (C_H) : 2.67

鉛直方向震度 (C_V) : 2.21

<雰囲気温度>

50°C (屋外)

66°C (最高使用温度 : 胴板に適用)

(c) 固有周期

アキュムレータの固有周期は、添付書類「VI-2-1-13-1 スカート支持たて置円筒形容器の耐震性についての計算書作成の基本方針」に記載の固有周期の計算方法に基づき算出する。計算の結果、固有周期が0.05秒以下であり、剛であることを確認している。

(d) 応力計算

<耐震評価（胴：一次一般膜応力）>

①内圧による応力

内圧により胴に生じる周方向応力 $\sigma_{\phi 1}$

$$\sigma_{\phi 1} = \frac{P_r \cdot (D_i + 1.2 \cdot t)}{2 \cdot t}$$

$$= 0.86 \times (305.5 + 1.2 \times 6.5) / (2 \times 6.5)$$

$$= 20.726$$

$$= 21 \text{ (MPa)}$$

静水頭に鉛直方向地震が加わり胴に生じる周方向応力 $\sigma_{\phi 2}$

$$\sigma_{\phi 2} = 0$$

$$= 0 \text{ (MPa)}$$

内圧により胴に生じる軸方向応力 $\sigma_{x 1}$

$$\sigma_{x 1} = \frac{P_r \cdot (D_i + 1.2 \cdot t)}{4 \cdot t}$$

$$= 0.86 \times (305.5 + 1.2 \times 6.5) / (4 \times 6.5)$$

$$= 10.363$$

$$= 11 \text{ (MPa)}$$

②運転時質量及び鉛直方向地震による応力

胴の運転時質量による軸方向引張応力 $\sigma_{x 2}$

$$\sigma_{x 2} = \frac{(m_0 - m_e) \cdot g}{\pi \cdot (D_i + t) \cdot t}$$

$$= 0.0615691$$

$$= 0 \text{ (MPa)}$$

胴の鉛直方向地震による軸方向引張応力 $\sigma_{x 5}$

$$\sigma_{x 5} = \frac{(m_0 - m_e) \cdot g \cdot C_V}{\pi \cdot (D_i + t) \cdot t}$$

$$= 0.136067$$

$$= 1 \text{ (MPa)}$$

枠囲みの内容は商業機密の観点から公開できません。

胴の運転時質量による軸方向引張応力 σ_{x3}

$$\sigma_{x3} = \frac{m_e \cdot g}{\pi \cdot (D_i + t) \cdot t}$$

$$= 0.138530$$

$$= 1 \text{ (MPa)}$$

胴の鉛直方向地震による軸方向引張応力 σ_{x6}

$$\sigma_{x6} = \frac{m_e \cdot g \cdot C_V}{\pi \cdot (D_i + t) \cdot t}$$

$$= 0.306152$$

$$= 1 \text{ (MPa)}$$

③水平方向地震による応力

水平方向地震により胴に生じる曲げモーメントによる軸方向応力 σ_{x4}

$$\sigma_{x4} = \frac{4 \cdot C_H \cdot m_0 \cdot g \cdot \ell}{\pi \cdot (D_i + t)^2 \cdot t}$$

$$= 2.06395$$

$$= 2 \text{ (MPa)}$$

地震により胴に生じるせん断応力 τ

$$\tau = \frac{2 \cdot C_H \cdot m_0 \cdot g}{\pi \cdot (D_i + t) \cdot t}$$

$$= 1.10454$$

$$= 2 \text{ (MPa)}$$

枠囲みの内容は商業機密の観点から公開できません。

④組合せ応力

組合せ引張応力 σ_{0t}

$$\sigma_\phi = \sigma_{\phi 1} + \sigma_{\phi 2}$$

$$= 20.726 + 0$$

$$= 20.726$$

$$= 21 \text{ (MPa)}$$

【絶対値和】

$$\sigma_{xt} = \sigma_{x1} + \sigma_{x2} + \sigma_{x4} + \sigma_{x5}$$

$$= 10.363 + 0.0615691 + 2.06395 + 0.136067$$

$$= 12.6245$$

$$= 13 \text{ (MPa)}$$

$$\sigma_{0t} = \frac{1}{2} \cdot \left\{ \sigma_\phi + \sigma_{xt} + \sqrt{\left(\sigma_\phi - \sigma_{xt} \right)^2 + 4 \cdot \tau^2} \right\}$$

$$= 0.5 \times (20.726 + 12.6245 + \sqrt{(20.726 - 12.6245)^2 + 4 \times 1.10454^2})$$

$$= 20.8738$$

$$= 21 \text{ (MPa)}$$

【SRSS 法】

$$\sigma_{xt} = \sigma_{x1} + \sigma_{x2} + \sqrt{\sigma_{x4}^2 + \sigma_{x5}^2}$$

$$= 10.363 + 0.0615691 + \sqrt{2.06395^2 + 0.136067^2}$$

$$= 12.4929$$

$$= 13 \text{ (MPa)}$$

$$\sigma_{0t} = \frac{1}{2} \cdot \left\{ \sigma_\phi + \sigma_{xt} + \sqrt{\left(\sigma_\phi - \sigma_{xt} \right)^2 + 4 \cdot \tau^2} \right\}$$

$$= 0.5 \times (20.726 + 12.4929 + \sqrt{(20.726 - 12.4929)^2 + 4 \times 1.10454^2})$$

$$= 20.8716$$

$$= 21 \text{ (MPa)}$$

組合せ圧縮応力 σ_{0c}

$$\sigma_\phi = -\sigma_{\phi 1} - \sigma_{\phi 2}$$

$$= -20.726 - 0$$

$$= -20.726$$

$$\underline{= -20 \text{ (MPa)}}$$

【絶対値和】

$$\sigma_{xc} = -\sigma_{x1} + \sigma_{x3} + \sigma_{x4} + \sigma_{x6}$$

$$= 10.363 + 0.138530 + 2.06395 + 0.306152$$

$$= -7.85437$$

$$\underline{= -7 \text{ (MPa)}}$$

$$\sigma_{0c} = \frac{1}{2} \cdot \left\{ \sigma_\phi + \sigma_{xc} + \sqrt{\left(\sigma_\phi - \sigma_{xc} \right)^2 + 4 \cdot \tau^2} \right\}$$

$$= 0.5 \times (-20.726 + (-7.85437)) + \sqrt{((-20.726 - (-7.85437))^2 + 4 \times 1.10454^2)}$$

$$= -7.76020$$

$$\underline{= -7 \text{ (MPa)}}$$

【SRSS 法】

$$\sigma_{xc} = -\sigma_{x1} + \sigma_{x3} + \sqrt{\sigma_{x4}^2 + \sigma_{x6}^2}$$

$$= 10.363 + 0.138530 + \sqrt{(2.06395^2 + 0.306152^2)}$$

$$= -8.13793$$

$$\underline{= -8 \text{ (MPa)}}$$

$$\sigma_{0c} = \frac{1}{2} \cdot \left\{ \sigma_\phi + \sigma_{xc} + \sqrt{\left(\sigma_\phi - \sigma_{xc} \right)^2 + 4 \cdot \tau^2} \right\}$$

$$= 0.5 \times (-20.726 + (-8.13793)) + \sqrt{((-20.726 - (-8.13793))^2 + 4 \times 1.10454^2)}$$

$$= -8.04171$$

$$\underline{= -8 \text{ (MPa)}}$$

<耐震評価（胴：地震動のみによる一次応力と二次応力の和の変動値）>

①組合せ応力

組合せ引張応力 σ_{2t}

$$\sigma_{2\phi} = \sigma_{\phi 2}$$

$$= 0$$

$$= 0 \text{ (MPa)}$$

【絶対値和】

$$\sigma_{2xt} = \sigma_{x4} + \sigma_{x5}$$

$$= 2.06395 + 0.136067$$

$$= 2.20001$$

$$= 3 \text{ (MPa)}$$

$$\sigma_{2t} = \sigma_{2\phi} + \sigma_{2xt} + \sqrt{\left(\sigma_{2\phi} - \sigma_{2xt}\right)^2 + 4 \cdot \tau^2}$$

$$= 0 + 2.20001 + \sqrt{(0 - 2.20001)^2 + 4 \times 1.10454^2}$$

$$= 5.31771$$

$$= 6 \text{ (MPa)}$$

【SRSS 法】

$$\sigma_{2xt} = \sqrt{\sigma_{x4}^2 + \sigma_{x5}^2}$$

$$= \sqrt{(2.06395^2 + 0.136067^2)}$$

$$= 2.06842$$

$$= 3 \text{ (MPa)}$$

$$\sigma_{2t} = \sigma_{2\phi} + \sigma_{2xt} + \sqrt{\left(\sigma_{2\phi} - \sigma_{2xt}\right)^2 + 4 \cdot \tau^2}$$

$$= 0 + 2.06842 + \sqrt{(0 - 2.06842)^2 + 4 \times 1.10454^2}$$

$$= 5.09470$$

$$= 6 \text{ (MPa)}$$

組合せ圧縮応力 σ_{2c}

$$\sigma_{2\phi} = -\sigma_{\phi 2}$$

$$\begin{aligned} &= 0 \\ &= 0 \text{ (MPa)} \end{aligned}$$

【絶対値和】

$$\sigma_{2xc} = \sigma_{x4} + \sigma_{x6}$$

$$= 2.06395 + 0.306152$$

$$= 2.37010$$

$$= 3 \text{ (MPa)}$$

$$\sigma_{2c} = \sigma_{2\phi} + \sigma_{2xc} + \sqrt{\left(\sigma_{2\phi} - \sigma_{2xc}\right)^2 + 4 \cdot \tau^2}$$

$$= 0 + 2.37010 + \sqrt{(0 - 2.37010)^2 + 4 \times 1.10454^2}$$

$$= 5.61007$$

$$= 6 \text{ (MPa)}$$

【SRSS 法】

$$\sigma_{2xc} = \sqrt{\sigma_{x4}^2 + \sigma_{x6}^2}$$

$$= \sqrt{(2.06395^2 + 0.306152^2)}$$

$$= 2.08653$$

$$= 2 \text{ (MPa)}$$

$$\sigma_{2c} = \sigma_{2\phi} + \sigma_{2xc} + \sqrt{\left(\sigma_{2\phi} - \sigma_{2xc}\right)^2 + 4 \cdot \tau^2}$$

$$= 0 + 2.08653 + \sqrt{(0 - 2.08653)^2 + 4 \times 1.10454^2}$$

$$= 5.12522$$

$$= 6 \text{ (MPa)}$$

<耐震評価（スカート）>

①運転時質量及び鉛直方向地震による応力

運転時質量による軸方向応力 σ_{s1}

$$\sigma_{s1} = \frac{m_0 \cdot g}{\{\pi \cdot (D_s + t_s) - Y\} \cdot t_s}$$

=0.262674

=1 (MPa)

鉛直方向地震による軸方向応力 σ_{s3}

$$\sigma_{s3} = \frac{m_0 \cdot g \cdot C_V}{\{\pi \cdot (D_s + t_s) - Y\} \cdot t_s}$$

=0.580510

=1 (MPa)

②運転時質量及び鉛直方向地震による応力

水平方向地震によりスカートに生じる曲げモーメントによる軸方向応力 σ_{s2}

$$M_s = C_H \cdot m_0 \cdot g \cdot (l_s + l)$$

= 2.46303×10^6

= 2.463×10^6 (N·mm)

$$\sigma_{s2} = \frac{M_s}{(D_s + t_s) \cdot t_s \cdot \left\{ \frac{\pi}{4} \cdot (D_s + t_s) - \frac{Y}{2} \right\}}$$

=9.46661

=10 (MPa)

枠囲みの内容は商業機密の観点から公開できません。

地震によりスカートに生じるせん断応力 τ_s

$$\tau_s = \frac{2 \cdot C_H \cdot m_0 \cdot g}{\{\pi \cdot (D_s + t_s) - Y\} \cdot t_s}$$

$$= 1.44996$$

$$= 2 \text{ (MPa)}$$

③組合せ応力

組合せ引張応力 σ_{ot}

$$\sigma_\phi = \sigma_{\phi 1} + \sigma_{\phi 2}$$

$$= 20.726 + 0$$

$$= 20.726$$

$$= 21 \text{ (MPa)}$$

【絶対値和】

$$\sigma_s = \sqrt{(\sigma_{s1} + \sigma_{s2} + \sigma_{s3})^2 + 3 \cdot \tau_s^2}$$

$$= \sqrt{((0.262674 + 9.46661 + 0.580510)^2 + 3 \times 1.44996^2)}$$

$$= 10.6112$$

$$= 11 \text{ (MPa)}$$

【SRSS 法】

$$\sigma_s = \sqrt{(\sigma_{s1} + \sqrt{\sigma_{s2}^2 + \sigma_{s3}^2})^2 + 3 \cdot \tau_s^2}$$

$$= \sqrt{((0.262674 + \sqrt{(9.46661^2 + 0.580510^2)})^2 + 3 \times 1.44996^2)}$$

$$= 10.0654$$

$$= 11 \text{ (MPa)}$$

枠囲みの内容は商業機密の観点から公開できません。

<耐震評価結果>

アキュムレータの耐震評価結果を表 6.6.2-5 に示す。

表 6.6.2-5 アキュムレータの耐震評価結果

部位	評価応力	発生応力 (MPa)	許容応力 (MPa)	判定 発生応力≤許容応力
胴板	一次一般膜	21	287	OK
	一次十二次	6	377	OK
スカート	組合せ	11	246	OK

注記 * : $f_{ts} = \text{Min}[1.4 \cdot f_{to} - 1.6 \cdot \tau_b, f_{to}]$ より算出

e. ボンベラック

(a) 一般事項

図6.6.2-8にボンベラックの概略構造図を示す。

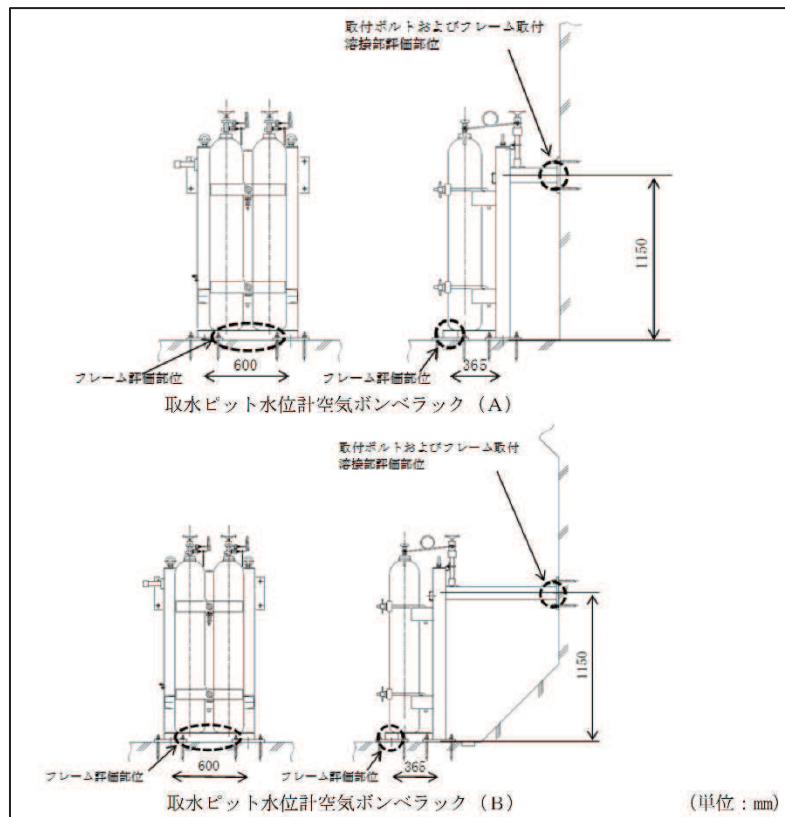


図6.6.2-8 ボンベラックの概略構造図

(b) 評価条件

<設計用地震力>

設置場所（海水ポンプ室）の最大応答加速度を適用する。

S_s 水平方向震度 (C_H) : 2.76

鉛直方向震度 (C_V) : 2.21

<雰囲気温度>

40°C (屋外)

(c) 固有周期

ボンベラックの固有周期は、3次元はりモデルによる固有値解析により求める。固有値解析の結果、固有周期が0.05秒以下であり、剛であることを確認している。ボンベラックの解析モデルを図6.6.2-9～12に示す。

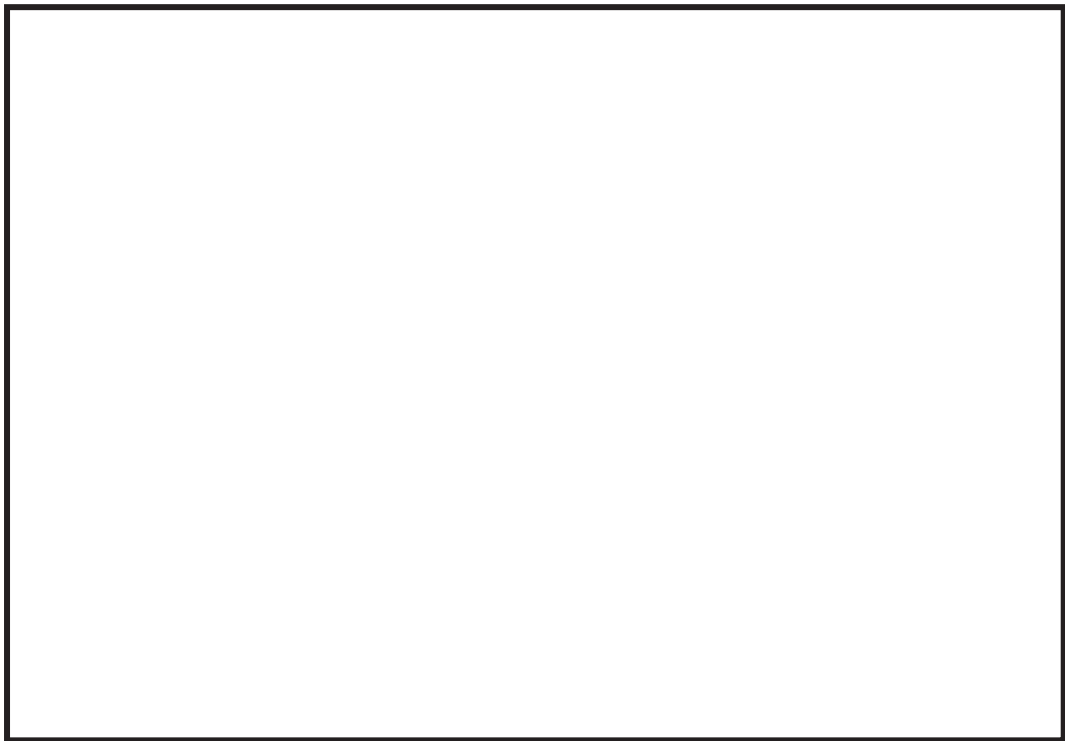


図 6.6.2-9 解析モデル(ボンベラック (A) (要素番号記載))



図 6.6.2-10 解析モデル(ボンベラック (A) (節点番号記載))

枠囲みの内容は商業機密の観点から公開できません。

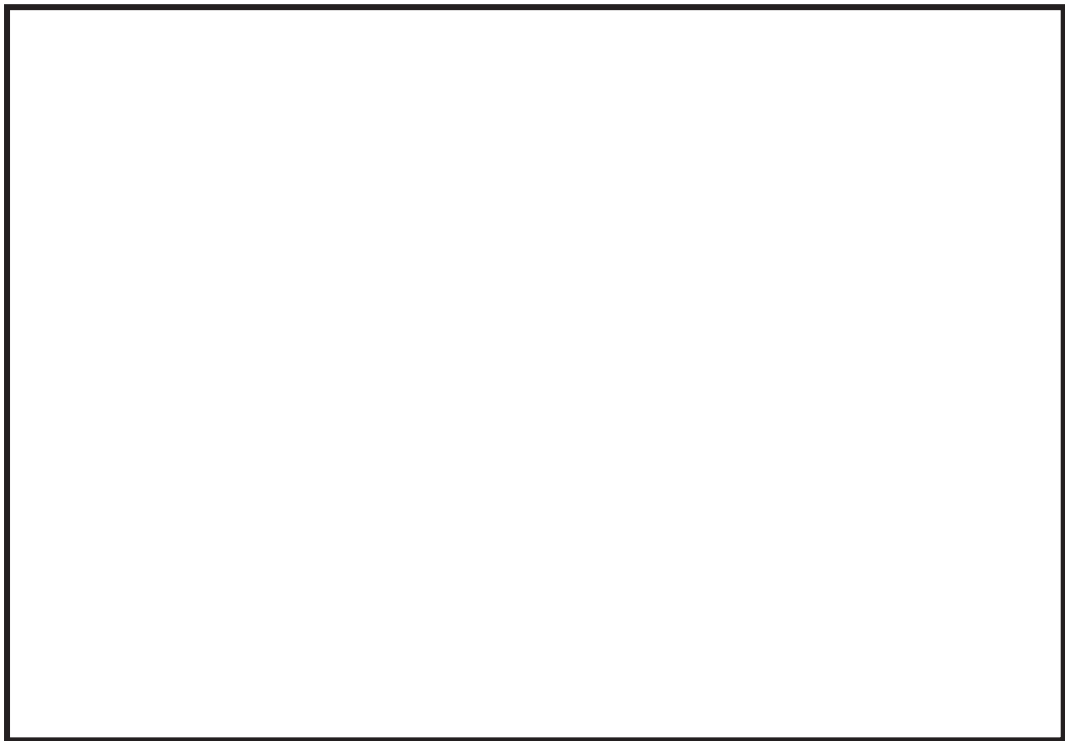


図 6.6.2-11 解析モデル(ポンベラック (B) (要素番号記載))



図 6.6.2-12 解析モデル(ポンベラック (B) (節点番号記載))

枠囲みの内容は商業機密の観点から公開できません。

(d) 応力計算

<耐震評価（ボンベラック，フレーム）>

①フレームの組合せ応力

はり要素の軸応力 σ_t

$$\sigma_t = \frac{R_1}{A_{rea}}$$

[REDACTED]
=0 (MPa)

はり要素の曲げ応力 σ_b

$$\sigma_b = \left(\frac{M_2}{Z_2} \right) + \left(\frac{M_3}{Z_1} \right)$$

[REDACTED]
=34.9122
=35 (MPa)

はり要素のせん断応力 τ_s

$$\tau_s = M_a \times \left\{ \left(\frac{R_2}{A_{S1}} \right) + \left(\frac{M_1}{Z_{P1}} \right), \quad \left(\frac{R_3}{A_{S2}} \right) + \left(\frac{M_1}{Z_{P2}} \right) \right\}$$

[REDACTED]
= (0.22381, 4.63)
= 4.63 (MPa)

フレームの組合せ応力 σ_a

$$\begin{aligned} \sigma_a &= \sqrt{(\sigma_t + \sigma_b)^2 + 3 \cdot \tau_s^2} \\ &= \sqrt{(0+34.9122)^2 + 3 \times 4.63^2} \\ &= 35.8213 \\ &= 36 \text{ (MPa)} \end{aligned}$$

枠囲みの内容は商業機密の観点から公開できません。

②F 値

設計温度における使用部材の設計降伏点 S_y と設計引張強さ S_u は 2005 設計・建設規格第 I 編 付録図表 Part5 表 8, 表 9 より

40°Cにおける $S_y = 245$

40°Cにおける $S_u = 400$

$$F = \text{Min}(S_y, 0.7 S_u)$$

$$= \text{Min}(245, 0.7 \times 400)$$

$$= \text{Min}(245, 280)$$

$$= 245 \text{ MPa}$$

③許容引張応力

許容引張応力 f_t

$$f_t = F / 1.5 \times 1.5$$

$$= 245 / 1.5 \times 1.5$$

$$= 245 \text{ (MPa)}$$

<耐震評価（ボンベラック，溶接部）>

①溶接部せん断応力

溶接部に作用するせん断力 F_w

$$F_w = \sqrt{R_2^2 + R_3^2}$$

[]
=4159.08

=4.159 × 10³ (N)

せん断応力 τ_w

$$\tau_w = \frac{F_w}{A_w} + \frac{M_1}{Z_{pw}}$$

[]
=2.71334

=3 (MPa)

②F 値

設計温度における使用部材の設計降伏点 S_y と設計引張強さ S_u は 2005 設計・建設規格第 I 編 付録図表 Part5 表 8, 表 9 より

40°Cにおける $S_y = 245$

40°Cにおける $S_u = 400$

$$F = \text{Min}(S_y, 0.7 S_u)$$

$$= \text{Min}(245, 0.7 \times 400)$$

$$= \text{Min}(245, 280)$$

=245 MPa

③許容せん断応力

許容せん断応力 f_{sb}

2005 設計・建設規格第 I 編 第 8 章 SSB-3121.1 (1)b. を適用し、許容せん断応力を算出時に 0.45 倍とする。

$$f_{sb} = F / (1.5 \times \sqrt{3}) \times 1.5 \times 0.45$$

$$= 245 / (1.5 \times \sqrt{3}) \times 1.5 \times 0.45$$

$$= 63.6528$$

=63 MPa

枠囲みの内容は商業機密の観点から公開できません。

<耐震評価（ボンベラック，取付ボルト）>

①取付ボルトの応力

取付ボルトに作用する引張力 F_b

$$F_b = M_a \times \left\{ \left(\frac{R_1}{n} \right) + \left(\frac{M_2}{n_f \cdot L} \right), \left(\frac{R_1}{n} \right) + \left(\frac{M_3}{n_f \cdot L} \right) \right\}$$

$$= \text{Max}(4565.64, 4581.43)$$

$$= 4.581 \times 10^3 \text{ (N)}$$

取付ボルトに作用する引張応力 σ_{bt}

$$\sigma_{bt} = \frac{F_b}{A_b}$$

$$= 22.7818$$

$$= 23 \text{ (MPa)}$$

取付ボルトに作用するせん断力 σ_b

$$\sigma_b = \sqrt{\left(R_2 + \frac{M_1}{L} \right)^2 + \left(R_3 + \frac{M_1}{L} \right)^2}$$

$$= 4.25546$$

$$= 4.255 \times 10^3 \text{ (N)}$$

取付ボルトに作用するせん断応力 τ_{bs}

$$\tau_{bs} = \frac{Q_b}{n \cdot A_b}$$

$$= 5.29022$$

$$= 6 \text{ (MPa)}$$

枠囲みの内容は商業機密の観点から公開できません。

②F値

設計温度における使用部材の設計降伏点 S_y と設計引張強さ S_u は 2005 設計・建設規格第 I 編 付録図表 Part5 表 8, 表 9 より

40°Cにおける $S_y=215$

40°Cにおける $S_u=400$

$$F = \text{Min}(S_y, 0.7 S_u)$$

$$= \text{Min}(215, 0.7 \times 400)$$

$$= \text{Min}(215, 280)$$

$$= 215 \text{ MPa}$$

③許容引張応力

許容引張応力 f_{ts}

$$f_{ts} = \text{Min}(1.4 \times f_{to} - 1.6 \times \tau_b, f_{to})$$

$$f_{to} = F / 2 \times 1.5$$

$$= 215 / 2 \times 1.5$$

$$= 161.25$$

$$= 161 \text{ (MPa)}$$

$$f_{ts} = \text{Min}(1.4 \times 161.25 - 1.6 \times 5.29022, 161)$$

$$= \text{Min}(217, 161)$$

$$= 161 \text{ MPa}$$

④許容せん断応力

許容せん断応力 f_{sb}

$$f_{sb} = F / (1.5 \times \sqrt{3}) \times 1.5$$

$$= 215 / (1.5 \times \sqrt{3}) \times 1.5$$

$$= 124.130$$

$$= 124 \text{ MPa}$$

<耐震評価結果>

ポンベラックの耐震評価結果を表 6.6.2-6 に示す。

表 6.6.2-6 ポンベラックの耐震評価結果

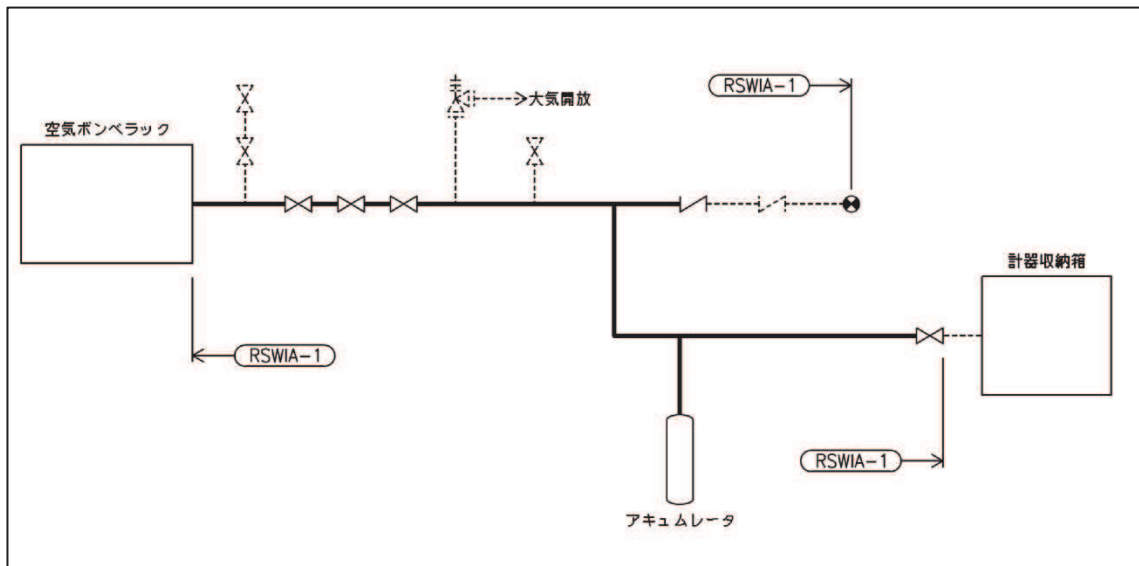
設備名称	部位	評価応力	発生応力 (MPa)	許容応力 (MPa)	判定 発生応力≤許容応力
ポンベ ラック (A)	フレーム	組合せ	36	245	OK
	溶接部	せん断	3	63	OK
	取付ボルト	引張	23	161*	OK
		せん断	6	124	OK
ポンベ ラック (B)	フレーム	組合せ	36	245	OK
	溶接部	せん断	3	63	OK
	取付ボルト	引張	30	161*	OK
		せん断	5	124	OK

注記 * : $f_{ts} = \text{Min}[1.4 \cdot f_{to} - 1.6 \cdot \tau_b, f_{to}]$ より算出

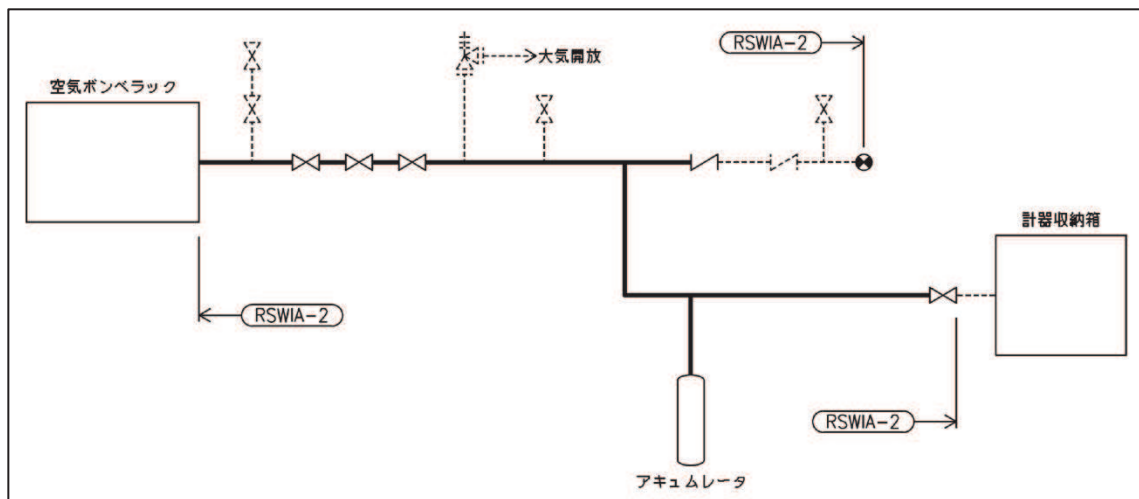
f. 管

(a) 一般事項

図6.6.2-13に管の概略系統図を示す。



(配管モデル： R S W I A - 1)



(配管モデル： R S W I A - 2)

図6.6.2-13 管の概略構造図

(b) 評価条件

<設計用地震力>

設置場所（海水ポンプ室）の最大応答加速度を適用する。

S_s 水平方向震度 (C_H) :



鉛直方向震度 (C_V) :



<雰囲気温度>

50°C (屋外)

枠囲みの内容は商業機密の観点から公開できません。

(c) 固有周期

管の固有周期は、3次元はりモデルによる固有値解析により求める。固有値解析の結果、固有周期が0.05秒以下であり、剛であることを確認している。

(d) 応力計算

<耐震評価>

①一次応力

$$S_{p r m} = P \cdot D_0 / 4 \cdot t + 0.75 i_1 \cdot (M_a + M_b) / Z$$

$$\underline{=127 \text{ (N)}} : R S W I A - 1$$

$$\underline{=124 \text{ (N)}} : R S W I A - 2$$

②一次+二次応力

$$S_n = (0.75 i_1 \cdot M_b + i_2 \cdot M_c) / Z$$

$$\underline{=241 \text{ (N)}} : R S W I A - 1$$

$$\underline{=241 \text{ (N)}} : R S W I A - 2$$

<耐震評価結果>

管の耐震評価結果を表 6.6.2-7 に示す。

表 6.6.2-7 管の耐震評価結果

配管モデル		計算応力 (MPa)	許容応力 (MPa)	判定 計算応力 ≤ 許容応力
R S W I A - 1	一次応力	127	188	OK
	一次+二次応力	241	376	OK
R S W I A - 2	一次応力	124	127	OK
	一次+二次応力	241	241	OK

(4) 強度計算における評価方法

a. 評価にあたって

取水ピット水位計の強度評価においては、その構造を踏まえ、津波及び余震に伴う荷重の作用方向及び伝達過程を考慮し、評価部位を設定する。取水ピット水位計は、フランジ面をバブラー管が貫通しており、貫通部分は溶接されている。津波の波力はフランジ上面にかかるため、フランジ上面部を抑える取付ボルトの強度評価を実施する。図6.6.2-14にバブラー管構造図を示す。

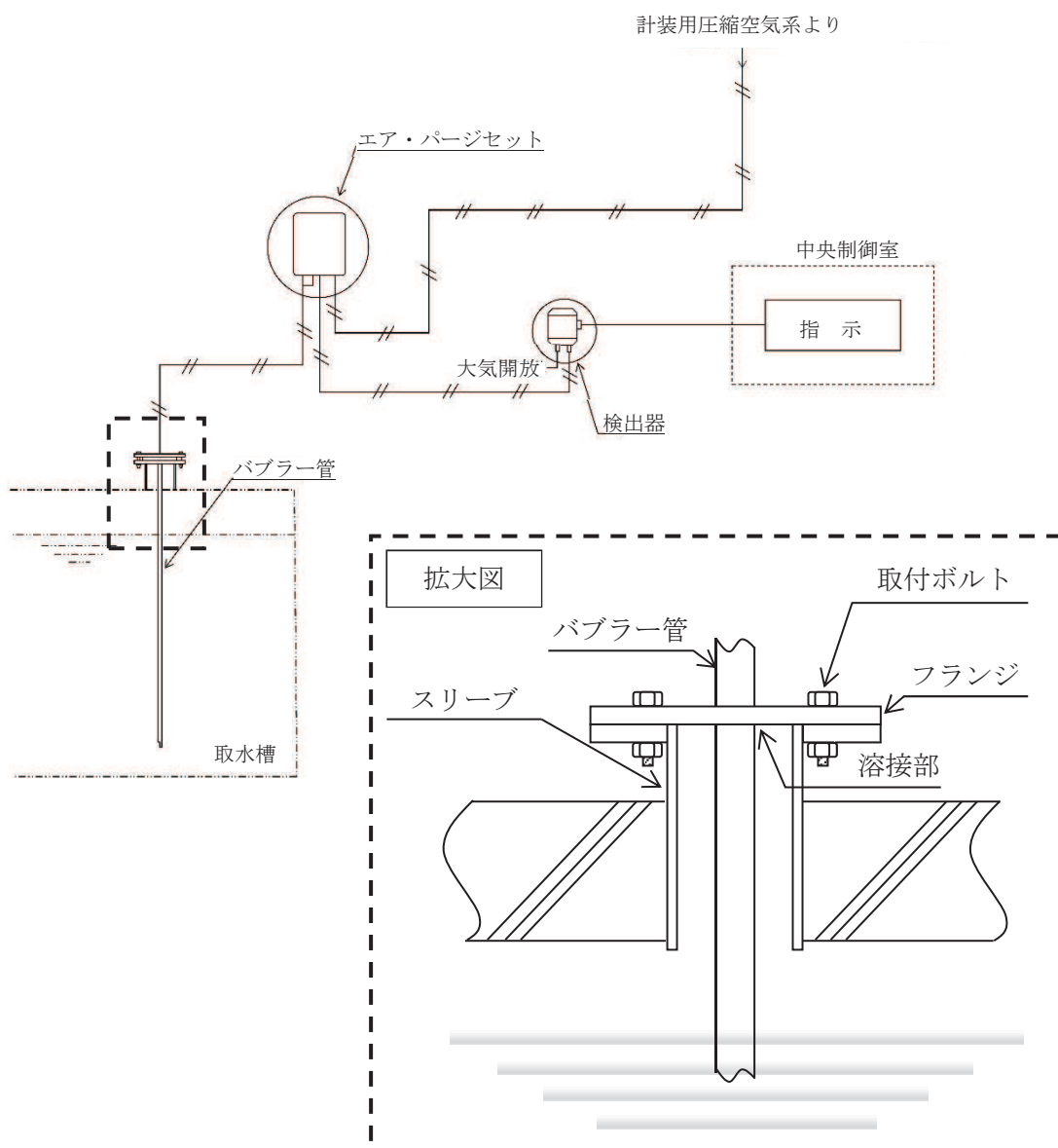


図6.6.2-14 バブラー管構造図

b. 評価方法

(a) 一般事項

図6.6.2-15に取水ピット水位計の概略構造図を示す。

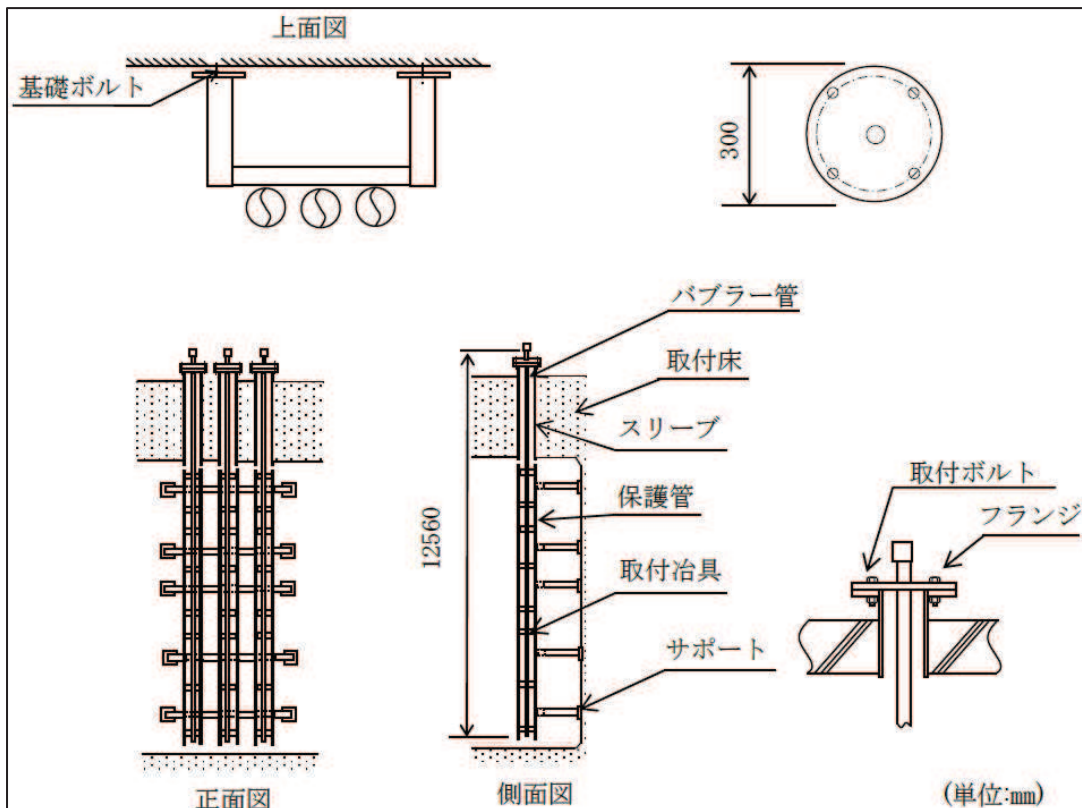


図6.6.2-15 取水ピット水位計の概略構造図

(b) 評価条件

<設計用地震力>

設置場所（海水ポンプ室）の最大応答加速度を適用する。

S d - D 2 水平方向震度 (C_H) : 1.05

鉛直方向震度 (C_V) : 1.03

<雰囲気温度>

40°C (屋外)

<津波荷重水位>

取水ピット水位計の津波荷重水位は添付書類「V-1-1-2-2-3 入力津波の設定」にて設定している取水ピットの入力津波高さを元に設定する。

基準津波 : 0.P + 18.6 m

(c) 固有周期

取水ピット水位計の固有周期は、3次元はりモデルによる固有値解析により求める。固有値解析の結果、固有周期が0.05秒以下であり、剛であることを確認している。バブラー管の解析モデルを図6.6.2-16に示す。



図 6.6.2-16 解析モデル（取水ピット水位）

枠囲みの内容は商業機密の観点から公開できません。

(d) 応力計算

<強度評価>

①突き上げ津波荷重(P_t)

取水ピット水位計に作用する突き上げ津波荷重(P_t)

$$P_t = \rho \cdot g \cdot T_h \cdot A_1 + \frac{1}{2} \cdot C_d \cdot \rho \cdot A_1 \cdot U^2$$

なお、抗力係数 (C_d) は日本港湾協会 港湾の施設の技術上の基準・同解説の値を使用する。

$$A_1 = \frac{\pi}{4} \cdot D^2$$



$$T_h = h - z$$

$$= 18.6 - 2.25$$

$$= 16.35$$

$$P_t = 1030 \times 9.80665 \times 16.35 \times 0.0706857 + 0.5 \times 2.01 \times 1030 \times 0.0706857 \times 1.0^2$$

$$= 11746.7$$

$$= 1.175 \times 10^4 \text{ (N)}$$

②引張応力

取付ボルトに作用する引張力 F_b

$$F_b = \frac{F_y}{n} + \frac{M_x}{\ell_1 \cdot n_x} + \frac{M_z}{\ell_2 \cdot n_z} + P_t$$



$$= 11906.5$$

$$= 1.191 \times 10^4 \text{ (N)}$$

枠囲みの内容は商業機密の観点から公開できません。

取付ボルトに作用する引張応力 σ_b

$$A_b = \frac{\pi}{4} \cdot d^2$$



$$\sigma_b = \frac{F_b}{A_b}$$



$$= 37.8995$$

$$= 38 \text{ (MPa)}$$

③せん断応力

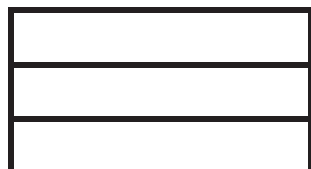
取付ボルトに作用するせん断力 Q_b

$$Q_b = \frac{\sqrt{F_Y^2 + F_Z^2}}{n}$$



取付ボルトに作用するせん断応力 τ_b

$$\tau_b = \frac{Q_b}{A_b}$$



枠囲みの内容は商業機密の観点から公開できません。

④ F 値

設計温度における使用部材の設計降伏点 S_y と設計引張強さ S_u は 2005 設計・建設規格第 I 編 付録図表 Part5 表 8, 表 9 より

40°Cにおける $S_y = 205$

40°Cにおける $S_u = 520$

$$F = \text{Min}(S_y, 0.7 S_u)$$

$$= \text{Min}(205, 0.7 \times 520)$$

$$= \text{Min}(205, 364)$$

$$= 205 \text{ MPa}$$

⑤ 許容引張応力

許容引張応力 f_{ts}

$$f_{ts} = \text{Min}(1.4 \times f_{to} - 1.6 \times \tau_b, f_{to})$$

$$f_{to} = F / 2 \times 1.5$$

$$= 205 / 2 \times 1.5$$

$$= 153.75$$

$$= 153 \text{ (MPa)}$$

$$f_{ts} = \text{Min}(1.4 \times 153.75 - 1.6 \times 0.0501338, 153)$$

$$= \text{Min}(215, 153)$$

$$= 153 \text{ MPa}$$

⑥ 訸容せん断応力

許容せん断応力 f_{sb}

$$f_{sb} = F / (1.5 \times \sqrt{3}) \times 1.5$$

$$= 205 / (1.5 \times \sqrt{3}) \times 1.5$$

$$= 118.356$$

$$= 118 \text{ MPa}$$

<強度評価結果>

取水ピット水位計の強度評価結果を表 6.6.2-8 に示す。

表 6.6.2-8 取水ピット水位計の強度評価結果

部位	評価応力	発生応力 (MPa)	許容応力 (MPa)	判定 発生応力 ≤ 許容応力
取付ボルト	引張	38	153*	OK
	せん断	0	118	OK

注記 * : $f_{ts} = \text{Min}[1.4 \cdot f_{to} - 1.6 \cdot \tau_b, f_{to}]$ より算出